# JABŁONICA RUSKA 1 – WIELOKULTUROWE STANOWISKO W DORZECZU GÓRNEGO SANU

# JABŁONICA RUSKA 1 – A MULTICULTURAL ARCHAEOLOGICAL SITE IN THE UPPER SAN RIVER BASIN

REDAKCJA
MIROSŁAW MAZUREK
ALEKSANDRA SZNAJDROWSKA-PONDEL

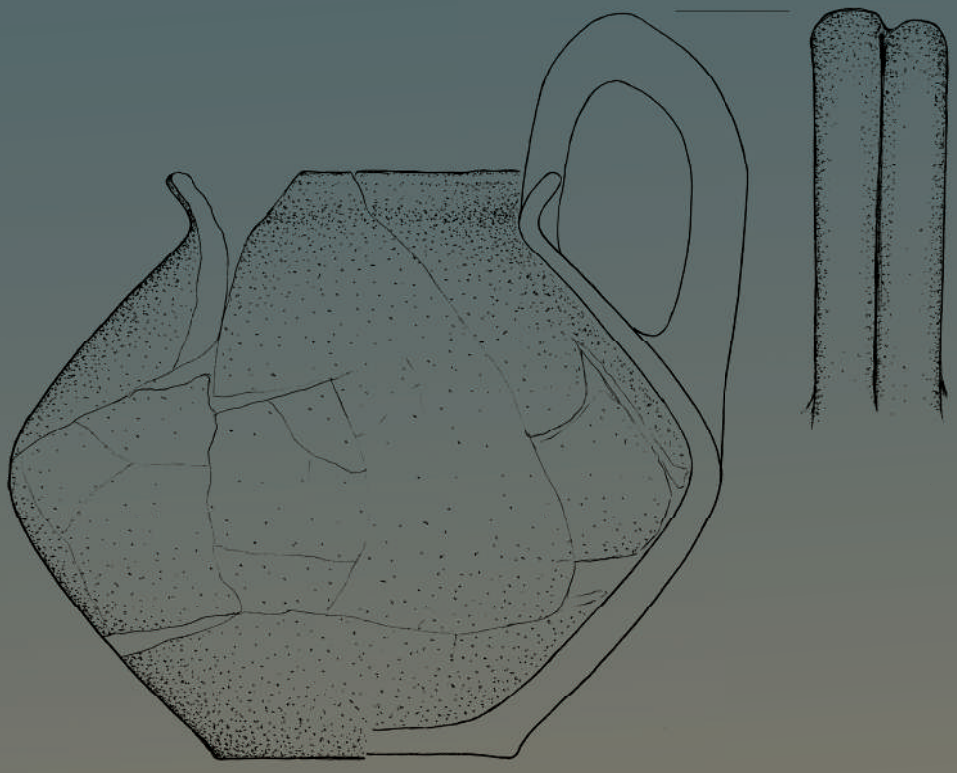

Fundacja Badań nad
Dziedzictwem Kulturowym

# JABŁONICA RUSKA 1 – WIELOKULTUROWE STANOWISKO W DORZECZU GÓRNEGO SANU

# JABŁONICA RUSKA 1 – A MULTICULTURAL ARCHAEOLOGICAL SITE IN THE UPPER SAN RIVER BASIN

# JABŁONICA RUSKA 1 – WIELOKULTUROWE STANOWISKO W DORZECZU GÓRNEGO SANU

# JABŁONICA RUSKA 1 – A MULTICULTURAL ARCHAEOLOGICAL SITE IN THE UPPER SAN RIVER BASIN

REDAKCJA
MIROSŁAW MAZUREK
ALEKSANDRA SZNAJDROWSKA-PONDEL

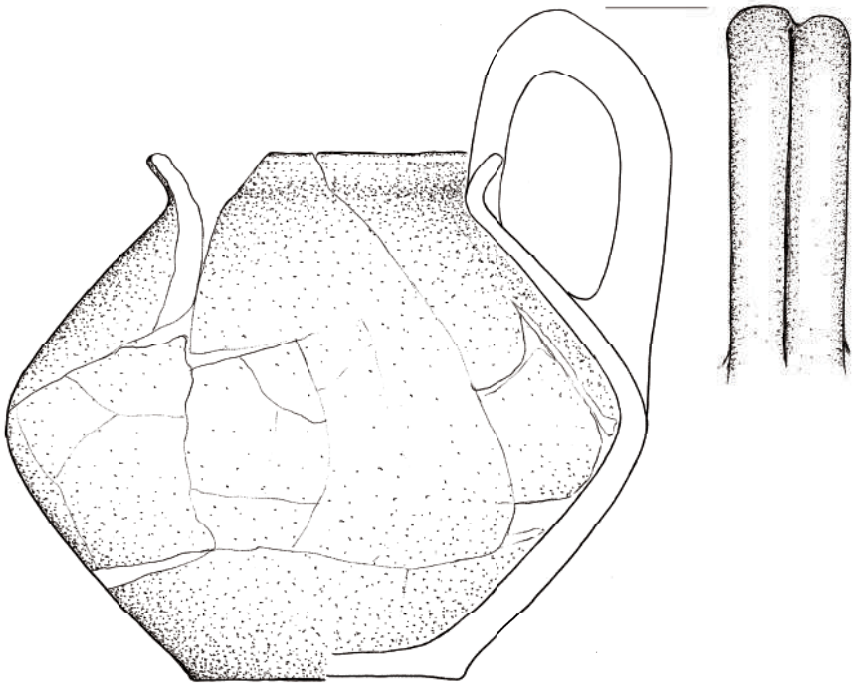

Fundacja Badań nad Dziedzictwem Kulturowym

Rzeszów 2022

**Redakcja:** Mirosław Mazurek, Aleksandra Sznajdrowska-Pondel
**Recenzenci:** dr hab. Anita Szczepanek, dr hab. Tomasz Bochnak
**Autorzy:** Jan Bulas, Konrad Drewniak, Piotr Gębica, Nina Glińska, Danuta Makowicz-Poliszot, Mirosław Mazurek, Anna Okoniewska, Magdalena Okońska-Bulas, Jakub Pałys, Michał Parczewski, Aleksandra Sznajdrowska-Pondel, Zofia Tomczyńska
**Autorzy zdjęć:** Michał Czarnik, Konrad Drewniak, Agnieszka Mazurek, Mirosław Mazurek
**Autorzy rycin i tablic:** Agnieszka Mazurek, Adam Nowak, Zuzanna Opielowska-Nowak oraz autorzy
**Tłumaczenie na język angielski:** Maciej Pondel
**Ilustracja na okładce:** Jabłonica Ruska, stan. 1. Naczynie z obiektu 130

© Copyright by Fundacja Badań nad Dziedzictwem Kulturowym, 2022

ISBN 978-83-67325-28-8

*„Dofinansowano ze środków Ministra Kultury i Dziedzictwa Narodowego pochodzących z Funduszu Promocji Kultury"*

Ministerstwo Kultury i Dziedzictwa Narodowego

**Realizacja wydawnicza**

WYDAWNICTWO
EDYTORIAL
35-614 Rzeszów, ul. Św. Kingi 20/70
tel. + 48 730 999 731, 730 999 732
e-mail: redakcja.edytorial@gmail.com
www.edytorial.com

# Spis treści / Contents


1. Informacje wstępne o stanowisku Jabłonica Ruska 1 (*Mirosław Mazurek, Anna Okoniewska, Michał Parczewski*) / Basic information about the archaeological site Jabłonica Ruska 1 . . . . . 7
   1.1. Wprowadzenie / Introduction . . . . . 7
   1.2. Historia badań / Research history . . . . . 9
   1.3. Metody badawcze / Research methods . . . . . 12

2. Charakterystyka geomorfologiczna stanowiska archeologicznego nr 1 w Jabłonicy Ruskiej (*Piotr Gębica*) / Geomorphological characteristics of the archaeological site no. 1 in Jabłonica Ruska . . . . . 15

3. Zabytki krzemienne i kamienne ze stanowiska Jabłonica Ruska 1 (*Jakub Pałys*) / Flint and stone artefacts from Jabłonica Ruska 1 archaeological site . . . . . 21

4. Materiał ceramiczny kultury pucharów lejkowatych odkryty na stanowisku Jabłonica Ruska 1 (*Aleksandra Sznajdrowska-Pondel*) / Pottery of the Funnel Beaker Culture discovered at Jabłonica Ruska 1 archaeological site . . . . . 26

5. Ślady osadnictwa kultury trzcinieckiej na stanowisku Jabłonica Ruska 1 (*Konrad Drewniak*) / Traces of the Trzciniec culture settlement at Jabłonica Ruska 1 archaeological site . . . . . 30

6. Osada kultury łużyckiej na stanowisku Jabłonica Ruska 1 (*Konrad Drewniak, Mirosław Mazurek*) / The Lusatian culture settlement at the archaeological site no. 1 in Jabłonica Ruska . . . . . 33
   6.1. Obiekty / Features . . . . . 33
   6.2. Ceramika / Pottery . . . . . 41
      6.2.1. Uwagi o technologii / Technology . . . . . 43
      6.2.2. Naczynia wazowate / Vase-like vessels . . . . . 47
      6.2.3. Garnki / Pots . . . . . 50
      6.2.4. Misy / Bowls . . . . . 53
      6.2.5. Kubek toczony na kole garncarskim / Wheel-thrown mug . . . . . 56
      6.2.6. Małe naczyńka, w tym czerpaki / Small vessels, including cups . . . . . 57
      6.2.7. Naczynia sitowate / Vessels with sieves . . . . . 59
   6.3. Zabytki wydzielone / Other finds . . . . . 59
      6.3.1. Fragment żelaznego przedmiotu / A fragment of an iron artefact . . . . . 59
      6.3.2. Przęśliki / Spindle whorls . . . . . 59
      6.3.3. Ciężarek tkacki / Loom weight . . . . . 60
   6.4. Chronologia i charakterystyka osady / Chronology and characteristics of the settlement . . . . . 61

7. Osada z okresu wpływów rzymskich na stanowisku Jabłonica Ruska 1 (*Magdalena Okońska-Bulas, Jan Bulas*) / Settlement from the Roman period at the archaeological site no. 1 in Jabłonica Ruska . . . . . 108
   7.1. Zagadnienia wstępne / Basic information . . . . . 108
   7.2. Zabytki nieruchome / Archaeological features . . . . . 111
      7.2.1. Budynki wziemne / Semi-sunken buildings . . . . . 111
   7.2.2. Jamy osadowe / Settlement pits . . . . . 119
   7.2.3. Obiekty z warstwami kamieni / Features with layers of stones . . . . . 119
   7.3. Zabytki ruchome: opis i analiza / Artefacts: description and analysis . . . . . 123
      7.3.1. Ceramika / Pottery . . . . . 123
      7.3.2. Zabytki metalowe / Metal artefacts . . . . . 138

7.3.3. Przęśliki / Spindle whorls . . . 140
7.3.4. Narzędzia kamienne / Stone tools . . . 141
7.3.5. Polepa / Daub . . . 142
7.4. Analiza przestrzenna osady / Analysis of the spatial arrangement of the settlement . . . 142
7.5. Chronologia osady / Chronology of the settlement . . . 144

8. Osada z zarania wczesnego średniowiecza. Okres wczesnosłowiański (V/VI–VII w.) w Jabłonicy Ruskiej, stanowisko 1 (*Michał Parczewski*) / Settlement from the beginning of the Early Middle Ages. The early Slavic period (5th/6th-7th centuries) at the archaeological site no. 1 in Jabłonica Ruska . . . 189
8.1 Informacje wstępne / Basic information . . . 189
8.2. Materiały źródłowe / Source materials . . . 194
8.2.1. Opis obiektów nieruchomych i ich zawartości / Description of features and artefacts . . . 194
8.2.2. Zabytki ruchome pochodzące spoza obiektów nieruchomych / Artefacts found outside features 201
8.3. Charakterystyka zabytków ruchomych / Characteristics of artefacts . . . 201
8.3.1. Uwagi wstępne / Basic information . . . 201
8.3.2. Ceramika naczyniowa / Clay vessels . . . 202
8.3.3. Przedmiot żelazny / Iron object . . . 205
8.3.4. Przęślik gliniany / Clay spindle whorl . . . 206
8.3.5. Gładziki/osełki / Polishing stones/whetstones . . . 206
8.4. Chronologia / Chronology . . . 206
8.5. Obiekty osadowe i rozplanowanie osiedla / Settlement features and layout . . . 209
8.6. Przynależność kulturowa oraz miejsce stanowiska 1 w Jabłonicy Ruskiej we wczesnosłowiańskiej strukturze osadniczej / Cultural affiliation and the position of the archaeological site no. 1 in Jabłonica Ruska in the early Slavic period settlement structure . . . 211

9. Osada wczesnośredniowieczna (X–XIII w.) na stanowisku Jabłonica Ruska 1 (*Nina Glińska*) / Settlement from the Early Middle Ages (10th – 13th centuries) at the archaeological site no. 1 in Jabłonica Ruska . 225
9.1. Analiza materiału ceramicznego / Analysis of pottery . . . 225
9.1.1. Podstawy analizy opisowej / Basics of descriptive analysis . . . 227
9.1.2. Grupy surowcowe / Raw material groups . . . 230
9.1.3. Technika produkcji naczyń / Vessel production techniques . . . 237
9.1.4. Ukształtowanie górnych partii naczyń / Shapes of the upper parts of vessels . . . 243
9.1.5. Typologia brzegów / Typology of rims . . . 252
9.1.6. Klasyfikacja ornamentu / Classification of ornaments . . . 258
9.1.7. Znaki garncarskie / Potter's marks . . . 263
9.1.8. Chronologia / Chronology . . . 265
9.2. Pozostałe zabytki / Other artefacts . . . 266
9.3. Obiekty / Features . . . 268

10. Szczątki kostne zarejestrowane w trakcie badań na stanowisku Jabłonica Ruska 1 (*Danuta Makowicz-Poliszot*) / Bones found during the exploration of the archaeological site no. 1 in Jabłonica Ruska . . . 294

11. Wyniki analizy szczątków makroskopowych roślin ze stanowiska Jabłonica Ruska 1 (*Zofia Tomczyńska*) / Results of the analysis of macroscopic remains of plants from the archaeological site no. 1 in Jabłonica Ruska . . . 298

12. Podsumowanie (*Mirosław Mazurek, Anna Okoniewska*) / Summary . . . 302

13. Katalog obiektów / Catalogue . . . 305

MIROSŁAW MAZUREK, ANNA OKONIEWSKA, MICHAŁ PARCZEWSKI

# 1.
# Informacje wstępne o stanowisku Jabłonica Ruska 1
# Basic information about the archaeological site Jabłonica Ruska 1

## 1.1. Wprowadzenie

Stanowisko nr 1 w Jabłonicy Ruskiej (AZP 110-78/25) leży w gminie Dydnia w powiecie brzozowskim na terenie województwa podkarpackiego. Znajduje się na silnie wyodrębnionym cyplu prawobrzeżnej nadzalewowej terasy Sanu (ryc. 1.1.), który

## 1.1. Introduction

Site no. 1 in Jabłonica Ruska (AZP 110–78/25) is located in Dydnia commune, Brzozów district, the Subcarpathia Province. It is located on a clearly separated promontory on the right-bank San fluvial terrace (Fig. 1.1.), which was partially destroyed

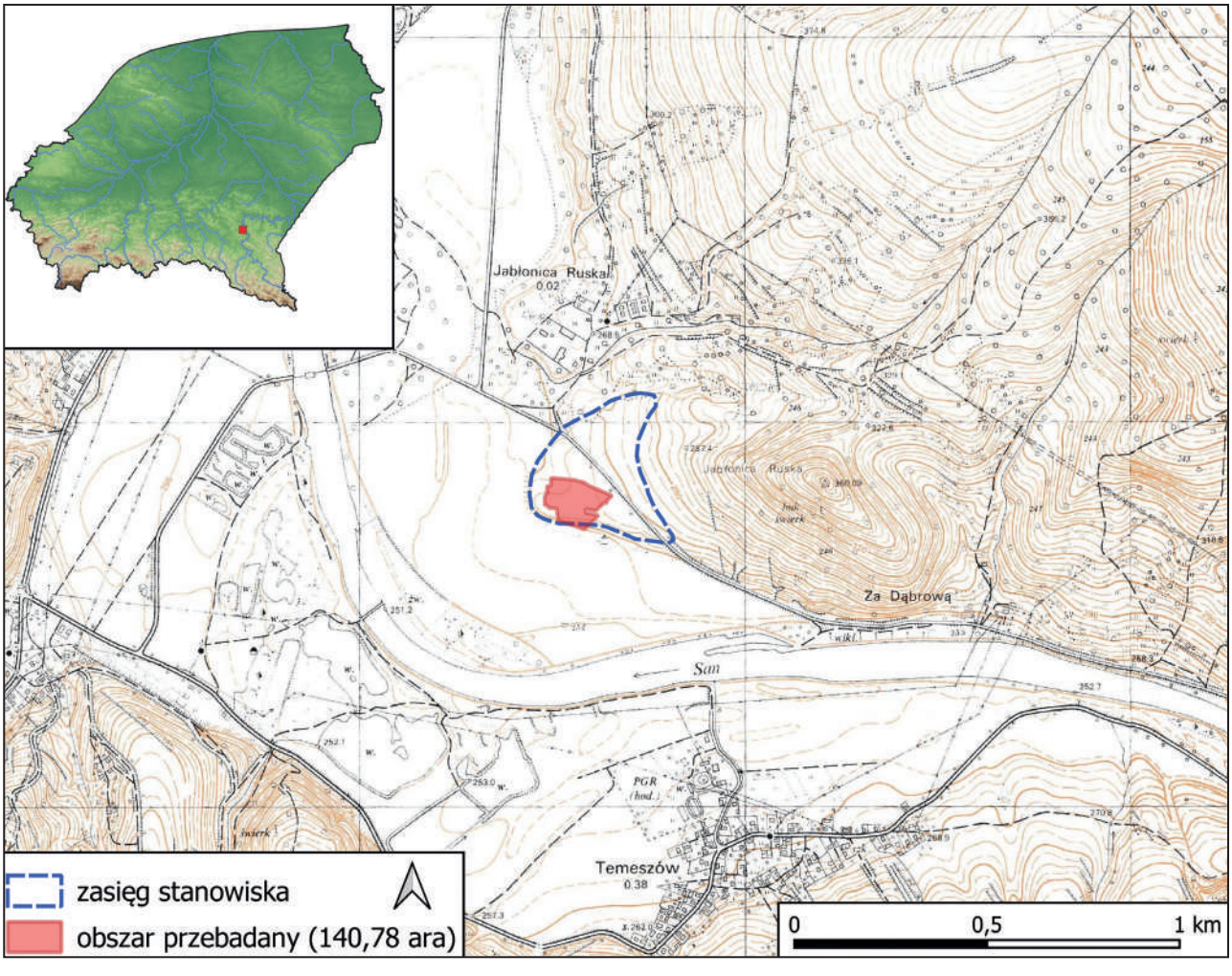


Ryc. 1.1. Jabłonica Ruska, stan. 1. Lokalizacja obszaru badań na mapie topograficznej
Fig. 1.1. Jabłonica Ruska, site 1. Location of the researched area on the topographic map

został częściowo zniszczony podczas wybierania żwiru jeszcze przed rozpoczęciem badań. Na stanowisku (działka geodezyjna nr 181/10) przeprowadzono badania wykopaliskowe, które miały na celu rozpoznanie reliktów miejscowego osadnictwa pradziejowego oraz wczesnośredniowiecznego. Prace były w całości finansowane przez Ministerstwo Kultury i Dziedzictwa Narodowego zgodnie z umową nr NID/ARCHEO/1/19 z dnia 18.02.2019. Badania na zlecenie firmy POLGRYS KRUSZYWA sp. z o.o. Sp.k. przeprowadzono w terminie 5.04–9.10.2019 r., a realizowała je firma Pracownia Archeologiczna Mirosław Mazurek, początkowo pod kierownictwem Michała Grabowskiego, a następnie Mirosława Mazurka. W pracach archeologicznych wzięli również udział archeolodzy związani z Pracownią Archeologiczną: Konrad Drewniak, Anna Okoniewska, Jakub Pałys i Damian Pawłowski, oraz członkowie Stowarzyszenia Eksploracyjno-Historycznego „Galicja": Bartosz Musiał i Tadeusz Musiał. Konsultantem naukowym był prof. dr hab. Michał Parczewski. Wszelkie czynności na stanowisku wykonywane były zgodnie z decyzją Podkarpackiego Wojewódzkiego Konserwatora Zabytków Delegatura w Krośnie z dnia 5 marca 2019 roku, znak K.ZA.5161.8.2019.ŁDZ.

W trakcie prac przebadano powierzchnię 140,78 ara i odkryto 225 obiektów (tabela 1.1.), w tym 102 jamy z materiałem pochodzącym z epoki brązu i wczesnej epoki żelaza, 64 obiekty z okresu wpływów rzymskich, 19 jam z okresu wczesnosłowiańskiego, 10 młodszych obiektów wczesnośredniowiecznych oraz 30 o nieokreślonej chronologii. W warstwach akumulacyjnych zarejestrowano również ceramikę neolityczną kultury trzcinieckiej, łużyckiej, z okresu wpływów rzymskich oraz pojedyncze zabytki krzemienne i kamienne.

Odkryte materiały zostały przedstawione według kolejności chronologicznej (neolit, kultura trzciniecka, kultura łużycka, okres rzymski, okres wczesnosłowiański, wczesne średniowiecze). Podczas opracowywania materiału część ceramiki została określona ogólnie jako pradziejowa. Dotyczy to fragmentów naczyń z obiektów oraz znalezionych luźno, najczęściej podczas eksploracji warstwy. W zdecydowanej większości ceramika ta pochodzi z okresu rzymskiego lub należy do zespołów typu

during the excavation of gravel before the research began. At the site (plot no. 181/10), excavations were carried out to identify the remains of prehistoric and the Early Middle Ages settlements. The works were fully financed by the Ministry of Culture and National Heritage in accordance with the contract no. NID/ARCHEO/1/19 of February 18, 2019. The research, commissioned by POLGRYS KRUSZYWA sp. z o.o. Sp.k., was carried out in the period between 5 April and 9 October 2019 by Mirosław Mazurek Archaeological Services Firm (Pracownia Archeologiczna Mirosław Mazurek), initially under the supervision of Michał Grabowski, and then Mirosław Mazurek. Archaeologists associated with the Firm: Konrad Drewniak, Anna Okoniewska, Jakub Pałys and Damian Pawłowski, and members of „Galicja" Exploration and Historical Association (Stowarzyszenie Eksploracyjno-Historyczne „Galicja"): Bartosz Musiał and Tadeusz Musiał also took part in the excavations. The scientific consultant was prof. dr hab. Michał Parczewski. All the activities at the site were performed in accordance with the decision of the Subcarpathia Province Monuments Conservator, branch in Krosno of March 5, 2019, ref. no. K.ZA.5161.8.2019. ŁDZ.

During the works, an area of 140.78 ares was investigated and 225 features were discovered (Table 1.1), including 102 pits with material from the Bronze Age and the Early Iron Age, 64 features from the Roman period, 19 pits from the early Slavic period, 10 younger features from the Early Middle Ages and 30 features with unidentified chronology. The accumulation layers also contained ceramics from the Neolithic, the Trzciniec culture, the Lusatian culture and from the Roman period, as well as some single flint and stone artefacts.

The discovered materials are presented in chronological order (the Neolithic, the Trzciniec culture, the Lusatian culture, the Roman period, the Early Slavic period, the Early Middle Ages). During material analysis, some of the pottery was generally identified as prehistoric. They were fragments of vessels from features and stray finds, most often discovered during the exploration of the layer. The vast majority of these ceramics come from the Roman period or belong to the Niepla

Tabela 1.1. Jabłonica Ruska, stan. 1. Zestawienie tabelaryczne poszczególnych kategorii zabytków ruchomych oraz obiektów z podziałem na fazy chronologiczne

Table 1.1. Jabłonica Ruska, site 1. Tabular list of categories of artefacts and features, divided into chronological phases

| | ZABYTKI | | | | OBIEKTY |
|---|---|---|---|---|---|
| | ceramika | zabytki kamienne i krzemienne | metale | inne | |
| epoka kamienia/epoka brązu | | 32 | | | |
| neolit | 64 | | | | |
| kultura trzciniecka | 13 | | | | |
| kultura łużycka | 4777 | | 1 | 11 | 102 |
| okres wpływów rzymskich | 2348 | | 11 | 142 | 64 |
| okres wczesnosłowiański | 656 | | 1 | 1 | 19 |
| okres wczesnośredniowieczny | 574 | | 3 | 1 | 10 |
| pradzieje | 1181 | | | | |
| chronologia nieokreślona | | | | | 30 |
| SUMA | 9613 | 32 | 16 | 155 | **225** |
| | **9816** | | | | |

Niepla. Powierzchnie tych fragmentów są najczęściej nierówne, „gruzełkowate", a w domieszce dominuje gruboziarnisty tłuczeń ceramiczny lub nieco rzadziej piasek. Jednoznacznie sklasyfikowanie tego materiału nie jest łatwe. Ponadto w grupie ceramiki pradziejowej znalazły się fragmenty naczyń o silnie zniszczonych powierzchniach lub wtórnie przepalone, czyli takie, które zatraciły swoje pierwotne cechy technologiczne.

type. The surfaces of these fragments are usually uneven, with pellets, and the admixture is dominated by coarse-grained ceramic crushed stone or, slightly less frequently, sand. It is not easy to accurately classify this material. Moreover, the collection of prehistoric pottery includes fragments of vessels with surfaces which are heavily damaged or burnt, i.e. fragments that lost their original technological features.

## 1.2. Historia badań

Stanowisko 1 w Jabłonicy Ruskiej zostało odkryte w dniu 28.07.1958 r. przez Józefa Janowskiego z Muzeum Regionalnego (obecnie Podkarpackiego) w Krośnie, w trakcie niedzielnej wycieczki terenowej, w okresie gdy prowadził niewielkie badania wykopaliskowe w rejonie Ulucza i Temeszowa (archiwum Działu Archeologicznego Muzeum Podkarpackiego w Krośnie, zeszyt MOK-A-D-5). Z powierzchni pola zebrano wówczas ponad 100 ułamków ceramiki prahistorycznej oraz wczesno- i późnośredniowiecznej (zbiory Muzeum Podkarpackiego w Krośnie, nr inw. MOK-A-63).

Kolejne badania na obszarze stanowiska przeprowadził w kwietniu 1980 r. Michał Parczewski wraz

## 1.2. Research history

Site 1 in Jabłonica Ruska was discovered on July 28, 1958 by Józef Janowski from the Regional Museum (Muzeum Regionalne) in Krosno, during a Sunday field trip, when he was carrying out small excavations near Ulucz and Temeszów (archives of Archaeological Department of the Subcarpathian Museum in Krosno, issue MOK-A-D-5). At that time, over 100 fragments of prehistoric and medieval pottery were collected from the field's surface (collection of the Subcarpathian Museum in Krosno, inv. no. MOK-A-63).

Another research in the area of the site was carried out in April, 1980 by Michał Parczewski together with students from the Institute of Archaeology

ze studentami z Instytutu Archeologii Uniwersytetu Jagiellońskiego przy współpracy z Elżbietą Pohorską-Kleją. Badania te były częścią większego projektu prac powierzchniowych w dolinie górnego Sanu. W ich trakcie uściślono niezbyt dokładną lokalizację stanowiska nr 1, a z powierzchni pola zebrano 2 odłupki krzemienne i ponad 70 ułamków naczyń prahistorycznych oraz wczesno- i późnośredniowiecznych (Parczewski 1984, s. 216, ryc. 17:1, 18:1-16; zbiory Muzeum Podkarpackiego w Krośnie, nr inw. MOK-A-379).

Jesienią tego samego roku (w dniach: 24.09––10.10.1980) grupa członków Koła Naukowego Studentów Archeologii UJ przeprowadziła pierwsze badania sondażowe na stanowisku. W skład ekipy, działającej pod kierownictwem Piotra Skupiewskiego (ówczesnego przewodniczącego Koła Naukowego Studentów Archeologii UJ), wchodzili m.in. studenci Renata Honkisz i Dominik Abłamowicz – w późniejszych latach małżeństwo badaczy ze znaczącym dorobkiem naukowym i stopniami doktorskimi. Michał Parczewski sprawował z ramienia Instytutu Archeologii UJ opiekę nad przedsięwzięciem. Na plan cypla nałożono siatkę arową. Wykopy zlokalizowano – kierując się lokalnym ukształtowaniem powierzchni – w dwóch strefach w zachodniej części stanowiska, na SW od drogi Jabłonica Ruska – Ulucz. W tej partii cypla płytkie zagłębienie naturalne, przebiegające w kierunku SE-NW, oddzielało od siebie niewielkie sfałdowania, rozmieszczone w części W (rejon wierzchołka cypla) i NW wspomnianej formy terenowej. Na obydwu wyniosłościach usytuowano wykopy: cztery o wymiarach po 5 × 5 m na garbie W (ary 156C, 177D, 257D) oraz dwa o wymiarach po 5 × 10 m na garbie NW (ary 144A, 144C, 304B, 304D). W części NW pod humusem odsłonięto warstwę kulturową o miąższości 30–40 cm. Jedynymi ujawnionymi obiektami archeologicznymi były trzy dołki posłupowe, rozpoznane w wykopie 5 (ar 144A). Zebrano łącznie (głównie w sektorze NW) ponad 230 ułamków naczyń prahistorycznych oraz wczesno- i późnośredniowiecznych, przęślik gliniany, gładziki kamienne, a także grudy polepy (Skupiewski 1982). W Muzeum Podkarpackim w Krośnie złożono materiał zabytkowy (nr inw. MOK-A-2526) oraz

of the Jagiellonian University in cooperation with Elżbieta Pohorska-Kleja. This research was part of a larger surface survey project in the Upper San Valley. During the research, the precise location of site 1 was found and 2 flint flakes and over 70 fragments of prehistoric and medieval vessels were collected (Parczewski 1984, p. 216, Figs. 17: 1, 18: 1–16; the collection of the Subcarpathian Museum in Krosno, inv. no. MOK-A-379).

In the autumn of the same year (September 24th to October 10th, 1980), a group of members of the Students of Archaeology Science Club of the Jagiellonian University carried out the first survey at the site. In the team, led by Piotr Skupiewski (then chairman of the Science Club), there were, among others students, Renata Honkisz and Dominik Abłamowicz – later a married couple and researchers with significant scientific achievements and PhD degrees. Michał Parczewski was responsible for the project on behalf of the Institute of Archeology of the Jagiellonian University. A grid was put on the plan of the promontory. The excavations were located – considering the shape of the surface – in two zones in the western part of the site, SW from the Jabłonica Ruska-Ulucz road. In this part of the promontory, a shallow, natural depression running along the SE-NW line separated small folds, located in the W part (promontory tip area) and in the NW part of the above-mentioned terrain form. On both folds, excavation units were situated: four 5 × 5 m on the W fold (ares 156C, 177D, 257D) and two 5 × 10 m on the NW fold (144A, 144C, 304B, 304D). In the NW part, a cultural layer, 30–40 cm thick, was discovered under the humus. The only discovered features were three postholes from excavation unit 5 (are 144A). In total (mainly in the NW sector) more than 230 fragments of prehistoric and medieval vessels were collected, as well as a clay spindle whorl, polishing stones, and pieces of daub (Skupiewski 1982). The material (inv. no. MOK-A-2526) and the field notebook (MOK-A-D-108) were deposited at the Muzeum Podkarpackie Krosno. A concise report on the results of works at Jabłonica Ruska 1 site was published (Skupiewski 1982). Not a long time later, Piotr Skupiewski gave up his course in archaeology at the Jagiellonian University

dziennik polowy (MOK-A-D-108). Opublikowano zwięzły raport o wynikach prac w Jabłonicy Ruskiej na stan. 1 (Skupiewski 1982). Piotr Skupiewski wkrótce przerwał studia archeologiczne w UJ i utracono z nim kontakt. Niestety, po skończeniu badań nie zdołano odzyskać ani planu stanowiska, ani dokumentacji rysunkowej i fotograficznej. Zebrane wówczas zabytki (głównie ceramika) pochodzą z epoki brązu lub wczesnej epoki żelaza, prawdopodobnie z wczesnego okresu lateńskiego (kultura kusztanowicka?), z późnego okresu rzymskiego oraz wczesnego średniowiecza (tu zwracają uwagę dwa brzegi naczyń wczesnosłowiańskich).

Kolejne badania poszukiwawcze na stanowisku 1 przeprowadził w dniu 8.04.1994 r. Michał Parczewski z grupą studentów archeologii UJ. Działano w ramach programu Archeologicznego Zdjęcia Polski (arkusz AZP 110-78; stanowisko 1 otrzymało identyfikator 110-78/25). Powierzchnia cypla była wówczas trudno dostępna do obserwacji, and was not heard from again. Unfortunately, after the completion of the research, neither the site plan, nor the drawings and photographic documentation were recovered. The artefacts collected at that time (mainly ceramics) come from the Bronze Age or the early Iron Age, probably from the early La Tène Period (Kushtanovytsya culture?), from the late Roman Period and the Early Middle Ages (two vessel rims from the early Slavic period stand out here).

Another field survey at site 1 was carried out on April 8, 1994 by Michał Parczewski and a group of students of archaeology from the Jagiellonian University. They participated in the Archaeological Map of Poland (AZP) program (AZP form 110-78; site 1 was assigned the ID 110-78/25). The surface of the promontory was difficult to observe at that time, as it was overgrown with weeds. The artefacts (a flint flake and 26 fragments of pottery, including several fragments from the Early Middle

Ryc. 1.2. Jabłonica Ruska, stan. 1. Widok na stanowisko w 1983 roku (fot. M. Parczewski) i w 2020 roku (fot. M. Mazurek) od strony północno-zachodniej (1, 2) i południowo-wschodniej (3, 4)
Fig. 1.2. Jabłonica Ruska, site 1. View of the site in 1983 (photo by M. Parczewski) and in 2020 (photo by M. Mazurek) from the north-west (1, 2) and from the south-east (3, 4)

gdyż stanowiła ugór porośnięty chwastami. Zabytki (odłupek krzemienny i 26 fragm. ceramiki zabytkowej, w tym kilka wczesnośredniowiecznych) znajdowano w kretowinach i naturalnych odsłonięciach gruntu. Zebrane materiały złożono w Muzeum Podkarpackim w Krośnie.

W dniu 11.04.2015 r. Aleksandra Sznajdrowska, Mirosław Mazurek i Michał Parczewski, przejeżdżając samochodem przez Jabłonicę Ruską, stwierdzili rozległe, głębokie wybierzyska, zajmujące północno-zachodnią, zachodnią (wierzchołkową) i południową część cypla, powstałe wskutek trwającej już od jakiegoś czasu eksploatacji kruszywa (ryc. 1.2.). Natychmiastowa interwencja administracyjna Podkarpackiego Wojewódzkiego Konserwatora Zabytków spowodowała wstrzymanie robót ziemnych.

## 1.3. Metody badawcze

Jak już wspomniano, przed przystąpieniem do prac wykopaliskowych znaczna część stanowiska była już naruszona przez roboty ziemne. Trzeba przy tym zaznaczyć, że w latach 2015–2018 właściciele żwirowni częściowo zasypali doły i wyrównali przekopany teren. Duży wykop o łącznej powierzchni ok. 140 arów zlokalizowano w centralnej i południowej partii cypla, na SW od drogi z Jabłonicy Ruskiej do Ulucza. W obrębie wykopu, w strefie rozciągającej się wzdłuż południowej krawędzi cypla – po zdjęciu ziemi nadsypanej tu po roku 2015 w związku z „rekultywacją" wyrobisk – stwierdzono zupełne zniszczenie warstwy kulturowej na przestrzeni ok. 40 arów. Teren nienaruszony w granicach wykopu, który można było poddać systematycznej eksploracji, liczył zatem ok. 100 arów. Obszar ten, rozciągnięty wzdłuż osi NWW-SEE, miał wymiary ok. 140 × 90 m.

W pierwszej kolejności zdjęto koparką (wyposażoną w łyżkę tzw. skarpówkę) warstwę orną, której głębokość sięgała miejscami poniżej 40 cm. W zachodniej części badanej partii stanowiska poniżej humusu zalegała ziemia na przemian jasno- i ciemnobrunatna, o słabo czytelnym wewnętrznym układzie (ryc. 1.3.). Jej miąższość silnie narastała w kierunku niewielkiego obniżenia, pierwotnie o wiele

Age) were found in molehills and places where the ground was naturally exposed. The collected materials were deposited at the Subcarpathian Museum in Krosno.

On April 11, 2015, Aleksandra Sznajdrowska, Mirosław Mazurek and Michał Parczewski, while driving through Jabłonica Ruska, found vast and deep excavations, in the north-west, west (top) and southern part of the promontory, created as a result of gravel mining (Fig. 1.2.). Immediate administrative intervention of the Subcarpathia Province Monuments Conservator resulted in the suspension of the mining.

## 1.3. Research methods

As already mentioned, before the excavations started, a significant part of the site had already been destroyed by gravel mining. It should be noted that in 2015-2018 the owners of the gravel mine partially filled the pits and levelled the area. A large excavation with a total area of approximately 140 ares was located in the central and southern part of the promontory, SW from the road from Jabłonica Ruska to Ulucz. Within the excavation, in the part stretching along the southern edge of the promontory – after removing the soil that was heaped there after 2015 as part of the „remediation" of the gravel mine process – completely destroyed cultural layer, in the area of approx. 40 ares, was discovered. Therefore, the area, within the boundaries of the excavation, that was not damaged and could be subject to systematic exploration, was approx. 100 ares. It stretched along the NWW – SEE axis and had dimensions of approx. 140 × 90 m.

First, the plough zone was removed with an excavator (equipped with a clean-up bucket), the depth of which was sometimes less than 40 cm. In the western part of the site, below the humus, there was soil with light and dark brown layers, with unclear internal layout (Fig. 1.3.). Its thickness increased visibly as it got closer to a small depression, originally

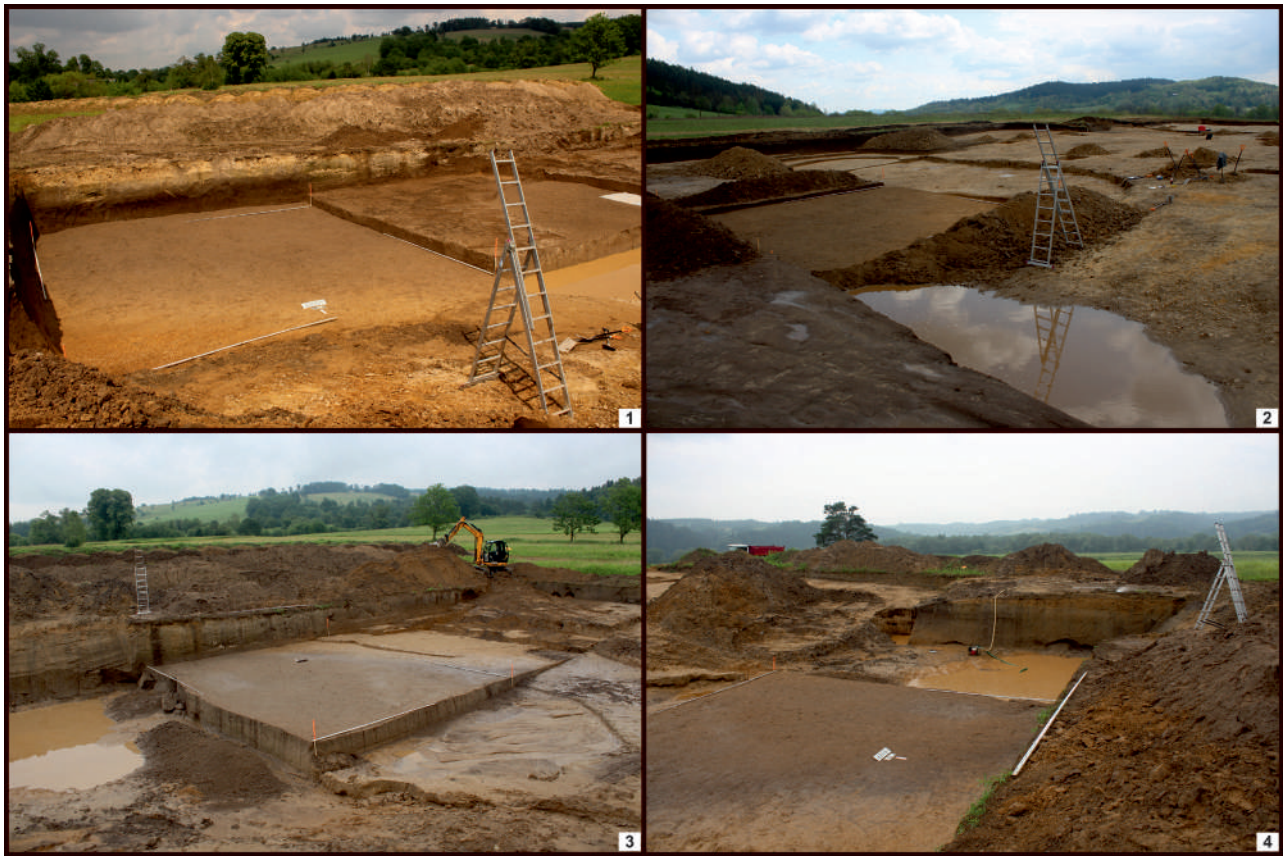

Ryc. 1.3. Jabłonica Ruska, stan. 1. Warstwa akumulacyjna w trakcie eksploracji
Fig. 1.3. Jabłonica Ruska, site 1. Accumulation layer during exploration

głębszego, którego dno opada od SE ku NW i dzieli cypel na część NE i SW. Utwór stratygraficzny zalegający pod ziemią orną, o średniej miąższości ok. 20–50 cm (ale w obrębie obniżenia w części NW wykopu znacznie większej), powstał zapewne wskutek akumulacji materiału spłukanego z wyższych, bardziej stromych wschodnich partii terenu, gdzie kulminuje wzgórze Dąbrowa (360 m n.p.m.). Pokład ciemno zabarwionych nawarstwień naturalnych o nieznanej chronologii mocno pogorszył warunki rozpoznawania przebiegu granic większości obiektów archeologicznych, gdyż zarysy płytszych jam (rejestrowanych jako skupiska kamieni i ceramiki, z towarzyszącymi niekiedy dołkami słupowymi) były bądź to zupełnie nieczytelne, bądź nader słabo uchwytne. W konsekwencji nie zawsze niestety była szansa określenia pierwotnej funkcji obiektu, a ponadto w niektórych przypadkach należy się liczyć z możliwością, że artefakty klasyfikowane jako pochodzące z obiektu mogą współwystępować z zabytkami późniejszymi, co jednak w większości

much deeper, the bottom of which slopes from the SE to the NW and divides the promontory into the NE and SW parts. The layer under the plough zone, with an average thickness of approx. 20–50 cm (but within the depression in the NW part of the excavation much thicker), was probably created as a result of the accumulation of material flushed from the higher and steeper eastern parts of the area, where the top of Dąbrowa hill (360 m.a.s.l.) is located. The layer of dark, natural sediments of unknown chronology made it significantly harder to identify the boundaries of most of the features, because the outlines of the shallower pits (recorded as clusters of stones and pottery, sometimes accompanied by postholes) were either impossible or very difficult to spot. As a consequence, unfortunately, there was not always a chance of determining the original function of a feature and, in some cases, one should take into account the possibility that artefacts which come from a given feature may have coexisted with younger artefacts, which, however, in most cases is

przypadków jest stosunkowo łatwe do weryfikacji, przynajmniej w odniesieniu do ceramiki.

Warstwy akumulacyjne eksplorowano ręcznie warstwami mechanicznymi wynoszącymi po 20 cm głębokości. Kolejne poziomy były plantowane i dokumentowane rysunkowo oraz fotograficznie. W trakcie prac wykonywano także planigrafię zabytków (za pomocą ręcznych pomiarów oraz GPS). Niektóre z obiektów, zwłaszcza w zachodniej części przebadanego obszaru, były mocno zniszczone w wyniku głębokiej orki. Po zadokumentowaniu odsłoniętych i wyplantowanych arów wyznaczano obiekty wziemne, które wyodrębniono na tle calca. Jamy i pozostałe obiekty dokumentowano na poziomie odkrycia fotograficznie i rysunkowo.

relatively easy to verify, at least when it comes to pottery.

Accumulation layers were explored manually using 20 cm deep arbitrary layers. Levels were levelled and documented – drawn and photographed. During the works, planigraphy of the artefacts was also carried out (using manual measurements and GPS). Some of the features, especially in the western part of the investigated area, were heavily damaged as a result of deep ploughing. After documenting the exposed and levelled ares, semi-sunken features were distinguished from the sterile earth. Pits and other features were documented – photographed and drawn – at the level of discovery.

## LITERATURA


Parczewski M.

1984 *Prahistoryczne i średniowieczne źródła archeologiczne z doliny górnego Sanu*, Część I: *odcinek Sanok–Wara*, „Acta Archaeologica Carpathica" 23, 175–224.

Skupiewski P.

1982 *Jabłonica*, „Recherches Archeologiques de 1980", 49–51.

PIOTR GĘBICA

# 2.
# Charakterystyka geomorfologiczna stanowiska archeologicznego nr 1 w Jabłonicy Ruskiej
# Geomorphological characteristics of the archaeological site no. 1 in Jabłonica Ruska

Stanowisko archeologiczne nr 1 w Jabłonicy Ruskiej położone jest w dolinie środkowego Sanu, około 16 km na północ od Sanoka. Pod względem podziału na jednostki geomorfologiczne stanowisko zlokalizowane jest we wschodniej części Pogórza Dynowskiego (Starkel 1972), określanego przez Kondrackiego (2009) jako Pogórze Przemyskie. Między doliną Sanu a Stupnicy został wydzielony mikroregion nazwany Płaskowyżem Cisowej (Starkel et al. 1973), natomiast obszar Pogórza Dynowskiego położony na zachód od stanowiska, łącznie z doliną Sanu, obejmuje tak zwane Garby Grabownickie. Najwyższe wysokości na wierzchowinach garbów w rejonie stanowiska sięgają ponad 500 m n.p.m., a najbliżej położone wzniesienie (na południowy wschód od Jabłonicy) wznosi się na wysokość 360 m n.p.m. Wysokości w dnie doliny Sanu na profilu hipsometrycznym, wykonanym na podstawie numerycznego modelu terenu (NMT), wahają się od 253 do 256 m n.p.m. (ryc. 2.1.), zatem różnice wysokości względnej sięgają ponad 100 m. Na północ od Sanoka do Dynowa, San przepływa przez szereg rozszerzeń (typu kotlin), gdzie występują szerokie terasy i zwężeń dolinnych (typu przełomów) w miejscach przecięcia odpornych stref antyklinalnych. Spadek koryta waha się od 3 do poniżej 0,15‰. Współczesne dno doliny Sanu zajmuje terasa rędzinna o wysokości 5–6 m i fragmenty terasy łęgowej (3–4 m nad poziom rzeki). Terasa rędzinna o szerokości 1–1,5 km w rejonie Jabłonicy Ruskiej jest dalszym ciągiem poziomu 5–7-metrowego z rejonu Uherzec, Zagórza i Sanoka (Starkel 1960; Dziewański, Starkel 1962; Gerlach et al. 1997). Na powierzchni

The archaeological site no. 1 in Jabłonica Ruska is located in the middle San river valley, about 16 km north of Sanok. In terms of division into geomorphological units, the site is located in the eastern part of the Dynów Foothills (Starkel 1972), referred to by Kondracki (2009) as the Przemyśl Foothills. A microregion called the Cisowa Plateau (Starkel et al. 1973) was distinguished between the San river valley and the Stupnica river valley, while the area of the Dynów Foothills located west of the site together with the San river valley, include the so-called Grabownickie Ridges (Garby Grabownickie). The highest tops of the ridges are elevated over 500 m above sea level, and to the south-east of Jabłonica, the closest ridge is elevated 360 m above sea level. The height of the San river valley floor in the hypsometric profile, made using the digital elevation model (DEM), ranges from 253 to 256 m above sea level (Fig. 2.1.), so the relative height between the floor of the San river valley and the closest ridges are over 100 m. Between the towns of Sanok and Dynów, the San river flows through basins with wide terraces, and narrow segments of valley (like gorges) where the river cuts resistant zones of anticlines. The gradient of the riverbed ranges from 3 ‰ to less than 0.15 ‰. The valley floor of the San river is terraced with a 5–6 m high overflood (rendzina) terrace and fragments of a floodplain (meadow terrace) (3–4 m above the river channel). The rendzina terrace, 1–1.5 km wide in the Jabłonica Ruska area, is the continuation of the 5–7 meter high terrace level from the area of Uherce, Zagórz and Sanok (Starkel 1960, Dziewański, Starkel 1962; Gerlach et al. 1997). On

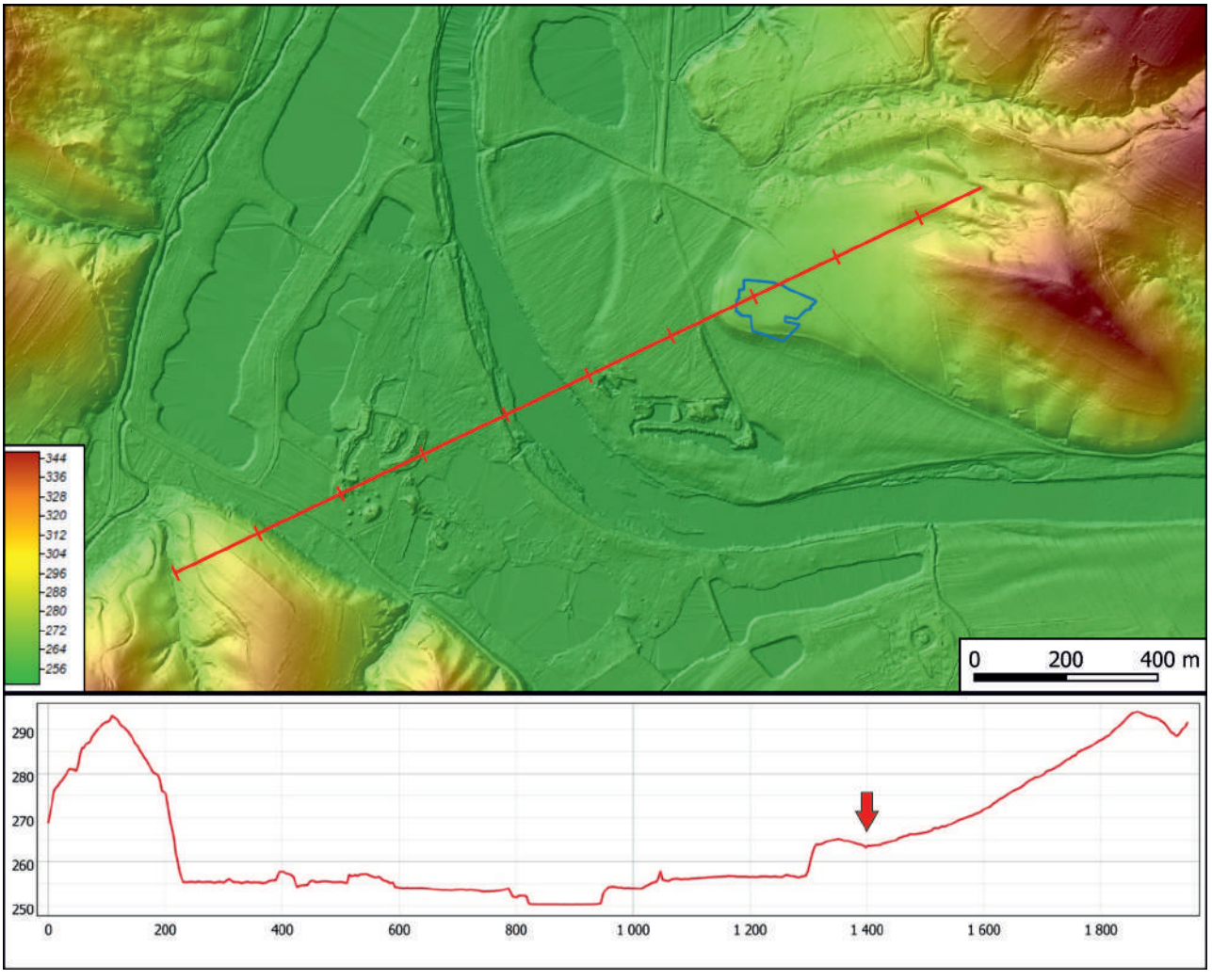


Ryc. 2.1. Jabłonica Ruska, stan. 1. Numeryczny model terenu oraz profil hipsometryczny z zaznaczoną lokalizacją stanowiska
Fig. 2.1. Jabłonica Ruska, site 1. Digital elevation model and hypsometric profile with marked location of the site

terasy łęgowej i rędzinnej występują starorzecza Sanu i wyrobiska po eksploatacji żwiru. Powyżej terasy rędzinnej wznoszą się listwy terasy nadzalewowej o wysokości 6–10 m nad poziom rzeki, pochodzącej z vistulianu. Podobny poziom terasy młodoplejstoceńskiej o wysokości od 6–7 m do 10–12 m, częściowo przykryty osadami stokowymi i lessem został opisany w dolinie Krzeczkowskiego potoku na Pogórzu Przemyskim (Alexandrowicz, Łanczont 1997). Na jednej z takich listew terasy vistuliańskiej o wysokości 13–14 m nad poziom koryta (264–265 m n.p.m.), podciętej z trzech stron przez San, położone jest stanowisko archeologiczne w Jabłonicy Ruskiej (ryc. 2.1.). Różnica wysokości między współczesnym dnem

the surface of the floodplain and rendzina terraces there are Holocene palaeochannels of San river and gravel mining pits. Above the rendzina terrace, there are strips of terrace that reaches a height of 6–10 m above the San river channel and comes from the Weichselian (Vistulian) glaciation. The Vistulian terrace of similar height, 6–7 m to 10–12 m above the river channel, partially covered with slope wash deposits and loess, was discovered in the Krzeczkowski Potok river valley in the Przemyśl Foothills (Alexandrowicz, Łanczont 1997). On one of such Vistulian terrace strips, 13–14 m above the level of the riverbed (264–265 m above sea level), undercut by the San river, there is an archaeological site in Jabłonica

doliny a terasą vistuliańską wynosi 8–9 m. Terasę ogranicza od strony wschodniej łagodnie nachylony stok (zbocze) doliny. Na powierzchni terasy w północnej części obszaru badanego przez archeologów i poza jego obrębem zaznacza się niewyraźne obniżenie (rynna) erozyjne o długości około 100 m i przebiegu z południowego wschodu na północny zachód. Rynna jest doskonale widoczna na numerycznym modelu terenu (NMT) (ryc. 2.1.). Przebieg tego obniżenia, które wypłyca się w kierunku SE, pokrywa się częściowo z występowaniem warstwy zaznaczonej na planie warstwicowym (ryc. 2.2.). Na południe od obszaru badań, w zasięgu stanowiska archeologicznego, znajdują się wyrobiska żwirowni.

Ruska (Fig. 2.1.). The relative height between the present valley floor and the Vistulian terrace is 8–9 m. The terrace is limited from the eastern side by a gently sloping valley wall. On the surface of the terrace, in the northern part of the archaeological site and outside of it, there is a poorly visible erosion depression (palaeotrough), about 100 m long, running from the south-east to the north-west. It is clearly visible in the digital elevation model (DEM) (Fig. 2.1.). The palaeotrough, which becomes shallower in the SE part, partially overlaps the cultural layer marked on the contour line map (Fig. 2.2.). To the south of the investigated area, within the archaeological site, there are gravel mine pits.

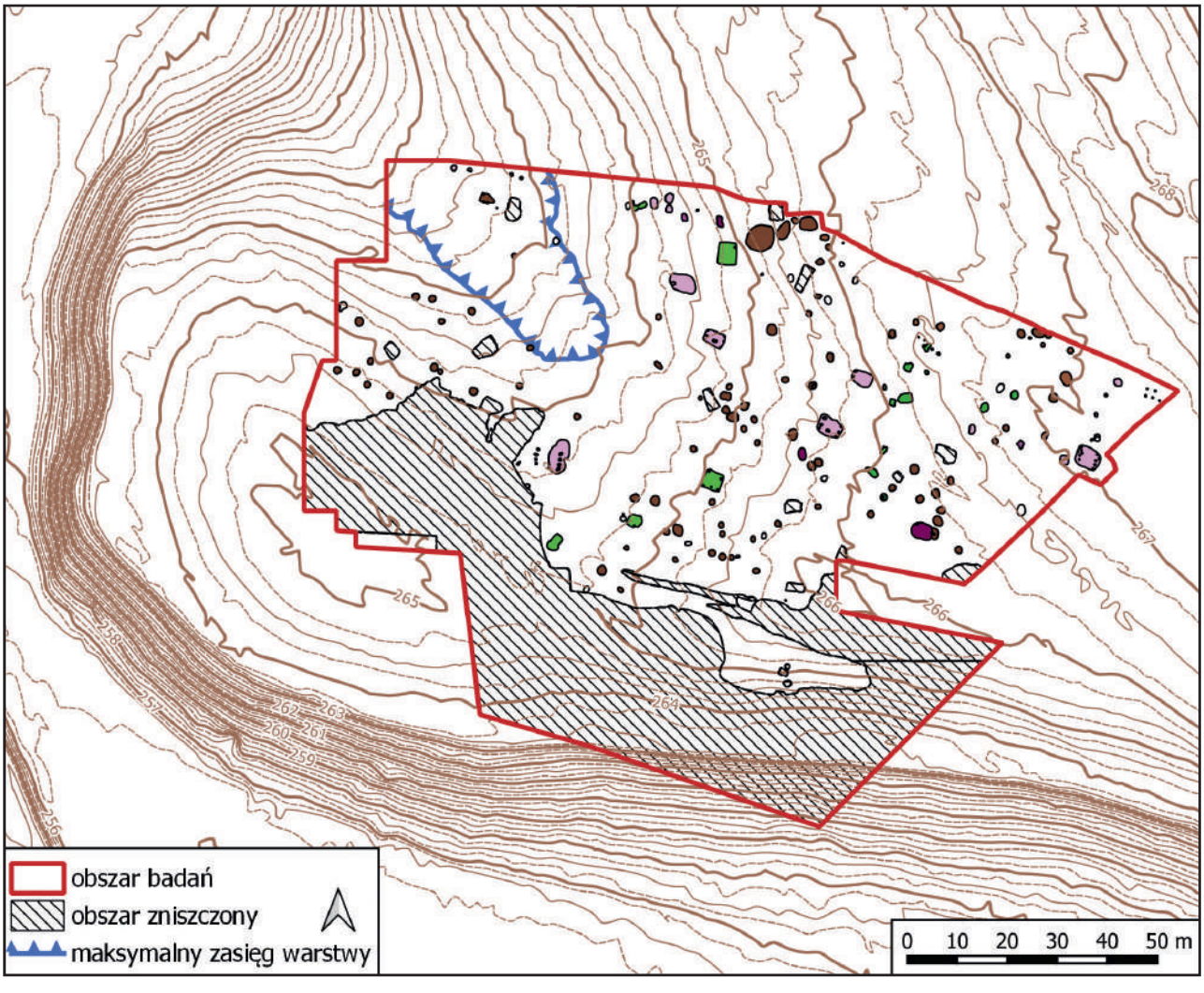


Ryc. 2.2. Jabłonica Ruska, stan. 1. Plan warstwicowy stanowiska z widocznym maksymalnym zasięgiem przebadanej warstwy
Fig. 2.2. Jabłonica Ruska, site 1. Contour plan of the site showing the maximum range of the investigated layer

Wykonane przez archeologów wkopy umożliwiły rozpoznanie budowy terasy i kopalnego obniżenia. We wschodniej płytszej części rynny widoczna jest w profilu 0,5-metrowa warstwa orna, pod którą występuje poziom próchniczny (humusowy) gleby kopalnej z licznymi kretowinami (ryc. 2.3: 1). Pod poziomem humusowym gleby kopalnej zaznaczają się zaburzone nieciągłe warstwy i soczewki jasnego materiału pylastego widoczne na ścianie północnej odkrywki. W kierunku północno-zachodnim miąższość osadów wypełniających kopalną rynnę zdecydowanie wzrasta (ryc. 2.3: 2). Na żwirach rzecznych słabo obtoczonych spoczywają mułki (pyły) pozakorytowe miąższości 0,2–0,3 m, na których rozwinęła się gleba kopalna z ciemnoszarym poziomem humusowym. Pyły pod glebą są zwięzłe, brunatnożółte, z licznymi żelazistymi zaciekami, świadczącymi o rozwoju procesów glebotwórczych. Spągowa część gleby na głębokości 4,4 m (ryc. 2.3: 3), obejmująca płytszą część rynny, jest wyraźnie zaznaczona w profilu (ściana północna – ryc. 2.3: 4), ma ciemnoszarą barwę, natomiast część stropowa gleby jest jaśniejsza i przechodzi niewyraźnie w nadległą warstwę pylastą. Między spągową a stropową częścią gleby kopalnej zaznaczają się wkładki jaśniejszego materiału pylastego. Strop gleby jest nierówny, nachylony zgodnie ze spadkiem kopalnej rynny. Starsza gleba kopalna jest oddzielona od młodszej gleby warstwą materiału pylastego miąższości około 0,7–0,8 m. Strop młodszej gleby kopalnej przykryty deluwiami, w odróżnieniu od starszej gleby, ma poziomy przebieg, zgodny z powierzchnią topograficzną terasy.

Geneza rysującego się na powierzchni terasy obniżenia erozyjnego na stanowisku archeologicznym w Jabłonicy Ruskiej może mieć związek z ekstremalnymi zdarzeniami powodziowymi w dolinie Sanu, na przykład zachodzącymi podczas powodzi zatorowych. Wody wezbraniowe wskutek zabarykadowania (zatamowania) odpływu w korycie głównym Sanu przez krę lodową, rozcięły pokrywę żwirową i utworzyły na równinie aluwialnej rynnę (koryto) przelewowe. Skutki morfologiczne powodzi zatorowych były obserwowane współcześnie w dorzeczu

The excavations made by archaeologists resulted in identifying the structure of the terrace and the palaeotrough. In the eastern, shallower part of the palaeotrough, under a 0.5-meter-thick plough layer, there is the humus horizon of paleosol with numerous molehills (Fig 2.3: 1). Below the humus horizon of paleosol, there are deformed lenses of light silt material visible on the northern wall of the outcrop. In the north-west direction, the thickness of the sediments filling the palaeotrough increases significantly (Fig 2.3: 2). On the poorly rounded river gravels, there are overbank silts with a thickness of 0.2–0.3 m, on which paleosol with a dark grey humus layer developed. The silts under the soil are dense, brown and yellow, with numerous iron stains, which are the result of soil-forming processes. The base part of the paleosol at a depth of 4.4 m (Fig 2.3: 3), including the shallower part of the palaeotrough, is clearly visible in the profile (northern wall – Fig 2.3: 4), it is dark grey, while the top part of the paleosol is lighter and turns gradually into the silt layer located above it. Between the base and the top part of the paleosol, there are patches of lighter silt material. The top of the paleosol is sloping in accordance with the gradient of the palaeotrough. Older paleosol is separated from the younger paleosol by a layer of silt material, about 0.7 – 0.8 m thick. The top of the younger paleosol covered with deluvia, unlike the older paleosol, is horizontal, parallel to the surface of the terrace.

The origin of the palaeotrough on the terrace at the archaeological site in Jabłonica Ruska may be related to the erosion resulting from extreme floods in the San river valley, for example ice jam floods. After floating river ice blocked the water flow in the main San riverbed, the floodwater cut through the gravel cover and created an overflow (by-passed) channel on the alluvial plain. The morphological effects of ice jam floods were observed in the upper San river basin (Klimek 1989). Basin-like valley floors located below gorges, where the overbank flow may split and form side overflow channels, are particularly vulnerable to this type of events. Since the palaeotrough in

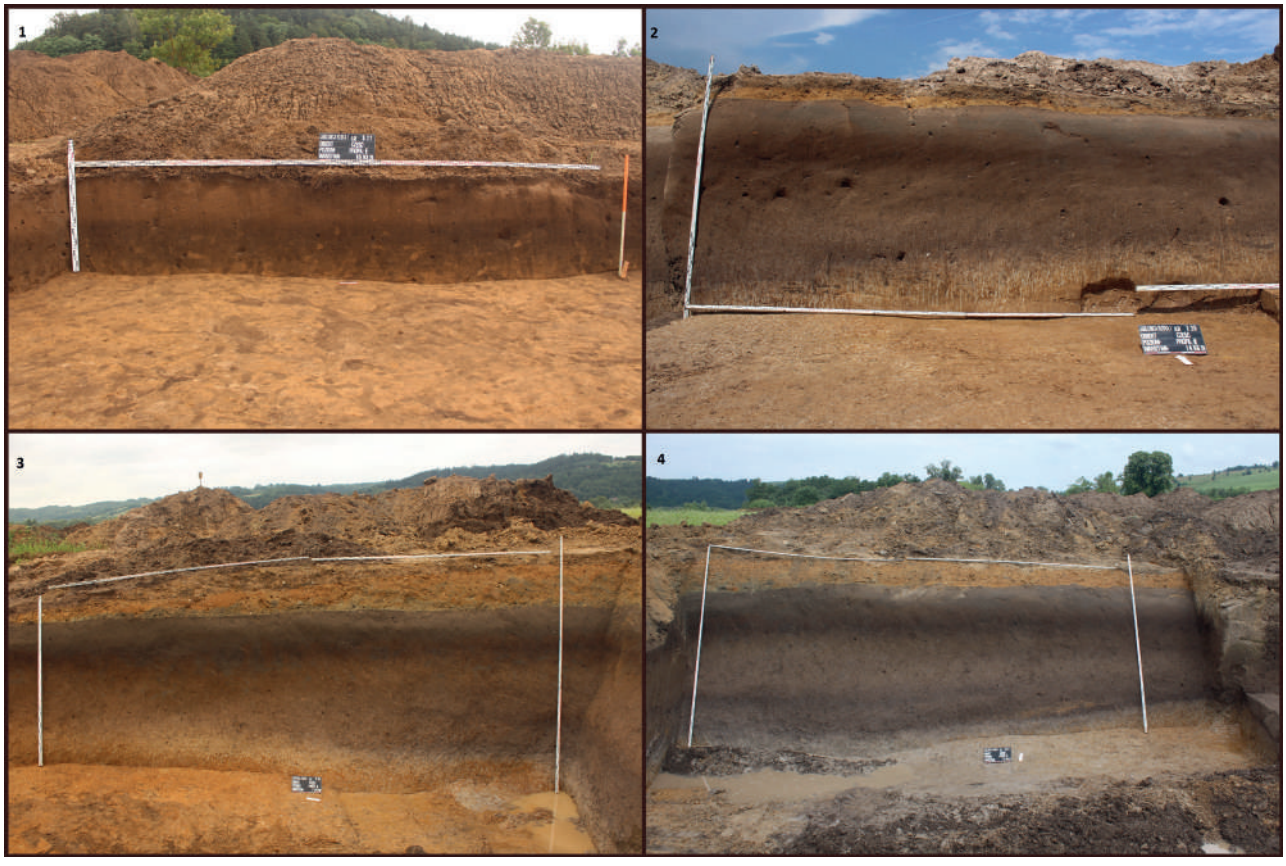

Ryc. 2.3. Jabłonica Ruska, stan. 1. Profile nawarstwień zadokumentowane w trakcie prac archeologicznych
Fig. 2.3. Jabłonica Ruska, site 1. Layer profiles documented during the archaeological excavation

górnego Sanu (Klimek 1989). Szczególnie narażone na tego typu zdarzenia są kotlinowate rozszerzenia w dnach dolin, poniżej odcinków zwężeń (przełomów), gdzie może dochodzić do rozdzielania przepływu pozakorytowego i tworzenia bocznych koryt przelewowych. Ponieważ rynna erozyjna w Jabłonicy wycięta jest w stropie terasy wieku vistuliańskiego, dlatego należy sądzić, że powstała w czasie gwałtownych roztopów u schyłku ostatniego glacjału (vistulianu) lub we wczesnym holocenie. Po rozcięciu równiny i erozji bocznej terasy przez meandrujące koryto Sanu w czasie katastrofalnych powodzi, zarówno terasa vistuliańska, jak i część rynny zostały zniszczone. W młodszym holocenie od początku gospodarczej działalności człowieka na stanowisku (epoka brązu/wczesna epoka żelaza) do średniowiecza, ale również w okresie nowożytnym, rynna była wypełniana głównie przez osady stokowe (deluwialne), wskutek erozji pokrywy glebowej na uprawnym stoku. Procesy spłukiwania gleby i akumulacja namywów zachodziły intensywnie

Jabłonica cuts the top of the Vistulian terrace, it should be assumed that it was formed during the violent snow melts at the end of the last glaciation (Late Vistulian) or in the early Holocene. After the alluvial plain was cut and the terrace was eroded by the meandering San river channel during the catastrophic floods, both the Vistulian terrace and part of the palaeotrough were destroyed. In the younger Holocene, from the beginning of human economic activity at the site (Bronze Age/Early Iron Age) to the Middle Ages, but also in the early modern period, the palaeotrough was filled mainly by slope (deluvial) deposits, due to the erosion of the soil cover on the cultivated slope. The soil wash processes and the accumulation of slope wash deposits took place intensively during violent rainfalls or snow melts in the Carpathians. During periods of relative stabilisation of slope processes or afforestation, humus horizons of soils were created. The current height of the terrace, 13–14 m above the San river channel, and

w czasie gwałtownych ulew lub roztopów w Karpatach. W okresach spokoju (w warunkach względnej stabilizacji procesów lub zalesienia stoku) powstawały poziomy humusowe. Obecna wysokość terasy równa 13–14 m nad poziom koryta Sanu, a zatem wyższa niż w rejonie Sanoka i Zagórza (7–10 m) (Gerlach et al. 1997), jest spowodowana nadbudową jej stropu przez osady stokowe (deluwialne), co jest zgodne z obserwacjami z innych odcinków doliny Sanu oraz jego dopływów na Pogórzu Przemyskim (Starkel 1962; Alexandrowicz, Łanczont 1997).

therefore higher than it is in the area of Sanok and Zagórz (7–10 m) (Gerlach et al. 1997), resulted from the fact that the top of the terrace was overbuilt by slope (deluvial) deposits, which is consistent with observations from other sections of the San river valley and its tributaries in the Przemyśl Foothills (Starkel 1962; Alexandrowicz, Łanczont 1997).

## LITERATURA


Dziewański J., Starkel L.
1962 *Dolina Sanu między Soliną a Zwierzyniem w czwartorzędzie*, „Prace Geograficzne" 36, 1–86.

Alexandrowicz S.W., Łanczont M.
1997 Punkt II.3 – *Krzeczkowa. Późnoplejstoceńskie aluwia i osady eoliczne w dolinie Krzeczkowskiego potoku na Pogórzu Dynowskim*, [w:] *Glacjał i peryglacjał Kotliny Sandomierskiej i przedgórza Karpat w okolicy Przemyśla*, Seminarium terenowe, Krasiczyn 22–24 września 1997, Lublin, 97–107.

Gerlach T., Starkel L., Szczepanek K.
1997 *Sites with organic interglacial deposits in the upper San river basin, Polish Eastern Carpathians*, „Studia Geomorphologica Carpatho-Balcanica" 31, Kraków, 30–44.

Klimek K.
1989 *Flood plain activity during floods in small mountain valleys, the Bieszczady Mts, the Carpathians*, „Quaestiones Geographicae" 2, 93–100.

Kondracki J.
2009 *Geografia regionalna Polski*, Warszawa, 1–444.

Starkel L.
1960 *Rozwój rzeźby Karpat fliszowych w holocenie*, „Prace Geograficzne" 22, 1–239.

1972 *Karpaty Zewnętrzne*, [w:] Klimaszewski M. (red.), *Geomorfologia Polski*, t. 1: *Polska południowa, góry i wyżyny*, Warszawa, 52–115.

Starkel L., Baumgart-Kotarba M., Kramarz K., Niemirowski M., Partyka J.
1973 *Cechy morfologiczne terenów reprezentacyjnych Karpat (uzupełnienie charakterystyki rzeźby Polskich Karpat)*, „Problemy Zagospodarowania Ziem Polskich" 12, 77–92.

JAKUB PAŁYS

# 3.
# Zabytki krzemienne i kamienne ze stanowiska Jabłonica Ruska 1
# Flint and stone artefacts from Jabłonica Ruska 1 archaeological site

Na stanowisku Jabłonica Ruska 1 znaleziono łącznie 32 zabytki wykonane technikami krzemieniarskimi. W tej ubogiej kolekcji kilka egzemplarzy można dopasować do konkretnej epoki. Jest to ważna informacja, tym bardziej że rzadko zdarza się, by w tak małym zbiorze znajdowano dystynktywne formy krzemieniarskie.

Znaleziska ze stanowiska wykonywano na różnych rodzajach surowców. Najczęściej był to margiel (18 egz.), rzadziej inne rodzaje skał krzemionkowych – rogowiec (3 egz.), różne rodzaje krzemienia: czekoladowy (1 egz.), wołyński (3 egz.) i nieokreślony (1 egz.). Stan ich zachowania był dobry, nie zarejestrowano śladów po ogładzeniach naturalnych ani spatynowania. Tylko jeden z zabytków był lekko przepalony.

Krzemienie znajdowano zarówno w warstwie akumulacyjnej, jak i w obiektach, chociaż trzeba zaznaczyć, że przedmioty z jam to zabytki redeponowane – czyli odkryte na złożu wtórnym. Pierwotnie zalegały one w innym miejscu, zostały jednak przemieszczone w wyniku działania czynników naturalnych, takich jak: ruchy gleby i skały macierzystej, płynąca woda lub wiatr.

W skład kolekcji wchodzi 16 zabytków określonych jako półsurowiec (14 odłupków i 2 wióry), 3 odłupki retuszowane, 1 wiórowiec, 1 drapacz wykonany na wiórowcu, narzędzie w typie małego noża (?), 1 fragment niewielkiej czworościennej siekierki, 4 fragmentarycznie zachowane osełki, 2 płytki szlifierskie oraz 3 okruchy.

W niewielkim zbiorze debitażu próżno szukać wyjątkowych cech. Nie znaleziono w nim okazów

At Jabłonica Ruska 1 archaeological site, a total of 32 artefacts which were made with the use of flint processing techniques were found. In the rather small collection, only a few items can be assigned to a specific era. It is an important piece of information as in such small collections, distinctive flint forms are rarely found.

The finds from the site were made of various types of raw materials. The most common material was marl (18 items) but there were also artefacts made of other types of siliceous rocks like chert (3 items), various types of flint: chocolate (1 item), Volhynian (3 items) and unidentified (1 item). They were in good state of preservation, with no traces of naturally occurring polish or patina. Only one of the artefacts was slightly burnt.

Flint materials were found both in the accumulation layer and in the features, although it should be noted that the artefacts from the pits were redeposited – that is, they were discovered in the secondary context. Originally, they were located elsewhere to be, then, moved as a result of natural factors such as: soil and parent rock movements, flow of water or wind.

The collection includes 16 items identified as blanks (14 flakes and 2 blades), 3 retouched flakes, 1 retouched blade, 1 endscraper on a retouched blade, a tool that looks like a small knife (?), 1 fragment of a small axe with a quadrilateral cross-section, fragments of 4 whetstones, 2 polishing tablets and 3 chunks.

There were no characteristic features in the small collection of debitage. Neither finds that came from double platform cores nor specific

pochodzących z rdzeni dwupiętowych ani technicznych form.

Ciekawsze wydają się narzędzia krzemienne, z których trzy pierwsze to odłupki retuszowane. Jeden z nich, wykonany z nieokreślonego rodzaju skały krzemionkowej, może być pewnym rodzajem margla. Na jego prawej krawędzi znajduje się bardzo płaski retusz, zachodzący na stronę dolną. Retusz ten wygląda na dwuseryjny. Takie narzędzia występują przez całe pradzieje – nie jest to charakterystyczny wyrób krzemieniarski. Drugi odłupek retuszowany został wykonany z margla. Bardzo drobno retuszowana jest jedna z jego krawędzi oraz wierzchołek. Ostatni tego rodzaju zabytek to długi, masywny odłupek z częściowo zaretuszowanym wierzchołkiem (tabl. 3.2: 6).

Kolejne narzędzie to bardzo starannie wykonany wiórowiec z krzemienia czekoladowego. Nie ma na nim śladów dwupiętowości i zachowany jest on w odcinkach środkowym i wierzchołkowym. Wiórowiec posiada retusz półstromy, miejscami dwuseryjny i właśnie w tych miejscach widoczne jest delikatne pofalowanie krawędzi (tabl. 3.1: 3). Narzędzie można powiązać z epoką neolitu (Wilczyński 2014, s. 463).

Następny okaz to drapacz na wiórowcu wykonany na szerszym wiórze z krzemienia wołyńskiego. Jego prawa krawędź posiada retusz stromy, podobny do zębatego. Z lewej strony widoczny jest natomiast retusz półstromy. Na lewą krawędź częściowo zachodzi również drapisko drapacza uformowanego na wierzchołku wióra. Samo drapisko jest niewysokie i strome (tabl. 3.1: 1). Takie cechy były typowe dla zabytków z młodszej epoki kamienia (Wilczyński 2014, s. 463).

Ostatni zabytek z tej grupy to narzędzie w typie bardzo niewielkiego, nieregularnego noża (?), wykonane z krzemienia wołyńskiego. Narzędzie posiada retusz obu krawędzi zachodzący, miejscami bardzo wyraźnie, na jego stronę górną. Retusz powierzchniowy jest płaski, staranny i biegnie on ukośnie do osi zabytku (tabl. 3.1: 2). Narzędzie może pochodzić z epoki neolitu lub brązu.

W trakcie badań znaleziono także kilka przedmiotów wykonanych na nieokreślonych kamieniach. Były to 2 płytki szlifierskie, 4 fragmenty

blanks obtained during preparation of cores were found in it.

Flint tools, the first three of which are retouched flakes, seem to be more interesting. The first of them, made of an unidentified type of siliceous rock, may be a type of marl. On its right edge, there is a very flat retouch that overlaps the bottom side. The retouch looks biserial. Such tools were around for a long time – it is not a characteristic flint piece. The second retouched flake was made of marl. One of its edges and the distal end have a very delicate retouch. The last artefact of this type is a long, massive flake with a partially retouched distal end (Plate 3.2: 6).

The next tool is a very carefully processed chocolate flint retouched blade. It is not an overpassed blade and only its middle and distal end parts are preserved. The retouched blade has semi-abrupt retouch with some biserial retouch sections where slight undulation of the edge is visible (Plate 3.1: 3). The tool can be connected with the Neolithic (Wilczyński 2014, p. 463).

The next piece is an endscraper on a wider retouched blade made of Volhynian flint. Its right edge has an abrupt retouch, similar to a denticulate one while on the left side, a semi-abrupt retouch is visible. The left edge is also partly overlapped by the endscraper front that is formed on the distal end of the blade. The endscraper front itself is low and abrupt (Plate 3.1: 1). Such features were typical of artefacts from the Neolithic (Wilczyński 2014, p. 463).

The last artefact in this group is a tool which looks like a kind of a very small, irregular knife (?) and it is made of Volhynian flint. The tool has a retouch on both edges. There are parts of the retouch which overlap, some of them very clearly, the upper part of the tool. The surface retouch is flat, carefully made and it goes diagonally to the axis of the artefact (Plate 3.1: 2). The tool may date back to the Neolithic or the Bronze Age.

During the archaeological research, several items made of unidentified stones were also found. These were 2 polishing tablets, 4 fragments of whetstones and a small, damaged, marl axe with a quadrilateral cross-section (Plate 3.2: 7).

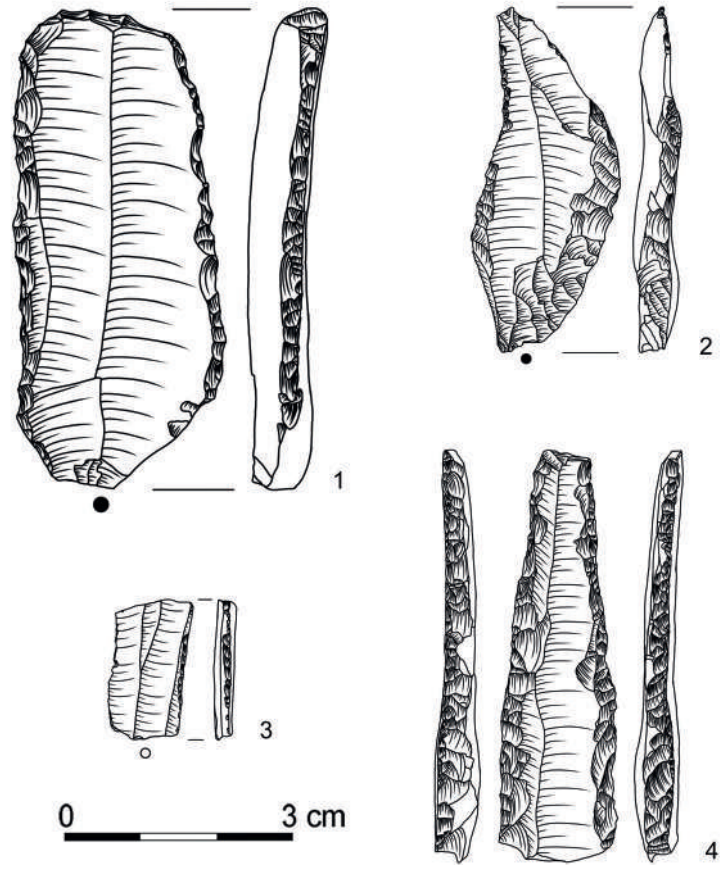


Tabl. 3.1. Jabłonica Ruska, stan. 1. Zabytki krzemienne i kamienne odkryte na złożu wtórnym w obiektach nr 127 (1) i 157 (2) oraz z powierzchni arów: I26 (3) i H27 (4)
Plate 3.1. Jabłonica Ruska, site 1. Flint and stone artefacts discovered in the secondary deposit in features 127 (1) and 157 (2) and found in ares: I26 (3) and H27 (4)

osełek oraz uszkodzona, niewielka siekierka czworościenna wykonana z margla (tabl. 3.2: 7).

Oba kamienie szlifierskie były w przybliżeniu prostokątne. Wykonane one zostały na nieokreślonym rodzaju skały (tabl. 3.2: 1, 9), a ich grubość nie przekracza 2 cm. Na krawędziach i na rogach widoczne są ślady pracy narzędzia. Takie zabytki wykorzystywano już od młodszej epoki kamienia (Jórdeczka, Pyżewicz 2015, s. 185).

Fragmentarycznie zachowane osełki (4 egzemplarze) również wykonano z nieokreślonego typu kamienia. Można tu wyróżnić okazy o przekroju, w przybliżeniu, prostokątnym, owalnym, jak i nieregularnym (tabl. 3.2: 2, 3, 5, 8). Takie zabytki występują zarówno w inwentarzach neolitycznych, jak i w późniejszych (Jórdeczka, Pyżewicz 2015, s. 185).

Both polishing tablets had rectangle-like shapes. They were made of an unidentified type of rock (Plate 3.2: 1, 9) and their thickness does not exceed 2 cm. There are visible traces of use on the edges and corners of the tablets. Such artefacts started to be used in the Neolithic (Jórdeczka, Pyżewicz 2015, p. 185).

The fragments of 4 whetstones were also made of an unidentified type of stone. Their cross-sections are rectangle-like, oval-like as well as irregular (Plate 3.2: 2, 3, 5, 8). Such artefacts appear both in the Neolithic inventories and in later ones (Jórdeczka, Pyżewicz 2015, p. 185).

The last three finds are chunks, i.e. fragments of siliceous rock with visible removal scars.

Summing up this small collection, a few issues must be mentioned. The first one is the large

Tabl. 3.2. Jabłonica Ruska, stan. 1. Zabytki krzemienne i kamienne z powierzchni arów: R32 (1), X29 (2), U29 (3), L32 (4), P31 (5), T31 (6), J25 (7), S28 (8), O30 (9)

Plate 3.2. Jabłonica Ruska, site 1. Flint and stone artefacts found in ares: R32 (1), X29 (2), U29 (3), L32 (4), P31 (5), T31 (6), J25 (7), S28 (8), O30 (9)

Ostatnie trzy okazy to okruchy, czyli fragmenty skały krzemionkowej z widocznymi negatywami po odbitym wcześniej debitażu.

Podsumowując ten niewielki zbiór, należy zwrócić uwagę na kilka rzeczy. Pierwsza z nich to duży udział margla w materiale. Jest to skała popularna zarówno na Pogórzu Dynowskim, jak i na Pogórzu Przemyskim, więc korzystano z niej podczas produkcji doraźnej. Druga kwestia dotyczy narzędzi wykonanych technikami łupania – wykonano je głównie z krzemieni, czyli surowca lepiej nadającego się do produkcji retuszowanych przedmiotów. Dotyczy to przede wszystkim narzędzi wykonanych na wiórach, takich jak wiórowce czy drapacze. Ostatnia uwaga dotyczy okresu powstania tych zabytków. Na stanowisku odkryto materiały i jamy z wielu epok, prawdopodobne jest zatem, że zabytki krzemienne pochodzą z młodszej epoki kamienia, a te wykonane z margla powstały w epoce brązu. Różnica między krzemieniarstwem neolitycznym a brązowym jest bardzo duża – w epoce brązu często korzystano z lokalnych skał oraz wytwarzano bardziej uniwersalne narzędzia z odłupków. Te fakty wpasowują się w całościowy obraz zbioru zabytków odkrytych na stanowisku 1 w Jabłonicy Ruskiej.

amount of marl in the material. As it is a common rock, both in the Dynów Foothills and in the Przemyśl Foothills, it was used in ad hoc production. The second issue concerns tools made with knapping techniques - they were made mainly of different types of flint, i.e. a raw material which is better for the production of retouched items. This mainly applies to tools made of blades, such as retouched blades or endscrapers. The last issue concerns the time when these artefacts were made. As the materials and pits discovered at the site date back to different periods, the flint finds are likely to come from the Neolithic, and the marl ones were probably made in the Bronze Age. The difference between the Neolithic and the Bronze Age flint working is large - in the Bronze Age, local rocks were often used and more universal tools were made of flakes. These facts match the overall picture of the collection of artefacts discovered at the archaeological site 1 in Jabłonica Ruska.

## LITERATURA


Jórdeczka M., Pyżewicz K.

2015 *Analiza neolitycznych przedmiotów kamiennych*, [w:] Marciniak A., Sobkowiak-Tabaka I., Bartkowiak M., Lisowski M. (red.), *Kopydłowo, stanowisko 6. Osady neolityczne z pogranicza Kujaw i Wielkopolski*, Poznań–Pękowice, 193–208.

Wilczyński J.

2014 *Neolityczne materiały kamienne z wielokulturowego stanowiska 10, 11 w Targowisku, pow. wielicki*, [w:] Zastawny A. (red.), *Targowisko, stan. 10, 11 osadnictwo z epoki kamienia*, Kraków, 255–292.

ALEKSANDRA SZNAJDROWSKA-PONDEL

# 4.
# Materiał ceramiczny kultury pucharów lejkowatych odkryty na stanowisku Jabłonica Ruska 1
# Pottery of the Funnel Beaker Culture discovered at Jabłonica Ruska 1 archaeological site

Niewielki zbiór naczyń (64 fragmenty) ze stanowiska nr 1 w Jabłonicy Ruskiej uznano za neolityczny (tabl. 4.1). W większości jest to materiał spoza obiektów, z eksploracji „warstwy". Zaledwie kilka skorup zalegało na złożu wtórnym w młodszych chronologicznie jamach. Najczęściej mamy do czynienia z drobnymi ułamkami ceramiki, które rzadko pozwalają na określenie formy naczynia.

Powierzchnie tych skorup zazwyczaj są mączyste, jasnoszaro-brunatne, rzadziej szare. W domieszce niepodzielnie dominuje szamot. Czasem towarzyszą mu pojedyncze ziarna piasku lub tłucznia kamiennego.

Wśród fragmentów charakterystycznych zwraca uwagę obecność naczynia na niskiej, pustej nóżce (tabl. 4.1: 13) oraz dużego, taśmowatego ucha (tabl. 4.1: 9). Część brzegów jest silnie wychylona na zewnątrz jak u pucharów (tabl. 4.1: 7, 8).

Najczęstszym motywem ornamentacyjnym są listwy plastyczne, czasem karbowane lub zaopatrzone w dołki palcowe (tabl. 4.1: 15, 17, 19). Niekiedy ornament jest silnie zatarty na ścieralnych powierzchniach skorup (np. tabl. 4.1: 21). W zebranym materiale nie ma fragmentów zdobionych stempelkiem.

Technologia naczyń oraz pojedyncze charakterystyczne elementy zdobnicze wskazują, że mamy w tym przypadku do czynienia z materiałem kultury pucharów lejkowatych.

W trakcie badań wykopaliskowych nie odkryto obiektów osadowych związanych z tą kulturą. Zarejestrowany materiał wskazuje jednak na możliwość funkcjonowania na obszarze stanowiska

A small collection of vessels (64 fragments) from the archaeological site no. 1 in Jabłonica Ruska was connected with the Neolithic (Plate 4.1). Most of them were found outside the features, during the exploration of the „layer". Only a few fragments were discovered in the secondary deposit, in chronologically younger pits. Most of them are small pieces of ceramics which rarely help to identify the vessel they come from.

Surfaces of the fragments are usually earthy, light grey-brown, less often grey. The dominating admixture is fireclay, sometimes with single grains of sand or crushed stone.

Among the characteristic fragments, there is a vessel on a low, empty stem (Plate 4.1: 13) and a large, band handle (Plate 4.1: 9). Some of the rims are strongly everted, like in beakers (Plate 4.1: 7, 8).

The most common ornaments are plastic bands, sometimes with notches or finger imprints (Plate 4.1: 15, 17, 19). Some ornaments on the abradable surfaces of the fragments are severely worn (e.g. Plate 4.1: 21). There are no fragments decorated with stamp imprints in the collected material.

Both the technology used to make the vessels and some characteristic ornaments on them indicate that the materials belong to the Funnel Beaker culture.

During the excavation, no settlement features related to this culture were discovered. However, the material found indicates the possibility of a short term Neolithic camp functioning in the area. The traces of the camp might have

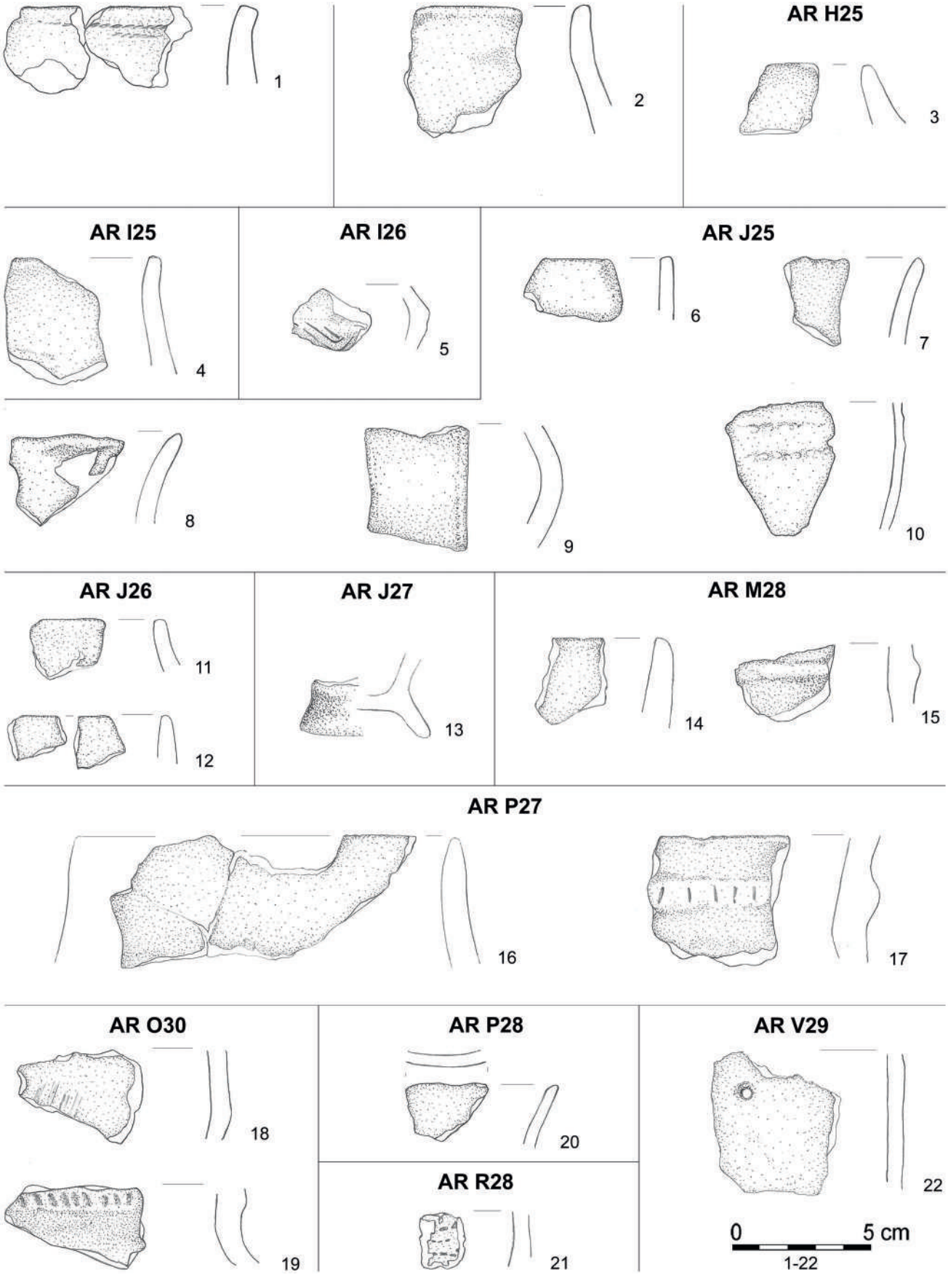


Tabl. 4.1. Jabłonica Ruska, stan. 1. Zabytki ceramiczne odkryte na złożu wtórnym w obiektach nr 139 (1) i 157 (2) oraz znalezione na powierzchni arów: H25 (3), I25 (4), I26 (5), J25 (6 - 10), J26 (11, 12), J27 (13), M28 (14, 15), P27 (16, 17), O30 (18, 19), P28 (20), R28 (21) i V29 (22)

Plate. 4.1. Jabłonica Ruska, site 1. Pottery discovered in the secondary deposit in features 139 (1) and 157 (2) and found in ares: H25 (3), I25 (4), I26 (5), J25 (6 - 10), J26 ( 11, 12), J27 (13), M28 (14, 15), P27 (16, 17), O30 (18, 19), P28 (20), R28 (21) and V29 (22)

krótkotrwałego obozowiska społeczności neolitycznej. Ślady te mogły zostać częściowo zniszczone przez późniejsze, kilkukrotnie pojawiające się w tym miejscu osadnictwo lub też przez naturalne procesy erozyjne.

Zaskakująca jest lokalizacja pozostałości osadnictwa kultury pucharów lejkowatych nisko, w obrębie terasy nadzalewowej, w niewielkiej odległości od rzeki. W tym czasie jest to raczej rzadko spotykane. W pasie karpackich pogórzy na stanowiska kultury pucharów lejkowatych natrafiamy przede wszystkim na kulminacjach wzniesień albo przynajmniej w wyższych, lekko wypłaszczonych partiach stoków (np. Gancarski 1992; Gedl 1995, s. 25–26, ryc. 19–20; 1998, s. 32–36; Poradyło 2003; Dobrzyński et al. 2014, s. 251, ryc. 2). Zauważalna jest również tendencja do zakładania tych osad w pewnym oddaleniu od dolin większych rzek (Nowak 1998, s. 92).

Do tej pory udało się zarejestrować dość liczne ślady osadnictwa ludności kultury pucharów lejkowatych w strefie pogórzy obejmujących górne dorzecze Sanu (Valde-Nowak 1988, s. 25–28, ryc. 4; Zych 2008, s. 226–227, mapa 1). Część z nich ma charakter znalezisk luźnych.

been partially destroyed by later settlement appearing there several times or by natural erosion.

The location of the remains of the Funnel Beaker culture settlement – low, on a terrace, not far from the river – is surprising. During that period, it was rather rare. In the Carpathian foothills, the Funnel Beaker culture sites are found primarily on the tops of hills or, at least, on the higher, flatter parts of slopes (e.g. Gancarski 1992; Gedl 1995, pp. 25–26, Fig. 19–20; 1998, pp. 32–36; Poradyło 2003; Dobrzyński et al. 2014, p. 251, Fig. 2). There was also a noticeable tendency to establish such settlements at a certain distance from the valleys of larger rivers (Nowak 1998, p. 92).

So far, it has been possible to find quite a lot of traces of the Funnel Beaker Culture settlement in the foothills in the Upper San River basin (Valde-Nowak 1988, pp. 25–28, Fig. 4; Zych 2008, pp. 226–227, Map 1). Some of them are stray finds.

## LITERATURA


Dobrzyński M., Parczewski M., Piątkowska K., Rybicka M.

2014 *Zabytki kultury pucharów lejkowatych z miejscowości Jasienica Sufczyńska, stan. 5, na Pogórzu Przemyskim*, „Materiały i Sprawozdania Rzeszowskiego Ośrodka Archeologicznego" 35, 249–258.

Gancarski J.

1992 *Sondażowe badania wykopaliskowe na stanowisku nr 1 w Przybówce, gm. Wojaszówka*, [w:] Muzyczuk A., Ginalski J. (red.), *Badania archeologiczne w województwie krośnieńskim w latach 1990–1991*, Krosno, 43–47.

Gedl M.

1995 *Badania archeologiczne we wschodniej części Pogórza Dynowskiego*, „Rocznik Przemyski" 31/1, Archeologia, 23–46.

1998 *Wyniki badań powierzchniowych na Pogórzu Dynowskim*, [w:] Gancarski J. (red.), *Dzieje Podkarpacia*, t. 2, Krosno, 31–38.

Nowak M.

1998 *Karpackie osadnictwo kultury pucharów lejkowatych (KPL)*, [w:] Gancarski J. (red.), *Dzieje Podkarpacia*, t. 2, Krosno, 89–98.

Poradyło W.
2003 *Odkrycie osady kultury pucharów lejkowatych w Hołuczkowie na Pogórzu Przemyskim*, „Rocznik Przemyski" 39/2, Archeologia, 141–146.

Valde-Nowak P.
1988 *Etapy i strefy zasiedlenia Karpat polskich w neolicie i na początku epoki brązu*, Wrocław–Warszawa––Kraków.

Zych R.
2008 *Kultura pucharów lejkowatych w Polsce południowo-wschodniej*, Rzeszów.

KONRAD DREWNIAK

# 5.
# Ślady osadnictwa kultury trzcinieckiej na stanowisku Jabłonica Ruska 1
# Traces of the Trzciniec culture settlement at Jabłonica Ruska 1 archaeological site

Obecność kilku charakterystycznych brzegów o pogrubionej i skośnie ściętej na zewnątrz krawędzi (tabl. 5.1: 1–4, 6) świadczy o penetracji terenu stanowiska w Jabłonicy Ruskiej przez ludność kultury trzcinieckiej. Materiał ten znaleziono na złożu wtórnym lub luźno, poza obiektami, w warstwie lub na hałdach zebranego humusu. Jak do tej pory nie zarejestrowano w Jabłonicy Ruskiej jam związanych ze starszym okresem epoki brązu, a co za tym idzie, nie potwierdzono bardziej trwałych form osadnictwa.

Odkryta ceramika zarówno pod względem technologicznym, jak i typologiczno-morfologicznym w miarę dobrze odpowiada zespołom kultury trzcinieckiej (Gardawski 1959, s. 17–18). Glinę, z której wylepiano naczynia, schudzano domieszką tłucznia kamiennego. Powierzchnie skorup są gładkie, choć czasem zniszczone.

Fragmenty brzuśca jednego z naczyń zdobione są szerokimi, poziomymi i łukowatymi bruzdami (tabl. 5.1: 5). Ornament taki pojawia się dość często na ceramice kultury trzcinieckiej (np. Górski 2018, ryc. 23: 5, 50: 1, 6, tabl. XII, 4). Nie zauważono natomiast w Jabłonicy charakterystycznych dla tego okresu poziomych listew plastycznych.

Osadnictwo kultury trzcinieckiej we wschodniej części polskich Karpat oraz na ich północnym, lessowym przedpolu zostało dobrze rozpoznane (Blajer 1985; Gedl 1998). Ludność tej kultury wnikała w głąb gór głównie doliną Sanu, raczej nie zasiedlając samych pogórzy, a tym bardziej Beskidów i Bieszczad.

Jabłonica Ruska 1 nie jest najdalej wysuniętym ku południowi punktem, gdzie odkryto naczynia

The presence of several characteristic vessel rims, thick and cut at an oblique angle on the outside (Plate 5.1: 1-4, 6), proves that the site in Jabłonica Ruska was penetrated by the Trzciniec culture people. The material consists of secondary deposit finds and stray finds discovered outside the features, in the layer or on heaps of humus. So far, no pits related to the older Bronze Age were found in Jabłonica Ruska, and therefore no more permanent forms of settlement were discovered.

The discovered pottery, both in terms of the production technology and the typology and morphology, are quite similar to materials found at other Trzciniec culture sites (Gardawski 1959, pp. 17-18). The clay used to make the vessels was tempered with an admixture of crushed stone. The surfaces of the vessel fragments are smooth, although some of them are damaged.

Fragments of the body of one of the vessels are decorated with wide, horizontal, arched flutes (Plate 5.1: 5). Such ornaments appear quite often on Trzciniec culture pottery (e.g. Górski 2018, Fig. 23: 5, 50: 1, 6, Plate XII, 4). On the other hand, horizontal plastic bands, which are characteristic of that period, were not found in Jabłonica.

The Trzciniec culture settlement in the eastern part of the Polish Carpathians and in their northern loess foreland was thoroughly researched (Blajer 1985; Gedl 1998). The people of this culture got far into the mountains, mainly spreading along the San river valley. They tend to, however, avoid settling in the foothills, and especially in the Beskids and the Bieszczady Mountains.

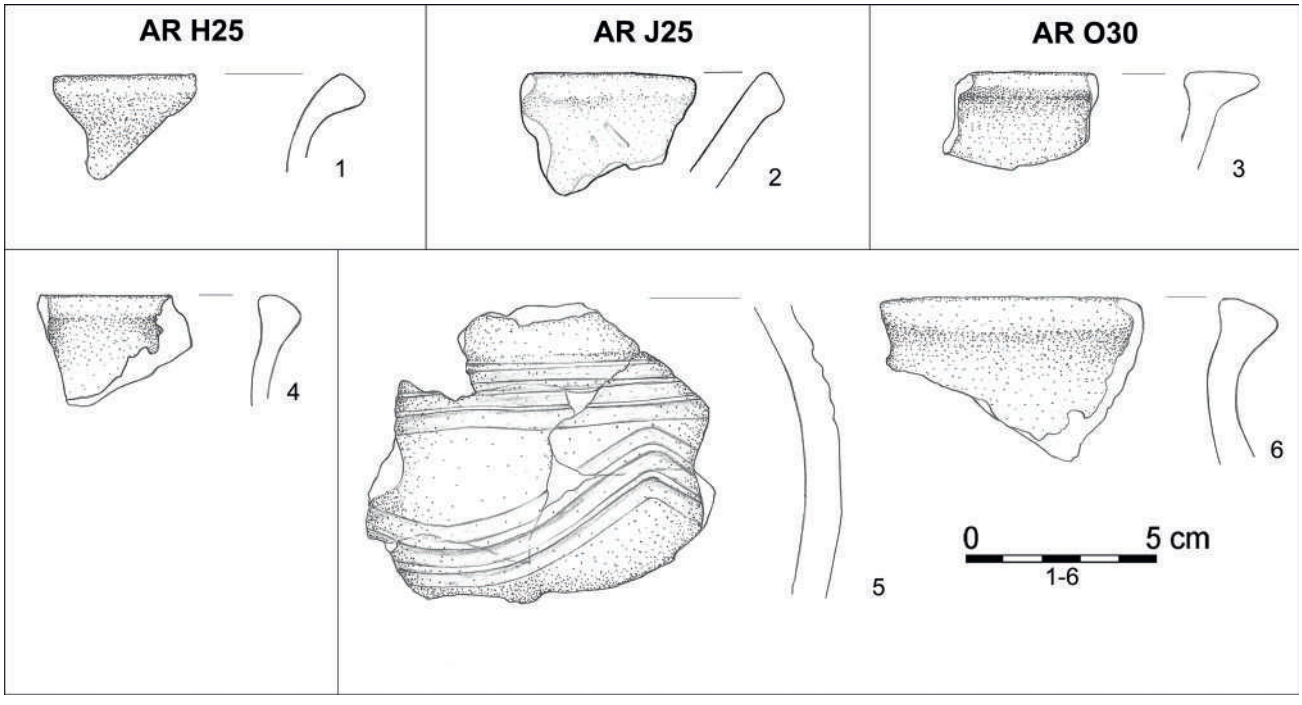


Tabl. 5.1. Jabłonica Ruska, stan. 1. Zabytki ceramiczne odkryte na złożu wtórnym w obiekcie nr 2 (4), na powierzchni arów: H25 (1), J25 (2), O30 (3) oraz z hałdy (5, 6)
Plate 5.1. Jabłonica Ruska, site 1. Pottery discovered in the secondary deposit in feature 2 (4), in ares: H25 (1), J25 (2), O30 (3) and in the heap (5, 6)

ceramiczne kultury trzcinieckiej o charakterystycznych pogrubionych i skośnie ściętych krawędziach. Ceramika taka wystąpiła bowiem w Uluczu (Gedl 1998, ryc. 10: 6; s. 33) oraz najprawdopodobniej także na osadzie w Sanoku-Olchowcach (Poradyło 2002, ryc. 3: 1; s. 63).

Sytuacja w rejonie Sanoka może być w tym czasie bardziej skomplikowana. Zdaniem dwóch krośnieńskich badaczy nieco inny charakter kulturowy miała bowiem osada na grodzisku Horodyszcze w Trepczy, gdzie również pojawiają się fragmenty brzegów naczyń, nawiązujące ukształtowaniem do kultury trzcinieckiej, ale cały zespół uznali oni za związany z kulturą Otomani-Füzesabony (Gancarski, Ginalski 2001).

W dolinie Sanu najbliższym stanowiskiem, gdzie odkryto jamę osadową z ceramiką bez wątpienia należącą do kultury trzcinieckiej, jest zamek w Krasiczynie (Poradyło 1998). Zespół ten nie wykazuje obcych, zakarpackich wpływów kulturowych.

Jabłonica Ruska 1 is not the southernmost point where the pottery of the Trzciniec culture with characteristic rims, thick and cut at an oblique angle, were discovered. Such pottery appeared in Ulucz (Gedl 1998, Fig. 10: 6; p. 33) and most probably also in the settlement in Sanok-Olchowce (Poradyło 2002, Fig. 3: 1; p. 63).

The situation in Sanok region may have been more complicated at that time. According to two researchers from Krosno, the cultural characteristics of the settlement in Horodyszcze stronghold in Trepcza was slightly different. Even though some fragments of vessel rims that may be connected with the Trzciniec culture were found there, they considered the entire complex to be of the Otomani-Fűzesabona culture (Gancarski, Ginalski 2001).

In the San river valley, the closest archaeological site with a settlement pit that contained pottery which, beyond any doubt, belongs to the Trzciniec culture is located in the castle in Krasiczyn (Poradyło 1998). The collection, however, does not show any foreign, Transcarpathian cultural influence.

LITERATURA

Blajer W.
1985 *Stan badań nad południowym zasięgiem kultury trzcinieckiej*, „Acta Archaeologica Carpathica" 24, 61–88.

Gancarski J., Ginalski J.
2001 *Osada obronna z wczesnej epoki brązu w Trepczy koło Sanoka*, [w:] Gancarski J. (red.), *Neolit i początki epoki brązu w Karpatach polskich*, Krosno, 305–318.

Gardawski A.
1959 *Plemiona kultury trzcinieckiej w Polsce*, „Materiały Starożytne" 5, 7–189.

Gedl M.
1998 *Ze studiów nad starszym okresem epoki brązu we wschodniej części polskich Karpat*, „Rocznik Przemyski" 34/3, Archeologia, 21–36.

Górski J.
2018 *Cmentarzysko kultury trzcinieckiej w Guciowe, stan. 6, pow. zamojski*, [w:] Górski J., Tyniec A. (red.), *Fenomen miejsca. Nekropola kurhanowa z neolitu, epoki brązu i wczesnego średniowiecza w Guciowie, pow. zamojski*, Kraków, 87–189.

Poradyło W.
1998 *Jama kultury trzcinieckiej z osady wielokulturowej w Krasiczynie, st. 1, woj. przemyskie*, „Rocznik Przemyski", 34/3, Archeologia, 43–55.

2002 *Pierwszy sezon badań wykopaliskowych na wielokulturowym stanowisku nr 1 w Sanoku-Olchowcach*, „Rocznik Przemyski" 38/2, Archeologia, 61–68.

KONRAD DREWNIAK, MIROSŁAW MAZUREK[1]

# 6.
# Osada kultury łużyckiej na stanowisku Jabłonica Ruska 1
# The Lusatian culture settlement at the archaeological site no. 1 in Jabłonica Ruska

## 6.1. Obiekty

Za związane z osadą kultury łużyckiej uznano 102 obiekty przebadane w Jabłonicy Ruskiej. W zdecydowanej większości są to różnego rodzaju jamy wykazujące dużą zmienność, jeśli chodzi o rozmiary i kształt w przekrojach. Zazwyczaj ich chronologię ustalono w oparciu o ceramikę znalezioną w wypełniskach. W 15 przypadkach obiekty uznano za związane z epoką brązu lub wczesną epoką żelaza jedynie na podstawie ich lokalizacji i/lub kształtu w profilach.

Z omawianym okresem można łączyć 9 dołków posłupowych. Pięć z nich, odkrytych na arze X29 przy samej granicy przebadanego terenu, układało się w zarys niepełnej konstrukcji budynku, złożonej pierwotnie zapewne z co najmniej trzech par w miarę symetrycznie rozmieszczonych słupów (ryc. 6.1.).

Skupisko kamieni oznaczone numerem 149 również należałoby datować na epokę brązu (ryc. 6.2.). Wskazuje na to odkryty w jego obrębie fragment ceramiki. Tej chronologii odpowiada również data $^{14}$C 2855 ± 30 BP otrzymana z węgli zebranych pod brukiem 189.

Wśród zarejestrowanych obiektów nie ma palenisk ani jam o charakterze produkcyjno-gospodarczym. Te pierwsze mogły być płytko wkopane w humus, a więc dla nas – o ile cokolwiek po nich zostało – pozostają praktycznie nieuchwytne.

[1] Ta część opracowania powstała przy istotnym udziale mgr. Wojciecha Poradyło. Za wszechstronną pomoc i liczne wskazówki w kwestii analizy materiałów należą się temu badaczowi Karpat wielkie podziękowania. Tylko jego zdecydowany sprzeciw, wynikający ze skromności i przeszkód natury osobistej, stanął na przeszkodzie, by wpisać go tu jako współautora.

## 6.1. Features

102 features found in Jabłonica Ruska are considered to be part of the Lusatian culture settlement. Most of them are pits of various size and with different cross-sections. Their chronology is based on the pottery found in the fills. There were 15 features that were considered, based solely on their location and / or the shape of their cross-sections, to date back to the Bronze Age or the Early Iron Age.

9 postholes can be connected with the period in question. Five of them, discovered in are X29, at the very border of the investigated area, formed the incomplete outline of a building, which, probably, composed of at least three pairs of relatively symmetrically spaced posts (Fig. 6.1.).

The cluster of stones, marked with number 149, should also be dated to the Bronze Age, because of the fragment of pottery discovered there (Fig. 6.2.). This chronology also corresponds to the date $^{14}$C 2855 ± 30 BP obtained from pieces of coal found under pavement 189.

No hearths or manufacturing/utility pits were found in the features. The former may have been shallowly dug into the humus, so even if there were any traces of them, they are, in fact, impossible to find.

[1] This part of the study could not be prepared without the active participation of Wojciech Poradyło, MA. We would like to express our deep gratitude to this researcher for the comprehensive help and advice on the analysis of materials. Only his strong opposition resulting from modesty and issues of personal nature prevented him from being included here as a co-author.

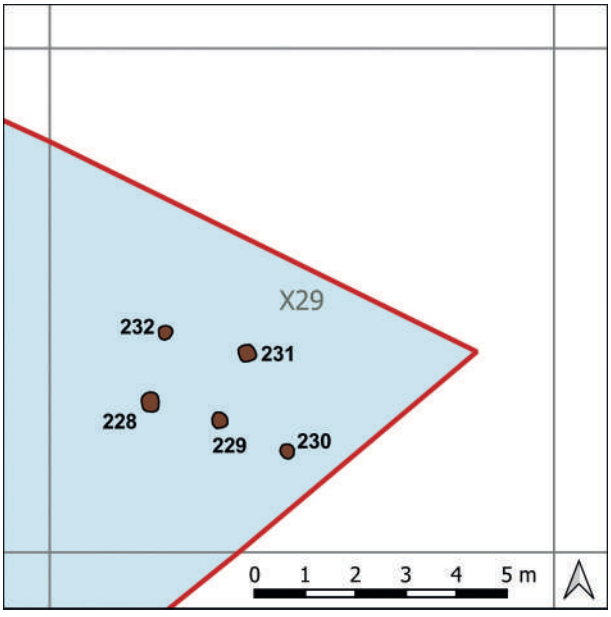


Ryc. 6.1. Jabłonica Ruska, stan. 1. Skupisko jam posłupowych na arze X29
Fig. 6.1. Jabłonica Ruska, site 1. Cluster of postholes in are X29

Ryc. 6.2. Jabłonica Ruska, stan. 1. Skupisko kamieni nr 149 w trakcie eksploracji
Fig. 6.2. Jabłonica Ruska, site 1. Cluster of stones no. 149 during exploration

Większość odkrytych w Jabłonicy Ruskiej jam osadowych kultury łużyckiej jest bardzo płytka, rzadko ich głębokość przekracza 50 cm. Większą miąższością charakteryzuje się jedynie 10 obiektów[2], przy czym maksymalnie jest to zaledwie 73 cm.

Biorąc pod uwagę wielkość na poziomie odsłonięcia stropu, jamy możemy podzielić na małe, średnie, duże i bardzo duże. Te dwie skrajne grupy są najmniej liczne.

Do największych zaliczono obiekty 131, 130 i 150, czyli o przynajmniej jednym wymiarze przekraczającym 3 metry (ryc. 6.3.). Wszystkie należą do wyjątkowo płytkich. Ich dna znajdowały się na poziomie nie głębszym niż 20 cm. Przynajmniej dwa z tych obiektów możemy datować na wczesną epokę żelaza i początek okresu lateńskiego, ponieważ w ich wypełniskach znaleziono wykonany przy użyciu koła garncarskiego kubek i zdobiony przęślik o południowych nawiązaniach.

Do grupy jam dużych włączono obiekty o maksymalnych średnicach między 180 a 280 cm. Takim parametrom odpowiadają obiekty: 59, 67, 69, 90, 96, 111, 112, 115, 119, 127, 134, 136, 169, 172, 173, 186, 211, 213, 216 i 217. Choć przeważają wśród nich na ogół płytkie jamy nieckowate[3] (ryc. 6.4.), to jednak występują też głębsze, o workowatych[4] (ryc. 6.5.) lub prostokątnych bądź nieckowato-prostokątnych przekrojach (ryc. 6.6.). Część z nich, zwłaszcza tych sięgających do poziomu 50–70 cm, mogła pełnić funkcję jam zasobowych.

O wiele liczniejsze, ale równie zróżnicowane są jamy osadowe o średnich rozmiarach, czyli mających średnicę w granicach od 100 do 180 cm, z najczęstszym przedziałem 110–140 cm (ryc. 6.7.). Podobnie jak w grupie dużych obiektów można tu wyróżnić przekroje nieckowate (ryc. 6.8.), prostokątne (ryc. 6.9.), nieckowato-prostokątne (ryc. 6.10.) lub workowate (ryc. 6.11.). Nowością są płytkie jamy o regularnie trapezowatych bądź trapezowato-nieckowatych kształtach w profilu (obiekty: 8, 95 i 166) (ryc. 6.12.). Łącznie zaklasyfikowano do tej grupy aż

[2] Głębokość ponad 50 cm mają jamy: 10, 15, 59, 76, 112, 115, 119, 134, 169 i 173.

[3] Tej charakterystyce odpowiadają obiekty: 69, 111, 127, 134, 136, 172, 173, 186, 211, 213, 216 i 217.

[4] Takie profile posiadają jamy 115 i 169.

Most of the Lusatian culture settlement pits discovered in Jabłonica Ruska are very shallow, rarely exceeding 50 cm. Only 10 features are deeper[2], with the maximum thickness of only 73 cm.

Taking into account the size of the pits at the ceiling level, we can divide them into the following categories: small, medium, large and very large. Small and very large pits are the rarest ones.

The very large ones, i.e. with at least one dimension exceeding 3 meters, were features number 131, 130 and 150 (Fig. 6.3.). They are all extremely shallow with thickness below 20 cm. At least two of these features can be dated to the Early Iron Age and the beginning of the La Tene period, because a wheel-thrown mug and a decorated southern-looking spindle whorl were found in their fills.

The large ones, i.e. with maximum diameters between 180 and 280 cm, are features number: 59, 67, 69, 90, 96, 111, 112, 115, 119, 127, 134, 136, 169, 172, 173, 186, 211, 213, 216 and 217. Most of them are shallow, trough-shaped pits[3] (Fig. 6.4.), but there are also deeper ones with sack-like[4] (Fig. 6.5.), rectangular or trough/rectangular cross-sections (Fig. 6.6.). Some of them, especially those 50–70 cm deep, may have functioned as storage pits.

The medium settlement pits, i.e. ones with a diameter between 100 and 180 cm (most often 110–140 cm) (Fig. 6.7.), are both much more numerous and diverse. Like pits in the large category, they have trough-shaped (Fig. 6.8.), rectangular (Fig. 6.9.), trough/rectangular (Fig. 6.10.) or sack-like cross-sections (Fig. 6.11.) but there are also shallow pits with trapezoidal or trapezoidal/trough-shaped cross-sections (features: 8, 95 and 166) (Fig. 6.12.). In total, as many as 54 features fall into the medium category. Their depth may have varied. In a few cases, only the base parts of fills with a thickness of up to over a dozen centimetres were preserved. Features deeper than 50 cm were rarely found.

[2] Pits number 10, 15, 59, 76, 112, 115, 119, 134, 169 and 173 have thickness of over 50 cm.

[3] Features number 69, 111, 127, 134, 136, 172, 173, 186, 211, 213, 216 and 217.

[4] Pits number 115 and 169.

Ryc. 6.3. Jabłonica Ruska, stan. 1. Obiekt 130 w trakcie eksploracji wraz z widocznym materiałem ceramicznym in situ
Fig. 6.3. Jabłonica Ruska, site 1. Feature 130 during exploration with visible pottery in situ

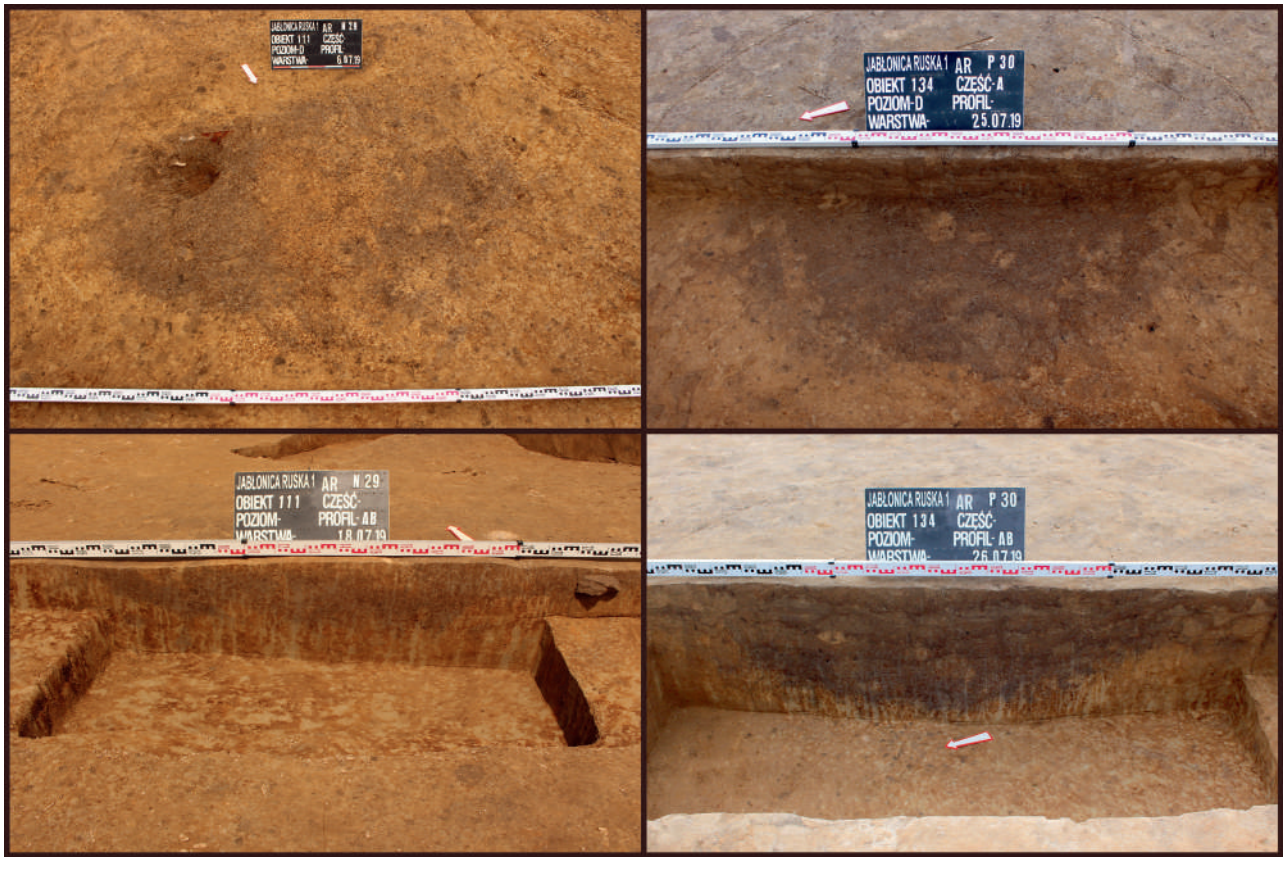


Ryc. 6.4. Jabłonica Ruska, stan. 1. Przykłady dużych obiektów o nieckowatych profilach
Fig. 6.4. Jabłonica Ruska, site 1. Examples of large features with trough-shaped profiles

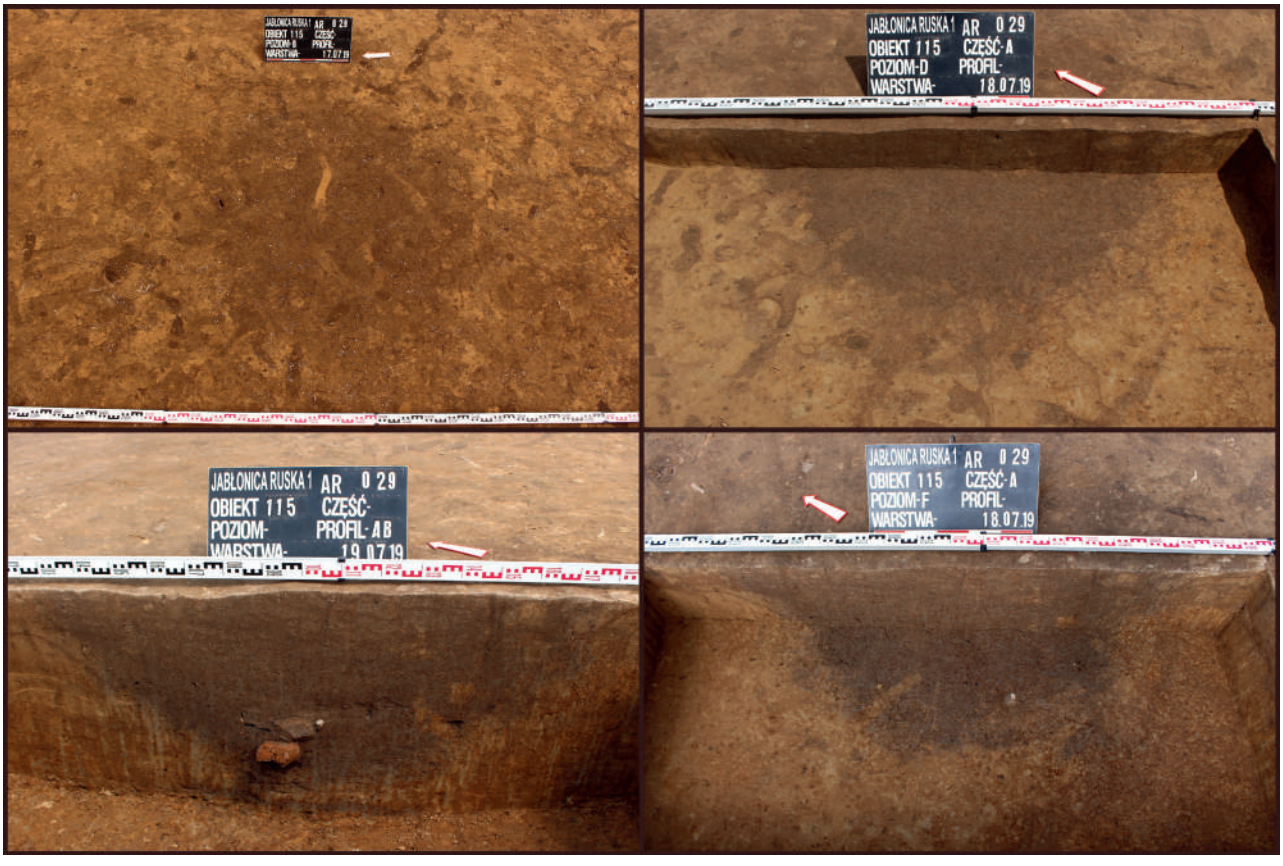


Ryc. 6.5. Jabłonica Ruska, stan. 1. Obiekt o workowatym profilu – nr 115
Fig. 6.5. Jabłonica Ruska, site 1. Feature with a sack-like profile - no. 115

Ryc. 6.6. Jabłonica Ruska, stan. 1. Obiekty 112 i 113 o prostokątnych profilach w trakcie eksploracji
Fig. 6.6. Jabłonica Ruska, site 1. Features 112 and 113 with rectangular profiles during exploration

Ryc. 6.7. Jabłonica Ruska, stan. 1. Przykłady jam o średnicach w przedziale 110–140 cm
Fig. 6.7. Jabłonica Ruska, site 1. Examples of pits with diameters between 110 and 140 cm

Ryc. 6.8. Jabłonica Ruska, stan. 1. Przykład jamy średniej wielkości o profilu nieckowatym
Fig. 6.8. Jabłonica Ruska, site 1. An example of a medium-sized pit with a trough-shaped profile

Ryc. 6.9. Jabłonica Ruska, stan. 1. Jamy średniej wielkości o prostokątnych profilach
Fig. 6.9. Jabłonica Ruska, site 1. Medium-sized pits with rectangular profiles

Ryc. 6.10. Jabłonica Ruska, stan. 1. Profil nieckowato-prostokątny obiektu 108
Fig. 6.10. Jabłonica Ruska, site 1. Trough-shaped/rectangular profile of feature 108

Ryc. 6.11. Jabłonica Ruska, stan. 1. Obiekt średniej wielkości o workowatym profilu – nr 79
Fig. 6.11. Jabłonica Ruska, site 1. Medium-sized feature with a sack-like profile - no. 79

Ryc. 6.12. Jabłonica Ruska, stan. 1. Przykłady jam trapezowatych (ob. 8, 95, 166)
Fig. 6.12. Jabłonica Ruska, site 1. Examples of trapezoidal pits (features 8, 95, 166)

54 obiekty. Różna mogła być ich głębokość. W kilku przypadkach zachowały się jedynie partie przydenne wypełnisk o miąższości do co najwyżej kilkunastu centymetrów. Rzadko zdarzało się rejestrować obiekty głębsze, z dnem na poziomie poniżej 50 cm.

Jako przykłady małych jam można podać obiekty: 11, 43, 54, 109, 219 oraz 226. Wydają się za duże, by uznać je za dołki posłupowe, ale ich maksymalny wymiar nie przekracza 100 cm.

Zwraca uwagę całkowity brak w Jabłonicy Ruskiej głębokich obiektów o trapezowatych lub klepsydrowatych przekrojach. Przypuszcza się, że zwłaszcza te pierwsze pełniły funkcje jam zasobowych (Michalski 1983, s. 156–157). Nie są znane tego przyczyny. Być może nie sprzyjało temu podłoże, w którym trudno było drążyć głębokie otwory lub np. wysoki w tamtym okresie poziom wód gruntowych. Musiały to być uwarunkowania lokalne, skoro jamy trapezowate występują zarówno na osadzie w Sanoku, stan. 59–60 (Bulas et al. 2019, s. 57), jak i na stan. 16 w Bachórzu (Parczewski 1997, ryc. 3).

Pits nos. 11, 43, 54, 109, 219 and 226 fall into the small category. They seem to be too large to be considered post-holes, but, on the other hand, their maximum dimension does not exceed 100 cm.

What draws attention is the absence of deep, trapezoidal or hourglass-shaped features in Jabłonica Ruska. It is presumed that the features, especially the former ones, served as storage pits (Michalski 1983, pp. 156–157). The reasons for that, however, remain unknown. Perhaps, the problem was the ground, which was difficult to dig deep holes in or, for example, the high level of groundwater at that time. These conditions must have been local as trapezoidal pits were found both in the settlement in Sanok, site 59–60 (Bulas et al. 2019, p. 57) and at site 16 in Bachórz (Parczewski 1997, Fig. 3).

## 6.2. Ceramika

Aż 4777 fragmentów odkrytej w Jabłonicy Ruskiej ceramiki datowano na młodsze okresy epoki brązu lub wczesną epokę żelaza, czyli odcinek czasowy odpowiadający rozwojowi kultury łużyckiej. Z tej liczby 1730 różnie zachowanych skorup (niekiedy nawet dużych fragmentów naczyń) pochodzi z właśnie tak datowanych obiektów, 3006 z eksploracji warstwy, doczyszczania poziomu po odhumusowaniu lub z hałd, a kolejnych 41 znaleziono na złożu wtórnym w wypełniskach późniejszych jam.

Oczywiście trzeba zdawać sobie sprawę, że na takich wielokulturowych stanowiskach jak Jabłonica Ruska zawsze istnieje pewien, najczęściej niewielki odsetek ceramiki, którą trudno jednoznacznie przypisać do konkretnych horyzontów osadniczych. Dotyczy to zwłaszcza fragmentów naczyń z tzw. warstwy. Dlatego pewna część odkrytej ceramiki została określona tylko ogólnie jako pradziejowa.

Całość materiału ceramicznego w podziale na poszczególne obiekty i ary opisano w zestawieniach tabelarycznych dołączonych na płycie CD.

## 6.2. Pottery

As many as 4777 fragments of pottery discovered in Jabłonica Ruska were dated to the late Bronze Age or the Early Iron Age, i.e. the period when the Lusatian culture developed. Among them, there are 1730 fragments in different state of preservation (sometimes even large fragments of vessels) that come from features dated exactly to the period and 3006 fragments that were found during the exploration of the cultural layer, cleaning the level after removing the humus or in heaps of humus. Another 41 fragments were found in the secondary deposit in the fills of younger pits.

Of course, one has to be aware that at such multicultural sites as Jabłonica Ruska there are always some fragments, usually it is a small fraction of the whole collection, which are difficult to connect with specific settlement periods. An example of such materials are, especially, fragments of vessels found in the so-called layer. Therefore, a certain part of the discovered pottery was only generally described as prehistoric.

Ryc. 6.13. Jabłonica Ruska, stan. 1. Fragmenty naczyń o chropowatych powierzchniach odkryte w warstwie
Fig. 6.13. Jabłonica Ruska, site 1. Fragments of vessels with rough surfaces found in the layer

Uwzględniono w nich przede wszystkim barwę i fakturę powierzchni naczyń oraz domieszki schudzające dodawane do gliny. Z wyjątkiem jednego kubka z obiektu 130 jest to ceramika lepiona ręcznie.

Wykorzystano powszechnie stosowany w południowo-wschodniej Polsce podział na cztery podstawowe grupy technologiczne:

I – naczynia o powierzchniach zewnętrznych czarnych, wewnętrznych szarobrunatnych,
II – naczynia o powierzchniach zewnętrznych szarobrunatnych, wewnętrznych czarnych,
III – naczynia o powierzchniach z obydwu stron szarobrunatnych,
IV – naczynia o powierzchniach z obydwu stron czarnych lub ciemnoszarych.

Oczywiście schemat ten nie jest doskonały, ale pozwala w miarę jednoznacznie sklasyfikować prawie każdą skorupę lub naczynie.

Więcej problemów mamy z określeniem faktury powierzchni naczyń. W wielu przypadkach bardzo subiektywna pozostaje ocena, czy dana skorupa jest szorstka, czy raczej gładka. Choć odsetek takiej „problematycznej" ceramiki nie przekracza pewnie

The whole collection of ceramic materials, divided into individual features and ares is included in Tables on the CD attached to the publication. They mainly contain information about the colour and texture of surfaces of the vessels and the type of admixtures added to the clay. Except one mug found in feature 130, all the pottery was handmade.

The division into four basic technological groups, usually used for south-eastern Poland, was applied:

I – vessels with black outer surfaces and grey-brown inner surfaces,
II – vessels with grey-brown outer surfaces and black inner surfaces,
III – vessels with grey-brown surfaces on both sides of the walls,
IV – vessels with black or dark grey surfaces on both sides of the walls.

Of course, the division is not perfect, but it helps to quite clearly classify almost every vessel or a fragment of a vessel.

There are more problems, however, with describing the surface texture of the vessels. In many

kilkunastu procent, to i tak porównywanie tych danych pomiędzy różnymi stanowiskami może być pozbawione sensu, zwłaszcza że szorstkie powierzchnie nierzadko są efektem ich zniszczenia, a nie celowych zabiegów.

W kolejnych kolumnach zestawień tabelarycznych opisujących ceramikę z obiektów i arów uwzględniono kilka dodatkowych cech. Starano się dobrać je tak, by lepiej scharakteryzować analizowany zespół, jednocześnie unikając nic niewnoszących, schematycznych klasyfikacji.

W związku z tym skorupy cienkościenne, silnie wygładzone oraz z domieszką wyłącznie o drobnej granulacji świadczą o liczebności starannie wykonanych naczyń typu czerpaki, misy, ewentualnie wazy. Oczywiście nie każdy czerpak ma tego rodzaju cechy, ale prawdopodobieństwo ich występowania np. w grupie garnków jest minimalne. W tej akurat kategorii naczyń częściej pojawiać się będzie obmazywanie powierzchni zewnętrznej palcami oraz ziarna grubej domieszki tłucznia.

Unikano natomiast wprowadzania takich cech, jak np. ceramika grubościenna. W większości przypadków ten opis dotyczyłby bowiem den naczyń. Także szczegółowa analiza granulacji domieszki schudzającej wydaje się pozbawiona większego sensu. Opiera się ona na subiektywnych obserwacjach, a w dodatku rzadko jest tak, by występowała np. tylko domieszka grubo- lub drobnoziarnista. Wśród tych dodatkowych cech uwzględniono natomiast obecność w masie ceramicznej tłucznia o czarnej barwie. Powszechnie uważa się, że jest to domieszka typowa dla zespołów z młodszych okresów epoki brązu z doliny górnego Sanu.

cases, it is very subjective to judge whether a given fragment is rough or rather smooth. Although the number of such „problematic" pottery probably does not exceed fifteen percent, comparing the data from different sites might be pointless, especially because of the fact that roughness is often the result of the damage done to the vessel rather than processing.

The following Table columns present several additional properties of pottery which was found in given features and ares. The properties were carefully selected in order to properly characterise the collection, and to avoid irrelevant, general classifications.

Therefore, thin-walled, thoroughly smoothed fragments and fragments that contain only finely granulated admixture confirm the presence of carefully made vessels, such as cups, bowls, or vases. Of course, not every cup has such features, but the probability that e.g. a collection of pots have them is minimal. In this particular category of vessels, finger smearing on the outer surfaces and admixture of coarse-grained crushed stone is more often observed.

Including such vessel features as, e.g., thick walls was, however, avoided. In most cases, it would refer to the bases of the vessels. Also, a detailed analysis of tempering admixture granulation seems to be equally pointless as it is based on subjective observations and, in addition, vessels with only a coarse-grained or only a fine-grained admixture are very rare. The additional vessel features include the presence of black crushed stone in the ceramic fabric. It is commonly believed to be an admixture typical of the younger Bronze Age vessel collections found in the upper San river valley.

### 6.2.1. Uwagi o technologii

W omawianym materiale znajduje się 38 wyklejających się fragmentów naczynia wykonanego na kole garncarskim (tabl. 6.18: 1, ryc. 6.3.). Jest to kubek z masywnym, wysokim uchem, znaleziony w obiekcie 130. Jego powierzchnie są szare, a w masie ceramicznej można dostrzec pojedyncze ziarna tłucznia kamiennego.

### 6.2.1. Technology

In the discovered material, there are 38 matching fragments of a wheel-thrown vessel (Plate 6.18: 1, Fig. 6.3.). It is a mug with a massive, high loop handle, found in feature 130. Its surfaces are grey and in the ceramic fabric there are single pieces of crushed stone.

The rest of the pottery was handmade. Of course, fragments with only one surface preserved or

Pozostała ceramika lepiona jest ręcznie. Oczywiście skorup o zachowanej tylko jednej powierzchni, całkowicie zniszczonych lub wtórnie przepalonych nie da się opisać technologicznie, zwłaszcza pod względem barwy i faktury ich powierzchni. Problem ten dotyczy 323 fragmentów znalezionych w obiektach i 602 pochodzących z eksploracji warstwy, z hałd lub złoża wtórnego. Stanowi to 19,5% całości materiału.

Analizę technologiczną ceramiki lepionej ręcznie prezentują tabele 6.1 – 6.3. Otrzymane wyniki dla materiałów z obiektów oraz spoza nich są w miarę zbieżne tylko w zakresie czterech podstawowych grup technologicznych (tabela 6.1). Różnice są tam niewielkie, a ogólne tendencje podobne. Dominuje ceramika o powierzchniach z obydwu stron szarobrunatnych, około 25% wynosi udział naczyń wewnątrz szarych lub czarnych, a od zewnątrz szarobrunatnych, a pozostałe dwie grupy technologiczne są nieliczne, nie przekraczają kilku procent.

Inaczej to wygląda, jeśli chodzi o fakturę powierzchni naczyń i po części także stosowane domieszki schudzające. Tutaj rozbieżności są większe. W materiałach „z warstwy" częściej niż w obiektach występują szorstkie lub chropowate ułamki naczyń (tabela 6.2, ryc. 6.13.). Różnica ta wynosi

fragments which are destroyed or burnt cannot be described in terms of technology, especially in terms of the colour and texture of their surfaces. There are 323 such fragments found in the features and 602 discovered in the layer, heaps of humus or in the secondary deposit. They are 19.5% of the total material.

The technological analysis of the handmade pottery is presented in Plates 6.1–6.3. The results obtained for the materials found inside and outside the features are relatively consistent only in terms of the four basic technological groups (Plate 6.1). The differences are rather small and the general trends are similar. Pottery with grey-brown both surfaces dominates. There is about 25% of vessels that are grey or black on the inside, and grey-brown on the outside. The examples of other two technological groups do not exceed a few percent of the total material.

When it comes to the types of surface texture of the vessels and, partly, the tempering admixtures used, the differences are greater. Among the materials from ‚the layer', rough fragments occur more frequently than among the fragments found in the features (Plate 6.2, Fig. 6.13.). The difference is over 16% and it is easy to explain. As ceramic fragments from the features were located deeper in the ground

Tabela 6.1. Jabłonica Ruska, stan. 1. Podział ceramiki na grupy technologiczne w zależności od barwy powierzchni naczyń
Table 6.1. Jabłonica Ruska, site 1. Division of pottery into technological groups according to the colour of the vessel surface

| | **materiały z obiektów** | | **materiały spoza obiektów** | | **RAZEM** | |
|---|---|---|---|---|---|---|
| | **n** | **%** | **n** | **%** | **n** | **%** |
| powierzchnia zewnętrzna czarna, wewnętrzna szarobrunatna (grupa I) | 85 | 6,21% | 63 | 2,58% | **148** | **3,88%** |
| powierzchnia zewnętrzna szarobrunatna, wewnętrzna czarna (grupa II) | 354 | 25,86% | 597 | 24,42% | **951** | **24,94%** |
| powierzchnia z obydwu stron szarobrunatna (grupa III) | 872 | 63,69% | 1725 | 70,55% | **2597** | **68,09%** |
| powierzchnia z obydwu stron czarna lub ciemnoszara (grupa IV) | 58 | 4,24% | 60 | 2,45% | **118** | **3,09%** |
| razem | 1369 | 100% | 2445 | 100% | **3814** | **100%** |

Tabela 6.2. Jabłonica Ruska, stan. 1. Sposób opracowania powierzchni naczyń
Table 6.2. Jabłonica Ruska, site 1. The method of vessel surfaces processing

| | **materiały z obiektów** | | **materiały spoza obiektów** | | **RAZEM** | |
|---|---|---|---|---|---|---|
| | **n** | **%** | **n** | **%** | **n** | **%** |
| powierzchnie z obydwu stron gładkie | 617 | 45,07% | 696 | 28,47% | **1313** | **34,43%** |
| powierzchnie szorstkie lub chropowate (przynajmniej z jednej strony) | 752 | 54,93% | 1749 | 71,53% | **2501** | **65,57%** |
| razem | 1369 | 100% | 2445 | 100% | **3814** | **100%** |

ponad 16%. Łatwo to wytłumaczyć. Fragmenty ceramiki zalegające w obiektach, czyli głębiej, nienarażone na orkę, są po prostu lepiej zachowane, nie tak bardzo zniszczone jak te z humusu lub warstwy akumulacyjnej.

W przeanalizowanym materiale spoza obiektów jest zdecydowanie mniej ceramiki z domieszką tłucznia kamiennego i ceramicznego oraz tylko szamotu (tabela 6.3). W obiektach wartości te są odpowiednio większe o 11,4% i 6,7%. Ceramikę o takiej technologii trzeba uznać za typową dla wczesnej epoki żelaza, dla zespołów określanych jako typ Niepla. Być może różnice te wiążą się ze zmianami w intensywności użytkowania osady w poszczególnych okresach jej trwania. Najprawdopodobniej przyczyny tego stanu są bardziej prozaiczne, tkwią w trudnościach z jednoznacznym określeniem chronologii zwłaszcza tej ceramiki z grubym szamotem, która potrafi być podobna do fragmentów naczyń z okresu rzymskiego. Część tych skorup została z powodu tych wątpliwości określona zapewne jako pradziejowa.

Uzyskane dane możemy porównać z materiałami z Warzyc koło Jasła (Czopek, Poradyło 2008, s. 149–155) oraz ze stanowiska 59–60 w Sanoku (Bulas et al. 2019, s. 61). Są to najbliższe terytorialnie Jabłonicy Ruskiej osady, dla których wykonano analogiczne analizy technologiczne. Znajdują się w tej samej strefie Karpat, wykazując – co ważne – podobny rytm przemian kulturowych.

and protected from ploughing, they are simply better preserved and not as damaged as those from the humus or the accumulation layer.

In the material found outside the features, there are definitely less pottery with an admixture of crushed stone and crushed ceramics and with an admixture of only fireclay (Plate 6.3). As for the features, the numbers are respectively 11.4% and 6.7% higher. Pottery made with such a technology must be considered typical of the Early Iron Age and of settlements referred to as the Niepla type. Perhaps, these differences are related to the changes in the intensity of use of the settlement in particular periods. Most likely, the reasons behind it are much simpler and they might be the difficulties with clear identification of the chronology, especially when it comes to the ceramic fragments with coarse-grained fireclay, which may be similar to fragments of vessels from the Roman period. That is why some of the fragments were considered prehistoric.

The obtained data can be compared with the materials from Warzyce near Jasło (Czopek, Poradyło 2008, pp. 149–155) and with materials from site 59–60 in Sanok (Bulas et al. 2019, p. 61). They are settlements geographically closest to Jabłonica Ruska where the same technological analyses were performed. They are located in the same part of the Carpathians and they show, what is important, a similar pattern of cultural changes.

Tabela 6.3. Jabłonica Ruska, stan. 1. Domieszki schudzające stosowane w ceramice
Table 6.3. Jabłonica Ruska, site 1. Tempering admixtures used in the pottery

| | **materiały z obiektów** | | **materiały spoza obiektów** | | **RAZEM** | |
|---|---|---|---|---|---|---|
| | **n** | **%** | **n** | **%** | **n** | **%** |
| domieszka tłucznia kamiennego (1) | 963 | 56,92% | 2290 | 75,16% | **3253** | **68,64%** |
| domieszka tłucznia ceramicznego (2) | 142 | 8,39% | 51 | 1,67% | **193** | **4,07%** |
| domieszka tłucznia kamiennego i ceramicznego (3) | 576 | 34,04% | 690 | 22,65% | **1266** | **26,72%** |
| domieszka tłucznia kamiennego oraz piasku (4) | 7 | 0,41% | 16 | 0,52% | **23** | **0,49%** |
| domieszka tłucznia kamiennego, ceramicznego oraz piasku (5) | 2 | 0,12% | 0 | 0% | **2** | **0,04%** |
| domieszka tłucznia ceramicznego oraz piasku (6) | 2 | 0,12% | 0 | 0% | **2** | **0,04%** |
| razem | 1692 | 100% | 3047 | 100% | **4739** | **100%** |

W porównaniu z Jabłonicą Ruską na obydwu tych stanowiskach zdecydowanie liczniejsza jest ceramika wewnątrz czarna, a na zewnątrz szarobrunatna, natomiast o wiele mniej jest tam naczyń o powierzchniach z obydwu stron szarobrunatnych, bo ich udział nie przekracza 50%, gdy u nas wynosi 68%. Tak wyraźna dominacja III grupy technologicznej wydaje się bardziej typowa dla zespołów grupy tarnobrzeskiej, rozwijającej się na północ od łuku Karpat (Czopek 2007, tabela 10). Na tym kończą się jednak podobieństwa, bo już udział II grupy zbliża się tam co najwyżej do granicy 10%, gdy w Jabłonicy Ruskiej sięga prawie 25%.

Jeśli chodzi o domieszki schudzające dodawane do gliny, z której wylepiano naczynia, to ceramika z Jabłonicy Ruskiej jest podobna do tej z Warzyc, z wyjątkiem obecności czarnego tłucznia kamiennego, typowego dla doliny górnego Sanu. Jego udział sięga aż 59,1% całego zbioru.

Compared to Jabłonica Ruska, at both of these archaeological sites, the amount of pottery that is black on the inside and grey-brown on the outside is much higher, and there are much fewer vessels with grey-brown surfaces on both sides – they do not exceed 50% of all the found pottery, while in Jabłonica Ruska it is 68%. Such clear dominance of the 3rd technological group seems to be more typical of the Tarnobrzeg group vessel collections, which developed north of the Carpathian Mountains (Czopek 2007, Plate 10). The similarities, however, end here, because the number of the second group finds discovered there is never higher than 10%, while in Jabłonica Ruska it reaches almost 25%.

As for the tempering admixtures added to the clay, the pottery from Jabłonica Ruska are generally similar to the vessels from Warzyce, except the presence of black crushed stone, typical of the upper San river valley. Its amount is as much as 59.1% of the entire collection.

### 6.2.2. Naczynia wazowate

Jak na materiały osadowe – np. w porównaniu z grupą tarnobrzeską – w Jabłonicy Ruskiej zaskakująco często mamy do czynienia z fragmentami waz. W kilku przypadkach udało się zrekonstruować lub wykleić nawet duże partie tych naczyń.

Wśród tych lepiej zachowanych możemy wyróżnić wazy o zaokrąglonym brzuścu i wyodrębnionej, stożkowatej szyjce. Jedna z nich zdobiona jest skośnymi, szerokimi kanelurami (tabl. 6.2: 4, ryc. 6.14.), natomiast dwie kolejne grupami skośnych kresek rytych (tabl. 6.11: 2) lub rozbudowaną kompozycją tzw. ornamentu „pseudosznurowego" i dwóch poziomych rowków (tabl. 6.29: 1). Naczynia o takich kształtach uchodzą za szeroko rozpowszechnione w środowisku kultury łużyckiej i mogą występować przez cały okres jej rozwoju (Gedl 1994, s. 26).

Ich chronologię możemy uściślić w oparciu o ornamentykę. Wazy zdobione na brzuścu szerokimi, skośnymi kanelurami powinniśmy datować na młodszy (IV) okres epoki brązu (Gedl 1994, s. 27). Z podobnej kształtem i analogicznie zdobionej wazy pochodzi fragment znaleziony w warstwie na arze I26 (tabl. 6.34: 6).

Z kolei ornament „pseudosznurowy" upowszechnia się w grupie tarnobrzeskiej w jej późnej fazie (Gedl 1994, s. 31, 54; Przybyła 2003, s. 42), choć sporadycznie pojawia się przypuszczalnie wcześniej, podobnie jak na Mazowszu i w Polsce środkowej (Węgrzynowicz 1973, s. 62; 1991–1992, s. 86). Głęboko w Karpatach tak zdobione naczynia praktycznie nie występują. Najbliższe nam znaleziska pochodzą z Bachórza (Gedl 1994, tabl. XCV: 6; CVI: 2, 5; Parczewski 1996, ryc. 5: 7), Olszan koło Krasiczyna (Gedl 1998, tabl. IX: 24) oraz z cmentarzyska w Lipniku (Blajer 2001, ryc. 3, d, s. 288), a więc z terenów położonych bardziej na północ. W przypadku Jabłonicy na zadziwiająco wczesną chronologię naczyń z ornamentem „pseudosznurowym" wskazuje data radiowęglowa 2765 ± 35 BP uzyskana dla jamy 225, w której znaleziono zdobioną w ten sposób ceramikę (tabl. 6.29: 1; 6.30: 3). Po kalibracji daje to datowanie w granicach X i drugiej połowy IX wieku, czyli na okres HaB.

### 6.2.2. Vase-like vessels

As for settlement materials – e.g. compared to the Tarnobrzeg group – in Jabłonica Ruska, there is a surprisingly high number of fragments of vases and it was even possible to reconstruct or glue large fragments of some vessels.

Among the better-preserved vessels, there are vases with round bodies and distinct, conical necks. One of them is decorated with oblique, wide incised lines (Plate 6.2: 4, Fig. 6.14.), while the other two are decorated with groups of oblique thin flutes (Plate 6.11: 2) or with an intricate combination of a so-called „pseudo-Corded Ware culture" ornament and two horizontal grooves (Plate 6.29: 1). Vessels of such shapes are considered to be common in the Lusatian culture and may have been used throughout the entire period of the culture's development (Gedl 1994, p. 26).

Their chronology can be identified through the analysis of ornaments. Vases with bodies decorated with wide, oblique flutes should be dated to the younger (IV) period of the Bronze Age (Gedl 1994, p. 27). The fragment found in the layer, in are I26 (Plate 6.34: 6) comes from a vase with a similar shape and decoration.

In turn, the „pseudo-Corded Ware culture" ornament became popular in the Tarnobrzeg group in its late phase (Gedl 1994, pp. 31, 54; Przybyła 2003, p. 42), although it may have happened to appear earlier, like in Mazovia and in Central Poland. (Węgrzynowicz 1973, p. 62; 1991–1992, p. 86). Such vessels are practically non-existent in the Carpathians. Similar finds discovered closest to Jabłonica Ruska come from Bachórz (Gedl 1994, Plates XCV: 6; CVI: 2, 5; Parczewski 1996, Fig. 5: 7), Olszany near Krasiczyn (Gedl 1998, Plate IX: 24 ) and from the cemetery in Lipnik (Blajer 2001, Fig. 3, d, p. 288), i.e. from the areas further north. When it comes to Jabłonica Ruska, surprisingly early chronology of vessels with the „pseudo-Corded Ware" ornament, radiocarbon dating 2765 ± 35 BP, was obtained for pit 225, in which such pottery was found (Plates 6.29: 1; 6.30: 3). After calibration, it translates into the period between

Ryc. 6.14. Jabłonica Ruska, stan. 1. Obiekt 15 w trakcie eksploracji wraz z naczyniem zdobionym kanelurami znajdującym się in situ
Fig. 6.14. Jabłonica Ruska, site 1. Feature 15 during exploration with a vessel decorated with flutes located in situ

Ryc. 6.15. Jabłonica Ruska, stan. 1. Obiekt 225 w trakcie eksploracji z materiałem zabytkowym in situ
Fig. 6.15. Jabłonica Ruska, site 1. Feature 225 during exploration in situ with artefacts

Odmienny typ waz reprezentują zrekonstruowane naczynia z jam 15 i 225 (tabl. 6.5: 2; 6.30: 3). Charakteryzuje je wyraźny, dwustożkowaty załom brzuśca oraz wyodrębniona, stromo stożkowata szyjka. Formy te różnią się proporcjami. Waza z obiektu 225 ma o wiele wyższą szyjkę. Zdobiona jest ornamentem „pseudosznurowym" w górnej partii brzuśca (ryc. 6.15.). Uwagi sformułowane w akapicie powyżej dotyczą więc także chronologii tego naczynia. Na wczesną epokę żelaza powinniśmy datować fragmentarycznie zachowaną wazę z jamy 15. Przesądza o tym znaleziony w wypełnisku tego obiektu fragment żelaznego przedmiotu.

Podobne w formie naczynie z Sanoka-Olchowca publikuje Maria Zielińska (2005, tabl. II: 18). O wiele liczniejsze analogie można znaleźć na nieodległym cmentarzysku w Bachórzu-Chodorówce (Gedl 1994, s. 25–26).

W materiale z Jabłonicy Ruskiej zwraca uwagę obecność naczyń wazowatych o dwustożkowatej formie z ostrym załomem brzuśca i zazwyczaj łukowato wklęsłą górną częścią (tabl. 6.20: 1; 6.34: 14, 20; 6.37: 10; 6.38: 3). Niestety są to pojedyncze, drobne fragmenty, na podstawie których niewiele można powiedzieć na temat całych form. Czasem nie mamy nawet pewności, czy właściwie określamy kształt samego naczynia. Jeden z zaliczonych tu załomów brzuśca jest skośnie nacinany (tabl. 6.37: 10), dwa inne, w tym znaleziony na złożu wtórnym w obiekcie 100, zaopatrzone w okrągłe dołeczki (tabl. 6.34: 14; 6.38: 3).

Dolne partie dwóch waz zachowały się w jamach 15 i 136. Pierwsza zdobiona jest w obrębie zaokrąglonego brzuśca parami podłużnych guzków i rzędem pionowych lub lekko skośnych, szerokich kresek rytych (tabl. 6.6: 2). Jej zewnętrzna powierzchnia o czarnej barwie została silnie wygładzona.

Zdecydowanie mniejszą formę reprezentuje druga wazka o dwustożkowatym załomie brzuśca, powyżej którego znajdowały się przypuszczalnie cztery malutkie, przekłute w poziomie uszka (tabl. 6.21: 5).

O licznej obecności waz w materiale z Jabłonicy Ruskiej świadczą fragmenty stożkowatych szyjek (tabl. 6.1: 2; 6.9: 3; 6.12: 2; 6.20: 4; 6.23: 6; 6.33: 3, 8; 6.34: 2, 8, 11, 15; 6.35: 7; 6.36: 2; 6.37: 1) oraz ułamki zdobione szerokimi kanelurami (tabl. 6.28: 3; 6.34:

the 10th and second half of the 9th century BC, i.e. the HaB period.

The reconstructed vessels from pits 15 and 225 are different type of vases (Plates 6.5: 2; 6.30: 3). They have a visible shoulder on biconical body and a distinct, steep, conical neck. The vessels differ in terms of proportions. The vase from object 225 has a much taller neck. It is decorated with a „pseudo-Corded Ware" ornament on the upper part of the body (Fig. 6.15.). The remarks formulated in the above paragraph also apply to the chronology of this vessel. We should date the partly-preserved vase from pit 15 to the early Iron Age, as a fragment of an iron object was found in the fill of this feature.

A similar vessel from Sanok-Olchowiec was described by Maria Zielińska (2005, Plate II: 18). Many more similar finds were found in the nearby cemetery in Bachórz-Chodorówka (Gedl 1994, pp. 25–26).

What is interesting in the materials from Jabłonica Ruska is the presence of biconical vase-like vessels with sharp body shoulders and, usually, with concave upper parts (Plates 6.20: 1; 6.34: 14, 20; 6.37: 10; 6.38: 3). Unfortunately, they are small, single vessel fragments and therefore little can be said about the form of the whole vessels. Sometimes, we were not even sure if we correctly identified the shape of the vessel itself. One of the body shoulders included here has oblique incisions (Plate 6.37: 10), the other two, including the one found in the secondary deposit in feature 100, have small, round pits (Plates 6.34: 14; 6.38: 3).

The lower parts of two vases were discovered in pits 15 and 136. The first one has a rounded body decorated with pairs of oblong knobs and a row of vertical or slightly oblique, wide incised lines (Plate 6.6: 2). Its black outer surface is strongly smoothed.

The second vase is much smaller and it has a biconical body with a visible shoulder, above which there, probably, were four tiny, horizontally pierced handles (Plate 6.21: 5).

Fragments of conical necks (Plates 6.1: 2; 6.9: 3; 6.12: 2; 6.20: 4; 6.23: 6; 6.33: 3, 8; 6.34: 2, 8, 11, 15; 6.35: 7; 6.36: 2; 6.37: 1) and fragments decorated with wide flutes (Plates 6.28: 3; 6.34: 2, 5; 6.35: 9, 16), or with slightly narrower grooves (Plate 6.3: 3),

2, 5; 6.35: 9, 16), bądź nieco węższymi rowkami (tabl. 6.3: 3), czasem o łukowatym kształcie (tabl. 6.35: 21). W zdecydowanej większości pochodzą one z takich właśnie naczyń. Podobna uwaga wydaje się zasadna w stosunku do dwóch skorup zdobionych odciskami drobnego, okrągłego stempelka i linią zygzakowatą (tabl. 6.34: 4; 6.37: 9).

Niekiedy wazy zaopatrzone były w niewielkie ucha, łączące brzusiec z szyjką. Świadczy o tym znalezisko z jamy 211 (tabl. 6.28: 2).

### 6.2.3. Garnki

Fragmenty ceramiki zidentyfikowane jako pochodzące z garnków odkryto w 17 jamach[5] oraz równie licznie w warstwie akumulacyjnej i na poziomie odhumusowania. Oczywiście nie zawsze możemy być pewni, czy na podstawie drobnych ułamków, np. brzegów, właściwie określamy formę całego naczynia. Istnieje tu pewien margines błędu, jak się wydaje, statystycznie do zaakceptowania. Za fragmenty garnków uznano także skorupy zdobione listwami plastycznymi. W interesującym nas okresie taki rodzaj ornamentu pojawia się w Karpatach wyłącznie w tej kategorii naczyń.

Również pewne cechy technologiczne ceramiki wykazane w zestawieniach tabelarycznych mogą świadczyć o liczebności w tym zespole garnków. Chodzi o obmazywanie powierzchni zewnętrznych naczyń oraz obecność ziaren domieszki schudzającej o dużej granulacji (powyżej 0,5 cm). Udział pierwszej z tych cech wynosi 5,09%, natomiast drugiej minimalnie przekracza 18,5%.

Kilka garnków udało się nawet zrekonstruować w całości lub większych fragmentach (tabl. 6.2: 1, 2; 6.3: 7; 6.6: 1; 6.11: 1; 6.29: 2; 6.32: 6; 6.36: 13). Okazuje się, że jest to mocno zróżnicowana kategoria naczyń, zarówno pod względem rozmiarów, jak i formy. Oddzielnie na końcu podrozdziału omówiono garnki zdobione listwami plastycznymi, ponieważ niezależnie od kształtu uznaje się je za wyznacznik

[5] Chodzi o następujące obiekty: 2, 10, 15, 17, 45, 68, 79, 80, 91, 119, 123, 130, 134, 150, 191, 225 i 254.

sometimes arch-shaped (Plate 6.35: 21) confirm the presence of many vases in the material from Jabłonica Ruska. The vast majority of them come from such type of vessels. The presence is also confirmed by two fragments decorated with imprints of a small, round stamp and a zigzag line (Plates 6.34: 4; 6.37: 9).

Sometimes, the vases had small handles that connected the body with the neck. The example here is the find from pit 211 (Plate 6.28: 2).

### 6.2.3. Pots

Pottery fragments identified as parts of pots were discovered in 17 pits[5] and as well as in the accumulation layer and at the level where the humus was removed. Of course, we cannot always be sure that we correctly identify the form of a whole vessel based only on small fragments, e.g. vessel rims. There is a certain margin of error that appears to be statistically acceptable. Pieces of pottery decorated with plastic bands were also considered fragments of pots. In our period of interest, this type of ornament appeared in the Carpathians only in this category of vessels.

Some technological features of pottery presented in tables may also indicate that there is a high number of pots in the collection. The features are smeared outer surfaces of the vessels and the presence of coarse-grained (more than 0.5 cm) tempering admixture. The percentage of the first of these features is 5.09%, while the second one slightly exceeds 18.5%.

Several whole pots or large fragments of pots were reconstructed (Plates 6.2: 1, 2; 6.3: 7; 6.6: 1; 6.11: 1; 6.29: 2; 6.32: 6; 6.36: 13). It turns out that this is a very diverse category of vessels, both in terms of size and shape. Pots decorated with plastic bands are discussed separately at the end of the section, because regardless of their shape, they are considered to determine the settlement period that begins, in this part of the Carpathians, in HaD.

[5] Features nos. 2, 10, 15, 17, 45, 68, 79, 80, 91, 119, 123, 130, 134, 150, 191, 225 i 254.

horyzontu osadniczego, który rozpoczyna się w tej części Karpat w HaD.

W grupie garnków niezdobionych występują chyba wyłącznie egzemplarze o mniej lub bardziej esowatych profilach. Są wśród nich naczynia wysmukłe (np. tabl. 6.6: 1), jak i przysadziste, o silniej zaokrąglonym brzuścu (np. tabl. 6.2: 2). Jedno z nich posiada nisko umieszczoną największą wydętość brzuśca (tabl. 6.2: 1). Część garnków charakteryzuje się wyraźnym przewężeniem szyjki (np. tabl. 6.2: 2; 6.6: 1). Profil innych nie ma górą tak silnego wcięcia, jest bardziej pionowy (np. tabl. 6.9: 4; 6.11: 1; 6.29: 2; 6.37: 11). W dwóch przypadkach mamy do czynienia z wyodrębnieniem szyjki poprzez uskok wymodelowany w grubości ścianek naczynia (tabl. 6.3: 7; 6.36: 13). Analogicznie ukształtowane górą garnki znamy z osady w Warzycach (Czopek, Poradyło 2008, tabl. XXVIII: 11; XXIX: 1; XXXV: 4a).

Zwraca uwagę obecność dużych garnków w typie zasobowym, o średnicach wylewu w granicach 32–43 cm (tabl. 6.11: 1; 6.37: 11). Podobne wielkością, choć trochę różne kształtem, naczynia odkryto na osadach znad górnego Sanu w Wołodzi, stan. 1 (Czopek et al. 2000, tabl. II: 1; III: 1) oraz Sanoku-Białej Górze, stan. 3 (Gedl 1998, tabl. XXXV: 7; XXXVI: 3, 4).

Do tej pory scharakteryzowaliśmy te lepiej zachowane garnki. Często dysponujemy jednak tylko niewielkimi fragmentami brzegów, które najprawdopodobniej pochodzą z tego typu naczyń. Można tu wymienić znaleziska z obiektów (tabl. 6.1: 8, 10; 6.7: 3, 9; 6.10: 6; 6.15: 6; 6.22: 3; 6.26: 5), jak i z eksploracji warstwy, doczyszczania poziomu odhumusowania oraz z hałd (tabl. 6.33: 1, 2, 5, 7, 9, 12, 13, 15, 20; 6.34: 1, 3, 16, 18, 19; 6.35: 2, 4; 6.36: 6; 6.37: 2, 3, 6, 7; 6.38: 7). Nie możemy być pewni, czy we wszystkich tych przypadkach właściwie określiliśmy formę naczynia. Niewiele też da się o nich powiedzieć. Warto może zwrócić uwagę na drobny fragment brzegu przypuszczalnie cienkościennego garnka z jamy 134, zdobiony parą guzków pod krawędzią wylewu (tabl. 6.20: 5).

Powierzchnie omawianych garnków są z obydwu stron szarobrunatne, rzadziej wewnątrz czarne, a tylko od zewnątrz brunatne, najczęściej umiarkowanie szorstkie, choć czasem trafiają się obmazywane palcami lub odwrotnie, gładkie.

In the collection of undecorated pots, there are probably only vessels with S-like profiles. There are slender pots (e.g. Plate 6.6: 1) and squat ones with more rounded bodies (e.g. Plate 6.2:2) there. One of them has its maximum body diameter located very low (Plate 6.2: 1). Some of the pots have distinct, narrower necks (e.g. Plates 6.2: 2; 6.6: 1) while the profiles of other pots are more vertical (e.g. Plates 6.9: 4; 6.11: 1; 6.29: 2; 6.37: 11). There are two vessels with visible faults on the walls that separate the necks from the bodies (Plates 6.3: 7; 6.36: 13). Pots of similar shape were found in the settlement in Warzyce (Czopek, Poradyło 2008, Plates XXVIII: 11; XXIX: 1; XXXV: 4a).

Another interesting fact is the presence of large storage pots with spout diameters ranging from 32 to 43 cm (Plates 6.11: 1; 6.37: 11). Vessels of similar size but slightly different shapes were discovered in the settlements in Wołodź, site 1 (Czopek et al. 2000, Plates II: 1; III: 1) and in Sanok – Biała Góra, site 3 (Gedl 1998, Plates XXXV: 7; XXXVI: 3, 4).

So far, we have discussed the better-preserved pots. Often, however, what we have are only small fragments of rims, which most likely come from this type of vessels. They are finds from features (Plates 6.1: 8, 10; 6.7: 3, 9; 6.10: 6; 6.15: 6; 6.22: 3; 6.26: 5), as well as finds discovered during exploration of the layer, removing the humus and searching the heaps (Plates 6.33: 1, 2, 5, 7, 9, 12, 13, 15, 20; 6.34: 1, 3, 16, 18, 19; 4.35: 2, 4; 6.36: 6; 4.37: 2, 3, 6, 7; 6.38: 7). We cannot be sure whether we correctly identified the types of vessels in all these cases. There is also little to be said about them. What one might find interesting, however, is a small fragment of the rim of a, probably, thin-walled pot from pit 134, decorated with a pair of knobs under the edge of the spout (Plate 6.20: 5).

The surfaces of the pots in are usually grey-brown on both sides, less often they are black on the inside and brown on the outside. Most often, the surfaces are moderately rough, although sometimes they are smeared with fingers or smooth.

Pots with S-like profiles appear in large numbers in almost every well-explored settlement from the younger Bronze Age in the eastern part of the Polish Carpathians. It is so common that

Niemal na każdej lepiej przebadanej osadzie z młodszych okresów epoki brązu we wschodniej części polskich Karpat licznie pojawiają się garnki o esowatych profilach. Zjawisko to jest tak powszechne, że nie ma sensu przytaczać analogii, zwłaszcza że są to naczynia, których kształt warunkowała funkcja, a nie zmieniająca się w czasie moda. Z tych powodów pozostają one formami całkowicie nieprzydatnymi, jeśli chodzi o datowanie materiałów.

Obecność garnków o esowatych profilach odnotowano w tej strefie Karpat już w zespołach ze środkowego okresu epoki brązu (Ginalski 1992, ryc. 4: a, b; Pohorska-Kleja, Zielińska 1993, tabl. II: 4, 6, 7). Wszystko wskazuje na to, że formy te zostały wyparte z użytkowania dopiero we wczesnej epoce żelaza wraz z upowszechnieniem się garnków zdobionych listwami plastycznymi.

Proces ten można zaobserwować także na osadzie w Jabłonicy Ruskiej. Liczne fragmenty garnków z listwami plastycznymi zaopatrzonymi w dołki palcowe odkryto w obiektach (tabl. 6.15: 4; 6.18: 6; 6.19: 3, 4, 6, 9–11; 6.22: 7; 6.32: 2, 4–6) oraz luźno na arze S28 (tabl. 6.36: 9–12). Na ogół są to niecharakterystyczne ułamki brzuśców, niewiele mówiące o formie całych naczyń. Jeden z garnków stał wkopany w ziemię (tabl. 6.32: 6). Niestety kompletnie nie zachowała się jego partia brzegowa. Zdobiącą go poziomą listwę plastyczną z dołkami palcowymi umieszczono wysoko, w górnej części raczej wysmukłego brzuśca.

Fragmenty brzegów dwóch ornamentowanych plastycznie garnków znaleziono w obiekcie 130 (tabl. 6.19: 3, 4). Wydaje się, że pochodzą z naczyń o beczułkowatych brzuścach z krótkim, lekko rozchylonym brzegiem. Średnice ich wylewów są mniejsze od największej wydętości brzuśca. Jedna z opisywanych skorup posiada dość oryginalny ornament w postaci układu poziomych i pionowych listew plastycznych (tabl. 6.19: 3). Taka dekoracja w południowo-wschodniej Polsce pojawia się rzadko. Znamy ją ze stanowisk grupy tarnobrzeskiej w Jarosławiu, stan. 158 (Czopek 2014, tabl. XIX: 3; ryc. 124; s. 147) i Grzęsce, pow. przeworski (Czopek et al. 2016, ryc. 2.15: 7). W ich kontekście S. Czopek zwraca uwagę na południowe analogie w trackim środowisku kulturowym.

Prawie zawsze listwy noszą ślady dołków palcowych. Wyjątkiem od tej reguły jest jeden z fragthere is no point in presenting analogies, especially due to the fact that their shapes were determined by their function rather than fashion that changes over time. For these reasons, they remain completely useless when it comes to dating materials.

The presence of pots with S-like profiles was confirmed in this part of the Carpathians in collections from as early as the middle of the Bronze Age (Ginalski 1992, Fig. 4: a, b; Pohorska-Kleja, Zielińska 1993, Plate II: 4, 6, 7). All indications are that these vessels were still in use until the early Iron Age when pots decorated with plastic bands became more common.

The process can also be observed in the settlement in Jabłonica Ruska. There were many fragments of pots with plastic bands with finger impressions discovered in features (Plates 6.15: 4; 6.18: 6; 6.19: 3, 4, 6, 9–11; 6.22: 7; 6.32: 2, 4–6) and scattered around are S28 (Plate 6.36: 9–12). They were usually unidentified fragments of bodies, which do not say much about the type of the vessels they come from. One of the pots was found dug into the ground (Plate 6:32: 6). Unfortunately, its spout was not preserved. It had a horizontal plastic band with finger impressions placed high, in the upper part of the rather slender body.

Fragments of the rims of two pots with plastic ornaments were found in feature 130 (Plate 6.19: 3, 4). They appear to come from vessels with barrel-shaped bodies with a short, slightly flared rim. Their spout diameters are smaller than their maximum body diameters. One of the fragments has a rather unique ornament in the form of horizontal and vertical plastic bands (Plate 6.19: 3). Such decoration is rare in south-eastern Poland. It was found at the sites of the Tarnobrzeg group in Jarosław, site 158 (Czopek 2014, Plate XIX: 3; Fig. 124; p. 147) and Grzęska near Przeworsk (Czopek et al. 2016, Fig. 2.15: 7). In this context, S. Czopek mentions southern Thracian analogies.

The bands almost always have finger impressions. The exception is one of the fragments found in are S28 (Plate 6.36: 9) – the band put on it has oblique incisions. The same ornament was found

mentów znalezionych na arze S28 (tabl. 6.36: 9). Umieszczona na nim listwa została skośnie ponacinana. Identyczny ornament odnotowano na osadzie w Warzycach (Czopek, Poradyło 2008, tabl. III: 2, 9).

Z najbliższych terytorialnie analogii znad górnego Sanu możemy wymienić podobnie dekorowane listwami garnki m.in. z osad w Hłomczy, stan. 1 (Muzyczuk, Pohorska-Kleja 1994, tabl. XVII: 4, 15, 16, 19, 20; XVIII: 1), Sanoku, stan. 59–60 (Bulas et al. 2019, ryc. 6: 8, 9, 11, 19) i Bachórzu, stan. 16 (Parczewski 2000, ryc. 4: 3). Są to naczynia szeroko rozpowszechnione w polskich Karpatach, zaliczane do tzw. zespołów typu Niepla (Czopek, Poradyło 2008, s. 175, 184; Czopek 2009, s. 79–85) lub Zabrzeż-Podegrodzie (Madyda-Legutko 1995). Za ich późnym datowaniem, na HaD i początki okresu lateńskiego, opowiadał się również Marek Gedl (1998, s. 86).

Na koniec warto zwrócić uwagę, że w Jabłonicy Ruskiej garnkom z listwami plastycznymi zawsze towarzyszyły w obiektach fragmenty mis o brzegu zagiętym do środka. Obserwacja ta nie jest zaskoczeniem, bo zjawisko współwystępowania tych dwóch form naczyń w Karpatach zaobserwowano już pod koniec ubiegłego wieku.

Przypuszczalnie z jakiejś niewielkiej formy garnka pochodzi fragment z obiektu 130 zdobiony samymi dołkami palcowymi (tabl. 6.18: 4). Ten sposób ornamentowania ceramiki często pojawia się na wspomnianej kilkakrotnie osadzie w Warzycach (Czopek, Poradyło 2008, tabl. XIV: 2; XVI: 1; XVIII: 1; XXII: 21; XXXVIII: 9).

### 6.2.4. Misy

W materiale z Jabłonicy Ruskiej misy stanowią dość liczną kategorię naczyń. Niestety, zazwyczaj są to pojedyncze ułamki, które czasem wyklejają się wprawdzie w większe całości (np. tabl. 6.8: 5; 6.13: 4; 6.19: 5, 7), ale nigdy nie pozwalają na pełną rekonstrukcję form. Można je podzielić na dwa zasadnicze typy, profilowane i o brzegu zagiętym do środka. W takiej kolejności zostaną omówione w dalszej części tego pod rozdziału.

in the settlement in Warzyce (Czopek, Poradyło 2008, Plate III: 2, 9).

When it comes to the geographically closest analogies from the upper San river region, there are pots decorated with bands in a similar way, e.g. from the settlements in Hłomcza, site 1 (Muzyczuk, Pohorska-Kleja 1994, Plates XVII: 4, 15, 16, 19, 20; XVIII: 1), Sanok, sites nos. 59–60 (Bulas et al. 2019, Fig. 6: 8, 9, 11, 19) and Bachórz, site 16 (Parczewski 2000, Fig. 4: 3). Such vessels are common in the Polish Carpathians and they are considered to be the so-called Niepla type (Czopek, Poradyło 2008, pp. 175, 184; Czopek 2009, pp. 79–85) or the Zabrzeż-Podegrodzie type (Madyda-Legutko 1995). Marek Gedl (1998, p. 86) also believed that they should be dated to the later period, that is, to the HaD and the beginning of the La Tene period.

Finally, it is worth noting that, in Jabłonica Ruska, pots with plastic bands were always accompanied by fragments of bowls with rims bent inwards. This observation is not surprising, because the coexistence of these two forms of vessels in the Carpathians was already observed at the end of the last century.

There is a fragment found in feature 130, decorated only with finger impressions, which probably comes from a small pot (Plate 6.18: 4). This method of decoration often appeared in the aforementioned settlement in Warzyce (Czopek, Poradyło 2008, Plates XIV: 2; XVI: 1; XVIII: 1; XXII: 21; XXXVIII: 9).

### 6.2.4. Bowls

In the material from Jabłonica Ruska, bowls are a fairly numerous type of vessels. Unfortunately, the finds are usually single fragments, which, sometimes, can be put together (e.g. Plates 6.8: 5; 6.13: 4; 6.19: 5, 7) but they are never enough to reconstruct a whole vessel. They can be divided into two basic types – profiled bowls and bowls with rims bent inwards. They will be discussed in this order later in this section.

Zaskakujący jest brak na stanowisku mis półkulistych, które uchodzą przecież za bardzo typowe dla zespołów kultury łużyckiej. Podobne zjawisko sygnalizowano na badanej wykopaliskowo osadzie w pobliskim Sanoku (Bulas et al. 2019, s. 62).

Misy profilowane są wyjątkowo zróżnicowaną kategorią naczyń. Wśród tych lepiej zachowanych można wyróżnić w Jabłonicy Ruskiej formy o dwustożkowatym (tabl. 6.6: 6; 6.13: 4) lub zaokrąglonym brzuścu (tabl. 6.8: 5) oraz wyodrębnionej, umiarkowanie rozchylonej na zewnątrz szyjce. Jedna z nich zdobiona jest guzkami na załomie. Nawiązuje do nich przepalony, grubościenny fragment z jamy 225 (tabl. 6.28: 6). Odróżnia go brak wyodrębnienia szyjki, a średnica jego wylewu jest prawie równa największej wydętości brzuśca.

Z tego samego obiektu pochodzą fragmenty dwóch mis profilowanych, które mają również dwustożkowaty brzusiec, ale w porównaniu z wyżej omówionymi charakteryzują się jego szybszym przejściem w szyjkę (tabl. 6.30: 2; 6.31: 1). Na obydwu zachowały się ślady ornamentu skośnych kresek rytych. Niewiele różni się od nich zdobiony guzkiem fragment z jamy 135 (tabl. 6.21: 2).

Zupełnie inną formę reprezentują dwie misy, których wyraźny załom brzuśca został wymodelowany poprzez zwiększenie grubości ścianek naczynia (tabl. 6.10: 4; 6.38: 5).

W wielu przypadkach mamy do czynienia tylko z niewielkimi fragmentami brzuśców (tabl. 6.1: 12; 6.3: 5; 6.9: 2; 6.13: 2) lub brzegów mis profilowanych (tabl. 6.3: 2). Niejednokrotnie niezmiernie trudno ocenić, czy pochodzą one właśnie z mis czy raczej naczyń wazowatych, ewentualnie czerpaków (tabl. 6.1: 6; 6.27: 7; 6.34: 17; 6.35: 6, 10, 19; 6.36: 8). W obrębie ara O28 znaleziono z kolei ułamki naczynia o dwustożkowatym brzuścu oraz wyodrębnionej i rozchylonej szyjce, z resztkami nasady małego ucha (tabl. 6.36: 3). Na jego ornament składa się kompozycja poziomej linii rytej i skośnych rowków. Niewykluczone, że jest to przykład misy profilowanej zaopatrzonej w ucho.

Najczęstszym ornamentem są guzki oraz grupy skośnych kresek rytych lub nieco szerszych rowków. W trzech przypadkach górną partię brzuśca,

The surprising thing is that there were no semi-spherical bowls, which are considered to be very typical of the Lusatian culture, found at the site. A similar situation was reported in the excavated settlement in nearby Sanok (Bulas et al. 2019, p. 62).

Profiled bowls are an exceptionally diverse category of vessels. Among the better-preserved ones from Jabłonica Ruska there are bowls with biconical bodies (Plates 6.4: 6; 6.13: 4), bowls with rounded bodies (Plate 6.8: 5) and bowls with distinct, moderately flared necks. One of them is decorated with knobs on the shoulder. A burnt, thick-walled fragment from pit 225 (Plate 6.28: 6) is similar to them but it has no separate neck and its spout diameter is almost equal to its maximum body diameter.

In the same feature, there were fragments of two profiled bowls. They also have biconical bodies but, compared to the above-mentioned ones, their bodies turn into necks at lower points (Plates 6.30: 2; 6.31: 1). Both of them have traces of oblique, incised lines. The fragment from pit 135, decorated with a knob is quite similar (Plate 6.21: 2).

Two bowls with distinct shoulders, built by increasing the thickness of the vessel walls, are a completely different type (Plates 6.10: 4; 6.38: 5).

In many cases, there are only small fragments of bodies (Plates 6.1: 12; 6.3: 5; 6.9: 2; 6.13: 2) or of the rims of profiled bowls (Plate 6.3: 2). It is often very difficult to decide whether they come from bowls, vases, or cups (Plates 6.1: 6; 6.27: 7; 6.34: 17; 6.35: 6, 10, 19; 6.36: 8). In are O28, there were fragments of a vessel with a biconical body and a separated, flared neck with remains of the base of a small handle (Plate 6.36: 3). Its ornament is a combination of a horizontal, incised line and oblique grooves. It is possible that this is an example of a profiled bowl with a handle.

The most common ornaments are knobs and groups of oblique, incised lines or slightly wider grooves. In three cases, the upper part of the body, above the shoulder, is covered with wide, more or less oblique flutes (Plate 6.1: 12; 6.9: 2; 6.13: 2).

powyżej załomu pokrywają szerokie, mniej lub bardziej skośne kanelury (tabl. 6.1: 12; 6.9: 2; 6.13: 2).

Misy profilowane stanowią bardzo popularną kategorię naczyń w środowisku kultury łużyckiej. W różnym natężeniu występują przez cały okres rozwoju tej jednostki kulturowej. Najrzadziej pojawiają się w zespołach z wczesnej epoki żelaza. Chronologię tylko nielicznych form spośród nich można ograniczyć do węższych odcinków czasowych.

Nie inaczej jest w polskich Karpatach (Gedl 1998, s. 75–76). Precyzyjniej datowane mogą być jedynie misy zdobione skośnymi kanelurami. Ich występowanie należy ograniczyć przede wszystkim do młodszego okresu epoki brązu (Czopek, Poradyło 2008, s. 160).

Prawie równie często jak profilowane występują misy o brzegu zagiętym do środka. Wyjątkowo dużo odkryto ich w obiekcie 130 razem z kubkiem toczonym na kole garncarskim. Na ich fragmenty natrafiono w 6 obiektach, a dwa kolejne ułamki pochodzą z eksploracji warstwy lub doczyszczania poziomu plantu.

Zazwyczaj brzeg takiej misy jest tylko lekko skierowany do środka (tabl. 6.10: 2; 6.18: 8, 10; 6.19: 1, 2, 5; 6.27: 1; 6.34: 9; 6.35: 20), choć nie stanowi to reguły (tabl. 6.19: 7; 6.22: 4). Zdarza się, że sama krawędź wylewu jest pogrubiona (tabl. 6.18: 5) lub odwrotnie, wyraźnie ścieniona (tabl. 6.15: 3; 6.18: 9; 6.32: 3). Naczynia mogą być płytkie (np. tabl. 6.18: 5, 9; 6.19: 2, 5), jak i głębokie (np. tabl. 6.18: 10; 6.34: 9). Żadnego z nich nie udało się zrekonstruować.

Najczęściej misy są z obydwu stron szarobrunatne albo wewnątrz czarne lub szare, a na zewnątrz brunatne. Przeważają gładkie powierzchnie. W trzech przypadkach w partii przydennej od zewnątrz są szorstkie lub nawet lekko schropowacone, a w pozostałej części gładkie (tabl. 6.18: 5; 6.19: 2, 5).

W strefie polskich Karpat misy o brzegu zagiętym do środka stanowią jeden z wyróżników datowanych na HaD i początki okresu lateńskiego tzw. zespołów typu Niepla (Czopek, Poradyło 2008, s. 175, 185; Czopek 2009, s. 79–85) i Zabrzeż-Podegrodzie (Madyda-Legutko 1995). Podobnie jak w Jabłonicy Ruskiej występują one w towarzystwie garnków zdobionych listwami plastycznymi. Takie formy mis są typowe także dla terenów wschodniej Słowacji, gdzie ich liczną obecność odnotowano

Profiled bowls were a very popular category of vessels in the Lusatian culture. They were used, with different intensity, throughout the whole period when the culture developed. They are least common in the early Iron Age collections. Only few of them can be dated to narrower periods of time.

It is no different in the Polish Carpathians (Gedl 1998a, pp. 75–76). Only bowls decorated with oblique flutes can be dated more precisely. Their occurrence should be connected to the younger period of the Bronze Age (Czopek, Poradyło 2008, p. 160).

Bowls with rims bent inwards are almost as common as profiled bowls. Exceptionally high number of them were discovered in feature 130 together with a wheel-thrown mug. Their fragments were also found in 6 other features. Another two fragments were found during the exploration of the layer and removing humus.

Usually, the rim of such a bowl is only slightly bent inwards (Plates 6.10: 2; 6.18: 8, 10; 6.19: 1, 2, 5; 6.27: 1; 6.34: 9; 6.35:20), although it does not always happen (Plates 6.19: 7; 6.22: 4). Sometimes, the edge of the spout is thickened (Plate 6.18: 5) or visibly thinned (Plates 6.15: 3; 6.18: 9; 6.32: 3). The vessels can be both shallow (e.g. Plates 6.18: 5, 9; 6.19: 2, 5) and deep (e.g. Plates 6.18:10; 6.34: 9). None of them could be reconstructed.

Most often, the bowls are grey-brown on both sides, or black or grey on the inside, and brown on the outside. Smooth surfaces dominate. In three cases, in the base part, they are rough or even slightly coarse on the outside, while the other parts of the vessels are smooth (Plates 6.18: 5; 6.19: 2, 5).

In Polish Carpathians, bowls with rims bent inwards are one of the chronology indicators dated back to the HaD and to the beginnings of the La Tenne period and, to be more specific, to the so-called Niepla type (Czopek, Poradyło 2008, pp. 175, 185; Czopek 2009, pp. 79–85) and Zabrzeż-Podegrodzie type (Madyda-Legutko 1995). As in Jabłonica Ruska, they are accompanied by pots decorated with plastic bands. Such types of bowls are also typical for eastern Slovakia – many of them were discovered there, in the late

już w zespołach z końca epoki brązu (Miroššayova 1987, s. 120, ryc. 2). Nie inaczej jest z ich chronologią po północnej stronie grzbietu Karpat. Na nieodległym cmentarzysku w Bachórzu misy o brzegu zagiętym do środka pojawiają się już w grobach z epoki brązu, choć upowszechniają się oczywiście dopiero we wczesnej epoce żelaza (Gedl 1994, s. 42–43).

Bronze Age collections (Miroššayova 1987, p. 120, Fig. 2). Their chronology is similar in the northern side of the Carpathians. In the nearby cemetery in Bachórz, bowls with rims bent inwards appear in graves from the Bronze Age. They were not common, however, until the early Iron Age (Gedl 1994, pp. 42–43).

### 6.2.5. Kubek toczony na kole garncarskim

Jednym z najciekawszych znalezisk z Jabłonicy Ruskiej jest toczony na kole garncarskim kubek z masywnym uchem wystającym wysoko ponad wylew naczynia (tabl. 6.18: 1). Zachował się niemal w całości, choć trzeba było go wykleić. Posiada dwustożkowaty brzusiec o zaokrąglonym załomie oraz rozchylony na zewnątrz, krótki brzeg. Jego ucho powstało z połączenia dwóch wałków gliny.

Niewątpliwie mamy tu do czynienia z wykonaną na kole garncarskim ceramiką typu „scyto-trackiego". Jednoznacznie wskazuje na to forma naczynia. Podobne kubki, określane tam jako dzbany, wystąpiły w wielu grobach na cmentarzysku w miejscowości Chotín w południowo-zachodniej Słowacji, przy czym część z nich była lepiona ręcznie (Dušek 1966, s. 24–25). Autor publikacji tego stanowiska przytacza liczne analogie dla tych naczyń z terenu Kotliny Karpackiej. Niewątpliwie stanowią one element bardzo charakterystyczny dla zespołów kultury Vekerzug (Chochorowski 1985, s. 35–36).

Wykonane na kole garncarskim kubki z wysokim uchem znamy też z materiałów grupy kusztanowickiej ze wschodniej Słowacji (Čilinská 1959, s. 79, tabl. II: 6), choć o wiele częstsze są tam ich naśladownictwa lepione ręcznie (Miroššayová 1979, ryc. 2, s. 132). Podobnie wygląda sytuacja w zespołach kushtanowickich z Ukrainy Zakarpackiej (Popowič 2006, ryc. 9: 8; 25: 5; 26: 3; Kobal 2014).

Od połowy lat 80. ubiegłego wieku problematyka toczonej na kole ceramiki „scyto-trackiej" w południowo-wschodniej Polsce obrosła w bogatą literaturę (np. Czopek 1986; 1989, s. 248; 2012; 2014, s.

### 6.2.5. Wheel-thrown mug

One of the most interesting finds from Jabłonica Ruska is a wheel-thrown mug with a massive handle that goes high above the spout (Plate 6.18: 1). Almost all the fragments of the vessel were preserved, they had to be glued together though. The mug has a biconical body with a rounded shoulder and a slightly flared, short rim. The handle was made of two rolls of clay joined together.

Undoubtedly, it is an example of wheel-thrown pottery of the „Scythian-Thracian" type. It is clearly indicated by the shape of the vessel. Similar cups, referred to as jugs, were found in many graves in the cemetery in Chotín in southwestern Slovakia, some of them, however, were handmade (Dušek 1966, pp. 24–25). The author of the publication about the site shows numerous analogies for these vessels found in the Carpathian Basin. They are definitely very characteristic of the Vekerzug culture collections (Chochorowski 1985, pp. 35–36).

Wheel-thrown mugs with high handles were also found among the materials of the Kuštanov group from eastern Slovakia (Čilinská 1959, p. 79, Plate II: 6), although their handmade imitations are much more common (Miroššayová 1979, Fig. 2, p. 132). The situation is similar in the Kushtanovytsya vessel collections from Carpathian Ruthenia (Popowič 2006, Figs. 9: 8; 25: 5; 26: 3; Kobal 2014).

Since the mid-1980s, many publications have been devoted to the problem of wheel-thrown „Scythian-Thracian" pottery in south-eastern Poland (e.g. Czopek 1986; 1989, p. 248; 2012; 2014, pp. 167–168; Chochorowski 1989, pp. 557–558). It

167–168; Chochorowski 1989, s. 557–558). Śmiało można powiedzieć, że to jedno z lepiej rozpracowanych zagadnień wczesnej epoki żelaza w tym regionie.

Jak do tej pory fragmenty tego typu ceramiki znamy z 20 stanowisk grupy tarnobrzeskiej, kultury pomorskiej oraz zlokalizowanych właśnie w dolinie górnego Sanu (Czopek 2014, ryc. 219). Powszechnie przyjmuje się, że są to importy, najprawdopodobniej z obszaru kultury Vekerzug (Chochorowski 1989, s. 558). Napływ wykonanej na kole garncarskim ceramiki „scyto-trackiej" na tereny na północ od Karpat datuje się na V i pierwszą połowę IV wieku p.n.e. (Czopek 2014, s. 167–168).

Toczony kubek z Jabłonicy Ruskiej nie jest jedynym tego typu znaleziskiem znad górnego Sanu. Fragmenty takiej ceramiki odkryto wcześniej na osadach w Solinie oraz Hłomczy.

is safe to say that this is one of the better-researched issues as for the early Iron Age in this region.

So far, fragments of this type of pottery were found at 20 Tarnobrzeg group sites, at Pomeranian culture sites and at sites located in the upper San river valley (Czopek 2014, Fig. 219). It is generally assumed that the vessels were imported, most likely from the Vekerzug culture area (Chochorowski 1989, p. 558). The influx of „Scythian-Thracian" wheel-thrown pottery to the region north of the Carpathians dates back to the 5th and first half of the 4th century BC. (Czopek 2014, pp. 167–168).

The wheel-thrown mug from Jabłonica Ruska is not the only find of this type from the upper San river region. Fragments of such pottery were discovered earlier in the settlements in Solina and Hłomcza.

### 6.2.6. Małe naczyńka, w tym czerpaki

Z definicji czerpaki to niewielkie naczyńka zaopatrzone w jedno ucho, o średnicy wylewu wyraźnie większej niż wysokość. W przypadku osad, gdzie ceramika prawie zawsze jest silnie rozdrobniona, identyfikacja tych form przysparza sporo problemów. Często mamy bowiem nawet duże fragmenty naczyń, które kształtem i wymiarami odpowiadają czerpakom, ale nie posiadają zachowanych uch. Dotyczy to także omawianych materiałów.

W jednym z poprzednich podrozdziałów zwracano już uwagę, że głównie z czerpaków i ewentualnie mis profilowanych pochodzą fragmenty ceramiki o silnie wygładzonych powierzchniach lub z domieszką o wyłącznie drobnej granulacji. Udział skorup o takich cechach dla analizowanego zespołu wynosi odpowiednio 2,83% i 2,19%. Wartości te dają pewien wgląd w liczebność tej kategorii naczyń. W mniejszym stopniu taką cechą diagnostyczną może być niewielka grubość ścianek naczyń (za cienkościenną uznano 8,28% ceramiki). Oczywiście nie jest tak, że każdy czerpak posiada silnie wygładzone powierzchnie i drobniutką domieszkę. Podobne cechy mogą mieć np. niewielkie, starannie wykonane wazy. Niemniej jest to próba sensownego

### 6.2.6. Small vessels, including cups

By definition, a cup is a small vessel with one handle and the diameter of the spout clearly greater than the height of the vessel. When it comes to settlements where pottery is almost always highly fragmented, the identification of such vessels is quite challenging. We often find fragments, even large ones, of vessels, shapes and dimensions of which indicate that they come from cups, but they do not have preserved handles. The problem also occurred when analysing the materials in question.

In one of the previous sections it was already pointed out that fragments of pottery with very smooth surfaces or with only fine-grained admixture come mainly from cups and, possibly, profiled bowls. The number of fragments with such features in the analysed collection is, respectively, 2.83% and 2.19%. The values give some insight into the number of vessels of this category. To a smaller extent, such a distinctive feature may be lesser thickness of vessel walls (8.28% of the pottery was considered thin-walled). Of course, not every cup has very smooth surfaces and a fine-grained admixture. Similar features may be observed in, for example, small, carefully crafted vases. Nevertheless,

wykorzystania w analizie szczegółowych opisów technologicznych ceramiki.

Grupę czerpaków profilowanych mogą reprezentować fragmenty małych naczyń, nie zawsze z zachowanym uchem, odkryte w trzech jamach (tabl. 6.1: 3, 5; 6.22: 6) oraz luźno, poza obiektami (tabl. 6.33: 17, 18; 6.34: 13; 6.35: 1; 6.37: 4, 8; 6.38: 4, 6). Niestety, tylko trzy z nich można było zrekonstruować. Każdy ma nieco inny kształt. Naczyńko z jamy 2 posiada niski brzusiec oraz wyodrębnioną, stożkowatą szyjkę z rozchylonym wylewem (tabl. 6.1: 5). Zdecydowanie większy jest czerpak z obiektu 150, o średnicy brzuśca wynoszącej aż 17 cm (tabl. 6.22: 6). Po ukształtowaniu jego partii brzegowej można domyślać się obecności ucha. Jest to forma o wklęsłym do środka dnie, dwustożkowatym brzuśca z ostrym załomem i lekko rozchylonym brzegu. Z kolei trzeci z zaliczonych tu egzemplarzy charakteryzuje się zaokrąglonym brzuścem, który płynnie przechodzi w łukowato rozchyloną szyjkę (tabl. 6.35: 1). Niewiele można powiedzieć o kształtach pozostałych czerpaków, ponieważ są to drobne fragmenty niedające wglądu w formę całego naczyńka. Ich brzuśce mogą być dwustożkowate lub zaokrąglone. Te drugie występują rzadziej. Niekiedy brzusiec szybko przechodzi w wyodrębnioną szyjkę, a całe naczynie jest bardzo płytkie (np. tabl. 6.37: 8; 6.38: 4). Wszystkie należą jednak do typu profilowanych.

Czerpaki są wyjątkowo często zdobione. Najpopularniejszy ornament stanowią guzki i grupy skośnych lub pionowych kresek rytych w górnej partii brzuśca lub jego załomie. Jeśli chodzi o datowanie, to o wiele istotniejsza wydaje się obecność wąskich, skośnych lub pionowych kanelur, zazwyczaj rozdzielonych guzkami (tabl. 6.1: 3, 5; 6.35: 1; 6.38: 6). Chronologię tak zdobionych czerpaków profilowanych należy ograniczyć do epoki brązu, szczególnie do jej środkowego i młodszego okresu, kiedy to ten sposób dekorowania naczyń pojawia się najczęściej (Czopek, Poradyło 2008, s. 160). Podobnie ornamentowane, małe naczyńka z łatwością można znaleźć w publikacjach dobrze przebadanych osad w Warzycach, stan. 17 (Czopek, Poradyło 2008, tabl. XXX: 5) i Sanoku, stan. 59–60 (Bulas et al. 2019, ryc. 5: 3).

it is an attempt to make a sensible use of detailed technological descriptions of pottery in an analysis.

Profiled cups are, probably, represented by fragments of small vessels, not always with preserved handles, which were discovered in three pits (Plates 6.1: 3, 5; 6.22: 6) and scattered outside the features (Plates 6.33: 17, 18; 6.34: 13; 6.35: 1; 6.37: 4, 8; 6.38: 4, 6). Unfortunately, only three of them could be reconstructed. Each of them has a slightly different shape. The small vessel from pit 2 has a low body and a distinct, conical neck with a flared spout (Plate 6.1: 5). The cup from feature 150 is much larger, with a body diameter of 17 cm (Plate 6.22: 6). Judging by its rim, one can assume that there was also a handle on it. It is a vessel with a concave base, a biconical body with a sharp shoulder and a slightly flared rim. The third vessel included here has a rounded body which smoothly turns into a flared neck (Plate 6.35: 1). Not much can be said about the shapes of the other cups, because there are only tiny fragments of them that give no insight into the shapes of the whole vessels. Their bodies might have been biconical or rounded. The latter are less common. Sometimes, the body quickly turns into a separated neck and the vessel is very shallow (e.g. Plates 6:37: 8; 6:38: 4). All of them, however, belong to a profiled type of vessels.

The cups are exceptionally often decorated. The most popular ornaments are knobs and groups of oblique or vertical lines incised on the upper part of the body or on the shoulder. As for dating, the presence of narrow, oblique or vertical flutes, usually separated by knobs (Plates 6.1: 3, 5; 6.35: 1; 6.38: 6) seems to be much more important. The chronology of profiled cups decorated in this way should be limited to the Bronze Age, especially to its middle and younger period, when this method of decorating vessels appeared most often (Czopek, Poradyło 2008, p. 160). Similarly decorated, small vessels can easily be found in the publications on the thoroughly investigated settlements in Warzyce, site 17 (Czopek, Poradyło 2008, Plate XXX: 5) and in Sanok, sites 59–60 (Bulas et al. 2019, Fig. 5: 3).

### 6.2.7. Naczynia sitowate

Z omawianym horyzontem osadniczym związanych było przynajmniej kilka odkrytych fragmentów naczyń sitowatych (tabl. 6.27: 2; 6.33: 21; 6.36: 4). Gdy pochodzą one z warstwy, to ich odróżnienie od podobnych form z okresu rzymskiego jest praktycznie niemożliwe. Prawie zawsze powierzchnie tych fragmentów są zniszczone, przypuszczalnie wskutek wystawienia na działanie wysokich temperatur.

W strefie karpackiej ułamki naczyń sitowatych odnotowano w Sanoku-Olchowcach, stan. 16 (Zielińska 2005, tabl. V: 12), Sanoku, stan. 59–60 (Bulas et al. 2019, s. 62) i Bachórzu, stan. 16 (Parczewski 1997, ryc. 6: 2). Niewątpliwie pełniły one określoną funkcję użytkową, choć dziś trudno bez specjalistycznych badań odgadnąć, jaką dokładnie. Nie są to zabytki, które pomogłyby nam w ustaleniu chronologii materiałów z Jabłonicy Ruskiej.

### 6.2.7. Vessels with sieves

At least a few discovered fragments of vessels with sieves were connected with the discussed settlement period (Plates 6.27: 2; 6.33: 21; 6.36: 4). When it comes to the vessels found in the layer, it is practically impossible to distinguish them from similar vessels from the Roman period. The surfaces of these fragments are almost always damaged, presumably due to exposure to high temperatures.

In the Carpathians area, fragments of vessels with sieves were found in Sanok-Olchowce, site 16 (Zielińska 2005, Plate V: 12), Sanok, site 59–60 (Bulas et al. 2019, p. 62) and Bachórz, site 16 (Parczewski 1997, Fig. 6: 2). Undoubtedly, they had a specific practical function, although today it is difficult to guess, without more detailed research, what it was exactly. They are not artefacts that may help to determine the chronology of materials from Jabłonica Ruska.

## 6.3. Zabytki wydzielone

### 6.3.1. Fragment żelaznego przedmiotu

Jedyny metalowy zabytek, który można łączyć z osadnictwem ludności kultury łużyckiej w Jabłonicy Ruskiej, znaleziono w jamie 15 (tabl. 6.5: 1). Wykonano go ze sztabki żelaza o czworokątnym przekroju. Jest to łukowato wygięty fragment większego przedmiotu, którego pierwotny kształt jest obecnie niemożliwy do określenia. Sam surowiec przesądza jednak o datowaniu zabytku i pozostałych znalezisk z obiektu 15.

### 6.3.2. Przęśliki

Podczas eksploracji wypełniska obiektu 150 znaleziono dwa fragmentarycznie zachowane, gliniane przęśliki. Jeden z nich jest płaski, przypomina krążek z otworem pośrodku (tabl. 6.22: 5).

Kształt drugiego można określić jako dwustożkowaty (tabl. 6.22: 9). Interesujący jest sposób jego zdobienia na powierzchniach bocznych rytymi owalami

## 6.3. Other finds

### 6.3.1. A fragment of an iron artefact

The only metal artefact that can be linked to the Lusatian settlement in Jabłonica Ruska was found in pit 15 (Plate 6.5: 1). It was made from a piece of iron with a quadrangular cross-section. It is an arched fragment of a larger object, but it is difficult to say what the object exactly was. The raw material itself, however, determines the dating of the artefact and other finds from feature 15.

### 6.3.2. Spindle whorls

During the exploration of the fill of feature 150, two partially preserved, clay spindle whorls were found. One of them is a flat, disc-like object with a hole in the centre (Plate 6.22: 5).

The shape of the second one can be described as biconical (Plate 6.22: 9). The way it is decorated on the sides, with incised, concentric ovals, is

o koncentrycznym układzie. Jeśli chodzi o ornament, trudno wskazać dla niego analogie po północnej stronie grzbietu Karpat. Identyczne pod względem kształtu i zdobienia przęśliki występują natomiast w kulturze Vekerzug, m.in. na cmentarzysku w miejscowości Chotín w południowo-zachodniej Słowacji (Dušek 1966, tabl. XXVI: 8; XXXI: 9; XXXV: 7; XXXVI: 17). W Jabłonicy Ruskiej mamy więc do czynienia z importem lub wiernym naśladownictwem południowych wzorów. Ta pierwsza opcja wydaje się bardziej prawdopodobna, choćby z powodu obecności na stanowisku toczonej na kole garncarskim ceramiki typu „scytotrackiego".

Trzeci przęślik, znaleziony luźno na arze L26, ma soczewkowaty przekrój (tabl. 6.35: 11). Dysponujemy jego niewielkim fragmentem o mocno zniszczonych powierzchniach. Zabytek ten, podobnie jak i wymieniony wcześniej przęślik krążkowaty, należą do form szeroko rozpowszechnionych w środowisku kultury łużyckiej. Występują na większości lepiej przebadanych stanowisk osadowych.

### 6.3.3. Ciężarek tkacki

Z warsztatem tkackim związane są nie tylko przęśliki, ale również duży ciężarek, którego fragmenty odkryto w obiekcie 81 (tabl. 6.12: 3). W strefie karpackiej podobne znaleziska znamy z Wrocanki, stan. 14 (Gancarski 1992, ryc. 8: 2–4), Warzyc, stan. 17 (Czopek, Poradyło 2008, tabl. II: 2–3; IV: 2) oraz Sanoka, stan. 59–60 (Bulas et al. 2019, s. 58, ryc. 6: 15). Chronologię większości z nich należy odnosić do wczesnej epoki żelaza i ewentualnie początków okresu lateńskiego. W zespołach najczęściej występują one razem z misami o brzegu zagiętym do środka i garnkami zdobionymi listwami plastycznymi. Podobnych zabytków można doszukać się na terenie wschodniej Słowacji (Budinský-Krička, Miroššayová 1992, tabl. VIII: 16).

Na arze S27 natrafiono na ułamki kolejnego ciężarka tkackiego. Pochodzą one spoza obiektów, dlatego trudno określić ich chronologię. Identyczne zabytki występują bowiem w materiałach z okresu rzymskiego. Jako przykład można podać znalezisko z właśnie tak datowanego obiektu 15 w Hłomczy koło Sanoka (Muzyczuk, Pohorska-Kleja 1994, tabl. V: 23).

quite interesting. As for the ornament, it is difficult to find similar ones on the northern side of the Carpathians. Identical, in terms of shape and decoration, spindle whorls were found in the Vekerzug culture, e.g. in the cemetery in Chotín in southwestern Slovakia (Dušek 1966, Plates XXVI: 8; XXXI: 9; XXXV: 7; XXXVI: 17). The spindle whorl from Jabłonica Ruska, therefore, might be an import or an accurate imitation of the southern patterns. The former seems to be more probable because of, e.g., the presence of wheel-thrown, „Scythian" type pottery at the site.

The third spindle whorl, found in are L26, has a lens-shaped cross-section (Plate 6.35: 11). Only a small fragment of it is preserved and it has heavily damaged surfaces. The artefact is, similarly to the aforementioned disc-like spindle whorl, a common form in the Lusatian culture. Such forms are found at most of the better-investigated settlement sites.

### 6.3.3. Loom weight

Weaving equipment is represented not only by spindle whorls but also by a loom weight, fragments of which were discovered in feature 81 (Plate 6.12: 3). As for the Carpathians, there are similar finds from Wrocanka, site 14 (Gancarski 1992, Fig. 8: 2–4), Warzyce, site 17 (Czopek, Poradyło 2008, Plates II: 2–3; IV: 2) and Sanok, site 59–60 (Bulas et al. 2019, p. 58, Fig. 6: 15). Most of them should be dated to the early Iron Age and, possibly, to the beginning of the La Tenne period. They are most often discovered together with bowls with rims bent inwards and pots decorated with plastic bands. Similar artefacts were found in eastern Slovakia (Budinský-Krička, Miroššayová 1992, Plate VIII: 16).

In are S27, fragments of another loom weight were found. As they do not come from features, it is difficult to identify their chronology. What is more, identical finds appear in materials from the Roman period. An example here can be a find from feature 15 in Hłomcza near Sanok which is dated to this period (Muzyczuk, Pohorska-Kleja 1994, Plate V: 23).

## 6.4. Chronologia i charakterystyka osady

Chronologię najstarszych z analizowanych tu zespołów trzeba odnosić do młodszego okresu epoki brązu. Tak datowany powinien być przede wszystkim obiekt 2, w którego inwentarzu znajdują się fragmenty wazy i misy zdobione szerokimi, skośnymi kanelurami. Najprawdopodobniej w IV okresie epoki brązu użytkowane były także jamy 68, 91 i 211. Można tak sądzić na podstawie znalezionych w ich wypełniskach ułamków naczyń z ornamentem skośnych kanelur.

Ten etap funkcjonowania osady poświadcza data $^{14}$C 2890 ± 30 BP z jamy 15 (ryc. 6.16.). Po kalibracji przy prawdopodobieństwie 68,3% mieści się ona w przedziale od 1117 do 1016 BC. Sam obiekt 15 datowany jest o wiele później, ponieważ odkryto w nim fragment żelaznego przedmiotu. Poddane analizie $^{14}$C węgle mogły znajdować się w jego wypełnisku na złożu wtórnym.

Prawie identyczną datę radiowęglową 2855 ± 30 BP otrzymano z próbki pobranej spod kamiennego bruku oznaczonego jako obiekt 189. Różnice są minimalne. Niestety data ta, wyznaczając jedynie *terminus post quem*, nie przesądza o chronologii samego bruku, choć jego związek z osadą z tego okresu wydaje się wysoce prawdopodobny.

Warto porównać wyniki ze stanowiska w Jabłonicy Ruskiej z osadą w Warzycach koło Jasła (Czopek, Poradyło 2008, tabela 12, ryc. 123, 124). Uzyskano tam aż 17 dat radiowęglowych, układających się w dwie różnoczasowe serie. Wśród tych starszych można wskazać dwie bardzo podobne do Jabłonicy Ruskiej, 2865 ± 35 BP z jamy 193 oraz 2850 ± 30 BP z obiektu 119. Pozostałe daty z Warzyc z tego starszego horyzontu, mieszczące się w przedziale od 2995 do 2905 BP, wskazują na nieco wcześniejsze założenie tamtej osady w porównaniu z Jabłonicą Ruską.

Wyraźnie młodsza od wymienionych powyżej obiektów jest jama 225. Pochodząca z niej próbka węgli dała wyniki 2765 ± 35 BP, co po kalibracji przy prawdopodobieństwie 95,4% daje przedział 1002 – 828 BC (ryc. 6.17.), a więc pozwala datować ten zespół na HaB, a przynajmniej jego większą część.

## 6.4. Chronology and characteristics of the settlement

The chronology of the oldest of the groups of features analysed here should be connected with the younger period of the Bronze Age. This is, definitely, how feature 2 should be dated, where fragments of vases and bowls decorated with wide, oblique flutes were found. Most probably, pits 68, 91 and 211 were also used in the IV period of the Bronze Age, evidence of which might be the fragments of vessels decorated with oblique flutes found in their fills.

This stage of the settlement development is confirmed by the date $^{14}$C 2890 ± 30 BP from pit 15 (Fig. 6.16). After calibration, with a probability of 68.3%, it is in the 1117 to 1016 BC range. Feature 15 itself is dated to much later period because a fragment of an iron object was discovered in it. The pieces of charcoal that underwent $^{14}$C analysis might come from the secondary deposit.

An almost identical radiocarbon date of 2855 ± ± 30 BP was obtained from a sample taken from under the stone pavement marked as feature 189. The differences are minimal. Unfortunately, this date, marking only the terminus post quem, does not determine the chronology of the pavement itself, although its connection with the settlement from that period seems highly probable.

It is worth comparing the research results from the site in Jabłonica Ruska with the research results from the settlement in Warzyce near Jasło (Czopek, Poradyło 2008, Plate 12, Fig. 123, 124). As many as 17 radiocarbon dates were obtained there, forming two different time series. Among the older dates, there are two dates very similar to Jabłonica Ruska – 2865 ± 35 BP from pit 193 and 2850 ± 30 BP from feature 119. The rest of the Warzyce dates from the older period, ranging from 2995 to 2905 BP, indicate slightly earlier start of the settlement, compared to Jabłonica Ruska.

Pit 225 is clearly younger than the above-mentioned features. The carbon sample from it gave the results of 2765 ± 35 BP, which after calibration with a probability of 95.4% gives the range 1002 – 828 BC (Fig. 6.17.), and thus allows to date this assemblage, or at least most of it, to HaB.

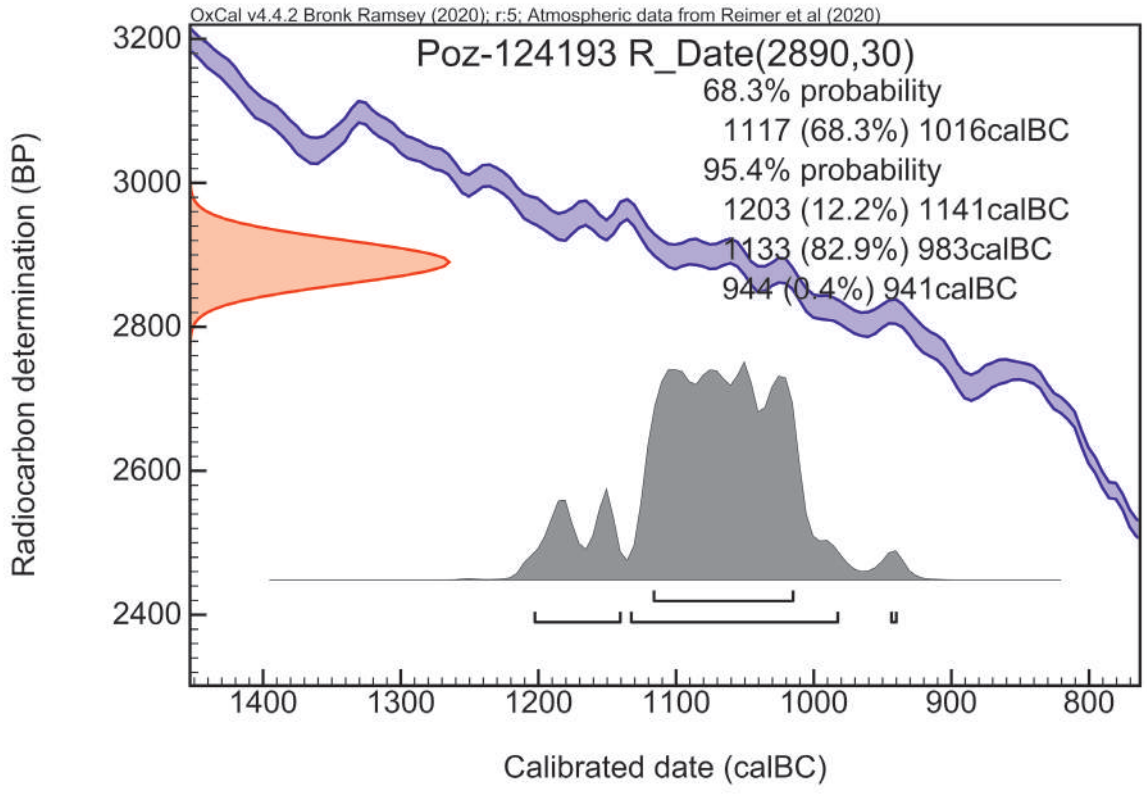


Ryc. 6.16. Jabłonica Ruska, stan. 1. Wyniki datowania radiowęglowego próbki z obiektu nr 15
Fig. 6.16. Jabłonica Ruska, site 1. Results of radiocarbon dating of a sample from feature 15

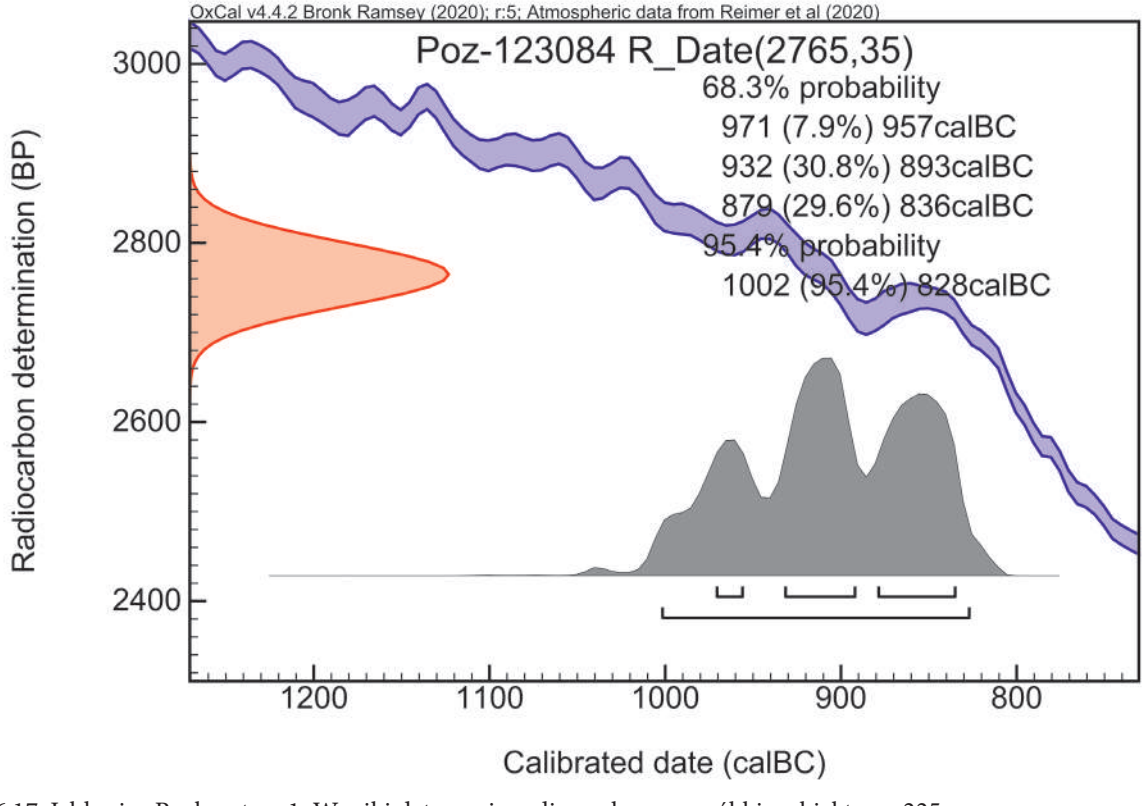


Ryc. 6.17. Jabłonica Ruska, stan. 1. Wyniki datowania radiowęglowego próbki z obiektu nr 225
Fig. 6.17. Jabłonica Ruska, site 1. Results of radiocarbon dating of a sample from feature 225

Najmłodszy horyzont osady w Jabłonicy Ruskiej wyznaczają materiały, które można zaliczyć do zespołów typu Niepla, datowanych na HaD i początki okresu lateńskiego (Czopek, Poradyło 2008, s. 175, 184; Czopek 2009, s. 79–85). Charakteryzuje je obecność garnków zdobionych listwami plastycznymi oraz mis o brzegu zagiętym do środka. Wyraźnie zmienia się wtedy technologia ceramiki[6]. Naczynia najczęściej mają nierówne, „gruzełkowate" powierzchnie, a w masie ceramicznej widoczne są duże ziarna domieszki tłucznia ceramicznego.

Późną chronologię tych zespołów potwierdzają w Jabłonicy Ruskiej południowe importy w postaci toczonego na kole garncarskim kubka z obiektu 130 i zdobionego przęślika znalezionego w jamie 150. Wskazują one na datowanie w granicach V wieku p.n.e., a być może także początków następnego stulecia.

Ten końcowy horyzont istnienia osady reprezentują obiekty: 67, 96, 119, 130, 150, 186, 191 i 254. Choć teoretycznie jest ich więcej niż wymienionych wcześniej jam datowanych na epokę brązu, to wcale nie musi to odzwierciedlać faktycznego stanu. Zdecydowana większość obiektów z mało charakterystycznym materiałem, których nie da się precyzyjnie wydatować, pochodzi bowiem najpewniej właśnie z epoki brązu.

Warto na koniec zwrócić uwagę na obiekt 15, w którym odkryto fragment przedmiotu żelaznego. Pod względem form naczyń i technologii ceramiki nie przypomina on zespołów typu Niepla. Obecność misy profilowanej, ornamentowanej wazy o wyświeconej, czarnej powierzchni zewnętrznej, wewnątrz brunatnej, jak i forma wysmukłego garnka o esowatym profilu nawiązują raczej do epoki brązu. Z drugiej strony mamy tam zabytek wykonany z żelaza, co przesądza o chronologii całego zespołu. Wprawdzie w tej części Karpat pojawiają się pojedyncze żelazne zabytki, jak siekierka z Wietrzna, które można ewentualnie datować na

The youngest period of the settlement in Jabłonica Ruska is connected with materials that can be classified as the Niepla type, dated back to the HaD and the beginnings of the La Tene period (Czopek, Poradyło 2008, pp. 175, 184; Czopek 2009, pp. 79–85). The materials include pots decorated with plastic bands and bowls with rims bent inwards. This was the time when the pottery production technology changed significantly[6]. The surfaces of the vessels are most often uneven with visible „pellets" and the ceramic fabric contains coarse-grained ceramic admixture.

The late chronology of these assemblages is confirmed in Jabłonica Ruska by southern imports - a wheel-thrown mug from feature 130 and a decorated spindle whorl found in pit 150. Their presence suggests dating to the 5th century BCE, and, perhaps, also to the beginning of the next century.

This final period of the settlement is represented by features 67, 96, 119, 130, 150, 186, 191 and 254. Although, theoretically, there are more of them than the aforementioned pits dated back to the Bronze Age, it does not necessarily reflect the actual situation. Vast majority of features with not very characteristic material, which cannot be accurately dated, probably come from the Bronze Age.

Finally, it is worth having a closer look at feature 15, in which a fragment of an iron object was discovered. When it comes to vessel forms and pottery production technology, it does not resemble the Niepla type. Both the profiled, decorated vase with a polished, black outer surface and a brown inner surface, and the slender pot with an S-shaped profile should rather be linked to the Bronze Age. On the other hand, an artefact made of iron was also discovered there, which determines the chronology of the entire assemblage. Although in this part of the Carpathians single iron artefacts were found, such as the small axe from Wietrzno, which can, possibly, be dated to

[6] Zrezygnowano ze statystycznego porównania technologii ceramiki z zespołów z epoki brązu i wczesnej epoki żelaza, ponieważ mamy niewiele dokładnie datowanych obiektów, a w nich często liczne fragmenty tych samych naczyń, co znacząco wypaczyłoby wyniki takiej analizy.

[6] No statistical comparison of the pottery production technology from the Bronze Age and the early Iron Age assemblages was performed, because there are very few precisely dated features, and, what is more, they contained numerous fragments of the same vessels, which would significantly distort the results of such an analysis.

koniec epoki brązu (Chochorowski 1989, s. 539), ale w przypadku znaleziska z Jabłonicy Ruskiej wydaje się to mało prawdopodobne. W tej sytuacji czas użytkowania jamy 15 należałoby odnosić najprawdopodobniej do HaC.

Wiele wskazuje na ciągłość zasiedlenia osady w Jabłonicy Ruskiej od młodszego okresu epoki brązu aż po początki okresu lateńskiego. Znikoma liczba materiału, który łączymy z końcem epoki brązu, może wynikać z trudności w jego identyfikacji. Kierując się nieco odmiennymi przesłankami, do podobnych wniosków doszli autorzy opracowania osady ze stanowiska 59–60 w Sanoku (Bulas et al. 2019, s. 64). Wydzielenie materiałów z końca epoki brązu i początków wczesnej epoki żelaza stanowi w tym regionie duży problem badawczy. Zdaniem S. Czopka (2009, s. 76–77) z okresem tym można ewentualnie łączyć tzw. zespoły typu Siedliska, do których zaliczył m.in. osady w Wołodzi, stan. 1 (Czopek et al. 2000) i Uluczu, stan. 3 (Gedl 1998, tabl. XLIII; XLIV).

Nie ulega wątpliwości, że w HaD w strefie polskich Karpat doszło do głębokich przeobrażeń kulturowych, obejmujących nie tylko sferę kultury materialnej, ale pewnie i gospodarkę oraz obyczaje. Przemiany te dokonywały się w obrębie lokalnych społeczności zamieszkujących te tereny od stuleci, bo ciągle funkcjonowały te same osady.

Przedstawione materiały z Jabłonicy Ruskiej trzeba zaliczyć do stosunkowo niedawno wyróżnionego ugrupowania kultury łużyckiej, które rozwijało się po północnej stronie Karpat, wykazując licznie powiązania z obszarami położonymi bardziej na południe i jednocześnie zasadniczo różniąc się od zespołów „niżowych" z terenu Polski (Czopek, Poradyło 2008, s. 178–186). Elementy „tarnobrzeskie" ograniczają się na naszym stanowisku do ornamentyki „pseudosznurowej" oraz zwyczaju zdobienia naczyń parami guzków.

Badana przez kilkanaście sezonów osada na stanowisku 16 w Bachórzu koło Dynowa prezentuje już inną stylistykę (Czopek 2009, s. 90–91). Odkryte tam garnki z dziurkami pod krawędzią wylewu i gliniane placki (Parczewski 1996, ryc. 4: 13–15; 5: 11, 13–14; 1997, ryc. 6: 4; 2000, ryc. 4: 6) stanowią typowy element dla grupy tarnobrzeskiej, raczej obcy

the end of the Bronze Age (Chochorowski 1989, p. 539), such dating seems to be unlikely as for the iron find from Jabłonica Ruska. Given all the facts, the time period when pit 15 was used is, most likely, the HaC.

There is a lot of evidence that the settlement in Jabłonica Ruska continued from the early Bronze Age to the beginning of the La Tene period. The fact that there is very little material that we link with the end of the Bronze Age may result from the difficulties in identifying it. Based on slightly different premises, the authors of the study on the settlement at site 59–60 in Sanok came to similar conclusions (Bulas et al. 2019, p. 64). Separating materials from the late Bronze Age and the early Iron Age is a major research problem in this region. According to S. Czopek (2009, pp. 76–77), the so-called Siedliska type groups, including the settlements in Wołodź, site 1 (Czopek et al. 2000) and Ulucz, site 3 (Gedl 1998, Plates XLIII; XLIV) may be linked with that period.

There is no doubt that during the HaD in the Polish Carpathians, profound cultural transformations took place and they included not only the material culture but also the economy and customs. The transformations happened within the local communities inhabiting these areas for centuries, because the same settlements continued functioning.

The presented materials from Jabłonica Ruska should be included in the relatively recently distinguished group of the Lusatian culture, which developed on the northern side of the Carpathians, showing numerous links with the areas located more to the south, and being, at the same time, fundamentally different from the „lowland" assemblages from Poland (Czopek, Poradyło 2008, pp. 178–186). At our site, the „Tarnobrzeg" elements are only „pseudo-Corded Ware culture" ornaments and the custom of decorating the vessels with pairs of knobs.

In the settlement at site 16 in Bachórz near Dynów, investigated for over a dozen seasons, vessels of different type were found (Czopek 2009, pp. 90–91). The pots with holes under the edge of the spout and clay plates discovered there (Parczewski 1996, Figs. 4: 13–15; 5: 11, 13–14; 1997, Fig. 6:

materiałom „karpackim", a w każdym razie rzadko tam spotykany.

Trochę uwagi musimy poświęcić rozplanowaniu osady w Jabłonicy Ruskiej. Przebadano stosunkowo duży fragment stanowiska, bo prawie 141 arów, ale miejsca już wcześniej zniszczone stanowiły ponad 30% tej powierzchni. Obejmowały całą południową część terenu zajętego przez wykopy archeologiczne. Patrząc na plan osady, możemy być niemal pewni, że uległy tam zniszczeniu obiekty. Odkryte jamy licznie występują bowiem aż do granicy zniszczonego obszaru.

Trudno ocenić, jaki fragment całej osady udało się przebadać wykopaliskowo. Kolejnych obiektów należy spodziewać się głównie w kierunku północno-wschodnim, za asfaltową drogą, gdzie ciągle niewielkie nachylenie stoków musiało sprzyjać osadnictwu.

Wydaje się, że przebadana osada dzieli się na dwie części, zachodnią i znacznie większą wschodnią (plan 1). Pierwotnie mógł je rozdzielać niewielki jar lub obniżenie terenu, które z czasem wypełniło się w wyniku naturalnych procesów warstwą o miąższości przekraczającej dziś nawet 5 metrów. Jeśli mamy rację, to teren ten mógł być podmokły i porośnięty krzewami, całkowicie nieatrakcyjny do zamieszkania. W całej tej strefie, obejmującej ary H25-26, I25-27, J25-27, K25-29 oraz L25-30, jeśli nawet rejestrowano podczas wykopalisk jakieś obiekty z interesującego nas okresu (np. 43 i 45), to były one wyjątkowo płytkie, nieregularne, w rodzaju przegłębień w obrębie warstwy.

Zachodnia część osady, w większości zniszczona przez żwirownię, charakteryzuje się bardzo równomiernym rozmieszczeniem obiektów (plan 1). Najstarsza w tej strefie jest jama 2 datowana na IV okres epoki brązu, a za najmłodszy zespół trzeba uznać materiał z obiektu 15. Decyduje o tym znaleziony w jego wypełnisku fragment żelaznego przedmiotu.

Patrząc na wschodnią strefę osady, z łatwością dostrzegamy, że obiekty tworzą tam kilka mniej lub bardziej wyraźnych skupisk (plan 1). Z pewną dozą subiektywizmu można wyróżnić sześć takich zgrupowań jam, przy czym dwa występują przy północnej granicy przebadanego terenu. Zapewne kontynuują się po drugiej stronie asfaltowej

4; 2000, Fig. 4: 6) are typical for the Tarnobrzeg group and extremely rarely found among „Carpathian" materials.

It is also necessary to discuss the layout of the settlement in Jabłonica Ruska. A relatively large, i.e. almost 141 ares, fragment of the site was investigated, but over 30% of it was destroyed earlier. The damaged area covers the entire southern part of the site. Looking at the plan of the settlement, one can be almost sure that some features were destroyed as there are a lot of discovered pits that spread up to the border of the destroyed area.

It is difficult to assess what part of the entire settlement was excavated. More features should be expected further to the north-east, behind the asphalt road, where the gentle slopes must have attracted settlement.

It seems that the investigated settlement is divided into two parts, the western one and the much larger eastern one (site plan 1). Originally, they may have been separated by a small ravine or a depression, which over time was filled, as a result of natural processes, by the layer that today has a thickness of up to 5 meters. If it is true, the area might have been wet and covered with bushes, completely unattractive to inhabit. In the entire area, including ares H25-26, I25-27, J25-27, K25-29 and L25-30, even if any features from the period of interest to us were found during the excavations (e.g. features 43 and 45), they were exceptionally shallow, irregular structures within the layer.

The western part of the settlement, mostly destroyed by gravel mining, is characterised by a very even distribution of features (site plan 1). The oldest one there is pit 2, dated back to the IV period of the Bronze Age while the material from feature 15 is the youngest assemblage as there was a piece of an iron object found in its fill.

Looking at the eastern part of the settlement, one can easily see that the features form several more or less visible clusters there (site plan 1). With a certain dose of subjectivity, six such groups of pits can be distinguished, two of which are located at the northern border of the area. They probably spread to the other side of the asphalt road. The largest, but also the most scattered cluster is

drogi. Największe, ale też najbardziej rozproszone, skupisko znajduje się od strony południowej, bliższej Sanu, na arach L31-33, M31-32, N31-32 i O32-33.

Oczywiście musimy zdawać sobie sprawę, że obraz osady, który analizujemy, obejmuje cały okres jej istnienia, czyli około 600–700 lat. Tylko dla 14 spośród 102 tak datowanych obiektów udało się uściślić chronologię do krótszych odcinków czasowych. Nasze możliwości co do rekonstrukcji procesów osadniczych, ich dynamiki są więc mocno ograniczone. Nie wiemy, w jakim stopniu zauważone skupiska jam odpowiadają poszczególnym domostwom. Niewykluczone, że sama zabudowa znajdowała się w miejscach, gdzie podczas wykopalisk nie stwierdzono obiektów wkopanych w ziemię.

Dobrze wyodrębniają się w Jabłonicy Ruskiej najmłodsze materiały, należące do zespołów typu Niepla. Trzy takie obiekty o numerach 130, 150 i 254 wystąpiły w skupisku na arach O26 i P26-27 (ryc. 6.18.). Znaleziono w nich zdobiony przęślik

located on the southern side, closer to the San river, in ares L31-33, M31-32, N31-32 and O32-33.

Of course, we must be aware that the analysed image of the settlement covers the entire period of its existence, i.e. about 600-700 years. Only 14 out of 102 features dated to that period have more accurate chronology. The possibility of reconstruction of the settlement processes and their dynamics is, therefore very limited. We do not know to what extent the clusters of pits correspond to individual farmsteads. It is possible that the buildings themselves were located in places where no features were found during the excavations.

The youngest, Niepla type materials clearly stand out among the finds from Jabłonica Ruska. Three such features, 130, 150 and 254, were located in the cluster in ares O26 and P26-27 (Fig. 6.18.). A decorated spindle whorl, with analogies in the Vekerzug culture, and a wheel-thrown mug were found there. Three more features with pottery

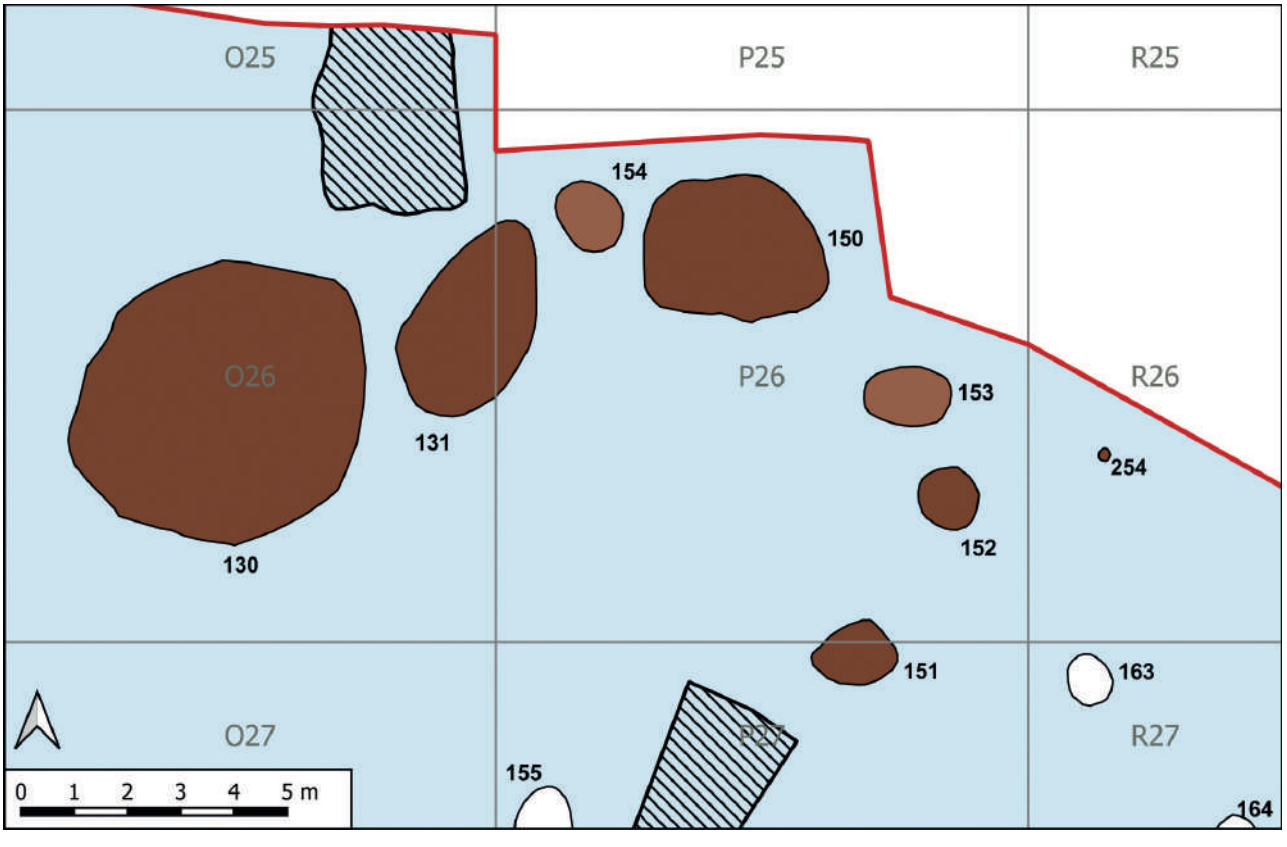


Ryc. 6.18. Jabłonica Ruska, stan. 1. Skupisko jam na arach O26 i P26-27 z materiałem ceramicznym typu Niepla
Fig. 6.18. Jabłonica Ruska, site 1. A cluster of pits in ares O26 and P26-27 with Niepla type pottery

o analogiach w kulturze Vekerzug oraz toczony na kole kubek. Trzy kolejne obiekty z taką późną ceramiką (96, 119 i 191) odkryto w odległości do kilkunastu metrów bardziej na południe. Wiele wskazuje na to, że wyodrębnia się w tej strefie najmłodsza część osady. Niemniej pojedyncze obiekty, numer 67 i 186, datowane na HaD oraz początki okresu lateńskiego stwierdzono także w dwóch innych skupiskach. Wygląda na to, że akurat te miejsca mogły być użytkowane przez dłuższy okres czasu, od epoki brązu aż do końca istnienia osady.

Stanowisko w Jabłonicy Ruskiej jest kolejną badaną na dużą skalę osadą kultury łużyckiej z terenu Karpat. Przez ostatnie 15 lat zasadniczo zmieniły się nasze wyobrażenia, szczególnie o młodszych okresach epoki brązu w tym regionie. Niebagatelny jest przyrost dat radiowęglowych, które pozwalają lepiej umiejscowić w czasie konkretne zjawiska osadnicze. Potwierdza się też ciągłość użytkowania osad aż po początki okresu lateńskiego, mimo zasadniczych przeobrażeń kulturowych w HaD. Miejmy nadzieję na dalszy postęp badań, zwłaszcza interdyscyplinarnych.

from such late period (96, 119 and 191) were discovered up to several meters further south. There are many indicators that the youngest part of the settlement might have been located in this area. Nevertheless, single features 67 and 186, dated to HaD and the beginning of the La Tene period, were also found in two other clusters. It seems that these places may have been used for a longer period of time, from the Bronze Age to the end of the settlement there.

The archaeological site in Jabłonica Ruska is another thoroughly investigated settlement of the Lusatian culture in the Carpathian Mountains. Over the past 15 years, our perception of this region, especially its younger Bronze Age, changed dramatically. The increase in the number of obtained radiocarbon dates is of considerable importance here, as it results in more accurate chronology of given settlements. The continuous use of settlements up to the beginning of the La Tene period is also confirmed, despite major cultural transformations in the HaD. Let us hope for further, interdisciplinary research in this field.

LITERATURA:


Blajer W.

2001 *Cmentarzysko w Lipniku, pow. przeworski, po trzech sezonach badań*, „Materiały i Sprawozdania Rzeszowskiego Ośrodka Archeologicznego" 22, 279–290.

Budinský-Krička V., Miroššayová E.

1992 *Terňa-Lysá Stráž – sídlisko z neskorej doby bronzovej a halštatskej*, „Slovenská archeológia" 40, 47–76.

Bulas J., Mazurek M., Okońska M., Poradyło W.

2019 *Wielokulturowe stanowisko 59–60 w Sanoku w świetle badań wykopaliskowych z lat 2017–2018*, Raport 14, 55–81.

Chochorowski J.

1985 *Die Vekerzug – Kultur. Charakteristik der Funde*, Kraków.

1989 *Przemiany kulturowe we wczesnej epoce żelaza na terenach płn.-wsch. części Kotliny Karpackiej*, [w:] Barłowska A., Szałapata E. (red.), *Grupa tarnobrzeska kultury łużyckiej*, Rzeszów, 527–583.

Czopek S.

1986 *Die Keramik mit skythischen und skythisch-thrakischen Einflüssen aus der Fundstelle 8 in Przeworsk, Bez. Przemyśl*, „Acta Archaeologica Carpathica" 25, 105–129.

1989 *Z badań nad schyłkową fazą grupy tarnobrzeskiej*, [w:] Barłowska A., Szałapata E. (red.), *Grupa tarnobrzeska kultury łużyckiej*, Rzeszów, 241–261.

2007 *Grodzisko Dolne, stanowisko 22 – wielokulturowe stanowisko nad dolnym Wisłokiem*, Część I: *Od epoki kamienia do wczesnej epoki żelaza*, Rzeszów.

2009 *Die frühe Eisenzeit im östlichen Teil der polnischen Karpaten –Diskussionsbemerkungen*, „Acta Archaeologica Carpathica" 44, 73–96.

2012 *Nowe znaleziska „scyto-trackiej" ceramiki toczonej z wczesnej epoki żelaza na terenie południowo -wschodniej Polski*, [w:] Blajer W. (red.), *Peregrinationes archaeologicae in Asia et Europa Joanni Chochorowski dedicatae*, Kraków, 297–305.

2014 *Stanowisko 158 w Jarosławiu, woj. podkarpackie*, *Część II*: *Osadnictwo od starszej epoki brązu do okresu rzymskiego*, Rzeszów.

Czopek S., Ligoda J., Podgórska-Czopek J., Rogóż J.
2016 *Cmentarzysko tarnobrzeskiej kultury łużyckiej z wczesnej epoki żelaza w Grzęsce, pow. przeworski*, Rzeszów.

Czopek S., Ormian K., Podgórska-Czopek J.
2000 *Sprawozdanie z badań wykopaliskowych przeprowadzonych w 1999 roku na stan. 1 w Wołodzi, pow. Brzozów*, „Materiały i Sprawozdania Rzeszowskiego Ośrodka Archeologicznego" 21, 231–247.

Czopek S., Poradyło W.
2008 *Warzyce, pow. Jasło, stan. 17 – osada z epoki brązu i wczesnej epoki żelaza*, Rzeszów.

Čilinská Z.
1959 *Žiarový hrob kuštanovického typu v Michalovciach*, „Slovenská Archeológia" 7, 79–86.

Dušek M.
1966 *Thrakisches Gräberfeld der Hallstattzeit in Chotín*, Bratislava.

Gancarski J.
1992 *Sprawozdanie z ratowniczych badań wykopaliskowych na stanowisku nr 14 we Wrocance, gm. Tarnowiec*, [w:] Muzyczuk A., Ginalski J. (red.), *Badania archeologiczne w województwie krośnieńskim w latach 1990–1991*, Krosno, 14–19.

Gedl M.
1994 *Cmentarzysko z epoki brązu w Bachórzu-Chodorówce*, Kraków.

1998 *Młodsza epoka brązu we wschodniej części polskich Karpat*, Kraków.

Ginalski J.
1992 *Osada wielokulturowa w Ladzinie, gm. Rymanów, st. 12*, [w:] Muzyczuk A., Ginalski J. (red.), *Badania archeologiczne w województwie krośnieńskim w latach 1990–1991*, Krosno, 11–13.

Kobal J. J.
2014 *Scheibengedrehte graue Keramik der Kuštanovice Kultur aus Transkarpatien (Ukraine)*, „Materiały i Sprawozdania Rzeszowskiego Ośrodka Archeologicznego" 35, 65–75.

Madyda-Legutko R.
1995 *Sytuacja kulturowa we wczesnej epoce żelaza na terenie polskiej części Karpat Zachodnich*, [w:] Szydłowski J. (red.), *Dziedzictwo kulturowe epoki brązu i wczesnej epoki żelaza na Górnym Śląsku i w Małopolsce*, Katowice, 241–265.

Michalski J.
1983 *Zagadnienia systematyzacji i interpretacji obiektów nieruchomych (ze studiów nad osadami otwartymi kultury łużyckiej)*, „Materiały Starożytne i Wczesnośredniowieczne" 5, 135–195.

Miroššayova E.
1979 *Záchranný výskum halštatského sídliska v Stretavke, okr. Michalovce*, „Archeologické rozhledy" 32, 121–143.

1987 *Problematika osídlenia východného Slovenska v dobe halštatskej*, „Slovenská archeologiá" 31, 107–164.

Muzyczuk A., Pohorska-Kleja E.
1994 *Wyniki badań wykopaliskowych w Hłomczy, gm. Sanok, woj. krośnieńskie w latach 1981–1985*, Część I: Materiały, „Materiały i Sprawozdania Rzeszowskiego Ośrodka Archeologicznego za rok 1993", 55–154.

Parczewski M.
1996 *Rezultaty badań wykopaliskowych w Bachórzu w latach 1993–1995*, „Materiały i Sprawozdania Rzeszowskiego Ośrodka Archeologicznego" 17, 263–286.

1997 *Trzynasty sezon badań wykopaliskowych w Bachórzu na stanowisku 16*, „Materiały i Sprawozdania Rzeszowskiego Ośrodka Archeologicznego" 18, 195–209.

2000 *Piętnasty sezon badań wykopaliskowych na stanowisku 16 w Bachórzu pow. Rzeszów*, „Materiały i Sprawozdania Rzeszowskiego Ośrodka Archeologicznego" 21, 271–283.

Pohorska-Kleja E., Zielińska M.
1993 *Osada z epoki brązu w Sanoku*, „Materiały i Sprawozdania Rzeszowskiego Ośrodka Archeologicznego za lata 1991–1992", 159–161.

Popowič I.
2006 *Zakarpattia za dobi rannogo zaliza*, Kraków.

Przybyła M. S.
2003 *Uwagi o chronologii ceramiki grupy tarnobrzeskiej*, „Materiały i Sprawozdania Rzeszowskiego Ośrodka Archeologicznego" 24, 27–54.

Węgrzynowicz T.
1973 *Kultura łużycka na wschodnim Mazowszu i Podlasiu*, „Materiały Starożytne i Wczesnośredniowieczne" 2, 7–126.

1991–1992 *Cmentarzysko kultury łużyckiej w Podkonicach Dużych, woj. piotrkowskie*, „Wiadomości Archeologiczne" 52/1, 71–86.

Zielińska M.
2005 *Osada i cmentarzysko z młodszej epoki brązu w Sanoku-Olchowcach*, „Materiały i Sprawozdania Rzeszowskiego Ośrodka Archeologicznego" 26, 165–202.

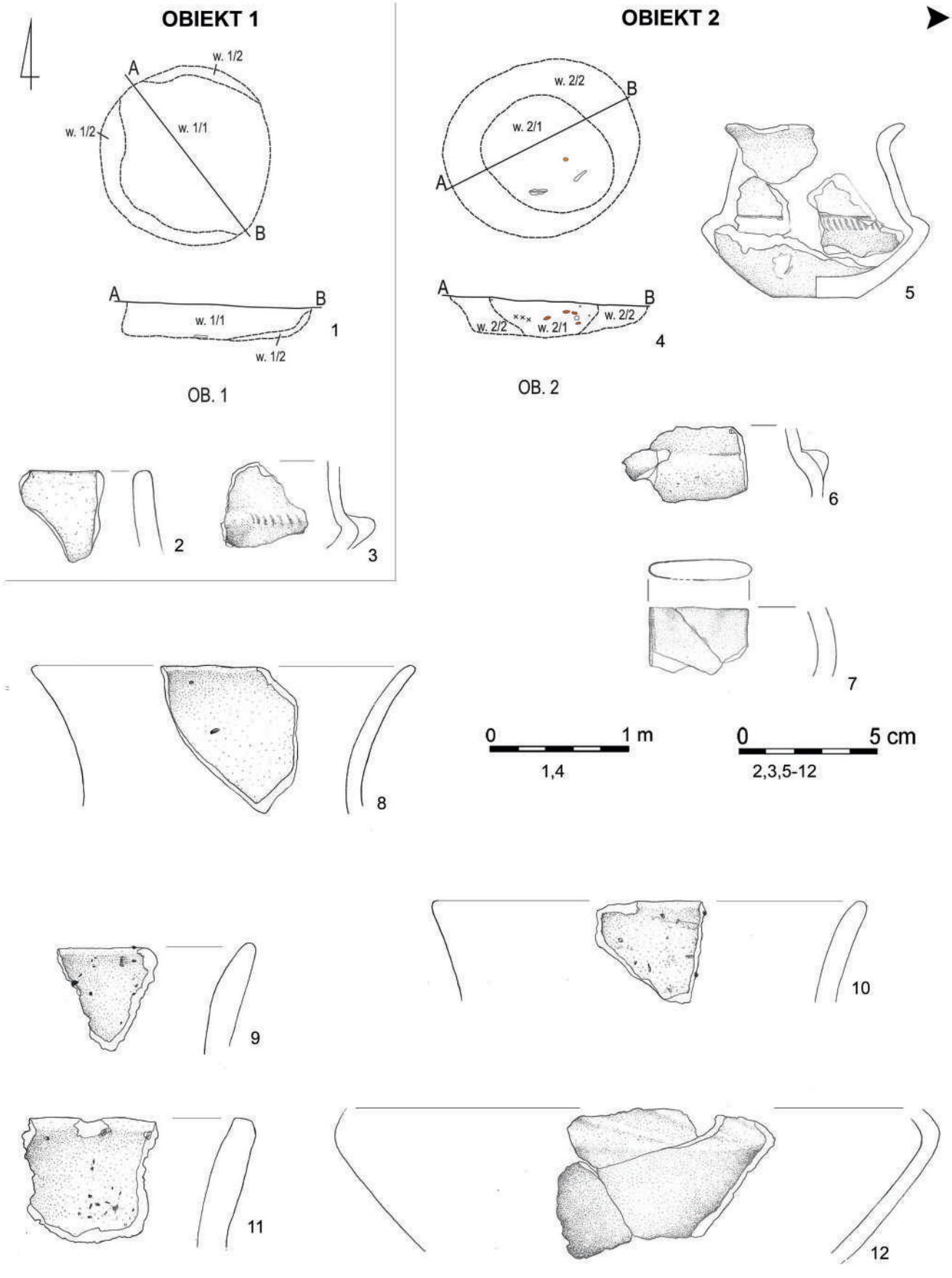


Tabl. 6.1. Jabłonica Ruska, stan. 1. Rzuty poziome i profile obiektów nr: 1 (1), 2 (4) oraz zabytki ceramiczne z obiektów 1 (2, 3), 2 (5, 6, 7, 8, 9, 10, 11, 12)

Plate 6.1. Jabłonica Ruska, site 1. Plans and profiles of features (1), 2 (4) and pottery from features 1 (2, 3), 2 (5, 6, 7, 8, 9, 10, 11, 12)

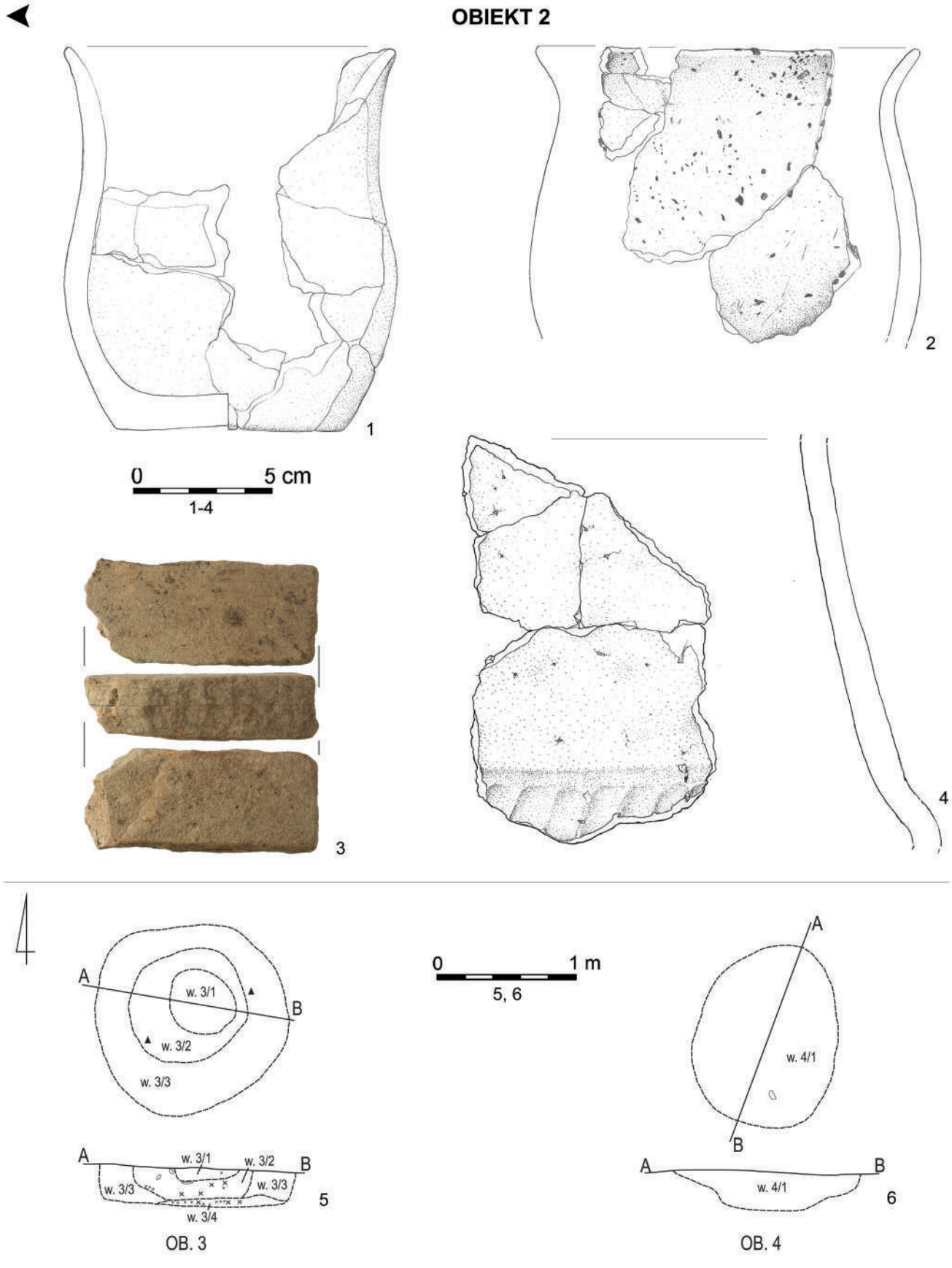


Tabl. 6.2. Jabłonica Ruska, stan. 1. Rzuty poziome i profile obiektów nr: 3 (5), 4 (6) oraz zabytki ceramiczne i kamienne z obiektu 2 (1, 2, 3, 4)
Plate 6.2. Jabłonica Ruska, site 1. Plans and profiles of features 3 (5), 4 (6) and pottery and stone artefacts from feature 2 (1, 2, 3, 4)

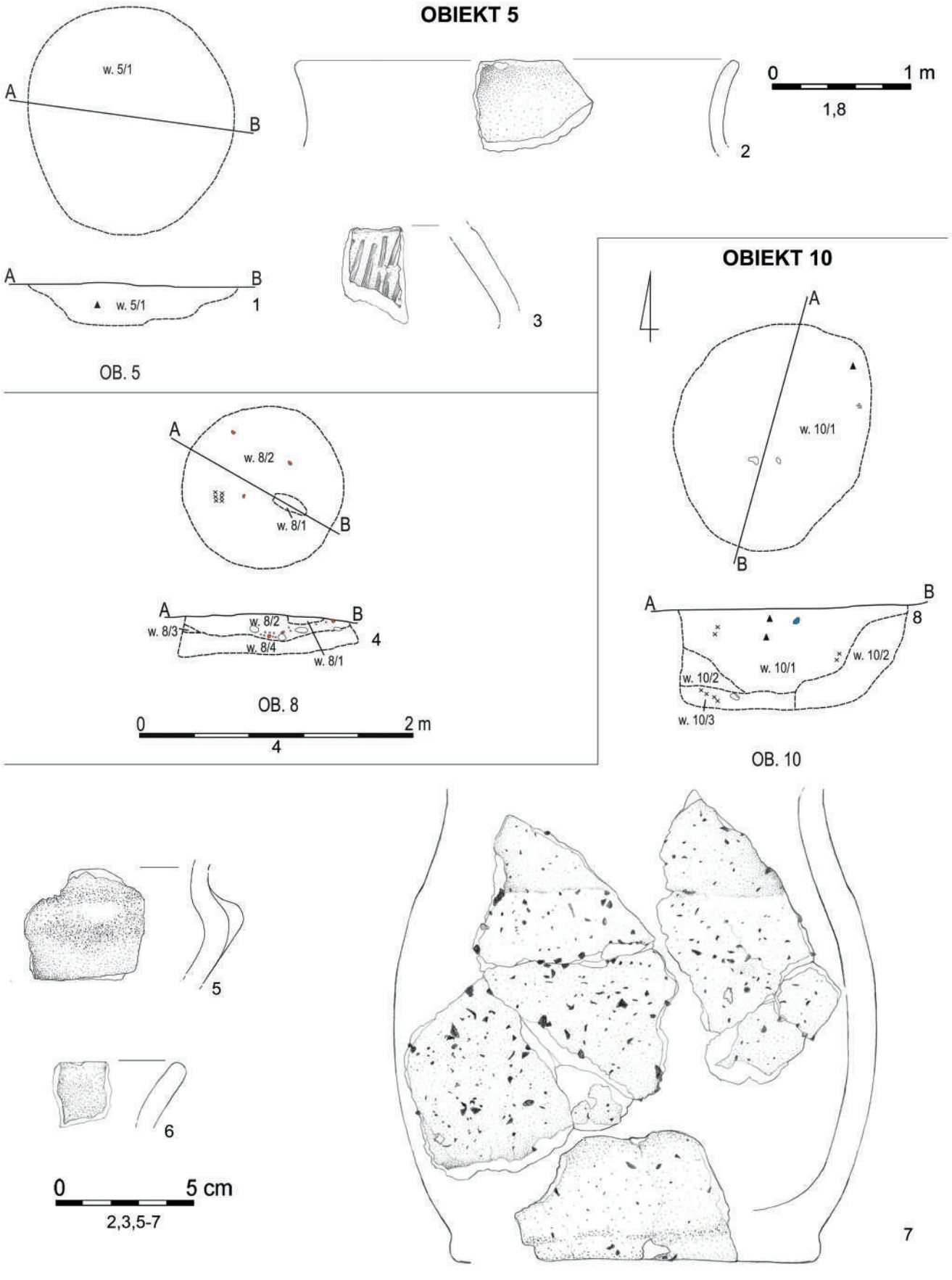


Tabl. 6.3. Jabłonica Ruska, stan. 1. Rzuty poziome i profile obiektów nr: 5 (1), 8 (4), 10 (8) oraz zabytki ceramiczne z obiektów 5 (2, 3), 10 (5, 6, 7)

Plate 6.3. Jabłonica Ruska, site 1. Plans and profiles of features 5 (1), 8 (4), 10 (8) and pottery from features 5 (2, 3), 10 (5, 6, 7)

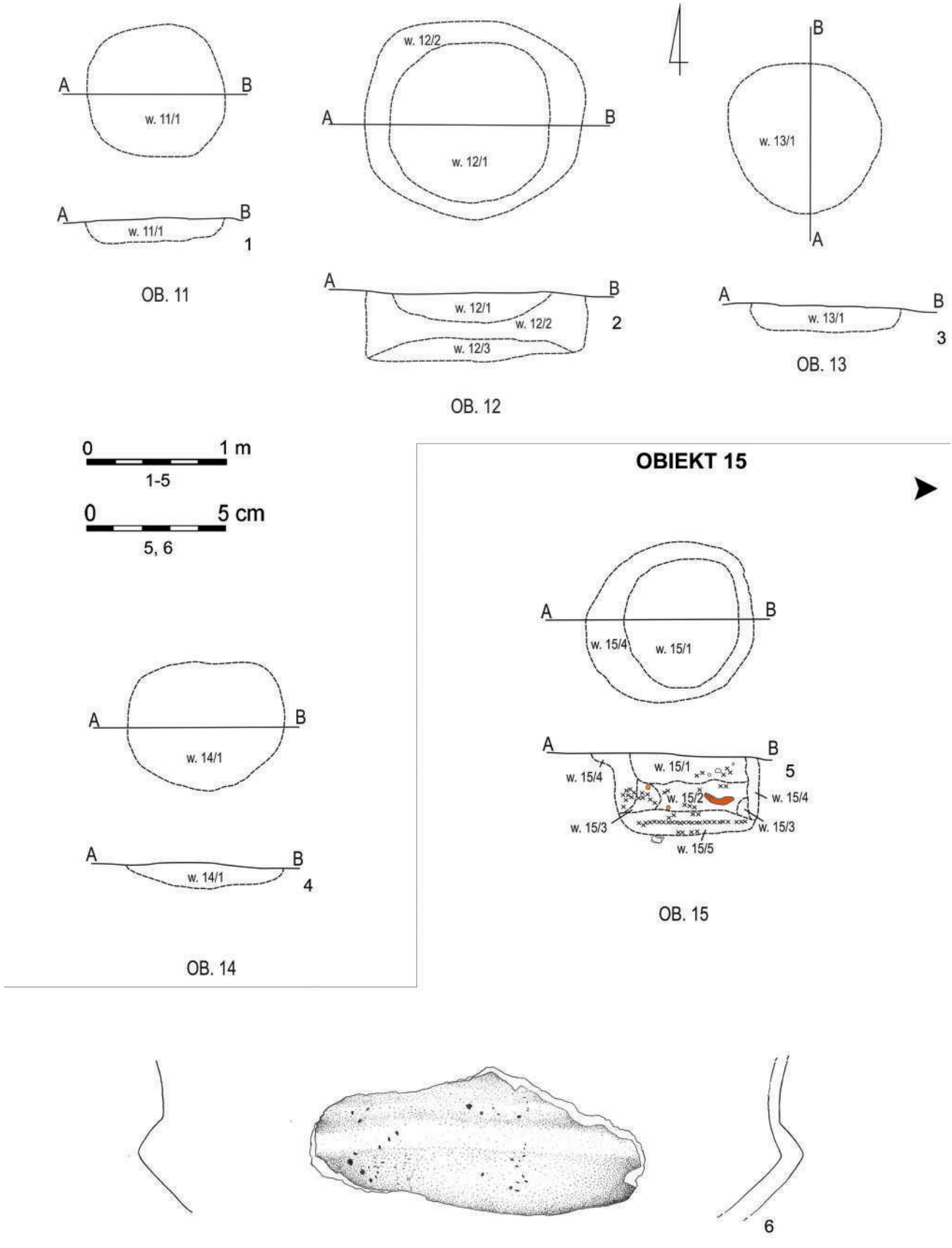


Tabl. 6.4. Jabłonica Ruska, stan. 1. Rzuty poziome i profile obiektów nr: 11 (1), 12 (2), 13 (3), 14 (4), 15 (5) oraz zabytek ceramiczny z obiektu 15 (6)

Plate 6.4. Jabłonica Ruska, site 1. Plans and profiles of features 11 (1), 12 (2), 13 (3), 14 (4), 15 (5) and a ceramic artefact from feature 15 (6)

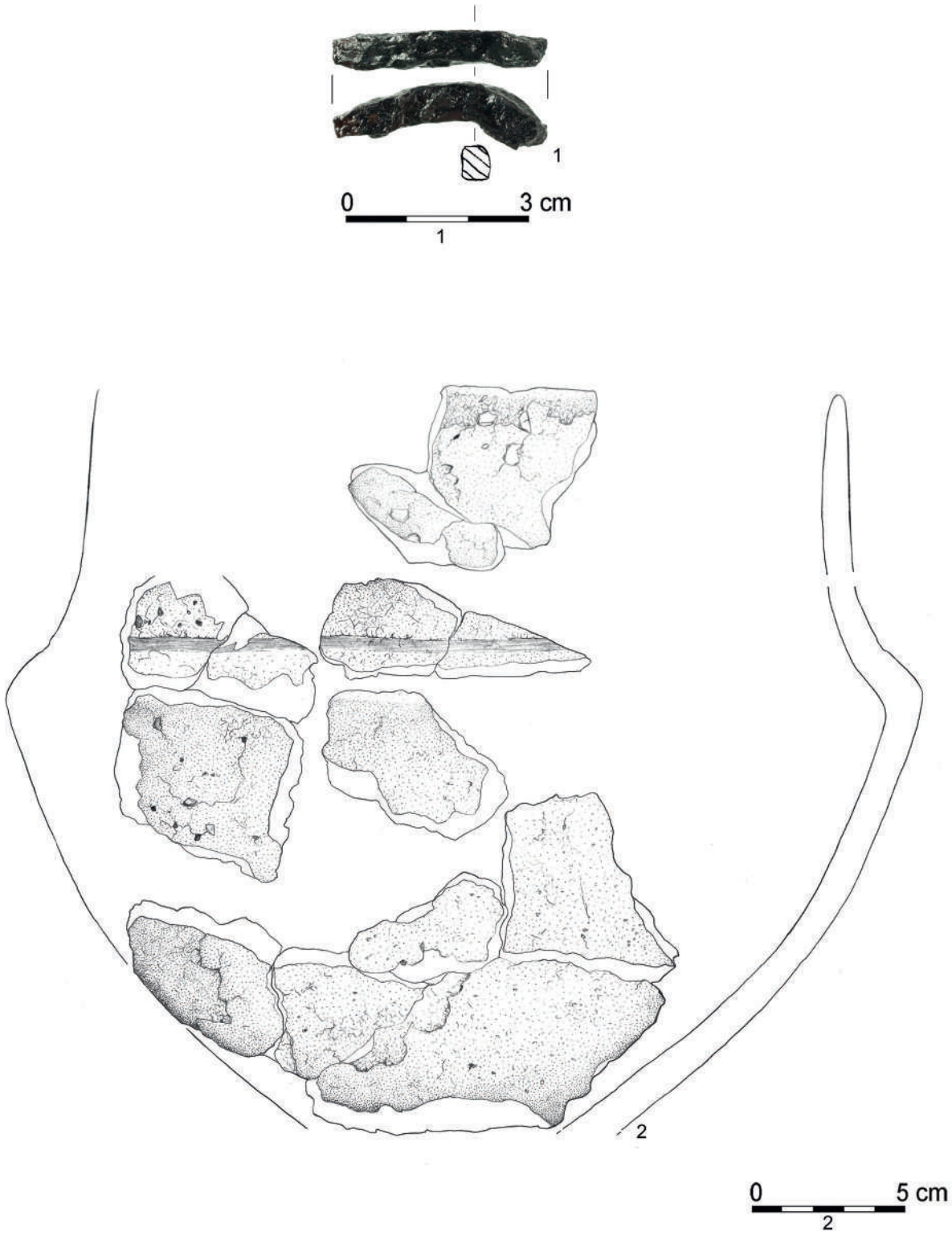


Tabl. 6.5. Jabłonica Ruska, stan. 1. Zabytki ceramiczne i metal z obiektu 15 (1, 2)
Plate 6.5. Jabłonica Ruska, site 1. Pottery and metal artefacts from feature 15 (1, 2)

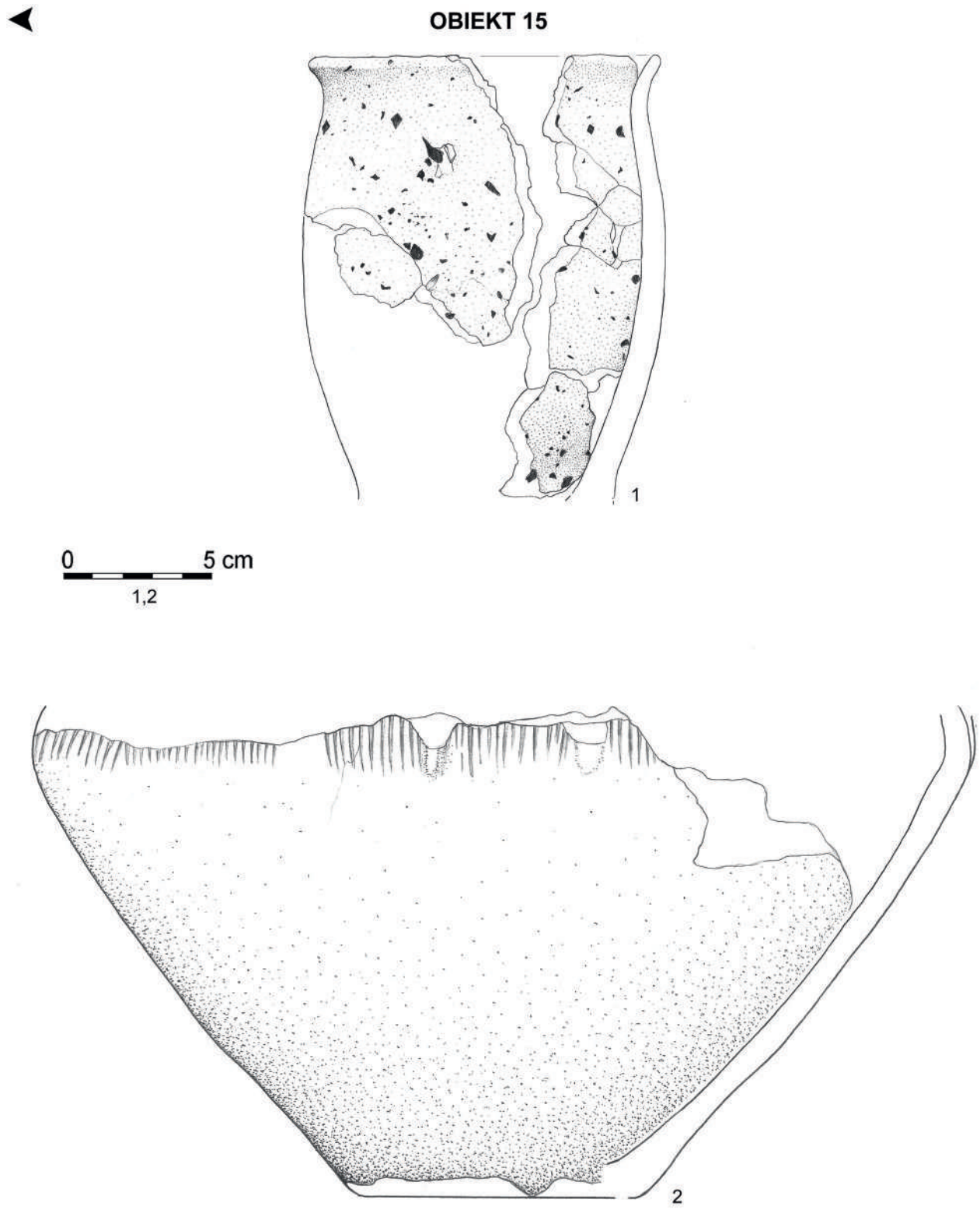


Tabl. 6.6. Jabłonica Ruska, stan. 1. Zabytki ceramiczne z obiektu 15 (1, 2)
Plate 6.6. Jabłonica Ruska, site 1. Pottery from feature 15 (1, 2)

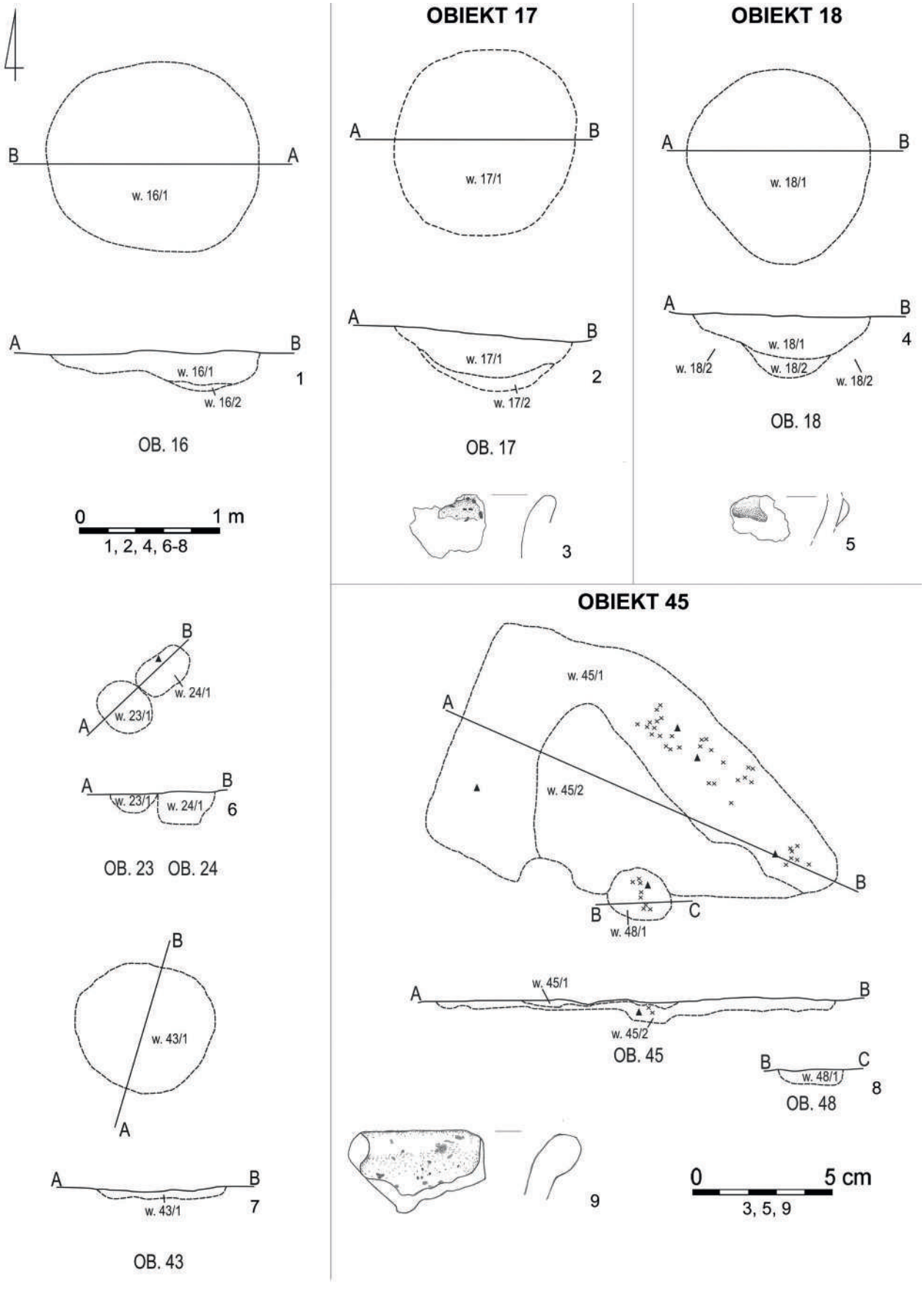


Tabl. 6.7. Jabłonica Ruska, stan. 1. Rzuty poziome i profile obiektów nr: 16 (1), 17 (2), 18 (4), 23 (6), 24 (6), 43 (7), 45 (8), 48 (8) oraz zabytki ceramiczne z obiektów 17 (3), 18 (5), 45 (9)
Plate 6.7. Jabłonica Ruska, site 1. Plans and profiles of features 16 (1), 17 (2), 18 (4), 23 (6), 24 (6), 43 (7), 45 (8), 48 (8) and pottery from features 17 (3), 18 (5), 45 (9)

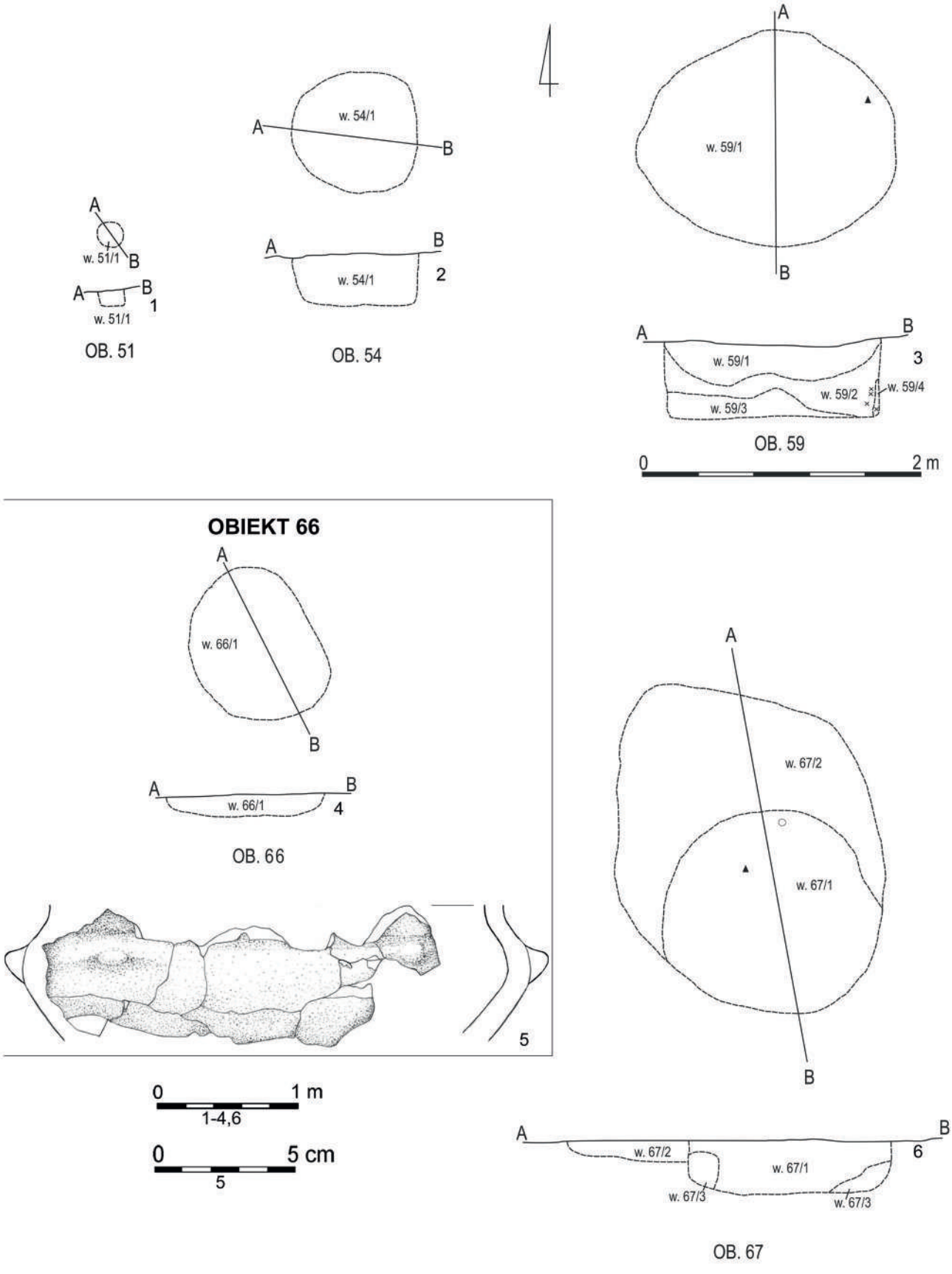


Tabl. 6.8. Jabłonica Ruska, stan. 1. Rzuty poziome i profile obiektów nr: 51 (1), 54 (92), 59 (3), 66 (4), 67 (6) oraz zabytki ceramiczne z obiektu 66 (5)

Plate 6.8. Jabłonica Ruska, site 1. Plans and profiles of features 51 (1), 54 (92), 59 (3), 66 (4), 67 (6) and pottery from feature 66 (5)

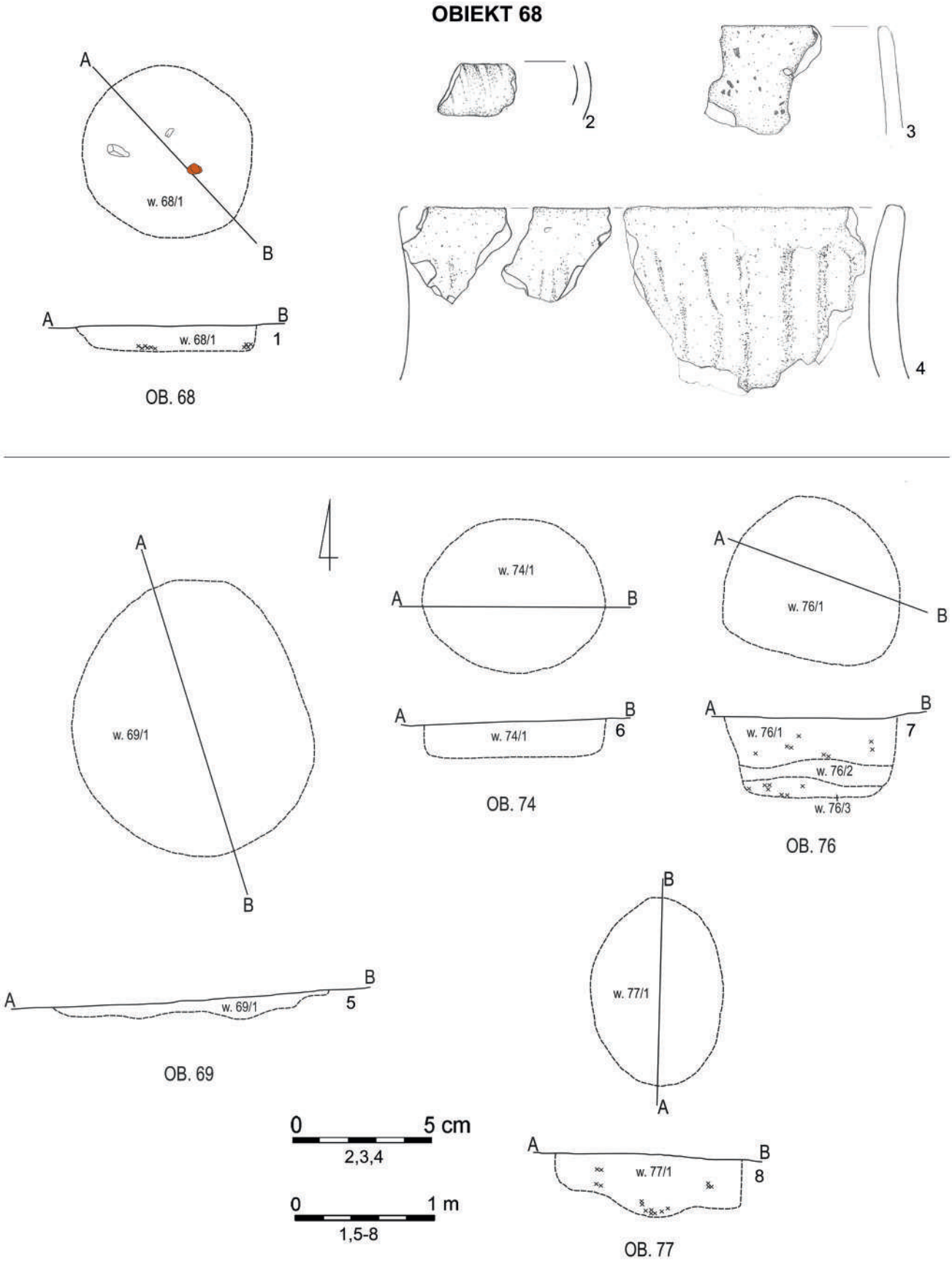


Tabl. 6.9. Jabłonica Ruska, stan. 1. Rzuty poziome i profile obiektów nr: 68 (1), 69 (5), 74 (6), 76 (7), 77 (8) oraz zabytki ceramiczne z obiektu 68 (2, 3, 4)
Plate 6.9. Jabłonica Ruska, site 1. Plans and profiles of features 68 (1), 69 (5), 74 (6), 76 (7), 77 (8) and pottery from feature 68 (2, 3, 4)

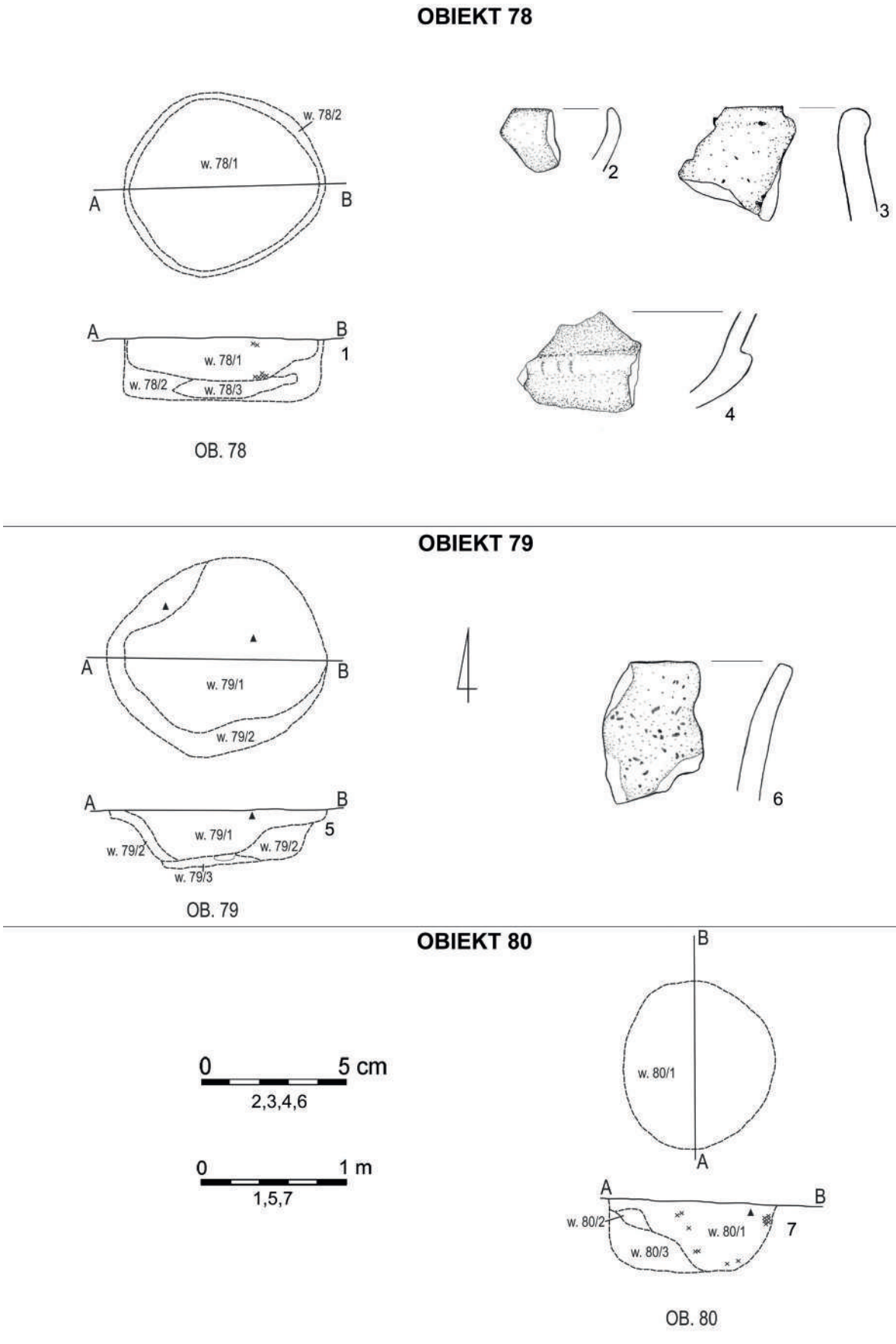


Tabl. 6.10. Jabłonica Ruska, stan. 1. Rzuty poziome i profile obiektów nr: 78 (1), 79 (5), 80 (7) oraz zabytki ceramiczne z obiektów 78 (2, 3, 4), 79 (6)

Plate 6.10. Jabłonica Ruska, site 1. Plans and profiles of features 78 (1), 79 (5), 80 (7) and pottery from features 78 (2, 3, 4), 79 (6)

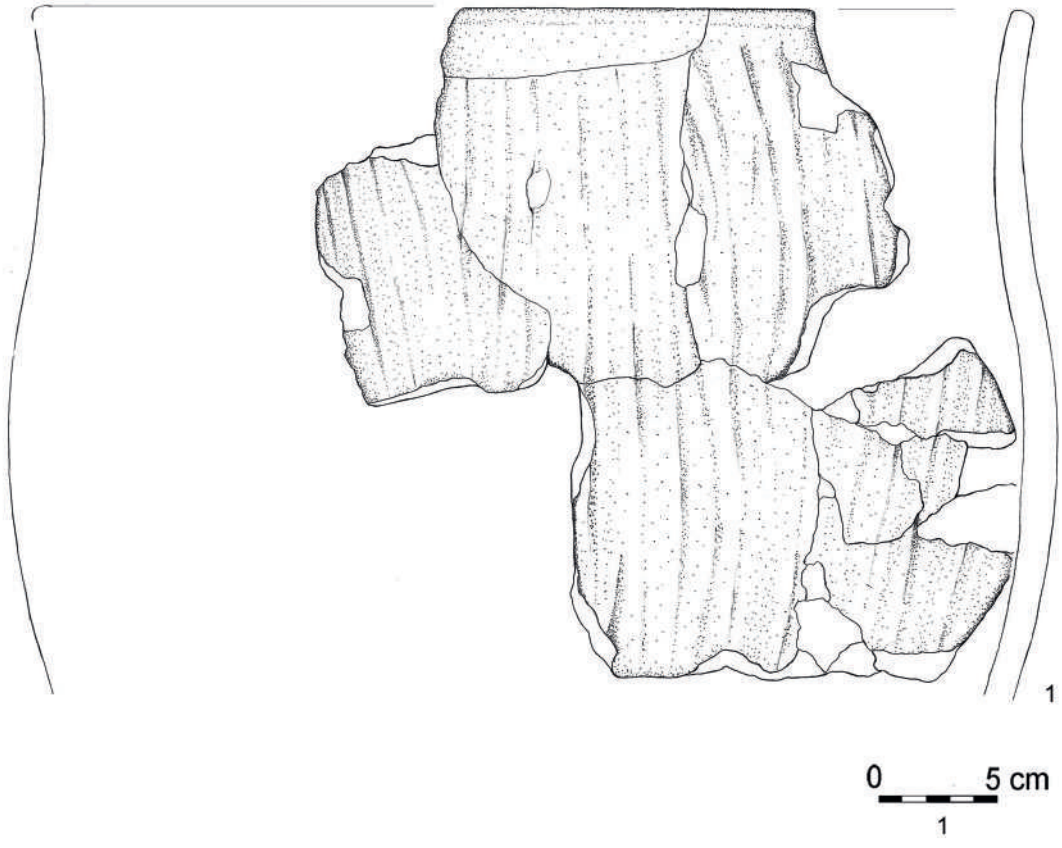


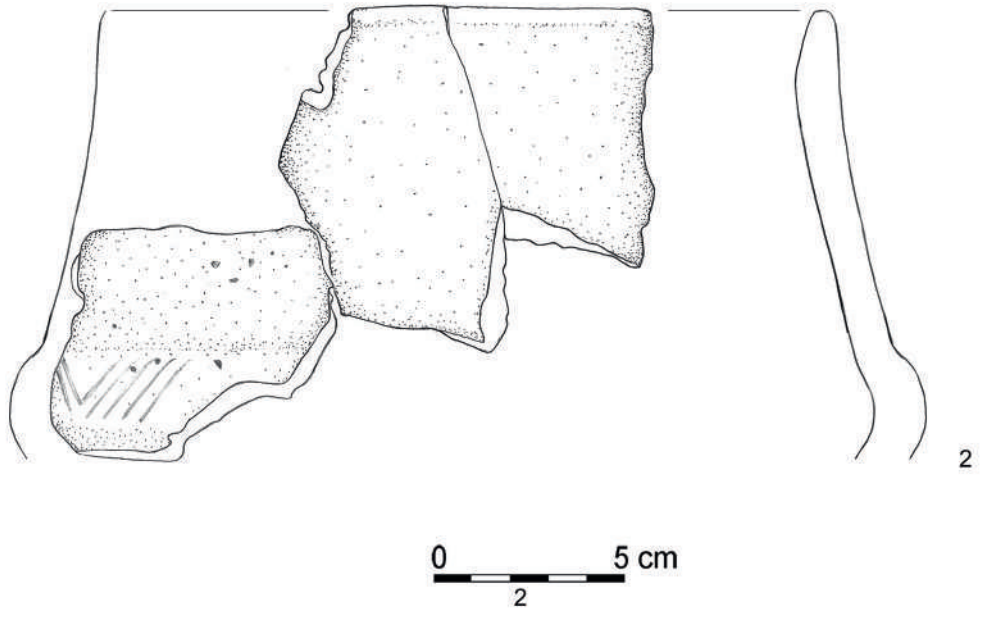


Tabl. 6.11. Jabłonica Ruska, stan. 1. Zabytki ceramiczne z obiektu 80 (1, 2)
Plate 6.11. Jabłonica Ruska, site 1. Pottery from feature 80 (1, 2)

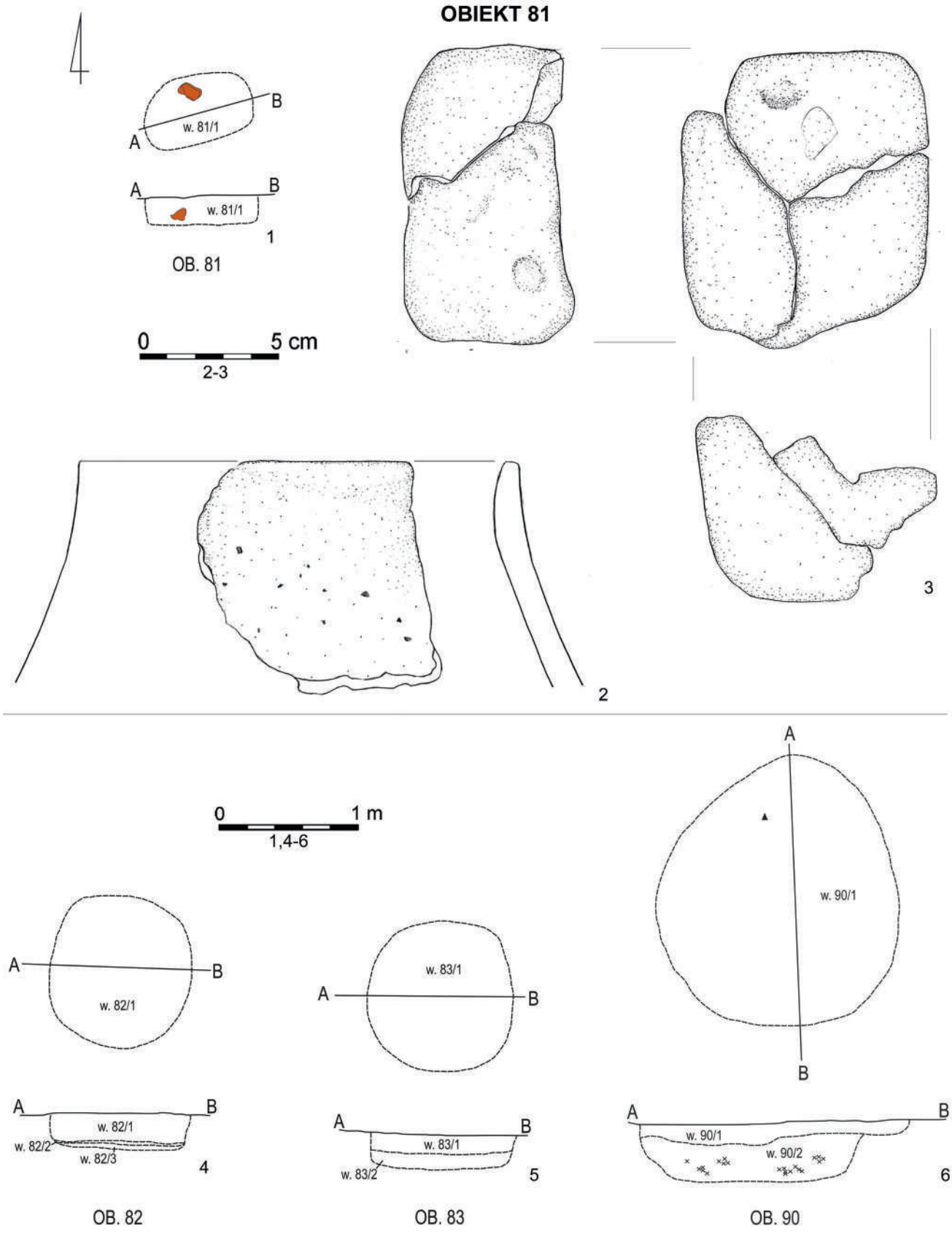


Tabl. 6.12. Jabłonica Ruska, stan. 1. Rzuty poziome i profile obiektów nr: 81 (1), 82 (4), 83 (5), 90 (6) zabytki kamienne oraz zabytek ceramiczny 81 (2, 3)
Plate 6.12. Jabłonica Ruska, site 1. Plans and profiles of features 81 (1), 82 (4), 83 (5), 90 (6), stone artefacts and a ceramic artefact 81 (2, 3)

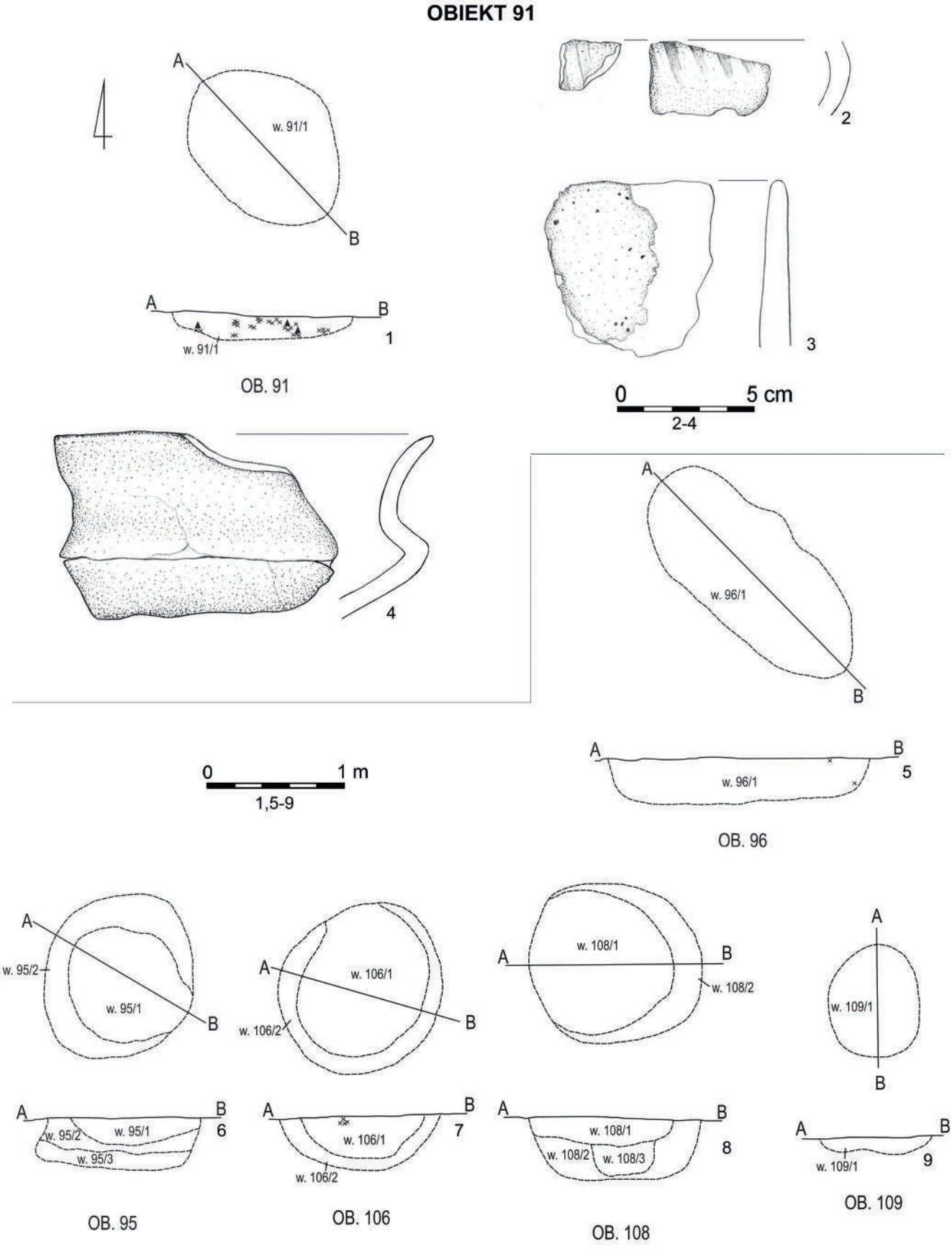


Tabl. 6.13. Jabłonica Ruska, stan. 1. Rzuty poziome i profile obiektów nr: 91 (1), 95 (6), 96 (5), 106 (7), 108 (8), 109 (9) oraz zabytki ceramiczne z obiektu 91 (2, 3, 4)
Plate 6.13. Jabłonica Ruska, site 1. Plans and profiles of features 91 (1), 95 (6), 96 (5), 106 (7), 108 (8), 109 (9) and pottery from feature 91 (2, 3, 4)

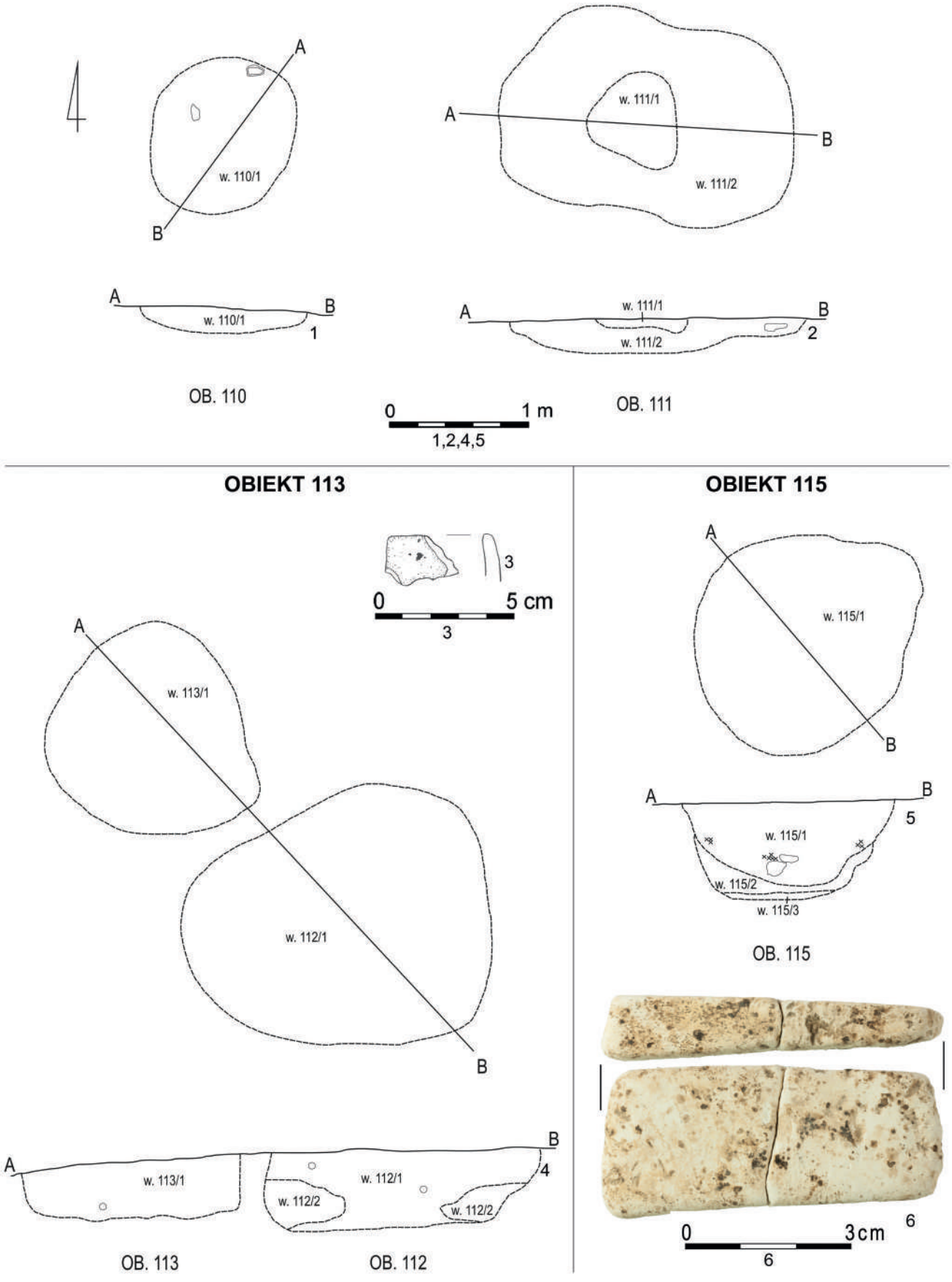


Tabl. 6.14. Jabłonica Ruska, stan. 1. Rzuty poziome i profile obiektów nr: 110 (1), 111 (2), 112 (4), 113 (4), 115 (5) oraz zabytki kamienne z obiektu 115 (6)

Plate 6.14. Jabłonica Ruska, site 1. Plans and profiles of features 110 (1), 111 (2), 112 (4), 113 (4), 115 (5) and stone artefacts from feature 115 (6)

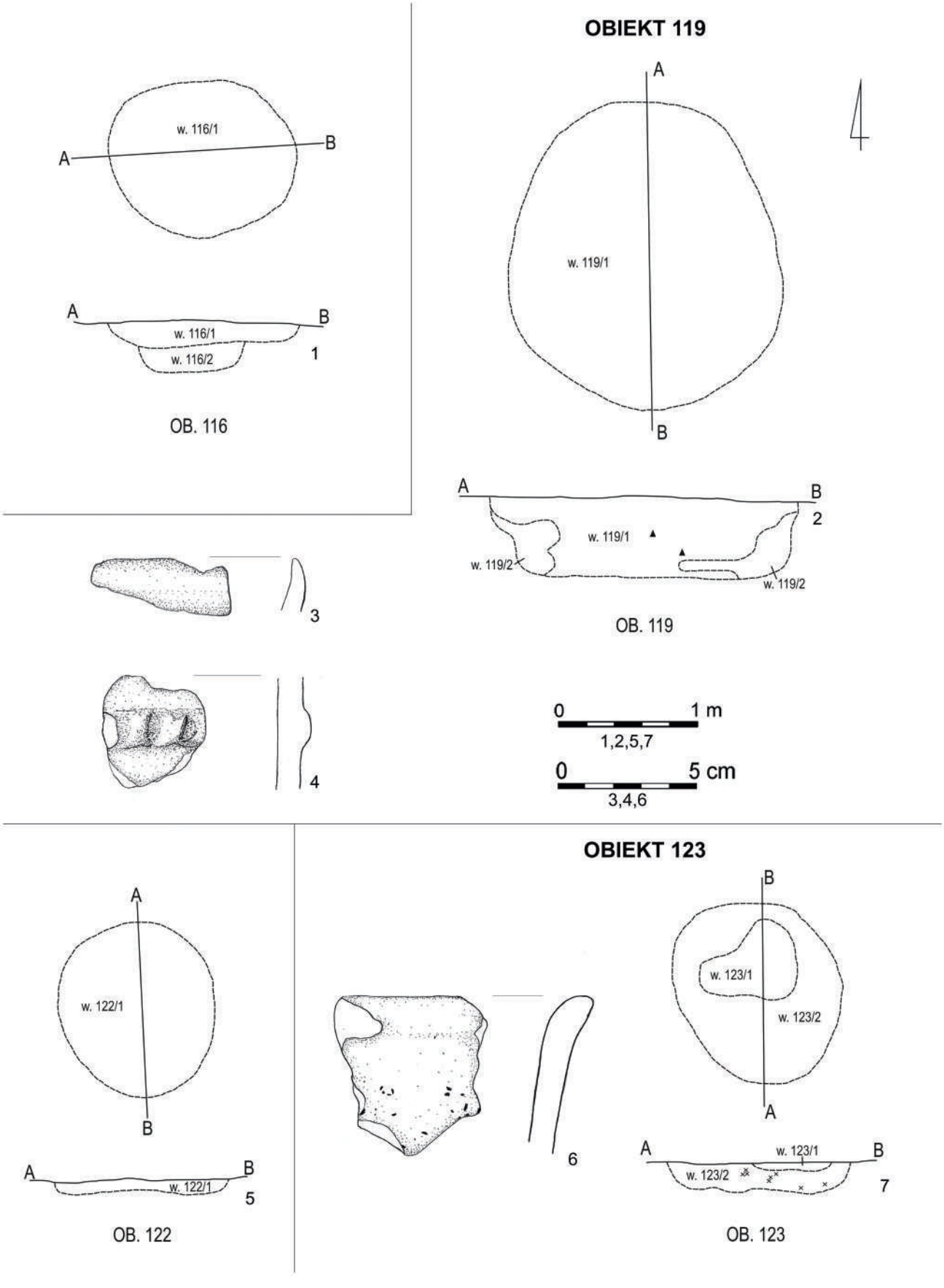


Tabl. 6.15. Jabłonica Ruska, stan. 1. Rzuty poziome i profile obiektów nr: 116 (1), 119 (2), 122 (5), 123 (7) oraz zabytki ceramiczne z obiektów 119 (3, 4), 123 (6)
Plate 6.15. Jabłonica Ruska, site 1. Plans and profiles of features 116 (1), 119 (2), 122 (5), 123 (7) and pottery from features 119 (3, 4), 123 (6)

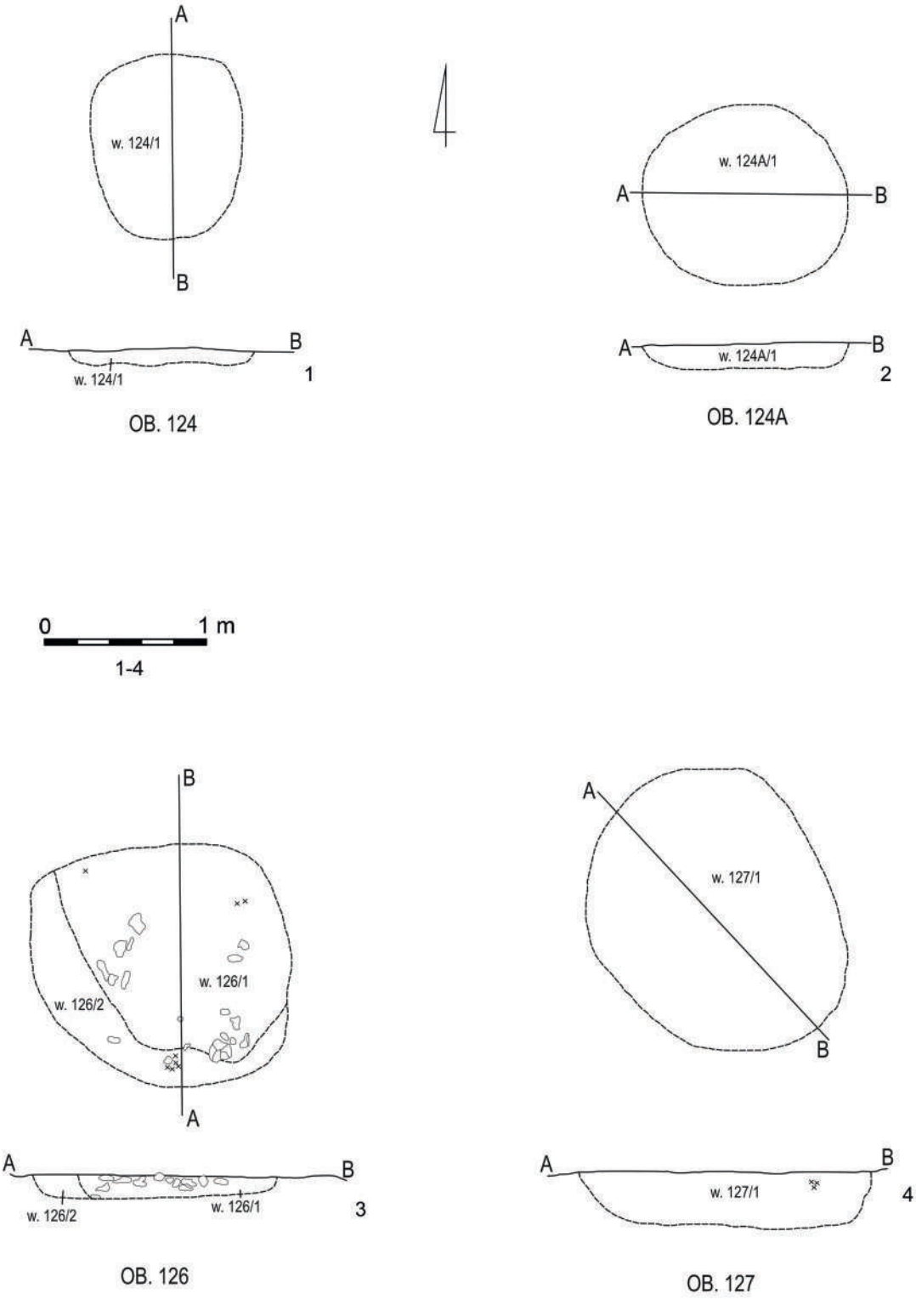


Tabl. 6.16. Jabłonica Ruska, stan. 1. Rzuty poziome i profile obiektów nr: 124 (1), 124A (2), 126 (3), 127 (4)
Plate 6.16. Jabłonica Ruska, site 1. Plans and profiles of features 124 (1), 124A (2), 126 (3), 127 (4)

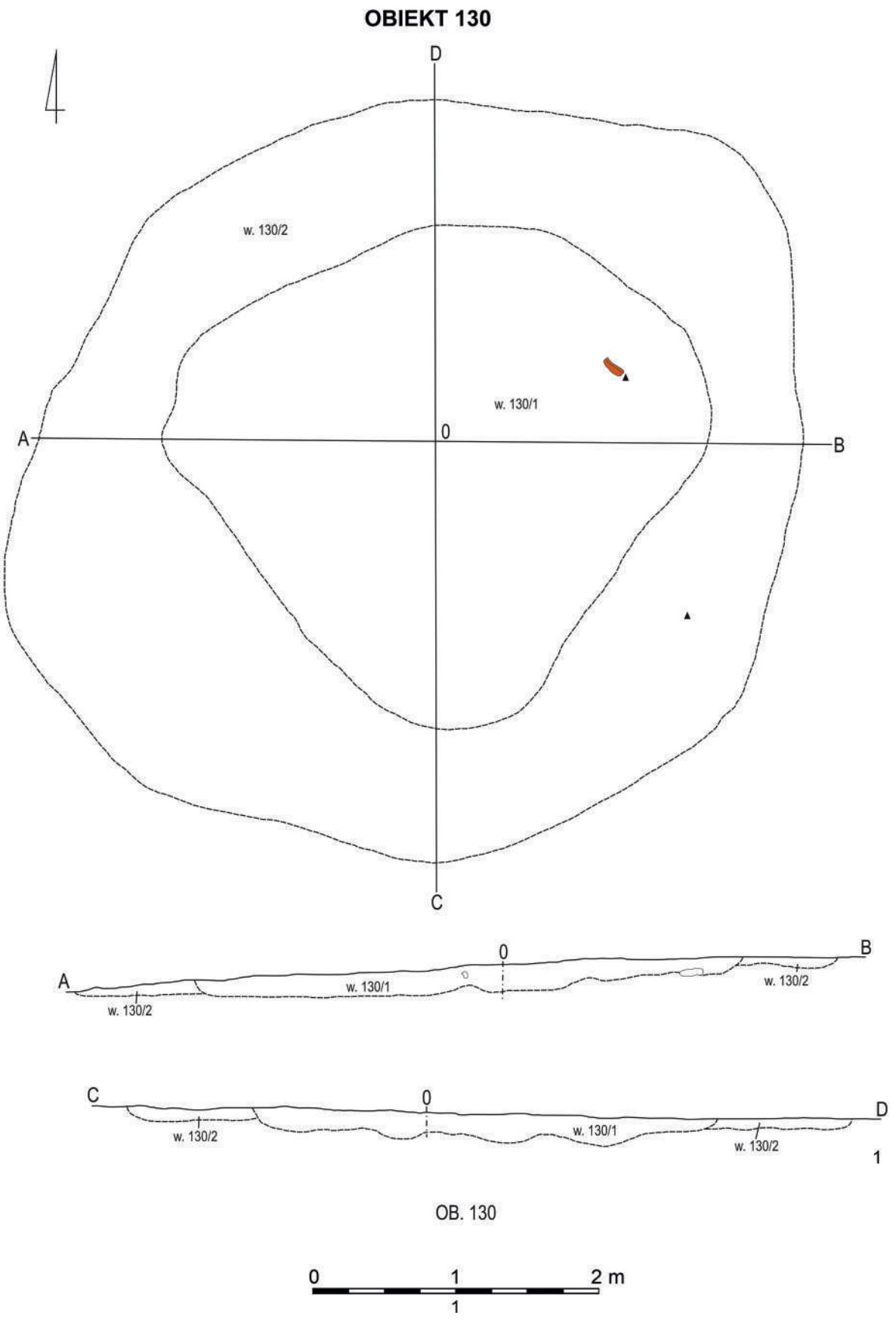


Tabl. 6.17. Jabłonica Ruska, stan. 1. Rzut poziomy i profile obiektu nr: 130 (1)
Plate 6.17. Jabłonica Ruska, site 1. Plan and profiles of feature 130 (1)

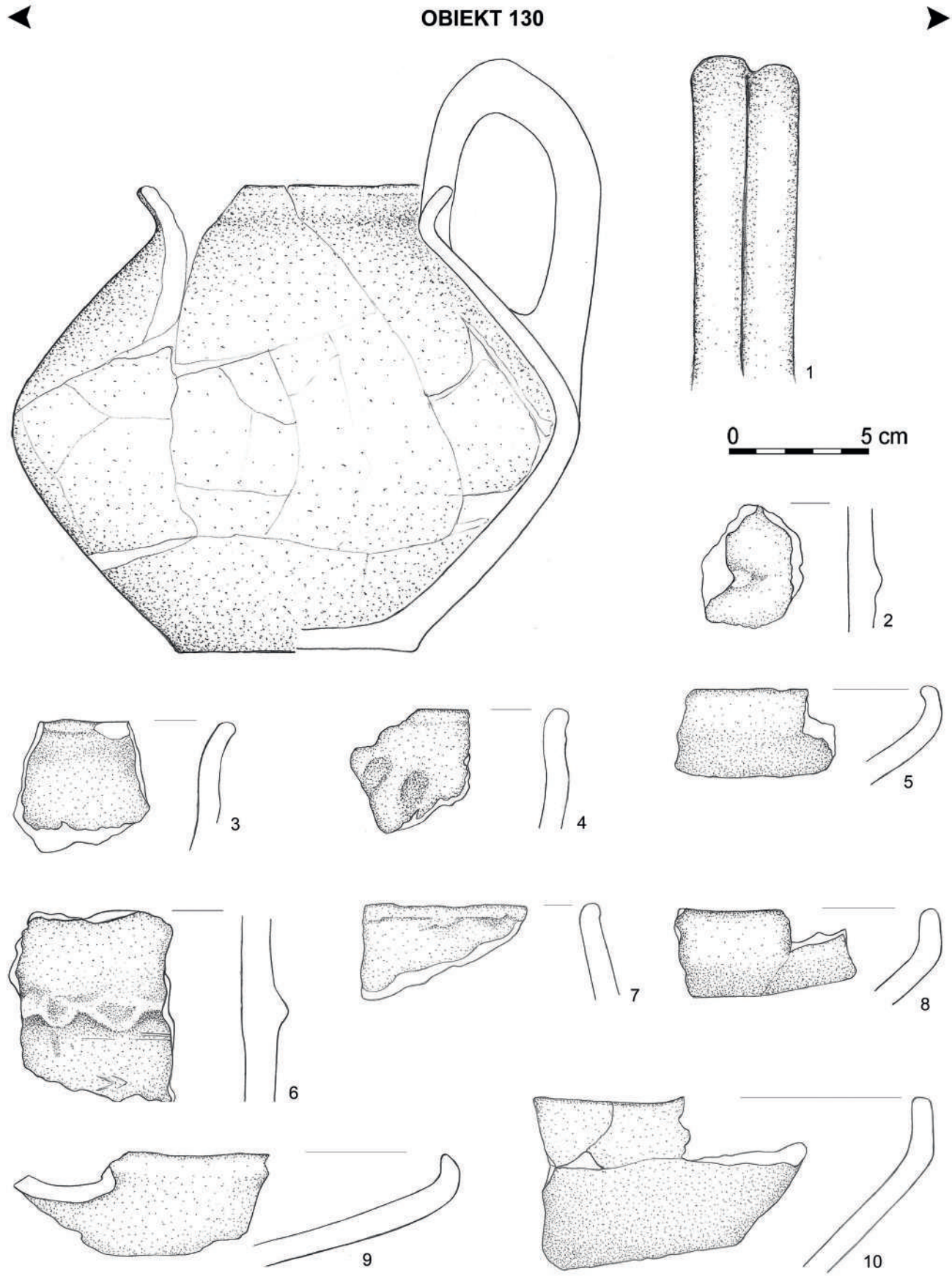


Tabl. 6.18. Jabłonica Ruska, stan. 1. Zabytki ceramiczne z obiektu 130
Plate 6.18. Jabłonica Ruska, site 1. Pottery from feature 130

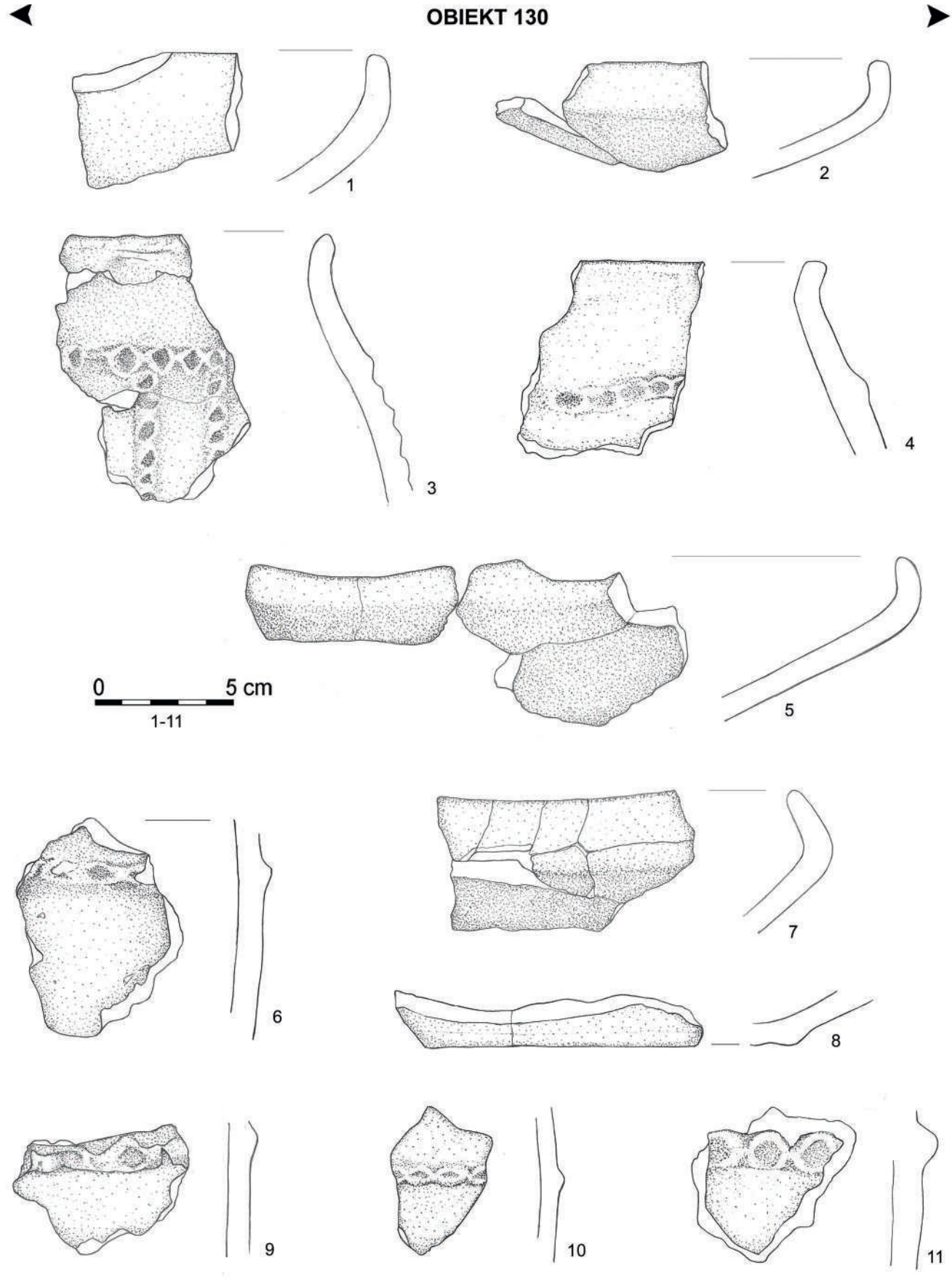


Tabl. 6.19. Jabłonica Ruska, stan. 1. Zabytki ceramiczne z obiektu 130
Plate 6.19. Jabłonica Ruska, site 1. Pottery from feature 130

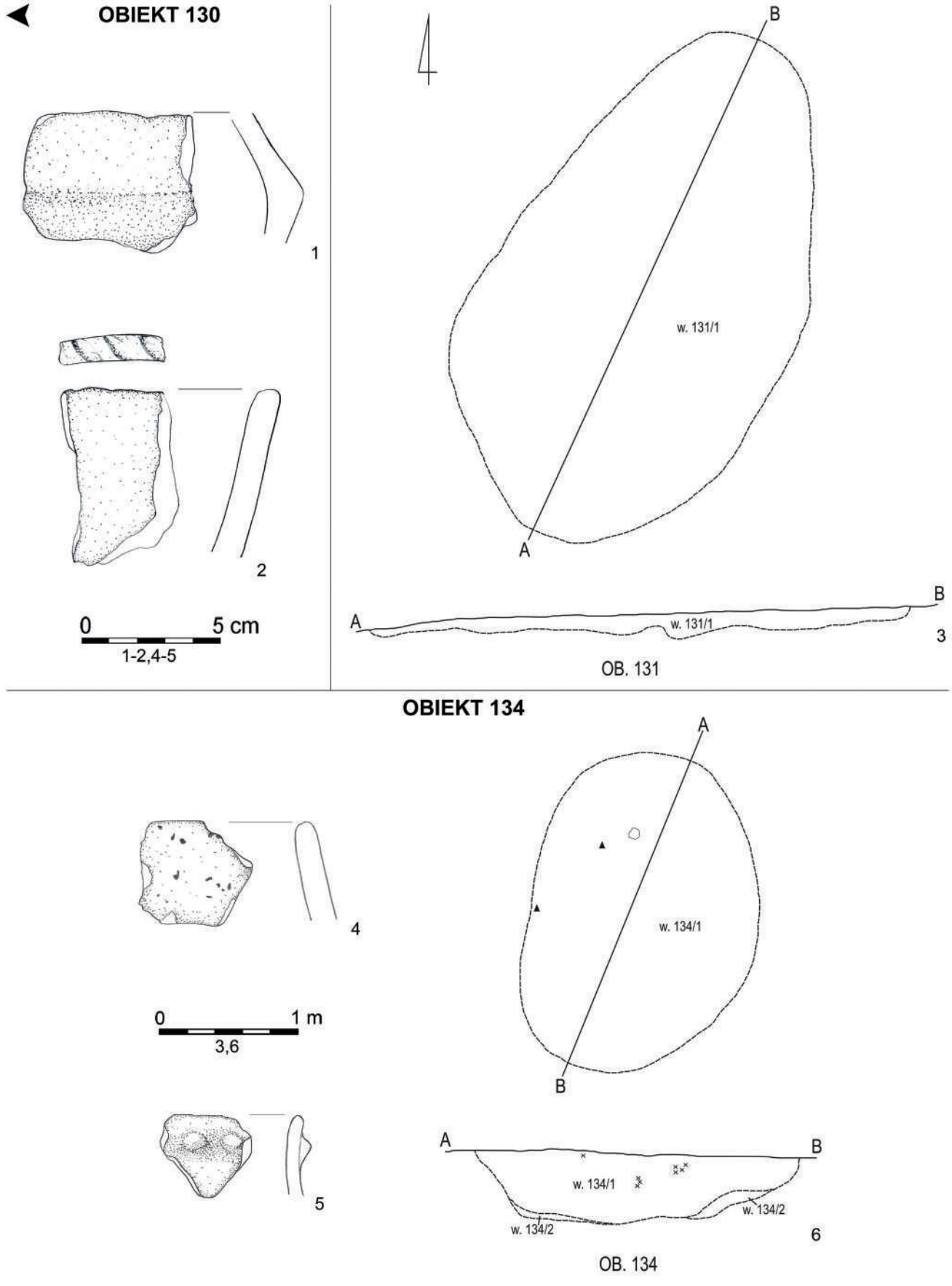


Tabl. 6.20. Jabłonica Ruska, stan. 1. Rzuty i profile obiektów 131 (3), 134 (6) oraz zabytki ceramiczne z obiektów 130 (1, 2), 13

Plate 6.20. Jabłonica Ruska, site 1. Plans and profiles of features 131 (3), 134 (6) and pottery from features 130 (1, 2), 13

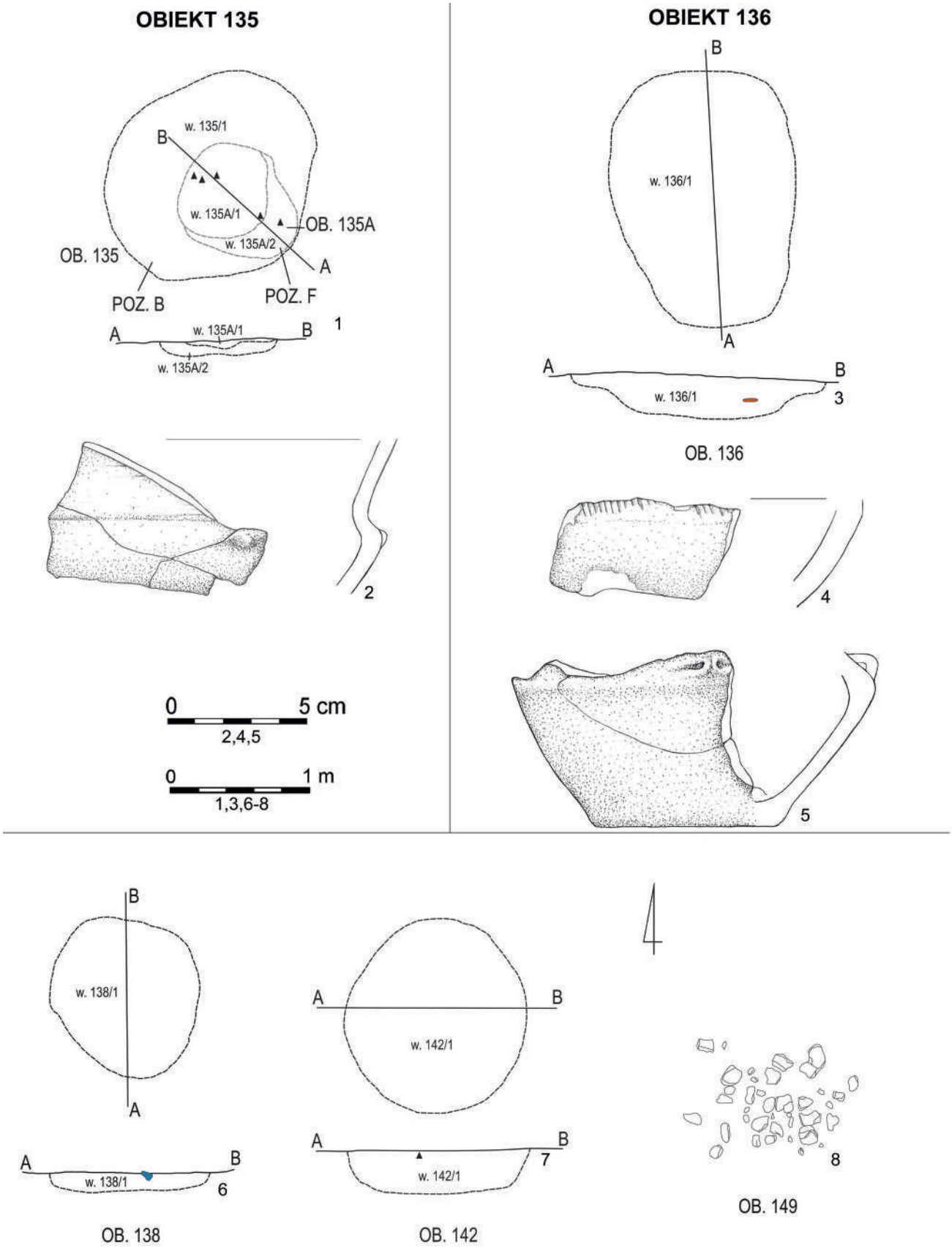


Tabl. 6.21. Jabłonica Ruska, stan. 1. Rzuty poziome i profile obiektów nr: 135 (1), 136 (3), 138 (6), 142 (7), 149 (8) oraz zabytki ceramiczne z obiektów 135 (2), 136 (4, 5)
Plate 6.21. Jabłonica Ruska, site 1. Plans and profiles of features 135 (1), 136 (3), 138 (6), 142 (7), 149 (8) and pottery from features 135 (2), 136 (4, 5)

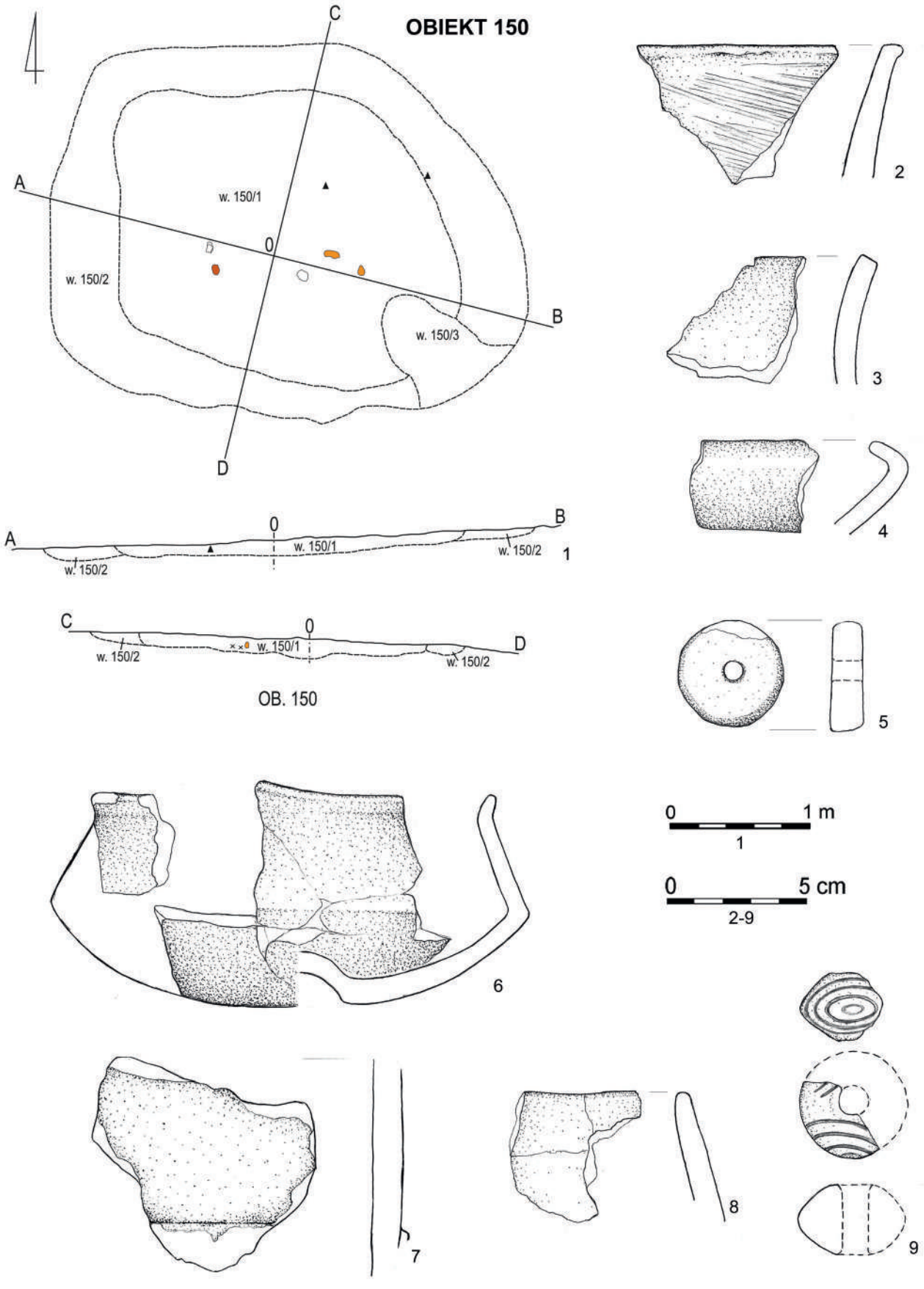


Tabl. 6.22. Jabłonica Ruska, stan. 1. Rzut poziomy i profile obiektu nr: 150 (1) oraz zabytki ceramiczne zabytki ceramiczne z obiektu 150 (2, 3, 4, 5, 6, 7, 8, 9)

Plate 6.22. Jabłonica Ruska, site 1. Plan and profiles of feature 150 (1) and pottery pottery from feature 150 (2, 3, 4, 5, 6, 7, 8, 9)

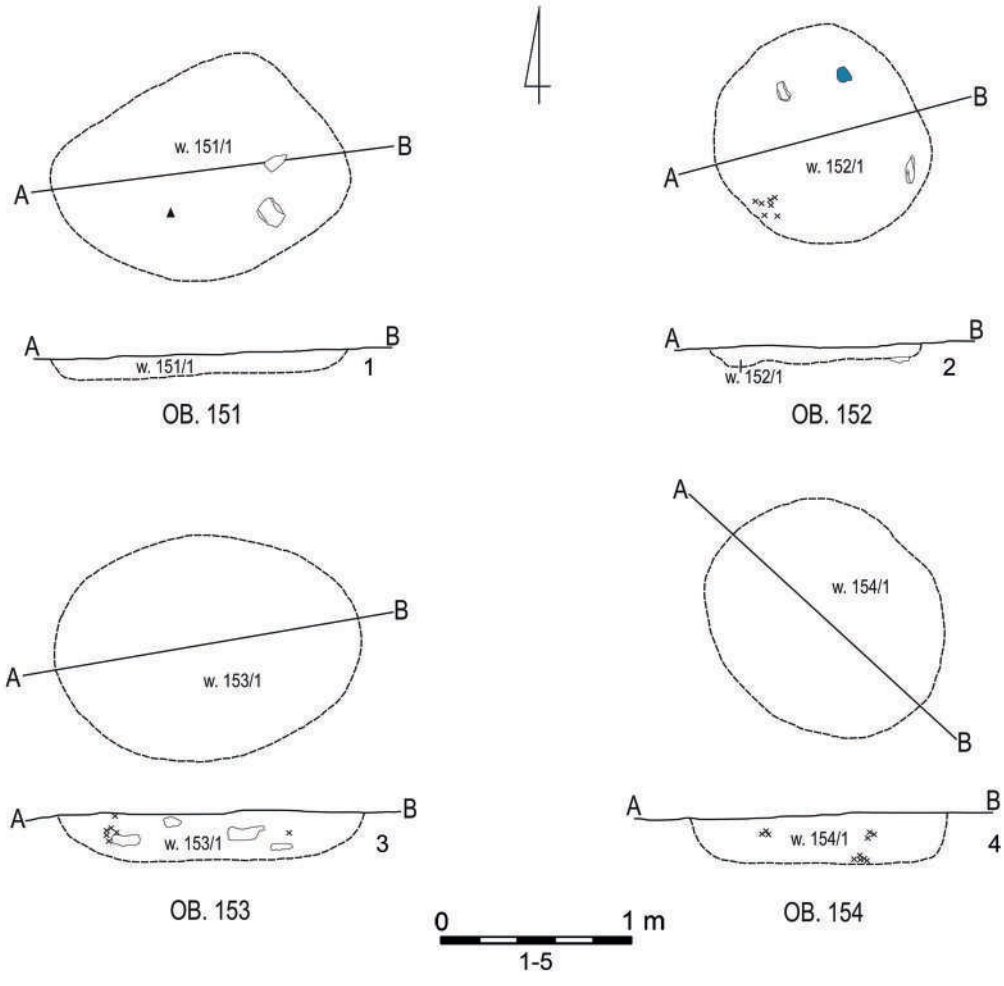


**OBIEKT 166**

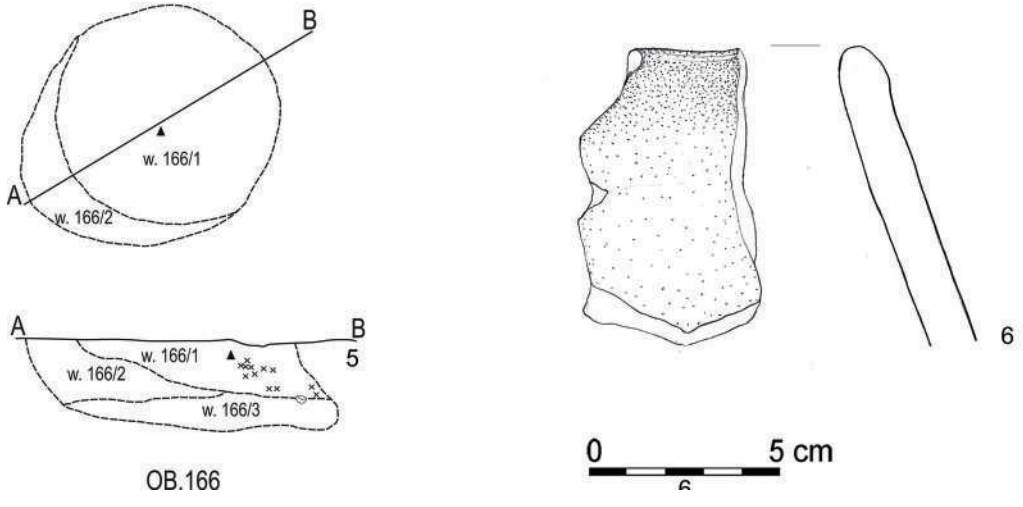


Tabl. 6.23. Jabłonica Ruska, stan. 1. Rzuty poziome i profile obiektów nr: 151 (1), 152 (2), 153 (3), 154 (4), 166 (5) oraz zabytek ceramiczny z obiektu 166 (6)
Plate 6.23. Jabłonica Ruska, site 1. Plans and profiles of features 151 (1), 152 (2), 153 (3), 154 (4), 166 (5) and a ceramic artefact from feature 166 (6)

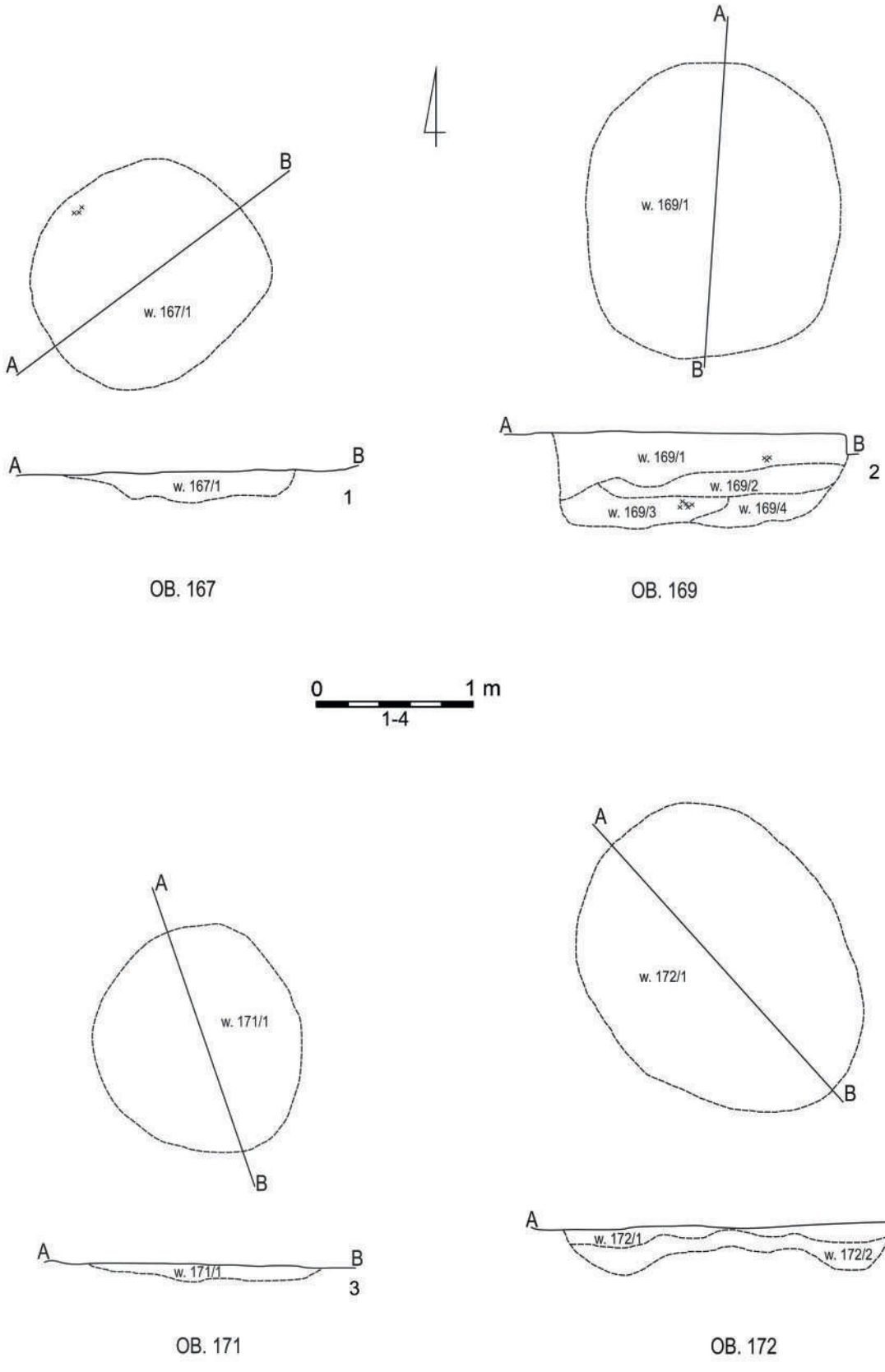


Tabl. 6.24. Jabłonica Ruska, stan. 1. Rzuty poziome i profile obiektów nr: 167 (1), 169 (2), 171 (3), 172 (4)
Plate 6.24. Jabłonica Ruska, site 1. Plans and profiles of features 167 (1), 169 (2), 171 (3), 172 (4)

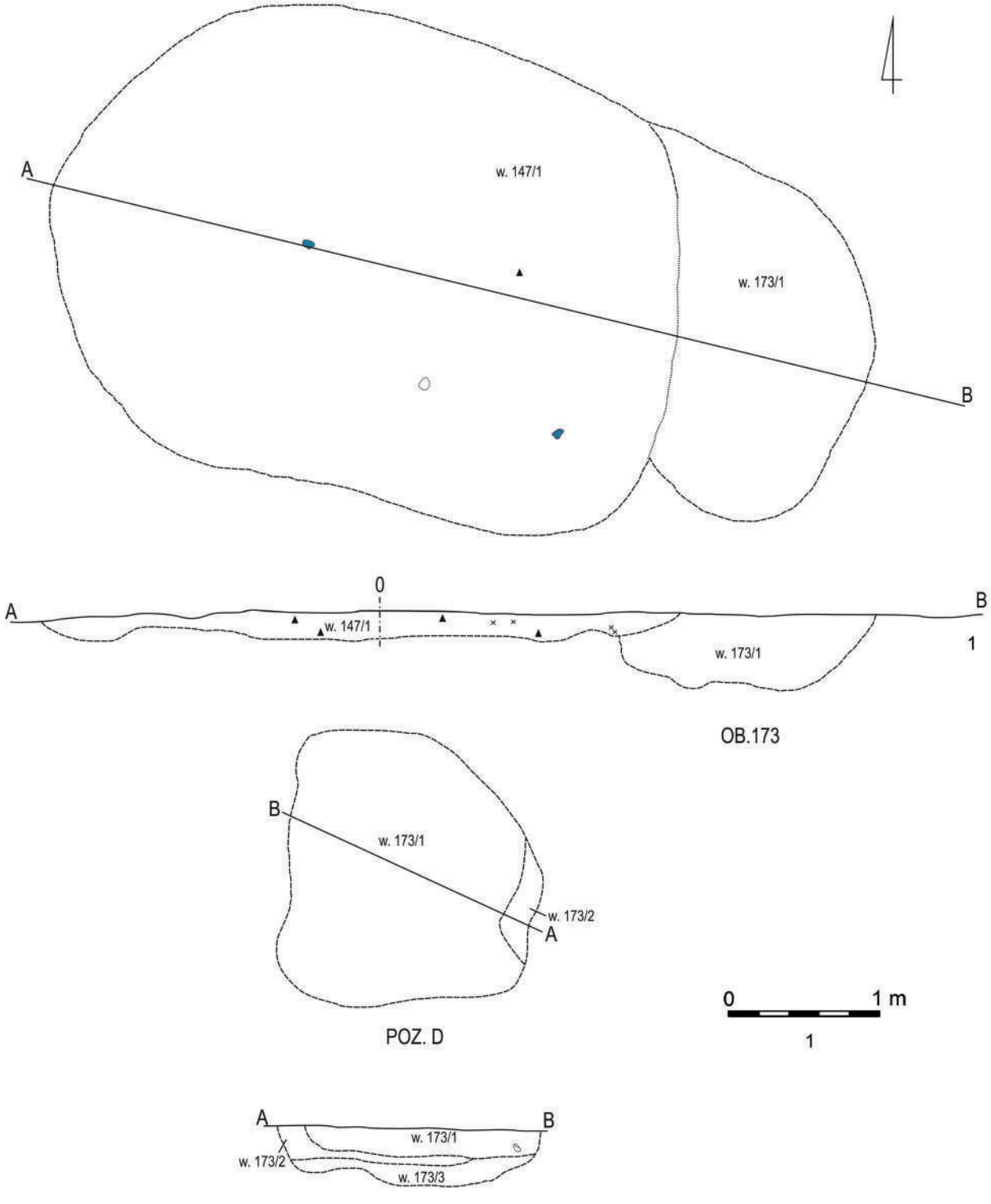


Tabl. 6.25. Jabłonica Ruska, stan. 1. Rzut poziomy i profil obiektu nr: 173 (1)
Plate 6.25. Jabłonica Ruska, site 1. Plan and profile of feature 173 (1)

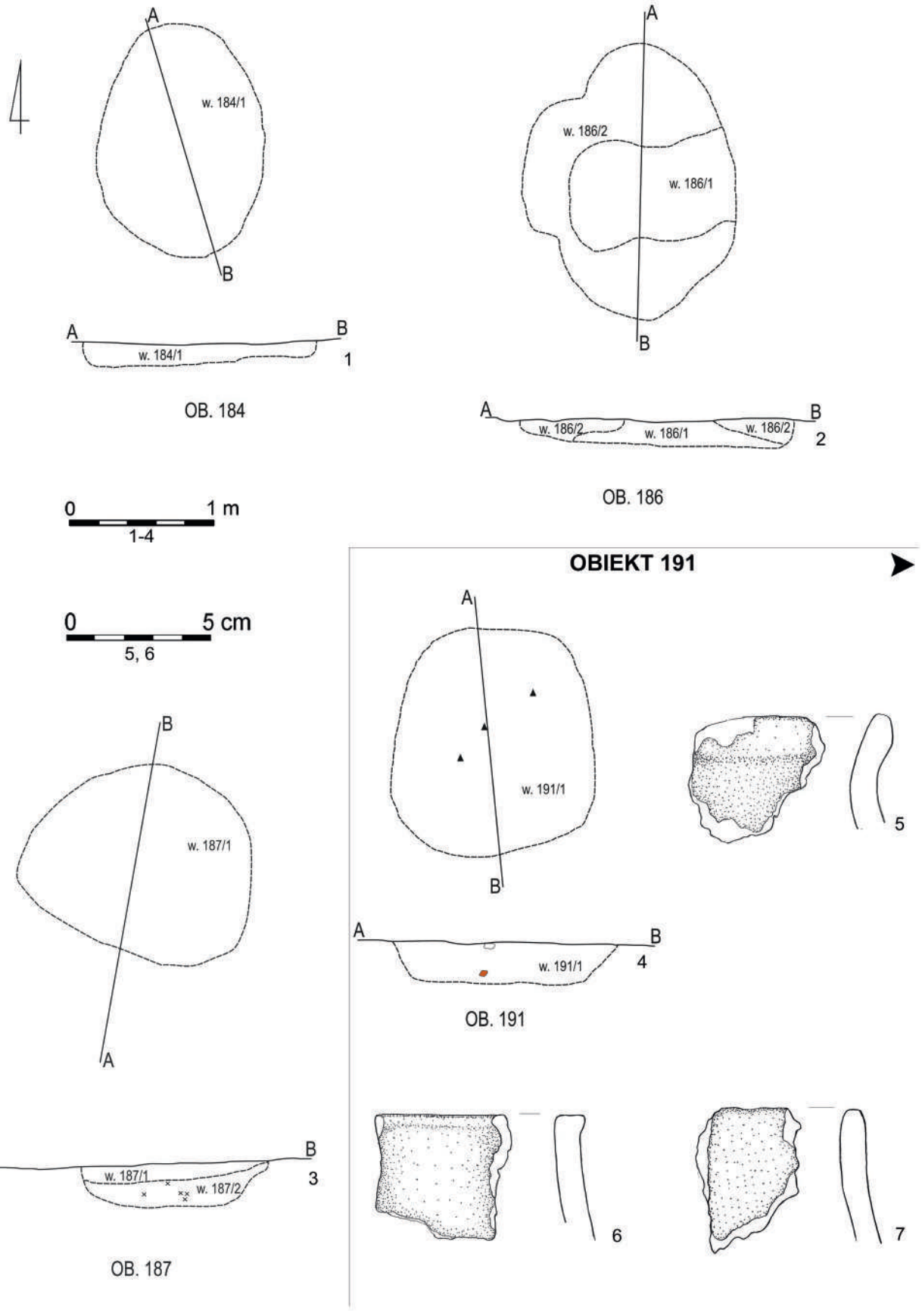


Tabl. 6.26. Jabłonica Ruska, stan. 1. Rzuty poziome i profile obiektów nr: 184 (1), 186 (2), 187 (3), 191 (4) oraz zabytki ceramiczne z obiektu 191 (5, 6, 7)
Plate 6.26. Jabłonica Ruska, site 1. Plans and profiles of features 184 (1), 186 (2), 187 (3), 191 (4) and ceramic artefacts from feature 191 (5, 6, 7)

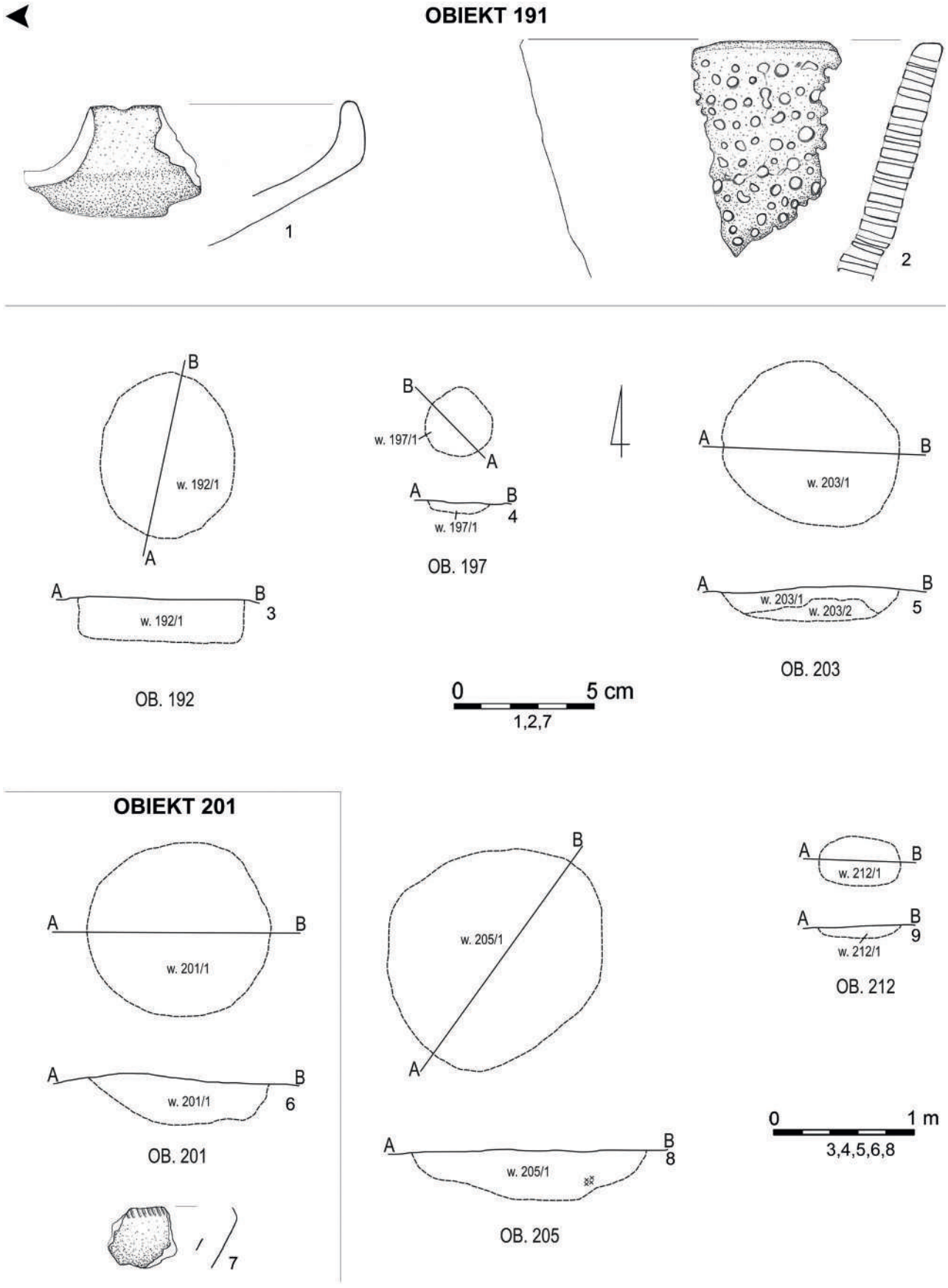


Tabl. 6.27. Jabłonica Ruska, stan. 1. Rzuty poziome i profile obiektów nr: 192 (3), 197 (4), 201 (6), 203 (5), 205 (8), 212 (9) oraz zabytki ceramiczne z obiektów 191 (1, 2), 201 (7)

Plate 6.27. Jabłonica Ruska, site 1. Plans and profiles of features 192 (3), 197 (4), 201 (6), 203 (5), 205 (8), 212 (9) and ceramic artefacts from features 191 (1, 2), 201 (7)

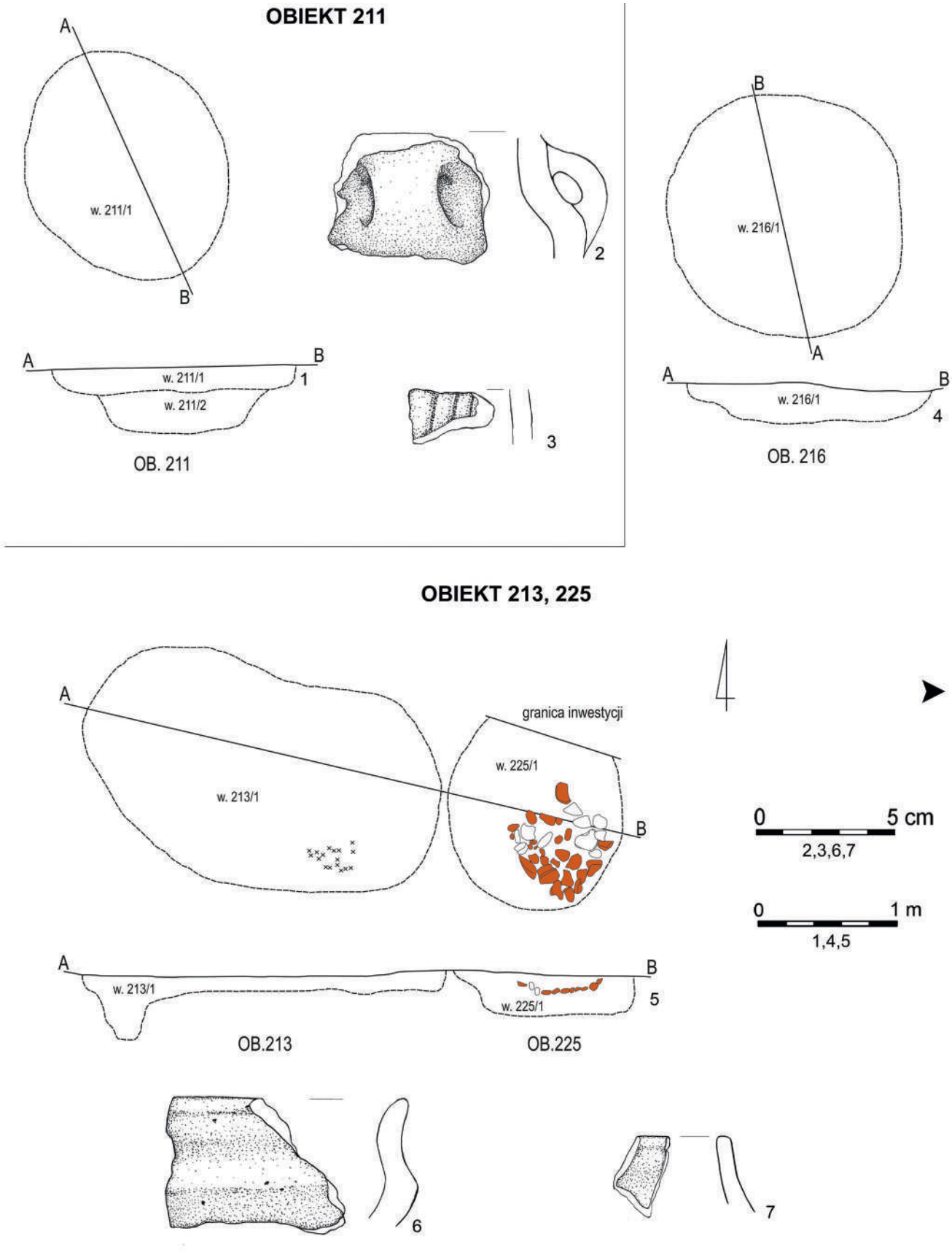


Tabl. 6.28. Jabłonica Ruska, stan. 1. Rzuty poziome i profile obiektów nr: 211 (1), 213 (5), 216 (4), 225 (5) oraz zabytki ceramiczne z obiektów 213 (7), 225 (6)
Plate 6.28. Jabłonica Ruska, site 1. Plans and profiles of features 211 (1), 213 (5), 216 (4), 225 (5) and ceramic artefacts from features 213 (7), 225 (6)

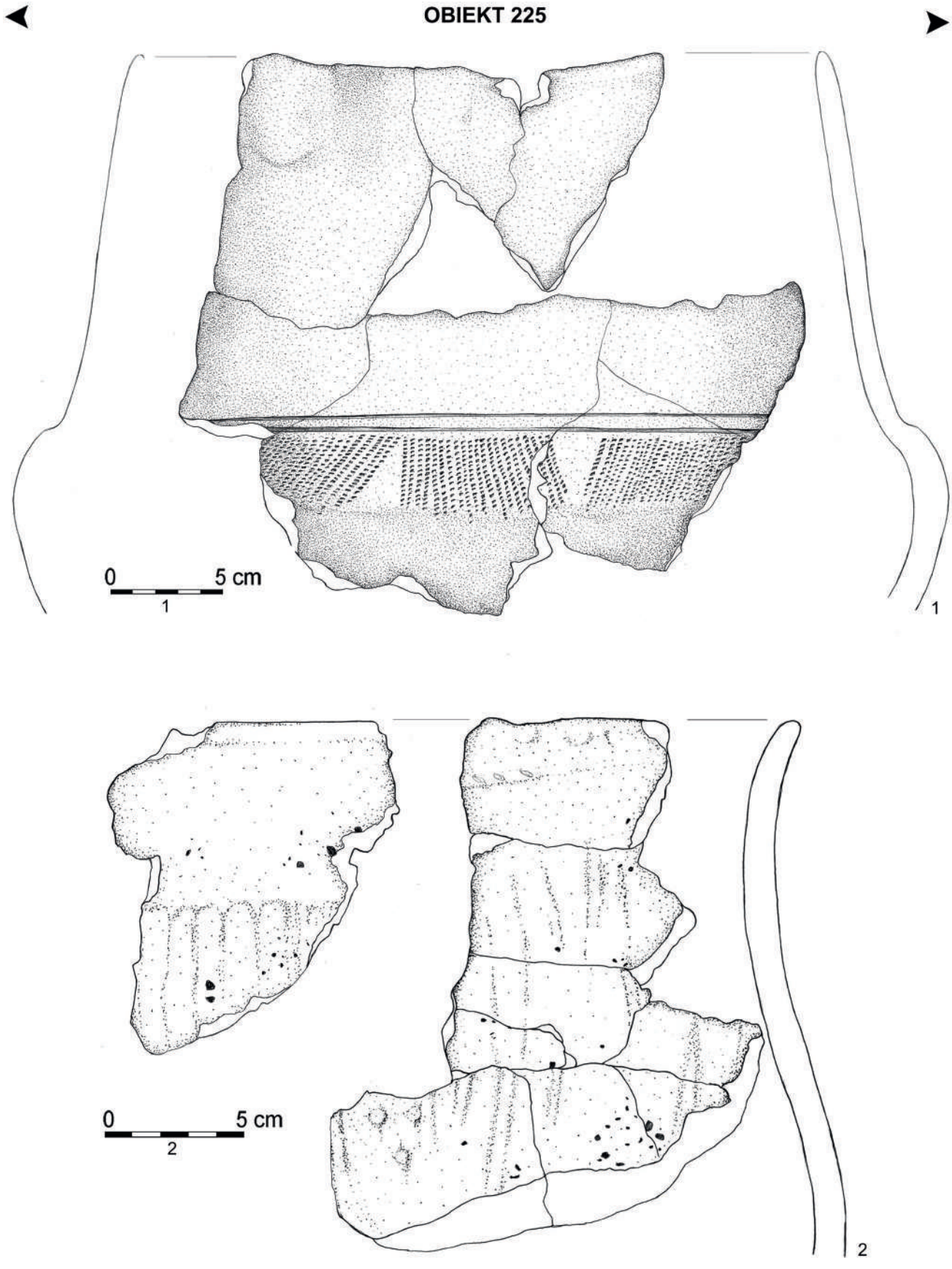


Tabl. 6.29. Jabłonica Ruska, stan. 1. Zabytki ceramiczne z obiektu 225 (1, 2)
Plate 6.29. Jabłonica Ruska, site 1. Ceramic artefacts from feature 225 (1, 2)

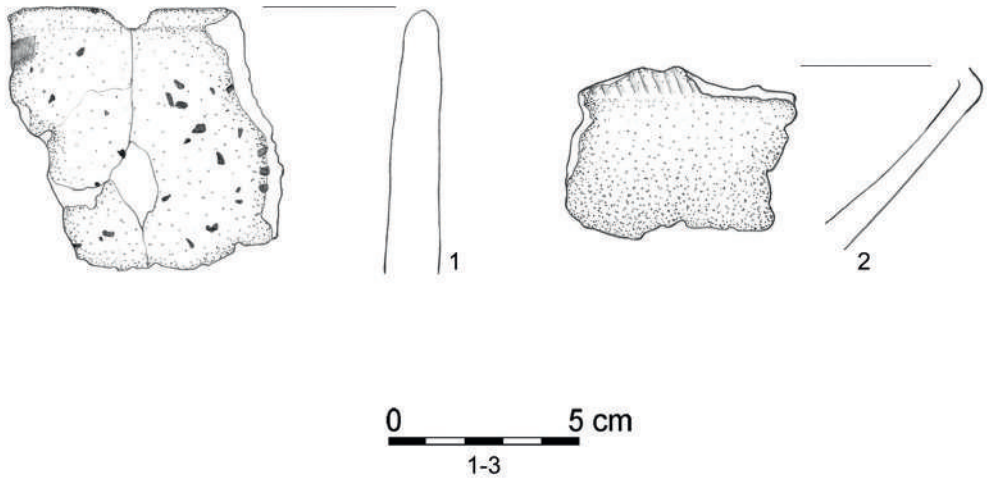


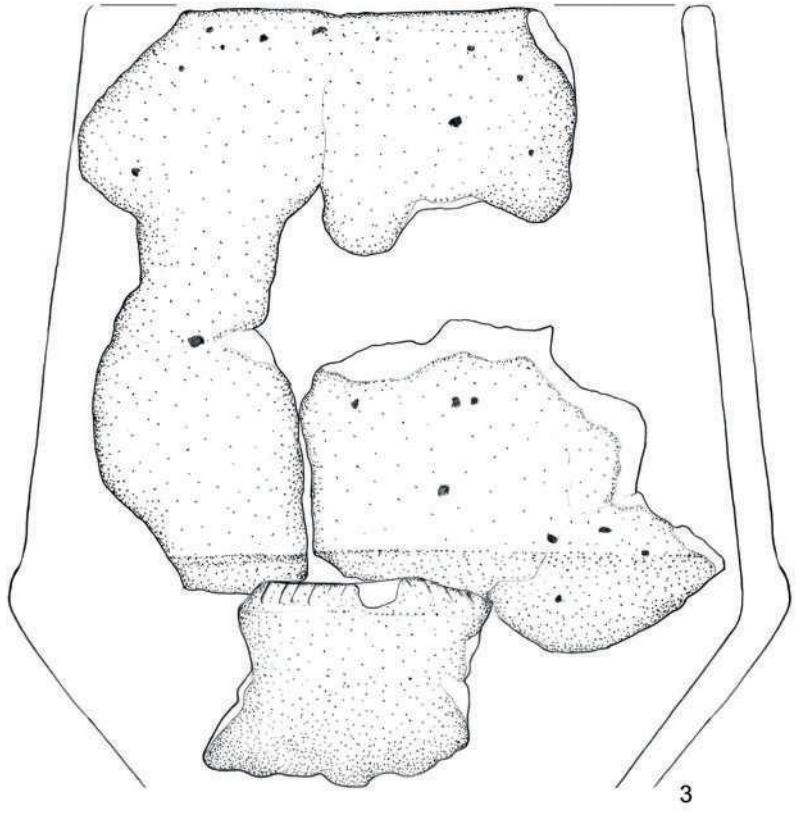


Tabl. 6.30. Jabłonica Ruska, stan. 1. Zabytki ceramiczne z obiektu 225 (1, 2, 3)
Plate 6.30. Jabłonica Ruska, site 1. Ceramic artefacts from feature 225 (1, 2, 3)

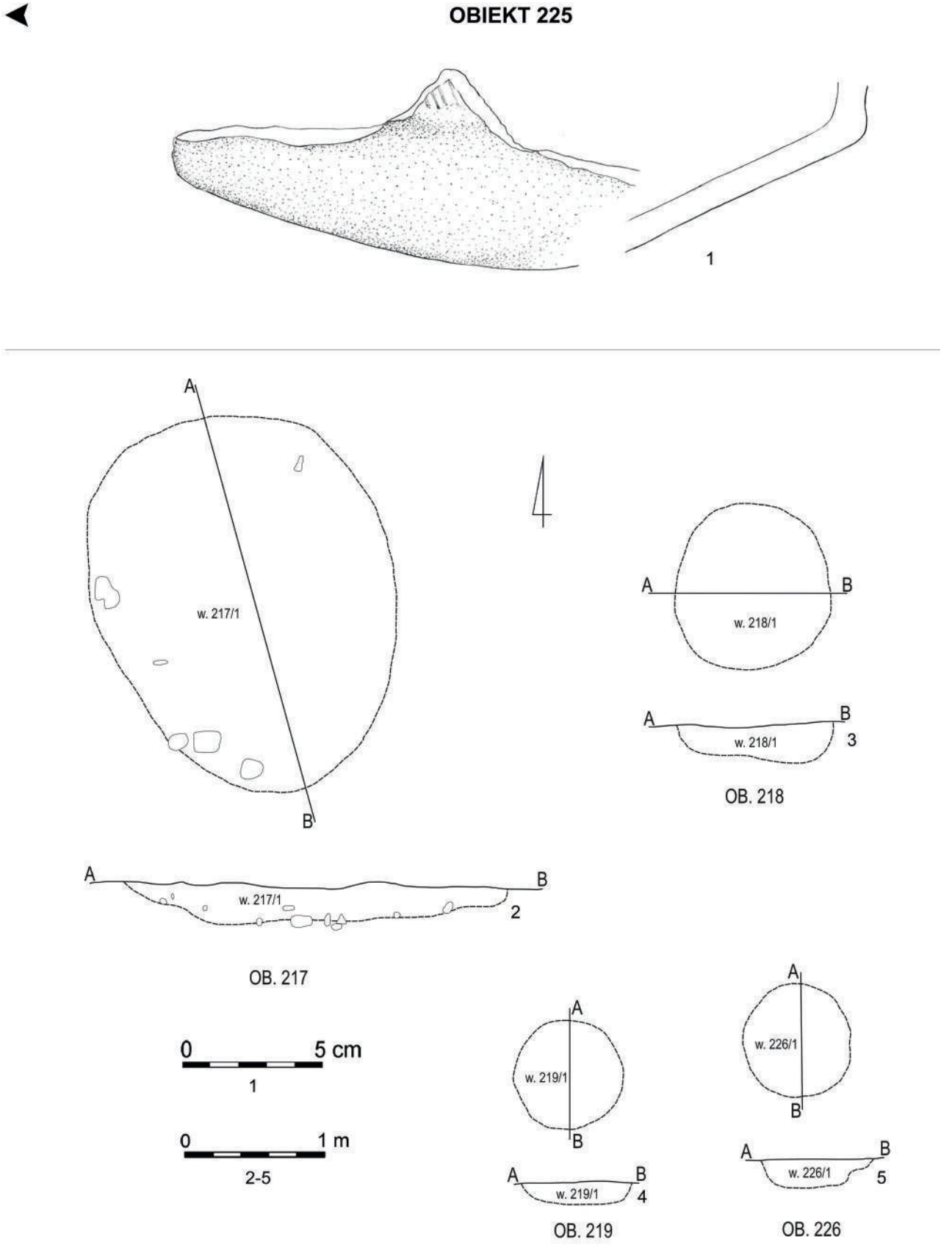


Tabl. 6.31. Jabłonica Ruska, stan. 1. Rzuty poziome i profile obiektów nr: 217 (2), 218 (3), 219 (4), 228 (5) oraz zabytek ceramiczny z obiektu 225 (1)
Plate 6.31. Jabłonica Ruska, site 1. Plans and profiles of features 217 (2), 218 (3), 219 (4), 228 (5) and a ceramic artefact from feature 225 (1)

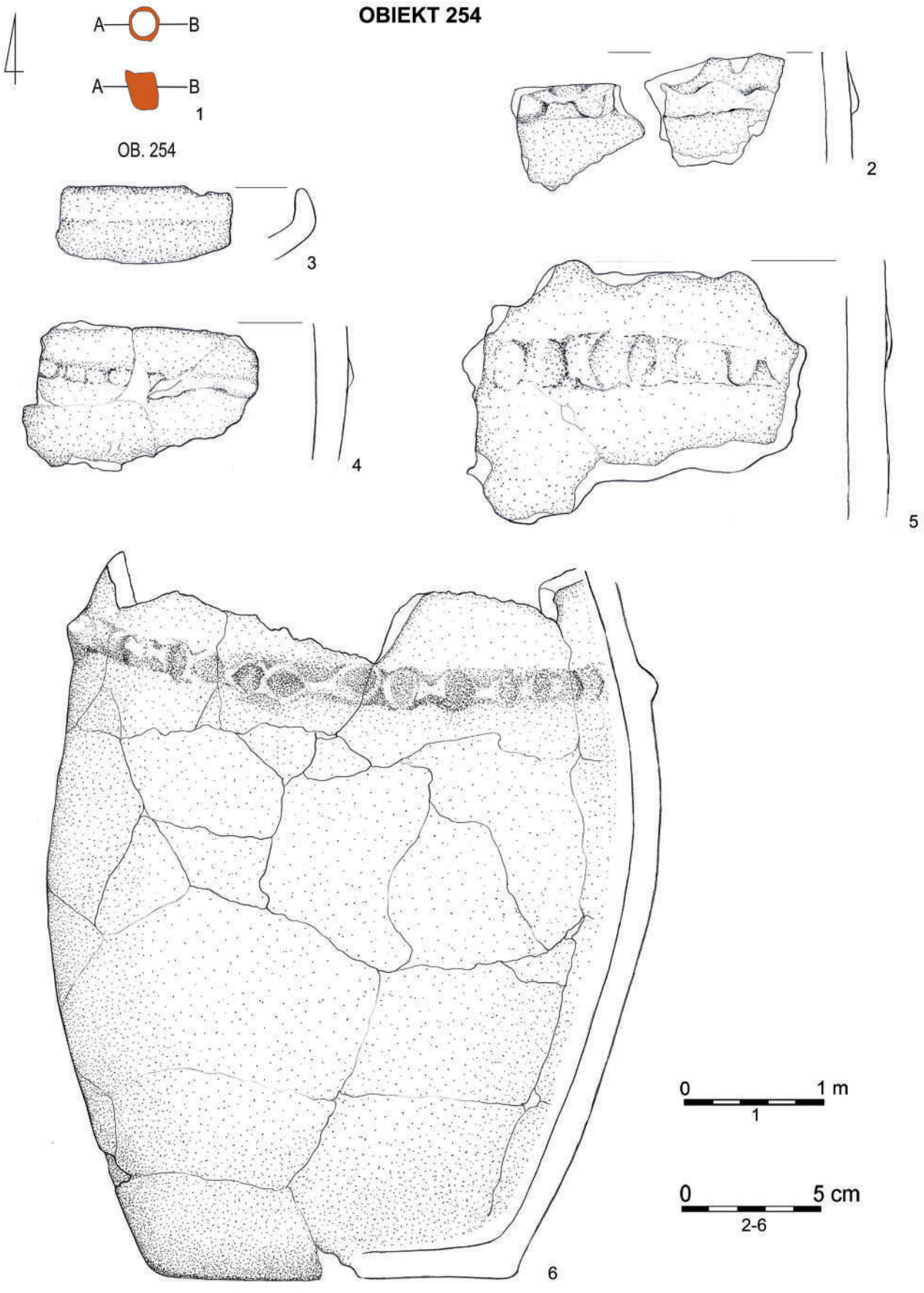


Tabl. 6.32. Jabłonica Ruska, stan. 1. Rzut poziomy i profil obiektu nr: 254 (1) oraz zabytki ceramiczne z obiektu 254 (2, 3, 4, 5, 6)
Plate 6.32. Jabłonica Ruska, site 1. Plan and profile of feature 254 (1) and ceramic artefacts from feature 254 (2, 3, 4, 5, 6)

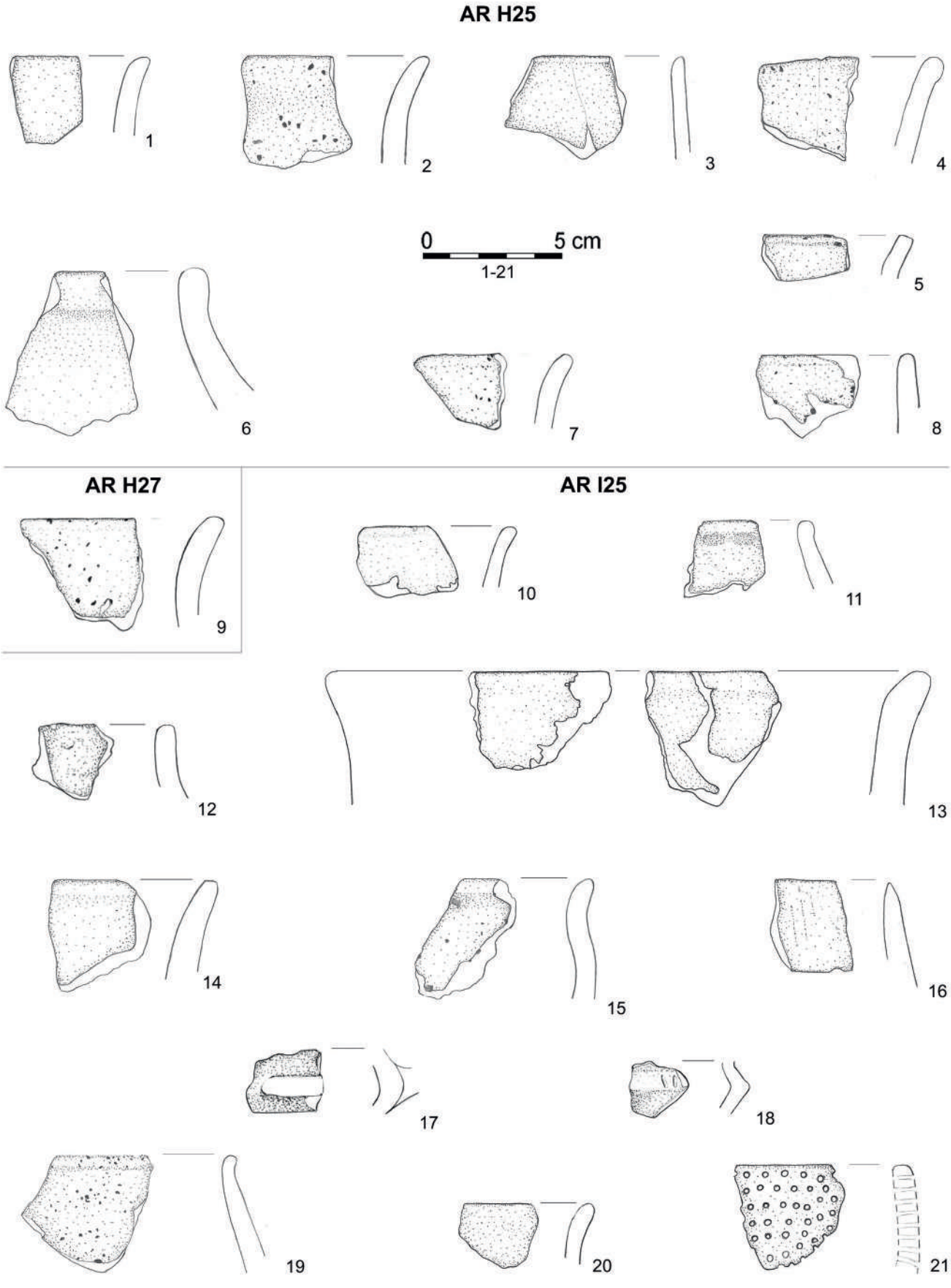


Tabl. 6.33. Jabłonica Ruska, stan. 1. Zabytki ceramiczne z arów: H25 (1, 2, 3, 4, 5, 6, 7, 8), H27 (9), I25 (10, 11, 12, 13, 14, 15, 16, 17, 18, 19, 20, 21)

Plate 6.33. Jabłonica Ruska, site 1. Ceramic artefacts from ares H25 (1, 2, 3, 4, 5, 6, 7, 8), H27 (9), I25 (10, 11, 12, 13, 14, 15, 16, 17, 18, 19, 20, 21)

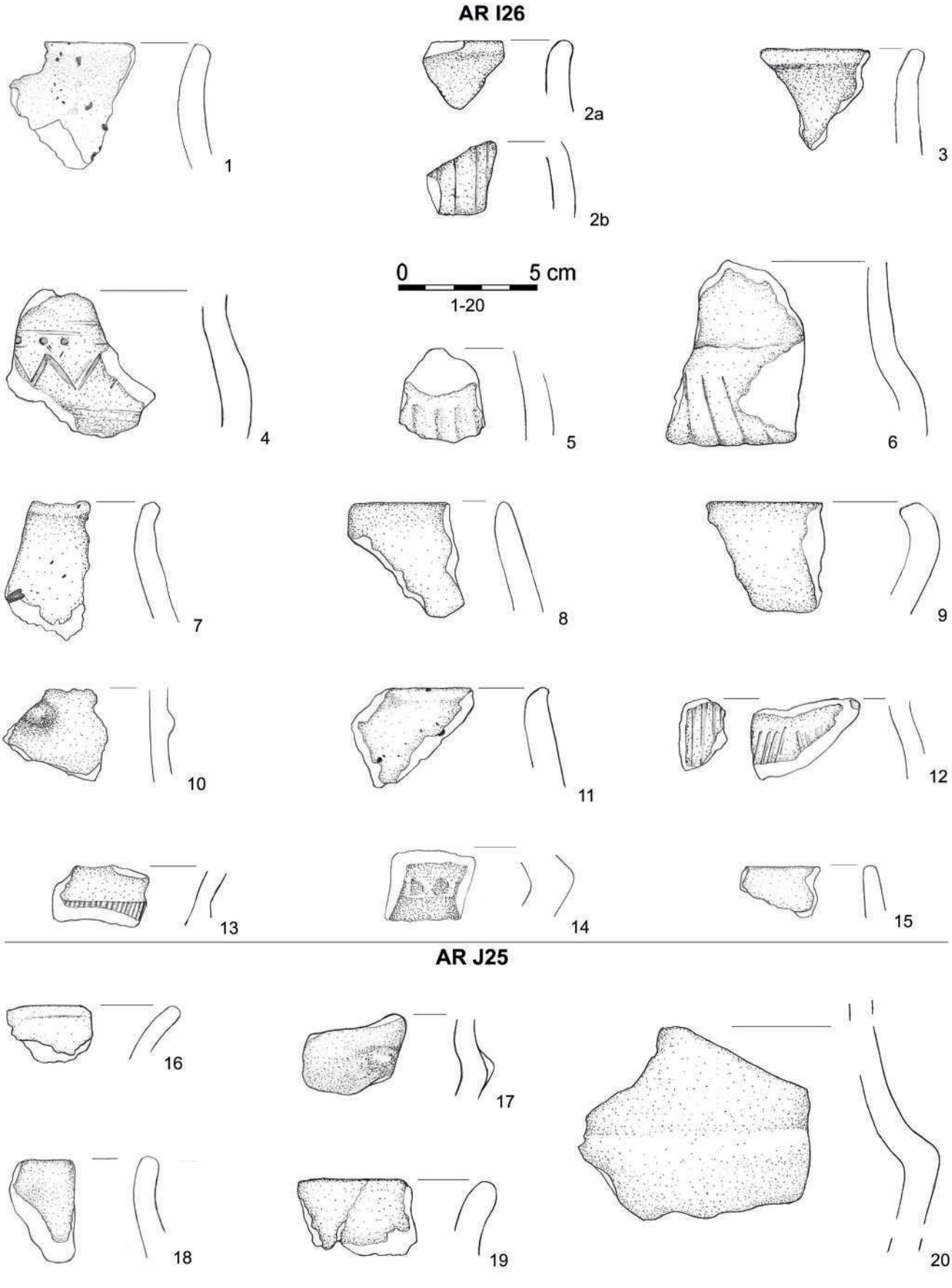


Tabl. 6.34. Jabłonica Ruska, stan. 1. Zabytki ceramiczne z arów: I26 (1, 2, 3, 4, 5, 6, 7, 8, 9, 10, 11, 12, 13, 14, 15), J25 (16, 17, 18, 19, 20)
Plate 6.34. Jabłonica Ruska, site 1. Ceramic artefacts from ares I26 (1, 2, 3, 4, 5, 6, 7, 8, 9, 10, 11, 12, 13, 14, 15), J25 (16, 17, 18, 19, 20)

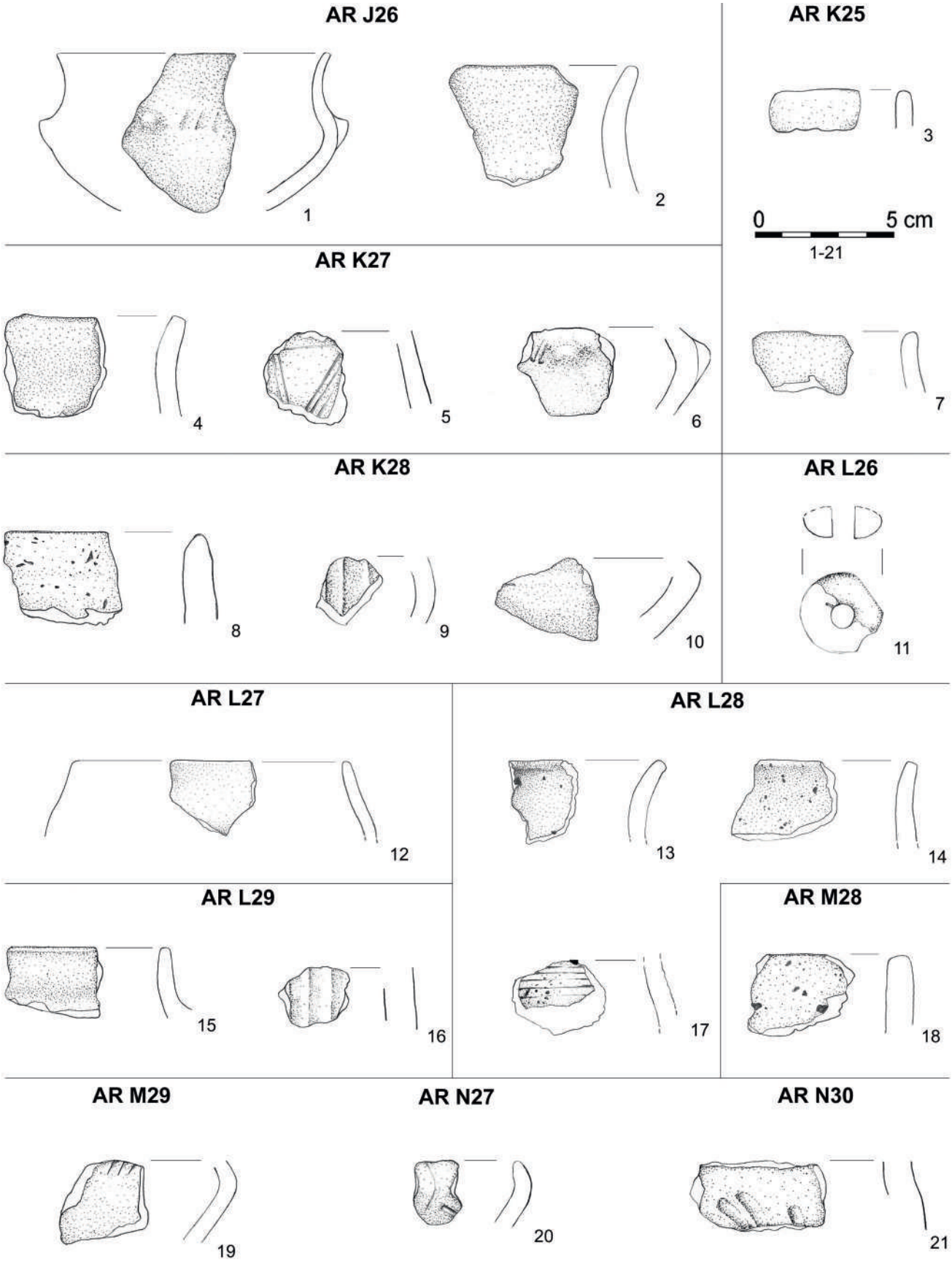


Tabl. 6.35. Jabłonica Ruska, stan. 1. Zabytki ceramiczne z arów: J26 (1, 2), K25 (3, 7), K27 (4, 5, 6), K28 (8, 9, 10), L26 (11), L27 (12), L28 (13, 14), L29 (15, 16, 17), M28 (18), M29 (19), N27 (20), N30 (21)
Plate 6.35. Jabłonica Ruska, site 1. Ceramic artefacts from ares J26 (1, 2), K25 (3, 7), K27 (4, 5, 6), K28 (8. 9, 10), L26 (11), L27 (12), L28 (13, 14), L29 (15, 16, 17), M28 (18), M29 (19), N27 (20), N30 (21)

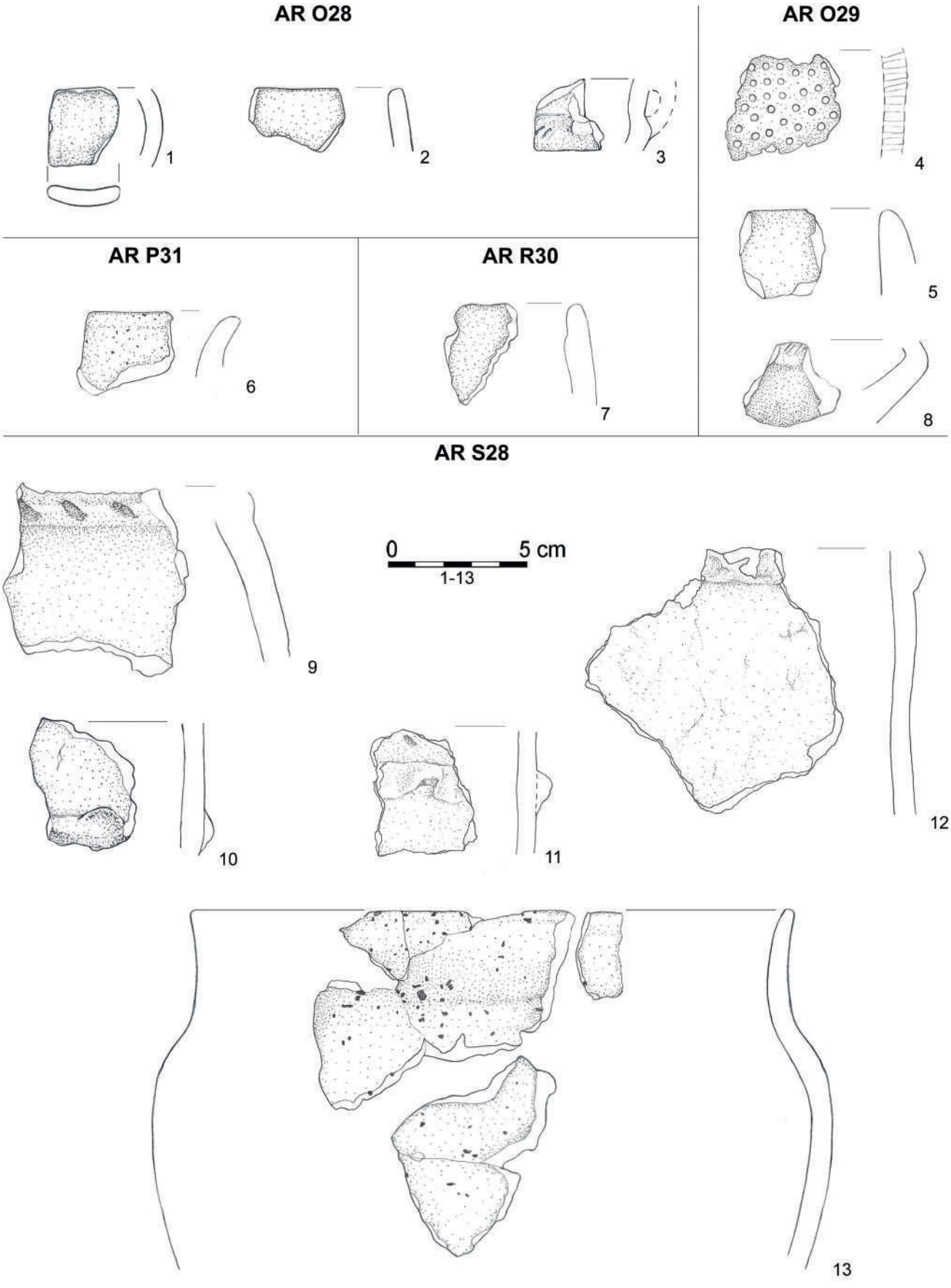


Tabl. 6.36. Jabłonica Ruska, stan. 1. Zabytki ceramiczne z arów: O28 (1, 2, 3), O29 (4, 5, 8), P31 (6), R30 (7), S28 (9, 10, 11, 12, 13)
Plate 6.36. Jabłonica Ruska, site 1. Ceramic artefacts from ares O28 (1, 2, 3), O29 (4, 5, 8), P31 (6), R30 (7), S28 (9, 10, 11, 12, 13)

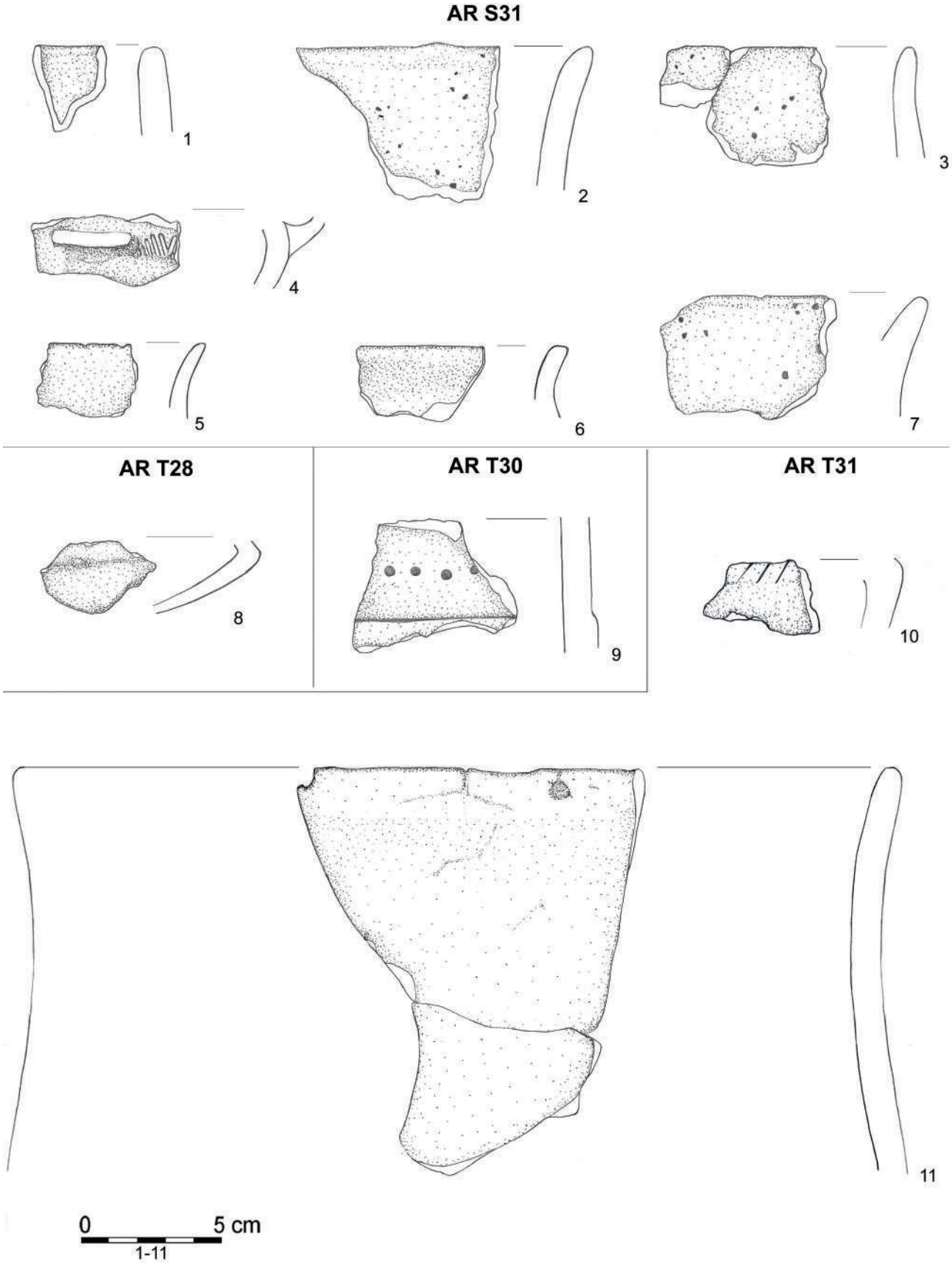


Tabl. 6.37. Jabłonica Ruska, stan. 1. Zabytki ceramiczne z arów: S31 (1, 2, 3, 4, 5, 6, 7), T28 (8), T30 (9), T31 (10, 11)
Plate 6.37. Jabłonica Ruska, site 1. Ceramic artefacts from ares S31 (1, 2, 3, 4, 5, 6, 7), T28 (8), T30 (9), T31 (10, 11)

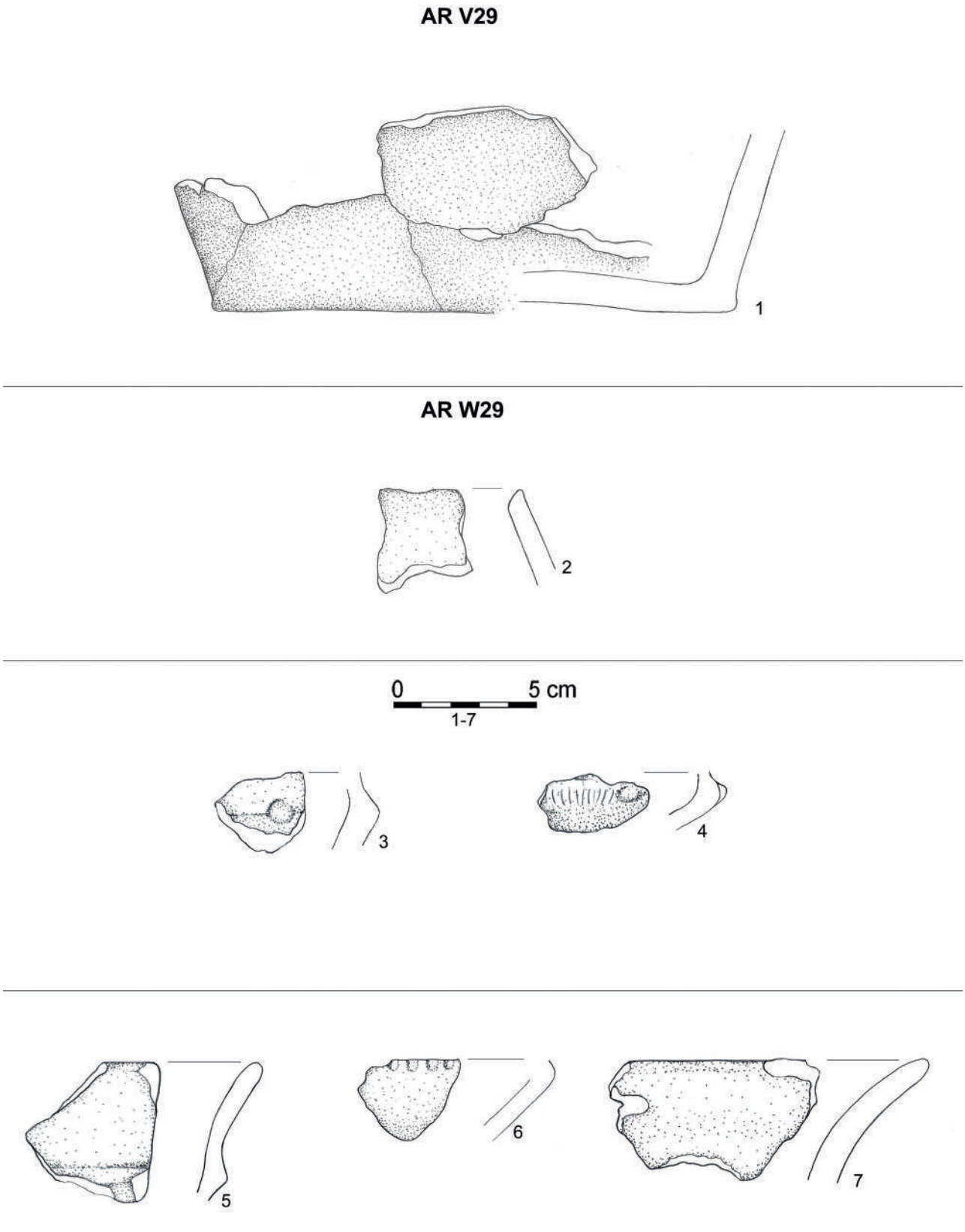


Tabl. 6.38. Jabłonica Ruska, stan. 1. Zabytki ceramiczne z arów: V29 (1), W29 (2), odkryte na złożu wtórnym z obiektu 100 (3, 4) oraz z hałdy (5, 6, 7)
Plate 6.38. Jabłonica Ruska, site 1. Ceramic artefacts from ares V29 (1), W29 (2), discovered in the secondary deposit from feature 100 (3, 4) and in the heap (5, 6, 7)

MAGDALENA OKOŃSKA-BULAS, JAN BULAS

# 7.
# Osada z okresu wpływów rzymskich na stanowisku Jabłonica Ruska 1
# Settlement from the Roman period at the archaeological site no. 1 in Jabłonica Ruska

## 7.1. Zagadnienia wstępne

Zagadnienie zasiedlenia obszarów dorzecza górnego Sanu w okresie wpływów rzymskich było niejednokrotnie poruszane w literaturze (Madyda-Legutko 1996; Madyda-Legutko, Rodzińska-Nowak 2010; 2017; 2019, tam literatura). Na podstawie uzyskanych do tej pory danych stwierdzić można, że sytuacja kulturowa tego obszaru jest złożona i ulegała zmianom w trakcie trwania okresu rzymskiego.

Jednym z zagadnień dotyczących sytuacji kulturowej na obszarze górnego dorzecza Sanu jest migracja ludności kultury przeworskiej na te obszary. Wyróżnia się tu trzy fale napływu przedstawicieli tej jednostki kulturowej: słabo poświadczoną w materiale archeologicznym pierwszą falę ze schyłku młodszego okresu przedrzymskiego; drugą, manifestującą się wyraźnie w fazie B2 wczesnego okresu rzymskiego, oraz trzecią, w późnym okresie rzymskim i wczesnej fazie okresu wędrówek ludów (Madyda-Legutko, Rodzińska-Nowak 2017, s. 431, 438).

Materiały związane ze schyłkiem młodszego okresu przedrzymskiego znane są tylko z osady w Bachórzu, stan. 16 (Parczewski 2000; Parczewski et al. 2012, s. 25). Poza nimi brak jest śladów obecności ludności kultury przeworskiej w fazie A3 na terenie dorzecza górnego Sanu.

Znacznie lepiej w źródłach archeologicznych poświadczona jest obecność ludności kultury przeworskiej na tych obszarach w fazie B2 oraz jej przełomie z młodszym okresem rzymskim. Reprezentują je materiały odkryte na badanych

## 7.1. Basic information

The problem of the settlement in the upper San river basin during the Roman period was discussed many times in the literature (Madyda-Legutko 1996; Madyda-Legutko, Rodzińska-Nowak 2010; 2017; 2019, bibliography there). Based on the data obtained so far, it can be concluded that the cultural situation of this region is complex and it changed during the Roman period.

One of the issues linked to the cultural situation in the upper San river basin is the migration of the Przeworsk culture population to the region. There possibly were three waves of influx of this cultural unit: the first wave from the end of the younger Pre-Roman period, confirmed by little archaeological evidence; the second wave, clearly manifested in phase B2 of the early Roman period, and the third wave that took place in the late Roman period and the early phase of the Migration period (Madyda-Legutko, Rodzińska-Nowak 2017, pp. 431, 438).

Materials related to the end of the younger pre-Roman period were found only in the settlement in Bachórz, site 16 (Parczewski 2000; Parczewski et al 2012, p. 25). There are no more traces of the Przeworsk culture population during phase A3 in the upper San river basin.

There is much more archaeological evidence of the presence of the Przeworsk culture population there during phase B2 and the turn of the younger Roman period. It is confirmed by materials discovered at several sites: in Pakoszówka, site 1

wykopaliskowo kilku osadach: w Pakoszówce, stan. 1 (Madyda-Legutko et al. 2006; 2009; Madyda-Legutko, Smajek 2010), Bachórzu, stan. 16 (Parczewski 1975, 2006), Bachórzu-Chodorówce, stan. 1 (Gedl 1997–1998), Hłomczy (Muzyczuk, Pohorska-Kleja 1994) czy Sanoku, stan. 54 (Pohorska-Kleja 2006; Madyda-Legutko et al. 2004, s. 703). Obrazu lokalnego osadnictwa w tym czasie dopełnia także obecność w tej strefie cmentarzysk: w Prusieku, stan. 25 (Madyda-Legutko et al. 2006; 2009), Pakoszówce, stan. 33 (Bulas et al. 2019), oraz położonym nieco dalej na północ Ostrowie, stan. 21 (Lasota, Stempniak 2019).

Na podstawie przeprowadzonych do tej pory badań wykopaliskowych, przede wszystkim na stanowisku 1 w Pakoszówce, wskazuje się, że model osadniczy i organizacja przestrzenna osad w dorzeczu górnego Sanu nie odbiegają znacznie od tych znanych z pozostałych obszarów objętych zasięgiem występowania kultury przeworskiej. Ma świadczyć o tym m.in. możliwość wyróżnienia tzw. stref gospodarczych z paleniskami czworokątnymi (Madyda-Legutko, Rodzińska-Nowak 2017, s. 432). Jednakże z powodu niedostatecznej skali badań w tym regionie, szczególnie badań szerokopłaszczyznowych, oraz faktu, że wszystkie osady przebadane zostały fragmentarycznie, trudno wyciągać szersze wnioski dotyczące lokalnej specyfiki organizacji osadnictwa ludności kultury przeworskiej w strefie karpackiej we wczesnym okresie rzymskim i w początkach młodszego okresu rzymskiego. Ze względu na odmienne warunki geograficzne, zwłaszcza ukształtowanie terenu i wynikające z nich uwarunkowania gospodarcze (por.: Tunia 2004), wydaje się, że osadnictwo w tym regionie pod pewnymi względami mogło posiadać nieco odrębną specyfikę, inną od znanej z pozostałej części południowej i południowo-wschodniej Polski, choć wymaga to przeprowadzenia dalszych badań na innych osadach.

Regionalna specyfikacja osadnictwa z tego czasu widoczna jest w zestawach odkrywanych zabytków, a głównie ceramice odkrywanej na nadsańskich osadach z wczesnego okresu rzymskiego. Obok charakterystycznych dla kultury przeworskiej naczyń o czernionych powierzchniach, oraz

(Madyda-Legutko et al. 2006; 2009; Madyda-Legutko, Smajek 2010), Bachórz, site 16 (Parczewski 1975, 2006), Bachórz-Chodorówka, site 1 (Gedl 1997–1998), Hłomcza (Muzyczuk, Pohorska-Kleja 1994) or Sanok, site 54 (Pohorska-Kleja 2006; Madyda-Legutko et al. 2004, p. 703). The local settlement at that time also included cemeteries located in this area: in Prusiek, site 25 (Madyda-Legutko et al. 2006; 2009), in Pakoszówka, site 33 (Bulas et al. 2019), and in Ostrów, located a bit further north, site 21 (Lasota, Stempniak 2019).

Based on the excavations carried out so far, mainly at site 1 in Pakoszówka, it is indicated that the settlement model and spatial organisation of settlements in the upper San river basin do not differ significantly from those discovered in other areas of the Przeworsk culture. It is proved by, among other things, the possibility of distinguishing the so-called utility zones with rectangular hearths (Madyda-Legutko, Rodzińska-Nowak 2017, p. 432). However, due to the insufficient scale of the research in this region, especially large-surface research, and the fact that all the settlements were only partly investigated, it is difficult to draw detailed conclusions about the local specificity of the settlement organisation of the Przeworsk culture population in the Carpathians in the early Roman period and at the beginning of the younger Roman period. Taking into consideration different geographical conditions, especially the topography and the economic conditions which resulted from them (see Tunia 2004), it seems that the settlement in this region, in some respects, might have had its own specificity, and it was slightly different from the settlement known from the rest of the southern and south-eastern parts of Poland. To confirm it, however, more research on other settlements is required.

The regional specificity of the settlement from that time is visible in the assemblages of discovered artefacts, mainly in the pottery found in the San river region settlements from the early Roman period. Apart from vessels with blackened surfaces, characteristic of the Przeworsk

naczyń kuchennych wykonanych z glin z domieszką mineralną, zwraca także uwagę obecność naczyń lepionych w ręce, które pod kątem stylistyki nawiązują do dackiego kręgu kulturowego (Madyda-Legutko 1996, s. 54–63; Gedl 2004; Florkiewicz 2004; Madyda-Legutko 2011; Madyda-Legutko, Rodzińska-Nowak 2010; 2017; 2019; Madyda-Legutko et al. 2013; Rodzińska-Nowak 2018).

Sytuacja osadnicza w okresie od początków młodszego okresu rzymskiego po fazę D w strefie beskidzkiej, w tym szczególnie na omawianym obszarze dorzecza górnego Sanu, ulega przeobrażeniom. Zauważalna jest wyraźna intensyfikacja osadnicza, co potwierdzają liczne, odkrywane w trakcie prowadzonych badań powierzchniowych fragmenty naczyń wykonanych na kole garncarskim. Przez niemożność precyzyjnego datowania tego typu ceramiki, większość znanych stanowisk datowana jest więc ramowo na cały wspomniany okres (Madyda-Legutko 1996, s. 67–68). Podkreślić należy, że ceramika produkowana na kole była znana w środowisku dackim już w starszych odcinkach chronologicznych (por.: Kokowski 2001, s. 117, tam literatura), lecz aktualnie nie ma jasnych podstaw pozwalających na twierdzenie, że produkcja tego typu ceramiki nad Sanem miała miejsce przed około połową II wieku n.e. (Madyda-Legutko 1996, s. 77–78; Florkiewicz 2004, s. 673; Rodzińska-Nowak 2018). Choć i ta data wydaje się dosyć wczesna, biorąc pod uwagę znaleziska grobowe datowane na fazę B2b i B2/C1, wśród których brak jest pewnych znalezisk ceramiki toczonej na kole garncarskim.

Odrębnym zagadnieniem jest kwestia atrybucji kulturowej lokalnego osadnictwa w okresie rzymskim nad górnym Sanem. Ludność zamieszkująca te obszary przed około połową III wieku pozostawała pod wpływem wyraźnych impulsów kulturowych z południa i południowego wschodu, ze strony szeroko rozumianego kręgu kultur dackich, szczególnie kultury lipickiej (Florkiewicz 2004, tam literatura; Madyda-Legutko, Rodzińska-Nowak 2019, tam literatura). Brak jest danych pozwalających na określenie wzajemnych relacji pomiędzy przedstawicielami ludności kultury

culture, and kitchen ware made of clay with a mineral admixture, what also draws attention is the presence of handmade vessels, which, in terms of form, are linked with the Dacian culture (Madyda-Legutko 1996, pp. 54–63; Gedl 2004; Florkiewicz 2004; Madyda-Legutko 2011; Madyda-Legutko, Rodzińska-Nowak 2010; 2017; 2019; Madyda-Legutko et al. 2013; Rodzińska-Nowak 2018).

The settlement situation in the time between the early Roman period and phase D in the Beskids, especially in the discussed upper San river basin, changed. There was a noticeable settlement intensification, which is confirmed by numerous fragments of wheel-thrown vessels, discovered during a surface survey. As it is impossible to precisely date such pottery, most of the known sites are dated to the entire period mentioned above (Madyda-Legutko 1996, pp. 67–68). It should be emphasised that wheel-thrown pottery was already known in the Dacian culture in older periods of time (see: Kokowski 2001, p. 117, bibliography there), but so far there is not enough evidence to conclude that this type of pottery was made in the San river region before, approximately, the middle of the 2nd century CE (Madyda-Legutko 1996, pp. 77–78; Florkiewicz 2004, p. 673; Rodzińska-Nowak 2018). Moreover, this date also seems quite early, taking into account the burial finds from phases B2b and B2/C1, among which there are no pottery identified, beyond any doubt, as wheel-thrown vessels.

The cultural attribution of the settlement in the upper San river region during the Roman period is another issue. Before, approximately, the middle of the 3rd century, the population inhabiting this area was under clear cultural influence that came from the south and south-east, from, generally speaking, the Dacian culture circle, especially the Lipica culture (Florkiewicz 2004, bibliography there; Madyda-Legutko, Rodzińska-Nowak 2019, bibliography there). There are no data to describe the mutual relations between the Przeworsk culture population and the Dacian culture circle, neither can we determine whether only the adaptation of single elements took place or the

przeworskiej a środowiskiem dackim, a także określenie, czy mamy tu do czynienia z adaptacją pojedynczych elementów, czy współegzystowaniem i podejmowaniem bezpośredniego kontaktu pomiędzy przedstawicielami wspomnianych kręgów kulturowych. Zwrócić należy także uwagę, że od początku fazy C zauważalne są wpływy płynące z terenów położonych na południe od łuku Karpat (Bulas 2019, s. 61–65 – tam dalsza literatura). Związane są one z obszarami zajętymi od końca II wieku n.e. przez ludność kultury przeworskiej nad górną Cisą. W kontekście problematyki atrybucji kulturowej lokalnego osadnictwa, istotnym problemem badawczym jest także przypuszczalna przynależność osadnictwa z końcowego odcinka okresu rzymskiego i początków wczesnej fazy wędrówek ludów z tzw. grupą północnokarpacką (Madyda-Legutko, Rodzińska-Nowak 2017, s. 438–439, tam literatura). Prace prowadzone w ostatnich latach na stanowisku 59–60 w Sanoku dostarczyły także źródeł związanych z Hunami, którzy wywarli w okresie wędrówek ludów silny wpływ na obraz kulturowy środkowoeuropejskiego Barbaricum (Bulas 2019; Bulas et al. 2019, s. 76–77; Okońska-Bulas et al. 2020).

Przebadana fragmentarycznie osada w Jabłonicy Ruskiej, stan. 1, dostarczyła nowych materiałów związanych z osadnictwem z okresu rzymskiego w regionie dorzecza górnego Sanu. W świetle uzyskanych danych wydaje się, że rozpoznano tu ślady osadnictwa kultury przeworskiej z zauważalnymi wyraźnymi elementami czy wpływami kultur kręgu dackiego, co jest typowym zjawiskiem w tym mikroregionie osadniczym.

## 7.2. Zabytki nieruchome

### 7.2.1. Budynki wziemne

W trakcie prac terenowych w Jabłonicy Ruskiej odkryto pozostałości siedmiu obiektów wziemnych o konstrukcjach słupowych (ob. 27, 84, 100, 133, 147, 157, 220). Są to charakterystyczne dla kultury przeworskiej założenia, znane w zasadzie z całego zajmowanego przez nią obszaru (Michałowski

aforementioned cultural units coexisted and attempted to establish direct contact. It should also be noted that, from the beginning of phase C, there are noticeable influences that came from the areas located south of the Carpathians (Bulas 2019, pp. 61–65 – further bibliography there). They are linked to the upper Tisza river region occupied, from the end of the 2nd century CE, by the people of the Przeworsk culture. In the context of the cultural attribution of local settlements, an important research problem is also the possible link between the settlement from the end of the Roman period and the beginning of the early phase of the Migration period and the so-called North Carpathian group (Madyda-Legutko, Rodzińska-Nowak 2017, pp. 438–439, bibliography there). The research carried out in recent years at site 59–60 in Sanok also resulted in discovering materials connected with the Huns, who had, during the Migration period, a strong influence on the cultural image of the Central European Barbaricum (Bulas 2019; Bulas et al. 2019, pp. 76–77; Okońska-Bulas et al. 2020).

The partly investigated settlement in Jabłonica Ruska, site 1, contained new materials connected with the Roman period settlement in the upper San river basin. In the light of the obtained data, it seems that the traces of the Przeworsk culture settlement with visible Dacian culture elements or influences, which is a typical phenomenon in this settlement microregion, were found.

## 7.2. Archaeological features

### 7.2.1. Semi-sunken buildings

During the excavations in Jabłonica Ruska, the remains of seven post-frame houses were discovered (features 27, 84, 100, 133, 147, 157, 220). They are structures characteristic of the Przeworsk culture, common in the entire area it occupied (Michałowski 2011). These buildings

2011). Budynki te są zróżnicowane pod względem zastosowanej konstrukcji, co odzwierciedla różna liczba odkrywanych dołów posłupowych w obrębie opisywanych obiektów (Tabela 7.1). Wszystkie konstrukcje ziemiankowe odkryte na stanowisku zostały zorientowane względem stron świata w ten sam sposób – na osi NW-SE.

differ when it comes to the way they were made, which is reflected in the different number of postholes discovered within the described features (Table 7.1). All the pithouses discovered at the site were oriented in the same way – on the NW-SE axis.

Tabela 7.1. Jabłonica Ruska, stan. 1. Schematyczne przedstawienie konstrukcji budynków zagłębionych
Table 7.1. Jabłonica Ruska, site 1. Schematic diagram of the structure of pithouses

| **Numer obiektu** | **Lokalizacja** | **Wymiary konstrukcji słupowej [cm]** | **Głębokość [cm]** | **Liczba słupów** | **Schemat konstrukcji** |
|---|---|---|---|---|---|
| 27 | K30/K31 | Ok. 450 × 385 | 19 | 8: po 4 na krótszej ścianie | 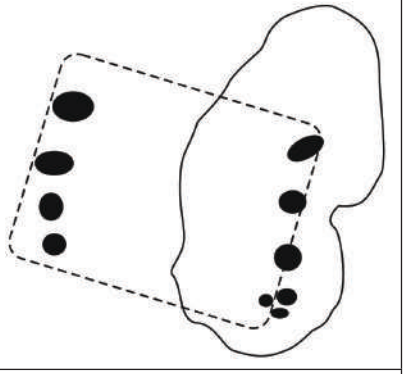 |
| 84 | M27, N27 | 460 × 322 | 40 | 1: na krótszej ścianie, w połowie | 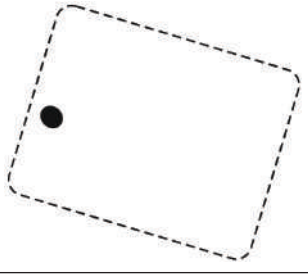 |
| 100 | N28 | 420 × 370 | 26 | 6: po 3 na krótszych ścianach | 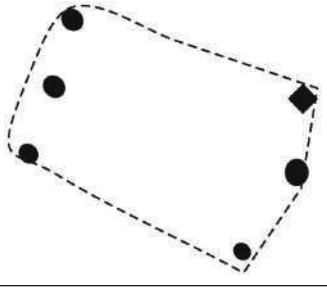 |
| 133 | P30, R30 | 624 × 323 | 28 | 6: po 3 na krótszych ścianach | 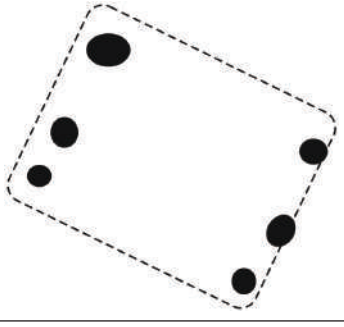 |

| Numer obiektu | Lokalizacja | Wymiary konstrukcji słupowej [cm] | Głębokość [cm] | Liczba słupów | Schemat konstrukcji |
|---|---|---|---|---|---|
| 147 | S32 | 430 × 300 | 20 | 2: po 1 na krótszej ścianie, w narożnikach | 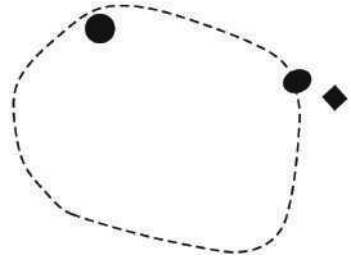 |
| 157 | R29 | 420 × 282 | 32 | 2: na jednej z krótszych ścian | 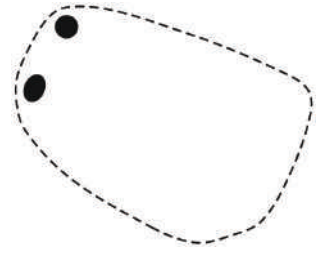 |
| 220 | V30, V31, W30, W31 | 494 × 386 | 26 | 8: po 4 na krótszej ścianie | |

Opisywane konstrukcje reprezentują kilka typów znanych z osad kultury przeworskiej. Najprostsze do interpretacji wydają się być obiekty posiadające sześć słupów, po trzy na krótszych bokach budowli. W Jabłonicy Ruskiej odkryto dwa takie założenia – ob. 100 i 133 (tabl. 7.11: 1, 7.15: 1, ryc. 7.1. – 7.3.). W tych przypadkach możemy upatrywać konstrukcji dachu na sochę lub pół-sochę i ślemię. Biorąc pod uwagę masywność środkowych słupów, ta pierwsza opcja wydaje się bardziej prawdopodobna. Podobne obiekty odkryto na niedaleko położonej osadzie w Hłomczy (Muzyczuk, Pohorska-Kleja 1994, Ryc. 3). Są to jednocześnie jedne z najbardziej popularnych konstrukcji wykorzystywanych przez ludność kultury przeworskiej (Michałowski 2011, s. 101–127).

The structures in question are of several types found in the Przeworsk culture settlements. Features with six posts, three on each shorter side of the building, seem to be the easiest to interpret. Two such structures were discovered in Jabłonica Ruska – features 100 and 133 (Plates 7.11: 1, 7.15: 1, Figs. 7.1. – 7.3.). In these cases, we may assume that, probably, both are the relics of constructions with roof based on median ridge posts. Similar features were discovered in the nearby settlement in Hłomcza (Muzyczuk, Pohorska-Kleja 1994, Fig. 3). They are also one of the most common buildings used by the Przeworsk culture people (Michałowski 2011, pp. 101–127).

The next two pithouses (features 27 and 220) had a higher number of posts (Plates 7.1: 1; 7.24: 1, Figs. 7.4., 7.5.). As for feature 220, there

Ryc. 7.1. Jabłonica Ruska, stan. 1. Obiekt 100 w trakcie eksploracji
Fig. 7.1. Jabłonica Ruska, site 1. Feature 100 during exploration

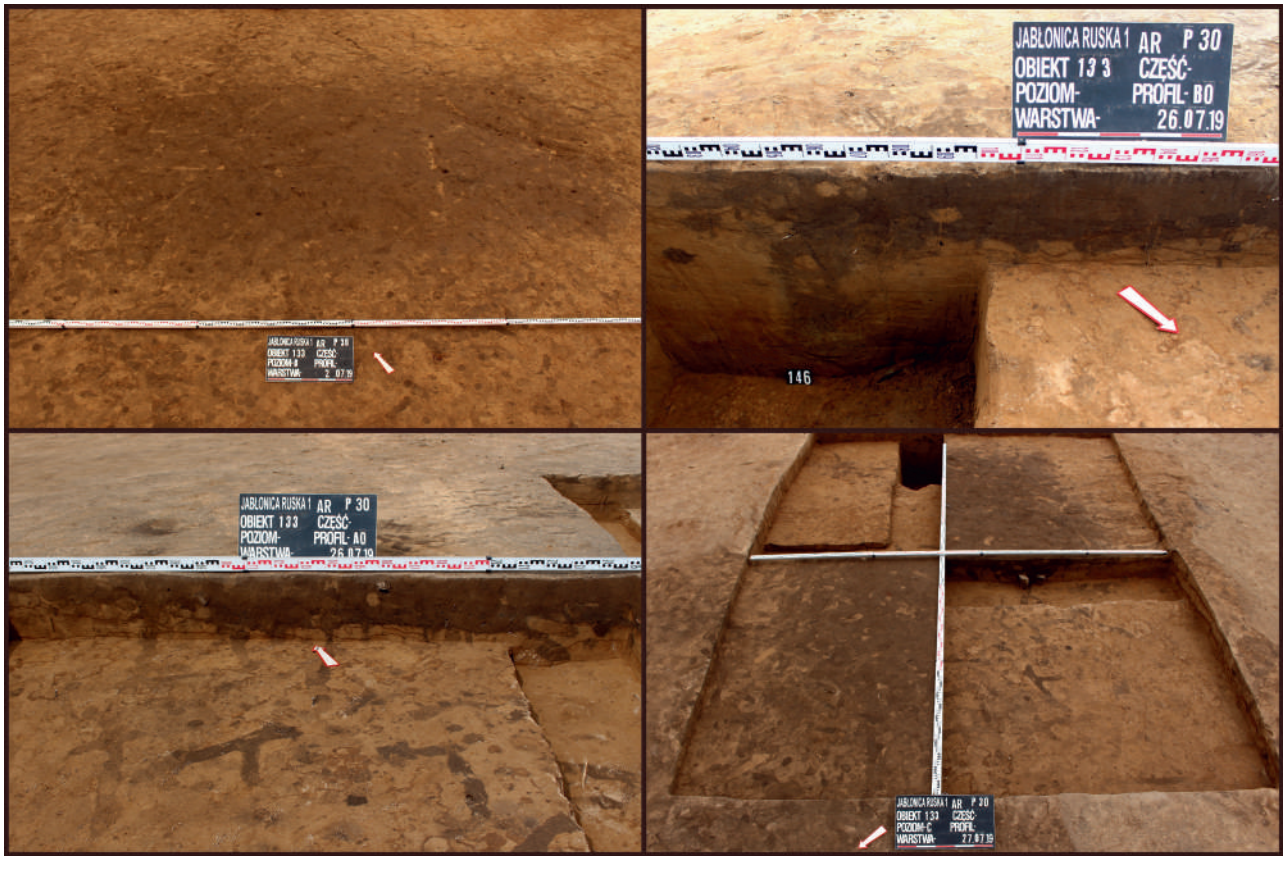


Ryc. 7.2. Jabłonica Ruska, stan. 1. Konstrukcja ziemiankowa nr 133
Fig. 7.2. Jabłonica Ruska, site 1. Pithouse 133

Ryc. 7.3. Jabłonica Ruska, stan. 1. Dołki posłupowe (144, 145, 159) zarejestrowane w ziemiance nr 133
Fig. 7.3. Jabłonica Ruska, site 1. Postholes (144, 145, 159) found in pithouse 133

Kolejne dwie ziemianki (ob. 27 i 220) posiadały większą liczbę słupów (tabl. 7.1: 1; 7.24: 1, ryc. 7.4., 7.5.). W przypadku obiektu 220 było to odpowiednio 4 słupy po północno-zachodniej stronie konstrukcji[1] i 5 słupów po stronie południowo-wschodniej (ryc. 7.6.). W ziemiance oznaczonej jako obiekt 27, wyróżniono po 4 słupy na krótszych ścianach, przy czym wydaje się, że słup narożny (ob. 35) został dodatkowo wzmocniony (ob. 34, 36). Obiekty o podobnej konstrukcji, posiadającej wiele słupów na krótszych ścianach, odkryto między innymi na osadzie kultury przeworskiej w Pakoszówce, stan. 1, gdzie oznaczone zostały jako obiekty numer 98 i 130 (Madyda-Legutko, Smajek 2010).

Wśród przebadanych założeń wystąpiły także takie, które posiadały tylko dwa słupy. Pierwszy z nich to obiekt 147 (tabl. 7.17: 5, ryc. 7.7.). W jego obrębie jamy posłupowe wystąpiły po jednym na krótszej ścianie obiektu (ob. 180, 199) i były nieznacznie

[1] W rzucie zaobserwowano trzy obiekty o kolistym zarysie, jednak posiadały one zbyt małą miąższość, by interpretować je jako słupy konstrukcyjne (były to obiekty 244, 245, 248).

were 4 posts on the north-west side of the structure[1] and 5 posts on the south-east side (Fig. 7.6.). In the pithouse marked as feature 27, there were 4 posts on the shorter walls, but it seems that the corner post (feature 35) had some additional support (features 34, 36). Similar features with many posts on shorter walls, were discovered, among other locations, in the Przeworsk culture settlement in Pakoszówka, site 1, where they were marked as features 98 and 130 (Madyda-Legutko, Smajek 2010).

Among the investigated structures, there were also ones with only two posts. The first is feature 147 (Plate 7.17: 5, Fig. 7.7.). There was one posthole on each of the shorter walls of the feature (features 180, 199) and they were slightly shifted in relation to the axis of the feature. The feature itself was shallow, with a preserved thickness of about 20 cm, which, most likely, was

[1] Three features with circular outlines were observed in the plan but they were not thick enough to be considered as construction post (they are features 244, 245, 248).

Ryc. 7.4. Jabłonica Ruska, stan. 1. Obiekt 27 na poziomie odkrycia i związane z nim słupy nr 20, 34, 35
Fig. 7.4. Jabłonica Ruska, site 1. Feature 27 at the discovery level and posts 20, 34, 35 found in it.

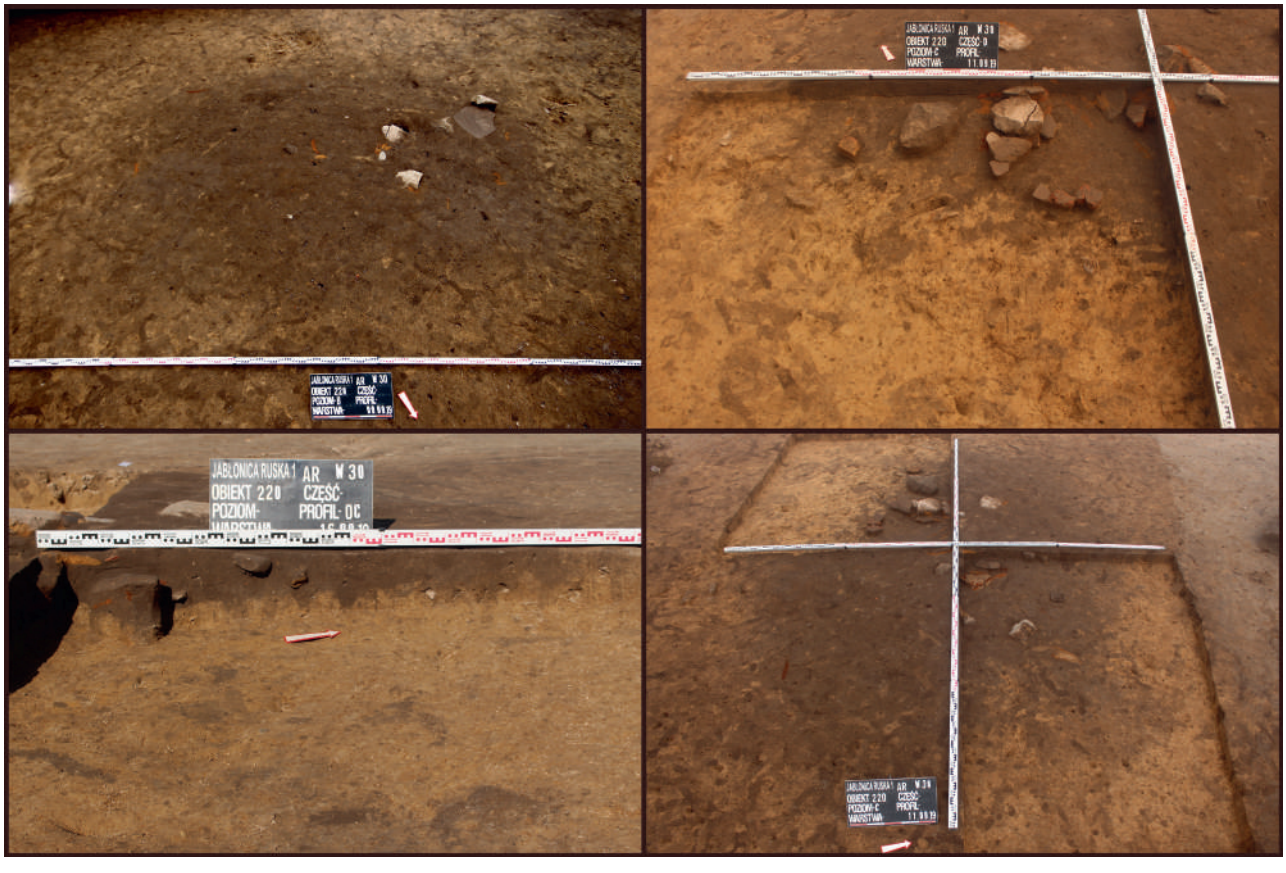


Ryc. 7.5. Jabłonica Ruska, stan. 1. Ziemianka 220 w trakcie eksploracji
Fig. 7.5. Jabłonica Ruska, site 1. Pithouse 220 during exploration

Ryc. 7.6. Jabłonica Ruska, stan. 1. Dołki posłupowe związane z ziemianką nr 220
Fig. 7.6. Jabłonica Ruska, site 1. Postholes found in pithouse 220

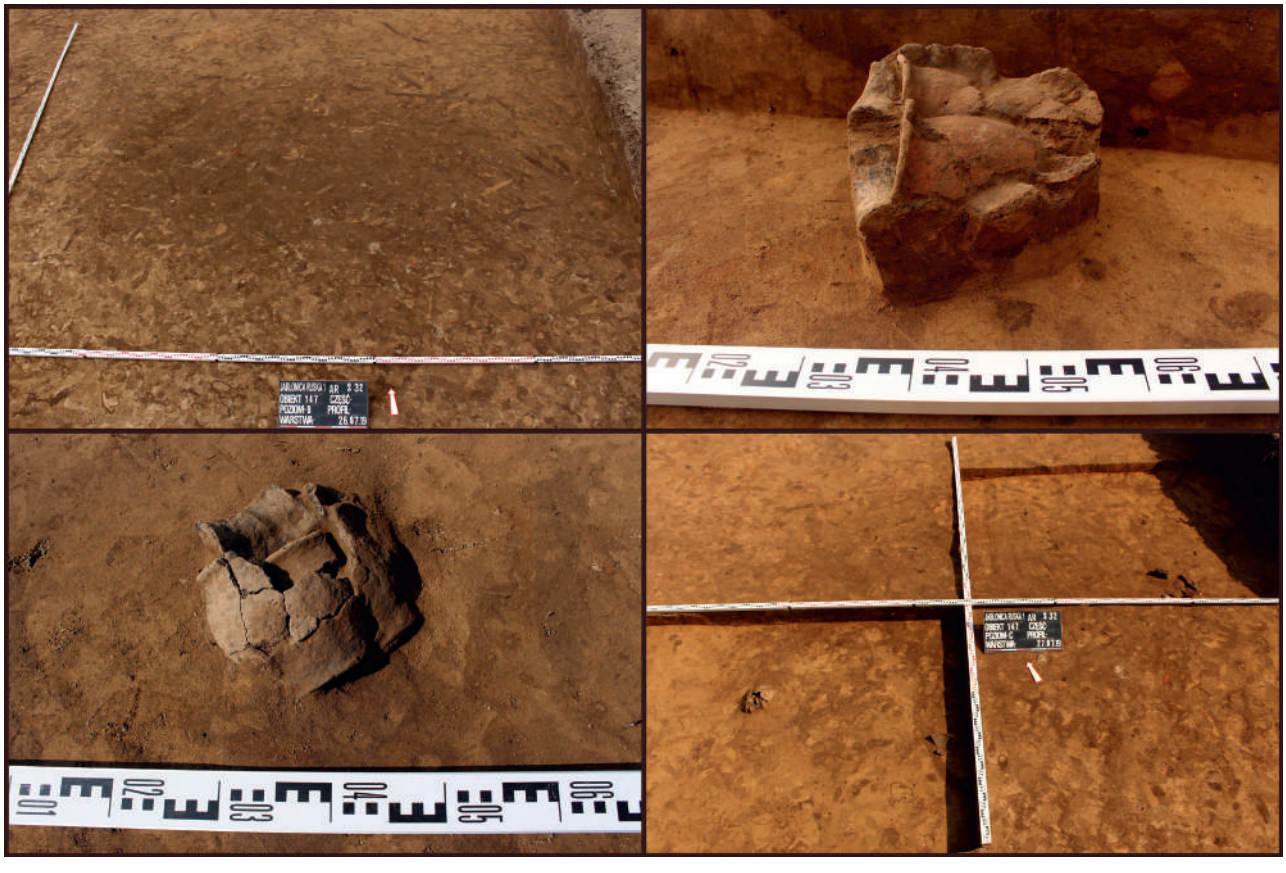

Ryc. 7.7. Jabłonica Ruska, stan. 1. Obiekt 147 w trakcie eksploracji wraz z materiałem ceramicznym in situ
Fig. 7.7. Jabłonica Ruska, site 1. Feature 147 during exploration with pottery in situ

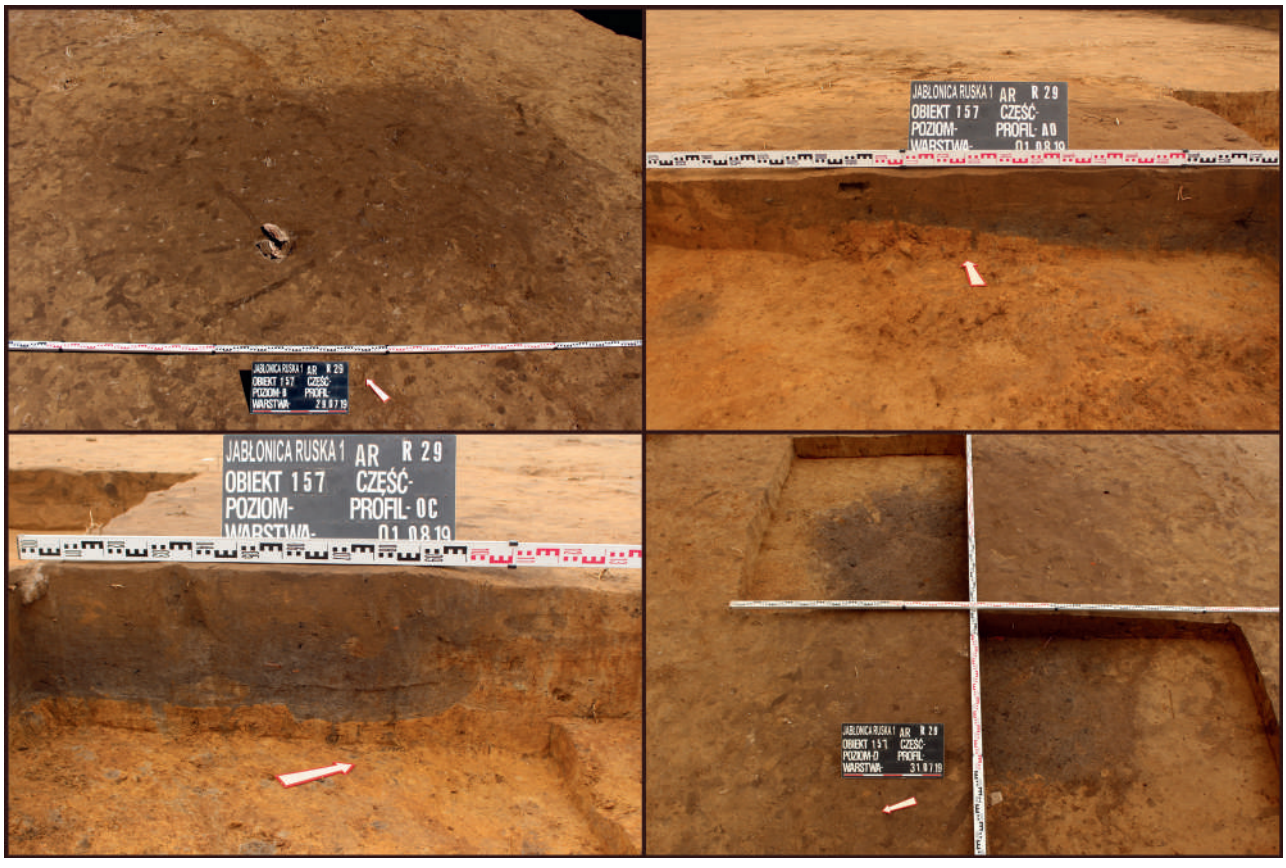


Ryc. 7.8. Jabłonica Ruska, stan. 1. Profile i rzuty poziome obiektu 157
Fig. 7.8. Jabłonica Ruska, site 1. Profiles and plans of feature 157

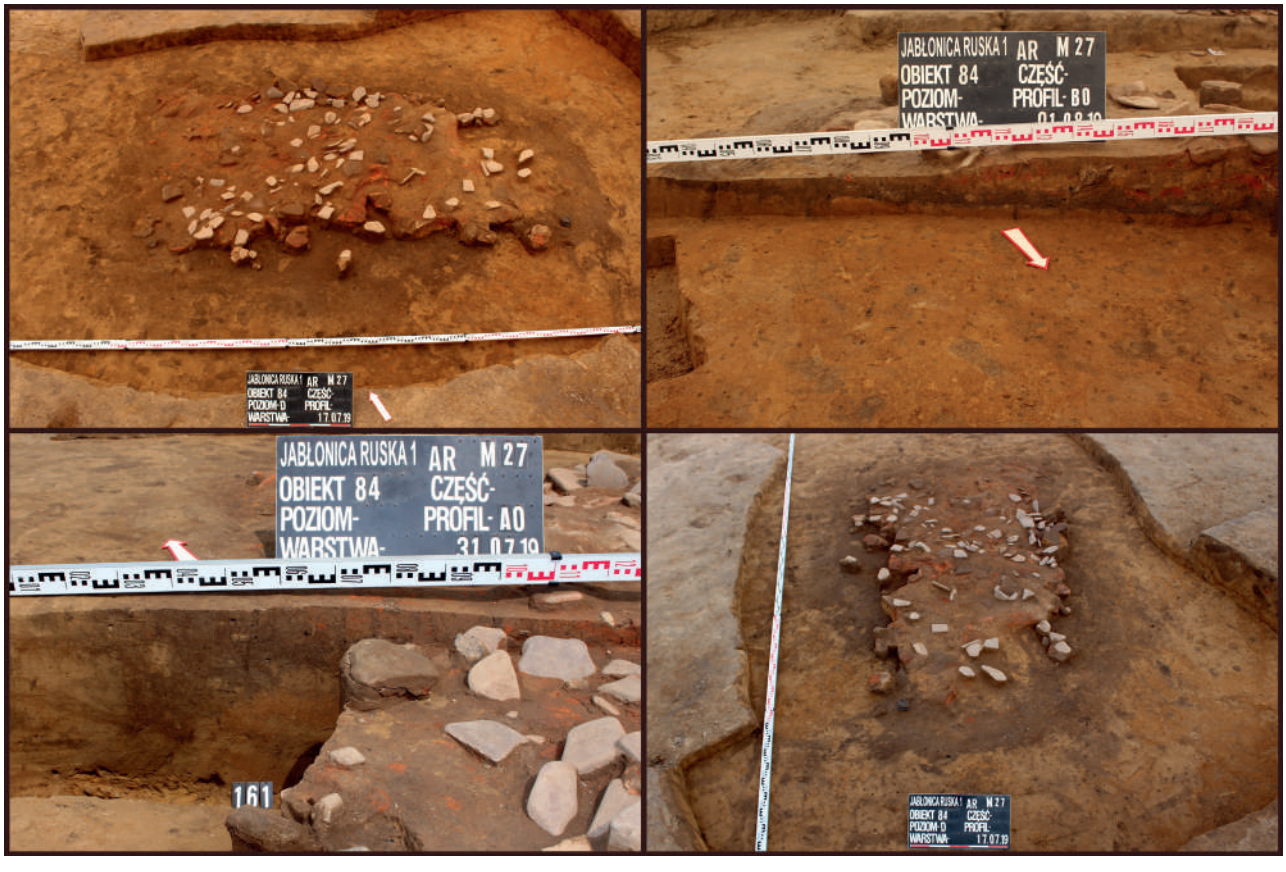


Ryc. 7.9. Jabłonica Ruska, stan. 1. Obiekt 84 w trakcie eksploracji
Fig. 7.9. Jabłonica Ruska, site 1. Feature 84 during exploration

przesunięte względem osi obiektu. Sam obiekt był płytki, o zachowanej miąższości około 20 cm, co najpewniej ma związek z zaobserwowanymi na stanowisku skutkami procesów erozyjnych zachodzących na stanowisku. Drugi z nich stanowi obiekt 157 (tabl. 7.20: 1, ryc. 7.8.), który posiadał ślady po dwóch słupach (ob. 165, 175), rozlokowanych obok siebie przy północno-zachodniej ścianie obiektu. Obie jamy posłupowe były jednak płytkie i ciężko uznać je za stanowiące jedyny element podtrzymujący ciężką konstrukcję dachu.

Dodatkowo do opisywanej kategorii budynków wziemnych o konstrukcji wspartej na słupach zaliczyć można także obiekt 84 (tabl. 7.6: 4, ryc. 7.9.). Posiadał on regularny, czworoboczny rzut, a na krótszej ze ścian rozpoznano ślad po jednym relatywnie głębokim słupie (ob. 161). W obrębie dość jednolitego wypełniska obiektu 84, w jego centralnej części, rozpoznano warstwę ułożonych na płasko kamieni. Obecność jamy posłupowej, jak i charakter wypełniska, pozwala przypuszczać, że obiekt stanowi pozostałość półziemianki lub zadaszonego obiektu o charakterze gospodarczym (w formie wiaty wspartej na jednym słupie?).

### 7.2.2. Jamy osadowe

Obok konstrukcji słupowych w Jabłonicy Ruskiej wystąpiły także dwie jamy. Pierwsza z nich (ob. 223) to prawdopodobnie jama posłupowa lub niewielka jama osadowa o nieokreślonym przeznaczeniu, o kolistym rzucie o średnicy około 30 cm, oraz prostokątnym profilu (tabl. 7.26: 4). W wypełnisku obiektu wystąpiły fragmenty dwóch ręcznie lepionych garnków (tabl. 7.26: 3, 5). Drugą jamę osadową o nieokreślonym przeznaczeniu (ob. 227) stanowił obiekt o kolistym rzucie o średnicy około 100 cm, o nieckowatym profilu z płaskim dnem (tabl. 7.27: 1).

### 7.2.3. Obiekty z warstwami kamieni

Na osadzie w Jabłonicy Ruskiej odkryto 12 obiektów (44, 47, 85, 86, 87, 97, 98, 132, 189, 202,

caused by erosive processes that took place at the site. The second is feature 157 (Plate 7.20: 1, Fig. 7.8.). It had traces of two posts (features 165, 175), located close to each other by the northwest wall of the building. Both postholes, however, were shallow and it is hard to consider them as the only elements supporting the heavy roof structure.

Additionally, feature 84 (Plate 7.6: 4, Fig. 7.9.) can also be included in the category of semi-sunken buildings with a structure supported by posts. It had a regular, quadrilateral plan, and on the shorter wall there was a trace of a single, relatively deep post (feature 161). Within the fairly uniform fill of feature 84, in its central part, there was a layer of flat stones. The presence of a posthole and the type of the fill suggest that the feature used to be a shallow pithouse or a roofed utility building (in the form of a shelter supported by a single post?).

### 7.2.2. Settlement pits

Apart from post constructions, there were also two pits in Jabłonica Ruska. The first of them (feature 223) is probably a posthole or a small settlement pit of an unidentified purpose. It had a circular plan with a diameter of about 30 cm and a rectangular cross-section (Plate 7.26: 4). Fragments of two handmade pots were found in the fill of the feature (Plate 7.26: 3, 5). The second settlement pit of an undefined purpose (feature 227) was a feature with a circular plan, about 100 cm in diameter, with a trough-shaped cross-section and a flat base (Plate 7.27: 1).

### 7.2.3. Features with layers of stones

In the settlement in Jabłonica Ruska, 12 features were discovered (44, 47, 85, 86, 87, 97, 98, 132,

214, 215), które ze względu na swoją charakterystykę są trudne w interpretacji. Ich stan zachowania, układ i lokalizacja w obrębie stanowiska, a także charakter wypełnisk, nie pozwala w sposób jednoznaczny określić ich funkcji. Ich cechą wspólną jest obecność warstw kamieni. W niektórych przypadkach obiekty te nie posiadają czytelnych granic wypełnisk, ich zasięg wyznaczają wyłącznie mniej lub bardziej zwarte kamienne bruki. W obrębie tych obiektów rozpoznane zostały w większości pojedyncze znaleziska datowane na okres rzymski lub nie wystąpił żaden materiał zabytkowy.

Pierwszą grupę stanowią obiekty, które niezbyt pewnie interpretować można jako pozostałości tzw. palenisk czworokątnych (ryc. 7.10.). Wśród nich wymienić należy obiekty 86, 87, 94, 132, 189, 214 (tabl. 7.10: 3, 4, 5; 7.14: 3; 7.22: 1; 7.23: 3). Wszystkie one posiadały rzut regularny, czworoboczny lub owalny różnych rozmiarów. Najmniejszy był obiekt 94, o wymiarach rzutu 140 × 106 cm, a największy – obiekt 132, o maksymalnych zachowanych

189, 202, 214, 215), which, due to their characteristics, are difficult to interpret. Their state of preservation, layout and location within the site and the type of fill do not allow clear identification of their function. What they have in common is the presence of layers of stones. Some of the features do not have clear fill boundaries, they are limited only by more or less compact stone pavements. In these features, most of the discovered materials were single finds dated to the Roman period, or they contained no material at all.

The first group includes features that might, probably, be the remains of so-called rectangular hearths (Fig. 7.10.). They are features 86, 87, 94, 132, 189, 214 (Plates 7.10: 3, 4, 5; 7.14: 3; 7.22: 1; 7.23: 3). They all had regular, quadrilateral or oval plans of various sizes. The smallest was feature 94, with the plan dimensions of 140 × 106 cm, and the largest was feature 132, with the maximum preserved dimensions of 240 × 147 cm (the size of

Ryc. 7.10. Jabłonica Ruska, stan. 1. Pozostałości tzw. palenisk czworokątnych
Fig. 7.10. Jabłonica Ruska, site 1. Relics of so-called rectangular hearths

wymiarach 240 × 147 cm (przy czym skupisko kamieni posiadało mniejsze rozmiary). W profilu rysowały się jako niecki z płaskimi dnami wyłożonymi warstwami kamieni. Posiadały miąższość od 24 do 40 cm. Wyjątek stanowi tu obiekt 214, który jako jedyny w obrębie wypełniska nie posiada bruku, a jedynie pojedyncze, większe kamienie.

Wypełniska wymienionych obiektów w większości przypadków były dość jednorodne. Tylko w pojedynczych przypadkach obserwowano w ich obrębie warstwy spalonego drewna czy ślady przepalenia. Najlepiej były one czytelne w obrębie obiektu 214. Próby ziemi z obiektów 94, 132, 189, 214 poddane zostały analizom palinologicznym (Tomczyńska 2022). Wykazały, że w wypełniskach tych obiektów znajdowały się węgle drzewne, pochodzące z drzew liściastych. W ich wypełniskach nie wystąpił materiał zabytkowy lub odkryto pojedyncze zabytki. Wyjątek stanowi tutaj obiekt 189, z wypełniska pochodzi 88 fragmentów ceramiki lepionej ręcznie oraz fragment przedmiotu żelaznego (tabl. 7.22).

Czworokątne paleniska licznie występują na osadach z okresu rzymskiego, szczególnie w kulturze przeworskiej (por: Gindele 2015, s. 96, Karte 2, s. 98–102; Muzofl, Muzolf 2015, s. 414–423). Znane są również z pobliskich osad w strefie nadsańskiej, w tym datowanych na wczesny okres wpływów rzymskich i jego przełom z młodszym okresem rzymskim. Skupisko czternastu palenisk rozpoznano na okolicznej osadzie w Pakoszówce, stan. 1 (Madyda-Legutko et al. 2006, s. 70–72), cztery paleniska rozpoznano na osadzie w Sanoku-Olchowcach, stan. 10 (Kotowicz, Glinianowicz 2010, s. 95–97), a kolejne, pojedyncze obiekty tego typu rozpoznane zostały na kilku stanowiskach w trakcie budowy gazociągu oraz podczas prac wykopaliskowych związanych z realizacją prywatnych inwestycji budowlanych (por.: Kotowicz, Glinianowicz 2010, s. 97, tam literatura; Bulas et al. 2022).

Funkcja czworokątnych palenisk nie została jednoznacznie ustalona. Powszechnie uważane są z jednej strony za wyznaczniki stref produkcyjnych lub gospodarczych (por.: Michałowski 2003, s. 140; Muzolf, Muzolf 2015, s. 425) i interpretowane są jako mielerze o prostej konstrukcji (Frąsiak et al. 2000) lub obiekty wykorzystywane

the stone cluster was smaller). They had trough-shaped cross-sections with flat bases lined with layers of stones. They were 24 to 40 cm thick. Feature 214 is an exception here, as it is the only one that has single large stones instead of pavement in the fill.

The fills of the above-mentioned features were, in most cases, quite uniform. Only some of them contained layers of burnt wood or traces of burnt material. They were most visible in feature 214. Ground samples from features 94, 132, 189, 214 were subjected to palynological analyses (Tomczyńska 2022). The analyses showed that there was charcoal from deciduous trees in the fills of the features. There were no materials in their fills or only single finds were discovered. Feature 189 is an exception as there were 88 fragments of handmade pottery and a fragment of an iron object in its fill (Plate 7.22).

There are numerous rectangular hearths discovered in settlements from the Roman period, especially in the Przeworsk culture (see: Gindele 2015, p. 96, Karte 2, pp. 98–102; Muzolf, Muzolf 2015, pp. 414–423). They were also found in the nearby settlements in the San river region, including those dated to the early Roman period and the turn of the younger Roman period. A cluster of fourteen hearths was discovered in the nearby settlement in Pakoszówka, site 1 (Madyda-Legutko et al. 2006, pp. 70–72), four hearths were found in the settlement in Sanok-Olchowce, site 10 (Kotowicz, Glinianowicz 2010, pp. 95–97) and more single features of this type were identified at several sites during the construction of the gas pipeline and during excavations connected with private construction investments (see: Kotowicz, Glinianowicz 2010, pp. 97, bibliography there; Bulas et al. 2022).

The function of rectangular hearths is not clear. On the one hand, they are usually considered to be linked to production or utility areas (see: Michałowski 2003, p. 140; Muzolf, Muzolf 2015, p. 425) and are thought to be basic charcoal piles (Frąsiak et al. 2000) or features used in the metal production process (Muzolf, Muzolf 2011, p. 264; Skowron 2011, p. 201). One of the

w procesie produkcji metalurgicznej (Muzolf, Muzolf 2011, s. 264; Skowron 2011, s. 201). Jedna z teorii zakłada, że podobne obiekty służyć mogły do wypału ceramiki (Prochowicz 2003, s. 41). Wskazuje się także, że tego typu obiekty związane z wytwórczością mogły posiadać wiele funkcji i były wykorzystywane do różnych celów, w zależności od potrzeb (Skowron 2011, s. 200, 201; Muzolf, Muzolf 2015, s. 425). Druga z koncepcji, która w ostatnim czasie zdaje się zyskiwać na popularności, wiąże czworokątne paleniska z praktykami kultowo-społecznymi (por.: Gindele 2015, s. 94; Dąbrowska 2017).

Drugą grupą, którą wyróżnić należy wśród obiektów z warstwami kamieni rozpoznanymi w Jabłonicy Ruskiej, są obiekty, których granice wyznaczały ułożone na płasko warstwy kamieni (ryc. 7.11.). Wśród nich wyróżnić należy większy i lepiej zachowany obiekt 98 (tabl. 7.10: 6) oraz mniej okazałe obiekty 44, 47, 85, 202 i 215 (tabl. 7.6: 1, 2; 7.10: 1, 6; 7.23: 1, 6). Wśród wymienionych obiektów, które stanowią warstwy kamieni, hypotheses is that similar features may have been used for pottery firing (Prochowicz 2003, p. 41). It is also indicated that features of this type, related to production, might have had many functions and they were used for various purposes, depending on the needs (Skowron 2011, pp. 200, 201; Muzolf, Muzolf 2015, p. 425). On the other hand, there is a concept, which seems to be gaining popularity, that rectangular hearths were linked with cult-related and social activities (see: Gindele 2015, 94; Dąbrowska 2017).

The second group that should be distinguished among the features with layers of flat stones found in Jabłonica Ruska are the features with boundaries marked by the layers (Fig. 7.11.). They include one larger and better-preserved feature 98 (Plate 7.10: 6) and smaller features 44, 47, 85, 202 and 215 (Plates 7.6: 1, 2; 7.10: 1, 6; 7.23: 1, 6). Among the above-mentioned features, which are layers of stones, the most interesting assemblage of artefacts was discovered in feature 215 (Plate 7.23: 6). In

Ryc. 7.11. Jabłonica Ruska, stan. 1. Obiekty z warstwami kamieni
Fig. 7.11. Jabłonica Ruska, site 1. Features with layers of stones

najciekawszy zestaw zabytków odkryto w obrębie obiektu 215 (tabl. 7.23: 6). Obok 35 fragmentów ceramiki odkryto tu także 50 fragmentów poroża jelenia, w tym fragmenty noszące ślady nacięć (Makowicz-Poliszot 2022).

Funkcja obiektów, w obrębie których odkryto płaską warstwę kamieni, jest trudna w interpretacji. Fakt odkrycia ich w bezpośrednim sąsiedztwie obiektów niepewnie interpretowanych jako pozostałości palenisk czworokątnych, w większości w niewielkich grupach z tymi obiektami, wskazywać może na ich wykorzystywanie w podobnym, nieokreślonym celu. Warte odnotowania jest natomiast to, że podobne konstrukcje kamienne odkrywane są na osadach kultury lipickiej (Cyhyłyk 1997, s. 106, Ryc. 1).

addition to 35 fragments of pottery, 50 deer antler fragments were discovered there, including fragments with traces of incisions (Makowicz-Poliszot 2022).

The function of the features in which a flat layer of stones was discovered is difficult to determine. The fact that they were found in the immediate vicinity of features that might be remains of rectangular hearths, usually in small groups with these features, may indicate their use for a similar yet unknown purpose. It is worth noting, however, that similar stone structures are discovered in the Lipica culture settlements (Cyhyłyk 1997, p. 106, Fig. 1).

## 7.3. Zabytki ruchome: opis i analiza

### 7.3.1. Ceramika

Z badań na stanowisku 1 w Jabłonicy Ruskiej pochodzi łącznie 2348 fragmentów ceramiki z okresu rzymskiego (w tym 1374 skorupy z wypełnisk obiektów datowanych na okres rzymski oraz 974 fragmenty odkryte poza wypełniskami obiektów archeologicznych). Odkryto ceramikę o różnym stopniu rozdrobnienia, od okruchów po dużej wielkości skorupy, stanowiących w większości pojedyncze fragmenty nierekonstruowanych naczyń. Jedno naczynie zachowane było w całości, a w przypadku kolejnych 11 egzemplarzy udało się je zrekonstruować w stopniu umożliwiającym odtworzenie pełnego lub niemal pełnego profilu. Ceramika w większości reprezentowana jest przez niecharakterystyczne fragmenty naczyń lepionych ręcznie.

Zasady klasyfikacji materiału ceramicznego

Do analizy materiałów ceramicznych z osady w Jabłonicy Ruskiej zastosowano metodę obserwacji makroskopowej. Opis poszczególnych fragmentów katalogowany był w formie tabelarycznej zgodnie z kwestionariuszem opracowanym dla ceramiki z tego stanowiska, w którym

## 7.3. Artefacts: description and analysis

### 7.3.1. Pottery

The research at site 1 in Jabłonica Ruska resulted in discovering a total of 2,348 fragments of pottery from the Roman period (including 1,374 fragments from the fills of features dated to the Roman period and 974 fragments found outside features). The pottery is characterised by varying degree of fragmentation, from very small pieces to large ones, mostly single fragments of unreconstructed vessels. One vessel was completely preserved, and when it comes to another 11 vessels, it was possible to reconstruct them to the extent that allowed complete or almost complete profile reconstruction. Most of the pottery, however, was found in the form of uncharacteristic fragments of handmade vessels.

Principles of classification of pottery

The macroscopic observation method was used to analyse the pottery from the settlement in Jabłonica Ruska. The description of individual fragments was catalogued in a tabular form in accordance with the questionnaire created for the pottery from this site, which included the

uwzględniono niezbędne do opisu cechy technologiczne i stylistyczne (por.: *Kwestionariusz opisu ceramiki – okres wpływów rzymskich* – na płycie CD).

Grupy surowcowo-technologiczne

Podstawową kategorią podziału ceramiki był sposób ich formowania – a więc na ceramikę lepioną ręcznie lub wykonaną przy pomocy koła garncarskiego. W następnej kolejności brano pod uwagę takie cechy, jak: faktura powierzchni (gładka lub szorstka; ścieralna lub nieścieralna), charakter masy garncarskiej (rodzaj, granulacja i subiektywnie określona ilość domieszki mineralnej w masie garncarskiej, widoczna zarówno na powierzchni, jak i w przełomach) czy barwa powierzchni. Na podstawie różnic zaobserwowanych podczas makroskopowych analiz materiału wydzielono sześć grup surowcowo-technologicznych. Dla ceramiki lepionej w ręce wyróżniono 4 grupy (I–IV), a dla ceramiki wykonanej przy użyciu koła – dwie (V i VI). Procentowy udział ilości fragmentów przydzielonych do poszczególnych z grup przedstawiają wykresy (ryc. 7.12., 7.13.).

Grupa I – stanowi ją ręcznie lepiona ceramika o czernionych, gładkich powierzchniach; w masie garncarskiej zwykle nie odnotowywano domieszki mineralnej lub stanowiły ją pojedyncze ziarna piasku; przełomy są z reguły jednobarwne, w kolorze czerepu; naczynia wykonane w technologii zaliczonej do tej grupy posiadały niemal wyłącznie cienkie (do 0,5 mm) lub średniej grubości (od 0,6 do 1 cm) ścianki. Pojedyncze fragmenty naczyń zaliczonych do tej grupy nosiły ślady grafitowania.

Grupa II – stanowi ją ręcznie lepiona ceramika o gładkich powierzchniach; w masie garncarskiej występowała przeważnie niewielka ilość domieszki mineralnej, w formie piasku, rzadziej szamotu, żwiru czy tłucznia kamiennego; powierzchnie naczyń, mimo obecności domieszki, były starannie i obustronnie wygładzane; powierzchnie fragmentów zaliczonych do tej grupy posiadały z reguły barwę brązową, a przełom był w większości przypadków jednobarwny lub dwubarwny; do grupy tej zaliczono fragmenty przede wszystkim średniościennych naczyń.

technological and stylistic features necessary for the description (see: Pottery description questionnaire – the Roman period – CD).

Raw material and technology groups

The basic category in pottery division was the method of its building – that is, handmade pottery and wheel-thrown pottery. Next, the following features were taken into account: surface texture (smooth or rough; abradable or non-abradable), the kind of ceramic fabric (type, granulation and subjectively estimated amount of mineral admixture in the ceramic fabric, visible both on the surface and in the cross-sections), or the colour of the surface. Based on the differences observed during macroscopic material analyses, six raw material and technology groups were distinguished. There are 4 groups (I-IV) of handmade pottery and two groups (V and VI) of wheel-thrown pottery. The percentage of the fragments assigned to each group is presented in Charts (Figs. 7.12., 7.13.).

Group I – it consists of handmade pottery with blackened, smooth surfaces; usually without mineral admixture in the ceramic fabric, or only with single grains of sand; cross-sections are usually one-colour which is similar to the colour as the surface; almost all of the vessels included in this technology group had thin (up to 0.5 mm) or medium thick (from 0.6 to 1 cm) walls. Single fragments of the vessels from this group had traces of graphite coating.

Group II – it consists of handmade pottery with smooth surfaces; in the ceramic fabric there was usually a small amount of sand admixture, less often the admixture was fireclay, gravel or crushed stone; the surfaces of the vessels, despite the presence of admixture, were carefully smoothed on both sides; the surfaces of the fragments from this group were usually brown and the cross-sections were, in most cases, one-colour or two-colour; most of the fragments in the group come from medium thick-walled vessels.

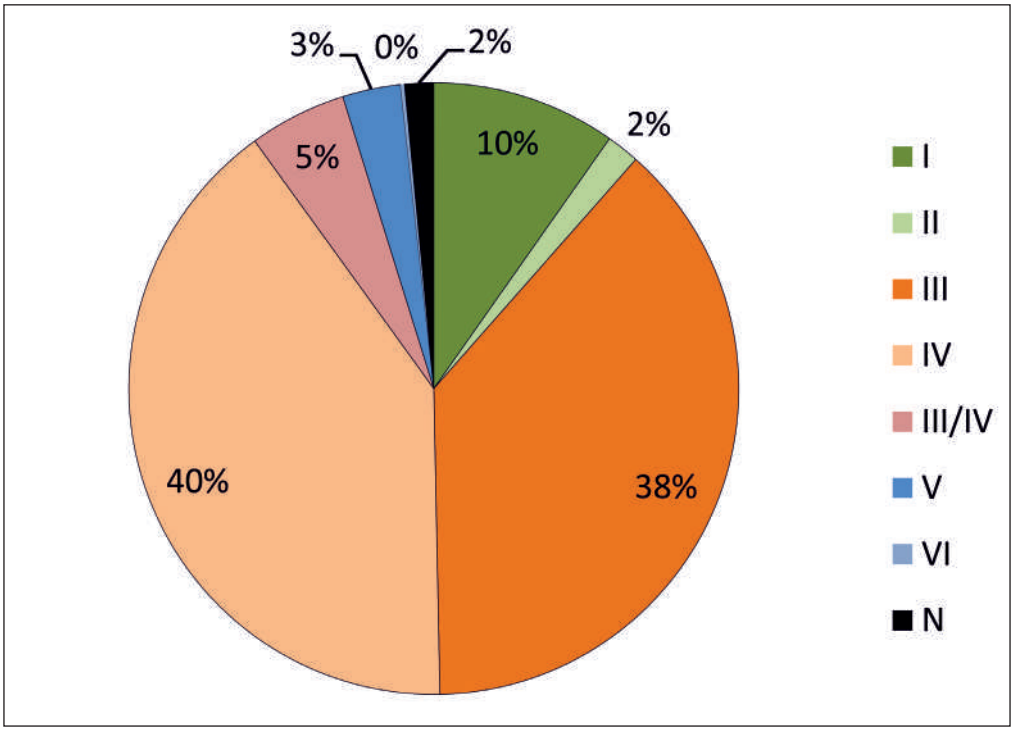


Ryc. 7.12. Jabłonica Ruska, stan. 1. Procentowy udział grup surowcowo-technologicznych dla ceramiki z okresu rzymskiego
Fig. 7.12. Jabłonica Ruska, site 1. Percentage of raw material and technology groups for pottery from the Roman period

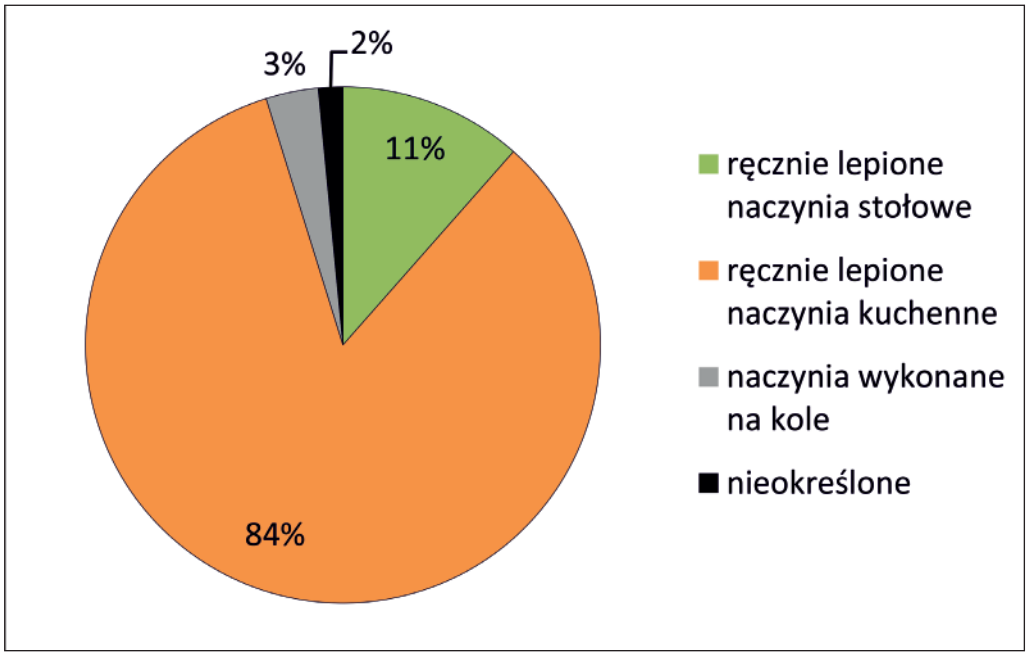


Ryc. 7.13. Jabłonica Ruska, stan. 1. Procentowy udział fragmentów naczyń w oparciu o ich cechy technologiczne: podział na ręcznie lepioną ceramikę stołową, kuchenną, oraz naczynia wykonane przy użyciu koła garncarskiego.
Fig. 7.13. Jabłonica Ruska, site 1. Percentage of pottery fragments according to their technological features: division into handmade fine-ware and kitchen ware and wheel-thrown vessels

Grupa III – stanowi ją ręcznie lepiona ceramika, o niewygładzonych, nierównych, gruzełkowatych, „tłustych" w dotyku powierzchniach; masa garncarska zawiera znaczną ilość nierównomiernie rozprowadzonej domieszki mineralnej o różnej granulacji, głównie w formie szamotu ceramicznego, rzadziej piasku lub tłucznia kamiennego. Obecność niekiedy znacznej ilości domieszki nie jest wyczuwalna na powierzchniach naczyń jako szorstka; masa garncarska była dość słabo rozrobiona, na co wskazuje duża ilość pustek obserwowanych w przełomach; naczynia były raczej słabo wypalone, co wpływa na ich wysoką kruchość i łamliwość; barwa powierzchni zewnętrznej przede wszystkim brązowa lub pomarańczowa, często niejednolita, plamista; przełomy zazwyczaj jednobarwne lub dwuwarstwowe.

Grupa IV – stanowi ją ceramika o szorstkich, twardych powierzchniach, zwykle średnio-, rzadziej cienko- i grubościenna, zawierająca dużą ilość równo rozprowadzonej drobnoziarnistej domieszki, głównie w formie piasku, oraz z ziarnami domieszki średnio- i gruboziarnistej w formie żwirku i tłucznia kamiennego. Powierzchnie są z reguły barwy ceglastej, brązowej lub brunatnej; przełomy zazwyczaj jedno- lub dwubarwne.

Grupa V – stanowi ją ceramika wykonana przy użyciu koła garncarskiego, o gładkich, matowych, mniej lub bardziej ścieralnych powierzchniach, określana niekiedy jako typ Pakoszówka-Bessów (Madyda-Legutko 1996, s. 72–78; 2004; Okoński 1999–2000; Okońska et al. 2019, tam literatura). Glina jest dobrze wyszlamowana, niekiedy zupełnie bez domieszki, choć częściej występuje w niej drobnoziarnista domieszka mineralna w postaci tłucznia ceramicznego, piasku i średniej wielkości tłucznia kamiennego lub żwirku, rzadziej miki. Na powierzchni części fragmentów zachowały się ślady powłok, pokrywających pierwotnie powierzchnie naczyń (por.: Stobierska et al. 2008, s. 27; Okońska et al. 2018). Powierzchnie są z reguły barwy siwej lub popielatej, przełomy z reguły jednobarwne.

Grupa VI – stanowi ją ceramika o twardych, gładkich, niekiedy wyświecanych powierzchniach, typowa dla obszarów kultury przeworskiej, nawiązującej do ceramiki "siwej" I grupy ceramiki

Group III – it consists of handmade pottery with unsmoothed, uneven, „greasy" to the touch surfaces with pellets; the ceramic fabric contains a significant amount of unevenly distributed mineral admixture of various granulation, mainly in the form of ceramic fireclay, less often sand or crushed stone. The presence of, sometimes, a significant amount of admixture does not result in surface roughness; the ceramic fabric was quite poorly ground, as indicated by the large number of voids visible in the cross-sections; as the vessels were rather poorly fired, they are brittle and fragile; the colour of the outer surfaces is usually brown or orange, often non-uniform and patchy; cross-sections are usually single-colour or have two layers.

Group IV – it consists of pottery with rough, hard surfaces, usually medium thick-walled, less often thin or thick-walled. The pottery contains a large amount of evenly distributed fine-grained admixture, usually sand, and grains of medium and coarse-grained gravel and crushed stone. The surfaces are usually brick-red or brown; cross-sections are usually one or two-colour.

Group V – it consists of wheel-thrown pottery with smooth, mat, more or less abradable surfaces, sometimes referred to as the Pakoszówka-Bessów type (Madyda-Legutko 1996, pp. 72–78; 2004; Okoński 1999–2000; Okońska et al. 2019, bibliography there). The clay is well-processed, sometimes completely without admixture, although more often it contains a fine-grained mineral admixture in the form of crushed ceramics, sand and medium-grained crushed stone or gravel, less often mica. On the surfaces of some of the fragments, there are traces of coating that originally covered the surfaces of the vessels (see: Stobierska et al. 2008, p. 27; Okońska et al. 2018). The surfaces are usually grey or ashen, the cross-sections are usually one-colour.

Group VI – it consists of pottery with hard, smooth, sometimes polished surfaces, typical for the Przeworsk culture, similar to the „grey" pottery of the 1st group of pottery according to

wg Godłowskiego, Dobrzańskiej i Rodzińskiej-Nowak (Dobrzańska 1990a; 1990b; Godłowski 1977; Rodzińska-Nowak 2006). Masa ceramiczna jest dobrze wyszlamowana, z reguły bez domieszki mineralnej. Powierzchnie są zwykle barwy siwej, przełomy są jednobarwne lub dwubarwne, z ciemniejszym rdzeniem i jaśniejszymi krawędziami.

**Ceramika lepiona w ręce (grupy I–IV)**

Ceramika lepiona ręcznie reprezentowana jest przez 2235 fragmentów, co czyni ją najliczniej rozpoznaną na osadzie z okresu rzymskiego kategorią zabytków. Wśród niej wyróżniono naczynia stołowe, o powierzchniach gładkich (grupy I i II) oraz naczynia kuchenne – o powierzchniach nierównych, chropowatych lub szorstkich (grupy III i IV). Formy i typy naczyń lepionych ręcznie określone zostały na podstawie dwóch klasyfikacji typologicznych ceramiki kultury przeworskiej – opracowanych przez Teresę Lianę (1970) oraz Halinę Dobrzańską (1990a; 1990b).

Ceramika stołowa

Wśród naczyń o powierzchniach gładkich wyróżnia się grupa ceramiki wykonanej z gliny bez domieszki mineralnej, o gładkich, czernionych powierzchniach (grupa I). W pojedynczych przypadkach stwierdzono grafitowanie powierzchni naczyń wykonanych w tej technologii (tabl. 7.7: 3). Tak wykonane naczynia charakterystyczne są przede wszystkim dla garncarstwa kultury przeworskiej we wczesnym okresie rzymskim. Naczynia o podobnych cechach technologicznych w strefie karpackiej występują także w środowisku kultury puchowskiej (Madyda-Legutko 1996, s. 48–50) czy wyróżnianych w starszej literaturze materiałach typu Wietrzno-Solina (Madyda-Legutko 1996, s. 53–54). Obecność tak wykonanych naczyń poświadczona jest na całym obszarze objętym zasięgiem kultury przeworskiej we wczesnym okresie rzymskim, także na badanych wykopaliskowo wczesnorzymskich stanowiskach nad górnym Sanem, w Pakoszówce, stan. 1, Bachórzu, stan. 16, Hłomczy, stan. 1, Sanoku, stan. 54, oraz cmentarzysku w Prusieku, stan. 25

Godłowski, Dobrzańska and Rodzińska-Nowak (Dobrzańska 1990a; 1990b; Godłowski 1977; Rodzińska-Nowak 2006). The ceramic fabric is well-processed, usually without any mineral admixtures. The surfaces are usually grey, the cross-sections are one or two-colour, with a darker core and lighter edges.

**Handmade pottery (groups I – IV)**

Handmade pottery is represented by 2,235 fragments, which makes it the most common category of finds in the Roman period settlement. The collection includes fine-ware with smooth surfaces (groups I and II) and kitchen ware – with uneven, coarse or rough surfaces (groups III and IV). The forms and types of handmade vessels were determined using two typological classifications of the Przeworsk culture pottery – developed by Teresa Liana (1970) and Halina Dobrzańska (1990a; 1990b).

Fine-ware

Among the vessels with smooth surfaces, there is a group of pottery made of clay without mineral admixture, with smooth, blackened surfaces (group I). In some cases, the surfaces of this type of vessels were graphite-coated (Plate 7.7: 3). The vessels made in this way are characteristic mainly of the pottery of the Przeworsk culture in the early Roman period. As for the Carpathians, vessels with similar technological features were also found in the the Puchov culture materials (Madyda-Legutko 1996, pp. 48–50) or among materials of Wietrzno-Solina type, mentioned in the older literature (Madyda-Legutko 1996, pp. 53–54). The presence of such vessels is confirmed in the entire area covered by the Przeworsk culture in the early Roman period, also they were found at the early Roman period sites in the upper San river region, in Pakoszówka, site 1, Bachórz, site 16, Hłomcza, site 1, Sanok, site 54, and the cemetery in Prusiek, site 25 (Parczewski 1975; 2006; Muzyczuk, Pohorska-Kleja 1994; Pohorska-Kleja 2006; Madyda-Legutko

(Parczewski 1975; 2006; Muzyczuk, Pohorska-Kleja 1994; Pohorska-Kleja 2006; Madyda-Legutko et al. 2004; 2009; Madyda-Legutko et al. 2006; 2009).

W tej technologii wykonane były zróżnicowane typologicznie naczynia kuchenne, w tym przede wszystkim formy o profilu esowatym – misy i wazy. Pierwszą kategorię reprezentują naczynia o zaokrąglonym załomie brzuśca, zaliczone do typu I/3 wg T. Liany (1970, s. 438–349) lub typu 57 wg Dobrzańskiej (1990a, s. 88, Ryc. 14; 1990b, s. 55–56). Wystąpiły tu przede wszystkim fragmenty górnych partii oraz brzuśców tego typu naczyń (tabl. 7.9: 2, 4; 7.12: 1, 4; 7.17: 1; 7.25: 8; 7.30: 4). Pochodzą ze średniej wielkości cienko- lub średniościennych egzemplarzy, dekorowanych liniami rytymi, zarówno dookolnymi (tabl. 7.9: 2, 4; 7.17: 1; 7.30: 4), jak i pionowymi, biegnącymi w dolnej części brzuśca (tabl. 7.12: 1). Jest to szeroko rozpowszechniona forma, charakterystyczna przede wszystkim dla fazy B2 (Liana 1970, s. 438–439). Zbliżony do naczyń tej grupy jest nieornamentowany egzemplarz niewielkich rozmiarów, o średnicy wylewu 10 cm, zbliżonej do średnicy maksymalnej wydętości brzuśca (tabl. 7.21: 8). Prawdopodobnie do tej grupy zaliczyć należy także wylew odkryty na arze R28 (tabl. 7.30: 6), jak również fragment lepionego naczynia wykonanego z gliny grupy surowcowo-technologicznej II (tabl. 7.31: 6).

Wśród materiałów z Jabłonicy Ruskiej wystąpiły także fragmenty pojedynczych naczyń o dwustożkowatym załomie brzuśca, które zaliczyć można najpewniej do grupy II/3 wg Liany: zachowane w większej części nieornamentowane egzemplarze bez wyodrębnionej szyjki (tabl. 7.2: 2; 7.22: 6; 7.31: 5) oraz przypuszczalnie brzusiec mniejszego, dekorowanego pionowymi liniami rytymi naczynia (tabl. 7.13: 5), który jednak stanowić może fragment formy typu VI/2. Formy dwustożkowate są szeroko rozpowszechnione na obszarze kultury przeworskiej, a naczynia typu II/3 występowały przez cały okres rzymski (Liana 1970, s. 439).

W analizowanym zbiorze wystąpiły także dolne fragmenty waz lub pucharków na pustych nóżkach: zarówno fragmenty nóżek, jak i dennych partii tego typu naczyń. Jeden z egzemplarzy, posiadający dekorację w formie dookolnej listwy

et al. 2004; 2009; Madyda-Legutko et al. 2006; 2009).

The technology was used to make typologically diverse kitchen-ware, including, mainly, S-shaped bowls and vases. The first category is represented by vessels with rounded shoulders, classified as type I/3 according to T. Liana (1970, pp. 438–349) or type 57 according to Dobrzańska (1990a, p. 88, Fig. 14; 1990b, 55–56). In the assemblage, most of the fragments come from the upper parts and bodies of this type of vessel (Plates 7.9: 2, 4; 7.12: 1, 4; 7.17: 1; 7.25: 8; 7.30: 4). The vessels are of medium size, with thin or medium-thick walls, decorated with incised lines both circumferential (Plates 7.9: 2, 4; 7.17: 1; 7.30: 4) and vertical ones which ale placed on the lower part of the body (Plate 7.12: 1). It is a common form, characteristic mainly for the B2 phase (Liana 1970, pp. 438–439). There is also a small vessel, similar to the vessels of this group, with no decoration, a spout diameter of 10 cm and the maximum body diameter of similar size (Plate 7.21: 8). Probably, the spout discovered in are R28 (Plate 7.30: 6), as well as the fragment of a handmade vessel made of group II clay (Plate 7.31: 6) should also be included in the group.

Among the materials from Jabłonica Ruska, there were also fragments of single vessels with biconical bodies, which may, probably, be classified as group II/3 according to Liana: partly preserved vessels without ornaments and without separated necks (Plates 7.2: 2; 7.22: 6; 7.31: 5), and, most probably, a body of a smaller vessel, decorated with vertical, incised lines (Plate 7.13: 5), which, however, may be a fragment of a type VI/2 vessel. Biconical forms are common in the Przeworsk culture, and type II/3 vessels were used throughout the whole Roman period (Liana 1970, p. 439).

In the analysed assemblage, there were also fragments of lower parts of vases or cups with empty feet: both fragments of feet as well as lower parts of the bases of this type of vessels. One of the finds, decorated with a circumferential plastic band at the point where the base meets the foot and an incised ornament, had a graphite-coated surface (Plate 7.7: 3). The second fragment,

plastycznej w miejscu przejścia dna w stópkę oraz ornament ryty, posiadał powierzchnię grafitowaną (tabl. 7.7: 3). Drugi z fragmentów, bez śladów grafitowania, również posiadał dookolną listwę plastyczną (tabl. 7.27: 2). Fragment trzeciego z pucharków dekorowany był w dolnej części ornamentem rytym w formie krzyża (tabl. 7.33: 4). Zachowane fragmenty nóżek posiadały plastyczne wałki przy podstawie (tabl. 7.10: 9; 7.21: 6).

Wśród naczyń stołowych o powierzchniach gładkich wystąpił także fragment jednej płytkiej miseczki niewielkich rozmiarów, o średnicy wylewu 12,5 cm (tabl. 7.13: 6). Posiada ona ornament w formie szerokich linii rytych w dolnej części brzuśca. Miseczki tego typu zaliczone zostały do grupy VI/2 wg Liany i uważane są za imitację naczyń szklanych. Odpowiadają prawdopodobnie także typowi 48 wg Dobrzańskiej (1990a, s. 87, Ryc. 13; 1990b, s. 53–54). Są typowe dla fazy B2 (Liana 1970, s. 440).

Kolejną z form, która w ujęciu Liany określona została jako typ IV/2, a wg H. Dobrzańskiej jako typ 56, jest zachowany fragmentarycznie egzemplarz z obiektu 27 (tabl. 7.4: 3). Jest to dwustożkowata misa, o wylewie pogrubionym, nachylonym do wnętrza naczynia. Formy takie datowane są przede wszystkim na fazę B2 (Liana 1970, s. 465; Dobrzańska 1990a, s. 88; Ryc. 14; 1990b, s. 55). Podobne naczynie, choć wykonane bardziej niedbale, z gliny z domieszką mineralną, a więc o nierównej, niewygładzonej powierzchni (grupy III), odkryto w obiekcie 84 (tabl. 7.7: 5).

Pozostałe fragmenty naczyń o gładkich, czernionych powierzchniach zachowane są w sposób uniemożliwiający przyporządkowanie ich do konkretnego typu naczynia. Wyróżniono trzy dna (tabl. 7.16: 10; 7.25: 2; 7.30: 3) oraz fragmenty ornamentowanych brzuśców. Posiadają one dekorację, zarówno w formie rytych linii (tabl. 7.3: 5, 10; 7.20: 3; 7.21: 4; 7.29: 6), jak i dołków palcowych (tabl. 7.23: 2).

Jak wyszczególniono powyżej, naczynia stołowe o powierzchniach czernionych w niektórych przypadkach posiadały dekorację w formie linii rytych, zarówno pojedynczych, dookolnych, umieszczonych zazwyczaj w górnych partiach brzuśców (tabl. 7.9: 4; 7.17: 1; 7.25: 8; 7.30: 4; 7.31: 6), jak i szerokich,

without traces of graphite coating, also had a plastic band going around the vessel (Plate 7.27: 2). A fragment of the third of the cups was decorated in the lower part with an incised ornament in the form of a cross (Plate 7.33: 4). The preserved fragments of feet had plastic rolls on the base (Plates 7.10: 9; 7.21: 6).

Among the fine-ware with smooth surfaces, there was also a fragment of a small, shallow, bowl with a spout diameter of 12.5 cm (Plate 7.13: 6). It has an ornament in the form of wide, incised lines on the lower part of the body. Bowls of this type are classified as group VI/2 according to Liana, and are considered to be imitations of glass vessels. They probably also correspond to type 48 according to Dobrzańska (1990a, p. 87, Fig. 13; 1990b, pp. 53–54). They are typical for phase B2 (Liana 1970, p. 440).

Another form which Liana described as type IV/2, and according to H. Dobrzańska it is type 56, is the partly preserved vessel from feature 27 (Plate 7.4: 3). It is a biconical bowl with a thickened spout, bent towards the inside of the vessel. Such forms are usually dated to phase B2 (Liana 1970, p. 465; Dobrzańska 1990a, p. 88; Fig. 14; 1990b, p. 55). A similar vessel, although less carefully crafted, made of clay with a mineral admixture, with uneven, rough surface (group III) was discovered in feature 84 (Plate 7.7: 5).

The state of preservation of the rest of the fragments of vessels with smooth, blackened surfaces does not allow assigning them to any specific type. There are three bases here (Plates 7.16: 10; 7.25: 2; 7.30: 3) and fragments of decorated bodies. They are decorated both with incised lines (Plates 7.3: 5, 10; 7.20: 3; 7.21: 4; 7.29: 6) and finger impressions (Plate 7.23: 2).

As mentioned above, some of the fine-ware with blackened surfaces had ornaments in the form of incised lines, both single and circumferential, usually placed in the upper parts of the bodies (Plates 7.9: 4; 7.17: 1; 7.25: 8; 7.30: 4; 7.31.6) as well as wide, multiplied lines, both horizontal (Plates 7.20: 3; 7.21: 4) and vertical, placed in the lower body (Plates 7.3: 10; 7.12: 1; 7.13: 6; 7.25: 12). On some

zwielokrotnionych linii, zarówno biegnących poziomo (tabl. 7.20: 3; 7.21: 4), jak i pionowo, w dolnej części brzuśca (tabl. 7.3: 10; 7.12: 1; 7.13: 6; 7.25: 12). W pojedynczych przypadkach na analizowanych fragmentach zachowały się ślady zarówno linii dookolnych, pionowych (tabl. 7.9: 2), jak i linii wielokierunkowych, tworzących dekorację geometryczną (tabl. 7.29: 6). W jednym przypadku wystąpiła dekoracja dna naczynia, w formie rytego krzyża (tabl. 7.33: 4), oraz proste nacinane linie umieszczone na nóżce (tabl. 7.7: 3). Nie zaobserwowano ornamentów w formie meandrów, typowych dla ceramiki kultury przeworskiej w fazie B2, natomiast wystąpił drobny fragment naczynia zdobionego linią rytą oraz kropkami po obu jej stronach (tabl. 7.3: 5). W przypadku pucharków na pustych nóżkach, w miejscach przejścia dna w nóżkę pucharka, występował czasem plastyczny wałek (tabl. 7.7: 3; 7.27: 2).

W analizowanym zbiorze wystąpiły także fragmenty naczyń o powierzchniach gładkich, wypalonych na kolor brązowy (grupa II). Ta grupa naczyń jest zdecydowanie mniej liczna, wyróżnić należy tu wylew naczynia o profilu przypuszczalnie esowatym, być może typu V wg Liany (tabl. 7.31: 5), fragment garnka o górnej partii brzuśca mocno nachylonej do środka, z wychylonym na zewnątrz wylewem (tabl. 7.16: 6), oraz fragment misy o esowatym profilu grupy I, z wylewem silnie wychylonym na zewnątrz i załomem brzuśca umieszczonym około połowy wysokości naczynia (tabl. 7.21: 9). Wszystkie te naczynia nie były ornamentowane.

Ceramika kuchenna

Ceramika określana jako kuchenna, wykonana była z gliny ze zróżnicowaną ilością domieszki mineralnej i posiadała ścianki niewygładzone, niedbale opracowane, szorstkie. Na osadzie w Jabłonicy Ruskiej fragmenty tego typu naczyń wystąpiły zdecydowanie liczniej niż fragmenty naczyń stołowych. Tę kategorię cechuje większe zróżnicowanie w obrębie wyróżnionych grup surowcowo-technologicznych (III i IV), a także większa różnorodność rozmiarów, form i prawdopodobnie ich funkcji.

Pod względem technologii, te z reguły średnio- lub grubościenne naczynia, wypalone były

fragments, there were traces of both circumferential, vertical lines (Plate 7.9: 2) and multidirectional lines that make up geometric decoration (Plate 7.29: 6). In one case, there was an ornament on the base of a vessel in the form of an incised cross (Plate 7.33: 4) and straight incised lines placed on the foot (Plate 7.7: 3). No meanders, typical of the Przeworsk culture pottery from phase B, were observed but there was a small fragment of a vessel decorated with an incised line and dots on the both sides of it (Plate 7.3: 5). When it comes to the cups with empty feet, at the points where the bases meet the feet, there were, sometimes, plastic rolls (Plates 7.7: 3; 7.27: 2).

In the analysed assemblage, there were also fragments of vessels with smooth surfaces, burnt brown (group II). This group of vessels is definitely smaller but there are some interesting finds in it, such as: the spout of a vessel with a, probably, S-like profile, perhaps of the V type according to Liana (Plate 7.31:5), a fragment of a pot with the upper part of the body strongly bent inwards and the spout bent outwards (Plate 7.16: 6) and a fragment of a bowl with an S-shaped profile and the shoulder placed, approximately, at the half the height of the vessel (Plate 7.21: 9). None of the vessels were decorated.

Kitchen-ware

Kitchen pottery was made of clay with a varying amount of mineral admixture, and it had rough, carelessly crafted walls. In the settlement in Jabłonica Ruska, fragments of this type of vessels were much more numerous than fragments of fine-ware. This category is characterised by greater diversification within the distinguished raw material and technological groups (III and IV), as well as a greater variety of sizes, forms and, probably, functions.

In terms of technology, these usually medium-thick or thick-walled vessels were fired brown or orange. The mineral admixture, in most cases,

na kolor brązowy lub pomarańczowy. Domieszkę mineralną w większości przypadków stanowił szamot, rzadziej tłuczeń, żwir albo piasek. Masa garncarska była dość słabo rozrobiona, na co wskazuje duża ilość pustek obserwowanych w przełomach. Naczynia były raczej słabo wypalone, co wpływa na ich wysoką kruchliwość, obserwowana szczególnie w przypadku grupy III. Podkreślić należy, że taka technologia jest charakterystyczna dla obszarów nad górnym Sanem, a naczynia wykonane w ten sposób występują zarówno na stanowiskach z wczesnego okresu rzymskiego, jak i osad z faz C-D.

was fireclay, less often crushed stone, gravel or sand. The ceramic fabric was quite poorly processed, as evidenced by the large number of voids observed in the cross-sections. The vessels were rather poorly fired, which resulted in high brittleness, observed especially in group III. It should be emphasised that such technology is characteristic of the upper San river region and such vessels are found both at sites from the early Roman period and in settlements from phases C-D.

Garnki

W analizowanym zbiorze najliczniej wystąpiły fragmenty zróżnicowanych form o profilu w przybliżeniu esowatym, zaliczone wg T. Liany do typu V. Grupę tę określić można jako formy garnkowate. W przypadku materiałów z opisywanego stanowiska grupa ta jest wewnętrznie zróżnicowana. Wyszczególnić należy tu przede wszystkim średniej wielkości formy baniaste, o profilu esowatym, z zaokrąglonym załomem brzuśca, umieszczonym zarówno dość wysoko, tuż pod szyją (tabl. 7.22: 2), jak i nieco niżej, przypuszczalnie około ⅓ wysokości naczynia. Jedno z naczyń tego typu zrekonstruowano w całości (tabl. 7.18: 2), w pozostałych przypadkach wystąpiły tylko górne partie tego typu garnków (tabl. 7.7: 1; 7.9: 1; 7.14: 9; 7.22: 6; 7.26: 3; 7.27: 3; 7.28: 1). Naczynia grupy V wg Liany występują na terenie kultury przeworskiej w fazie B2, szczególnie B2b. Formy te kontynuują się także w czasie trwania młodszego i późnego okresu rzymskiego, występują także na stanowiskach z fazy D (Liana 1970, s. 439).

Odrębną grupę stanowią formy garnkowate bądź wazowate, nieujęte w typologii T. Liany, o górnych partiach naczyń ustawionych pionowo, z mniej lub bardziej wyraźnie zarysowanym załomem umieszczonym dość nisko (tabl. 7.5: 2; 7.27: 6; 7.29: 13).

Pojedyncze fragmenty reprezentują naczynia typu III wg Liany, czyli formy baniaste lub beczułkowate, o wylewach niewyodrębnionych lub lekko wyodrębnionych, których górne ścianki nachylone są do wnętrza naczynia. Na opisywanej

Pots

In the analysed assemblage, the most numerous were fragments of different types of vessels with S-like profiles, classified as type V, according to T. Liana. They can be described as pot-like vessels. When it comes to materials from the site in question, the pot-like vessels come in different shapes and forms. The most interesting are medium-sized, globular vessels with S-shaped profiles and rounded shoulders placed both quite high, just below the necks (Plate 7.22: 2), and slightly lower, probably at about ⅓ of the height of the vessels. One vessels of this type was completely reconstructed (Plate 7.18: 2). The rest of the materials were only the upper parts of such pots (Plates 7.7: 1; 7.9: 1; 7.13: 9; 7.22: 6; 7.26: 3; 7.27: 3; 7.28: 1). Vessels of group V, according to Liana, were used in the Przeworsk culture in phase B2, especially B2b. It continued during the younger and late Roman period, they are also found at sites from phase D (Liana 1970, p. 439).

A separate group are pot-like or vase-like vessels, not included in T. Liana's typology, with vertical upper parts and more or less distinct shoulders, placed quite low (Plates 7.5: 2; 7.27: 6; 7.29: 13).

There are single fragments of type III vessels, according to Liana, i.e. globular or barrel-shaped forms with not separated or slightly separated spouts and the upper parts of walls bent inwards. In the described settlement, the upper parts of three

osadzie wystąpiły górne partie trzech tego typu naczyń (tabl. 7.2: 4; 7.13: 8; 7.21: 2). Datowane są one przede wszystkim na fazę B2 (Liana 1970, s. 439). Wśród tak ukształtowanych naczyń wyróżnia się fragmentarycznie zachowane, dużych rozmiarów ręcznie lepione naczynie zasobowe, którego fragmenty odkryte zostały poza granicami obiektu archeologicznego, na terenie ara S29 (tabl. 7.32: 4). Naczynie to posiadało średnicę wylewu osiągającą niemal 50 cm. Na jego zewnętrznej powierzchni czytelne są ślady niedbale wykonanego obmazania, w formie regularnych, pionowych pociągnięć w kierunku dna. Ręcznie lepione naczynia zasobowe występują głównie we wczesnym okresie wpływów rzymskich (por.: Lasota 2010). Znane są także z osad kultury przeworskiej datowanych na końcową fazę wczesnego okresu rzymskiego i fazę B2/C1, na przykład w Tarnowcu, stan. 1 i Bessowie, stan. 3 (Okoński et al. 2000, s. 263, Ryc. 15: a; Szpunar, Okoński 2004, s. 481, 496, 497, Tabl. 8: a; 9: a).

Misy i wazy

Dość licznie reprezentowane są w analizowanym zbiorze fragmenty naczyń o powierzchniach szorstkich, które pod względem formalnym odpowiadają naczyniom stołowym. Wymienić należy tu zarówno naczynia o profilu esowatym (z zaokrąglonym załomem brzuśca) – w tym także fragmenty naczyń nieco mniejszych rozmiarów, które proporcjami zbliżone są raczej do mis lub waz o esowatym profilu (tabl. 7.11: 2; 7.23: 5; 7.25: 1), nawiązujące pod względem proporcji do niektórych odmian grupy V, jak i formy o profilu dwustożkowatym, zbliżone proporcjami do waz grupy II wg Liany. Zrekonstruowano całą formę jednego egzemplarza naczynia tego typu (tabl. 7.5: 1), jak i fragmenty górnych partii czterech pozostałych (tabl. 7.2: 3; 7.4: 1, 4; 7.9: 6).

Odrębną kategorię naczyń stanowią zachowane fragmentarycznie niezbyt wysokie misy lub czarki, o prostych profilach, i niewyodrębnionych, rozchylonych na zewnątrz wylewach, nawiązujących do typu 59 wg Dobrzańskiej (1990a, 88, Ryc. 14; 1990b, s. 57). Wystąpił zarówno wariant bardziej klasyczny, głębszy (tabl. 7.10: 7), jak i odmiana nieco płytsza (tabl. 7.2: 4). Te proste

such vessels were found (Plates 7.2: 4; 7.13: 8; 7.21: 2). They are dated, mainly, to phase B2 (Liana 1970, p. 439). Among vessels of that shape, there was an interesting, partly preserved, large, handmade storage vessel, fragments of which were discovered outside a feature, in are S29 (Plate 7.32: 4). The vessel had a spout diameter of almost 50 cm. On its outer surface, there are visible traces of sloppy smearing in the form of regular, vertical strokes going towards the base. Handmade storage vessels were used mainly in the early Roman period (see: Lasota 2010). They were also found in the settlements of the Przeworsk culture dated to the final phase of the early Roman period and phase B2/C1, for example in Tarnowiec, site 1 and Bessów, site 3 (Okoński et al. 2000, p. 263, Fig. 15: a; Szpunar, Okoński 2004, pp. 481, 496, 497, Plates 8: a; 9: a).

Bowls and vases

The analysed assemblage contains quite a lot of fragments with rough surfaces, which, formally, come from fine-ware. They are both vessels with S-shaped profiles (with round shoulders) – including fragments of slightly smaller vessels, with proportions similar to bowls or vases with S-shaped profiles (Plates 7.11: 2; 7.23: 5; 7.25: 1) ), linked, in terms of proportions, to some varieties of group V, as well as they are forms with biconical profiles, with proportions similar to group II vases, according to Liana. One vessel of this type was fully reconstructed (Plate 7.5: 1) and so were the upper parts of four other vessels (Plates 7.2: 3; 7.4: 1, 4; 7.9: 6).

Another category of vessels are the partly preserved, rather low bowls or cups, with straight profiles and not separated, flared spouts, similar to type 59, according to Dobrzańska (1990a, p. 88, Fig. 14; 1990b, p. 57). Here, there were both a more classic, deeper variant of the vessel (Plate 7.10: 7) and a slightly shallower one (Plate 7.2: 4). Such straight forms, especially the deeper ones with smaller diameters, are quite common in the Przeworsk culture in the early Roman period, although

formy, szczególnie głębsze o mniejszych średnicach, występują dość licznie na obszarze kultury przeworskiej we wczesnym okresie rzymskim, choć przeżywają się także w późniejszych okresach (Godłowski 1977, s. 145; Liana 1970, s. 440). Podobne naczynia znane są na przykład z Sanoka 59–60 (Okońska, Bulas 2019, s. 69), Nowego Sącza-Biegonic, stan. 20 (Cabalska et al. 1990, Madyda-Legutko 1996, tabl. XXVIII: 5) czy Otałęży, stan. 1 (Podgórska-Czopek 1999b, s. 135, 138, Ryc. 10: a-d).

they were also used in later periods (Godłowski 1977, p. 145; Liana 1970, p. 440). Similar vessels were found, for example, in Sanok 59–60 (Okońska, Bulas 2019, p. 69), Nowy Sącz-Biegonice, site 20 (Cabalska et al. 1990, Madyda-Legutko 1990, Plate XXVIII: 5) or Otałęż, site 1 (Podgórska-Czopek 1999, pp. 135, 138, Fig. 10: a-d).

Kubki, czerpaki

Na osadzie wystąpiły także formy z uchami, klasyfikowane z reguły jako kubki i czerpaki. Według typologii Liany, tego typu naczynia zaliczone zostały do grupy VII, a wg Dobrzańskiej – do typu 72 i 73. Wszystkie naczynia tej grupy posiadają szerokie ramy chronologiczne, obejmujące cały okres wczesnorzymski (Liana 1970, s. 440, 464, Tabl. I: 10, 11, 14, 15). Każdy z odkrytych w Jabłonicy Ruskiej egzemplarzy stanowi przykład nieco inaczej ukształtowanego naczynia. Pierwszy z nich, o zrekonstruowanym pełnym profilu, to niski kubek o prostym profilu, o wysokości nieprzekraczającej 8 cm (tabl. 7.28: 3). Drugi, zachowany fragmentarycznie, stanowi przykład baniastego kubka większych rozmiarów (tabl. 7.4: 2). Oba z nich posiadają wyodrębnione dna. Trzeci z egzemplarzy naczyń z uchami stanowi czerpak (tabl. 7.32: 1), ujęty w typologii Dobrzańskiej jako typ 73/b (1990a, s. 89, Ryc. 15; 1990b, s. 60). Wykazuje się, że formy wyższe występowały wcześniej i zanikały na początku fazy B2, natomiast mniejsze kubki i czerpaki były formami trwającymi dłużej, także w głąb młodszego okresu rzymskiego (Liana 1970, s. 440; Dobrzańska 1990b, s. 60). Podobne naczynia niewielkich rozmiarów, ale pozbawione uch, wystąpiły w obiektach 133 i 214 (tabl. 7.16: 4; 7.17: 4; 7.23: 4). Są to formy zbliżone do typu 65 wg Dobrzańskiej (1990a, s. 89, Ryc. 15; 1990b, s. 57).

Mugs, cups

There were also vessels with handles in the settlement, usually classified as mugs and cups. According to Liana's typology, such vessels were included in group VII, and according to Dobrzańska – they belong to types 72 and 73. All the vessels have broad chronology that covers the entire early Roman period (Liana 1970, pp. 440, 464, Plate I: 10, 11, 14, 15). Each of the vessels discovered in Jabłonica Ruska is an example of a slightly differently shape. The first, with a fully reconstructed profile, is a low mug with a straight profile, below 8 cm in height (Plate 7.28: 3). The second, partly preserved mug, is an example of a larger, globular cup (Plate 7.4: 2). Both of them have separated bases. The third of the vessels with handles is a cup (Plate 7.32: 1), type 73/b in Dobrzańska's typology (1990a, p. 89, Fig. 15; 1990b, p. 60). It is assumed that higher vessels were used earlier and disappeared at the beginning of phase B2, while smaller mugs and cups were used for a longer period of time, also in the younger Roman period (Liana 1970, p. 440; Dobrzańska 1990b, p. 60). Similar small vessels, but without handles, were found in features 133 and 214 (Plates 7.16: 4; 7.17: 4; 7.23: 4). They can be linked to type 65, according to Dobrzańska (1990a, p. 89, Fig. 15; 1990b, p. 57).

Pokrywki

Ostatnią z kategorii naczyń kultury przeworskiej, które odkryte zostały w Jabłonicy Ruskiej, stanowią ręcznie lepione pokrywki (tabl. 7.13: 3; 7.16: 9; 7.20: 2; 7.27: 8; 7.29: 7). Znajdują one

Lids

The last category of the Przeworsk culture vessels discovered in Jabłonica Ruska are handmade lids (Plates 7.13: 3; 7.16: 9; 7.20: 2; 7.27: 8; 7.29: 7). They have numerous analogies, especially

bardzo liczne analogie, szczególnie na osadach w południowo-wschodniej Polsce, m.in. w Otałęży (Podgórska-Czopek 1999a, s. 155; 1999b) czy Palikówce (Poradyło 2014, s. 301, 302, tam literatura), a także na osadach z różnych odcinków chronologicznych okresu rzymskiego w dorzeczu górnego Sanu.

Pozostałe fragmenty dystynktywne, a więc przede wszystkim fragmenty wylewów oraz den, zachowane są w stopniu uniemożliwiającym ich klasyfikację typologiczną. Najpewniej jednak pochodziły z garnków lub form wazowatych, typowych dla garncarstwa kultury przeworskiej.

Inne formy

Szczególnego omówienia wymagają trzy ręcznie lepione naczynia z obiektu 147 (tabl. 7.18: 1; 7.19: 1, 3). Pod względem technologii są one zbliżone do pozostałych naczyń odkrytych na stanowisku, choć cechuje je – szczególnie egzemplarze nieornamentowane – znacznie mniej estetyczne wykonanie i bardzo wyraźna nierówność ścianek. Formy tych naczyń odbiegają częściowo zarówno od pozostałych odkrytych na opisywanej osadzie, jak i generalnie od naczyń kultury przeworskiej. Pierwsze z naczyń to workowaty, asymetryczny egzemplarz niewielkich rozmiarów, o wysokości około 15,5 cm, o lekko esowatym profilu (tabl. 7.19: 1). Średnica dna, brzuśca i wylewu jest do siebie zbliżona i jest niewiele mniejsza od całkowitej wysokości tego egzemplarza. W obiekcie wystąpiło ze średniej wielkości naczyniem o cylindrycznej formie (tabl. 7.18: 1), wykonanym w bardzo podobnej technologii. Posiada ono prosty profil oraz mocno wychylony na zewnątrz, kołnierzowaty wylew. Tego typu forma ogólnymi proporcjami znajduje analogie wśród ceramiki dackiej (Crişan 1969, Plates LXXIV - LXXX; Bichir 1973, s. 260, 261, 264, Plates XLIV: 4, XLV, XLVIII: 1, 3; Crişan 2000, Plates 25, 26). Ostatnie z opisywanych naczyń to zachowany fragmentarycznie beczułkowaty garnek o esowatym profilu, zdobiony plastycznym wałkiem ukształtowanym w odwrócony półksiężyc (tabl. 7.19: 3). Ornament taki również występuje na ceramice dackiej, także o starszych tradycjach (Crişan 1969, Plates XXXII:4; XXXIII: 3; Crişan 2000, Plates 21: 8, 9).

in settlements in south-eastern Poland, e.g. in Otałęż (Podgórska-Czopek 1999a, p. 155; 1999b) or Palikówka (Poradyło 2014, pp. 301, 302, bibliography there), as well as in settlements from various parts of the Roman period in the upper San river basin.

The rest of recognised vessel fragments, i.e. mainly the fragments of spouts and bases, cannot undergo typological classification due to their poor state of preservation. They most likely, however, come from pots or vase-like vessels, typical of pottery of the Przeworsk culture.

Other vessels

The three handmade vessels from feature 147 require special discussion (Plates 7:18: 1; 7:19: 1, 3). In terms of technology, they are similar to the other vessels discovered at the site, although they are – especially the vessels with no ornaments – much less aesthetically crafted and they have visibly uneven walls. The forms of these vessels differ, to some degree, both from those discovered in the discussed settlement and from the vessels of the Przeworsk culture in general. The first of them is a small, bag-shaped, asymmetrical vessel, about 15.5 cm high, with a slightly S-shaped profile (Plate 7.19: 1). The diameters of the base, body and spout are similar and are not much smaller than the total height of the vessel. In the feature, it was found with another, medium-sized, cylindrical vessel (Plate 7.18: 1) made using a very similar technology. The second vessel has a straight profile and a strongly flared, collared rim. Such vessels, in terms of general proportions, have analogies among Dacian pottery (Crişan 1969, Plate LXXIV – LXXX; Bichir 1973, pp. 260, 261, 264, Plate XLIV: 4, XLV, XLVIII: 1, 3; Crişan 2000, Plate 25, 26). The last of the vessels is a partly preserved barrel-shaped pot with an S-shaped profile, decorated with a plastic roll shaped into an inverted crescent (Plates 7.19: 3). Such ornaments also appear on Dacian pottery, also from older periods (Crişan I.H. 1969, Plate XXXII: 4; XXXIII: 3; Crişan V. 2000, Plate 21: 8, 9).

Ornamentyka

Zdecydowana większość opisanych powyżej fragmentów ręcznie lepionych naczyń była nieornamentowana. Tylko nieliczne z nich posiadały powierzchnie dekorowane, przede wszystkim dołkami palcowymi. Dominowały pojedyncze rzędy dołków, umiejscowione w górnej partii naczyń, na szyi lub powyżej załomu brzuśca (tabl. 7.8: 4; 7.13: 1; 7.26: 3; 7.31: 2), choć wystąpił także fragment naczynia zdobionego dwoma rzędami tego prostego ornamentu (tabl. 7.26: 5). Niektóre fragmenty nosiły ślady zdobienia krawędzi wylewu rzędem dołków palcowych (tabl. 7.3: 7; 7.20: 5; 7.21: 1; 7.26: 5). Jedno z naczyń posiadało taką dekorację w części przydennej (tabl. 7.16: 8).

Innym, rzadziej obserwowanym typem zdobienia był ornament plastyczny. Poza wałkiem w formie odwróconego półksiężyca na naczyniu o "dackim" charakterze, pochodzącym z obiektu 147, dekorację plastyczną w formie dookolnej listwy plastycznej, dodatkowo nacinanej, zaobserwowano na fragmencie odkrytym w warstwie, poza obiektem archeologicznym (tabl. 7.31: 3). Na fragmencie jednego z naczyń wystąpił także plastyczny guz, w formie niewielkiego imadła, wychylonego w dół (tabl. 7.16: 3). Podobne elementy występują niekiedy na naczyniach zasobowych i tzw. „grubej roboty" wśród materiałów puchowskich i dackich (Madyda -Legutko et al. 2004, s. 702, tam literatura).

Powierzchnie dwóch naczyń – zasobowego, oraz jednego z garnków typu III wg Liany (tabl. 7.25: 7; 7.32: 4) posiadały brzuśce opracowane za pomocą jednokierunkowego wygładzania, śladem którego są pionowe ciągi palcowe, biegnące ku dołowi naczynia.

Ornaments

The vast majority of the fragments of handmade vessels described above had no ornaments. Only a few of them had decorated surfaces, mainly with finger imprints. Single rows of imprints, located in the upper part of the vessels, on the neck or above the shoulder dominated (Plates 7.8: 4; 7.13: 1; 7.26: 3; 7.31: 2), although there was also a fragment of a vessel decorated with two rows of this simple ornament (Plate 7.26: 5). Some fragments had traces of decorating the edge of the spout with a row of finger imprints (Plates 7.3: 7; 7.20: 5; 7:21: 1; 7:26: 5). One of the vessels had such an ornament on the base part (Plate 7.16: 8).

Another, less common type of decoration were plastic ornaments. Apart from the roll in the form of an inverted crescent on the „Dacian" vessel from feature 147, a plastic ornament in the form of an incised, circumferential plastic band was observed on a fragment discovered in the layer, outside a feature (Plate 7.31: 3). On the fragment of one of the vessels there was also a plastic knob in the form of a small vice leaning downwards (Plate 7.16: 3). Similar elements are sometimes found on storage vessels and on so-called „heavy-duty" vessels among the Púchov culture and the Dacian culture materials (Madyda-Legutko et al. 2004, p. 702, bibliography there).

The surfaces of two vessels – a storage vessel and one of the type III pots, according to Liana (Plates 7.25: 7; 7.32: 4) had bodies with unidirectional smoothing along which there were vertical finger lines going towards the base of the vessels.

**Ceramika wykonana przy użyciu koła garncarskiego (grupy V i VI)**

Wśród analizowanego materiału ceramicznego z okresu rzymskiego wystąpiło 77 fragmentów ceramiki wykonanej przy użyciu koła garncarskiego. W zdecydowanej większości odkryte zostały poza wypełniskami obiektów archeologicznych (57 skorup). Pozostałe fragmenty, stanowiące

**Wheel-thrown pottery (groups V and VI)**

Among the analysed pottery from the Roman period, there were 77 fragments of wheel-thrown vessels. Vast majority of them were discovered outside features (57 shells). The rest of the fragments, mostly parts of two bowls, were found in features 98, 132 and 147, with other handmade vessels. The wheel-thrown pottery assemblage

w większości części dwóch mis, wystąpiły w obiektach 98, 132 oraz 147, w towarzystwie naczyń lepionych ręcznie. Ceramika wykonana na kole garncarskim reprezentowana była wyłącznie przez skorupy naczyń o powierzchniach gładkich, co jest typową obserwacją dla tej kategorii ceramiki odkrywanej w rejonie południowo-wschodniej Polski, a szczególnie strefy beskidzkiej i górnego dorzecza Sanu (Madyda-Legutko 1996, s. 72). Dominowały fragmenty ceramiki o powierzchniach mniej lub bardziej ścieralnych (grupa V). Większość odkrytych fragmentów to niedystynktywne części naczyń, głównie brzuśców o różnej grubości ścianek, mniej licznie wystąpiły elementy górnych partii brzuśców, załomów, lub wylewów. Zdecydowana większość analizowanych skorup, poza pojedynczymi, wypalona była na kolor siwy.

consisted only of fragments with smooth surfaces, which is typical for this category of pottery found in the south-eastern region of Poland, especially in the Beskids and in the upper San river basin (Madyda-Legutko 1996, p. 72). Fragments of pottery with more or less abradable surfaces dominated (group V). Most of the discovered fragments were non-distinctive parts of vessels, mainly bodies with different wall thickness and, less often, there were fragments of the upper parts of bodies, shoulders or spouts. The vast majority of the analysed fragments, except a few single pieces, were fired grey.

Naczynia stołowe

Tylko w pojedynczych przypadkach możliwe było określenie, z jakich form naczyń pochodziły odkryte w Jabłonicy Ruskiej fragmenty ceramiki. Najliczniej wystąpiły fragmenty mis (tabl. 7.14: 6, 7.19: 2; 7.30: 1) o średnicy wylewu zbliżonej do średnicy maksymalnej wydętości, o pionowo ustawionych górnych partiach brzuśca, które są proste lub lekko łukowato wygięte. Prawdopodobnie także skorupa odkryta na terenie ara S32 pochodzi z podobnie ukształtowanej misy (tabl. 7.32: 2). Jeden z egzemplarzy posiadał zachowany wałeczkowaty, silnie wywinięty wylew (tabl. 7.14: 6). Fragmenty naczyń stołowych wykonanych na kole garncarskim, prawdopodobnie mis lub waz, wystąpiły także na obszarze arów N28, O27 i P29 (tabl. 7.29: 9, 10; 7.30: 2).

Tego typu wykonane na kole garncarskim misy są szeroko rozpowszechnione w środkowoeuropejskim Barbaricum, w różnych środowiskach kulturowych, i posiadają szerokie ramy chronologiczne. Znajdują liczne analogie na osadach położonych nad górnym Sanem, w Pakoszówce, stan. 26 (Madyda-Legutko 1996, Tabl. XVIII: 5), Sanoku, stan. 54 (Madyda-Legutko et al. 2004, Ryc. 3: 5, 6) czy Sanoku, stan. 59–60 (Okońska, Bulas 2019). Wystąpiły także na stanowiskach położonych nieco bardziej na północ, m.in. w Białobrzegach,

Fine-ware

Only in single cases was it possible to determine the vessel forms from which the fragments discovered in Jabłonica Ruska came from. The most common were fragments of bowls (Plates 7.14: 6, 7.19: 2; 7.30: 1) with the diameter of the spout similar to the maximum body diameter and vertical upper parts of the body, which are straight or slightly arched. Probably, the fragment discovered in are S32 also comes from a bowl of a similar shape (Plate 7.32: 2). One of the finds had a roll-like, strongly bent spout (Plate 7.14: 6). Fragments of wheel-thrown fineware, probably bowls or vases, also appeared in ares N28, O27 and P29 (Plates 7.29: 9, 10; 7.30: 2).

Wheel-thrown bowls of this type are very common in the Central European Barbaricum, in various cultural environments, and have a wide chronological framework. They have numerous analogies in the settlements on the upper San river, in Pakoszówka, site 26 (Madyda-Legutko 1996, Plate XVIII: 5), Sanok, site 54 (Madyda-Legutko et al. 2004, Fig. 3: 5, 6) or Sanok, site 59–60 (Okońska, Bulas 2019). They were also found at sites located a bit farther to the north, e.g. in Białobrzegi, site 18 (Karwowski et al. 2013, p. 173, Plate XLVI: f) or Palikówka, site 5 (Poradyło 2014,

stan. 18 (Karwowski et al. 2013, s. 173, Tabl. XLVI: f) czy Palikówce, stan. 5 (Poradyło 2014, s. 240, 241). Znane są także z osad kultury przeworskiej w Małopolsce, w okolicach Krakowa (Dobrzańska 1990a, s. 84, Tabl. XLIII: 7, 11, 16; LIII: 5,12; LXIII:3, 7; LXXI: 16, 17, 19; LXXVI: 1, 6, 10; LXXXIV: 1; LXXVIII: 11; 1990b, s. 30, 31; Glanc-Kwaśny 1997, tabl. XVI:2). Licznie wystąpiły na terenie mikroregionu kultury przeworskiej na wschód od Raby – w Bessowie, stan. 3 (Okoński 1999–2000; Okońska 2018, Fig. 9: A.ID) i Strzelcach Małych, stan. 13 (Kordecki, Okoński 1999, Tabl. 20: a). Analogicznie ukształtowane naczynia wystąpiły także wśród materiałów z Górnego Śląska (Pazda 1966, s. 88, Ryc. 12: a, s. 102; Godłowski 1973, s. 249, Tabl. V: 3; 1976, s. 118, Tabl. XXXVII: 2, 3, 6).

Dystynktywne fragmenty naczyń stołowych wykonanych przy użyciu koła garncarskiego, odkryte w Jabłonicy Ruskiej, z reguły były nieornamentowane lub posiadały dekorację plastyczną w formie dookolnej listwy umiejscowionej w górnej partii naczyń (tabl. 7.29: 8; 7.30: 1; 7.33: 2).

Naczynia zasobowe

Część fragmentów niecharakterystycznych, grubościennych, często dość dużych rozmiarów, prawdopodobnie pochodzi z naczyń zasobowych. W jednym przypadku, grubościenny fragment górnej partii brzuśca posiadał dość charakterystyczne zdobienie w formie szerokich linii rytych, wykonanych prawdopodobnie grzebieniem (tabl. 7.29: 2). Taki typ zdobienia jest charakterystyczny dla naczyń zasobowych odkrywanych na stanowiskach zlokalizowanych nad górnym Sanem i wystąpił m.in. na osadzie na stan. 1 w Pakoszówce (Madyda-Legutko et al. 2013, s. 412, Fig. 3: 6a; Madyda-Legutko 2011, s. 298, Abb. 2: 9), materiałach z pieca garncarskiego ze stan. 54 w Sanoku (Madyda-Legutko et al. 2004, Ryc. 4: 18, 5: 2), osadzie z późnego okresu rzymskiego i wczesnej fazy okresu wędrówek ludów w Sanoku 59–60 (Bulas et al. 2019, Ryc. 16: 2, 3), czy na badanych w trakcie nadzoru archeologicznego osad w Pakoszówce, stan. 3 i Trepczy, stan. 6 (Bulas et al. 2022). Naczynia zasobowe wykonane z glin bez domieszki

pp. 240, 241). Such bowls were also discovered in the settlements of the Przeworsk culture in Lesser Poland, near Kraków (Dobrzańska 1990a, p. 84, Plates XLIII: 7, 11, 16; LIII: 5.12; LXIII: 3, 7; LXXI: 16, 17, 19; LXXVI: 1, 6, 10; LXXXIV: 1; LXXVIII: 11; 1990b, p. 30, 31; Glanc-Kwaśny 1997, Plate XVI: 2). There were large numbers of them in the Przeworsk Culture microregion east of Raba – in Bessów, site 3 (Okoński 1999–2000; Okońska 2018, Fig. 9: A.ID) and Strzelce Małe, site 13 (Kordecki, Okoński, 1999, Plate 20: a). Similarly shaped vessels were also found among materials from Upper Silesia (Pazda 1966, p. 88, Fig. 12: a, p. 102; Godłowski 1973, p. 249, Plate V: 3; 1976, p. 118, Plate XXXVII: 2 , 3, 6).

The recognised fragments of wheel-thrown fine-ware discovered in Jabłonica Ruska usually had no ornaments or their only decoration was a circumferential plastic band located in the upper part of the body (Plates 7.29: 8; 7.30: 1; 7.33: 2).

Storage vessels

Some of the non-characteristic, thick-walled fragments, often quite large in size, probably come from storage vessels. There was one thick-walled fragment of the upper part of the body with quite characteristic decoration in the form of wide, incised lines, probably made with a comb (Plate 7.29: 2). This type of decoration is characteristic of storage vessels discovered at sites located in the upper San river region, and was found, among other locations, at site 1 in the settlement in Pakoszówka (Madyda-Legutko et al. 2013, p. 412, Fig. 3: 6a; Madyda-Legutko 2011, p. 298, Fig. 2:9), among materials from a pottery kiln at site 54 in Sanok (Madyda-Legutko et al. 2004, Fig. 4: 18, 5: 2), in a settlement from the late Roman period and the early phase of the Migration period in Sanok, site 59–60 (Bulas et al. 2019, Fig. 16: 2, 3), or in settlements in Pakoszówka, site 3 and Trepcza, site 6 (Bulas et al. 2022). Storage vessels made of clay without mineral admixture and with abradable surfaces found in the San river region are dated

mineralnej oraz posiadające powierzchnie ścieralne, koncentrujące się w strefie nadsańskiej, datowane są ramowo na cały młodszy i późny okres wpływów rzymskich. Choć wyraźnie nawiązują do znalezisk objętych osadnictwem dackim, gdzie ceramika produkowana na kole była znana w starszych odcinkach chronologicznych (por.: Kokowski 2001, s. 117, tam literatura), póki co nie ma podstaw na pojawianie się tego typu ceramiki nad Sanem już w II wieku (Florkiewicz 2004, s. 673; Madyda-Legutko 1996, s. 77–78; Rodzińska-Nowak 2018).

Biorąc pod uwagę powyższą analizę materiału ceramicznego, stwierdzić należy, że ceramika z osady w Jabłonicy Ruskiej reprezentuje w większości zestaw form i zdobnictwa charakterystyczny dla kultury przeworskiej. Materiał ceramiczny odkryty na osadzie nie odbiega także od zespołów znanych z pozostałych stanowisk o podobnej chronologii na terenie dorzecza górnego Sanu. Zarówno ceramika ręcznie lepiona, jak i wykonana na kole znajduje liczne analogie na okolicznych osadach badanych wykopaliskowo – szczególnie w Hłomczy, Bachórzu i Pakoszówce (Parczewski 1993, 1996; Muzyczuk, Pohorska-Kleja 1994; Madyda – Legutko, Smajek 2010, s. 277–289), a także w pewnym stopniu na stanowisku 59–60 w Sanoku (Bulas et al. 2019). W materiale widoczne są także – typowe dla całego tego obszaru górnego dorzecza Sanu – cechy lokalne, wyrażające się zarówno w technologii ceramiki, zróżnicowaniu technologiczno-morfologicznym, jak i czytelnej obecności "obcych", południowo-wschodnich wpływów, przenikających najpewniej ze środowisk dackich. Wpływy te wyrażają się w przypadku analizowanej osady najpełniej w zespole ceramicznym z obiektu 147.

on the entire younger and late Roman period. Although they are clearly linked to the finds from the Dacian culture areas, where wheel-thrown pottery was used in older chronological sections (see: Kokowski 2001, p. 117, bibliography there), so far there is no basis for assuming that this type of pottery appeared by the San River as early as in the 2nd century (Florkiewicz 2004, p. 673; Madyda-Legutko 1996, pp. 77–78; Rodzińska-Nowak 2018).

Taking into account the pottery analysis, it should be stated that the pottery from the settlement in Jabłonica Ruska mostly includes forms and ornaments typical of the Przeworsk culture. The pottery discovered in the settlement does not differ from the assemblages found at other sites with a similar chronology in the upper San river basin. Both hand-made and wheel-thrown pottery has numerous analogies in the nearby settlements were excavation was carried out – especially in Hłomcza, Bachórz and Pakoszówka (Parczewski 1993, 1996; Muzyczuk, Pohorska-Kleja 1994; Madyda – Legutko, Smajek 2010, pp. 277–289), and, to some extent, at site 59–60 in Sanok (Bulas et al. 2019). The material also shows local characteristics – typical of the entire area of the upper San river basin – both in terms of the technology and the technological and morphological diversity as well as the clear presence of „foreign", south-eastern influences, which, most likely, came from the Dacian culture. The influences are most clearly visible in the assemblage of pottery from feature 147.

### 7.3.2. Zabytki metalowe

Rzymska importowana fibula

Na obszarze ara S29 jako znalezisko luźne, odkryty został fragment importowanej fibuli rzymskiej o konstrukcji zawiaskowej, wykonanej z brązu (tab. 7.32: 2). Jest to egzemplarz zbliżony do typu Riha 5.17 (Riha 1979, s. 154–161), ale stan zachowania nie pozwala na precyzyjne określenie

### 7.3.2. Metal artefacts

Imported Roman fibula

In are S29, there was a stray find – a fragment of an imported, bronze Roman fibula with a hinge (Plate 7.32: 2). It is similar to the Riha type 5.17 (Riha 1979, pp. 154–161), but its state of preservation does not allow precise identification of the sub-type within this very diverse type of fibulae.

podtypu w obrębie tej bardzo zróżnicowanej wewnętrznie grupy zapinek.

Fibula posiada rozbudowany ornament. Powierzchnia zapinki podzielona jest na kilka stref, wśród których w całości zachowana jest tylko część kabłąka. Jest ona podzielona na prostokątne pola, dzielone nacinanym drucikiem brązowym. Dodatkowo środkowe pole dekoracyjne nosi ślady wypełnienia emalią, prawdopodobnie barwy żółtej. Obszar ten dodatkowo zdobiony był drucikiem uformowanym w linię falistą, biegnącą przez środek. Nóżka fibuli, zachowana fragmentarycznie, również posiada ślady wypełnienia emalią. Zapinki tego typu datowane są między połową I w. n.e. a połową II w. n.e. (Riha 1979, s. 157; Boelicke 2002, s. 113–115). Fibule o zbliżonej formie licznie występują na terenie obozów rzymskich na terenie prowincji nadreńskich i położonych nad górnym Dunajem. Na obszarach objętych osadnictwem barbarzyńskim pojawiają się niezwykle rzadko (Elschek 2017, s. 169–174). W tym miejscu zaznaczyć należy, że z terenu dorzecza Sanu, z obszaru osad pochodzi niewielka liczba zabytków metalowych. Uwaga ta dotyczy zwłaszcza fibul stanowiących zazwyczaj jeden z najważniejszych elementów datujących w kulturze przeworskiej.

The fibula has a complex ornament. Its surface is divided into several parts, among which only part of the bow is completely preserved. It has rectangular boxes, divided with an incised, bronze wire. Additionally, the central decorative box shows traces of enamel, probably yellow. This part of the fibula was additionally decorated with a wavy wire running through the centre. The foot of the fibula, partially preserved, also has traces of enamel. Fibulae of this type are dated to the period between the middle of the 1st century CE and the middle of the 2nd century CE. (Riha 1979, p. 157; Boelicke 2002, pp. 113–115). Similar fibulae are common in the Roman camps that were located in the Rhine region and Upper Danube region provinces. In barbarian settlement areas, they appear extremely rarely (Elschek 2017, pp. 169–174). It should be mentioned here that only a small number of metal artefacts come from the San river basin settlements. It concerns especially fibulae, which are usually one of the most important elements used to date the Przeworsk culture.

Noże żelazne

Z osady z okresu rzymskiego pochodzą dwa noże żelazne. Oba to znaleziska luźne. Pierwszy (tabl. 7.30: 7) odkryty został w górnych warstwach stanowiska, w okolicach półziemianki (ob. 157). Jest to egzemplarz z obustronnie wyodrębnioną, prostokątną w przekroju rękojeścią. Posiada ostrze dwukrotnie dłuższe od trzonka. Drugi z nożyków odkryty został na obszarze ara W29 (tabl. 7.33: 5), na którym wystąpiły obiekty z okresu rzymskiego. Jest to zachowany w całości filigranowy nożyk o wąskim ostrzu. Posiada delikatnie, obustronnie wyodrębnioną rękojeść.

Żelazne noże są licznie reprezentowane na stanowiskach z okresu rzymskiego. Występują zarówno na osadach, jak i cmentarzyskach. Formy noży żelaznych są niedystynktywne chronologicznie, przez co nie posiadają wartości datującej. Występują przez cały okres wpływów rzymskich.

Iron knives

There are two iron knives that come from the Roman period settlement. Both are stray finds. The first one (Plate 7.30: 7) was discovered in the upper layers of the site, in the vicinity of a shallow pithouse (feature 157). The knife has a hilt with a rectangular cross-section, separated from the blade on both sides. It has a blade twice as long as the hilt. The second knife was discovered in are W29 (Plate 7.33: 5), where features from the Roman period were located. It is a completely preserved, small knife with a narrow blade. Its hilt is slightly separated from the blade on both sides.

Iron knives are common finds at sites from the Roman period. They are found both in settlements and in cemeteries. Different forms of iron knives are chronologically non-distinctive and, therefore, they are not used for dating. They were used during the entire period of Roman influences.

Inne przedmioty żelazne

Pozostałe zabytki żelazne zachowane są w sposób fragmentaryczny, uniemożliwiający ich precyzyjne określanie i scharakteryzowanie. Spośród 6 odkrytych niecharakterystycznych przedmiotów żelaznych 5 z nich odkryto w wypełniskach obiektów, a 1 z powierzchni ara J25.

Wśród żelaznych zabytków odkrytych w wypełniskach obiektów wymienić należy najpewniej okucie lub fragment żelaznego skobla (tabl. 7.14: 5), fragment okucia krawędzi drewnianego przedmiotu, najpewniej skrzynki (tabl. 7.17: 3), oraz fragment nieokreślonego przedmiotu z żelaznej taśmy (tabl. 7.22: 3). Ponadto wystąpiły także dwa przedmioty o podłużnych formach, być może fragmenty szydeł lub przekłuwaczy (tabl. 7.17: 2, 7.25: 6). Niecharakterystyczny przedmiot odkryty na obszarze ara J25 (tabl. 7.28: 4) stanowić może fragmentarycznie zachowany, silnie skorodowany fragment noża lub fragment okucia zabytku drewnianego.

Żużel żelazny

W wypełnisku obiektu 220 wystąpiły także 2 grudki żużla żelaznego, o wymiarach 10,2 × 7,5 × 2,5 (tabl. 7.26: 2) cm oraz 4,5 × 3,0 × 1,9 cm. Wskazują one, że na osadzie odbywać mogła się produkcja metalurgiczna, choć nie został tu rozpoznany żaden obiekt związany z tą dziedziną rzemiosła.

Other iron artefacts

The other iron artefacts are only partially preserved, which makes it impossible to precisely identify and characterise them. Out of the 6 non-characteristic iron objects, 5 were found in feature fills, and 1 was discovered on the surface of are J25.

Among the iron artefacts discovered in feature fills, the most interesting are a fitting or a fragment of an iron staple (Plate 7.14: 5), a fragment of a fitting from the edge of a wooden object, most likely a box (Plate 7.17: 3) and a fragment of an unidentified object made of iron tape (Plate 7.22: 3). Moreover, there were also two oblong objects, probably fragments of awls or perforators (Plates 7.17: 2, 7.25: 6). The non-characteristic object discovered in are J25 (Plate 7.28: 4) may be a partially preserved, heavily corroded fragment of a knife a fragment of a fitting from a wooden object.

Iron slag

In the fill of feature 220, there were also 2 lumps of iron slag, with dimensions of 10.2 × 7.5 × 2.5 cm (Plate 7.26: 2) and 4.5 × 3.0 × 1.9 cm. They indicate that metallurgical production may have taken place in the settlement, although no feature linked to this kind of activity was identified there.

### 7.3.3. Przęśliki

Z osady z okresu rzymskiego w Jabłonicy Ruskiej pochodzi 6 przęślików zachowanych w całości lub fragmentarycznie. Większość z nich została odkryta w wypełniskach obiektów 27 (tabl. 7.3: 1, 2), 100 (tabl. 7.13: 4), 133 (tabl. 7.16: 1, 2), oraz na powierzchni ara T28 (tabl. 7.33: 3). Pięć z nich posiada dwustożkowatą formę z zagłębieniami przy obu biegunach (tabl. 7.3: 1, 2; 7.13: 4; 7.16: 1; 7.33: 3), a jeden z nich posiadał formę cylindryczną (tabl. 7.16: 2). Jeden z przęślików dwustożkowatych posiadał zachowany ornament w formie nacinanych pionowych linii (tabl. 7.13: 4). Przęśliki nie są zabytkami o charakterze datującym, poświadczają natomiast przydomową produkcję nici.

### 7.3.3. Spindle whorls

In the settlement from the Roman period in Jabłonica Ruska, 6 completely or partially preserved spindle whorls were found. Most of them were discovered in the fills of features 27 (Plate 7.3: 1, 2), 100 (Plate 7.13: 4), 133 (Plate 7.16: 1, 2) and on the surface of are T28 (Plate 7.33: 3). Five of them were biconical with hollows at both ends (Plates 7.3: 1, 2; 7.13: 4; 7.16: 1; 7.33: 3), and one of them was cylindrical (Plate 7.16: 2). One of the biconical spindle whorls had a preserved ornament in the form of incised vertical lines (Plate 7.13: 4). Spindle whorls are not artefacts used for dating but they confirm domestic production of thread.

### 7.3.4. Narzędzia kamienne

Na terenie stanowiska odkryto dużą liczbę kamieni, których identyfikacja jako narzędzi (prowadzona w oparciu o analizy makroskopowe) przysparzała pewne trudności. Jako narzędzia kamienne lub ich fragmenty zinterpretowane zostały te okazy, które pochodziły z wypełnisk obiektów, posiadały symetryczne przekroje, a także nosiły ślady wygładzenia przynajmniej jednej powierzchni, głównie płaskiej, lub posiadały formy, sugerujące wykorzystania ich jako narzędzia. W ten sposób wyselekcjonowano 17 kamieni, które w niezbyt pewny sposób zinterpretowane zostały jako fragmenty 15 narzędzi: osełek, płytek szlifierskich, rozcieraczy i gładzików.

Jako osełki określono fragmentarycznie zachowane egzemplarze o regularnych, prostokątnych lub (rzadziej) owalnych przekrojach. Wystąpiły one w obiektach 132, 133, 215 oraz 220 (tabl. 7.14: 4, 7.16: 7, 7.23: 8, 7.25: 4). Wymienione egzemplarze posiadały zróżnicowaną wielkość. Cechował je także różny stopień wypracowania powierzchni. W żadnym przypadku nie zaobserwowano śladów po otworach ani bruzd, które czasami rejestrowane są na tego typu narzędziach (por.: Rakowski, Watemborska-Rakowska 2017).

Drugą z kategorii narzędzi kamiennych rozpoznanych w analizowanym materiale stanowią płytki szlifierskie. Wykorzystywane były zarówno do ostrzenia przedmiotów metalowych, jak i jako podstawki do ich szlifowania. Posiadały nieco większe rozmiary niż osełki oraz nieco inne, bardziej płaskie formy. Wystąpiły w obiektach 84, 100 oraz 220 (tabl. 7.7: 2, 7.12: 7, 7.26: 1).

Najliczniej wystąpiły fragmenty gładzików i rozcieraczy. Do tej grupy zaliczono narzędzia o formie zbliżonej do spłaszczonej kuli (o przekroju owalnym) lub o jednej powierzchni płaskiej (zbliżone w przekroju do trapezu o zaokrąglonych narożnikach). Wyróżniono fragmenty 8 narzędzi tego typu. Wystąpiły w wypełniskach obiektów 27, 84, 100, 133. Większe fragmenty o lepiej zachowanych powierzchniach pracujących wybrano do rysowania (tabl. 7.3: 3, 4; 7.12: 3, 8). Pojedyncze fragmenty nosiły ślady spękań, powstałe najpewniej wskutek przepalenia.

### 7.3.4. Stone tools

A large number of stones were discovered at the site, but identifying them as tools (based on macroscopic analyses) was quite difficult. Stones from features fills with symmetrical cross-sections, with traces of smoothing on, at least, one, usually flat surface, or with shapes suggesting their use as tools were identified as stone tools or fragments of stone tools. In this way, 17 stones were selected. They might be fragments of 15 tools: whetstones, polishing tablets, handstones and polishing stones.

Fragments with regular, rectangular or (less frequently) oval cross-sections were identified as whetstones. They were found in features 132, 133, 215 and 220 (Plates 7.14: 4, 7.16: 7, 7.23: 8, 7.25: 4). They were of various sizes and with different degree of surface wear. No traces of holes or grooves, which are sometimes observed on this type of tools (see: Rakowski, Watemborska-Rakowska 2017), were found.

Polishing tablets are the second category of stone tools identified in the analysed material. They were used both for sharpening metal objects and as stands for polishing them. They were slightly larger than the whetstones, and slightly different, flatter shapes. They were found in features 84, 100 and 220 (Plates 7.7: 2, 7.12: 7, 7.26: 1).

The most numerous were fragments of polishing stones and handstones. This group includes tools with shapes similar to a flattened sphere (with oval cross-section) or with one flat surface (with cross-sections similar to a trapezoid with rounded corners). There were 8 fragments of such tools, found in fills of features 27, 84, 100, 133. Larger fragments, with better preserved working surfaces, were selected and drawn (Plates 7.3: 3, 4; 7.12: 3, 8). Some single fragments had fractures, most likely resulting from burning.

### 7.3.5. Polepa

Z obiektów datowanych na okres rzymski pochodzi w sumie 122 fragmenty polepy. Polepa analizowana była w sposób makroskopowy. Jej wielkość została określona w sposób arbitralny na fragmenty małe (do około 3 $cm^3$), średnie (do około 6 $cm^3$) i duże (ponad 6 $cm^3$). Zdecydowana większość, za wyjątkiem pojedynczych fragmentów, przepalona była na kolor pomarańczowy lub jasnobrązowy. Pojedyncze fragmenty posiadały kolor siwy lub czarny. W większości przypadków w grudkach polepy widoczne były ziarna miki, ale przypuszczalnie był to składnik naturalnie występujący w glinie, a nie dodana intencjonalnie domieszka. W pojedynczych przypadkach widoczne były negatywy po domieszce organicznej w formie sieczki lub ziaren, a także pojedyncze ziarna szamotu ceramicznego.

Wśród fragmentów polepy wyróżniają się te posiadające odciski konstrukcji drewnianych lub opracowane powierzchnie. Dwie dużej wielkości bryły z obiektu 220 (półziemianki) posiadały wygładzoną, płaską jedną stronę, i zinterpretowane zostały jako fragment klepiska bądź wzmocnienia ściany. Nie posiadały odcisków żerdek ani desek. Na jednej z bryłek o powierzchni płaskiej z jednej strony, po przeciwległej stronie wystąpiły odciski żerdek drewnianych. Pozostałe fragmenty to głównie małe i średnie amorficzne grudki, nieposiadające odcisków drewnianych elementów konstrukcji.

### 7.3.5. Daub

There are 122 fragments of daub found in the features dated to the Roman period. The fragments were analysed macroscopically. They were arbitrarily divided into small (up to about 3 cc), medium (up to about 6 cc) and large (over 6 cc). Most of them, except some single fragments, were burnt orange or light brown. Some single fragments were grey or black. In most cases, mica grains were visible in the pieces of daub but, presumably, it was a naturally occurring ingredient in the clay and not an intentionally added admixture. In some cases, there were visible traces of organic admixture – chaff or grains, as well as single pieces of fireclay.

Some fragments of daub have imprints of wooden structures or processed surfaces. Two large pieces of daub from feature 220 (shallow pithouse) had one smooth, flat side and were identified as parts of clay floor or wall support. They had no imprints of boards or perches. One of the pieces with a flat surface on one side, had, on the opposite side, imprints of wooden perches. The rest of the fragments are small and medium amorphous pieces, without imprints of elements of wooden structures.

## 7.4. Analiza przestrzenna osady

Osada z okresu rzymskiego została przebadana fragmentarycznie, przez co niewiele można powiedzieć o jej organizacji przestrzennej i ewentualnym rozwoju chronologicznym. W trakcie badań rozpoznano pozostałości zróżnicowanych konstrukcji wziemnych, w tym głównie półziemianek o różnej liczbie słupów, obiekty z warstwami kamieni (w tym przypuszczalne paleniska czworokątne oraz bruki kamienne) oraz pojedyncze jamy osadowe. Być może część osady została zniszczona wskutek procesów erozyjnych.

## 7.4. Analysis of the spatial arrangement of the settlement

As the settlement from the Roman period was only partly investigated, little can be said about its spatial arrangement and possible development in time. During the research, remains of various semi-sunken structures were identified, mainly shallow pithouses with different numbers of posts, features with layers of stones (including supposed rectangular hearths and stone pavements) and single settlement pits. Perhaps, part of the settlement was destroyed as a result of erosive processes.

Stwierdzić należy, że obiekty wystąpiły w dużym rozproszeniu. Nie jest czytelny żaden regularny czy zorganizowany układ ich rozmieszczenia. Obiekty interpretowane jako relikty półziemianek rozlokowane były w dość dużych odległościach od siebie, wszystkie zorientowane na osi NW-SE. Duże rozrzedzenie obiektów wskazywać może z jednej strony na to, że przebadana została peryferyjna część osady, bądź fakt ten świadczy o małej intensywności osadnictwa w tym miejscu.

Domniemane paleniska czworokątne wystąpiły w dwóch strefach na przebadanym obszarze. Jeden z obiektów tego typu (obiekt 214) odkryty został bezpośrednio obok ziemianki oznaczonej jako obiekt 220. Druga strefa, w której paleniska wystąpiły, to niewielkie ich zgrupowanie w północnej części badanego obszaru. Przypuszczalnie zasięg większego skupiska palenisk wykracza poza przebadany obszar. Zgrupowania palenisk w obrębie osad występują w różnych relacjach do pozostałych elementów zabudowy, przy czym duże ich koncentracje z reguły występują w pewnym oddaleniu od pozostałości zabudowań czy wręcz na peryferyjnych obszarach osad (por.: Muzolf, Muzolf 2015, s. 425). Jako przykłady tego typu rozplanowania podać można osady w Brzeziu, stan. 33, gm. Kłaj, woj. małopolskie (Roczkalski, Włodarczak 2006, s. 360, Ryc. 4), Modlniczce, stan. 2, gm. Wielka Wieś, woj. małopolskie (Byrska-Fudali, Przybyła 2012), Tarnowcu, stan. 1, gm. Tarnów, woj. małopolskie (Szpunar, Okoński 2004, s. 472, Rys. 1) czy w Mysłowicach-Imielnie, stan. 16, woj. śląskie (Tomczak 1993, Ryc. 3). Na terenie dorzecza Sanu większa koncentracja palenisk czworokątnych wystąpiła na osadzie w Pakoszówce, stan. 1, gdzie ich obecność wyznacza strefę produkcyjną osady (Madyda-Legutko et al. 2009). Mniejsze koncentracje palenisk niejednokrotnie występują natomiast w obrębie osad, blisko zwartej zabudowy mieszkalnej lub gospodarczej. Sytuacja taka miała miejsce np. w Białobrzegach, stan. 18 (Karwowski et al. 2013, Ryc. 5), czy badanej przez autorów niniejszego sprawozdania osady w Sanoku, stan. 59–60, gdzie koncentracje palenisk zlokalizowane były na bezpośrednim zapleczu budownictwa słupowego (Bulas et al. 2019).

It should be stated that the features were highly dispersed. No regular or organised arrangement of them was observed. Features identified as remains of shallow pithouses were located at quite large distances from each other, all of them were NW-SE axis-oriented. On the one hand, the high dispersion of features may indicate that only the peripheral part of the settlement was investigated, on the other hand it may prove the low intensity of settlement there.

The alleged rectangular hearths were found in two zones of the investigated area. One of the features of this type (feature 214) was discovered next to the pithouse marked as object 220. The second zone, in which the hearths appeared, is a small cluster of them in the northern part of the investigated area. Presumably, the area covered by the larger cluster of hearths exceeded the investigated area. Groups of hearths within settlements are located at different distance from other buildings and large clusters of them are usually found quite far from the remains of buildings, or even in the peripheral areas of settlements (see: Muzolf, Muzolf 2015, p. 425). Examples of this type of layout are the settlements in Brzeź, site 33, Kłaj commune, Lesser Poland Province (Roczkalski, Włodarczak 2006, p. 360, Fig. 4) Modlniczka, site 2, Wielka Wieś commune , Lesser Poland Province (Byrska-Fudali, Przybyła 2012), Tarnowiec, site 1, Tarnów commune, Lesser Poland Province (Szpunar, Okoński 2004, p. 472, Fig. 1), or in Mysłowice-Imielno, site 16, Silesia Province (Tomczak 1993, Fig. 3). In the San river basin, a greater concentration of rectangular hearths was discovered in the settlement in Pakoszówka, site 1, where it indicates the production zone of the settlement (Madyda-Leguto et al. 2009). On the other hand, smaller concentrations of hearths often occur within settlements, close to residential or utility buildings. Such a layout was discovered, for example, in Białobrzegi, site 18 (Karwowski et al. 2013, Fig. 5), or in the settlement in Sanok, investigated by the authors of this report, at site 59–60, where clusters of hearths were located exactly behind the post frame houses (Bulas et al. 2019).

Inne obiekty gospodarcze posiadające warstwy kamieni zlokalizowane były w bezpośredniej bliskości obiektów wymienionych wyżej. Nie jest możliwa interpretacja funkcji tych obiektów, przez co analiza ich przestrzennego usytuowania w obrębie osady także przedstawia duże trudności.

Zauważyć także należy, że na obszarze nie odkryto pozostałości po większych konstrukcjach słupowych, jakie odkryto w tym regionie na stanowisku w Lesku (Barłowska 1984) i Sanoku 59–60 (Bulas et al. 2019). Oba wymienione stanowiska datowane są na fazę C, a w przypadku drugiego z wymienionych także na wczesną fazę wędrówek ludów. Należy zadać więc pytanie, czy obecność tego typu konstrukcji w jakimś stopniu może wynikać z zależności chronologicznych, czy jedynie jest efektem znacznego rozproszenia obiektów na badanych osadach? Wydaje się obecnie, że to drugie wyjaśnienie jest bardziej prawdopodobne i większe konstrukcje słupowe być może znajdują się w przypadku opisywanego stanowiska w Jabłonicy Ruskiej poza obszarem objętym pracami wykopaliskowymi.

Other utility features with layers of stones were located in the immediate vicinity of the above-mentioned features. As it is not possible to identify their functions, the interpretation of their location within the settlement is also difficult.

It should also be noted that no remains of large post frame structures, which were discovered in this region at the site in Lesko (Barłowska 1984) and Sanok 59–60 (Bulas et al. 2019), were found in the area. Both of the sites are dated to phase C and when it comes to the latter, also to the early phase of the Migration period. Therefore, a question should be asked whether the presence of this type of structures may, to some extent, result from chronological relationships, or is it only the result of a high dispersion of features in the investigated settlements? It now seems that the latter explanation is more probable and larger post frame structures, as for the site in Jabłonica Ruska, may be located outside the area covered by the excavations.

### 7.5. Chronologia osady

Badana osada z okresu rzymskiego dostarczyła zbioru zabytków, który w pewnym stopniu pozwolił na określenie chronologii jej użytkowania. Pojedyncze próbki z wypełnisk wybranych obiektów (100, 132, 147 i 189) zostały poddane dodatkowo analizom i posiadają określone datowanie radiowęglowe wykonane przez prof. dr. hab. Tomasza Goslara w Poznańskim Laboratorium Radiowęglowym (ryc. 7.14. – 7.17.).

Jedynym zabytkiem metalowym posiadającym walory datujące jest fragment rzymskiej fibuli emaliowanej. Ta importowana brązowa zapinka o konstrukcji zawiaskowej należy do typu 5.17, który datować należy najpewniej między połową I i II w. n.e. (Riha 1979, Taf. 78). Takie datowanie współgra z pozycją chronologiczną dużej grupy ceramiki typowej dla wczesnego okresu wpływów rzymskich odkrytej w obiektach w Jabłonicy Ruskiej.

### 7.5. Chronology of the settlement

The settlement from the Roman period provided a collection of artefacts, which allowed, to some extent, identification of the period of time when it was used. Single samples from the fills of selected features (100, 132, 147 and 189) underwent additional analyses to obtain specific radiocarbon dating performed by prof. dr hab. Tomasz Goslar at the Poznań Radiocarbon Laboratory (Figs. 7.14. – 7.17.).

The only metal artefact with dating potential is the fragment of a Roman enamel fibula. This imported bronze fibula with a hinge belongs to type 5.17, which ought to be dated to the period between the middle of the 1st century and the 2nd century AD (Riha 1979, Taf. 78). Such dating corresponds to the chronological position of a large collection of pottery, typical of the early Roman period, discovered in the features in Jabłonica Ruska.

Podstawową kategorią zabytków, która dostarczyła danych na temat faz zasiedlenia tego miejsca, była ceramika. W analizowanym materiale wystąpiły zarówno fragmenty naczyń lepionych ręcznie, w tym charakterystycznych ułamków o czernionych powierzchniach, typowych dla garncarstwa kultury przeworskiej we wczesnym okresie rzymskim, jak i fragmenty pojedynczych naczyń wykonanych przy użyciu koła garncarskiego. Analiza typologiczno-chronologiczna ceramiki lepionej ręcznie pozwoliła stwierdzić, że większość z odkrytych form wiązać należy z fazą B2 wczesnego okresu rzymskiego oraz początkami młodszego okresu rzymskiego (por.: *Ceramika lepiona w ręce*). Także rozpoznane ornamenty odnieść można do tego okresu.

Poza ceramiką lepioną w ręce, w analizowanym materiale wystąpiły także pojedyncze fragmenty ceramiki wykonanej przy użyciu koła garncarskiego. Poza skorupami odkrytymi w warstwach poza wypełniskami obiektów, ceramika produkowana na kole garncarskim wystąpiła w obiektach 98, 132 oraz 147, wspólnie z przeważającą liczebnie ceramiką lepioną. W żadnym z tych obiektów ceramika wykonana na kole nie współwystąpiła z ręcznie lepioną ceramiką o powierzchniach czernionych, a tylko z fragmentami ceramiki kuchennej III lub IV grupy.

Przeprowadzone analizy radiowęglowe tylko w pewnym stopniu pozwoliły określić chronologię wybranych obiektów. W przypadku próbek pochodzących z dwóch obiektów z okresu rzymskiego – obiekty 100 oraz 189, otrzymane daty radiowęglowe nie współgrają z wynikami analiz archeologicznych (ryc. 7.14., 7.15.). Obiekt 100 bez wątpienia jest pozostałością klasycznej półziemianki kultury przeworskiej z wczesnego okresu rzymskiego – na co wskazuje i jego forma, i odkryty w wypełnisku materiał ceramiczny. Także obiekt 189 wiązać należy, w oparciu o określoną funkcję obiektu oraz pochodzący z niego materiał, z okresem wpływów rzymskich.

W przypadku pozostałych dwóch obiektów – 132 oraz 147, datowanie radiowęglowe wskazuje daty odnoszące się do okresu rzymskiego, zarówno jego wcześniejszych faz (w przypadku obiektu 132 –

The most important artefacts, as for providing data on the settlement phases of this place, was pottery. The analysed material consisted of fragments of handmade pottery, including characteristic fragments with blackened surfaces, typical of the Przeworsk culture pottery in the early Roman period as well as fragments of single wheel-thrown vessels. A typological and chronological analysis of the handmade pottery showed that most of the discovered vessels should be linked to phase B2 of the early Roman period, and to the beginning of the younger Roman period (see: Handmade pottery). The identified ornaments can also be connected with this period.

In addition to the handmade pottery, the analysed material also contained single fragments of wheel-thrown pottery. Apart from the fragments discovered in the layers outside the fills of features, wheel-thrown pottery was found in features 98, 132 and 147, together with a larger number of handmade pottery. In none of these features wheel-thrown pottery was found together with handmade pottery with blackened surfaces, but only with fragments of group 3 and 4 kitchen ware.

The radiocarbon analyses helped, only to a certain extent, to determine the chronology of the selected features. When it comes to the samples from the two features from the Roman period – 100 and 189, the obtained radiocarbon dates do not correlate with the results of archaeological analyses (Figs. 7.14., 7.15.). Feature 100 was undoubtedly a shallow pithouse of the Przeworsk culture from the early Roman period – as indicated by its form and the pottery discovered in the fill. Feature 189 should also be linked, based on its specific function and the material discovered in it, to the Roman period.

When it comes to two features – 132 and 147, radiocarbon dating shows dates connected with the Roman period, both its earlier phases (feature 132 – Fig. 7.16.) and the late Roman period (feature 147 – Fig. 7.17.). It is worth noting that one sample of charcoal was obtained from each feature and analysed. Some publications, however, question the reliability of dates obtained from

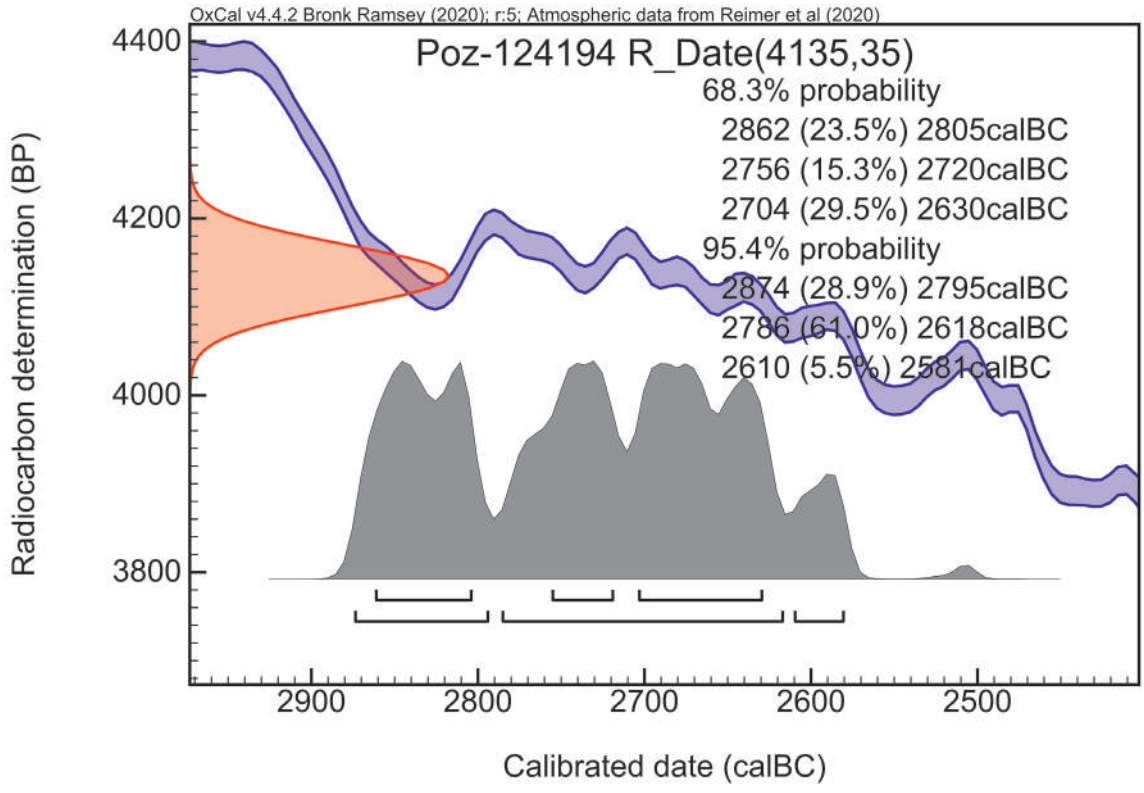


Ryc. 7.14. Jabłonica Ruska, stan. 1. Wyniki datowania radiowęglowego próbki z obiektu 100
Fig. 7.14. Jabłonica Ruska, site 1. Results of radiocarbon dating of a sample from feature 100

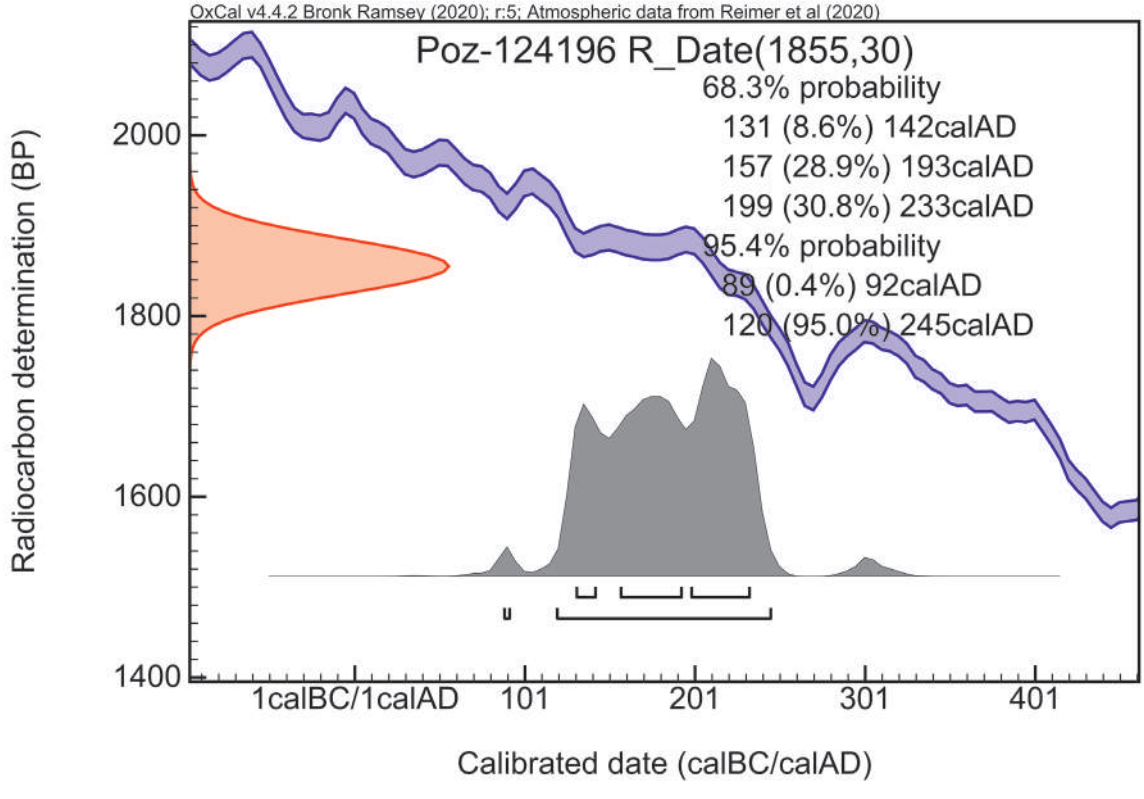


Ryc. 7.15. Jabłonica Ruska, stan. 1. Wyniki datowania radiowęglowego próbki z obiektu 189
Fig. 7.15. Jabłonica Ruska, site 1. Results of radiocarbon dating of a sample from feature 189

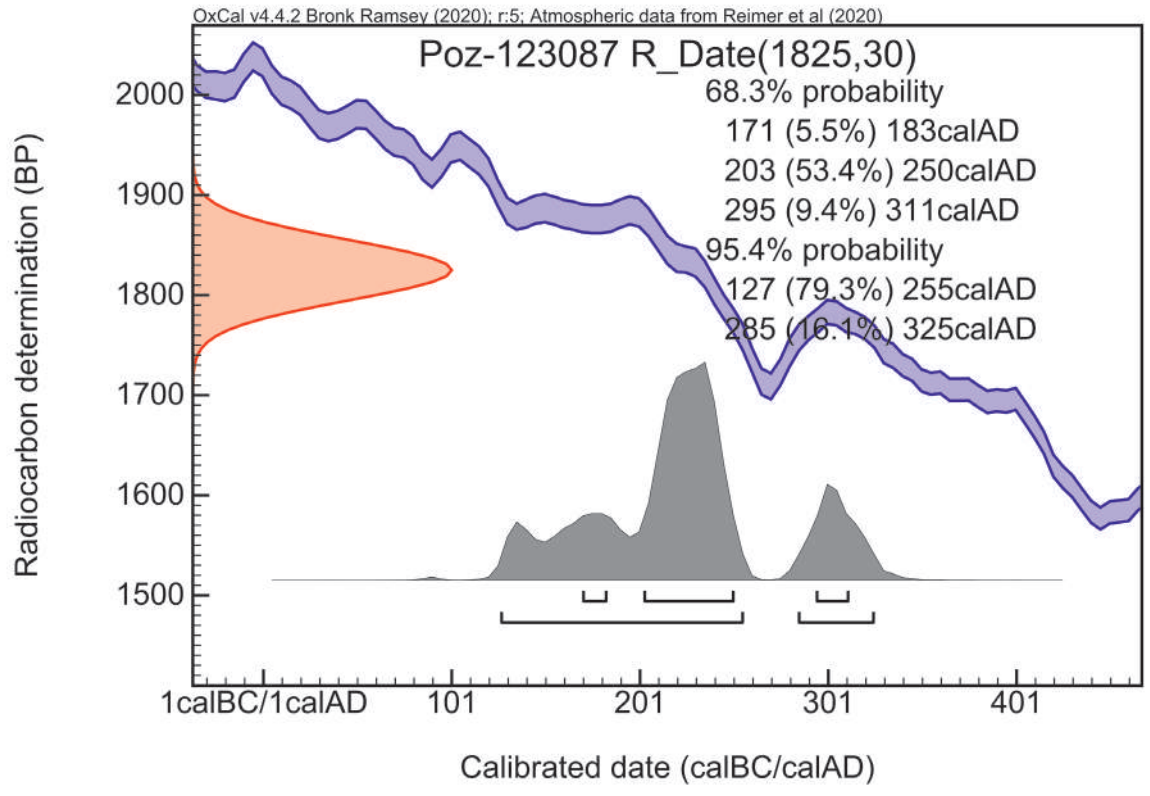


Ryc. 7.16. Jabłonica Ruska, stan. 1. Wyniki datowania radiowęglowego próbki z obiektu 132
Fig. 7.16. Jabłonica Ruska, site 1. Results of radiocarbon dating of a sample from feature 132

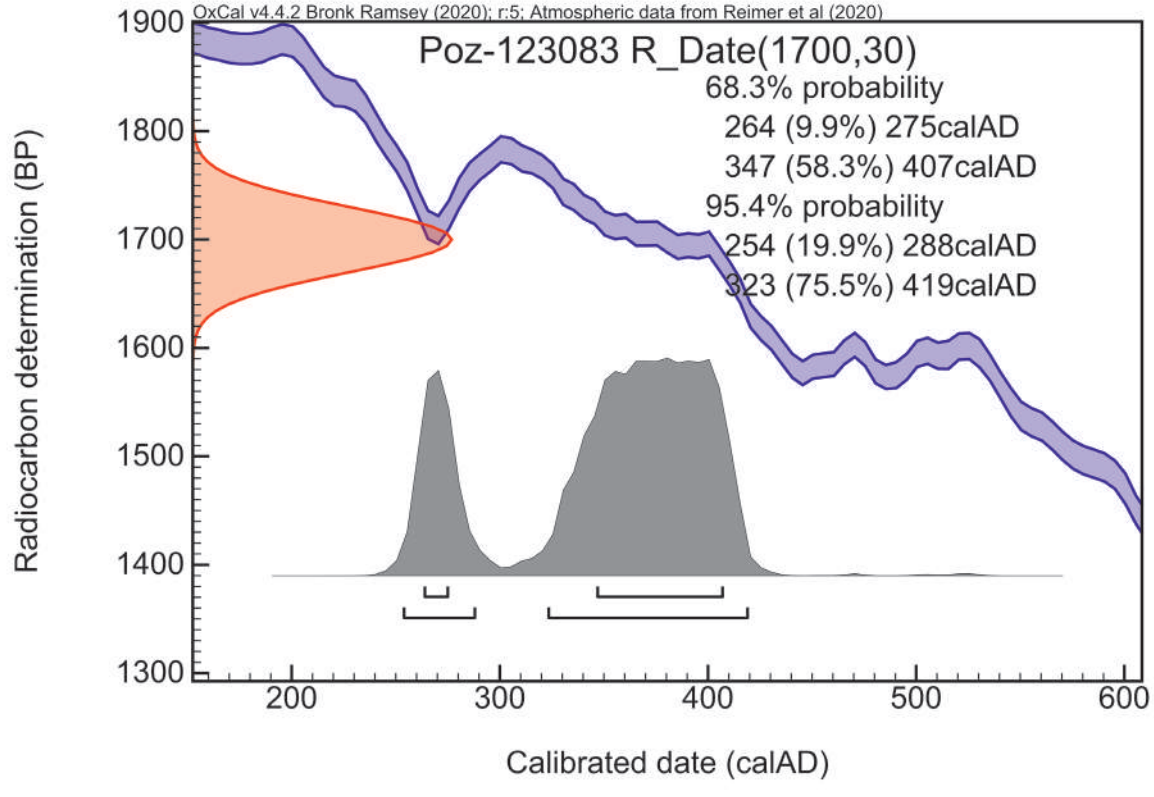


Ryc. 7.17. Jabłonica Ruska, stan. 1. Wyniki datowania radiowęglowego próbki z obiektu 147
Fig. 7.17. Jabłonica Ruska, site 1. Results of radiocarbon dating of a sample from feature 147

ryc. 7.16.), jak i późnego okresu rzymskiego (obiekt 147 – ryc. 7.17.). Warto zwrócić jednak uwagę, że analizom poddano po jednej próbce węgli drzewnych z każdego z obiektów. W literaturze zwracano uwagę na pewne zastrzeżenia wobec wiarygodności dat uzyskiwanych z tego typu próbek (por.: Kadrow 1994; Walanus, Goslar 2009, s. 71–72).

Zwrócenia uwagi wymaga zestaw ceramiczny odkryty w obiekcie 132, który na podstawie analiz $^{14}C$ datować należy najpewniej w przedziale około 120 – 255 roku n.e. (ryc. 7.16., co odpowiada B2b – C1b w chronologii okresu rzymskiego. Zgodnie z aktualnym stanem wiedzy na temat datowania początków produkcji ceramiki siwej wytwarzanej przy pomocy koła garncarskiego, jej pojawienie się na stanowiskach kultury przeworskiej odnieść należy do czasów wojen markomańskich lub okresu bezpośrednio poprzedzającego ten konflikt, a więc najwcześniej około połowy II wieku. Wskazuje się, że w pierwszej kolejności pojawia się ona na terenie dorzecza górnego Sanu lub dorzecza górnej Cisy (por.: Rodzińska-Nowak 2018). O ile okres odpowiadający latom 20. – około 50. II wieku stanowi dolną granicę przedziału chronologicznego wykazanego w badaniach radiowęglowych, o tyle analiza materiału ceramicznego w oparciu o aktualny stan wiedzy przesuwa tę granicę na nieco późniejszy okres. Chronologię obiektu 132 oraz odkryty w nim materiał ceramiczny osadzić należy najpewniej w granicach nie wcześniej niż od połowy lub trzeciej ćwierci II wieku, po połowę III wieku.

Relatywnie szerokie ramy chronologiczne uzyskano dla obiektu 132. Dzięki datowaniu $^{14}C$ – według największego prawdopodobieństwa – datować można go zarówno na okres między pierwszą połową II wieku a połową III wieku, a z mniejszym prawdopodobieństwem także na początek wieku IV. O ile ceramika wykonana na kole garncarskim na obszarze południowo-wschodniej Polski występuje także w zespołach z ceramiką wczesnorzymską, np. na osadach w Tarnowcu, Bessowie czy Otałęży (Okoński et al. 2000; Okoński, Szpunar 2004; Podgórska-Czopek 1999b), o tyle w przypadku Jabłonicy Ruskiej brak jest zespołu, który łączył obie te kategorie naczyń. Jest więc prawdopodobne, że ceramika wykonana

this type of samples (see: Kadrow 1994; Walanus, Goslar 2009, pp. 71–72).

The assemblage of pottery discovered in feature 132, which, based on $^{14}C$ analyses, should probably be dated to, approximately, 120 – 255 CE. (Fig. 7.16), which corresponds to B2b – C1b in the chronology of the Roman period, is quite interesting. According to the current state of knowledge on the dating of the origins of wheel-thrown grey ware production, its appearance in the Przeworsk culture settlements should be linked to the times of the Marcomannic Wars or the period just before this conflict, i.e. around the middle of the 2nd century at the earliest. It is indicated that it first appeared in the basin of the upper San river or the upper Tisza river (see: Rodzińska-Nowak 2018). While the period between the 120s and around 150s CE is the lower limit of the chronological range shown in radiocarbon tests, the analysis of the pottery based on the current state of knowledge shifts this limit to a slightly later period. The chronology of feature 132 and the pottery discovered in it should probably be linked to the period between the middle or the third quarter of the 2nd century and the middle of the 3rd century.

A relatively broad chronological framework was confirmed for feature 132. According to $^{14}C$ analysis, it, most likely, should be dated both to the period between the first half of the 2nd century and the middle of the 3rd century, and, with a lower probability, to the beginning of the 4th century. While wheel-thrown pottery collections found in south-eastern Poland also include vessels from the early Roman period, e.g. in settlements in Tarnowiec, Bessów or Otałęż (Okoński et al. 2000; Okoński, Szpunar 2004; Podgórska-Czopek 1999b) in Jabłonica Ruska there is no feature in which these two categories of vessels were found together. So it is possible that the wheel-thrown pottery found at the site should be linked to later periods.

Based on radiocarbon analyses, feature 147 is dated to the period between the middle of the 3rd century and the beginning of the 5th century (Fig. 7.17.). A characteristic and difficult to

na kole na tym stanowisku powinna być wiązana z późniejszymi okresami.

W oparciu o analizy radiowęglowe obiekt 147 datowany jest na okres od połowy III do nawet początku V wieku (ryc. 7.17.). W obiekcie odkryto także charakterystyczny zestaw ceramiki, trudny do wydatowania, który obejmował formy znajdujące analogie na terenach objętych osadnictwem kręgu kultur dackich. Zaznaczyć należy, że na przebadanej części osady nie odkryto żadnego zabytku, który w sposób pewny datować można na fazy C2 i C3-D. Nie wyklucza to jednak możliwości użytkowania osady w późnym okresie rzymskim lub w okresie wędrówek ludów, choć w oparciu o tylko jedną datę radiowęglową, tak szerokie datowanie chronologii osady, przy jednoczesnym braku zabytków poświadczających taką chronologię, wydaje się mało prawdopodobne.

Interpretując powyższe dane, przyjąć można dwojaką interpretację osady w Jabłonicy Ruskiej. Pierwsza z nich zakłada, że mamy tu do czynienia z pozostałością dwóch osad, które rozdzielał okres hiatusu osadniczego. Lepiej poświadczona w materiałach zabytkowych jest osada datowana na fazę B2 okresu rzymskiego i początki fazy C1, z którą wiązać należy większość przebadanych obiektów, oraz słabiej poświadczonej osady z rozwiniętych stadiów fazy C, do której, w oparciu o datowanie radiowęglowe, odnieść można tylko obiekt 147. Drugą z możliwości interpretacyjnych – w oparciu o pozyskane dane, mniej prawdopodobną – jest to, że badana osada funkcjonowała nieprzerwanie od przynajmniej fazy B2 wczesnego okresu wpływów rzymskich, nawet po fazę C3 lub nawet D włącznie, przy czym zabytki charakterystyczne dla faz C1b-D nie zostały uchwycone lub rozpoznane, a na taką możliwość wskazuje przede wszystkim datowanie za pomocą metody radiowęglowej. Biorąc pod uwagę prawdopodobną możliwość datowania obiektu 147 na 2 połowę III wieku, wtedy ramy chronologiczne osady zamknąć należy na fazy B2b (B2/C1) – C1b/C2.

date assemblage of pottery was discovered in the feature and it included vessels similar to those found in the Dacian culture areas. It should be noted that no artefact that, beyond any doubt, is dated to phases C2 and C3-D was discovered in the investigated part of the settlement. It does not prove that, however, the settlement was not used in the late Roman period or during the Migration period – although based on only one radiocarbon date and with no artefacts confirming such a chronology, dating the settlement to such a long period of time does not seem to be supported by enough evidence.

When interpreting the above-mentioned data, one may draw two conclusions concerning the nature of the settlement in Jabłonica Ruska. The first of them is that we are dealing here with the remains of two settlements separated by the period of the settlement hiatus. The settlement dated to phase B2 of the Roman period and the beginnings of phase C1, confirmed by more finds, to which most of the investigated features should be linked, and the settlement from the developed stages of phase C, confirmed by fewer finds, to which, based on radiocarbon dating, only feature 147 can be linked. The second conclusion – based on the obtained data a less probable one – is that the investigated settlement existed continuously from, at least, phase B2 of the early Roman period to phase C3 or even D, while artefacts characteristic of the C1b-D phases were not found or recognised, and the main indicator here is radiocarbon dating. Taking into account that dating feature 147 to the second half of the third century is possible, the chronological framework of the settlement should be limited to phases B2b (B2 / C1) – C1b / C2.

LITERATURA


Barłowska A.
1984 *Osada z późnego okresu wpływów rzymskich w Lesku, woj. Krosno*, „Materiały i Sprawozdania Rzeszowskiego Ośrodka Archeologicznego za lata 1976–1979", 51–101.

Bichir Gh.
1973 *Cultura Carpica*, Bucareşti.

Boelicke U.
2002 *Die Fibeln aus dem areal der Colonia Ulpia Traiana. Xantener Berichte. Grabung – Forschung – Präsentation, Band 10, Mainz*.

Byrska-Fudali M., Przybyła M.
2012 *Badania ratownicze na stanowisku 2 w Modlniczce, gm. Wielka Wieś*, Raport 2007–2008, 509–554.

Bulas J.
2019 *Late Roman Period and early Migration period in upper San basin*, „Acta Archaeologica Carpathica" 54, 57–76.

Bulas J., Glinianowicz M., Kotowicz P. N., Kubicka-Marek A., Okońska-Bulas M., Płoskoń G.
2022 *Most recent discoveries on Roman period settlement sites in the upper San River basin*, „Recherches Archéologiques, Nouvelle Series" 11, w druku.

Bulas J., Kotowicz P. N., Okońska M.
2019 *A new Roman Period burial ground of the Przeworsk culture from Pakoszówka (the Upper San River basin)*, „Acta Archaeologica Carpathica" 54, 91–106.

Bulas J., Mazurek M., Okońska M., Poradyło W.
2019 *Wielokulturowe stanowisko 59–60 w Sanoku w świetle badań wykopaliskowych z lat 2017–2018*, Raport 14, 55–81.

Cabalska M., Madyda-Legutko R., Tunia K.
1990 *Wyniki badań stanowiska z epoki brązu, początków epoki żelaza i z późnego okresu rzymskiego w Nowym Sączu-Biegonicach*, „Acta Archaeologica Carpathica" 29, 162–214.

Crişan I. H.
1969 *Ceramica daco-getică cu special privire la Transilvania*, Bucureşti.

Crişan V.
2000 *Dacii din Estul Transilvaniei*, Sfântu Gheorghe.

Cyhyłyk W.
1997 *Lipicke poselennja w seli Wodniki na Lvivszczini*, „Materiały i Sprawozdania Rzeszowskiego Ośrodka Archeologicznego" 18, 105–113.

Dąbrowska T.
2017 *Zagadkowe skupiska palenisk na stanowiskach kultury przeworskiej*, [w:] Andrzejowski J., Carnap-Bornheim C., Cieśliński A., Kontny B. (red.), *Orbis barbarorum : studia ad archaeologiam Germanorum et Baltorum temporibus Imperii Romani pertinentia Adalberto Nowakowski dedicata*, Warszawa–Schleswig, 343–351.

Dobrzańska H.
1990a *Osada z późnego okresu rzymskiego w Igołomi, woj. krakowskie*, część I: *Materiały*, Wrocław.
1990b *Osada z późnego okresu rzymskiego w Igołomi, woj. krakowskie*, część II, Kraków.

Elschek K.
2017 *Rímske emailové spony zo Slovenska a nové nálezy emailových spôn zo Záhoria*, [w:] Droberjar E., Komoróczy B. (red.), *Římské a germánské spony ve střední Evropě* (Archeologie barbarů 2012), Brno, 169–180.

Florkiewicz I.
2004 *Problem dackich elementów kulturowych w Karpatach polskich oraz na Podkarpaciu we wczesnym okresie wpływów rzymskich – stan badań*, [w:] Gancarski J. (red.), *Okres lateński i rzymski w Karpatach polskich*, Krosno, 659–678.

Frąsiak P., Gwóźdź B., Siciński W.
2000 *Wyniki ratowniczych badań archeologicznych na terenie odkrywki „Szczerców" KWB „Bełchatów" SA na stan. 12 w miejscowości Chabielice, gm. Szczerców, woj. łódzkie*, [w:] Grygiel R. (red.), *Badania archeologiczne na terenie odkrywki „Szczerców" Kopalni Węgla Brunatnego „Bełchatów" S.A.*, tom I, Łódź, 25–187.

Gedl M.
1997–1998 *Osada z okresu wpływów rzymskich na stanowisku 1 w Bachórzu-Chodorówce, woj. Przemyśl*, „Acta Archaeologica Carpathica" 34, 39–74.

2004 *Uwagi na temat lokalnej specyfiki ceramiki z wczesnego okresu wpływów rzymskich nad górnym Sanem*, [w:] Gancarski J. (red.), *Okres lateński i rzymski w Karpatach polskich*, Krosno, 651–658.

Gindele R.
2015 Die römerzeitlichen Barbarensiedlungen von Livada/Ciuperceni – Photovoltaik-Anlage GPSP Solaris und Supuru de Sus – Togul lui Cosmi. Neue Angaben bezüglich der rechtenckigen Gruben mit gebrannten Wänden aus dem 2.-5. N. Chr. im oberen Theiss-Becken, „Dacia" 59, 83–126.

Glanc-Kwaśny G.
1997 *Materiały kultury przeworskiej z okresu rzymskiego z Nowej Huty-Cła, woj. Kraków*, „Materiały Archeologiczne Nowej Huty" 20, 39–117.

Godłowski K.
1973 *Materiały do poznania kultury przeworskiej na Górnym Śląsku, cz. I*, „Materiały Starożytne i Wczesnośredniowieczne" 2, 255–382.

1977 *Materiały do poznania kultury przeworskiej na Górnym Śląsku, cz. II*, „Materiały Starożytne i Wczesnośredniowieczne" 4, 7–237.

Kadrow S.
1994 *Co datują laboratoria radiowęglowe?*, „Światowit" 39, 143–151.

Karwowski M., Chmielewski B., Kulikowska D., Pelisiak A.
2013 *Białobrzegi, stanowisko 18. Osada z okresu rzymskiego*, Rzeszów.

Kokowski A.
2001 *Ramy chronologiczne osadnictwa kultury przeworskiej w południowo-wschodniej Polsce*, „Wiadomości Archeologiczne" 54 (1999–2001), 109–128.

Kordecki J., Okoński J.
1999 *Mikroregion osadniczy na prawobrzeżu dolnego biegu Raby*, [w:] Czopek S., Kokowski A. (red.), *Na granicach antycznego świata*, Rzeszów, 181–254.

Kotowicz P. N., Glinianowicz M.
2010 *Kolejne odkrycia archeologiczne na wielokulturowej osadzie w Sanoku-Olchowcach, stan. 10*, „Materiały i Sprawozdania Rzeszowskiego Ośrodka Archeologicznego" 31, 93–100.

Lasota A.
2010 *Hand-made storage vessels from the Early Roman Period from south-western Lesser Poland*, „Recherches Archéologiques, Nouvelle Serie s" 2, 79–91.

Lasota A., Stempniak S.
2019 *Cementery in Ostrów, site 21 as the example of multidirectional contacts of the Przeworsk culture people living in the central part of the San River basin in the Early and Younger Roman Period*, „Acta Archaeologica Carpathica" 54, 77–90.

Liana T.
1970 *Chronologia względna kultury przeworskiej we wczesnym okresie rzymskim*, „Wiadomości Archeologiczne", 35/4, 429–491.

Madyda-Legutko R.
1996 *Zróżnicowanie kulturowe polskiej strefy beskidzkiej w okresie lateńskim i rzymskim,* Kraków.

2004 *Polskie Karpaty w okresie późnolateńskim i w okresie wpływów rzymskich. Uwagi dotyczące zróżnicowania kulturowego*, [w:] red. Gancarski J. (red.), *Okres lateński i rzymski w Karpatach polskich*, Krosno, 71–92.

2011 *Drehscheibenkeramik aus dem Gebiet polnischen Karpaten. Zur regionalen Differenzierung*, [w:] Bemmmann J., Hegewisch M., Meyer M., Schmauder M. (red.) *Drehscheibentöpferei im Barbaricum - Technologietransfer und Professionalisierung eines Handwerks am Rande des Römischen Imperiums, Bonn: Inst. für Vor- und Frühgeschichtliche Archäologie der Rheinischen Friedrich-Wilhelms-Univ.*, Bonn, 295–306.

Madyda-Legutko R., Rodzińska-Nowak J.
2010 *Die kulturelle Situation im oberen Sangebiet in der römischen Kaiserzeit im Lichte der neuesten Forschungen*, „Recherches Archeologiques, Nouvelle Series" 2, 65–77.

2017 *Stan i potrzeby badań nad osadnictwem okresu rzymskiego w górnym biegu Sanu*, [w:] Gancarski J. (red.), *Stan i potrzeby badań archeologicznych w Karpatach*, Krosno, 429–450.

2019 *Die kulturelle Situation zur römischen Kaiserzeit im Gebiet des oberen San. Einführung in die Konferenz: „Movement and stabilization. Przeworsk culture in the Upper Tisa River basin in the Roman Period"*, „Acta Archaeologica Carpathica" 54, 9–23.

Madyda-Legutko R., Pohorska-Kleja E., Rodzińska-Nowak J.
2004 *Warsztat garncarski z Sanoka, stan. 54, na tle materiałów ceramicznych z terenu górnego dorzecza Sanu*, [w:] Gancarski J. (red.), *Okres lateński i rzymski w Karpatach polskich*. Materiały z konferencji, Krosno, 691–709.

2006 *Osada z okresu rzymskiego w Pakoszówce, stan. 1, pow. Sanok*, „Rocznik Przemyski" XLII/2 Archeologia, 69–84.

2008 *Ceramika z warsztatu garncarskiego z Sanoka, stan. 54 na tle materiałów ceramicznych z terenu dorzecza górnego Sanu. Próba interpretacji*, [w:] Błażejewski A. (red.), *Ceramika warsztatowa w środkowoeuropejskim Barbaricum*, Wrocław, 9–23.

2009 *Pakoszówka, Gde. Sanok, Woiw. Podkarpackie, Fst. 1 (Siedlung aus der Römischen Kaiserzeit)*, „Recherches Archeologiques, Nouvelle Series" 1, 311–320.

Madyda-Legutko R., Rodzińska-Nowak J., Zagórska-Telega J.
2006 *Prusiek, pow. sanocki, stan. 25. Pierwsze cmentarzysko ludności kultury przeworskiej w polskich Karpatach*, „Wiadomości Archeologiczne" 58, 394–400.

2009 *Prusiek, Fst. 25, Gde. und Kr. Sanok, Woiw. Podkarpackie – das erste Gräberfeld der Bevölkerung der Przeworsk Kultur in den polnischen Karpaten*, „Recherches Archeologiques, Nouvelle Series" 1, 295–309.

2013 *New data concerning the cultural situation in the basin of the Upper San River during the Roman Period*, [w:] Istvánovits E., Kulcsár V. (red.), *Proceedings of the international archaeological conference Wandering and Settled Barbarians in the Carpathian Region and Neighboring Areas (1st-5th cent.) New Finds, New Interpretations held in Nyíregyháza and Satu Mare October 11–14.2010*, Nyíregyháza, 409–422.

Madyda-Legutko R., Smajek I.
2010 *Eine Siedlung der römischen Kaiserzeit in Pakoszówka, Gde. Sanok, Woiw. podkarpackie*, *FSt. 1, im Lichte der von 2007 bis 2008 durchgeführten Ausgrabungen*, „Recherches Archeologiques, Nouvelle Series" 2, 277–289.

Makowicz-Poliszot D.
2022 *Szczątki kostne zarejestrowane w trakcie badań na stanowisku Jabłonica Ruska 1*, [w:] Mazurek M., Okoniewska A., Sznajdrowska-Pondel A. (red.), *Jabłonica Ruska 1 – wielokulturowe stanowiska w dorzeczu górnego Sanu*, Rzeszów, 294-297.

Michałowski A.
2003 *Osady kultury przeworskiej z terenów ziem polskich*, Poznań.

2011 *Budownictwo kultury przeworskiej*, Poznań.

Muzolf P., Muzolf B.
2011 *Bieniądzice, stan. 5, gm. Wieluń, woj. łódzkie – największe (?) piecowisko kultury przeworskiej w Polsce*, [w:] Jaszewska A., Michalak (red.), *Ogień – żywioł ujarzmiony i nieujarzmiony,* Zielona Góra, 257–271.

2015 *Bieniądzice, stan. 5, gm. Wieluń, woj. łódzkie – największe „pole paleniskowe" kultury przeworskiej w Polsce. Zagadnienia funkcji i chronologii*, [w:] Tyszler L., Droberjar E. (red.), *Barbari Superiores et Inferiores. Archeologia Barbarzyńców 2014. Procesy integracji środkowoeuropejskiego Barbaricum*, Łódź–Wieluń, 409–432.

Muzyczuk A., Pohorska-Kleja E.
1994 *Wyniki badań wykopaliskowych w Hłomczy, gm. Sanok, woj. krośnieńskie w latach 1981–1985*. Część I: *Materiały*, „Materiały i Sprawozdania Rzeszowskiego Ośrodka Archeologicznego za rok 1993", 55–154.

Okońska M.
2018 *The case-study of the so-called "pottery depot" from Bessów, site 3, commune Bochnia, Małopolska Province. Archaeological material and re-interpretation of the function*, „Recherches Archéologiques, Nouvelle Series" 9, 347–377.

Okońska M., Bulas J.
2019 Rozdział V. *Osada z późnego okresu wpływów rzymskich i wczesnej fazy okresu wędrówek ludów*, [w:] Mazurek M. (red.), *Opracowanie wyników ratowniczych badań wykopaliskowych na stanowiskach Sanok 59 i Sanok 60, pow. sanocki*, Rzeszów, maszynopis.

Okońska-Bulas M., Bulas J., Mazurek M., Garbacz-Klempka A., Perek-Nowak M.
2020 *A newly discovered fragment of a Hunnic cauldron from site 59–60, Sanok, Poland*, „Acta Archeologia Carpathica" 55, w druku.

Okońska M., Daszkiewicz M., Bobryk E.
2019 *Ceramic technology used in the production of easily abradable pottery (Pakoszówka-Bessów type) from Bessów site 3 in the light of archaeometric analysis*, „Acta Archaeologica Carpathica" 53, 97–128.

Okoński J.
1999–2000 *Osada na stanowisku 3 w Bessowie, gm. Bochnia, na tle nadłabskiego mikroregionu osadniczego*, „Acta Archaeologica Carpathica" 35, 113–197.

Okoński J., Szpunar A.
2004 *Tarnowiec, gm. Tarnów, woj. małopolskie. Osada z młodszego okresu przedrzymskiego*, [w:] Gancarski J. (red.), *Młodszy okres przedrzymski i okres rzymski w Karpatach polskich*, Krosno, 237–262.

Okoński J., Szpunar A., Szpunar B.
2000 *Wyniki nadzoru archeologicznego na stanowisku 3 w Bessowie, gm. Bochnia, woj. małopolskie*, „Materiały i Sprawozdania Rzeszowskiego Ośrodka Archeologicznego" 21, 249–270.

Parczewski M.
1975 *Osada wielokulturowa w Bachórzu, pow. Brzozów, stanowisko 16*, „Materiały i Sprawozdania Rzeszowskiego Ośrodka Archeologicznego za lata 1970–1972", 76–90.

1993 *Wyniki badań wykopaliskowych w Bachórzu w latach 1991–1992*, „Materiały i Sprawozdania Rzeszowskiego Ośrodka Archeologicznego za lata 1991–1992", 205–216.

1996 *Rezultaty badań wykopaliskowych w Bachórzu w latach 1993–1995*, „Materiały i Sprawozdania Rzeszowskiego Ośrodka Archeologicznego" 17, 263–286.

2000 *Piętnasty sezon badań wykopaliskowych na stanowisku 16 w Bachórzu pow. Rzeszów*, „Materiały i Sprawozdania Rzeszowskiego Ośrodka Archeologicznego" 21, 271–283.

2006 *Die Forschungen an der Siedlung mehrerer Kulturen in Bachórz*, Kr. Rzeszów, *FSt. 16. Die Grabungssaisons 15.–19.* „Recherches Archéologiques de 1999–2003", 119–135.

Parczewski M., Pelisiak A., Szczepanek K.
2012 *Najdawniejsza przeszłość polskich Bieszczadów*, „Materiały i Sprawozdania Rzeszowskiego Ośrodka Archeologicznego" 33, 9–41.

Pazda S.
1966 *Ceramika siwa na Dolnym Śląsku w świetle ostatnich odkryć*, „Silesia Antiqua" 8, 75–103.

Pohorska-Kleja E.
2006 *Die Ergebnisse der Forschungen auf der Siedlung mehrerer Kulturen in Sanok, Woiw. Podkarpackie, FSt. 54*, „Recherches Archeologiques de 1999–2003", 212–220.

Podgórska-Czopek J.
1999a *Osada z okresu rzymskiego w Otałęży, pow. Mielec, woj. podkarpackie (stanowisko 1)*, „Materiały i sprawozdania Rzeszowskiego Ośrodka Archeologicznego" 20, 89–163.

1999b *Wstępne opracowanie wyników badań osady kultury przeworskiej w Otałęży, woj. Rzeszów (stanowisko 1)*, [w:] Czopek S., Kokowski A. (red.), *Na granicach antycznego świata*, Rzeszów, 125–140.

Poradyło W.
2014 *Kultura przeworska*, [w:] Poradyło W., Bobak D., Pasterkiewicz W., Połtowicz-Bobak M. (red.), *Wielokulturowe stanowisko nr 5 w Palikówce*, Rzeszów, 72–305.

Prochowicz R.
2003 *„Rzemieślnicza" produkcja ceramiki ręcznie lepionej kultury wielbarskiej w świetle znalezisk z Kamieńczyka -Błonia, pow. Wyszkowski. Die „handwerkliche" Produktion von Keramik der Wielbark-Kultur, angesichts der Funde aus Kamieńczyk-Błonia, Kreis Wyszów, Bericht* über *die Untersuchungen*, Poznań.

Rakowski T., Watemborska-Rakowska K.
2017 *Gniew jest osłą męstwa. Uwagi o osełkach z okresu wpływów rzymskich na podstawie znalezisk z cmentarzyska kultury przeworskiej w Czersku na Urzeczu*, [w:] Andrzejowski J., Carnap-Bornheim C., Cieśliński A.,

Kontny B. (red.), *Orbis barbarorum : studia ad archaeologiam Germanorum et Baltorum temporibus Imperii Romani pertinentia Adalberto Nowakowski dedicata*, Warszawa–Schleswig, 507–536.

Riha E.
1979 *Die römischen Fibeln aus Augst und Kaiseraugst. Mit einem Beitrag von Rudolf Fichter und Chrysta Hochhaus* (Forschungen in Augst 3), Augst.

Roczkalski B., Włodarczak P.
2006 *Badania wykopaliskowe przeprowdzone w latach 2005–2006 na stanowisku 4 w Łysokaniach oraz na stanowisku 33 w Brzeziu*, Raport 2005–2006, 359–369.

Rodzińska-Nowak J.
2006 *Jakuszowice, stanowisko 2. Ceramika z osady kultury przeworskiej z młodszego i późnego okresu wpływów rzymskich i wczesnej fazy okresu wędrówek ludów*, Kraków.

2018 Some remarks on the genesis of wheel-made pottery in the Przeworsk Culture, [w:] Nagy M. L., Szőlősi K. L. (red.), *To make a fairy's whistle from a briar rose. Studies presented to Eszter Istvánovits on her sixtieth birthday*, Nyíregyháza, 313–323.

Skowron J.
2011 *Zagadnienie interpretacji niektórych obiektów gospodarczych o nieokreślonej funkcji z osad kultury przeworskiej w Polsce Środkowej*, Zborník Slovenského Národného Múzea 105, „Archeológia" 21, 191–206.

Stobierska E., Wyszomirski P., Gaweł A.
2008 *Badania ceramiczne i mineralogiczne ceramiki z Sanoka i Pakoszówki*, [w:] Błażejewski A. (red.), *Ceramika warsztatowa w środkowoeuropejskim Barbaricum*, Wrocław, 25–35.

Szpunar A., Okoński J.
2004 *Tarnowiec, gm. Tarnów, woj., małopolskie. Osada z okresu rzymskiego*, [w:] Gancarski J. (red.), *Okres lateński i rzymski w Karpatach polskich*, Krosno, 471–542.

Tomczak E.
1993 *Materiały z osady z późnego okresu rzymskiego w Mysłowicach-Imielnie, woj. Katowice, stanowisko 16*, [w:] Szydłowska E. (red.), *Osada produkcyjna kultury przeworskiej z późnego okresu rzymskiego w Mysłowicach-Imielnie, woj. Katowice,* (Rocznik Muzeum Górnośląskiego w Bytomiu, „Archeologia" 13), Bytom, 7–132.

Tomczyńska Z.
2022 *Wyniki analizy szczątków makroskopowych roślin ze stanowiska Jabłonica Ruska 1*, [w:] Mazurek M., Okoniewska A., Sznajdrowska-Pondel A. (red.), *Jabłonica Ruska 1 – wielokulturowe stanowiska w dorzeczu górnego Sanu*, Rzeszów, Rzeszów, 298-301..

Tunia K.
2004 *Środowiskowe uwarunkowania gospodarki rolniczo-hodowlanej na terenach górskich w czasach prahistorycznych. Casus zachodniokarpackiego osadnictwa późnorzymskiego*, [w:] J. Gancarski (red.), *Okres lateński i rzymski w Karpatach polskich*, Krosno, 329–356.

Walanus A., Goslar T.
2009 *Datowanie radiowęglowe*, Kraków, 71–72.

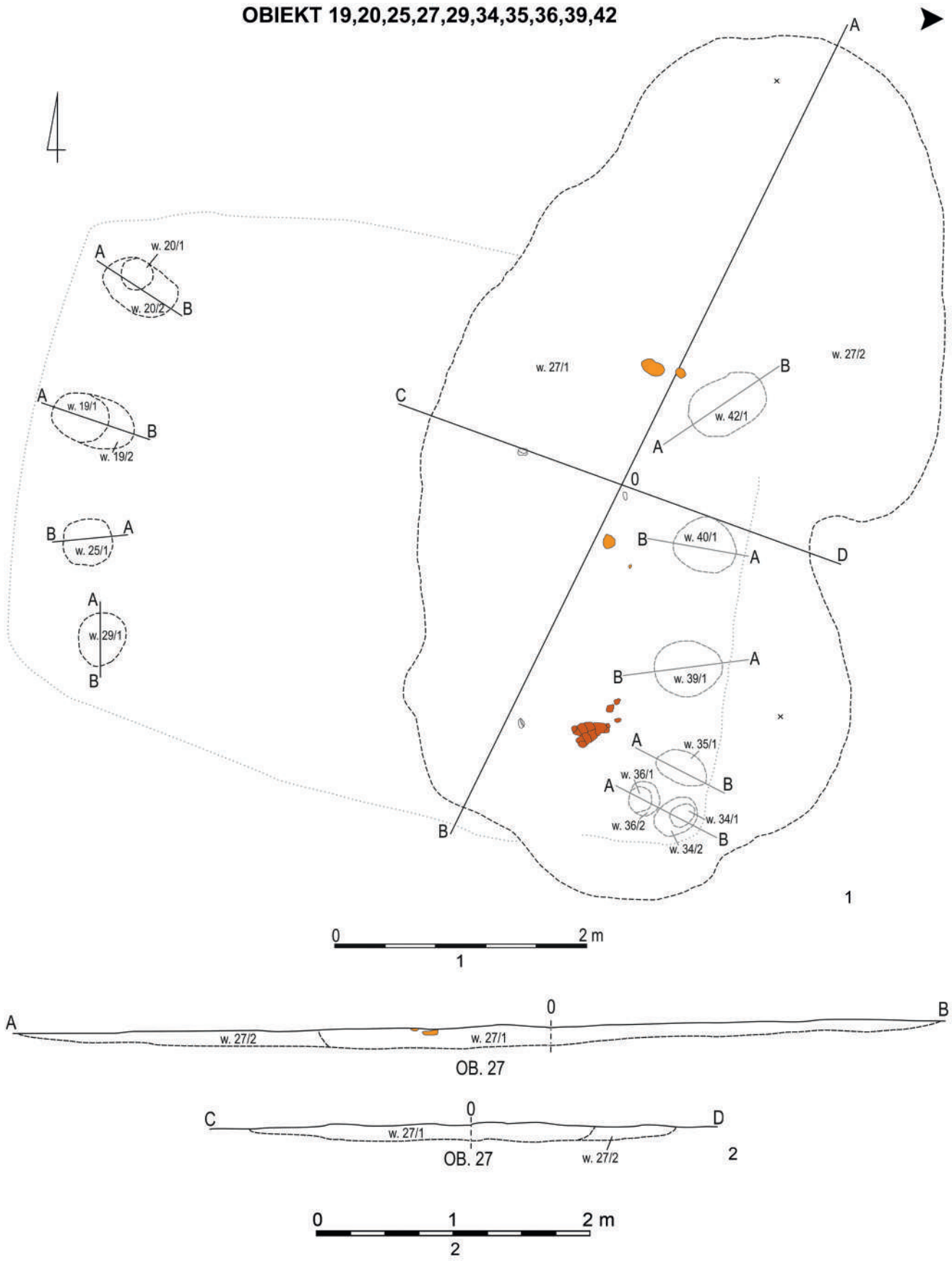


Tabl. 7.1. Jabłonica Ruska, stan. 1. Rzuty poziome i profile obiektów nr: 19 (1), 20 (1), 25 (1), 27 (1, 2), 29 (1), 34 (1), 35 (1), 36 (1), 39 (1), 42 (1)
Plate 7.1. Jabłonica Ruska, site 1. Plans and profiles of features 19 (1), 20 (1), 25 (1), 27 (1,2), 29 (1), 34 (1), 35 (1), 36 (1), 39 (1), 42 (1)

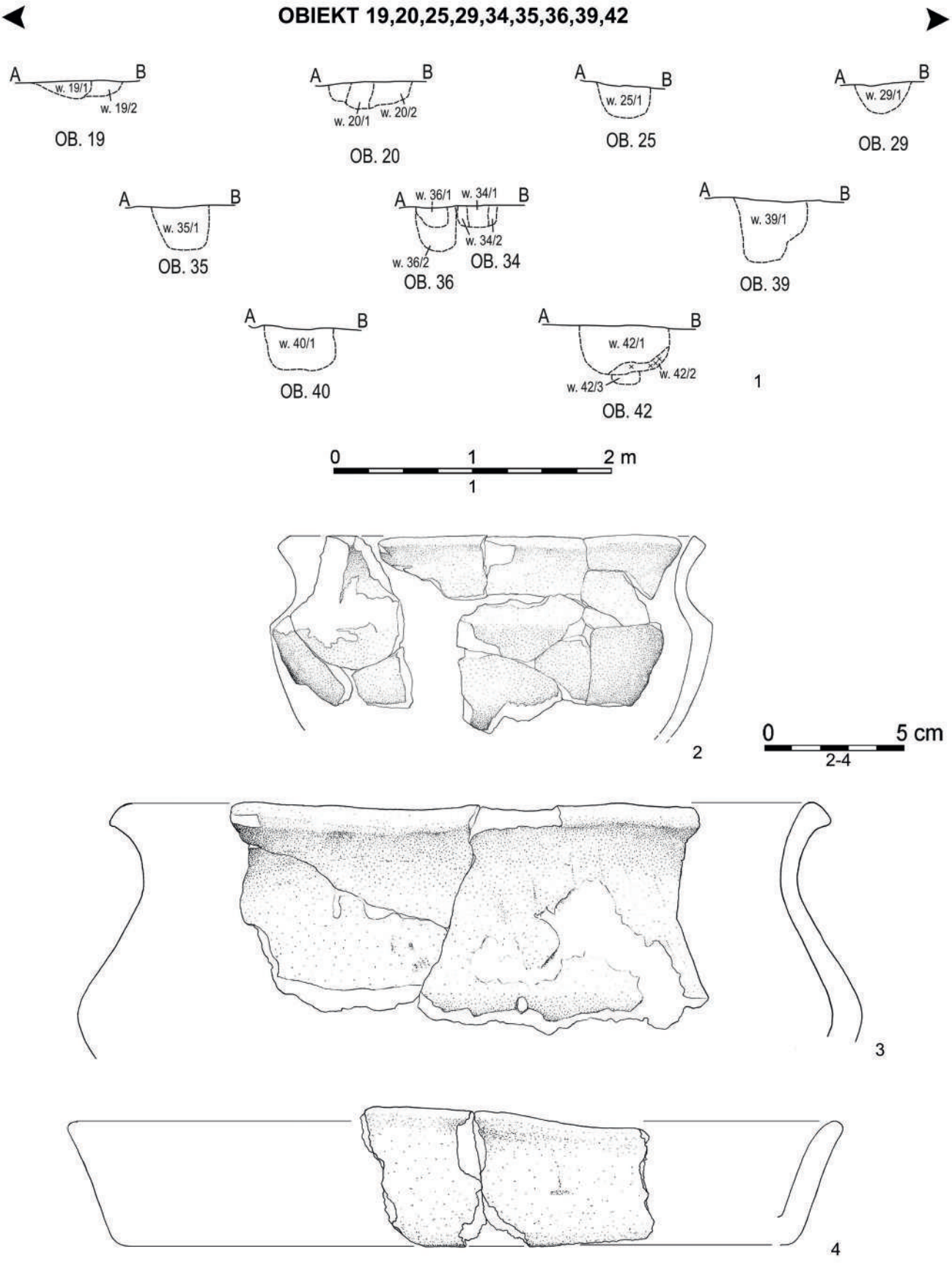


Tabl. 7.2. Jabłonica Ruska, stan. 1. Profile obiektów nr: 19 (1), 20 (1), 25 (1), 29 (1), 34 (1), 35 (1), 36 (1), 39 (1), 40 (1), 42 (1) oraz zabytki ceramiczne z obiektu 27 (2, 3, 4)

Plate 7.2. Jabłonica Ruska, site 1. Profiles of features 19 (1), 20 (1), 25 (1), 29 (1), 34 (1), 35 (1), 36 (1), 39 (1), 40 (1) , 42 (1) and pottery from feature 27 (2, 3, 4)

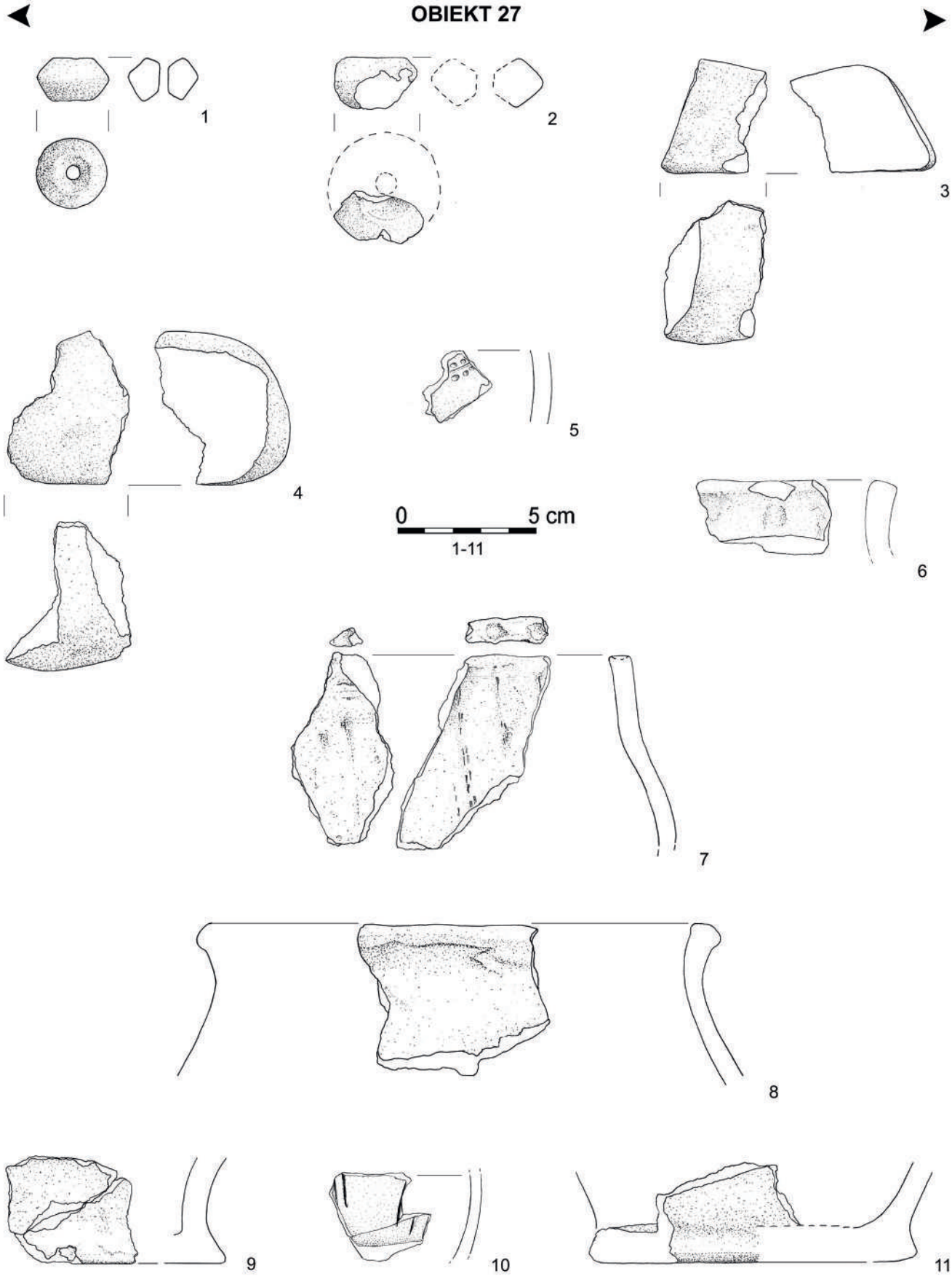


Tabl. 7.3. Jabłonica Ruska, stan. 1. Zabytki ceramiczne i kamienne z obiektu 27 (1, 2, 3, 4, 5, 6, 7, 8, 9, 10, 11)
Plate 7.3. Jabłonica Ruska, site 1. Pottery and stone artefacts from feature 27 (1, 2, 3, 4, 5, 6, 7, 8, 9, 10, 11)

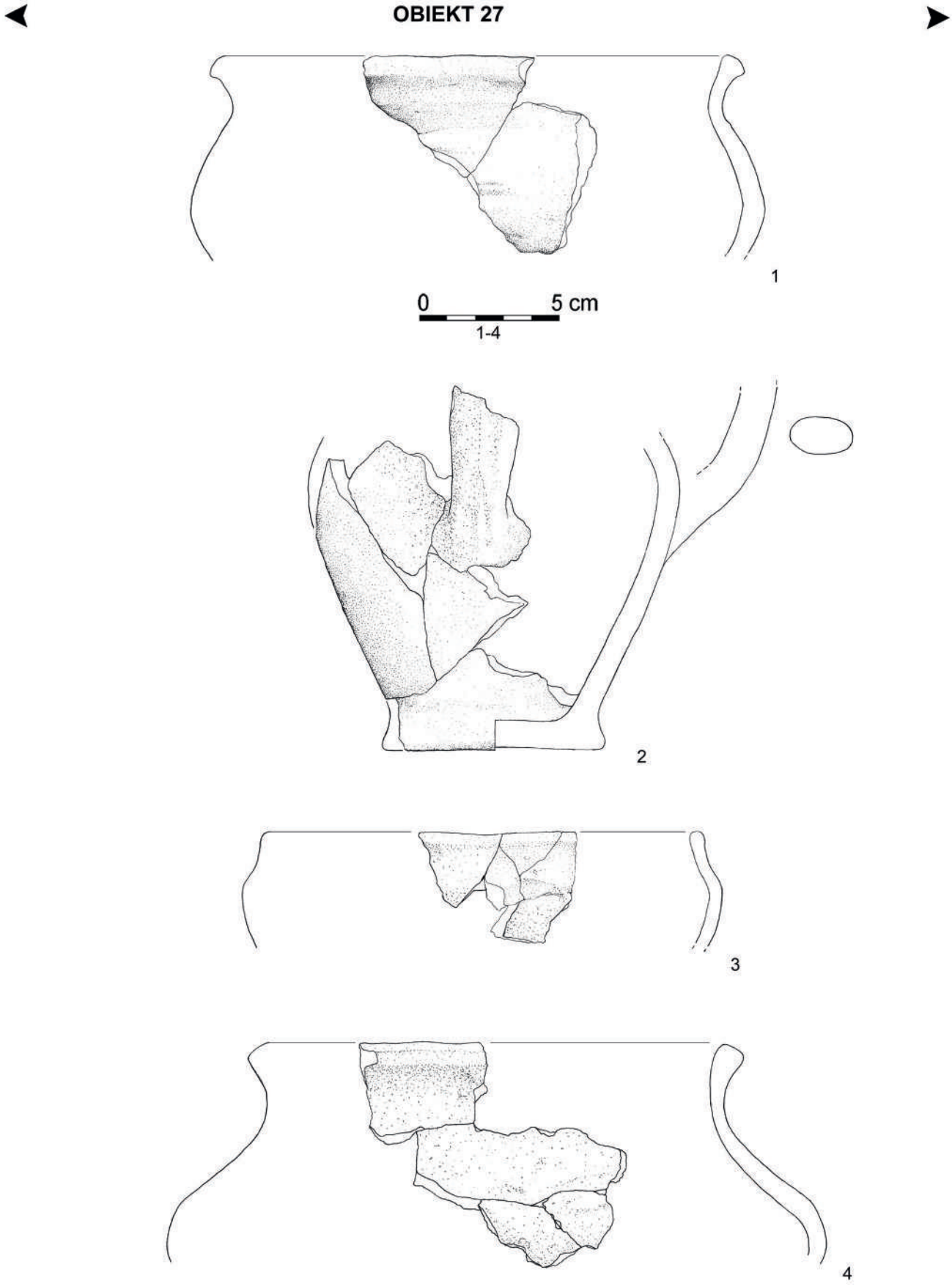


Tabl. 7.4. Jabłonica Ruska, stan. 1. Zabytki ceramiczne z obiektu 27 (1, 2, 3, 4)
Plate 7.4. Jabłonica Ruska, site 1. Pottery from feature 27 (1, 2, 3, 4)

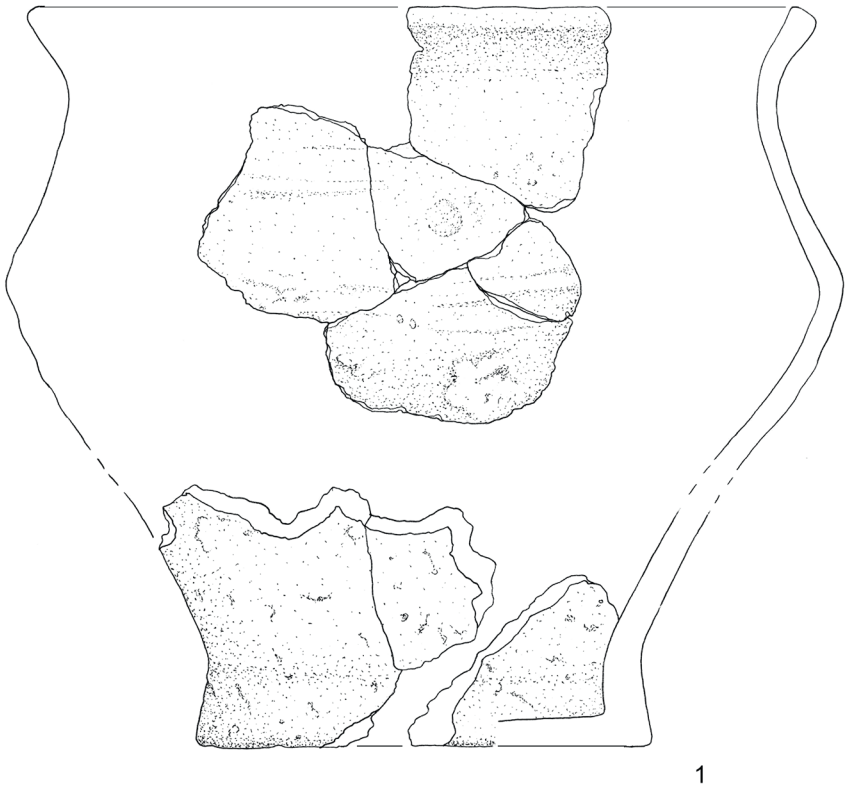

1

0 5 cm

1-2

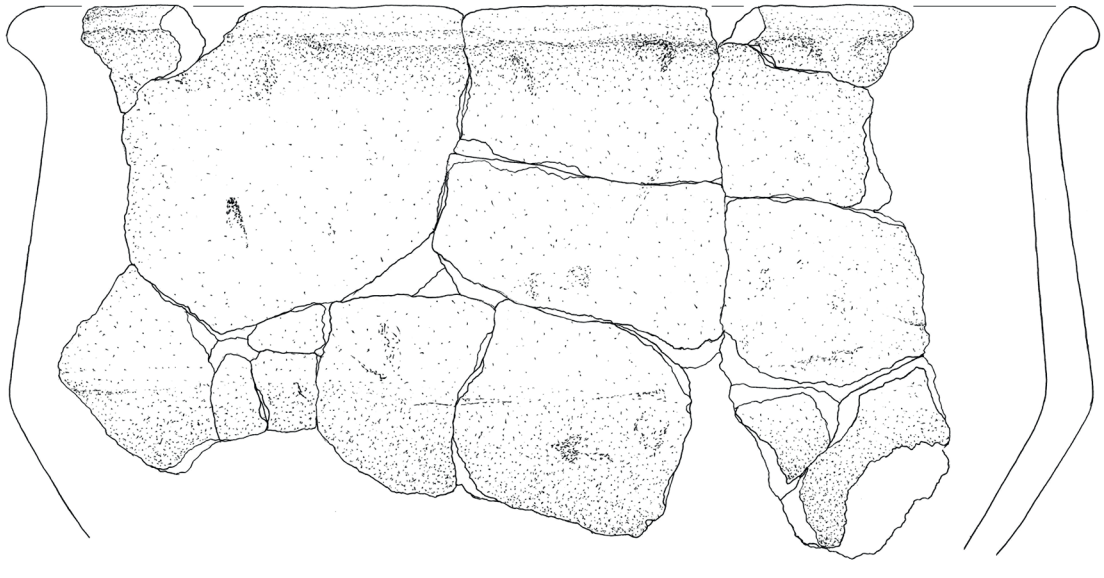

2

Tabl. 7.5. Jabłonica Ruska, stan. 1. Zabytki ceramiczne z obiektu 27 (1, 2)
Plate 7.5. Jabłonica Ruska, site 1. Pottery from feature 27 (1, 2)

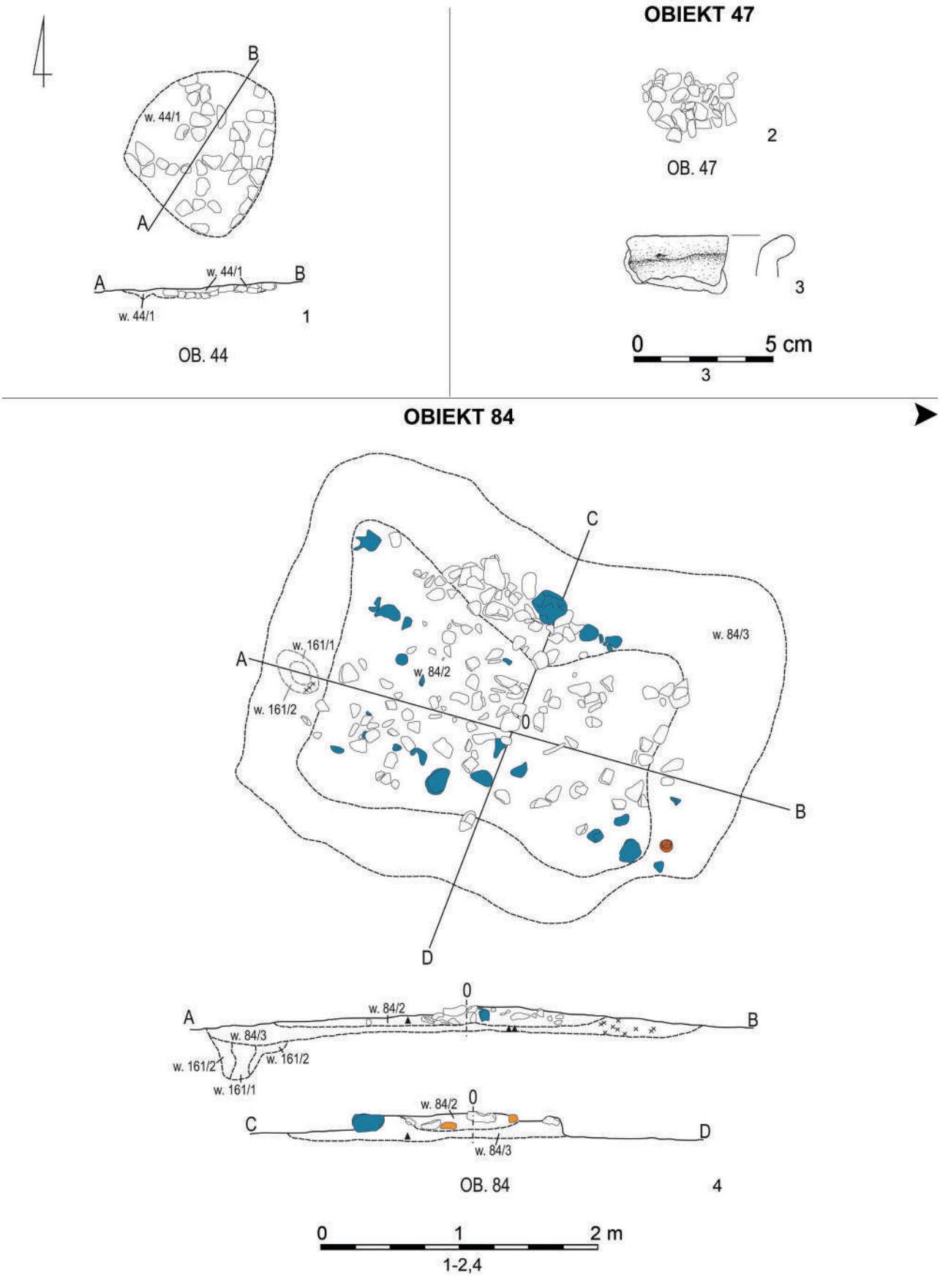


Tabl. 7.6. Jabłonica Ruska, stan. 1. Rzuty poziome i profile obiektów nr: 44 (1), 47 (2), 84 (4) oraz zabytek ceramiczny z obiektu 47 (3)

Plate 7.6. Jabłonica Ruska, site 1. Plans and profiles of features 44 (1), 47 (2), 84 (4) and a Pottery artefact from feature 47 (3)

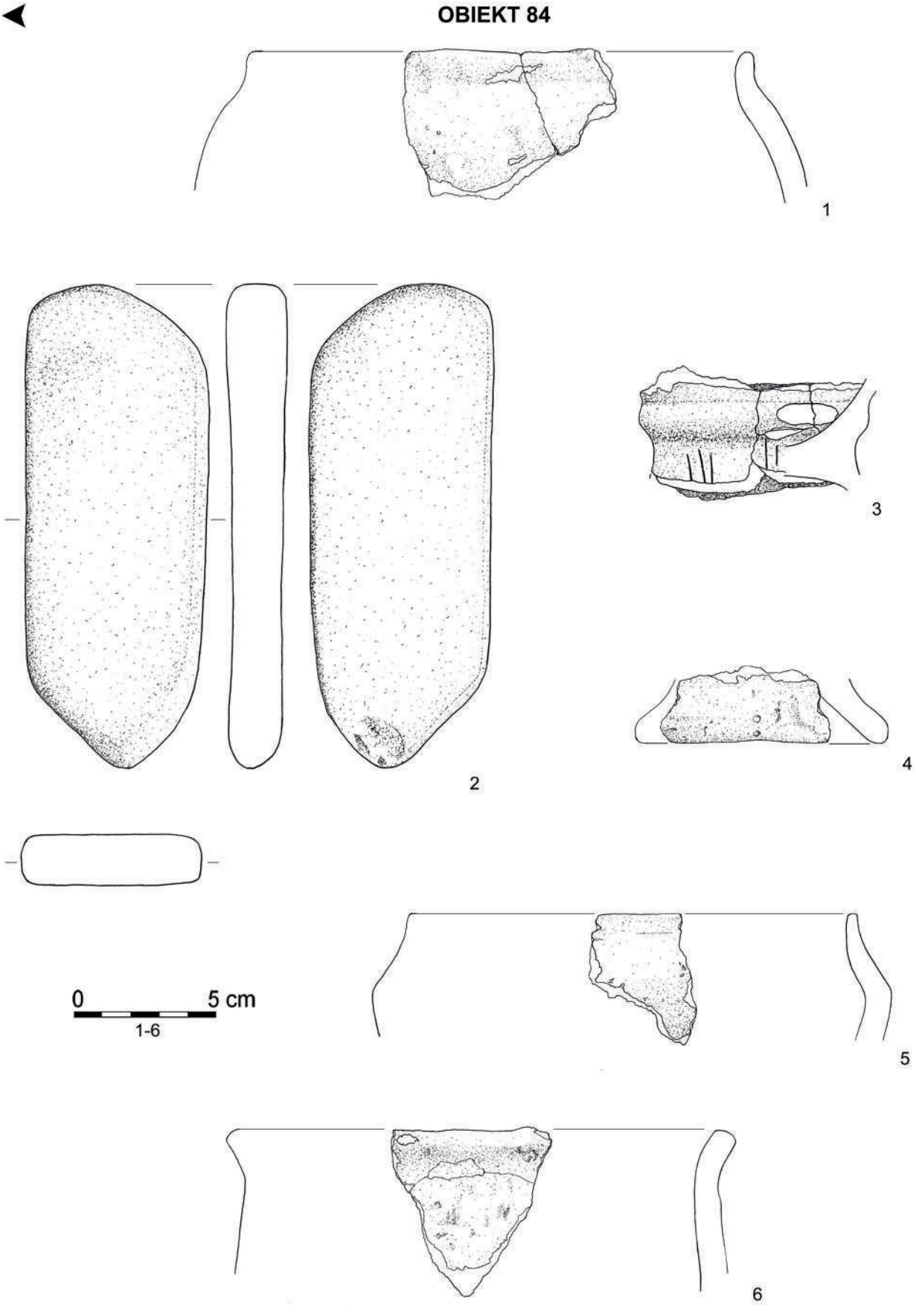


Tabl. 7.7. Jabłonica Ruska, stan. 1. Zabytki ceramiczne i kamienne z obiektu 84 (1, 2, 3, 4, 5, 6)
Plate 7.7. Jabłonica Ruska, site 1. Pottery and stone artefacts from feature 84 (1, 2, 3, 4, 5, 6)

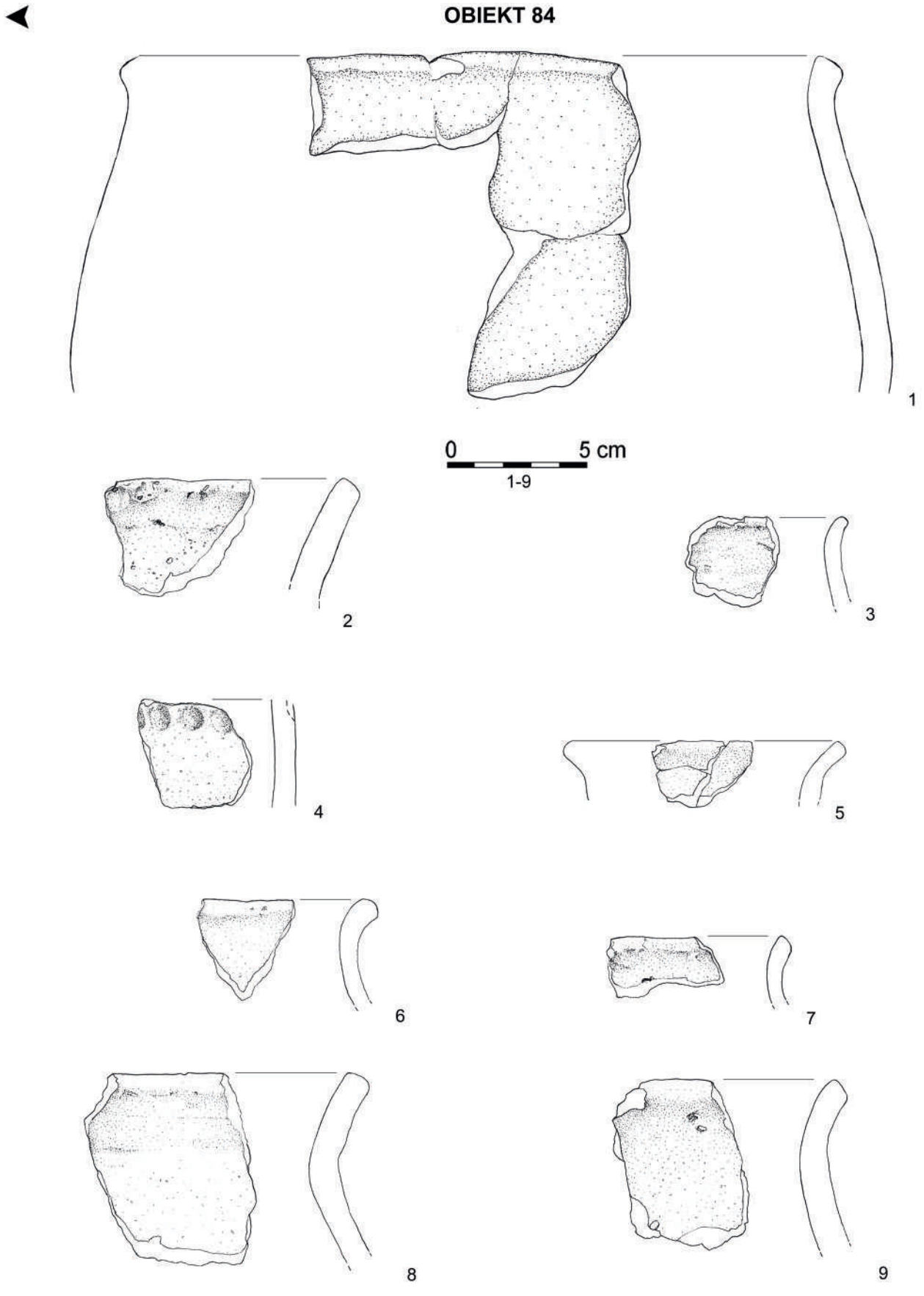


Tabl. 7.8. Jabłonica Ruska, stan. 1. Zabytki ceramiczne z obiektu 84 (1, 2, 3, 4, 5, 6, 7, 8, 9)
Plate 7.8. Jabłonica Ruska, site 1. Pottery from feature 84 (1, 2, 3, 4, 5, 6, 7, 8, 9)

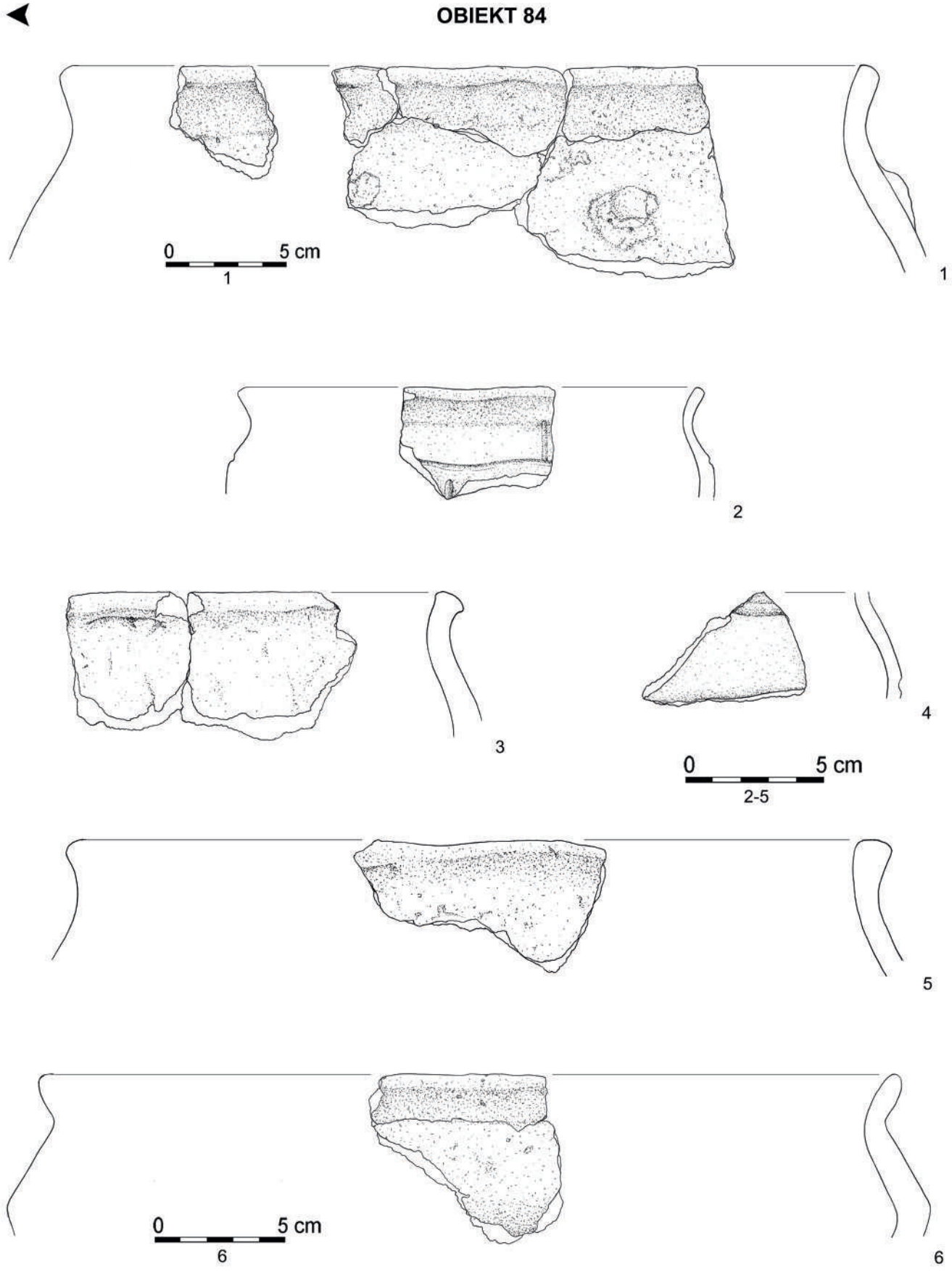


Tabl. 7.9. Jabłonica Ruska, stan. 1. Zabytki ceramiczne z obiektu 84 (1, 2, 3, 4, 5, 6)
Plate 7.9. Jabłonica Ruska, site 1. Pottery from feature 84 (1, 2, 3, 4, 5, 6)

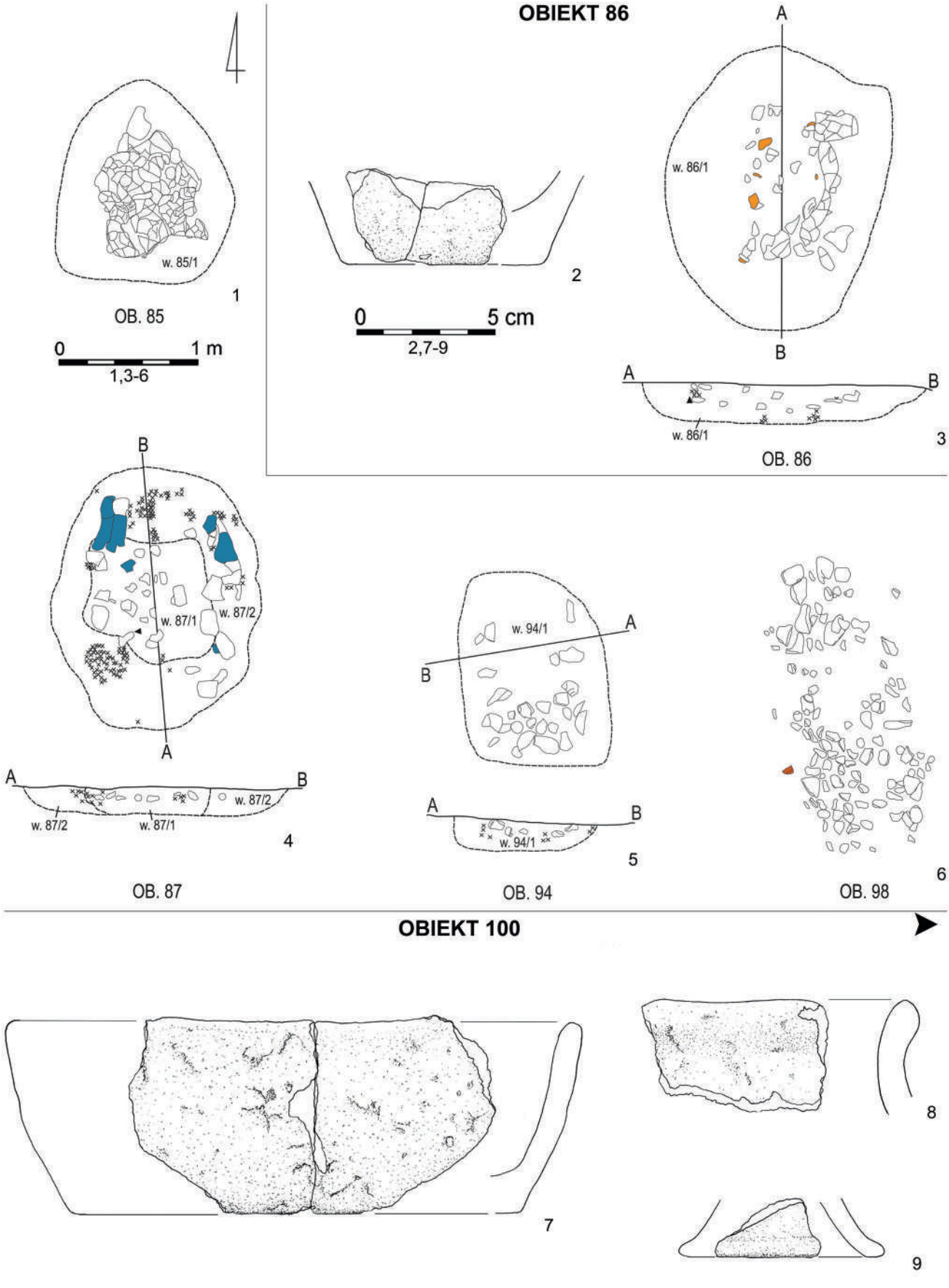


Tabl. 7.10. Jabłonica Ruska, stan. 1. Rzuty poziomie i profile obiektów nr: 85 (1), 86 (3), 87 (4), 94 (5), 98 (6) oraz zabytki ceramiczne z obiektów 86 (2), 100 (7, 8, 9)

Plate 7.10. Jabłonica Ruska, site 1. Plans and profiles of features 85 (1), 86 (3), 87 (4), 94 (5), 98 (6) and pottery from features 86 (2), 100 (7, 8, 9)

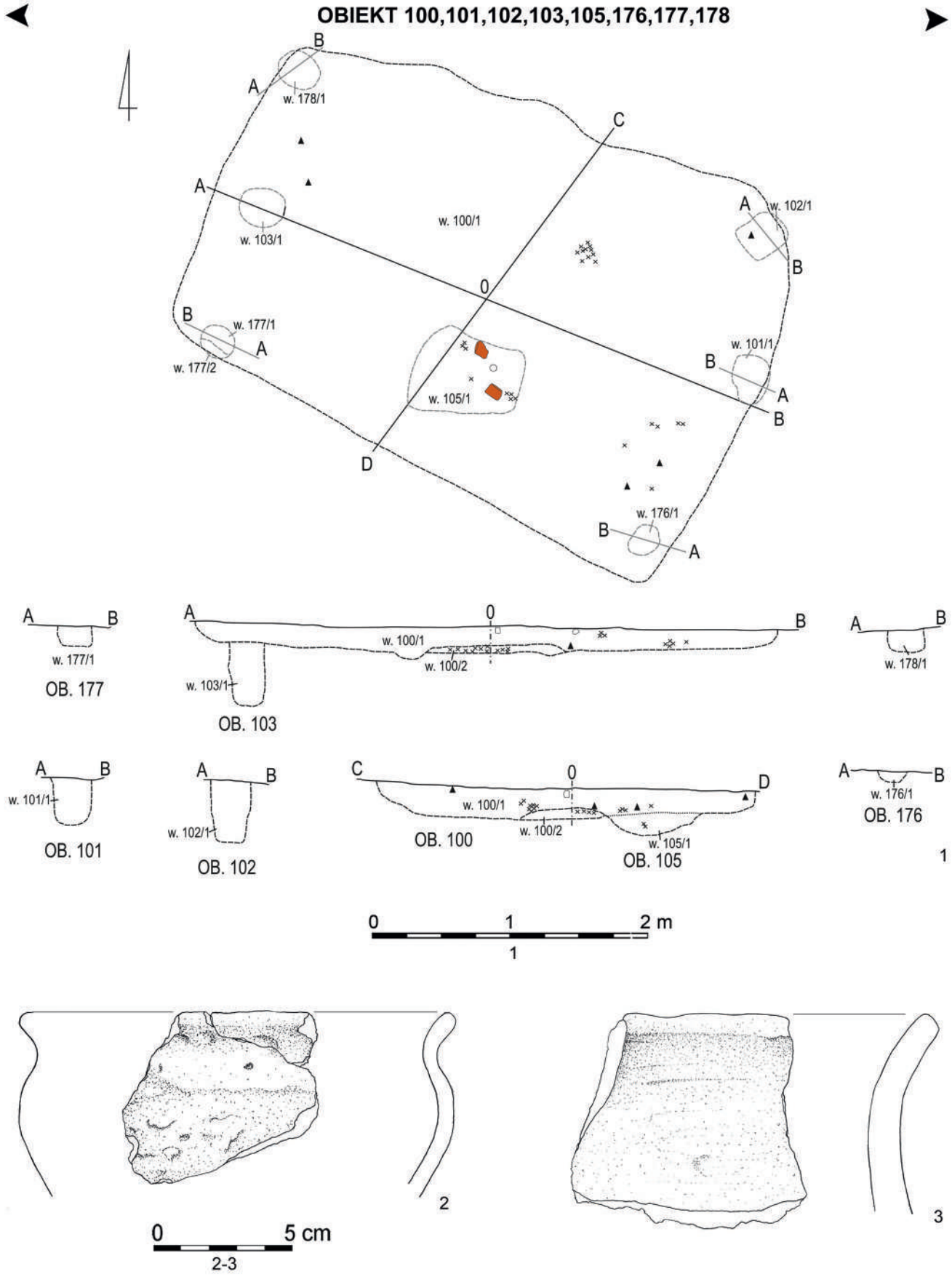


Tabl. 7.11. Jabłonica Ruska, stan. 1. Rzuty poziome i profile obiektów nr: 100 (1), 101 (1), 102 (1), 103 (1), 105 (1), 176 (1), 177 (1), 178 (1) oraz zabytki ceramiczne z obiektu 100 (2, 3)

Plate 7.11. Jabłonica Ruska, site 1. Plans and profiles of features 100 (1), 101 (1), 102 (1), 103 (1), 105 (1), 176 (1), 177 (1), 178 (1) and pottery from feature 100 (2, 3)

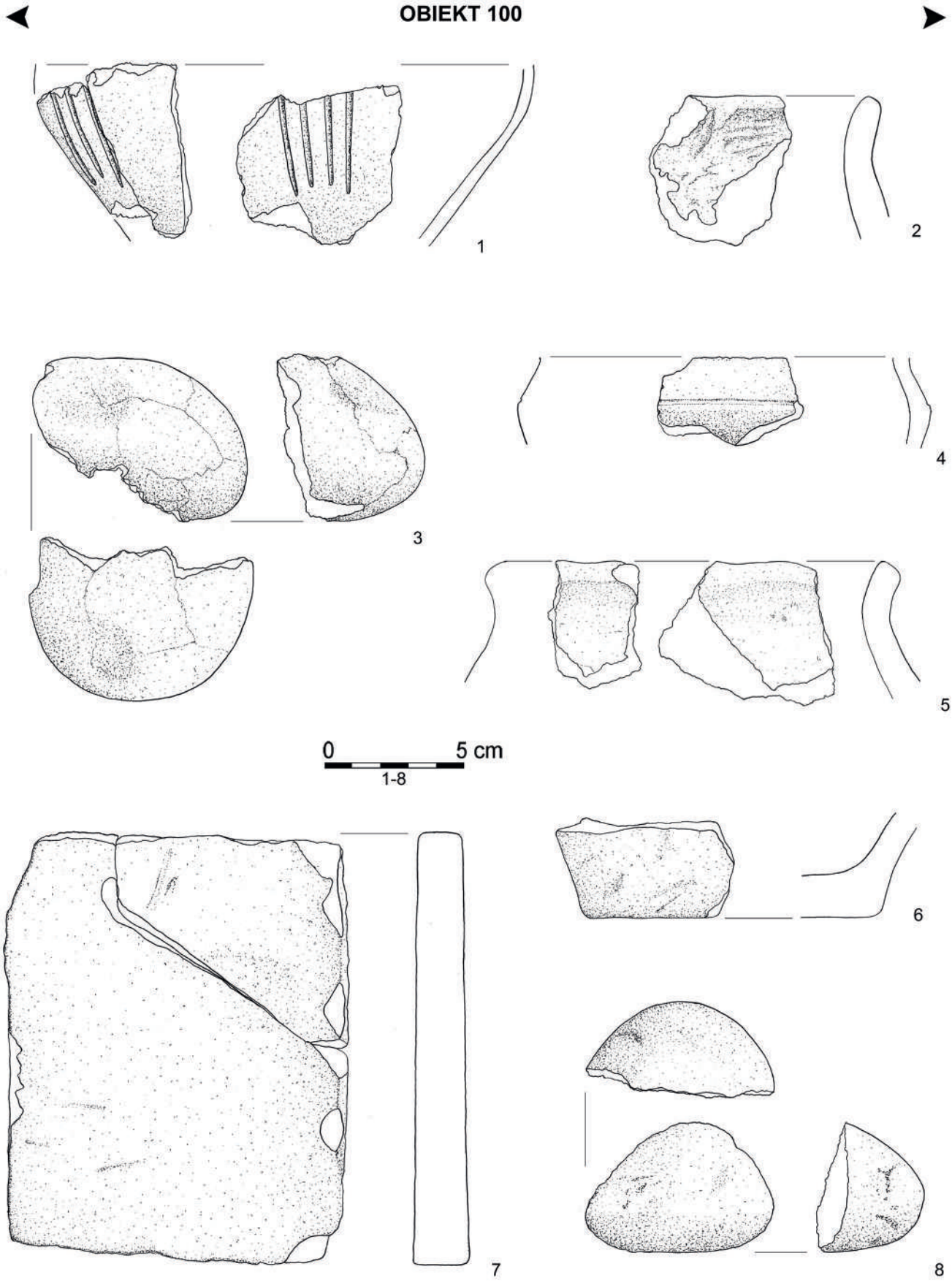


Tabl. 7.12. Jabłonica Ruska, stan. 1. Zabytki ceramiczne i kamienne z obiektu 100 (1, 2, 3, 4, 5, 6, 7, 8)
Plate 7.12. Jabłonica Ruska, site 1. Pottery and stone artefacts from feature 100 (1, 2, 3, 4, 5, 6, 7, 8)

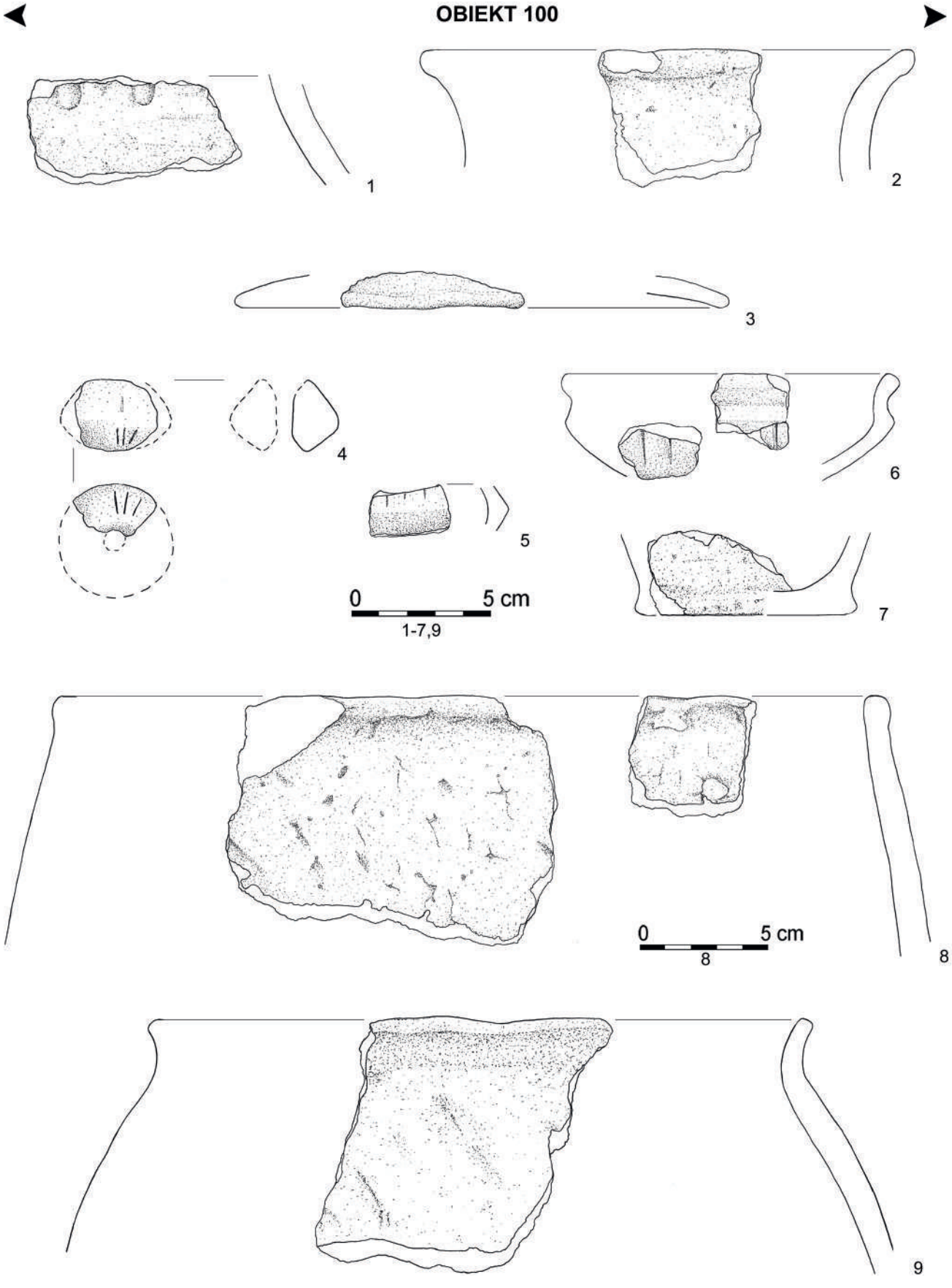


Tabl. 7.13. Jabłonica Ruska, stan. 1. Zabytki ceramiczne z obiektu 100 (1, 2, 3, 4, 5, 6, 7, 8, 9)
Plate 7.13. Jabłonica Ruska, site 1. Pottery from feature 100 (1, 2, 3, 4, 5, 6, 7, 8, 9)

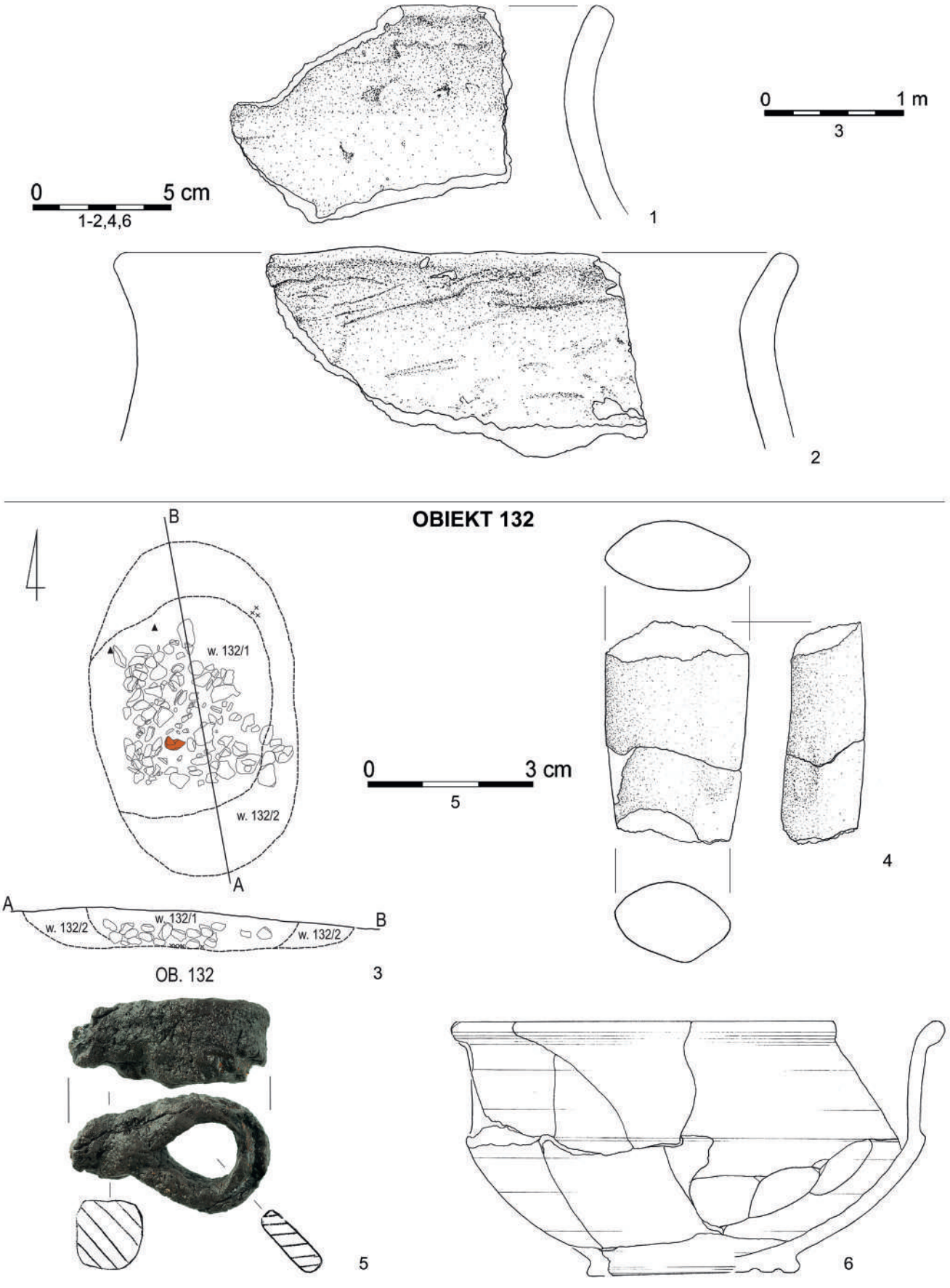


Tabl. 7.14. Jabłonica Ruska, stan. 1. Rzut poziomy i profil obiektu nr: 132 (3) oraz zabytki ceramiczne, kamienne oraz metal z obiektu 132 (4, 5, 6)

Plate 7.14. Jabłonica Ruska, site 1. Plan and profile of feature 132 (3) and pottery, stone and metal artefacts from feature 132 (4, 5, 6)

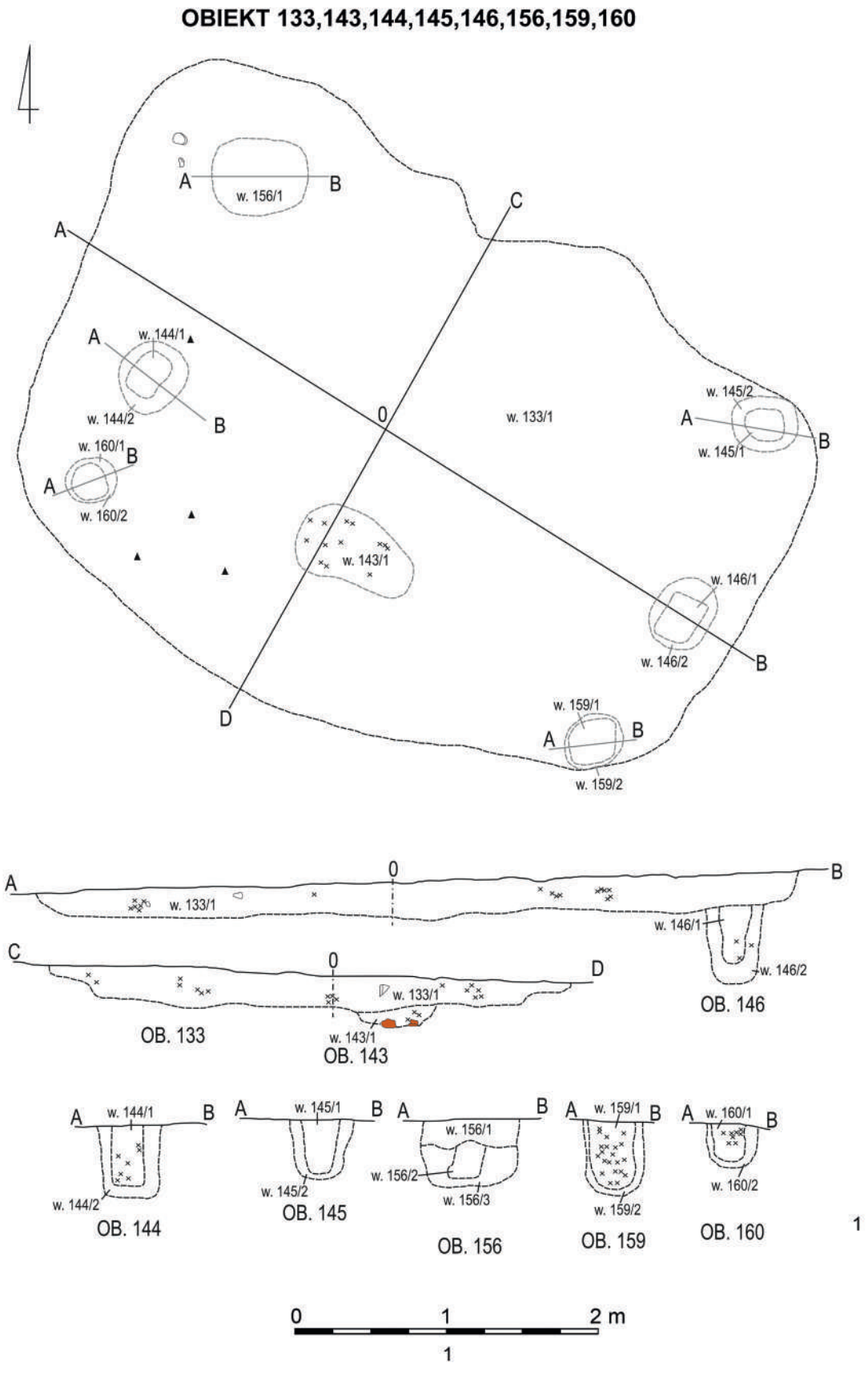


Tabl. 7.15. Jabłonica Ruska, stan. 1. Rzuty poziome i profile obiektów nr: 133 (1), 143 (1), 144 (1), 145 (1), 146 (1), 156 (1), 159 (1), 160 (1)

Plate 7.15. Jabłonica Ruska, site 1. Plans and profiles of features 133 (1), 143 (1), 144 (1), 145 (1), 146 (1), 156 (1), 159 (1), 160 (1)

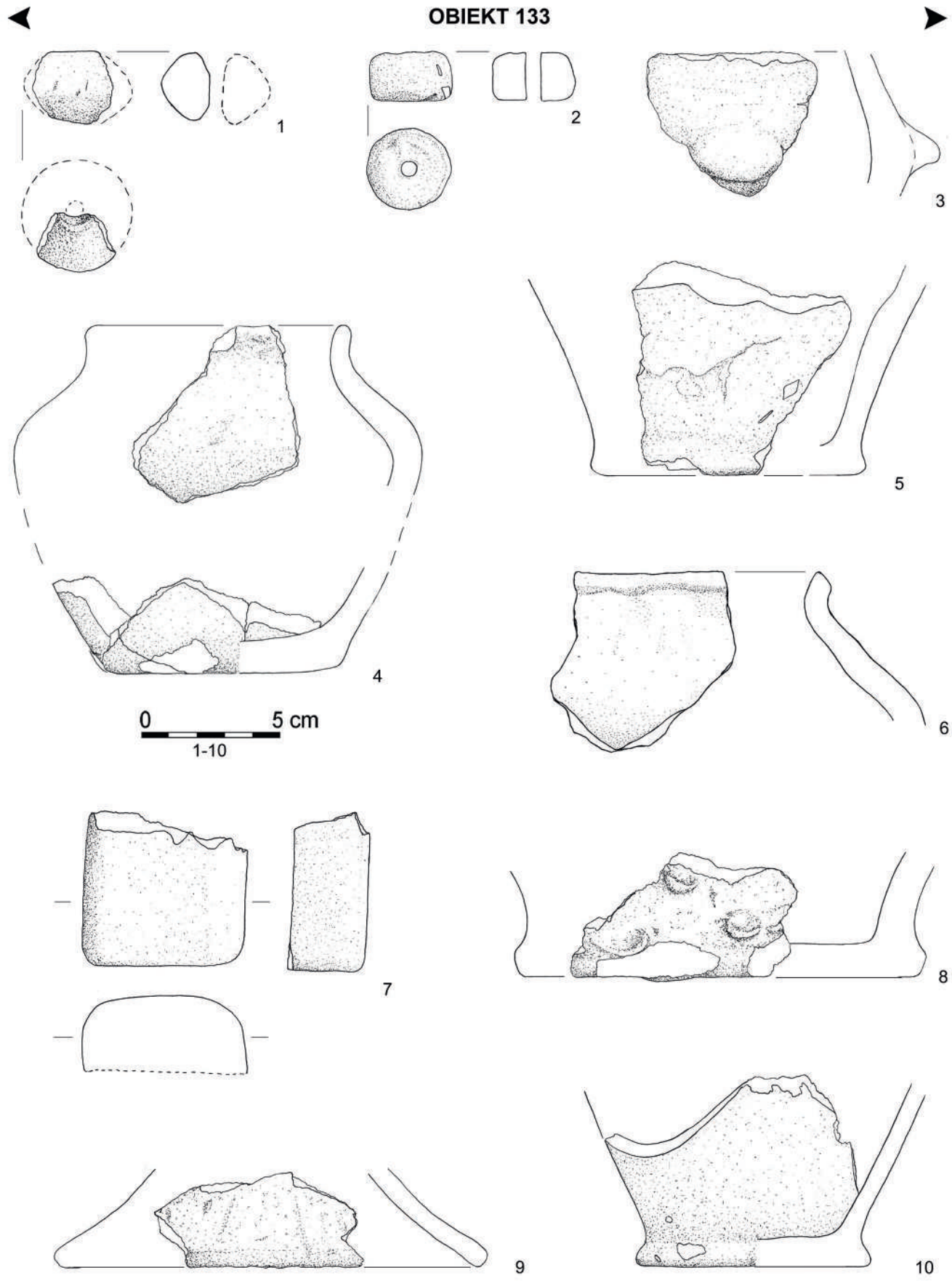


Tabl. 7.16. Jabłonica Ruska, stan. 1. Zabytki ceramiczne i kamienne z obiektu 133 (1, 2, 3, 4, 5, 6, 7, 8, 9, 10)
Plate 7.16. Jabłonica Ruska, site 1. Pottery and stone artefacts from feature 133 (1, 2, 3, 4, 5, 6, 7, 8, 9, 10)

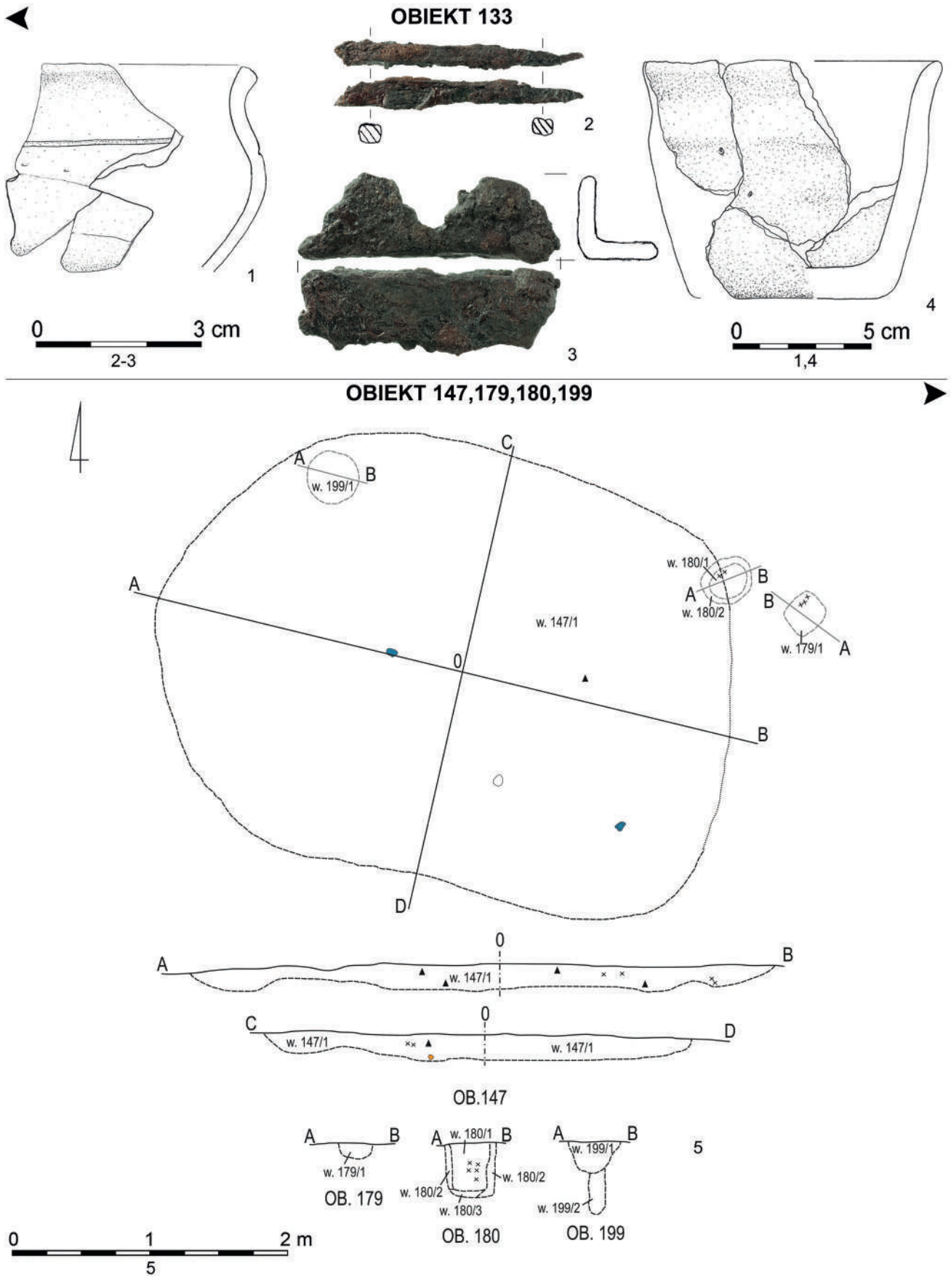


Tabl. 7.17. Jabłonica Ruska, stan. 1. Rzuty poziome i profile obiektów nr: 147 (5), 179 (5), 180 (5), 199 (5) oraz zabytki ceramiczne i metale z obiektu 133 (1, 2, 3, 4)

Plate 7.17. Jabłonica Ruska, site 1. Plans and profiles of features 147 (5), 179 (5), 180 (5), 199 (5) and pottery and metal artefacts from feature 133 (1, 2, 3, 4)

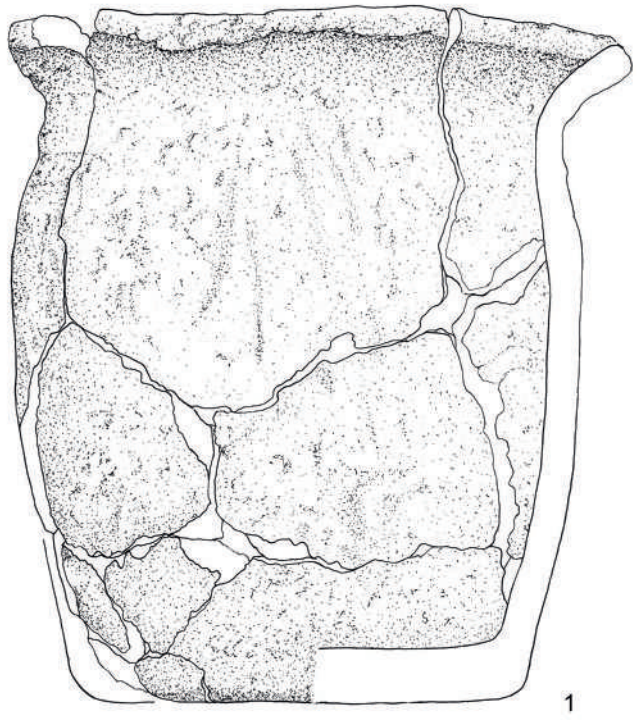


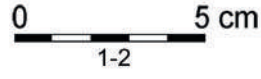


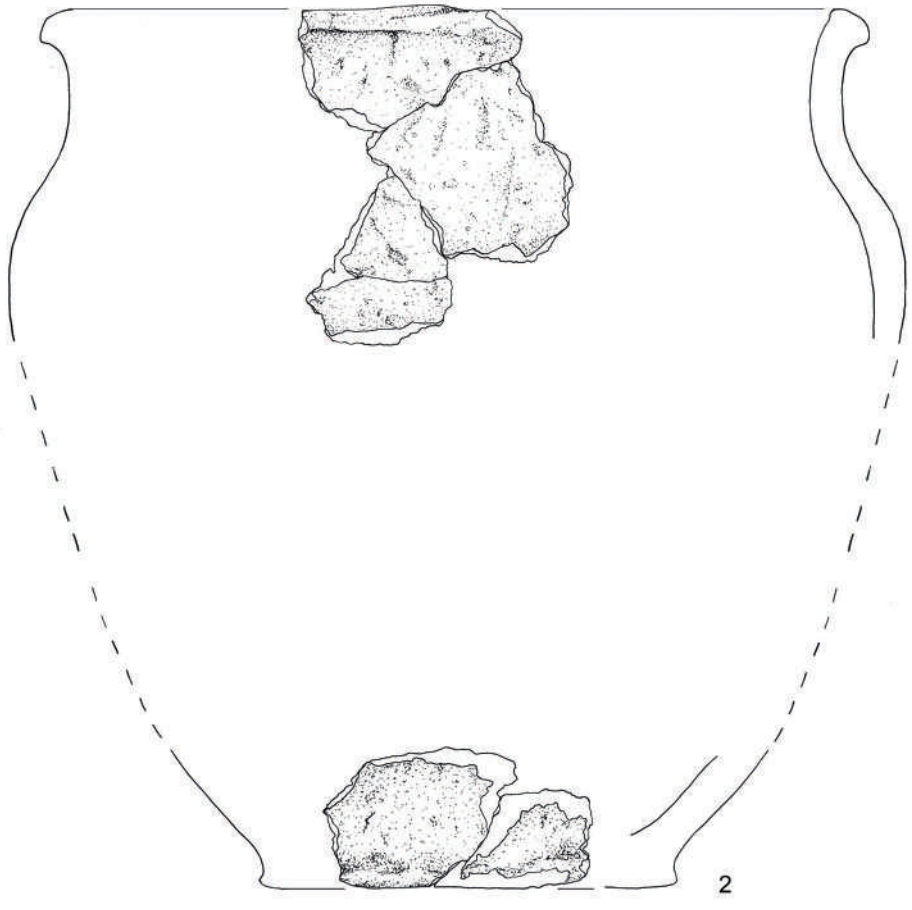


Tabl. 7.18. Jabłonica Ruska, stan. 1. Zabytki ceramiczne z obiektu 147
Plate 7.18. Jabłonica Ruska, site 1. Pottery from feature 147

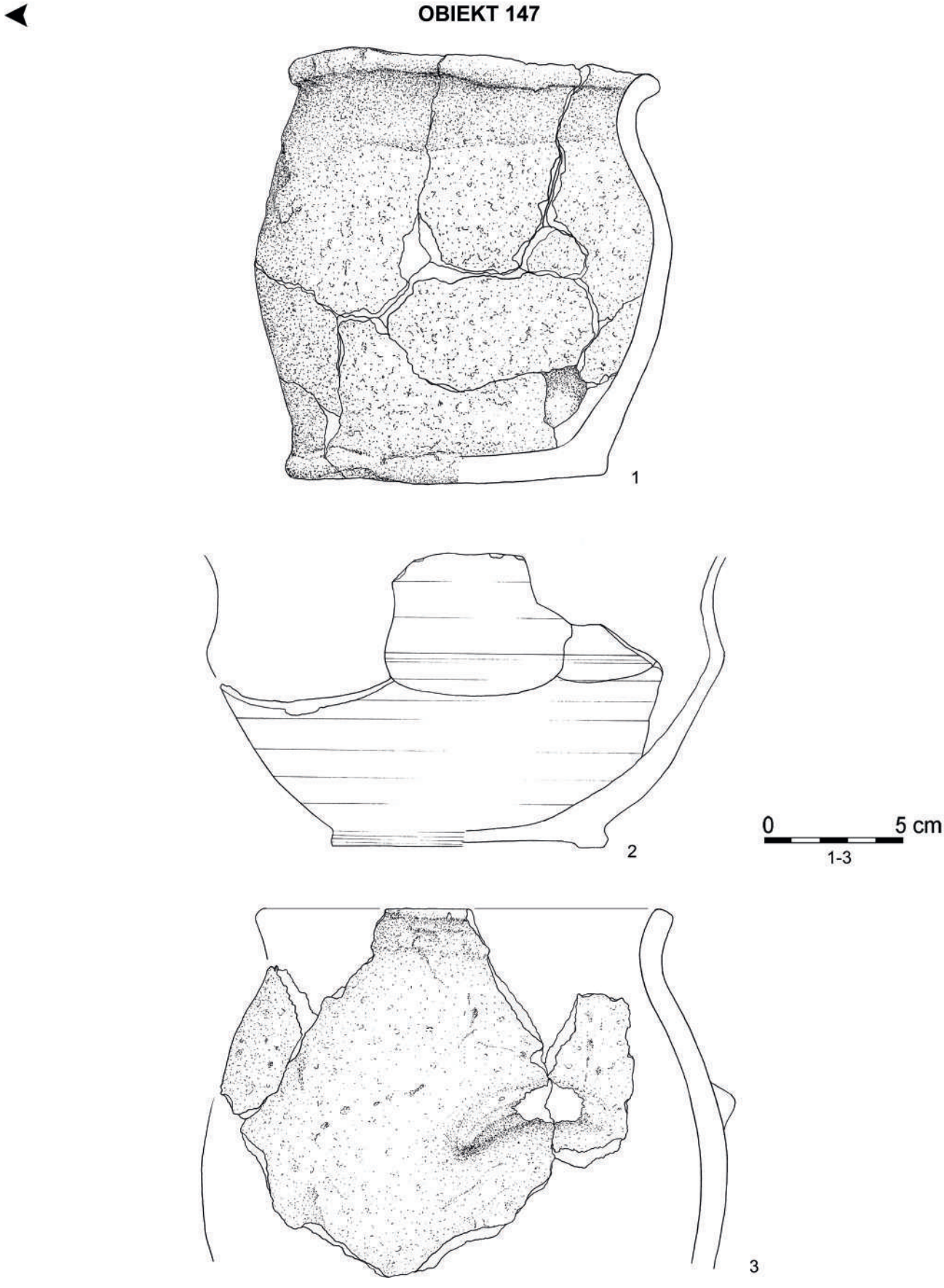


Plate 7.19. Jabłonica Ruska, site 1. Pottery from feature 147
Tabl. 7.19. Jabłonica Ruska, stan. 1. Zabytki ceramiczne z obiektu 147

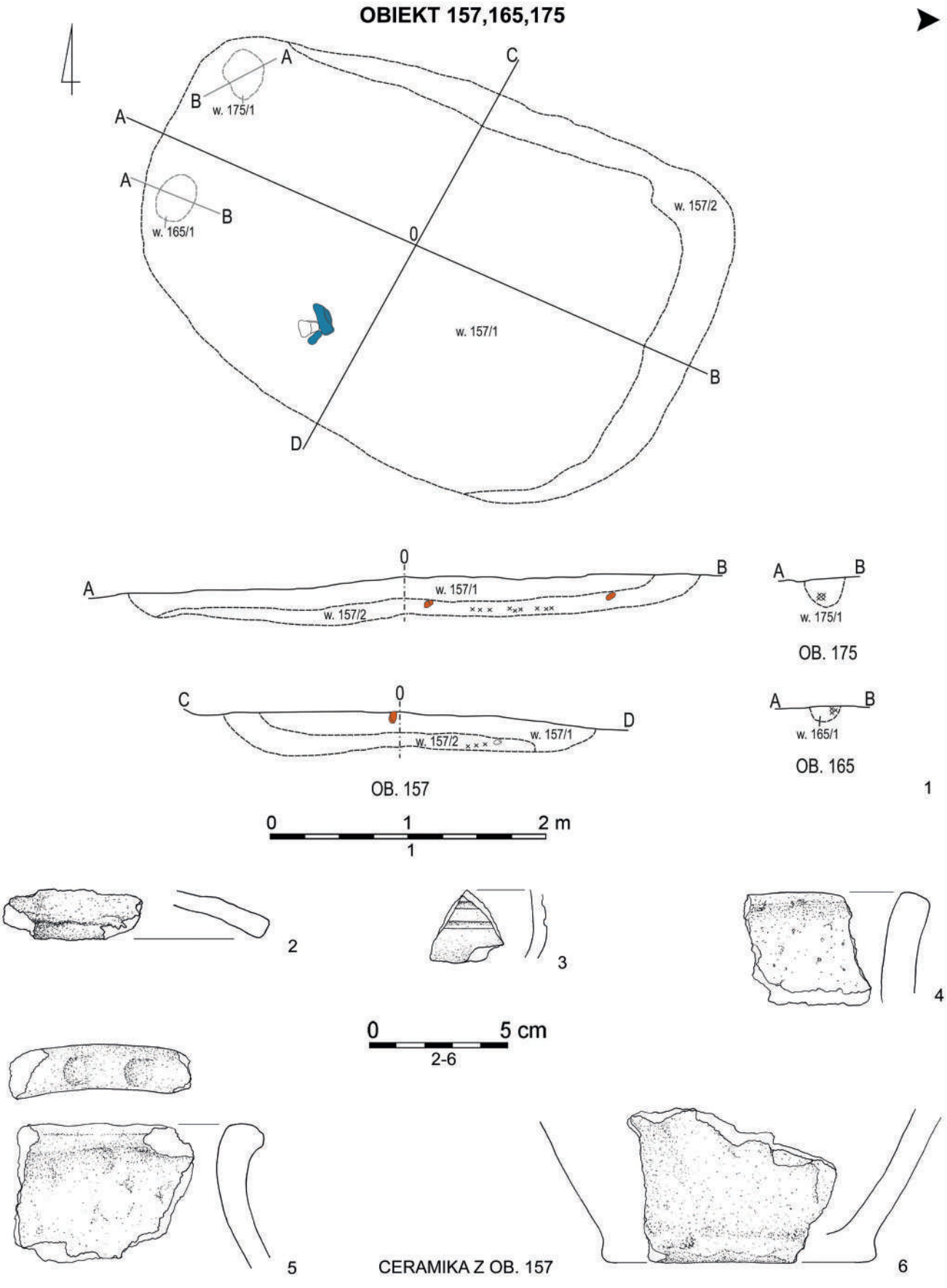


Plate 7.20. Jabłonica Ruska, site 1. Plans and profiles of features 157 (1), 165 (1), 175 (1) and pottery from feature 157 (2, 3, 4, 5, 6)

Tabl. 7.20. Jabłonica Ruska, stan. 1. Rzuty poziome i profile obiektów nr: 157 (1), 165 (1), 175 (1) oraz zabytki ceramiczne z obiektu 157 (2, 3, 4, 5, 6)

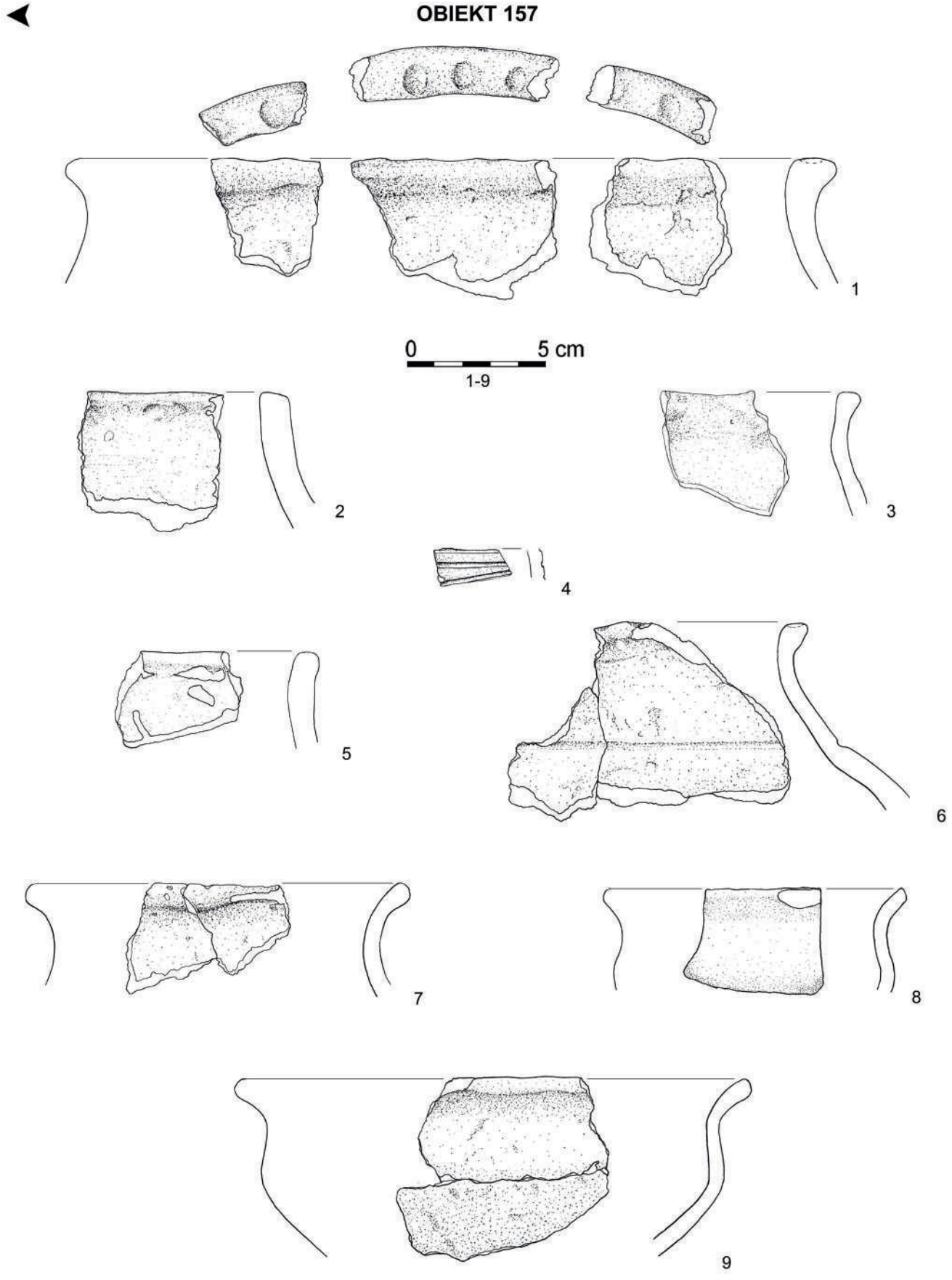


Tabl. 7.21. Jabłonica Ruska, stan. 1. Zabytki ceramiczne z obiektu 157 (1, 2, 3, 4, 5, 6, 7, 8, 9)
Plate 7.21. Jabłonica Ruska, site 1. Pottery from feature 157 (1, 2, 3, 4, 5, 6, 7, 8, 9)

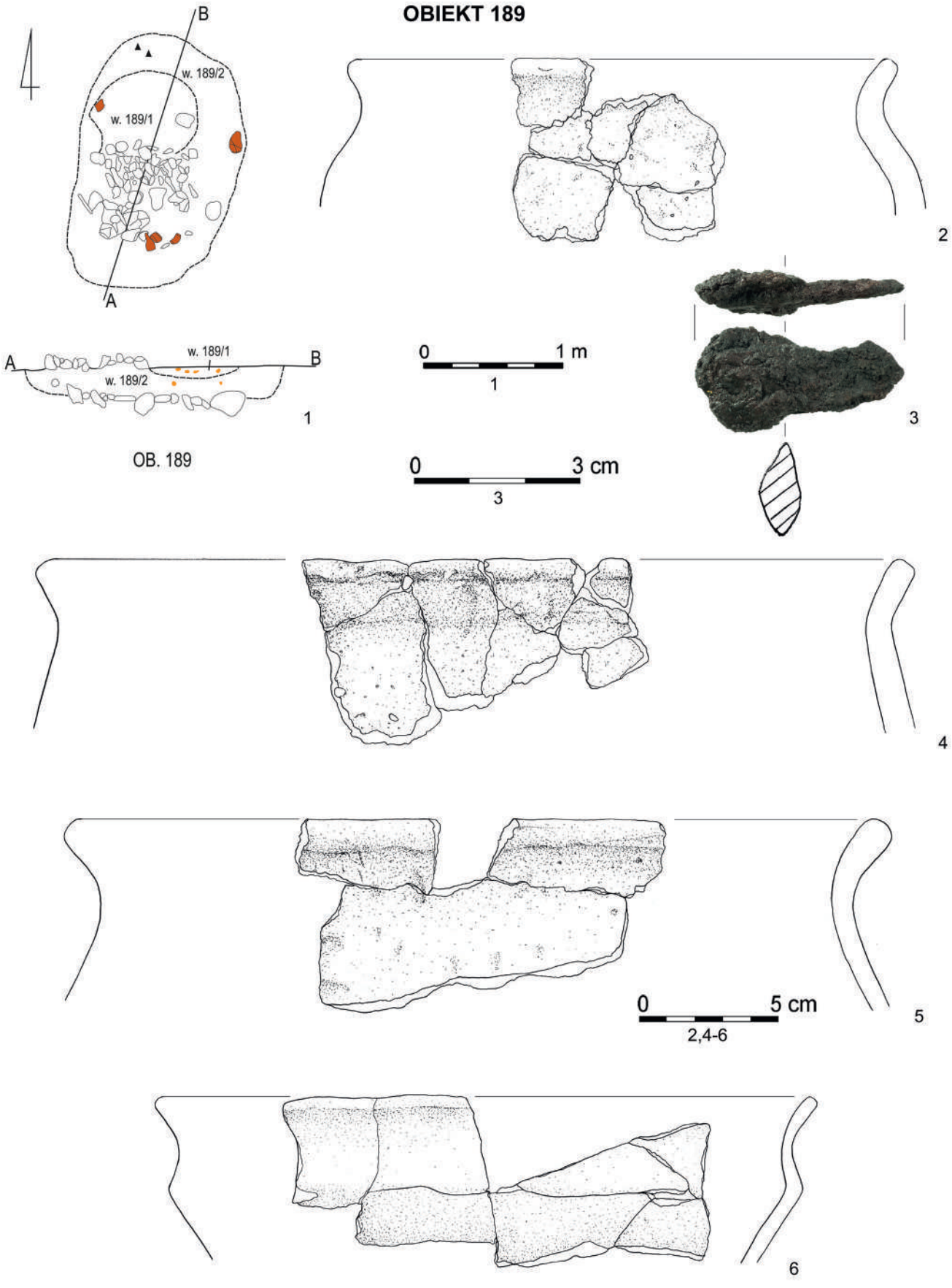


Tabl. 7.22. Jabłonica Ruska, stan. 1. Rzut poziomy i profil obiektu 189 oraz zabytki ceramiczne i metale z obiektu 189 (2, 3, 4, 5, 6)
Plate 7.22. Jabłonica Ruska, site 1. Plan and profile of feature 189 and pottery and metals artefacts from feature 189 (2, 3, 4, 5, 6)

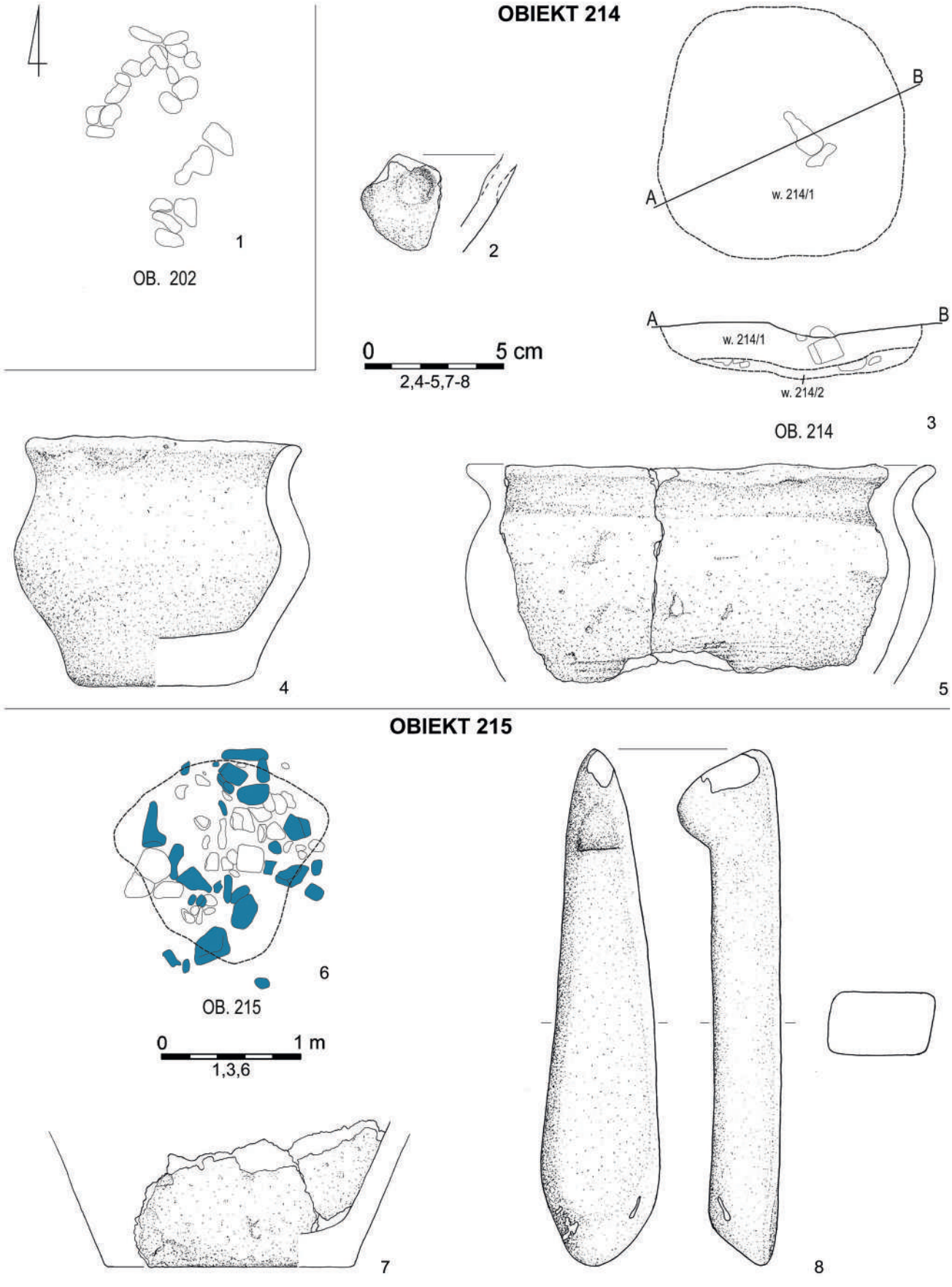


Tabl. 7.23. Jabłonica Ruska, stan. 1. Rzuty poziome i profil obiekt nr: 202 (1), 214 (3) oraz zabytki ceramiczne i kamienne z obiektów 214 (2, 4, 5), 215 (7, 8)
Plate 7.23. Jabłonica Ruska, site 1. Plans and the profile of feature 202 (1), 214 (3) and pottery and stone artefacts from features 214 (2, 4, 5), 215 (7, 8)

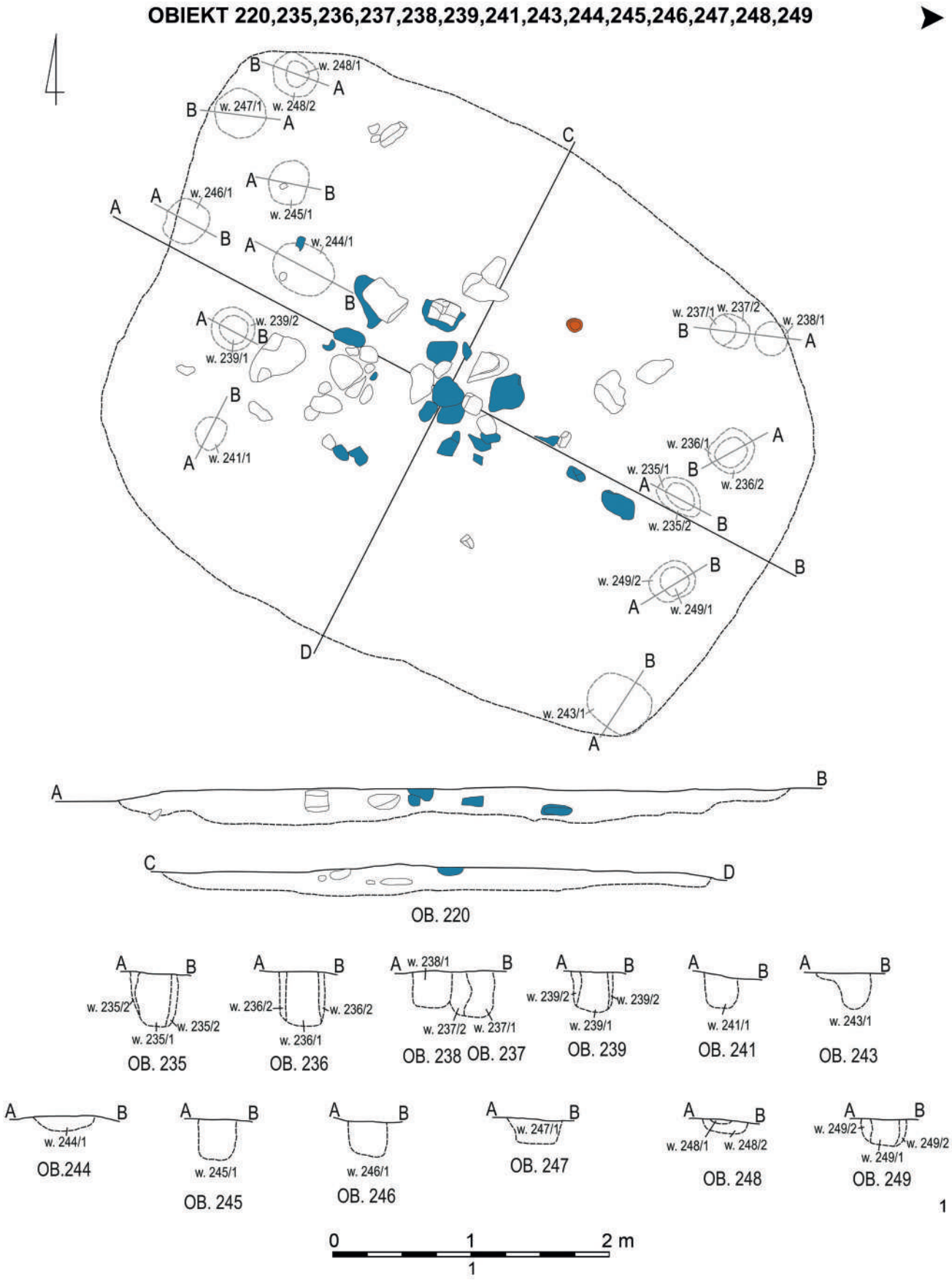


Tabl. 7.24. Jabłonica Ruska, stan. 1. Rzuty poziome i profile obiektów nr: 220 (1), 235 (1), 236 (1), 237 (1), 238 (1), 239 (1), 241 (1), 243 (1), 244 (1), 245 (1), 246 (1), 247 (1), 248 (1), 249 (1)

Plate 7.24. Jabłonica Ruska, site 1. Plans and profiles of features 220 (1), 235 (1), 236 (1), 237 (1), 238 (1), 239 (1), 241 (1), 243 (1), 244 (1), 245 (1), 246 (1), 247 (1), 248 (1), 249 (1)

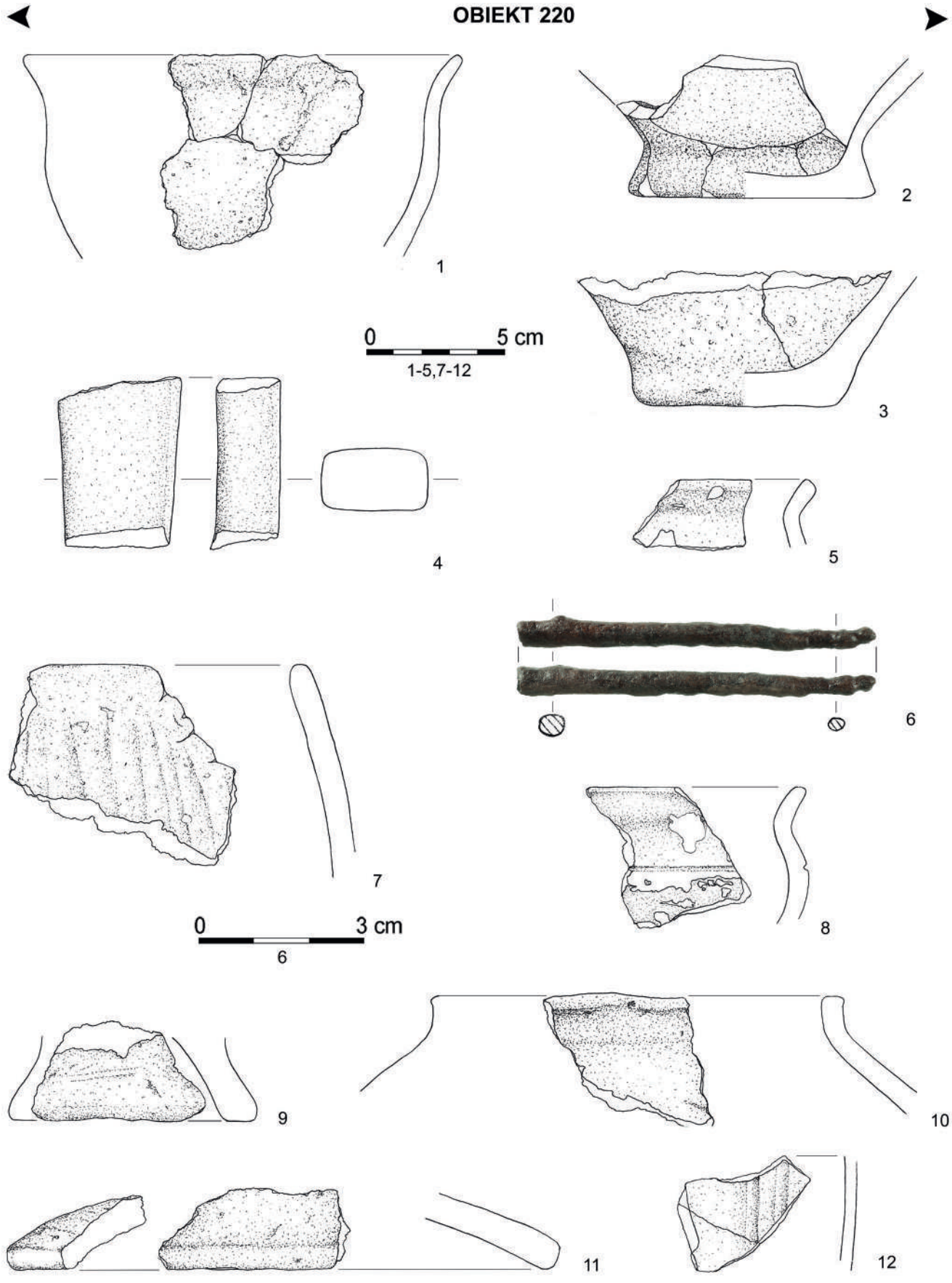


Tabl. 7.25. Jabłonica Ruska, stan. 1. Zabytki ceramiczne, kamienne i metale z obiektu 220 (1, 2, 3, 4, 5, 6, 7, 8, 9, 10, 11, 12)
Plate 7.25. Jabłonica Ruska, site 1. Pottery, stone and metal artefacts from feature 220 (1, 2, 3, 4, 5, 6, 7, 8, 9, 10, 11, 12)

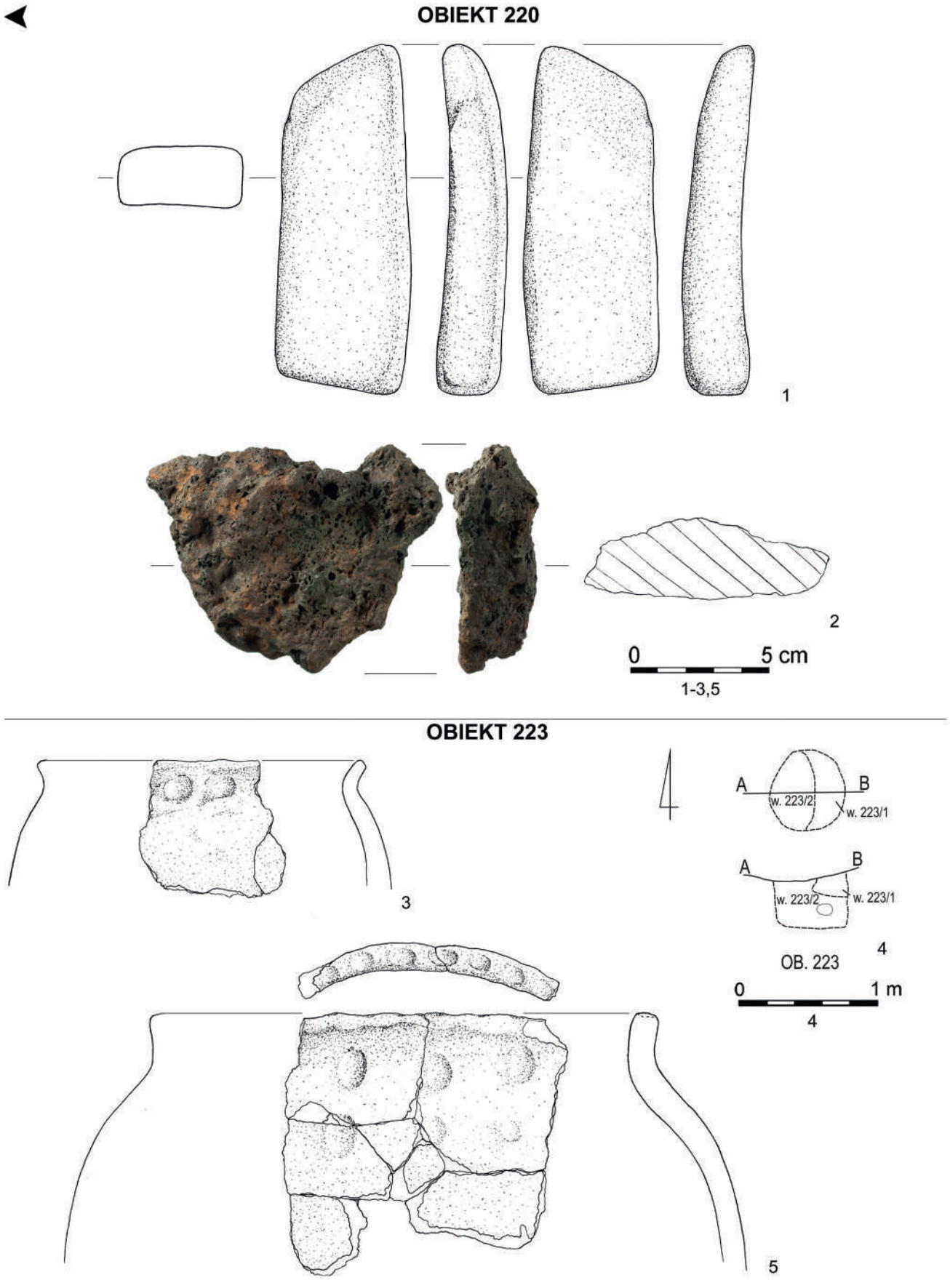


Tabl. 7.26. Jabłonica Ruska, stan. 1. Rzut poziomy i profil obiektu nr: 223 (4) oraz zabytki ceramiczne z obiektu 223 (3, 5), zabytek kamienny i żużel z obiektu 220 (1, 2)
Plate 7.26. Jabłonica Ruska, site 1. Plan and profile of feature 223 (4) and pottery from feature 223 (3, 5), a stone artefact and slag from feature 220 (1, 2)

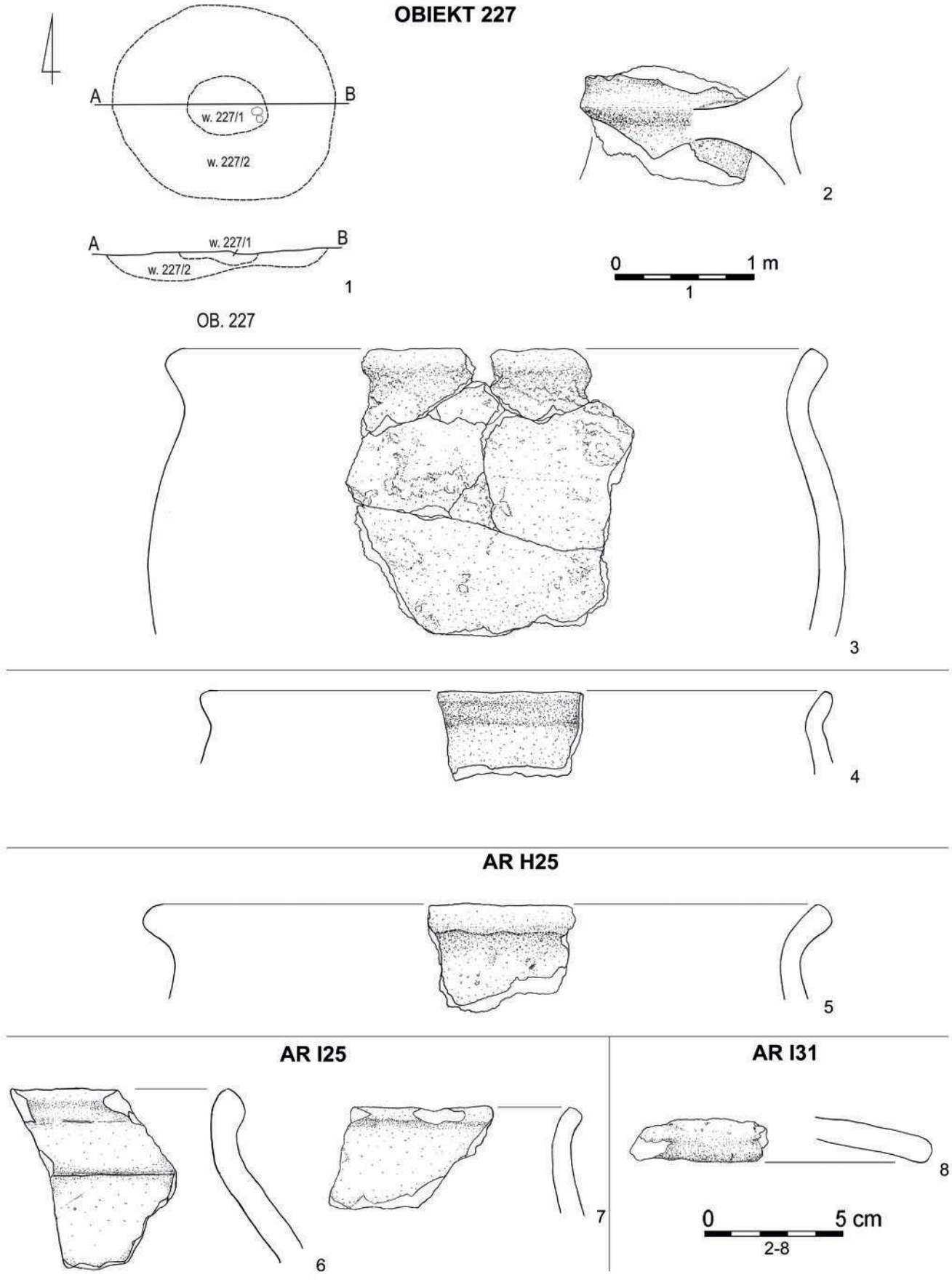


Tabl. 7.27. Jabłonica Ruska, stan. 1. Rzut poziomy i profil obiektu nr: 227 (1) oraz zabytki ceramiczne z obiektu 227 (2, 3) i arów: H25 (5), I25 (6, 7), I31 (8) i zabytek ceramiczny ze złoża wtórnego z obiektu 222 (4)
Plate 7.27. Jabłonica Ruska, site 1. Plan and profile of feature 227 (1) and pottery from feature 227 (2, 3) and from ares H25 (5), I25 (6, 7), I31 (8) and a ceramic artefact found in the secondary deposit in feature 222 (4)

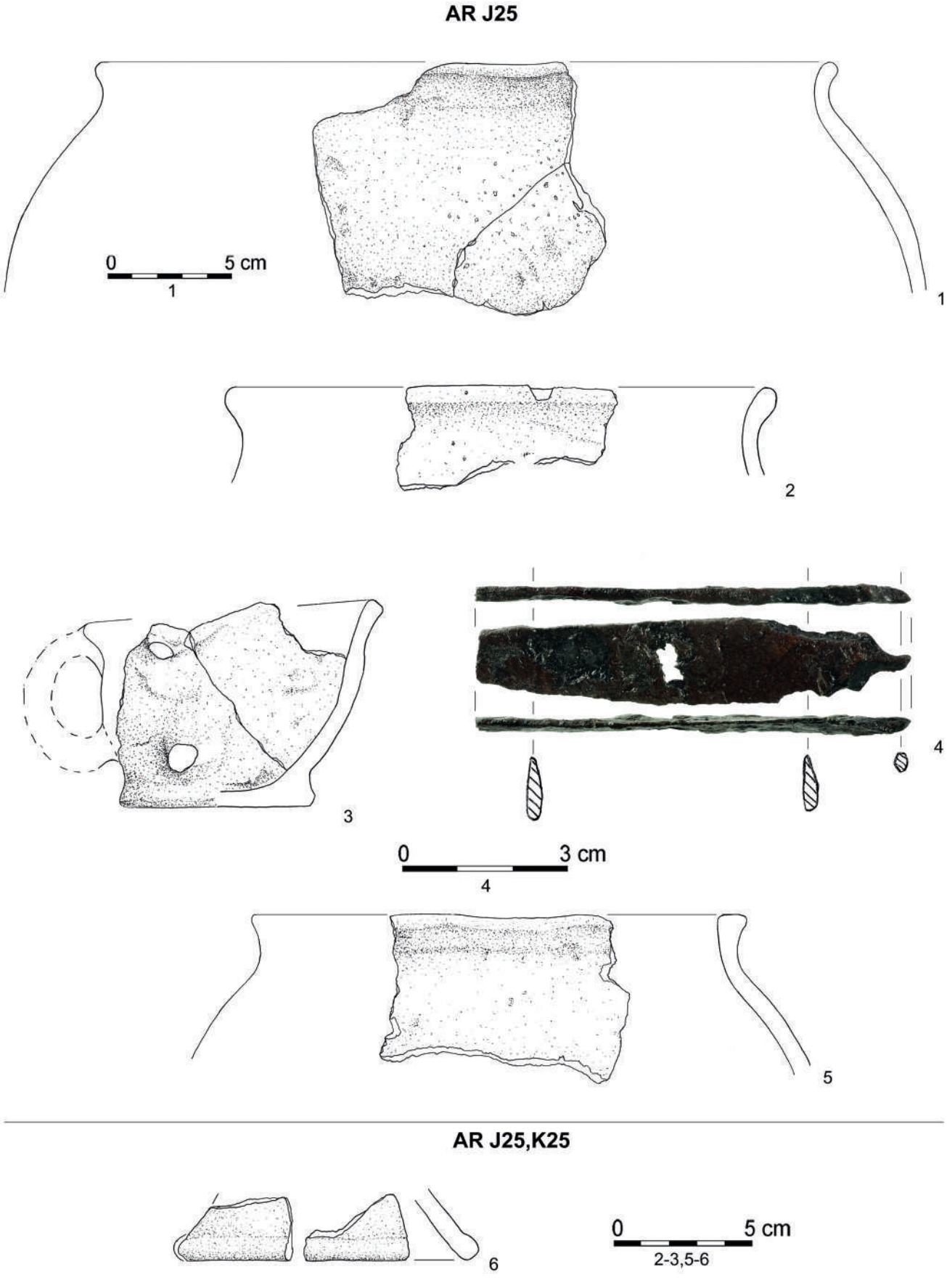


Tabl. 7.28. Jabłonica Ruska, stan. 1. Zabytki ceramiczne i metalowe z arów: J25 (1, 2, 3, 4, 5), J25 (6), K25 (6)
Plate 7.28. Jabłonica Ruska, site 1. Pottery and metal artefacts from ares J25 (1, 2, 3, 4, 5), J25 (6), K25 (6)

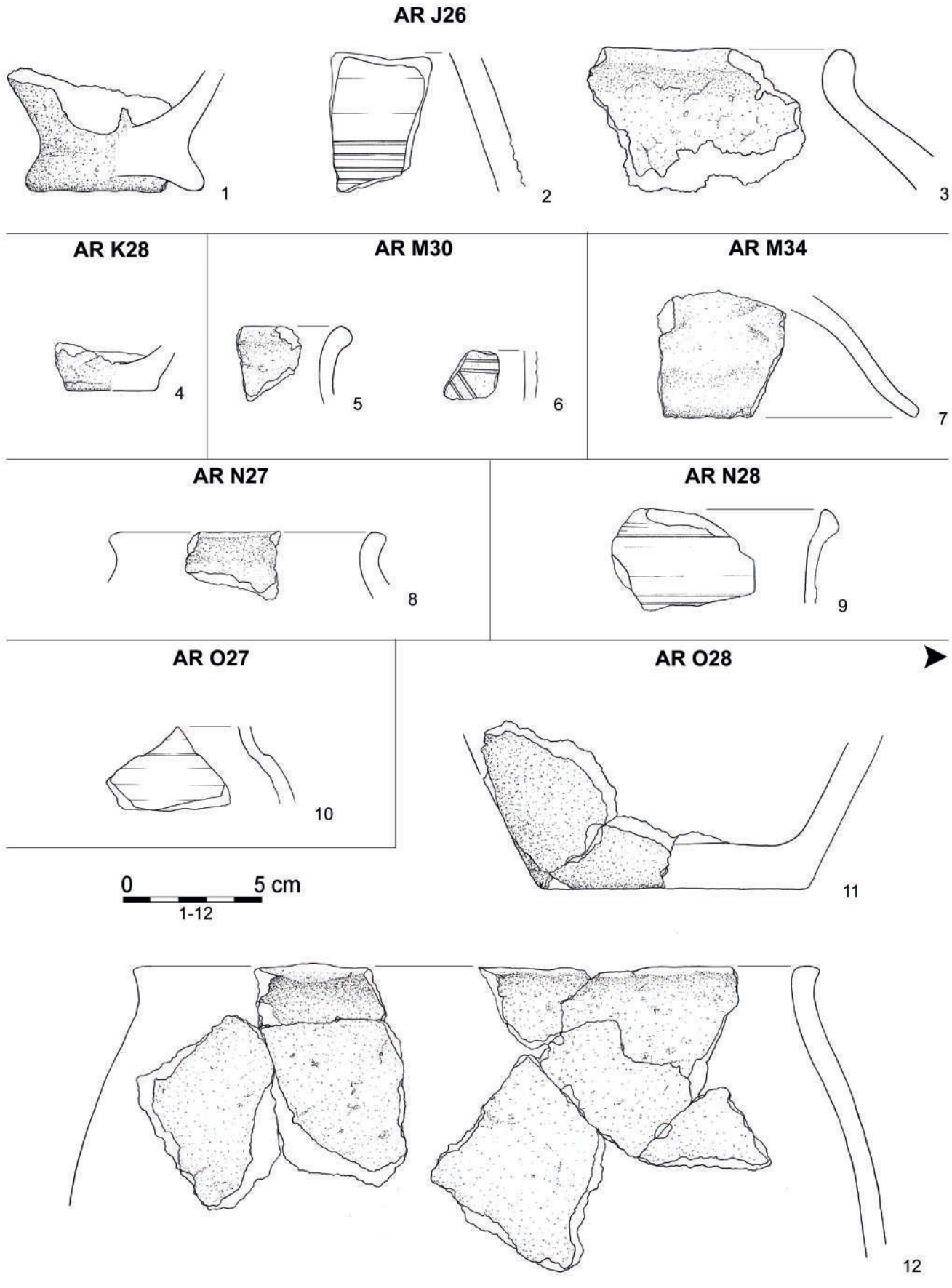


Tabl. 7.29. Jabłonica Ruska, stan. 1. Zabytki ceramiczne z arów: J26 (1, 2, 3), K28 (4), M30 (5, 6), M34 (7), N27 (8), N28 (9), O27 (10), O28 (11, 12)
Plate 7.29. Jabłonica Ruska, site 1. Pottery from ares J26 (1, 2, 3), K28 (4), M30 (5, 6), M34 (7), N27 (8), N28 (9), O27 (10), O28 (11, 12)

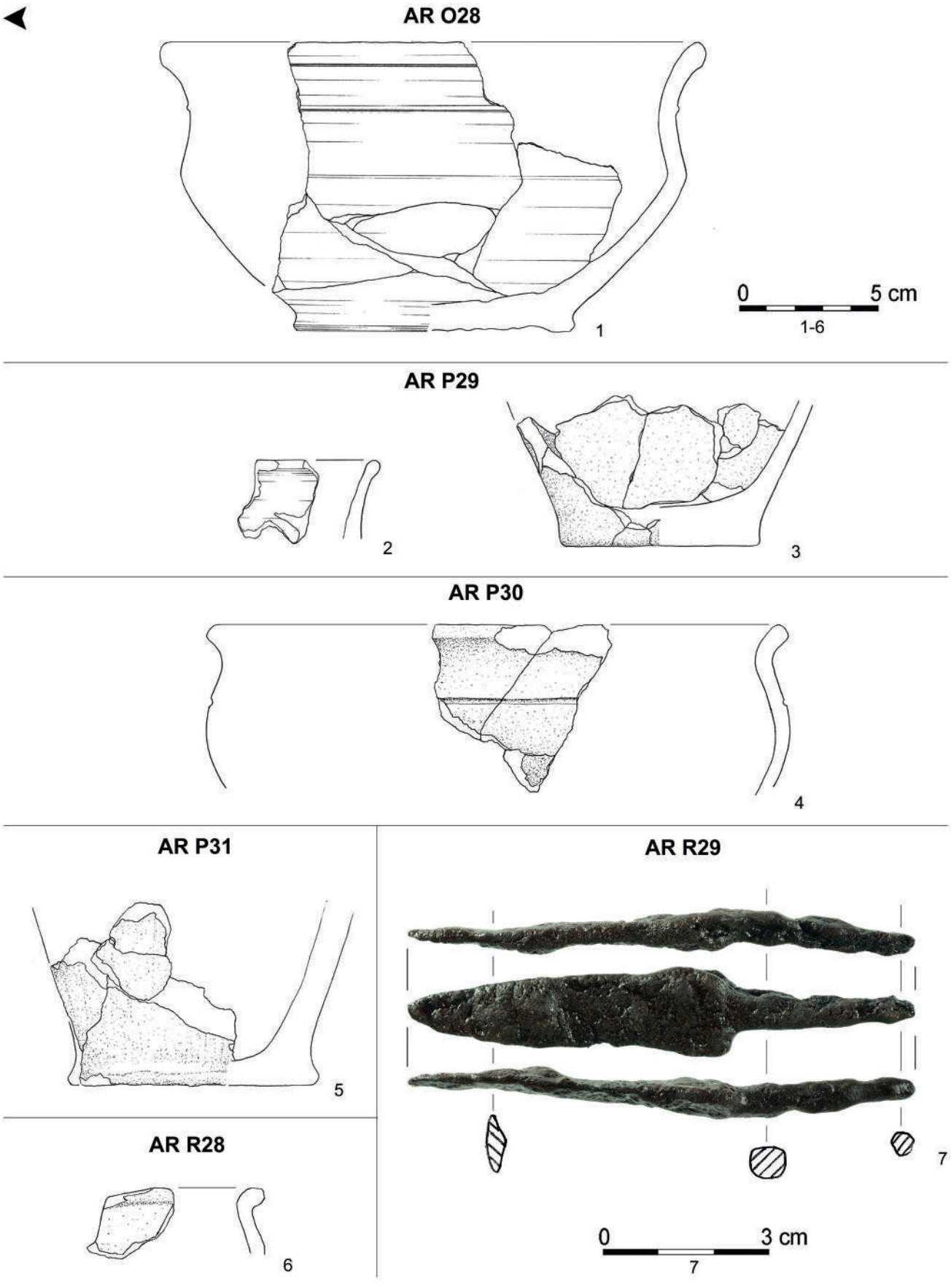


Tabl. 7.30. Jabłonica Ruska, stan. 1. Zabytki ceramiczne z arów: O28 (1), P29 (2, 3), P30 (4), P31 (5), R28 (6) oraz zabytek metalowy (nóż żelazny) z ara R29 (7)
Plate 7.30. Jabłonica Ruska, site 1. Pottery from ares O28 (1), P29 (2, 3), P30 (4), P31 (5), R28 (6), and a metal artefact (iron knife) from are R29 (7)

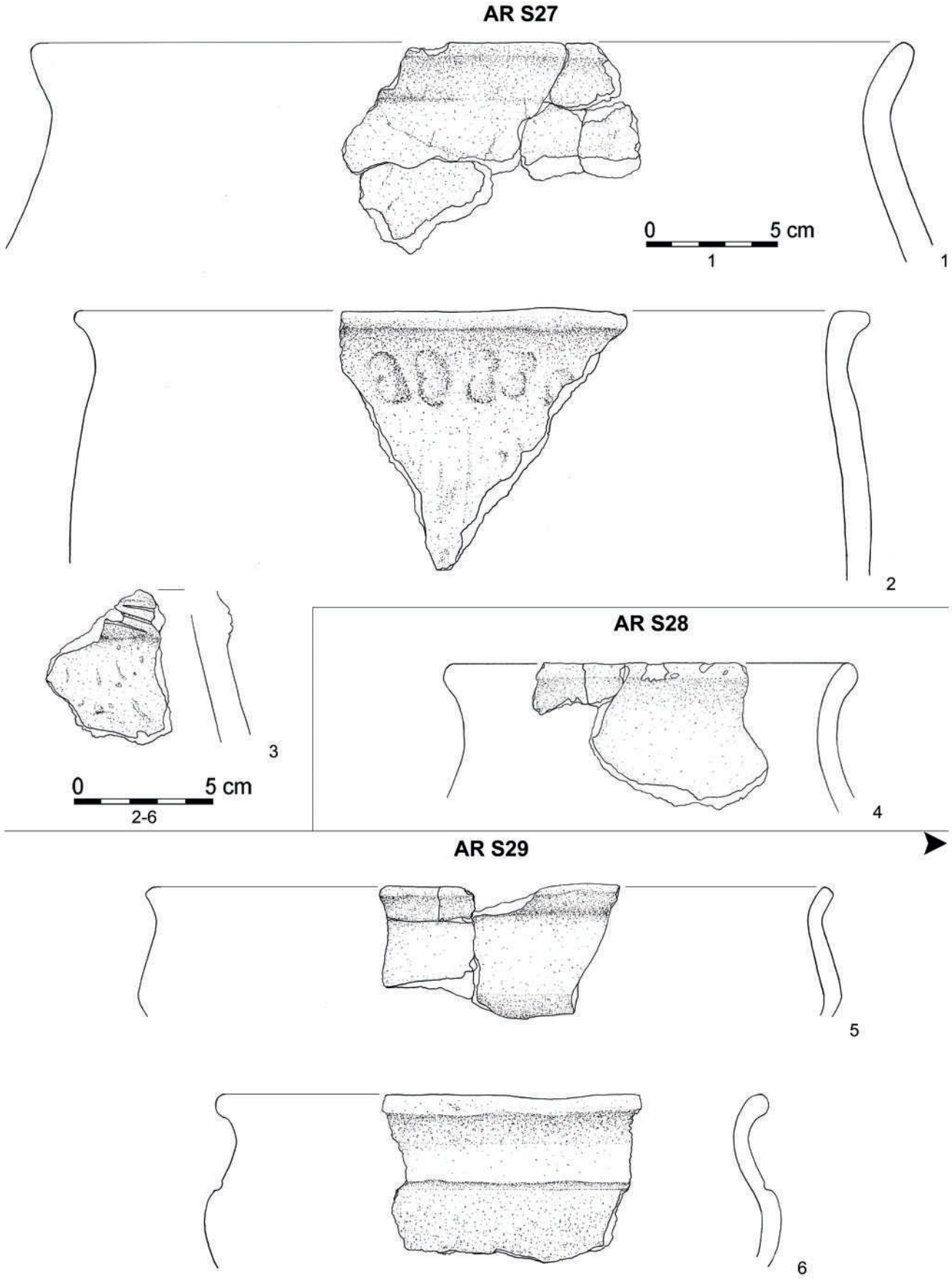


Tabl. 7.31. Jabłonica Ruska, stan. 1. Zabytki ceramiczne z arów: S27 (1, 2, 3), S28 (4), S29 (5, 6)
Plate 7.31. Jabłonica Ruska, site 1. Pottery from ares S27 (1, 2, 3), S28 (4), S29 (5, 6)

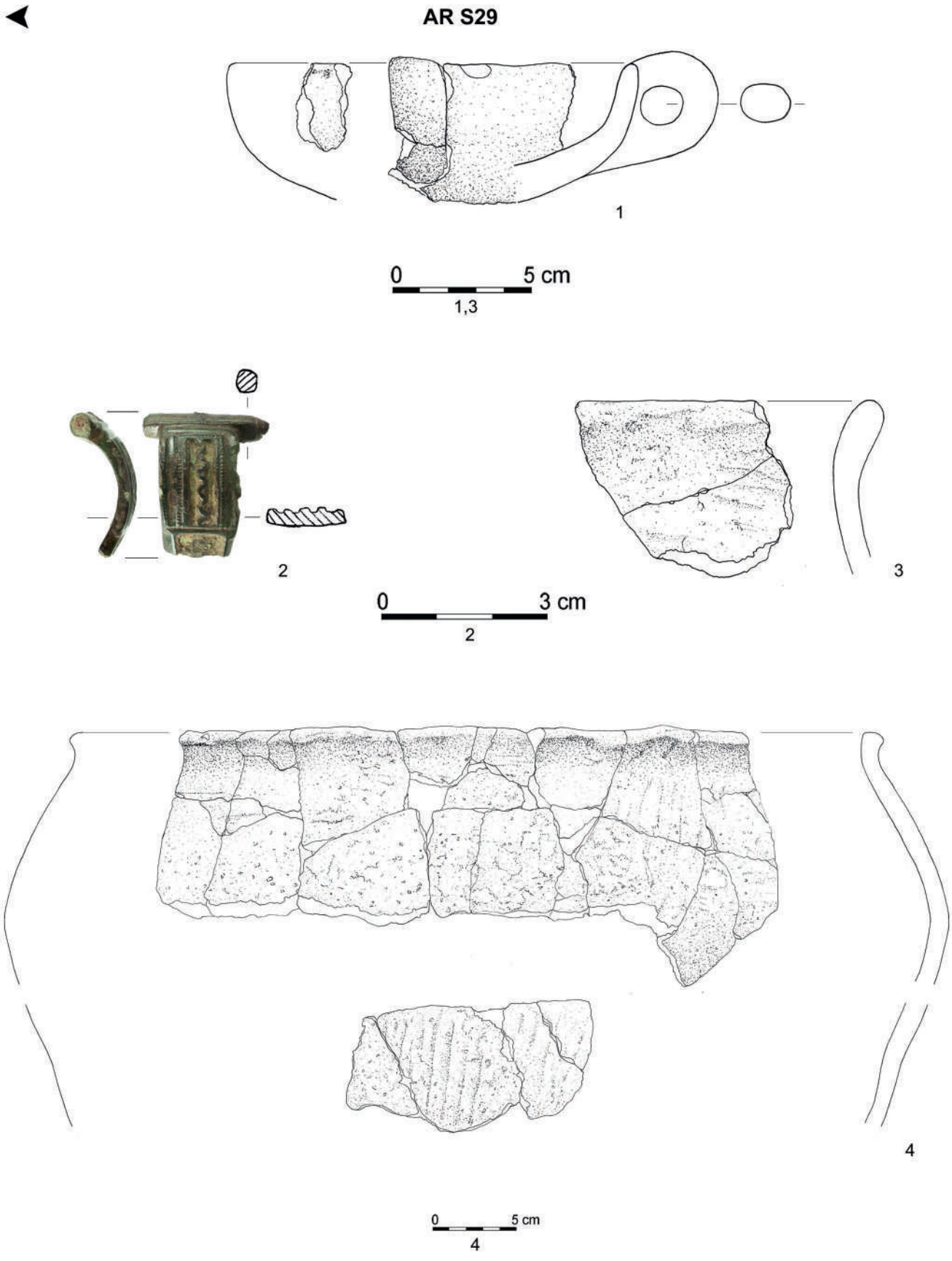


Tabl. 7.32. Jabłonica Ruska, stan. 1. Zabytki ceramiczne i metalowe (fibula) z ara: S29 (1, 2, 3, 4)
Plate 7.32. Jabłonica Ruska, site 1. Pottery and metal artefacts (fibula) from are S29 (1, 2, 3, 4)

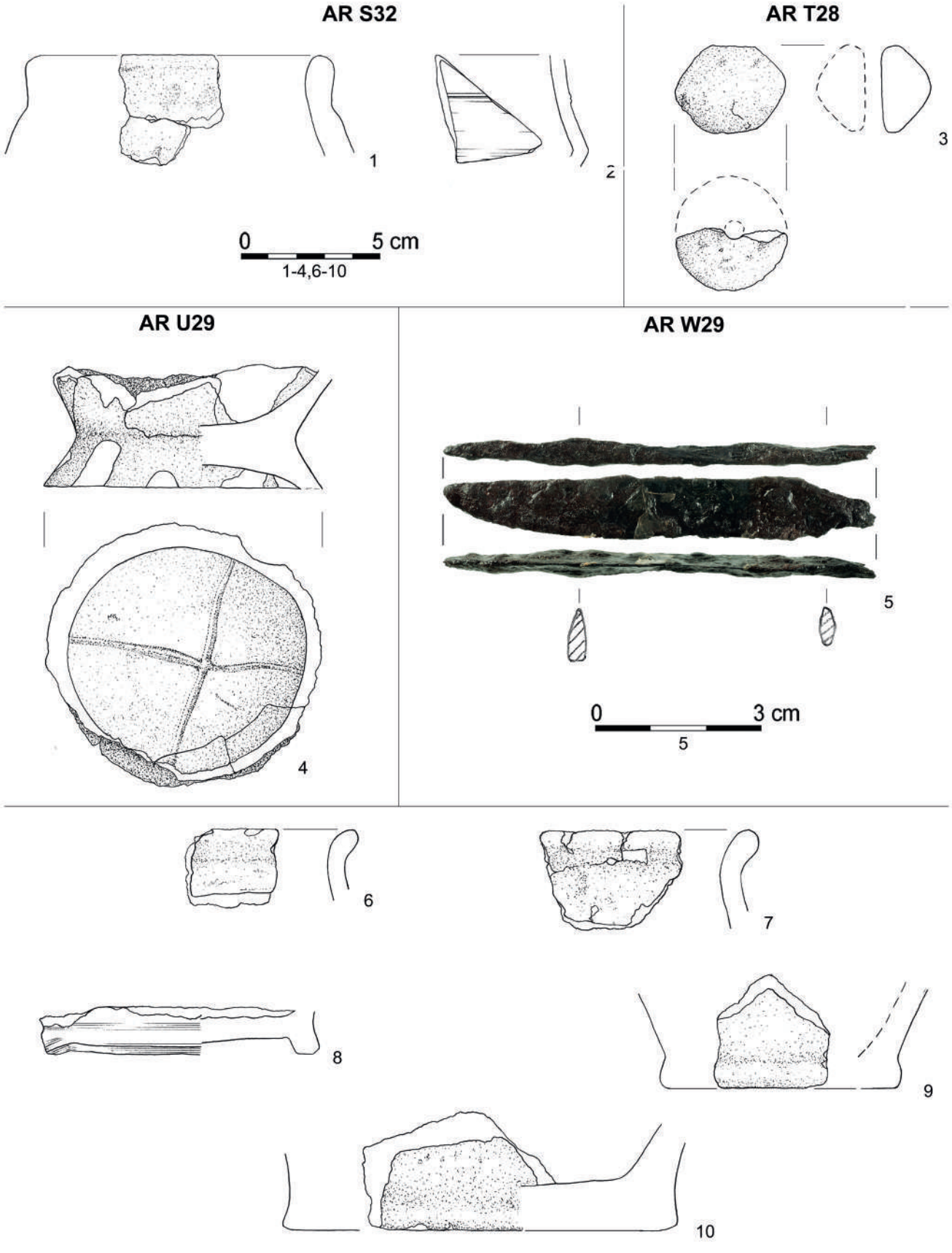


Tabl. 7.33. Jabłonica Ruska, stan. 1. Zabytki ceramiczne i metalowe (nóż żelazny) z arów: S32 (1, 2), T28 (3), U29 (4) W29 (5) oraz hałdy (6, 7, 8, 9, 10)
Plate 7.33. Jabłonica Ruska, site 1. Pottery and metal artefacts (iron knife) from ares S32 (1, 2), T28 (3), U29 (4) W29 (5) and from the heap (6, 7, 8, 9, 10)

MICHAŁ PARCZEWSKI

# 8.
# Osada z zarania wczesnego średniowiecza. Okres wczesnosłowiański (V/VI–VII w.) w Jabłonicy Ruskiej, stanowisko 1
# Settlement from the beginning of the Early Middle Ages. The early Slavic period (5th/6th-7th centuries) at the archaeological site no. 1 in Jabłonica Ruska

## 8.1 Informacje wstępne

Na stanowisku 1 w Jabłonicy Ruskiej, odkrytym w 1958 r. przez Józefa Janowskiego z ówczesnego Muzeum Regionalnego w Krośnie, znalazłem się po raz pierwszy wiosną 1980 r., gdy z grupką studentów archeologii Uniwersytetu Jagiellońskiego prowadziłem (przy współpracy mgr Elżbiety Pohorskiej-Klei) badania powierzchniowe w dolinie górnego Sanu. Już na pierwszy rzut oka pięknie uformowany trójkątny cypel nadzalewowej terasy Sanu (ryc. 8.1., 8.2.) zapowiadał obfitość pradziejowych i średniowiecznych znalezisk osadowych, co zresztą niebawem zostało potwierdzone (Parczewski 1984, s. 216, ryc. 17, 18). Lekko nachylona ku W i SW powierzchnia wzniesienia leży na wysokości 263–268 m n.p.m., a przyległa część dna doliny zalewowej Sanu, oddzielona stromym uskokiem terenowym, nie przekracza poziomu ok. 257 m n.p.m. W części NW cypla znajdował się rodzaj niewielkiego zagłębienia, uchodzącego ku dolinie Sanu, które rozcinało pagór na segment NE i SW.

Kilkoro studentów – uczestników wspomnianych powierzchniówek – od razu zadeklarowało chęć podjęcia w tym miejscu niewielkich badań sondażowych, co zrealizowano jesienią 1980 r. pod moją opieką merytoryczną. Wtedy też natrafiono m.in. na dwa fragmenty brzegów naczyń wczesnosłowiańskich, niestety wydobyte bez wyraźnego kontekstu archeologicznego (Skupiewski 1982, s. 51, fig. 1:4, 5).

Później wiele razy odwiedzałem stanowisko aż do pamiętnego dnia 11.04.2015 r., gdy przejeżdżając

## 8.1 Basic information

I visited the archaeological site no. 1 in Jabłonica Ruska, discovered in 1958 by Józef Janowski from, then, the Regional Museum (Muzeum Regionalne) in Krosno, for the first time in the spring of 1980, when I was conducting (in cooperation with Elżbieta Pohorska-Kleja) a survey in the upper San river valley with a group of archaeology students from the Jagiellonian University. At first glance, the beautifully formed triangular promontory of the San river terrace (Figs. 8.1., 8.2.) heralded an abundance of prehistoric and medieval settlement features, which was soon confirmed (Parczewski 1984, p. 216, Figs. 17, 18). The surface of the hill, slightly sloping towards W and SW, lies at an altitude of 263–268 m above sea level, and the adjacent part of the San river floodplain floor, separated by a steep fault, does not exceed the level of approx. 257 m above sea level. In the NW part of the promontory there was a kind of a small depression, going towards the San river valley, which cut the hill into the NE and SW segments.

Several students – participants of the aforementioned survey, immediately declared their willingness to carry out another, smaller survey there, which was done in the autumn of 1980 under my supervision. During the survey, among other things, two fragments of early Slavic vessel rims were found, unfortunately without clear archaeological context (Skupiewski 1982, p. 51, Fig. 1: 4, 5).

Later, I visited the site many times until the memorable day of April 11, 2015, when driving

Ryc. 8.1. Jabłonica Ruska, stan. 1. Widok od północnego zachodu na cypel terasy nadzalewowej Sanu. Fot. autor w 1984 r.
Fig. 8.1. Jabłonica Ruska, site 1. The San river terrace promontory, view from the north-west. Photo by the author, 1984

Ryc. 8.2. Jabłonica Ruska, stan. 1. Cypel terasy nadzalewowej Sanu. Wg Google Earth, ujęcie z 2010 r.
Fig. 8.2. Jabłonica Ruska, site 1. The San river terrace promontory. Photo by Google Earth, 2010

tędy wraz z Aleksandrą Sznajdrowską i Mirosławem Mazurkiem stwierdziliśmy rozległe, głębokie wybierzyska, zajmujące północno-zachodnią, zachodnią (wierzchołkową) i południową część cypla, powstałe wskutek trwającej już od jakiegoś czasu eksploatacji kruszywa. Interwencja administracyjna Podkarpackiego Wojewódzkiego Konserwatora Zabytków spowodowała wstrzymanie robót ziemnych, lecz znaczna część stanowiska była już naruszona przez roboty ziemne. W latach 2015–2018 właściciele żwirowni częściowo zasypali wybierzyska i wyrównali przekopany teren.

W 2019 r. szerokoprzestrzenne badania wykopaliskowe objęły centralną i południową partię cypla (ryc. 8.3.). Areał wielkiego wykopu liczył ok. 140 arów, lecz warstwa kulturowa w jego południowej części uległa zniszczeniu podczas eksploatacji żwiru. Teren nienaruszony w granicach wykopu, który można było poddać systematycznej eksploracji, mierzył zatem ok. 100 arów. Obszar ten, rozciągnięty wzdłuż osi NWW-SEE, miał wymiary ok. 140 × 90 m.

Pod warstwą orną, której głębokość sięgała miejscami poniżej 40 cm, zalegała ziemia spłukiwana przez stulecia z wyższych partii stoku, o niejednolitym wybarwieniu i słabo czytelnej stratygrafii. W efekcie granice większości struktur archeologicznych, zwłaszcza zarysy płytszych jam (rejestrowanych jako skupiska kamieni i ceramiki, z towarzyszącymi niekiedy dołkami słupowymi) były często niewystarczająco wyraźne. Ograniczało to szansę uchwycenia pierwotnej formy i – co za tym idzie – funkcji obiektu.

Obecność domostw z zarania wczesnego średniowiecza została stwierdzona nie od razu. Podczas jednej z wizyt w Jabłonicy, patrząc z wysokości hałdy na świeżo wyplantowany wykop, zauważyłem charakterystyczne zaciemnienie o niemal kwadratowym zarysie (obiekt 99). Rzut oka na ułamki ceramiki z tej jamy rozwiał wszelkie wątpliwości. Dość podobny, choć też nietypowy sposób identyfikacji miał miejsce kilkanaście lat wcześniej w stosunku do półziemianki z Hłomczy stan. 1, pow. Sanok, gdy jakiś czas po wykopaliskach miałem okazję zapoznać się z pierwszą publikacją wyników badań. Na planie wykopu figurował kwadratowy w rzucie poziomym obiekt 1, który w artykule łączono

pass the place, with Aleksandra Sznajdrowska and Mirosław Mazurek, we saw vast and deep pits covering the north-western, the western (top) and the southern part of the promontory, which were the result of gravel mining that had been taking place there for some time. The intervention of the Subcarpathia Province Monuments Conservator resulted in the suspension of the mining, but significant part of the site had already been damaged. In 2015–2018, the owners of the gravel mine partially filled the pits and levelled the excavated area.

In 2019, extensive excavations covered the central and the southern part of the promontory (Fig. 8.3.). The area of the great excavation was about 140 ares, but the cultural layer in its southern part was destroyed by the gravel mine. Therefore, the area, within the boundaries of the excavation, that was not damaged and could be subjected to systematic exploration, was approx. 100 ares. It stretched along the NWW-SEE axis and its size was approx. 140 × 90 m.

Under the plough layer, the depth of which was in some places less than 40 cm, there was soil washed for centuries from the higher parts of the slope, with a non-uniform colour and barely visible stratigraphy. As a result, the boundaries of most of the features, especially the outlines of the shallower pits (registered as clusters of stones and pottery, sometimes accompanied by postholes) were, often, not clear enough. It limited the chance of identifying the original form of the feature and, consequently, its function.

The presence of houses from the beginning of the Early Middle Ages was not confirmed immediately. During one of my visits to Jabłonica Ruska, looking at the newly levelled excavation from the height of the heap, I noticed a characteristic dark area with an almost rectangular outline (feature 99). A glance at the fragments of pottery from this pit dispelled all doubts. A quite similar, however also unusual, method was used several years earlier to identify a shallow pithouse in Hłomcza, site 1, in Sanok district, when some time after the excavations I had the opportunity to see the first publication of the research results. On the plan of the excavation, there was a rectangular feature 1,

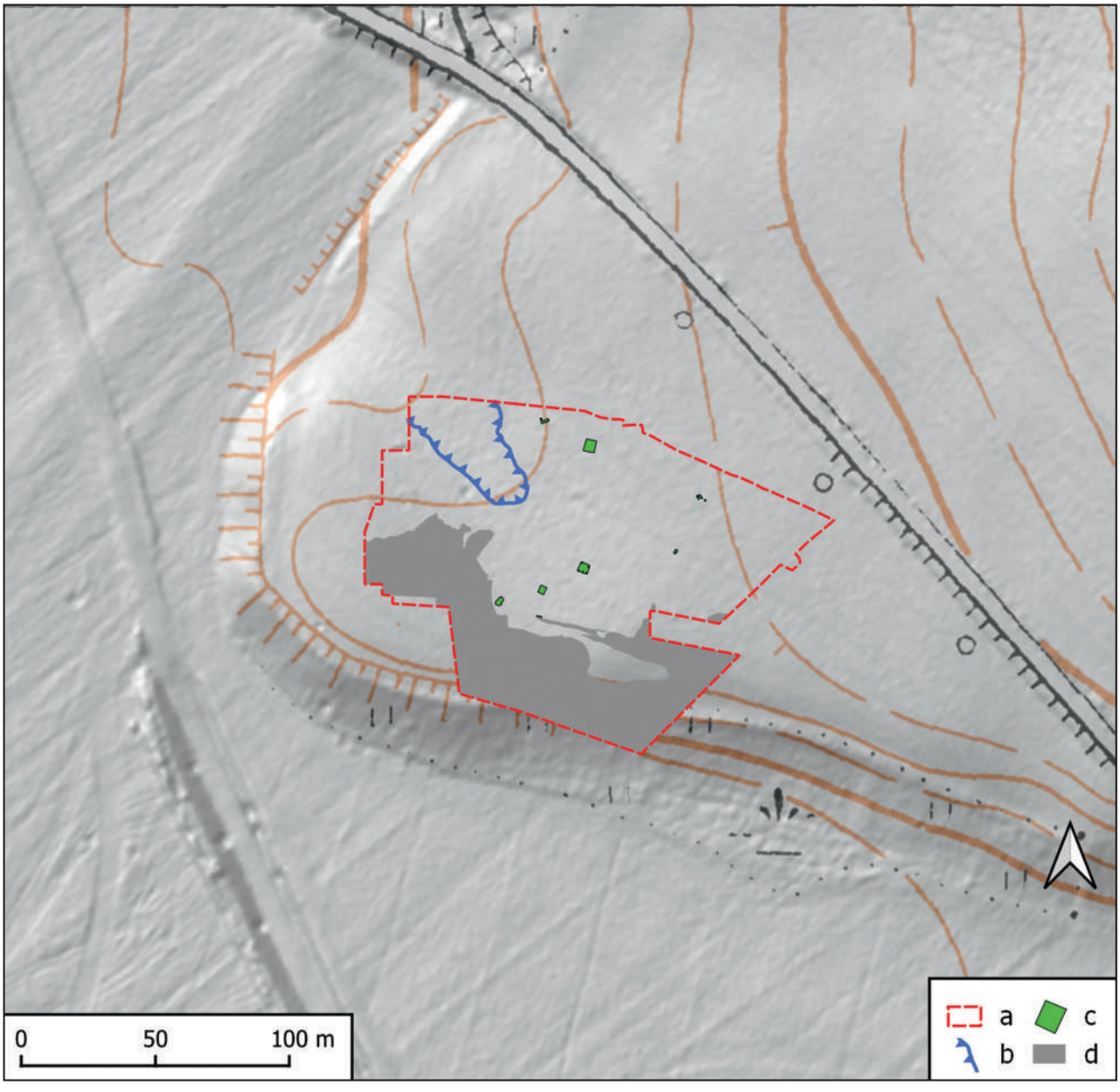


Ryc. 8.3. Jabłonica Ruska, stan. 1. Wykop archeologiczny z 2019 r. na tle cypla terasy nadzalewowej Sanu. a – granica wykopu, b – przybliżony zasięg podmokłego obniżenia dzielącego cypel, c – obiekt wczesnosłowiański, d – teren zniszczony przez eksploatację kruszywa. Podkład na podstawie NMT z zasobów GUGIK, rys. A. Sznajdrowska-Pondel
Fig. 8.3. Jabłonica Ruska, site 1. Archaeological excavation from 2019 with the San river terrace promontory in the background. a – excavation boundary, b - approximate range of the wet depression dividing the promontory, c – the early Slavic feature, d – area destroyed by gravel mining. Based on the DEM from GUGIK resources, drawing by A. Sznajdrowska-Pondel

z okresem wpływów rzymskich. Po przejrzeniu ceramiki w składnicy muzealnej trzeba było skorygować tę identyfikację. Obecnie chata ziemiankowa z Hłomczy jest najdalej w górę doliny Sanu (ok. 6,5 km na SE od Jabłonicy Ruskiej) wysuniętym obiektem wczesnosłowiańskim (Parczewski 2011, s. 101, ryc. 3).

which in the article was linked to the Roman period. After examining the pottery stored in the museum, the identification had to be corrected. Currently, the pithouse from Hłomcza is a feature from the early Slavic period located the farthest (approx. 6.5 km SE of Jabłonica Ruska) up the San river valley (Parczewski 2011, p. 101, Fig. 3).

Podczas badań w Jabłonicy Ruskiej rozpoznano osiem obiektów z zarania średniowiecza, datowanych ramowo na V/VI–VI/VII w. Wystąpiły one w dość szerokim rozrzucie, rozmieszczone niezbyt regularnie w trzech grupach na wschodnich obrzeżach niezabudowanego placu o przybliżonych wymiarach ok. 70 × 70 m (ryc. 8.3., 8.4.). Omawiane relikty ujawniono z trzech stron tej pustej przestrzeni: od N (ob. 63 i 99), E (ob. 139 i 183) oraz S (ob. 31, 52, 65 i 107). Strona W, a ściślej NW, gdzie ma swój początek opisane wyżej obniżenie

During the archaeological research in Jabłonica Ruska, eight features from the beginning of the Early Middle Ages, dated back to the period between 5th/6th and 6th/7th centuries, were identified. They were quite widely dispersed and not very regularly arranged in three groups on the eastern edge of an empty area with dimensions of approx. 70 × 70 m (Figs. 8.3., 8.4.). The relics in question were discovered on three sides of the empty area: on the N side (features 63 and 99), on the E side (features 139 and 183) and on

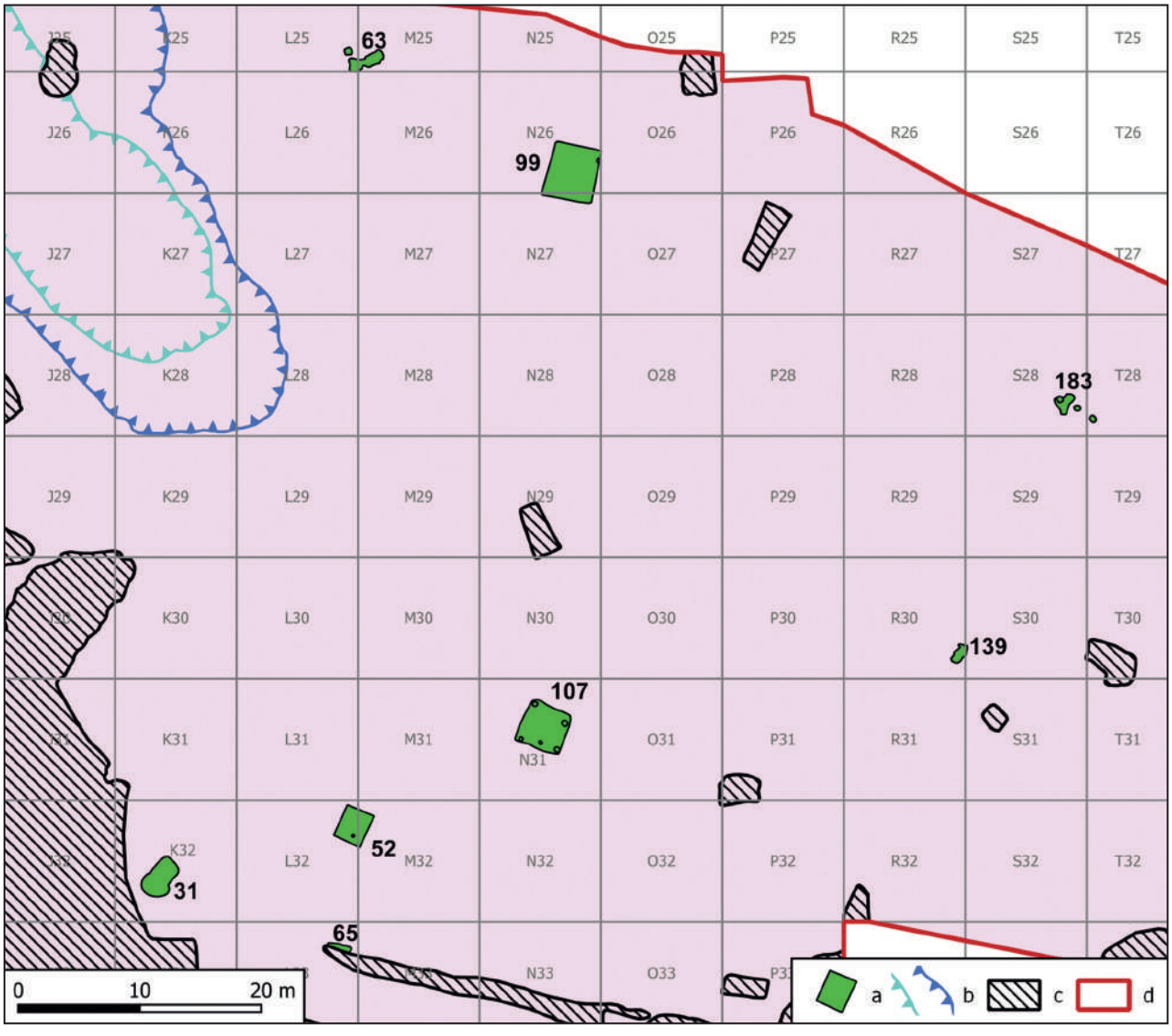


Ryc. 8.4. Jabłonica Ruska stan. 1. Wycinek planu stanowiska z rozmieszczeniem obiektów wczesnosłowiańskich na tle siatki arowej a – obiekt wczesnosłowiański; b – zasięg zagłębienia terenowego; c – teren zniszczony przez eksploatację kruszywa, d – granica wykopu archeologicznego

Fig. 8.4. Jabłonica Ruska, site 1. Fragment of the site plan showing the arrangement of the early Slavic features and the are grid. a – the early Slavic feature; b – range of the depression; c – area destroyed by gravel mining, d – excavation boundary

rozcinające cypel, pozostawała otwarta. W obiektach i poza nimi znaleziono ok. 600 zabytków ruchomych z interesującego nas okresu. W przygniatającej większości były to fragmenty naczyń glinianych.

Z czterema obiektami (ob. 52, 99, 107, 183) łączą się dołki posłupowe, numerowane w trakcie badań jako osobne obiekty. Na użytek niniejszej analizy uznajemy wyróżnione w ten sposób niewielkie zagłębienia po słupach za cząstki struktury wyższego rzędu, czyli całej budowli, której podstawową nazwą (numerem) będziemy się posługiwać w tekście.

## 8.2. Materiały źródłowe

### 8.2.1. Opis obiektów nieruchomych i ich zawartości

Obiekt 31 [ar K32]

Na poziomie uchwycenia po wyplantowaniu pojawiła się ciemniejsza plama o wymiarach ok. 345 × 183–214 cm, rozciągnięta wzdłuż osi SW-NE (tabl. 8.1: 1). Eksplorację prowadzono po wyznaczeniu profilu podłużnego. Płytki obiekt tworzyły dwa łączące się ze sobą segmenty. W części SW jama była nieco szersza i głębsza (do ok. 20 cm poniżej poziomu uchwycenia), tylko tutaj wystąpiły przepalone kamienie i 2 fragmenty ceramiki. Segment NE był płytszy (do ok. 10 cm poniżej poziomu uchwycenia).

Znaleziono 1 fr. brzegu naczynia ręcznie lepionego (tabl. 8.1: 3) oraz dno naczynia (tabl. 8.1: 2).

Obiekt 52 [ar L32/M32]

*W skład obiektu wchodzi dołek słupowy o nazwie obiekt 62.*

Na poziomie uchwycenia po wyplantowaniu pojawiło się zaciemnienie o niezbyt wyraźnych granicach, które miało zarys zbliżony do kwadratowego (tabl. 8.1: 4) o wymiarach ok. 240–245 (oś SW-NE) × 265–270 (oś SE-NW) cm. W rejonie narożnika SW stwierdzono obfite skupisko kamieni (w tym również większe okazy, niektóre ze śladami oddziaływania ognia), które z wysokim prawdopodobieństwem

the S side (features 31, 52, 65 and 107). On the W side, or more precisely the NW side, where the above-mentioned depression begins, no features were found. About 600 artefacts from the period we are interested in were found in the features and outside them. The great majority of the artefacts were fragments of pottery.

Postholes, marked as separate features during the research, are connected with four features (52, 99, 107, 183). For the purposes of this analysis, we consider the postholes to be parts of larger features, i.e. of whole structures, the names (numbers) of which we will use in the text.

## 8.2. Source materials

### 8.2.1. Description of features and artefacts

Feature 31 [are K32]

At the discovery level, after levelling, a darker spot appeared. Its size was approx. 345 × 183–214 cm and it stretched along the SW-NE axis (Plate 8.1: 1). The exploration was carried out after marking the profile. The shallow feature consisted of two connected segments. In the SW part, the pit was slightly wider and deeper (up to approx. 20 cm below the discovery level), only here there were burnt stones and 2 fragments of pottery. The NE segment was shallower (up to approx. 10 cm below the discovery level).

1 fragment of a handmade vessel rim (Plate 8.1: 3) and the base of a vessel (Plate 8.1: 2) were found.

Feature 52 [ares L32 / M32]

*The feature includes a posthole marked as feature 62.*

At the discovery level, after levelling, a dark spot with not very clear boundaries appeared. It had a square-like outline (Plate 8.1: 4) and dimensions of approx. 240–245 cm (SW-NE axis) × 265–270 cm (SE-NW axis). In the SW corner, there was an abundant cluster of stones (including larger ones, some with traces of burning), which most likely came from a destroyed oven. The depth of the feature was up to 20 cm below

pochodziły z destrukcji pieca. Głębokość obiektu dochodziła do 20 cm poniżej poziomu jego uchwycenia. Na E od reliktów pieca, w sąsiedztwie centrum ściany SW, odsunięty ok. 30 cm od ściany, znajdował się dołek słupowy (obiekt 62, średn. ok. 20, głęb. 19 cm poniżej dna obiektu 52).

Znaleziono dużą zrekonstruowaną część naczynia garnkowatego z niezachowanym brzegiem (tabl. 8.1: 6), 1 fr. brzegu innego naczynia, wykonanego bez użycia koła garncarskiego (tabl. 8.1: 5), 3 fr. den (tabl. 8.1: 7; 8.2: 1, 2) oraz 11 fr. brzuśców naczyń; ponadto wydłużony gładzik kamienny z piaskowca ze śladami użytkowania (tabl. 8.2: 3). W sąsiedztwie obiektu wystąpił m.in. 1 fr. brzegu naczynia ręcznie lepionego (tabl. 8.5: 6).

Obiekt 63 [ar L25/M25]

*Częścią obiektu jest skupisko kamieni i fragmentów ceramiki o nazwie obiekt 64.*

Obiekt wyróżniono jako nieregularne, aczkolwiek obfite skupisko kamieni (w tym także większych głazów) i fragmentów naczyń, rozciągnięte po osi E-W na odcinku ok. 385 cm (licząc łącznie z położonym od W niewielkim „obiektem 64", oddzielonym wąską przerwą, mierzącą ok. 30 cm). Szerokość rozsypiska brył skalnych była zróżnicowana, dochodząc do 100 cm w części E. Tu grupowało się najwięcej kamieni oraz zabytków (tabl. 8.2: 4). Nie udało się zaobserwować zarysu jamy w kontekście skupiska.

Znaleziono całe – zrekonstruowane z wielu ułamków – naczynie garnkowate (tabl. 8.2: 5), 3 duże fr. górnych partii innych naczyń (tabl. 8.3: 1, 4, 6), w tym okaz z przewierconym otworem naprawczym, 2 drobne fr. brzegów (tabl. 8.2: 6), 19 fr. den, niektóre z nich lepiej zachowane (tabl. 8.2: 7, 9; 8.3: 2, 3, 5, 7, 8), w tym ułamek dna na nóżce (tabl. 8.2: 7) oraz 47 fr. brzuśców. Na żadnym z brzegów naczyń nie stwierdzono śladów obtaczania. Ponadto zebrano silnie skorodowany fr. przedmiotu żelaznego, który przypomina bodziec ostrogi z zachowanym częściowo kabłąkiem taśmowatym (tabl. 8.2: 8), jak też (w „obiekcie 64") masywny prostopadłościenny gładzik kamienny z piaskowca ze śladami użytkowania (tabl. 8.3: 9). W sąsiedztwie obiektu wystąpił m.in. 1 fr. brzegu naczynia wyłącznie ręcznie lepionego (tabl. 8.3: 10).

the discovery level. East of the relics of the oven, next to of the centre of the SW wall, located approx. 30 cm from the wall, there was a posthole (feature 62, diameter of approx. 20 cm., depth of 19 cm below the base of feature 52).

In the feature there was a large, reconstructed fragment of a pot without a preserved rim (Plate 8.1: 6), 1 fragment of the rim of a handmade vessel (Plate 8.1: 5), 3 fragments of vessel bases (Plates 8.1: 7; 8.2: 1, 2) and 11 fragments of vessel bodies as well as an elongated polishing stone made of sandstone with traces of use (Plate 8.2: 3). In the vicinity of the feature, there also was, among other things, 1 fragment of a handmade vessel rim (Plate 8.5: 6).

Feature 63 [ares L25/M25]

*The feature includes a cluster of stones and pottery fragments market as feature 64.*

The feature was an irregular, but abundant cluster of stones (including larger boulders) and fragments of vessels, stretching along the E-W axis over a distance of approx. 385 cm (including the small "feature 64" located in the W part and separated by a narrow, approx. 30 cm long gap). The width of the cluster of stones varied, reaching 100 cm in the E part, where most of the stones and artefacts were concentrated (Plate 8.2: 4). The outline of a pit in the context of the cluster was not observed.

In the feature there was a whole – reconstructed from many fragments – pot-like vessel (Plate 8.2: 5), 3 large fragments of the upper parts of other vessels (Plate 8.3: 1, 4, 6), including a fragment with a drilled repair hole, 2 small fragments of vessel rims (Plate 8: 2: 6), 19 fragments of vessel bases, some of them were well-preserved (Plates 8.2: 7, 9; 8.3: 2, 3, 5, 7, 8), including the fragment of a footed base (Plate 8.2: 7) and 47 fragments of vessel bodies. No traces of slow turning wheel technique were found on any of the rims. In addition, a strongly corroded fragment of an iron object resembling a spur shank with a partially preserved heelband (Plate 8.2: 8), as well as (in "feature 64") a massive rectangular polishing stone made of sandstone with traces of use (Plate 8.3: 9) were found. Near the feature, there was, among other things, 1 fragment of a handmade vessel rim (Plate 8.3: 10).

Obiekt 65 [ar L33]

Obiekt silnie zniszczony przez wcześniejsze roboty ziemne. Eksplorowano zachowany wąski (ok. 30–50 cm) fragment części N jamy, o długości ok. 200 cm (tabl. 8.4: 1). Poniżej warstwy ornej obiekt sięgał do głębokości 25 cm. W wypełnisku zalegały kamienie i ułamki naczyń.

Znaleziono 1 fr. brzegu naczynia wykonanego bez użycia koła garncarskiego (tabl. 8.4: 2), 5 fr. den (tabl. 8.4: 3–5) oraz ok. 75 ułamków ceramiki, w większości niewielkich okruchów słabo wypalonych naczyń.

Obiekt 99 [ar N26/N27]

*W skład obiektu wchodzi dołek słupowy o nazwie obiekt 120.*

Na poziomie uchwycenia po wyplantowaniu wyróżniało się brunatne wypełnisko jamy o zarysie zbliżonym do kwadratowego i wymiarach 450 (oś N-S) × 420 (oś E-W) cm (tabl. 8.4: 6). Granice obiektu były jednak niezbyt ostre wskutek licznych zakłóceń – głównie śladów aktywności drobnych zwierząt ziemnych. Eksplorację prowadzono po wyznaczeniu profilu krzyżowego, który podzielił obiekt na ćwiartki. Dość równe, płaskie dno przebiegało na głęb. ok. 10–12 cm poniżej poziomu uchwycenia obiektu. W centrum jamy i w jej części E zalegało parędziesiąt niedużych kamieni, w większości przepalonych. Ich rozmieszczenie miało charakter przypadkowy. W partii NE uchwycono dołek słupowy (obiekt 120) o formie owalnej w rzucie poziomym i wymiarach ok. 35 × 20 cm; w jego obrębie rozpoznano ciemniejszy trzon po zetlałym drewnie, o średnicy ok. 18 cm, sięgający do głębokości 20 cm poniżej dna obiektu 99.

Znaleziono dużą zrekonstruowaną dolną część naczynia garnkowatego (tabl. 8.5: 7), 8 fr. brzegów naczyń wykonanych bez użycia koła garncarskiego (tabl. 8.4: 7–9, 11; 8.5: 1, 3, 4), w tym 1 okaz zachylony do wnętrza naczynia (tabl. 8.4: 8), 5 fr. den (tabl. 8.4: 5; 8.5: 2, 5, 6) oraz 42 ułamki brzuśców. Ponadto zebrano 2 gładziki kamienne z piaskowca ze śladami użytkowania (tabl. 8.5: 8, 9).

Feature 65 [are L33]

The feature was heavily damaged by excavation. The preserved narrow (approx. 30–50 cm) fragment of the N part of the pit, approx. 200 cm long, was investigated (Plate 8.4: 1). Below the plough layer, the feature was 25 cm deep. There were stones and fragments of vessels in the fill.

In the feature there was 1 fragment of a handmade vessel rim (Plate 8.4: 2), 5 fragments of vessel bases (Plate 8.4: 3–5) and about 75 fragments of pottery, most of which were small shards of poorly fired pots.

Feature 99 [ares N26/N27]

*The feature includes a posthole marked as feature 120.*

At the discovery level, after levelling, a brown pit fill appeared. It had a square-like outline and dimensions of 450 cm (N-S axis) × 420 cm (E-W axis) (Plate 8.4: 6). The boundaries of the features, however, were not very clear as they were damaged mainly by small animals that live underground. The exploration was carried out after marking a cross profile, which divided the feature into quarters. A fairly even, flat base of the feature was about 10–12 cm below the discovery level. In the centre of the pit and in its E part, there were several dozen small stones, most of them burnt. Their distribution was random. In the NE part, there was a posthole (feature 120) with an oval plan and the dimensions of approx. 35 × 20 cm. Within it, there was a darker core made of decayed wood, about 18 cm in diameter, reaching a depth of 20 cm below the base of feature 99.

In the feature there was a large, reconstructed lower part of a pot-like vessel (Plate 8.5: 7), 8 fragments of handmade vessel rims (Plates 8.4: 7–9, 11; 8.5: 1, 3, 4), including 1 fragment bent towards the inside of the vessel (Plate 8.4: 8), 5 fragments of vessel bases (Plates 8.4: 5; 8.5: 2, 5, 6) and 42 fragments of vessel bodies. Moreover, two polishing stones made of sandstone with traces of use were found (Plate 8.5: 8, 9).

Obiekt 107 [ar N31]

*Składnikami obiektu są dołki słupowe, nazwane obiektami 114, 117, 123A, 128 i 129 (ryc. 8.5.).*

Na poziomie uchwycenia pojawiły się górne partie skupiska kamieni, w tym pojedyncze głazy o dużych (kilkudziesięciocentymetrowych) rozmiarach. Nie tworzyły one jednak uporządkowanego układu. Po wyplantowaniu pojawił się ciemniejszy zarys jamy o dość nieostrych granicach, które jednak dawały obraz obiektu o rzucie prostokątnym, zbliżonym do kwadratowego i wymiarach ok. 385 (oś SE-NW) × 350 (oś SW-NE) cm (tabl. 8.6: 1, ryc. 8.6.). Duże rozciągnięte w kierunku N-S skupisko kamieni, o wymiarach ok. 225 × 125 cm, zajmowało północną i centralną część jamy. Eksplorację prowadzono po wyznaczeniu profilu krzyżowego, który podzielił obiekt na ćwiartki. Dość równe, płaskie dno przebiegało na głęb. ok. 20 cm poniżej poziomu uchwycenia obiektu. W narożnikach N, W i S jamy

Feature 107 [are N31]

*The feature includes postholes marked as features 114, 117, 123A, 128, and 129 (Fig. 8.5.).*

At the discovery level, there were the upper parts of a stone cluster, including single large boulders (up to several dozen centimetres). They did not however form any regular layout. After levelling, the darker outline of a pit with rather unclear boundaries appeared. It seemed to be a feature with a square-like plan and dimensions of approx. 385 cm (SE-NW axis) × 350 cm (SW-NE axis) (Plate 8.6: 1, Fig. 8.6.). A large cluster of stones stretching along the N-S axis, with a size of approx. 225 × 125 cm, was located in the northern and the central part of the pit. The exploration was carried out after marking a cross profile, which divided the feature into quarters. A fairly even, flat base of the feature was approx. 20 cm below the discovery level. Postholes 128, 114 and 123A, 33–45 cm in diameters and

Ryc. 8.5. Jabłonica Ruska, stan. 1. Dołki posłupowe (114, 123, 128) będące częścią konstrukcji półziemianki nr 107
Fig. 8.5. Jabłonica Ruska, site. 1. Postholes (114, 123, 128) which were part of the structure of shallow pithouse no. 107

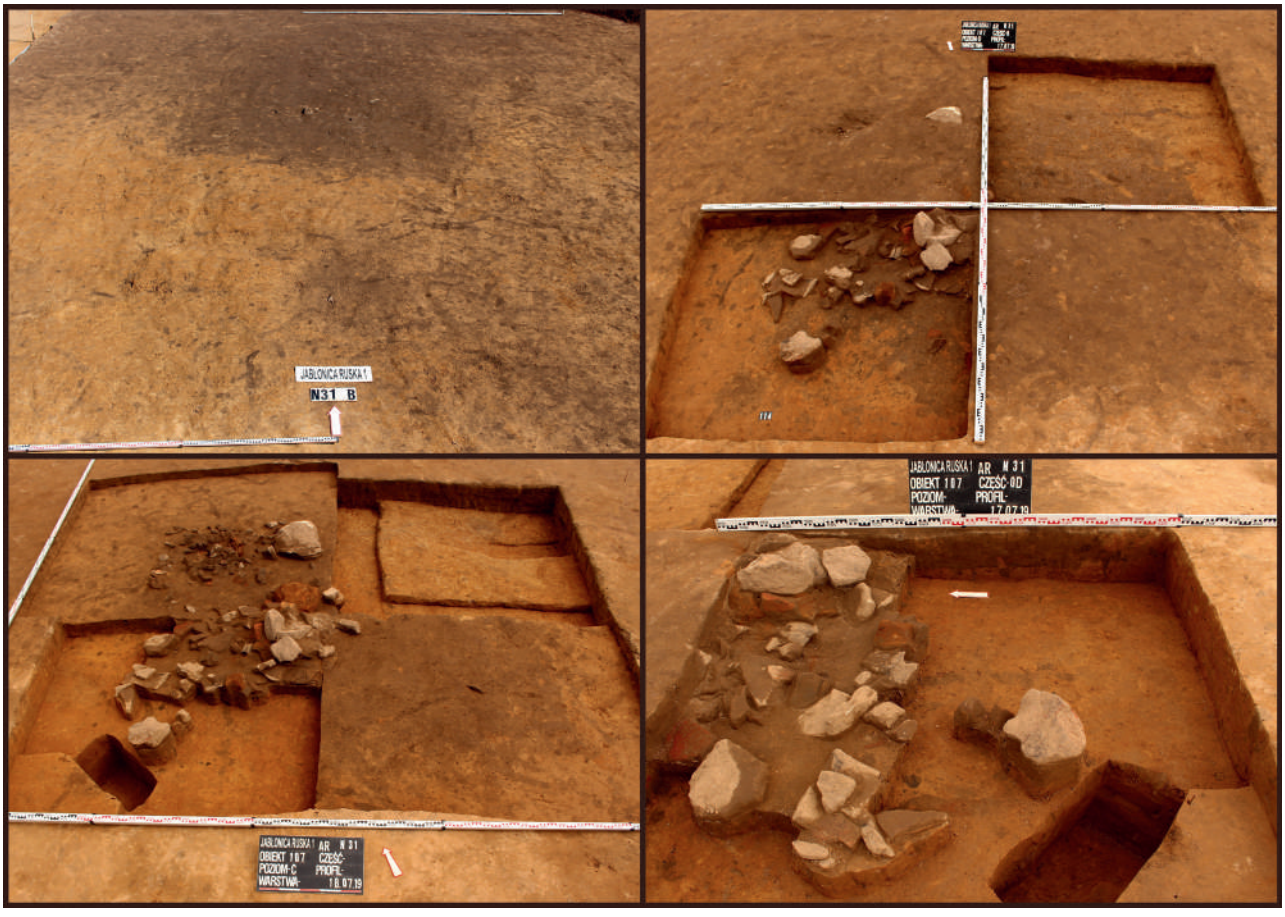


Ryc. 8.6. Jabłonica Ruska, stan. 1. Obiekt 107 w trakcie eksploracji
Fig. 8.6. Jabłonica Ruska, site. 1. feature 107 during exploration

odkryto dołki posłupowe 128, 114 i 123A o średnicach 33–45 cm i głębokości 25–40 cm poniżej dna obiektu. W pobliżu narożnika E stwierdzono dołek 117 o średnicy 50 cm, zagłębiony do 33 cm. Wreszcie w sąsiedztwie centrum ściany SW, ale wewnątrz obiektu, odsunięty ok. 30 cm od ściany, znajdował się najmniejszy dołek 129 (średn. ok. 30, głęb. 17 cm). W obrębie każdego z dołków dawał się rozpoznać ciemniejszy trzon – pozostałość po zetlałym drewnie słupa.

Znaleziono dużą zrekonstruowaną górną i środkową partię garnka (tabl. 8.7: 1), jak również podobnie zachowaną część misy (?) z brzegiem zachylonym do wnętrza (tabl. 8.6: 6); obydwa naczynia wykonano bez użycia koła garncarskiego. Ponadto zebrano 11 fr. den (tabl. 8.6: 4, 5, 7; 8.7: 2–7) oraz 71 fr. brzuśców. W ćwiartce południowej B0D obiektu 107 na gł. 0–10 cm [0 = poziom plantowania – por. tabl. 8.6: 1), a więc w górnych partiach wypełniska, wystąpiły

reaching 25–40 cm below the base of the feature, were discovered in the N, W and S corners of the pit. Posthole 117 with a diameter of 50 cm and a depth of 33 cm was found near the E corner. Finally, next to the centre of the SW wall, but inside the building, located approx. 30 cm from the wall, there was the smallest posthole 129 (approx. 30 cm in diameter, 17 cm deep). Within each of the postholes, there were darker cores made of decayed wood.

In the feature there was a large, reconstructed upper and middle part of a pot (Plate 8.7: 1), as well as a similarly preserved part of a bowl (?) with the rim bent inwards (Plate 8.6: 6). Both vessels were handmade. What is more, 11 fragments of vessel bases (Plates 8.6: 4, 5, 7; 8.7: 2–7) and 71 fragments of vessel bodies were found. In the southern quarter [B0D] of feature 107 at a depth of 0–10 cm [0 = the levelled part – see Plate 8.6: 1), i.e. in the upper parts of the fill, there were, among other things, two small fragments

m.in. dwa małe ułamki naczyń (fr. brzegu i fr. brzuśca), wyróżniające się na tle całego zbioru ceramiki z obiektu 107. Cechuje je stosunkowo niewielka grubość ścianek (0,6–0,85 cm), drobna domieszka schudzająca (do 1 mm), dość równa, szorstka powierzchnia i niezły wypał. Przy tym brzeg jest dość mocno wychylony na zewnątrz, nie udało się jednak potwierdzić ewentualnej obecności śladów obtaczania na kole garncarskim (tabl. 8.6: 3). Ponadto w obiekcie znaleziono 1 fr. glinianego przęślika dwustożkowatego o wysokości 2,5 cm, średn. 2,5 cm, średn. otworu 0,8 cm, barwy ceglastej; wyrób sporządzono z gliny schudzanej domieszką mineralną o b. drobnej (pylastej) granulacji (tabl. 8.6: 2). Wystąpił też domniemany gładzik kamienny – wydłużony otoczak piaskowcowy z niepewnymi śladami użytkowania (tabl. 8.7: 8).

of vessels (a fragment of a rim and a fragment of a base), which stand out in the pottery assemblage from feature 107. They are characterised by relatively thin walls (0.6–0.85 cm), fine-grained tempering admixture (up to 1 mm), fairly even, rough surfaces and good firing. The rim is quite strongly everted, but it was not possible to confirm the possible presence of traces of using the slow turning wheel technique (Plate 8.6: 3). What is more, 1 fragment of a biconical, brick colour, clay spindle whorl was found in the feature. It was 2.5 cm high with a diameter of 2.5 cm and it had a hole with a diameter of 0.8 cm. The product was made of clay that was tempered with a very fine-grained mineral admixture (Plate 8.6: 2). In the feature there was also a, probably, polishing stone – an elongated sandstone pebble with traces that may have

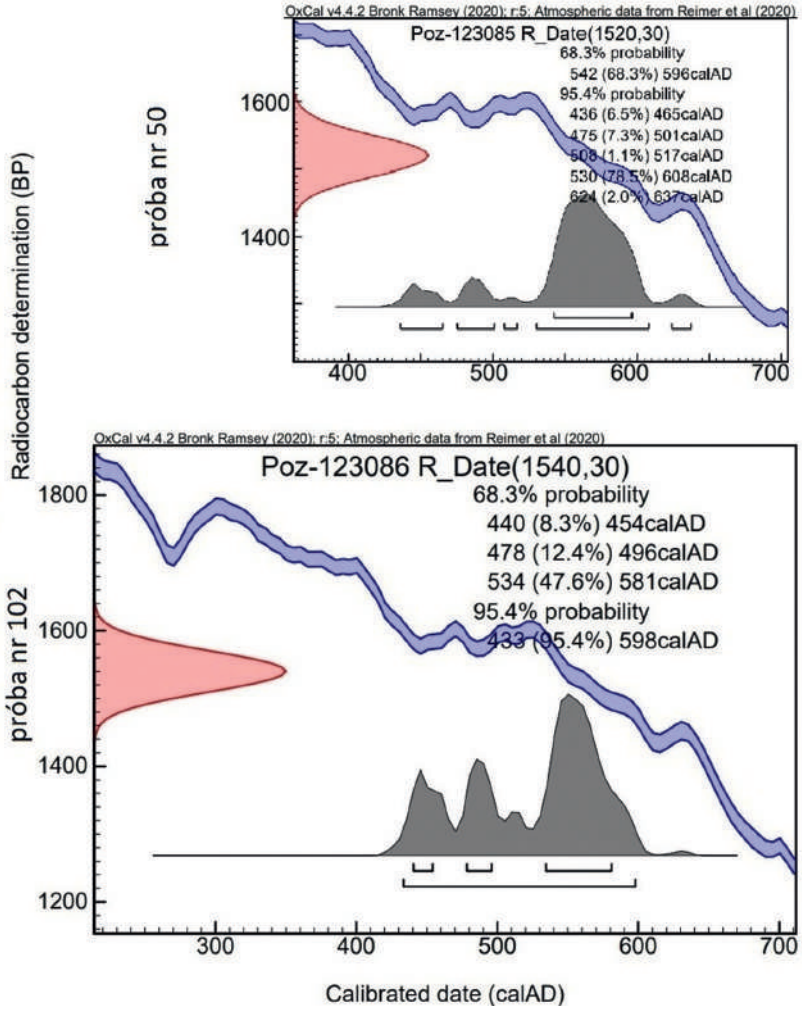


Ryc. 8.7. Jabłonica Ruska, stan. 1, obiekt 107. Wyniki datowań dwóch prób $^{14}$C, dokonanych w Poznańskim Laboratorium Radiowęglowym

Fig. 8.7. Jabłonica Ruska, site 1, feature 107. Results of two $^{14}$C analyses carried out at the Poznań Radiocarbon Laboratory

W sąsiedztwie obiektu wystąpił m.in. 1 fr. brzegu naczynia wyłącznie ręcznie lepionego (tabl. 8.7: 9).

Pobrane z wypełniska jamy dwie próby węgli drzewnych poddano ekspertyzie $^{14}C$, która po kalibracji wyników wskazuje następujący przedział datowania (ryc. 8.7.):

- próba nr 50 (Poz-123085) – lata 473–596 (64,6% prawdopodobieństwa),
- próba nr 102 (Poz-123086) – lata 431–491, 531–565 (68,2% prawdopodobieństwa),

przy czym zgeneralizowane ramy czasowe dla obydwu prób obejmują okres od ok. 430 do ok. 600 r. n.e. (95% prawdopodobieństwa).

### Obiekt 139 [ar R30/S30]

Obiekt wyróżniono jako nieregularne, dość liczne skupisko kamieni (w tym także większych głazów) i fragmentów naczyń, rozciągnięte po osi NE-SW, o wymiarach ok. 145 × 75 cm (tabl. 8.8: 1).

Znaleziono górną część naczynia garnkowatego – brzeg wraz z dużą partią brzuśca (tabl. 8.8: 4), brzegi dwóch kolejnych naczyń (tabl. 8.8: 2, 6), 4 fr. den z partiami przydennymi (tabl. 8.8: 3, 5), ponadto 62 fr. brzuśców. Zebrano też 2 gładziki kamienne na otoczakach piaskowcowych, ze śladami użytkowania (tabl. 8.8: 7, 8).

### Obiekt 183 [ar S28/T28]

*Istnieje prawdopodobieństwo, że składnikami obiektu są dołki słupowe nazwane obiektami 193, 194 i 204, a niewykluczone, że również kolejny dołek, obiekt 198.*

Obiekt wyróżniono jako nieregularne, dość liczne skupisko kamieni (w tym także większych głazów; część nosiła ślady przepalenia) i niewielu fragmentów naczyń. Rozrzut rozsypiska obejmował przestrzeń ok. 188 × 125 cm. Poniżej poziomu zalegania kamieni odsłonięto dwa dołki słupowe, które być może również wchodziły w skład struktury zniszczonego obiektu. Pierwszy od strony W był dołek nazwany obiektem 194 (średnica ok. 50 cm, głęb. 15 cm poniżej poziomu uchwycenia), przykryty od góry częścią skupiska kamieni. Ok. 100 cm na SE od niego znajdował się drugi dołek (obiekt 193, wymiary ok. 58 × 42 cm, głęb. 12 cm). Kolejny (trzeci) dołek (obiekt 204)

resulted from use (Plate 8.7: 8). In the vicinity of the feature, there was, among other things, 1 fragment of a handmade vessel rim (Plate 8.7: 9).

Two charcoal samples taken from the pit fill underwent the $^{14}C$ analysis, which, after calibration of the results, shows the following dating range (Fig. 8.7.):

- sample no. 50 (Poz-123085) – years 473–596 (64.6% probability),
- sample no. 102 (Poz-123086) – years 431–491, 531–565 (68.2% probability).

The general time frame for both samples covers the period from around 430 to around 600 CE. (95% probability).

### Feature 139 [ares R30/S30]

The feature was an irregular cluster of quite a large number of stones (including larger boulders) and fragments of vessels, stretching along the NE-SW axis, with dimensions of approx. 145 × 75 cm (Plate 8.8: 1).

In the feature there was the upper part of a pot-like vessel – the rim with a large part of the body (Plate 8.8: 4), the rims of two other vessels (Plate 8.8: 2, 6), 4 fragments of the base parts of vessels (Plates 8.8: 3, 5) and 62 fragments of vessel bodies. Two polishing stones made of sandstone pebbles with traces of use were also found (Plate 8.8: 7, 8).

### Feature 183 [ares S28/T28]

*It is possible that the feature includes the postholes marked as features 193, 194, and 204, as well as the other posthole, marked as feature 198.*

The feature was an irregular cluster of a quite large number of stones (including larger boulders; some had traces of burning) and a few fragments of vessels. It spread over an area of about 188 × 125 cm. Below the layer of stones, two postholes, which may have been part of the structure of the destroyed feature, were discovered. The first posthole, counting from the W side, marked as feature 194 (approx. 50 cm in diameter, depth of 15 cm below the discovery level), was covered from above with part of the stone cluster. Approx. 100 cm farther, towards the SE, there was the second posthole (feature 193, with dimensions of approx. 58 × 42 cm and 12 cm deep). The next (third) posthole (feature

uchwycono na przedłużeniu linii łączącej dołki 194 i 193, w odległości ok. 100 cm na SE od tego ostatniego. Dołek 204 miał wymiary 62 × 50 cm i sięgał do głębokości 16 cm. Nie da się wreszcie wykluczyć, że w skład struktury omawianego obiektu wchodził jeszcze jeden dołek (obiekt 198, ar S29), położony w odległości ok. 400 cm na SW od dołka 204 i usytuowany pod kątem prostym w stosunku do linii wyznaczonej przez dołki (kolejno) 194 – 193 – 204, jeśli dołek 204 potraktować jako narożnik tego kąta. Gdyby tak było, to należałoby dopuścić możliwość, że mamy do czynienia ze słabo zachowanymi reliktami najniższej partii półziemianki o słupowej konstrukcji ścian, z rozwleczonymi szczątkami pieca kamiennego.

Znaleziono dużą zrekonstruowaną górną i środkową partię garnka (tabl. 8.9: 1), a także 2 fr. brzegów innych naczyń (tabl. 8.8: 10, 11), wszystkie wykonane bez użycia koła garncarskiego.

Znaczna część kolejnego naczynia została zrekonstruowana od dna do poziomu największej wydętości brzuśca (tabl. 8.9: 5). Ponadto zebrano 3 fr. den z partiami przydennymi (tabl. 8.9: 2–4) oraz 21 fr. brzuśców.

### 8.2.2. Zabytki ruchome pochodzące spoza obiektów nieruchomych

Poza obiektami znaleziono ok. 200 fragmentów ceramiki wczesnosłowiańskiej, w tym elementy charakterystyczne, tzn. ułamki brzegów i den naczyń. Niektóre z nich zebrano w sąsiedztwie opisanych wyżej struktur archeologicznych (por. np. tabl. 8.3: 10; 8.7: 9), inne tylko poświadczają funkcjonowanie osiedla w tym miejscu (tabl. 8.9: 6–9).

## 8.3. Charakterystyka zabytków ruchomych

### 8.3.1. Uwagi wstępne

Łączna liczba zabytków ruchomych z doby wczesnosłowiańskiej – w ogromnej przewadze ułamków ceramiki – wyniosła ponad 600 okazów, z tego z górą 400 zebrano z obiektów. Jednostkę obliczeniową w tej statystyce stanowi zarówno pojedyncza

204) was found on the extension of the line connecting postholes 194 and 193, approximately 100 cm towards the SE from the latter. Posthole 204 had dimensions of 62 × 50 cm and it was 16 cm deep. Finally, it cannot be ruled out that the structure of the discussed feature included one more posthole (feature 198, are S29), located approximately 400 cm towards the SW from posthole 204 and situated at a right angle to the line of postholes (in that order) 194 – 193 – 204, if posthole 204 is considered to be the vertex of this angle. If this were the case, then it would be possible that the postholes are poorly preserved relics of the lowest part of a shallow post frame pithouse with the remains of a stone oven scattered around.

In the feature there was a large, reconstructed upper and middle part of a pot (Plate 8.9: 1) as well as 2 fragments of the rims of other vessels (Plate 8.8: 10, 11). All of them were handmade.

Large part of another vessel was reconstructed from the base to the maximum body diameter (Plate 8.9: 5). Also, 3 fragments of vessel bases (Plate 8.9: 2–4) and 21 fragments of bodies were found in the feature.

### 8.2.2. Artefacts found outside features

About 200 fragments of pottery from the early Slavic period were found outside the features, including some characteristic elements, i.e. fragments of rims and bases. Some of them were discovered near the features described above (see, for example, Plates 8.3: 10; 8.7: 9), the others only confirm the settlement functioning in this place (Plate 8.9: 6–9).

## 8.3. Characteristics of artefacts

### 8.3.1. Basic information

The total number of artefacts from the early Slavic period – mostly fragments of pottery – is over 600, of which over 400 were found in features. The calculation unit in this statistic is both a single fragment as well as a large part of the vessel

skorupa, jak i duża część naczynia wyklejona z kilku czy nawet kilkudziesięciu fragmentów. Z obiektów wczesnosłowiańskich pochodzi ponadto 1 fr. przedmiotu żelaznego o nieznanej pierwotnej funkcji (przypominającego bodziec ostrogi z częścią kabłąka), ułamek przęślika glinianego i 7 gładzików kamiennych na otoczakach z piaskowca.

made of several or even several dozen fragments. In the features from the early Slavic period there was also 1 fragment of an iron object of unknown function (resembling spur shank with a fragment of the heelband), a fragment of a clay spindle whorl and 7 polishing stones made of sandstone pebbles.

### 8.3.2. Ceramika naczyniowa

W ujęciu statystycznym ułamki naczyń glinianych stanowią ok. 98% ogólnej liczby zabytków ruchomych z obiektów wczesnosłowiańskich na stan. 1 w Jabłonicy Ruskiej. Po dopasowaniu i wyklejeniu fragmentów udało się zrekonstruować jeden garnek w całości (tabl. 8.2: 5) i kilka dalszych w znacznej części (por. tabl. 8.1: 6; 8.3: 1; 8.6: 6; 8.7: 1; 8.9: 1, 5).

Przygotowując surowiec do wyrobu naczyń, dodawano do gliny dużą ilość szamotu, który stwierdzamy praktycznie w całym materiale ceramicznym, a ponadto dosypywano do gliny mniej lub więcej gruboziarnistej domieszki skalnej (zwykle tłucznia), o granulacji osiągającej niekiedy 1 cm. Wypał gotowych naczyń był zwykle słaby – nierównomierny i prowadzony w niskiej temperaturze, co odbija się na jakości wyrobów. Grubość ścianek naczyń waha się w przedziale od ok. 0,8 do 1,2 cm (nie uwzględniając den, które dochodzą czasem do 2 cm grubości). Technika produkcji tutejszej ceramiki polegała na ręcznym wylepianiu naczyń, bez użycia koła garncarskiego. Na łączną liczbę zachowanych 27 brzegów naczyń tylko w jednym przypadku (tabl. 8.6: 3) nie da się wykluczyć (ani też jednoznacznie potwierdzić), że mały fragment brzegu z obiektu 107 nosi ślady obtaczania; wrócimy do tej kwestii poniżej. Powierzchnie niemal wszystkich naczyń (poza wspomnianymi wyżej dwoma drobnymi fragmentami) mają charakterystyczną gruzełkowatą fakturę i noszą ślady różnokierunkowego wygładzania. Powyższe cechy całkowicie pokrywają się ze specyficznymi właściwościami ceramiki z najstarszego horyzontu kultury wczesnosłowiańskiej (Parczewski 1988a, s. 28–31; por. także Fusek 1994, s. 14–76; Profantová 2005, s. 139–167; Stanciu 2011, s. 171–260, 554–571).

### 8.3.2. Clay vessels

The fragments of clay vessels are approx. 98% of the total number of artefacts found in the early Slavic features at the archaeological site no. 1 in Jabłonica Ruska. After matching and gluing the fragments, it was possible to fully reconstruct one pot (Plate 8.2: 5) and several other pots were partly reconstructed (see Plates 8.1: 6; 8.3: 1; 8.6: 6; 8.7: 1; 8.9: 1, 5).

During the preparation of the raw material used for making dishes, a large amount of fireclay, which is found in, practically, all the pottery, and more or less coarse-grained rock admixture (usually crushed stone), with a granulation of, sometimes, up to 1 cm, was added to the clay. The firing of the finished vessels was usually poor – uneven and carried out at a low temperature, which had an impact on the quality of the products. The thickness of the walls of the vessels ranges from about 0.8 to 1.2 cm (excluding the bases, which are sometimes up to 2 cm thick). The technique of making the pottery was based on handbuilding, without the use of a potter's wheel. For the total number of the preserved 27 vessel rims, only in one case (Plate 8.6: 3) it cannot be excluded (or unequivocally confirmed) that the small fragment of a rim from feature 107 shows traces of slow turning wheel technique. We will come back to this below. The surfaces of almost all the vessels (except for the two above-mentioned small fragments) have characteristic textures with pellets and traces of multi-directional smoothing. The above-mentioned characteristics are identical to the specific properties of the pottery from the beginning of the early Slavic period (Parczewski 1988a, pp. 28–31; see also Fusek 1994,

Jak już wspomniano, w górnych partiach wypełniska obiektu 107 wystąpiły dwa małe ułamki naczyń (fragment brzegu i brzuśca), odbiegające od charakterystyki właściwej dla ceramiki wczesnosłowiańskiej. Obydwa zabytki cechuje stosunkowo niewielka grubość ścianek (0,6–0,85 cm), drobna domieszka schudzająca (do 1 mm), dość równa, szorstka powierzchnia i niezły wypał. Brzeg jest dość mocno wychylony na zewnątrz (tabl. 8.6: 3). Nie udało się jednak potwierdzić ewentualnej obecności śladów obtaczania na kole garncarskim. Wspomniane dwa fragmenty wyróżniają się swoimi cechami progresywnymi na tle całej reszty ceramiki wydobytej z obiektów wczesnosłowiańskich na omawianym stanowisku. Ostrożnie można zakładać, że albo doszło do wtórnego wmieszania młodszych artefaktów do struktury wczesnosłowiańskiej, albo mamy do czynienia z sygnalnym odzwierciedleniem początków transformacji w zakresie wytwórczości garncarskiej, która dokonywała się w dorzeczu górnej Wisły już od przełomu VI/VII w., gdy w składzie zespołów ceramicznych pojawiają się pierwsze naczynia śladowo (tylko przykrawędnie) obtaczane na kole garncarskim (Parczewski 1988a, s. 70–75, 102–106). Na podstawie bardzo skromnych artefaktów (a w gruncie rzeczy jednego drobnego ułamka brzegu naczynia) trudno budować daleko idące hipotezy, ale warto zauważyć, że podobnie ukształtowane wylewy mają w południowej Polsce bardzo dobrze udokumentowaną metrykę – pojawiają się najpóźniej w 2. ćwierćwieczu VII w. (Poleska, Bober 1996, ryc. 16:1, 6, 9; 18:17, 18; 19:17; 21:12; Krąpiec 1996).

Odtworzone w całości naczynie z obiektu 63 (tabl. 8.2: 5) oraz zrekonstruowany w dużej części okaz z obiektu 183 (tabl. 8.9: 1) reprezentują typ 2, odmianę 2.2 wg klasyfikacji naczyń wczesnosłowiańskich zaproponowanej przez autora niniejszych uwag i reprezentują garnki zaliczane do przewodniej formy ceramiki kultury praskiej (Parczewski 1988a, s. 35, 47–48, ryc. 3). Z najwyższym prawdopodobieństwem można poszerzyć ten zbiór o zachowane w mniejszym stopniu egzemplarze z obiektów 63 (tabl. 8.3: 1) i 139 (tabl. 8.8: 4).

O ile większość naczyń z Jabłonicy należała najpewniej do kategorii garnków (typy 2–7 wg M. Parczewskiego) lub garnkowatych naczyń

pp. 14–76; Profantová 2005, pp. 139–167; Stanciu 2011, pp. 171–260, 554–571).

As already mentioned, in the upper parts of the fill of feature 107, there were two small fragments of vessels (a fragment of a rim and a fragment of a body) with no characteristics typical of the early Slavic pottery. Both artefacts have relatively thin walls (0.6–0.85 cm), fine-grained tempering admixture (up to 1 mm), fairly even, rough surfaces and decent firing. The rim is quite strongly everted (Plate 8.6: 3). However, it was not possible to confirm that the slow turning wheel technique was used to build the vessel. The two fragments differ from the rest of the pottery found in the early Slavic period features at the site because of their progressive characteristics. It can be carefully assumed that either younger artefacts were mixed with the early Slavic materials, or they may indicate the start of transformation in the field of pottery production, which began in the upper Vistula river basin as early as in the 6/7th centuries. The first partly wheel-thrown vessels (with wheel-thrown rims) appear in pottery assemblages from that period (Parczewski 1988a, pp. 70–75, 102–106). It is difficult to build far-reaching hypotheses based on so few artefacts (in fact, on one small fragment of the rim), but it is worth noting that similarly shaped spouts have a very well documented chronology in southern Poland – they first appeared in the second quarter of the 7th century (Poleska, Bober 1996, Figs. 16: 1, 6, 9; 18: 17, 18; 19: 17; 21: 12; Krąpiec 1996).

The completely reconstructed vessel from feature 63 (Plate 8.2: 5) and the largely reconstructed one from feature 183 (Plate 8.9: 1) are of type 2, subtype 2.2 according to the classification of the early Slavic period vessels proposed by the author of this article and represent pots classified as the main form of pottery of the Prague culture (Parczewski 1988a, pp. 35, 47–48, fig. 3). We may assume that, with very high probability, the vessels from features 63 (Plate 8.3: 1) and 139 (Plate 8.8: 4), which were in worse state of preservation, also belong to the type.

While most of the pottery from Jabłonica Ruska was, probably, pots (types 2–7 according to M. Parczewski) or pot-like, squat vessels (type 10; Parczewski 1988a, pp. 35–36, 47–50, Figs. 3–7, 9, 10),

krępych, bardziej przysadzistych (typ 10; Parczewski 1988a, s. 35–36, 47–50, ryc. 3–7, 9, 10), to wystąpiły też fragmenty naczyń misowatych o swoiście ukształtowanym brzegu, zachylonym do wnętrza. Pochodzą z obiektu 99 (tabl. 8.4: 8) i 107 (tabl. 8.6: 6). Wg klasyfikacji autora reprezentują one naczynia misowate typu 11 odmiana 11.2, które badacze ceramiki z terenu Ukrainy, Słowacji i Rumunii uznają za archaiczny składnik wczesnosłowiańskiego wyposażenia kulturowego (Parczewski 1988a, s. 36, 49, ryc. 11; por. też Fusek 1994, s. 45–56, ryc. 35:III1bBV, IV1bBV; 52:100; Stanciu 2011, s. 229, fig. 121:100; tam literatura).

Wartościowy atrybut umożliwiający określenie przynależności kulturowej, a w pewnym stopniu także przybliżenie czasu wytworzenia naczyń, stanowi ukształtowanie brzegu. Wyznacznikami najstarszych reliktów kultury praskiej nie tylko na ziemiach polskich są m.in. brzegi o krótkiej, pionowo usytuowanej krawędzi. Najwcześniejszą metrykę przypisuje się bardzo krótkiej pionowo osadzonej krawędzi, która została bądź to poziomo ścięta (odmiana Ba wg M. Parczewskiego), bądź zaokrąglona (odmiana Ea), bądź wreszcie poziomo ścięta z charakterystycznym występem (odmiana Be; Parczewski 1988a, s. 52–64, ryc. 12–15; por. Profantová 2005, s. 162–165, ryc. 64, tab. 26). W materiałach z Jabłonicy Ruskiej występują wszystkie wymienione warianty wczesnych brzegów naczyń (tabl. 8.2: 5; 8.3: 1; 8.5: 1, 3; 8.7: 9; 8.8: 4, 11; 6; 8.9: 1).

Na szczególną uwagę zasługuje znaleziony w obiekcie 63 fragment dna naczynia na wyraźnie wyodrębnionej nóżce (tabl. 8.2: 7). Według klasyfikacji ceramiki wczesnosłowiańskiej z ziem polskich, opracowanej w latach 1980 przez autora, naczynia z tak uformowanym dnem, zaliczone do odmiany den Kg, występowały na terenie Polski zachodniej i centralnej w młodszym stadium wczesnosłowiańskiego kręgu kulturowego, ale nie były wówczas znane z dorzecza górnej Wisły (Parczewski 1988a, s. 60, 65–66, ryc. 16). Podkreśliłem wtedy jednak, że niektóre naczynia na nóżce z terenu Ukrainy pochodzą już z bardzo wczesnego stadium kultury praskiej (por. Rusanova, Timoščuk 1984, tabl. 14:4, 28:7; 32:9, wklejka po s. 34). Nie da się zatem wykluczyć, że znalezisko z obiektu 63 jest najstarszym okazem tego rodzaju w materiałach słowiańskich

there were also fragments of bowl-like vessels with interesting, inverted rims. They come from features 99 (Plate 8.4: 8) and 107 (Plate 8.6: 6). According to the author's classification, they are bowl-like vessels of type 11, subtype 11.2, which researchers from Ukraine, Slovakia and Romania consider to be archaic components of the early Slavic cultural goods (Parczewski 1988a, pp. 36, 49, Fig. 11; see also Fusek 1994, p. 45–56, Figs. 35: III1bBV, IV1bBV; 52: 100; Stanciu 2011, p. 229, Fig. 121: 100; literature there).

The shape a rim is a valuable attribute that makes it possible to identify the cultural affiliation, and, to some extent, to approximate the time when the vessel was made. The indicators of the oldest relics of the Prague culture, not only in Poland, are, among other things, rims with short, vertical edges. The earliest chronology is attributed to very short, vertical rims, which were cut horizontally (type Ba according to M. Parczewski), rounded (type Ea), or cut horizontally with a characteristic protrusion (type Be; Parczewski 1988a, pp. 52– 64, Figs. 12–15; see Profantová 2005, pp. 162–165, Fig. 64, Plate 26). The collection from Jabłonica Ruska contains all the above-mentioned types of the early Slavic vessel rims (Plates 8.2: 5; 8.3: 1; 8.5: 1, 3; 8.7: 9; 8.8: 4, 11; 6; 8.9: 1).

The fragment of the base of a vessel with a clearly separated foot found in feature 63 (Plate 8.2: 7) is particularly interesting. According to the classification of the early Slavic pottery from Poland, developed in the 1980s by the author, vessels with such bases, classified as Kg base type, were used in the western and central Poland in the younger phase of the early Slavic period, but they did not appear in the basin of the upper Vistula river (Parczewski 1988a, pp. 60, 65–66, Fig. 16). However, I emphasised then that some footed vessels found in the territory of Ukraine come from a very early phase of the Prague culture (see Rusanova, Timoščuk 1984, Plates 14: 4, 28: 7; 32: 9, insert after p. 34). Therefore, it cannot be ruled out that the find from feature 63 is the oldest specimen of its kind among the Slavic materials from the Vistula river and the Oder river basins. Currently, there are more recent studies of the

z dorzecza Wisły i Odry. Obecnie dysponujemy nowszymi monografiami ceramiki wczesnosłowiańskiej na terenie środkowej Europy. Okaz pierścieniowatego dna ze Słowacji wystąpił w obiekcie datowanym na schyłek VI – 1. poł VII w. (Fusek 1994, s. 58, 112, 217, tab. 2, 3, tabl. XXVIII:5), Podobnie uformowane okazy spotykane są też w Czechach (Profantová 2005, s. 166, ryc. 65), a na pojedynczy jak dotąd egzemplarz natrafiono w północno-zachodniej Rumunii (Stanciu 2011, ryc. 81, tabl. 78:2).

### 8.3.3. Przedmiot żelazny

Odkrycie w obiekcie 63 silnie skorodowanego fragmentu przedmiotu żelaznego, który przypomina bodziec ostrogi z zachowanym częściowo kabłąkiem taśmowatym (tabl. 8.2: 8), nie jest łatwe do interpretacji. Współczesna wiedza nie wskazuje na występowanie ostróg (o ile omawiany przedmiot w ogóle pełnił taką funkcję) w zespołach kultury wczesnosłowiańskiej na terenie środkowo-wschodniej Europy. Dawniejsze próby łączenia z omawianym kręgiem kulturowym znalezisk innego wprawdzie typu ostróg – z zaczepami haczykowato zagiętymi do wnętrza kabłąka (którego ramiona miały zresztą przekrój półkolisty, nie taśmowaty) – zostały dość dawno temu odrzucone (Parczewski 1988a, s. 96–101, tam literatura) i po upływie z górą trzech dekad nic nie wskazuje na potrzebę rewizji tego poglądu. Prośbę o opinię co do ewentualnej nieco wcześniejszej metryki artefaktu, obejmującej dobę wędrówek ludów, skierowałem do wybitnego znawcy tego okresu, prof. Bartosza Kontnego z Uniwersytetu Warszawskiego. W udzielonej w dn. 7.07.2021 r. odpowiedzi prof. Kontny zdecydowanie zakwestionował taką możliwość: „nic nie wskazuje na ostrogę z okresu wędrówek ludów: domniemany bodziec byłby stanowczo zbyt długi, a kabłąk z kolei zbyt wąski”[1]. Jeśli rzeczywiście mamy do czynienia z fragmentem ostrogi, co – podkreślam – wcale nie jest pewne, to należałoby brać pod uwagę możliwość dostania się tego przedmiotu do obiektu 63 jako późniejszej intruzji.

[1] Bardzo dziękuję Panu Profesorowi za łaskawą informację.

early Slavic pottery from Central Europe. An annular base of a vessel from Slovakia was found in a feature dated to the period between the end of the 6th and the 1st half of the 7th century (Fusek 1994, pp. 58, 112, 217, Plates 2, 3, Plate XXVIII: 5). Similar finds are also discovered in the Czech Republic (Profantová 2005, p. 166, Fig. 65) and a single specimen of this kind, so far, was found in northwestern Romania (Stanciu 2011, Fig. 81, Plate 78: 2).

### 8.3.3. Iron object

The discovery of a highly corroded fragment of an iron object in feature 63, which resembles a spur shank with a partially preserved heelband (Plate 8.2: 8), is not easy to interpret. According to the current state of knowledge, spurs (if the object in question had such a function at all) were not used in the early Slavic period settlements in Central and Eastern Europe. The earlier attempts to connect a different type of finds – spurs with hooks bent inwards (not with band-like but with semicircular cross-sections of the heelbands) with the discussed cultural circle were rejected quite a long time ago (Parczewski 1988a, pp. 96–101, literature there) and after more than three decades, there is no need to revise this view. I asked an eminent expert on this period, prof. Bartosz Kontny from the University of Warsaw about the possible earlier chronology of the artefact, including the Migration period. On 07/07/2021, prof. Kontny replied and strongly questioned the hypothesis: “nothing indicates that the spur comes from the Migration period: the alleged shank would be far too long and the heelband, in turn, too narrow”[1]. If we are really dealing with a fragment of a spur, which – I emphasize – is not certain at all, then the possibility that this object was placed in feature 63 later should be taken into account.

[1] I wish to express my profound gratitude to prof. Bartosz Kontny for the kind help.

### 8.3.4. Przęślik gliniany

Oprócz ceramiki naczyniowej, która pod względem liczebności stanowi zupełnie bezkonkurencyjną kategorię znalezisk, przęśliki należą do stosunkowo najpopularniejszych zabytków wczesnosłowiańskich (Parczewski 1988a, s. 89–91, tam literatura). Zachowany tylko w mniej niż połowie dwustożkowaty przęślik gliniany z obiektu 107 (tabl. 8.6: 2) reprezentuje typ 1 wariant 1a przęślików wczesnosłowiańskich wg klasyfikacji autora niniejszych uwag (Parczewski 1993, s. 78–80, Abb. 22), czyli odmianę występującą zdecydowanie najliczniej w zespołach z VI–VII w. Są to formy dwustożkowate o płaskich biegunach. Podobnie jak w przypadku omawianego okazu, wykonywano je z gliny schudzanej domieszką mineralną o pylastej granulacji, to znaczy poszczególne ziarna nie są dostrzegalne gołym okiem (Parczewski 1988a, s. 89–91).

### 8.3.5. Gładziki/osełki

W obiektach 52, 63, 99, 107 i 139 znaleziono w sumie siedem gładzików/osełek kamiennych, których funkcję najczęściej pełniły wydłużone otoczaki z piaskowca, niektóre o bardziej, inne mniej regularnej formie (tabl. 8.2: 3; 8.3: 9; 8.5: 8, 9; 8.7: 8; 8.8: 7, 8). Ślady użytkowania tych przedmiotów nie zawsze są bezdyskusyjne, ale analogiczne niezbędne w gospodarstwie domowym narzędzia znane są na całym obszarze występowania kultury wczesnosłowiańskiej (Parczewski 1988a, s. 92 tam literatura).

## 8.4. Chronologia

Dysponujemy dwoma kategoriami przesłanek, które umożliwiają wskazanie czasu funkcjonowania osiedla wczesnosłowiańskiego w Jabłonicy Ruskiej: pierwsza z nich stanowi rezultat rozbioru cech zabytków ruchomych, druga sięga do wyników analiz radiowęglowych. W ten sposób wzajemnie weryfikują się efekty badań uzyskane zupełnie niezależnie od siebie na gruncie dwóch różnych dyscyplin wiedzy, archeologii i fizyki.

### 8.3.4. Clay spindle whorl

Apart from pottery, which is definitely the most numerous type of finds, spindle whorls are, relatively, the most common artefacts from the early Slavic period (Parczewski 1988a, pp. 89–91, literature there). The partly, less than 50%, preserved biconical, clay spindle whorl from feature 107 (Plate 8.6: 2) is of type 1 subtype 1a of the early Slavic spindle whorls according to the classification of the author of the article (Parczewski 1993, pp. 78–80, Abb. 22), i.e. the most common type of spindle whorls found in assemblages from the 6th and 7th centuries. They are biconical in shape and have flat ends. As in the case of the discussed specimen, they were made of clay tempered with a very fine-grained mineral admixture, i.e. individual grains of admixture are not visible to the naked eye (Parczewski 1988a, pp. 89–91).

### 8.3.5. Polishing stones/whetstones

In features 52, 63, 99, 107 and 139, a total of seven polishing stones/whetstones, made of, most often, elongated sandstone pebbles with more or less regular shapes (Plates 8.2: 3; 8.3: 9; 8.5: 8, 9; 8.7: 8; 8.8: 7, 8) were found. The traces of use on them are not always indisputable, but similar tools necessary in the household were found in the entire area of the early Slavic culture (Parczewski 1988a, p. 92, literature there).

## 8.4. Chronology

There are two kinds of evidence which can be used to identify the time of functioning of the early Slavic period settlement in Jabłonica Ruska: the results of the artefact features analysis and the results of the radiocarbon analyses. In this way, the results of research obtained independently of each other in two different fields, archaeology and physics, can be compared and verified.

Świadectwa archeologiczne pozwalają na bardzo jednoznaczne przypisanie badanego kompleksu do wczesnosłowiańskiego środowiska kulturowego, którego przenikanie na ziemie wschodniej Polski uznajemy za możliwe już w 2. połowie V w. (Godłowski 2000, *passim*). Pierwszy dobrze udokumentowany etap rozwoju tego kręgu w dorzeczu górnej Wisły przypada na VI w., a mniej więcej od przełomu VI/VII w. rusza transformacja, która w ciągu VII w. płynnie przetwarza wczesnosłowiańskie wzorce kulturowe, nadając im w ewolucyjnym trybie nowy format, typowy dla tzw. doby plemiennej.

Z omówionych powyżej znalezisk zabytków ruchomych tylko ceramika posiada potencjał w zakresie ustaleń chronologicznych. Przede wszystkim na plan pierwszy wysuwa się wyjątkowo jednorodny charakter zbadanych zespołów, udokumentowany przez brak mocno potwierdzonej obecności naczyń obtaczanych na kole garncarskim (z nader niepewnym wyjątkiem jednego drobnego okazu brzegu naczynia z obiektu 107) oraz zupełny brak ceramiki ornamentowanej. Absencja w Jabłonicy niezmiernie ważnych atrybutów późniejszej ceramiki wczesnośredniowiecznej – chociaż nie musi być uznana za czynnik jednoznacznie przesądzający – stanowi nader silne świadectwo wczesnej pozycji analizowanych materiałów, które teoretycznie mogą pochodzić już z 2. połowy czy raczej schyłku V w., ale najbardziej prawdopodobny czas ich wyrobu i użytkowania przypada na VI w., aż po przełom VI/VII w. Oczywiście ten system nie działa mechanicznie, to znaczy, że również później, chyba w ciągu całego VII stulecia, w niektórych zespołach osadowych kultury praskiej nadal może występować wyłącznie ceramika „archaiczna" (wykonana bez użycia koła i niezdobiona), ale początek zmiany i proces jej narastania w VII w. zostały zapewne trafnie uchwycone. Dodajmy, że obecność pojedynczych wtrętów naczyń obtaczanych została odnotowana w jednym z zespołów osadowych nad środkowym Sanem (Bachórz, stan. 16) już w omawianej szóstowiecznej fazie dziejowej (Parczewski 1988a, s. 70–75). Rezultaty prac autora tych słów nad charakterystyką wczesnego stadium okresu wczesnosłowiańskiego zostały ogłoszone drukiem przed z górą trzema dekadami (Parczewski 1988a,

The archaeological evidence shows a clear link between the studied settlement and the early Slavic culture, which, as is generally believed, may have penetrated the eastern Poland as early as in the second half of the 5th century (Godłowski 2000, passim). The first, well-documented stage of development of the culture in the upper Vistula river basin took place in the 6th century, and more or less from the turn of the 7th century, a transformation began, during which, in the 7th century, the early Slavic cultural patterns smoothly evolved into a new format, typical for the so-called tribal era.

As for the above-discussed artefacts, only the pottery provides information on chronology. First of all, the assemblies are exceptionally homogeneous, with no confirmed presence of wheel-thrown vessels (apart from one small fragment of a vessel rim from feature 107, the characteristics of which are very uncertain) and the absence of decorated pottery. The absence of extremely important attributes of the pottery from the Early Middle Ages in Jabłonica Ruska – although it may not be considered as the decisive factor – is a very strong piece of evidence confirming the early chronology of the analysed materials, which, hypothetically, may come from the second half or rather the end of the 5th century, but the most probable time of their production and use was the period between the 6th century and the turn of the 7th century. Of course, it does not mean that also later, probably during the entire 7th century, in some settlement complexes of the Prague culture only "archaic" pottery (handmade and undecorated) was still used, but the beginning of the change and its development in the 7th century was probably accurately indicated. What is more, single examples of wheel-thrown vessels were discovered in one of the settlement complexes located by the middle San river (Bachórz, site 16) and were dated to the discussed 6th century (Parczewski 1988a, pp. 70–75). The results of this article's author research on the characteristics of the beginning of the early Slavic period were published more than three decades ago (Parczewski 1988a, pp. 102–106; 1988b; 1993) and have been constantly verified since then, with a rather positive – so far – effect. The best

s. 102–106; 1988b; 1993) i odtąd stale podlegają weryfikacji, z raczej pozytywnym – jak dotychczas – efektem. Najlepszym sprawdzianem poprawności proponowanych dawniej ujęć są wyniki analizy źródłoznawczej kolejnych nieustannie odkrywanych materiałów zabytkowych. Pole badawcze obejmuje zarówno Polskę, jak i kraje sąsiednie (z obfitej literatury por. np. Fusek 1994; Profantová 2005; Stanciu 2011; Poleski 2013, s. 155–161; Jelínková 2014; Jędrzejewska 2019; zob. także obszerną dyskusję w tomie „Archeologia o początkach Słowian" 2005).

Ważne dane otrzymaliśmy dzięki wynikom analizy radiowęglowej dwóch próbek szczątków organicznych (węgli drzewnych) z wypełniska obiektu 107. Datowania skalibrowane (a więc chronologia o stosunkowo wysokim poziomie wiarygodności) przedstawiają się następująco (ryc. 8.7.):

- próba nr 50 – lata 473–596 (64,6% prawdopodobieństwa),
- próba nr 102 – lata 431–491, 531–565 (68,2% prawdopodobieństwa).

Można ostrożnie podsumować, że zgeneralizowany wynik obydwu prób $^{14}$C obejmuje w najszerszym zasięgu lata ok. 430 – ok. 600 (95% prawdopodobieństwa). Trudno nie dostrzec, że efekty analizy przyrodniczej, najzupełniej niezależne od metod archeologicznych, są w tym przypadku w dużym stopniu zbieżne z wnioskowaniem wyprowadzonym z rozbioru materiału wykopaliskowego. Nie zawsze tak bywa, ale tym razem poziom zgodności ustaleń fizyka i archeologa jest wysoki, chociaż – i to już luźna ryzykowna refleksja na marginesie solennych dociekań naukowych – z mojego punktu widzenia przedział czasowy wykazany w próbie nr 50 wydaje się bliższy wyobrażeniom o pierwszym etapie kolonizacji wschodniej Polski przez Słowian.

Stale rośnie liczba zespołów archeologicznych datowanych metodami przyrodniczymi, głównie $^{14}$C, na okres V/VI–VII w. (ostatnio por. np. Jelínková 2012; Nowak M. i in. 2016; Jędrzejewska 2019, s. 36–37; Machaček 2021; Daňová, Cheben 2022), co – mimo zdarzających się nieuniknionych błędów[2] – stopniowo wzmacnia tezę o ludności

[2] Gdy np. do analizy trafia starsza substancja organiczna, zalegająca na wtórnym złożu w jamie z połowy I tys. n.e.

test of the correctness of the previously proposed interpretations are the results of the source analyses of constantly discovered archaeological materials. The research here covers both Poland and the neighbouring countries (among the extensive literature see e.g. Fusek 1994; Profantová 2005; Stanciu 2011; Poleski 2013, pp. 155–161; Jelínková 2014; Jędrzejewska 2019; see also the extensive discussion in "Archeologia o początkach Słowian" 2005).

We obtained important data thanks to the radiocarbon analysis of two organic samples (charcoal) from the fill of feature 107. The calibrated dates (and therefore a chronology with a relatively high level of reliability) are as follows (Fig. 8.7.):

- sample no. 50 – years 473–596 (64.6% probability),
- sample no. 102 – years 431–491, 531–565 (68.2% probability).

It can be cautiously concluded that, generally, the results of both $^{14}$C analyses indicate, in the broadest range, the period from approx. 430 CE to approx. 600 CE (95% probability). It is difficult not to notice that the effects of the $^{14}$C analyses, completely independent of archaeological methods, are in this case largely consistent with the conclusions resulting from the analysis of excavation material. It does not always happen but this time the level of similarity between the findings of a physicist and the findings of an archaeologist is high, although – and this is a side, risky reflection on the margin of solemn scientific inquiries – from my point of view, the time period obtained from the sample no. 50 seems closer to how the first stage of colonisation of eastern Poland by the Slavs is imagined.

The number of the archaeological sites dated with natural methods, mainly $^{14}$C, to the period of the 5th/6th and 7th centuries, is constantly growing (recently see e.g. Jelínková 2012; Nowak et al. 2016; Jędrzejewska 2019, pp. 36–37; Machaček 2021; Daňová, Cheben 2022), which – despite the inevitable mistakes[2] – gradually strengthens

[2] When, for example, an older organic substance, from the secondary deposit in a pit from the first half of the 1st millennium CE, is analysed.

kultury praskiej jako pionierach gigantycznych przemieszczeń, które zmienią obraz etniczny Europy Środkowej.

## 8.5. Obiekty osadowe i rozplanowanie osiedla

Powierzchnia cypla do linii drogi Jabłonica Ruska – Ulucz obejmuje nieco ponad 400 arów. Wykop archeologiczny z 2019 r. liczył ok. 140 arów, ale przy południowej krawędzi cypla, na powierzchni ok. 40 arów, warstwa kulturowa została zupełne zniszczona podczas wydobywania żwiru. Teren nienaruszony w granicach wykopu, który można było poddać systematycznej eksploracji, mierzył zatem ok. 100 arów. Obszar ten, rozciągnięty wzdłuż osi NWW-SEE, miał wymiary ok. 140 × 90 m, i tu właśnie ujawniono osiem wczesnosłowiańskich obiektów osadowych.

Niski poziom czytelności zarysów jam w Jabłonicy Ruskiej, jak również znaczna skala zniszczeń dokonanych przez wieloletnią głęboką orkę (a w przypadku ob. 65 przez eksploatację żwiru) sprawia, że mamy problem z rozpoznaniem zasięgu i określeniem pierwotnej funkcji części obiektów wczesnosłowiańskich. Dotyczy to przede wszystkim tych struktur, które zostały zadokumentowane tylko w postaci rozsypisk gruzu kamiennego (ryc. 8.8.), bez dających się rozpoznać związanych z nimi jam (obiekty 63, 139, 183). Tylko części ze wspomnianych ośmiu obiektów można jednoznacznie przypisać rolę, którą pełniły w połowie I tysiąclecia n.e. Najbardziej charakterystyczne są relikty trzech półziemianek (ob. 52, 99, 107), po których pozostały ślady wkopów na planie zbliżonym do kwadratowego i – niestety bardzo źle zachowane – szczątki kamiennych urządzeń grzewczych (tabl. 8.1: 4; 8.4: 6; 8.6: 1, ryc. 8.8.). Wielkość trzech wspomnianych półziemianek jest zróżnicowana: od bardzo skromnej (ob. 52 – ok. 270 × 250 cm) przez „średniometrażową" (ob. 107 – ok. 385 × 350 cm) po dość znaczną (ob. 99 – ok. 450 × 420 cm). Niewielka powierzchnia pierwszego z wymienionych domostw (6,75 $m^2$) wcale nie bije rekordów ciasnoty – w kręgu kultury praskiej zdarzają się jeszcze mniejsze lokale mieszkalne, natomiast pozostałe dwie chaty plasują się

the hypothesis that the people of the Prague culture were the pioneers of gigantic migrations that changed the ethnic image of Central Europe.

## 8.5. Settlement features and layout

The area of the promontory up to the road from Jabłonica Ruska to Ulucz is just over 400 ares. The 2019 archaeological excavation covered approx. 140 ares, but at the southern edge of the promontory, on an area of approx. 40 ares, the cultural layer was completely destroyed by gravel mining. Therefore, the intact area within the boundaries of the excavation, which could be subjected to systematic exploration, measured approx. 100 ares. This area stretched along the NWW-SEE axis, its size was approx. 140 × 90 m, and it was the location where eight settlement features from the early Slavic period were discovered.

The very unclear outlines of the pits in Jabłonica Ruska, as well as the significant amount of damage resulting from many years of deep ploughing (and in the case of feature 65 from gravel mining), make it difficult to identify the range and the primary function of some early Slavic features, especially those discovered only in the form of clusters of stones (Fig. 8.8.) with no identified pits linked to them (features 63, 139, 183). Only some of the eight features mentioned can be clearly connected with the roles they played in the 1st half of the 1st millennium CE. The most characteristic are the relics of three shallow pithouses (features 52, 99, 107), with traces of holes, square-like plans and, unfortunately, very poorly preserved remains of stone ovens (Plates 8.1: 4; 8.4: 6; 8.6: 1, Fig. 8.8.). The size of the three aforementioned shallow pithouses varies: from a very modest (feature 52 – approx. 270 × 250 cm) through medium (feature 107 – approx. 385 × 350 cm) to a quite large one (feature 99 – approx. 450 × 420 cm). The size of the first of the houses (6.75 m2) is not the smallest size discovered – in the circle of the Prague culture there were even smaller houses. The other two houses, however, are in the typical size range (see Cygan 2006, pp. 30–31, literature there).

Ryc. 8.8. Jabłonica Ruska, stan. 1. Rozsypiska gruzu kamiennego w obiektach: 63, 107, 139 i 183
Fig. 8.8. Jabłonica Ruska, site. 1. Clusters of stones in features: 63, 107, 139 and 183

w typowym przedziale wielkościowym (por. Cygan 2006, s. 30–31, tam literatura).

Klasyczne kwadratowe półziemianki stanowią najbardziej typową formę domostwa wczesnosłowiańskiego w okresie od V/VI do schyłku VII w. (Parczewski 1988b, s. 55–59; Cygan 2006, tam literatura). Na omawianym stanowisku również część (może nawet większość?) pozostałych obiektów najprawdopodobniej też należała do kategorii domostw mieszkalnych, a bezkształtne rozsypiska kamieni, zawsze z licznie współwystępującą ceramiką, to destrukcje pieców – typowych urządzeń grzewczych w półziemiankach na osadach kultury praskiej, w tym także położonych w karpackiej części doliny Sanu (por. np. Parczewski 2003, s. 197, ryc. 2–4; Cygan 2006, s. 46–50; tam literatura).

Trudno wypowiadać się bez obiekcji o rozplanowaniu omawianej osady, nie mamy bowiem pewności, że wszystkie budowle użytkowano dokładnie w tym samym czasie. Jak już wspomniano, obiekty

Classic rectangular shallow pithouses are the most typical form of the early Slavic houses in the period from 5th/6th to the end of the 7th century (Parczewski 1988b, pp. 55–59; Cygan 2006, literature there). At the discussed site, some (maybe even most?) of the rest of the features were, most probably, houses and the shapeless clusters of stones, always with lots of pottery, are destroyed ovens – typical heating devices found in shallow pithouses in the settlements of the Prague culture, including those located in the Carpathian part of the San river valley (see e.g. Parczewski 2003, p. 197, Figs. 2–4; Cygan 2006, pp. 46–50; literature there).

It is difficult to discuss the layout of the settlement in question without expressing some amount of doubt, as we cannot be sure whether all the structures were used at the same time. As already mentioned, the early Slavic features were placed, not very regularly, on the edge of an empty

wczesnosłowiańskie były rozmieszczone niezbyt regularnie na obrzeżu wolnego od zabudowy placu o przybliżonych wymiarach ok. 70 × 70 m. Obiekty ujawniono z trzech stron tej pustej przestrzeni: od NE (ob. 63 i 99), SE (ob. 139 i 183) oraz SW (ob. 31, 52, 65 i 107). Strona NW, gdzie ma swój początek podmokłe niegdyś obniżenie rozcinające cypel, pozostawała otwarta. Dysponujemy tylko dość zgeneralizowaną metryką chronologiczną dla całej osady, obejmującą przedział około 120–150 lat od połowy czy raczej schyłku V do przełomu VI/VII w., lub nawet jeszcze później w głąb VII w. Rzecz jasna obiekty z Jabłonicy Ruskiej – bacząc na znikomą precyzję datowania zespołów – trudno bez zastrzeżeń uznać za sobie współczesne, chociaż takiej możliwości nie da się wykluczyć. Brak nakładania się młodszych jam na starsze, układ przestrzenny zabudowy z respektowaniem wewnętrznej strefy niezasiedlonej, czy wreszcie duża jednorodność cech naczyń glinianych, mogą być jednak uznane za świadectwo – dość wątłe wprawdzie – funkcjonowania osiedla w jakimś węższym przedziale czasowym, z pewnością krótszym niż podane wyżej najszersze ramy chronologiczne.

## 8.6. Przynależność kulturowa oraz miejsce stanowiska 1 w Jabłonicy Ruskiej we wczesnosłowiańskiej strukturze osadniczej

W ostatnich dekadach znacznie wzbogaciła się nasza wiedza o początkach pobytu Słowian w południowo-wschodniej Polsce. Zespoły archeologiczne z dorzecza Sanu reprezentują wczesnosłowiańską kulturę praską, która w V/VI–VII w. obejmowała Małopolskę wraz z Lubelszczyzną i zapewne wschodnie Mazowsze. Ten obszar tworzył jeden z peryferyjnych segmentów kultury praskiej, która w połowie VI w. sięgała od środkowego Dniepru i Prypeci po górną Wisłę, dolny Dunaj oraz Morawę, a w późniejszym okresie poszerzyła swoje terytorium aż do dorzecza górnej i środkowej Łaby, nie zajmując jednak zlewiska Odry (Parczewski 1988b, s. 113–119, ryc. 26; 2005; tam literatura). Struktury rozpoznawane nad Sanem mają coraz liczniejsze

area which was approx. 70 × 70 metres in size. The features were located on the NE side (features 63 and 99), on the SE side (features 139 and 183) and on the SW side (features 31, 52, 65 and 107). The NW side, where the, once, wet depression which cuts through the promontory begins, remained open. There is only a fairly general chronology of the entire settlement, covering the period of about 120–150 years from the middle or the end of the 5th century to the turn of the 7th century, or even later in the 7th century. Of course, the features from Jabłonica Ruska – considering the low precision of the dating of the assemblages – are difficult to be considered, beyond any doubt, as functioning at the same time, although such a possibility cannot be ruled out. The lack of younger pits overlapping the older ones, the spatial arrangement of buildings with the internal empty area and, finally, the high homogeneity of the pottery characteristics, can be considered, however, the evidence – although rather weak – of the functioning of the settlement in a shorter period of time, certainly shorter than the above-mentioned, broadest chronological frame.

## 8.6. Cultural affiliation and the position of the archaeological site no. 1 in Jabłonica Ruska in the early Slavic period settlement structure

In recent decades, our knowledge of the beginnings of the Slavic settlement in the south-eastern Poland has grown significantly. Archaeological sites from the San river basin belong to the early Slavic Prague culture, which in the 5th/6th and 7th centuries covered Lesser Poland, Lublin region and probably the eastern Mazovia. This area was one of the peripheral segments of the Prague culture, which in the middle of the 6th century stretched from the middle Dnieper and Pripyat rivers to the upper Vistula, the lower Danube and Morava rivers, and it later extended its territory to the basin of the upper and middle Elbe river, but did not occupy the Oder river basin (Parczewski 1988b, pp. 113–119, Fig. 26; 2005; literature there).

i ścisłe nawiązania na Ukrainie, w Rumunii, Słowacji, Czechach i na Morawach, a także pod Krakowem, Sandomierzem, Zamościem i Lublinem (Jędrzejewska 2019).

Osada w Jabłonicy Ruskiej staje się kolejnym składnikiem gęstniejącej sieci świadectw dziejowych, które dokumentują proces opanowywania dorzecza Sanu przez naszych odległych przodków. Relikty kultury praskiej w południowo-wschodniej Polsce zostały po raz pierwszy zidentyfikowane w 1974 r. przez autora niniejszych uwag w trakcie badań wielokulturowej osady na stanowisku 16 w Bachórzu k. Dynowa. Pod założenie osiedla wybrano tam podobnie uformowany wybitny cypel nadzalewowej terasy Sanu (Parczewski 2003). Później wielokrotnie ujawnialiśmy kolejne punkty,

The structures discovered by the San river have more and more numerous and close analogies in Ukraine, Romania, Slovakia, the Czech Republic and Moravia, as well as near Krakow, Sandomierz, Zamość and Lublin (Jędrzejewska 2019).

The settlement in Jabłonica Ruska is another element of the dense network of historical evidence that document the process of taking over the San river basin by our distant ancestors. The relics of the Prague culture in the south-eastern Poland were first identified in 1974 by the author of this article during the research on a multicultural settlement at site 16 in Bachórz near Dynów. A similarly formed promontory of the San river terrace was chosen for the location of the settlement (Parczewski 2003). Later, we revealed

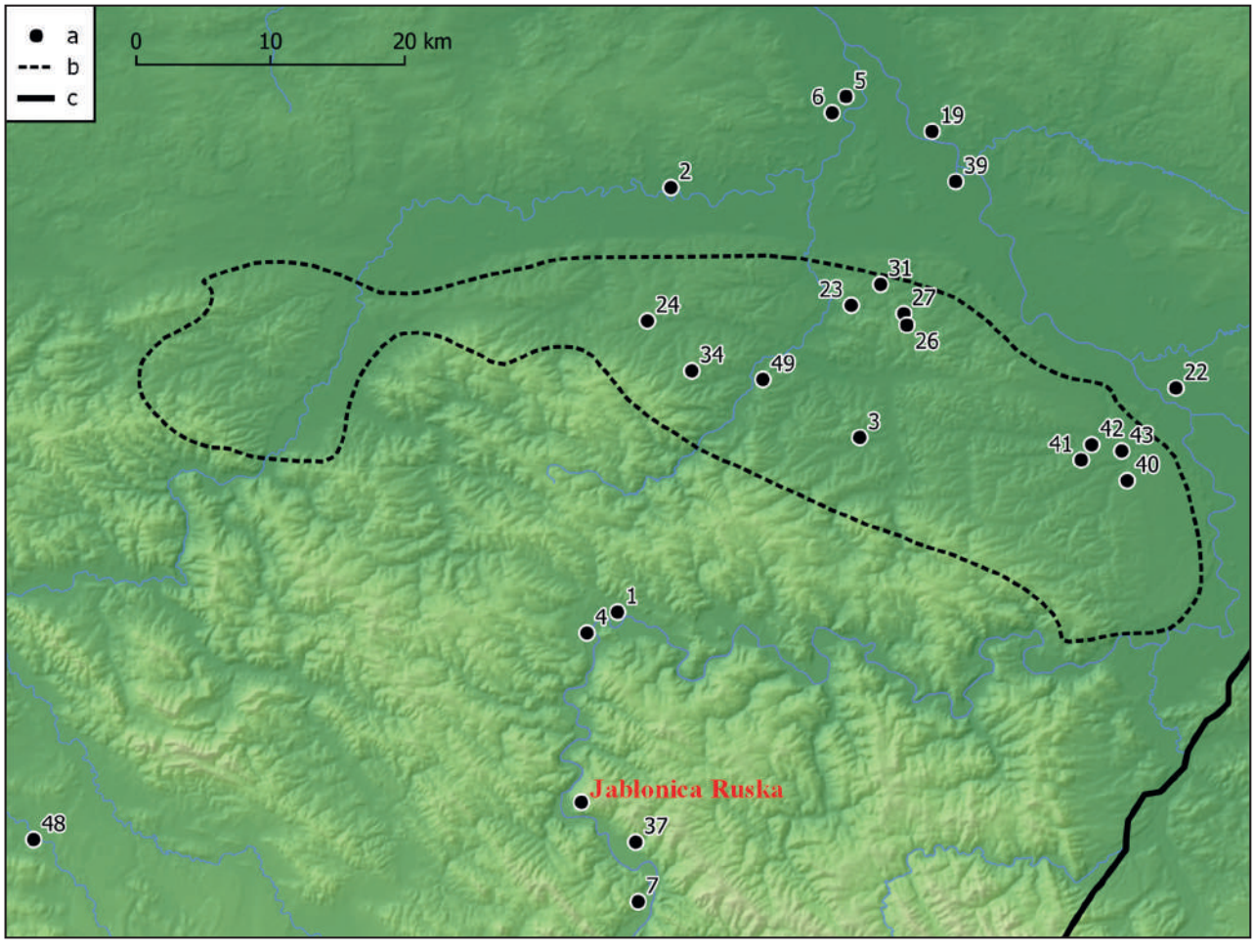


Ryc. 8.9. Położenie stanowisk wczesnosłowiańskich we wschodniej części polskich Karpat i na ich przedpolu a – stanowisko wczesnosłowiańskie, b – zasięg lessowego Podgórza Rzeszowskiego, c – granica państwowa. Wg S. Jędrzejewskiej 2019, ryc. 2, z uzupełnieniem autora

Fig. 8.9. Location of the early Slavic sites in the eastern part of the Polish Carpathians and in the Carpathian Foreland, a – the early Slavic archaeological site, b – the loess Rzeszów Foothils area, c – country border. According to S. Jędrzejewska, 2019, Fig. 2, with some addition by the author

które coraz dobitniej uwydatniały rangę intensywnego skupiska osadniczego, swoistego „zagłębia wczesnosłowiańskiego", na urodzajnym lessowym Podgórzu Rzeszowskim. Potwierdziło się to znakomicie podczas rozległych badań wykopaliskowych na trasie przyszłej autostrady między Jarosławiem i Radymnem (Parczewski 2011; Jędrzejewska 2019; tam literatura). Karpacki odcinek doliny Sanu pozostaje wprawdzie w tym zestawieniu na drugim planie, ale wciąż jako bardzo ważny potencjalny zasób kolejnych źródeł. Łańcuch odkrytych dotychczas osad wczesnosłowiańskich biegnie w górę rzeki od Bachórza (14 domostw półziemiankowych) przez Dynów (2 półziemianki), Jabłonicę Ruską (8 obiektów, w tym co najmniej 3 półziemianki), Ulucz (tylko fragmenty naczyń) aż po Hłomczę k. Mrzygłodu (1 półziemianka) (ryc. 8.9.; Parczewski 2011, s. 99–101, ryc. 1; Jędrzejewska 2019, s. 29–34, ryc. 2). Zapewne tylko kwestią czasu są następne odkrycia, w tym również na odcinku doliny między Bachórzem a Przemyślem – stawiam na przykład na rozległy zwrócony ku południowi cypel terasy w lewobrzeżnej partii Bachowa.

more and more elements that emphasised the importance of this area of intensive settlement, a kind of "early Slavic centre", in the fertile, loess Rzeszów Foothils. It was confirmed during the extensive excavation research on the route of the future motorway section between Jarosław and Radymno (Parczewski 2011; Jędrzejewska 2019; literature there). Although the Carpathian part of the San river valley remains in the background, it is still a very important potential source of further materials. The chain of the early Slavic settlements discovered so far runs up the river from Bachórz (14 shallow pithouses) through Dynów (2 shallow pithouses), Jabłonica Ruska (8 features, including at least 3 shallow pithouses), Ulucz (only fragments of vessels) to Hłomcza near Mrzygłód (1 shallow pithouse) (Fig. 8.9.; Parczewski 2011, pp. 99–101, Fig. 1; Jędrzejewska 2019, pp. 29–34, Fig. 2). It is, probably, only a matter of time before the next discoveries appear, also in the part of the valley between Bachórz and Przemyśl – for example, on the vast, south-oriented promontory located on a terrace in the left-bank part of Bachów.

## LITERATURA


*Archeologia*

2005 *Archeologia o początkach Słowian. Materiały z konferencji, Kraków, 19–21 listopada 2001*, Kaczanowski P, Parczewski M. (red.), Kraków.

Cygan S. = Jędrzejewska S.

Daňová K., Cheben M.

2022 Včasnostredoveké obydlie zo Zbehov, [w:] Bača M. (red.) *Pod stromom života. Zborník k 70. nodeninám Michala Slivku*, Bratislava, 27–33.

Fusek G.

1994 *Slovensko vo včasnoslovanskom období*, Nitra.

Godłowski K.

2000 *Pierwotne siedziby Słowian. Wybór pism*, Parczewski M. (red.), Kraków.

Jelínková D.

2012 K otázce datování počátků kultury s keramikou pražského typu na Moravě, *Přehled výzkumů* 53, Brno, 721.

2014 Počátky slovanského osídlení na Moravě, [w:] Kouřil P. (red.) *Velká Morava a počátky křesťanství*, Brno, 23–32, 474.

Jędrzejewska S. [dawniej Cygan S.]
2006 *Wczesnosłowiańskie półziemianki kwadratowe na terenie Polski, Czech, Słowacji, wschodnich Niemiec i Dolnej Austrii* (=Collectio Archaeologica Resoviensis 3), Rzeszów.

2019 *Południowo-wschodnia strefa osadnictwa wczesnosłowiańskiego w Polsce. Stan rozpoznania źródeł archeologicznych*, [w:] Janeczek A., Dzik M., Parczewski M. (red.), *Pogranicza w polskich badaniach mediewistycznych* (=Materiały V Kongresu Mediewistów Polskich 3), Rzeszów, 13–53.

Krąpiec M.
1996 *Dendrochronologiczne datowanie zwęglonych prób drewna z wczesnośredniowiecznej półziemianki z Krakowa-Nowej Huty–Wyciąża (stanowisko 5B)*, „Materiały Archeologiczne Nowej Huty" 19, 129–135.

Machaček J.
2021 *Runes from Lány (Czech Republic) – The oldest inscription among Slavs. A new standard for multidisciplinary analysis of runic bones*, „Journal of Archaeological Science" 127, 1–8.

Nowak M., Liwoch R., Moskal del-Hoyo M., Rauba-Bukowska A., Wilczyński J.
2016 *Korzkiew 5 – najstarsze stanowisko średniowieczne na Wyżynie Olkuskiej*, „Materiały Archeologiczne" 41, 245–262.

Parczewski M.
1984 *Prahistoryczne i średniowieczne źródła archeologiczne z doliny górnego Sanu*, Część I: *odcinek Sanok–Wara*, „Acta Archaeologica Carpathica" 23, s. 175–224.

1988a *Początki kultury wczesnosłowiańskiej w Polsce. Krytyka i datowanie źródeł archeologicznych* (=Prace Komisji Archeologicznej PAN 27), Wrocław.

1988b *Najstarsza faza kultury wczesnosłowiańskiej w Polsce* (=Rozprawy habilitacyjne UJ, Nr 141), Kraków.

1993 *Die Anfänge der frühslawischen Kultur in Polen* (=Veröffentlichungen der Österreichischen Gesellschaft für Ur- und Frühgeschichte, Bd. XVII), Wien.

2003 *Wczesnosłowiańskie odkrycia w Bachórzu, pow. Rzeszów*, [w:] Woźniak Z., Gancarski J. (red.), *Polonia Minor Medii Aevi*, Kraków–Krosno, 191–209.

2011 *Osady wczesnosłowiańskie (V/VI–VII w.) na trasie autostrady A4 w południowo-wschodniej Polsce*, [w:] Czopek S. (red.), *Autostradą w przeszłość. Katalog wystawy*, Rzeszów, 97–108.

Poleska P., Bober J.
1996 *Wczesnosłowiańska półziemianka ze stanowiska 5B (Wyciąże) w Krakowie-Nowej Hucie*, „Materiały Archeologiczne Nowej Huty" 19, 101–128.

Poleski J.
2013 *Małopolska w VI–X wieku. Studium archeologiczne*, Kraków.

Profantová N.
2005 *Analýza movitých artefaktu*, [w:] M. Kuna, N. Profantová i in. (red.), *Počátky raného středověku v* Čechách. *Archeologický výzkum sídelní aglomerace kultury pražského typu v Roztokách*, Praha, 139–207.

Rusanova I., Timoščuk B.
1984 *Kodyn – slavjanskie poselenija V–VIII vv. na r. Prut*, Moskva.

Skupiewski P.
1982 *Jabłonica*, „Recherches Archeologiques de 1980", 49–51.

Stanciu I.
2011 *Locuirea teritoriului nord-vestic al României între antichitatea târzie şi perioada de început a epocii medievale timpurii (mijlocul sec. V – sec. VII timpuriu)* [*The habitation of the north-western territory of Romania between the Late Antiquity and the beginning period of the Early Middle Ages (the middle of the 5th century – early 7th century)*] (Patrimonium Archaeologicum Transylvanicum 4), Cluj-Napoca.

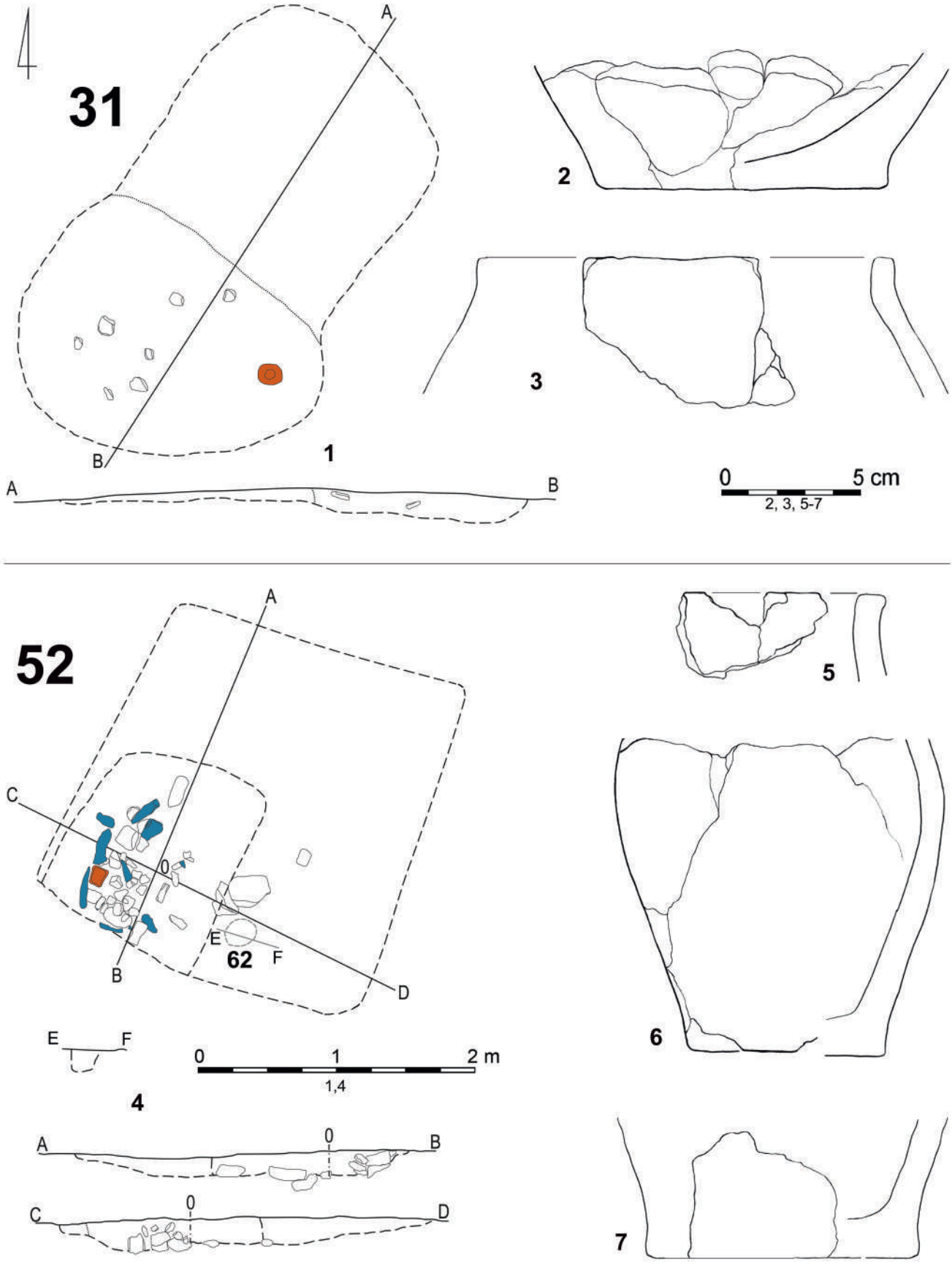


Tabl. 8.1. Jabłonica Ruska stan. 1. Przekroje jam oraz ceramika z obiektów 31(1–3) i 52 (4–7)
Plate 8.1. Jabłonica Ruska, site 1. Cross-sections of pits and pottery from features 31 (1–3) and 52 (4–7)

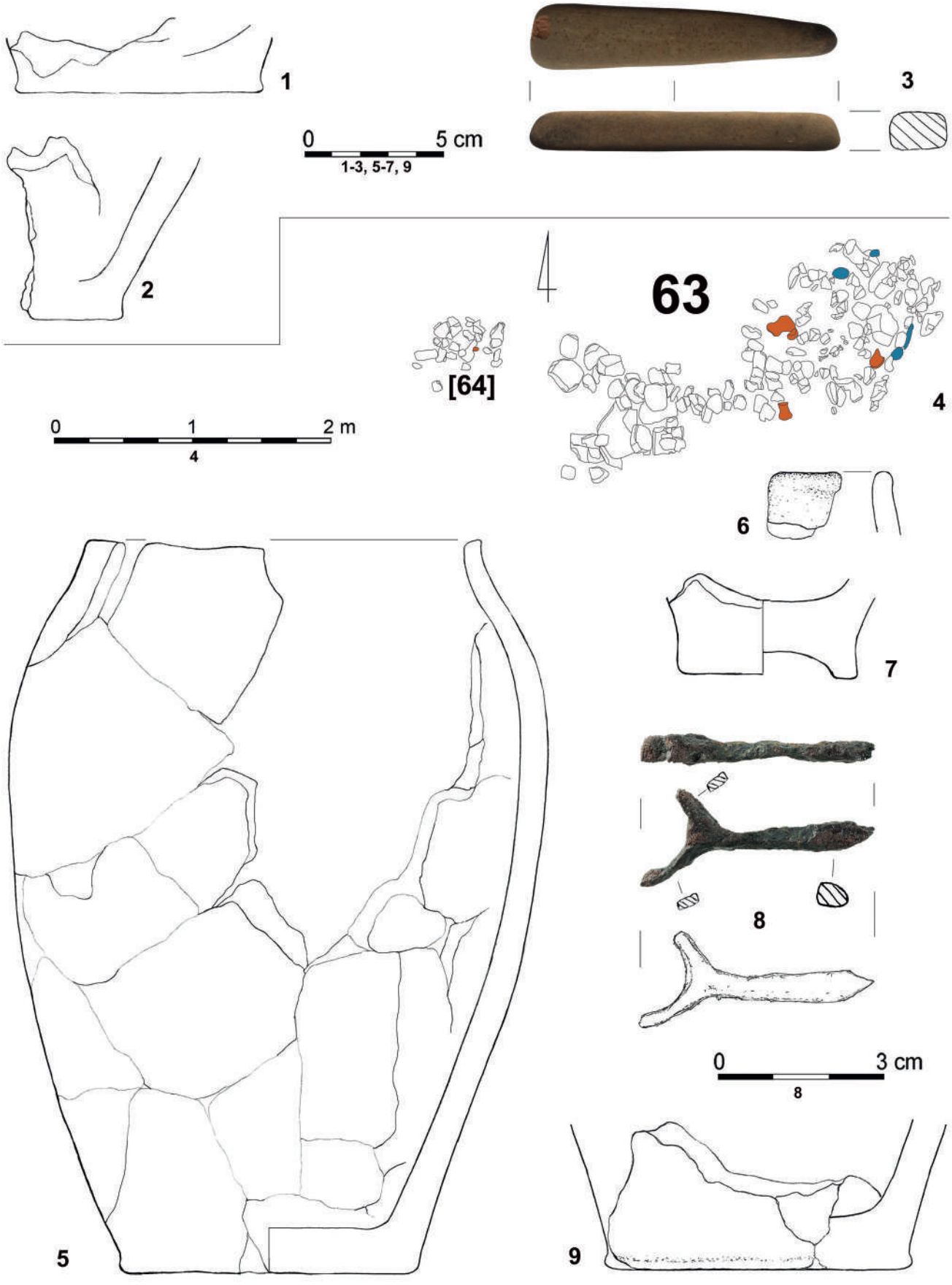


Tabl. 8.2. Jabłonica Ruska stan. 1. Rzut poziomy obiektu 63 (4) oraz zabytki z obiektów 52 (1–3) i 63 (4–9). 1, 2, 5–9 – ceramika, 3 – kamień, 8 – żelazo

Plate 8.2. Jabłonica Ruska, site 1. Plan of feature 63 (4) and artefacts from features 52 (1–3) and 63 (4–9). 1, 2, 5–9 – pottery, 3 – stone, 8 – iron

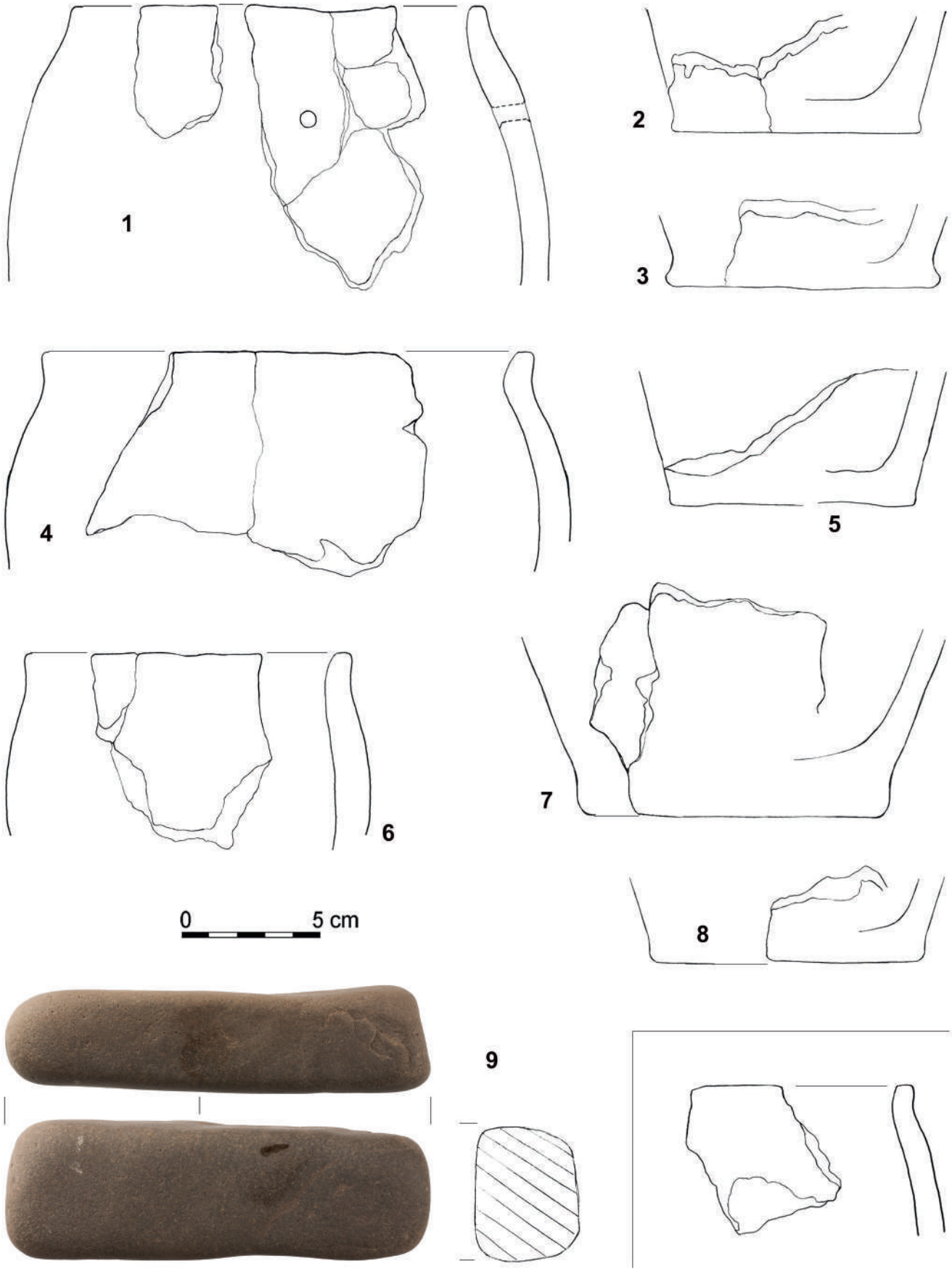


Tabl. 8.3. Jabłonica Ruska stan. 1. Zabytki z obiektu 63 (1–9) i z sąsiedztwa obiektu (10). 1–8, 10 – ceramika, 9 – kamień
Plate 8.3. Jabłonica Ruska, site 1. Artefacts from feature 63 (1–9) and artefacts found in the vicinity of the feature (10). 1–8, 10 – pottery, 9 – stone

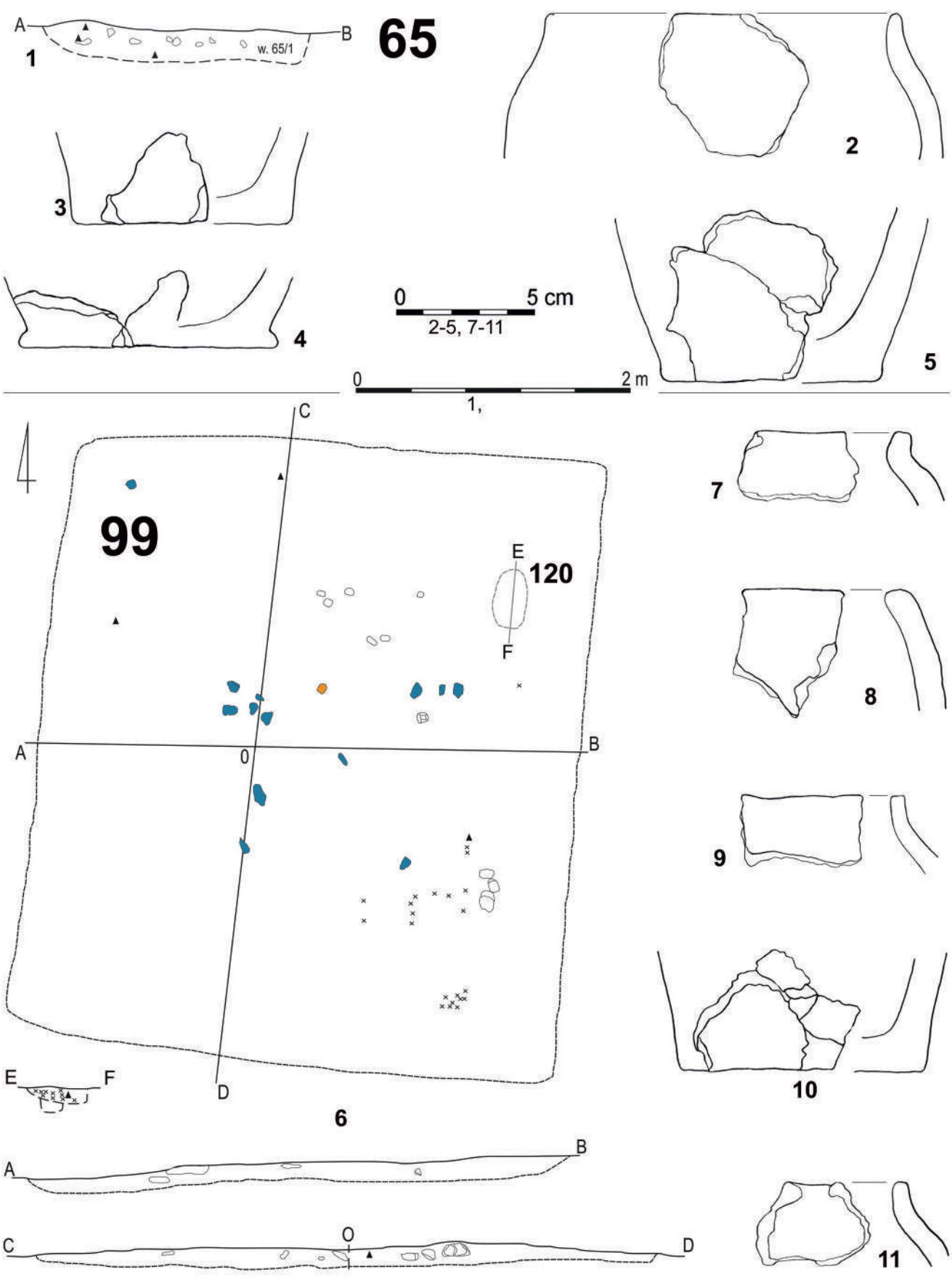


Tabl. 8.4. Jabłonica Ruska stan. 1. Przekroje jam oraz ceramika z obiektów 65 (1–5) i 99 (6–11)
Plate 8.4. Jabłonica Ruska, site 1. Cross-sections of pits and pottery from features 65 (1–5) and 99 (6–11)

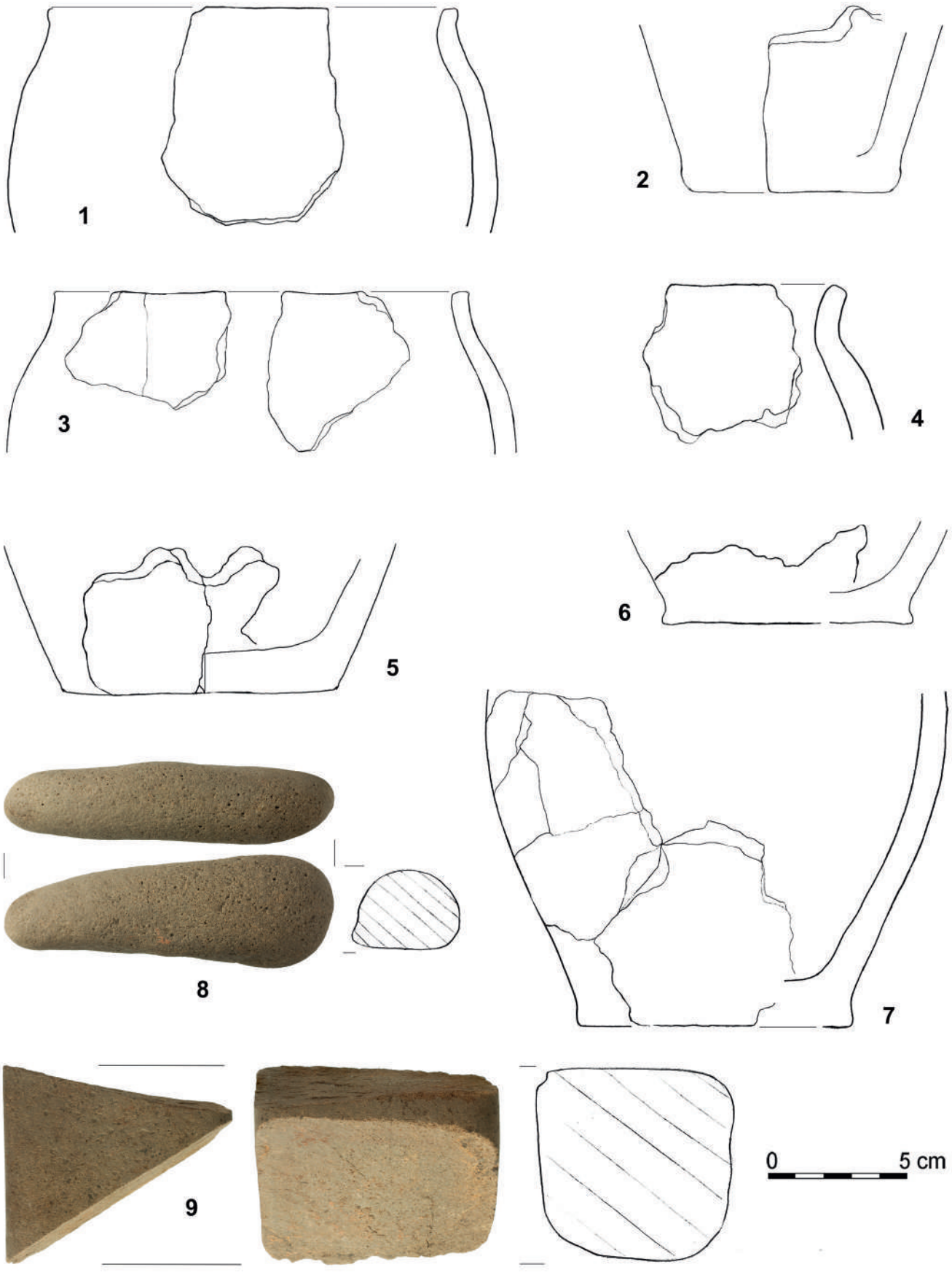


Tabl. 8.5. Jabłonica Ruska stan. 1. Zabytki z obiektu 99. 1–7 – ceramika, 8, 9 – kamień
Plate 8.5. Jabłonica Ruska, site 1. Artefacts from feature 99. 1–7 – pottery, 8, 9 – stone

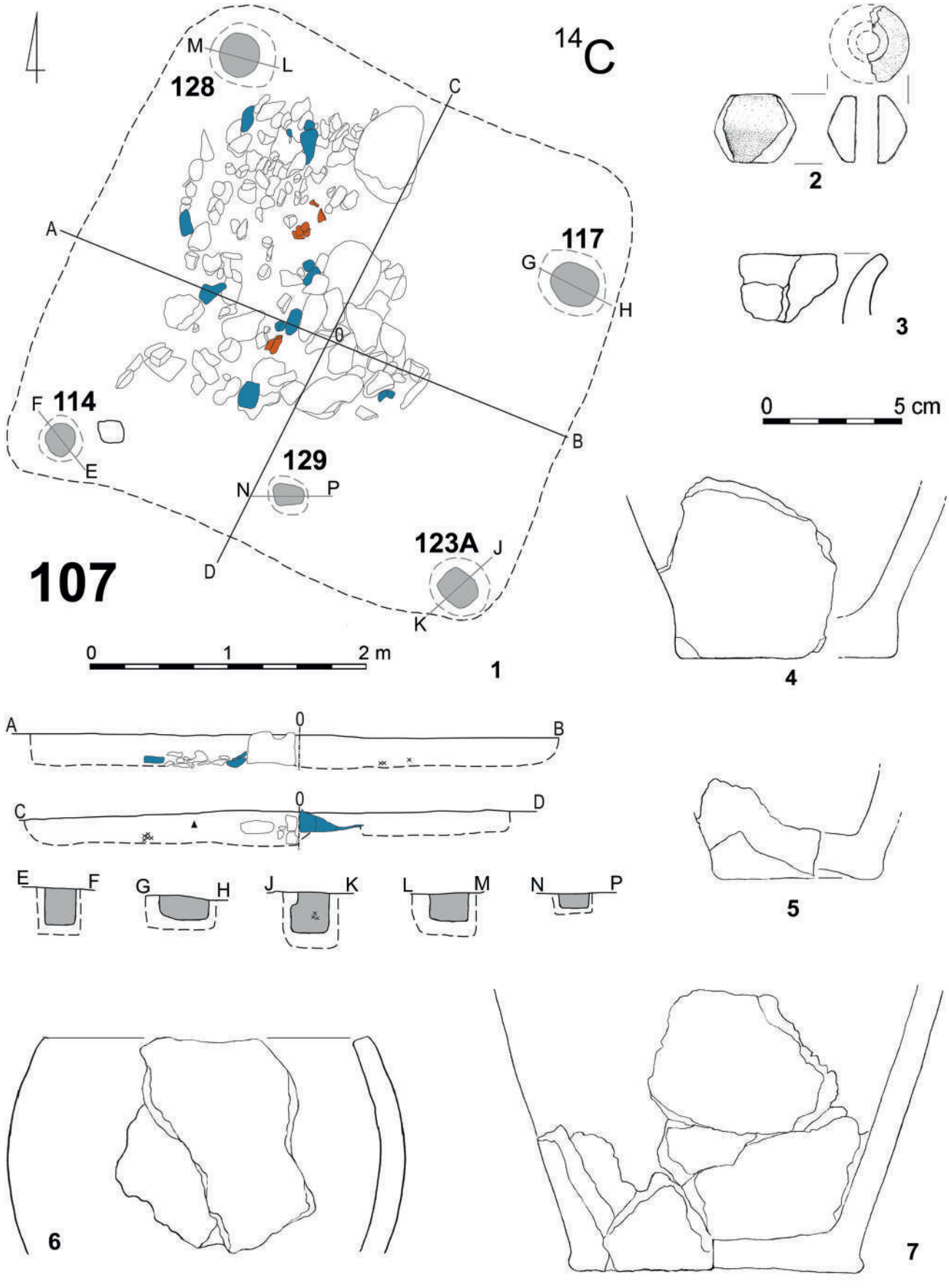


Tabl. 8.6. Jabłonica Ruska stan. 1. Przekroje jamy oraz zabytki z obiektu 107. 2 – przęślik gliniany, 3–7 – ceramika naczyniowa

Plate 8.6. Jabłonica Ruska, site 1. Cross-sections of the pit and artefacts from feature 107. 2 – spindle whorl, 3–7 – pottery

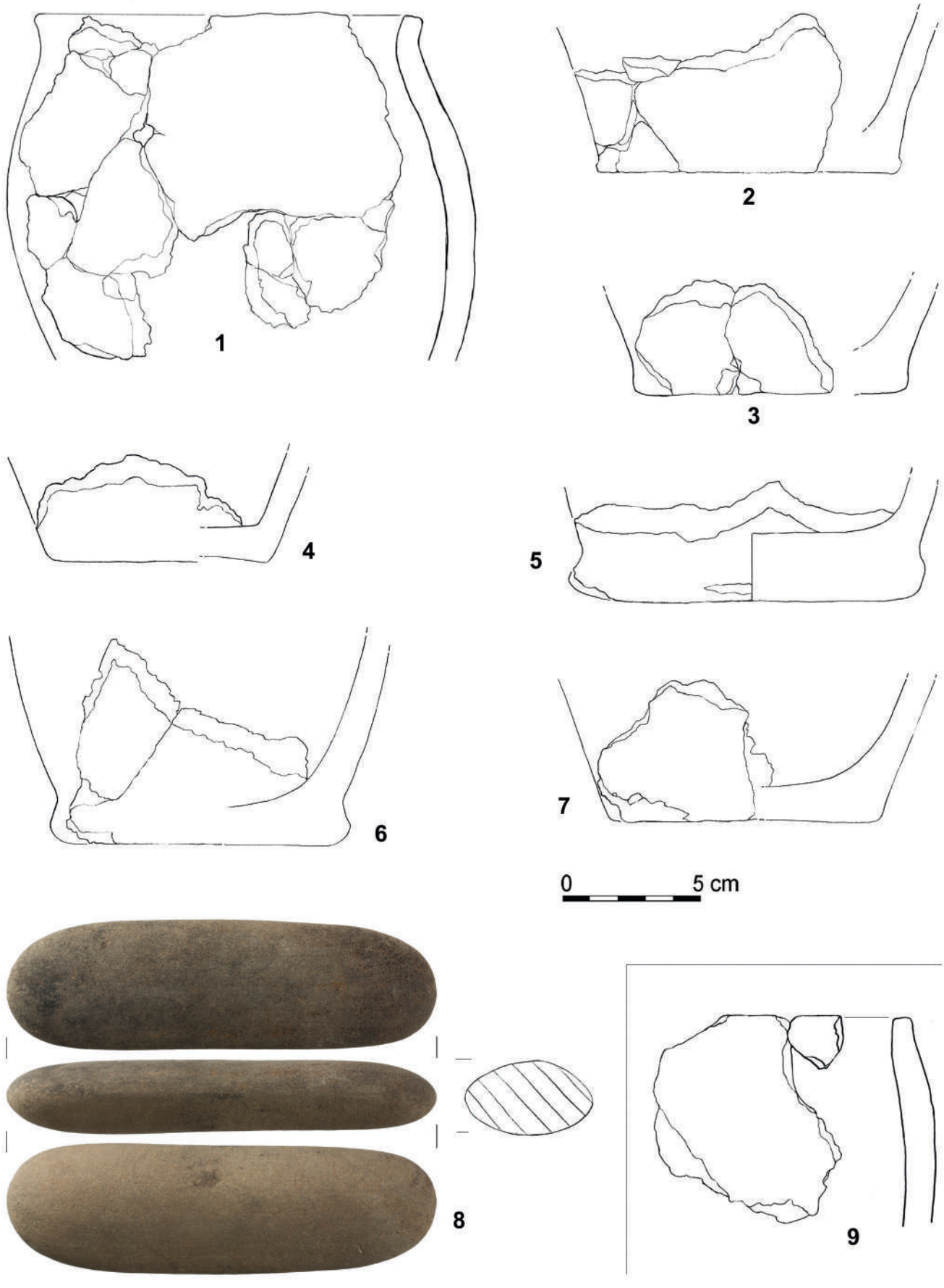


Tabl. 8.7. Jabłonica Ruska stan. 1. Zabytki z obiektu 107 (1–8) i z sąsiedztwa obiektu (9). 1–7, 9 – ceramika, 8 – kamień
Plate 8.7. Jabłonica Ruska, site. 1. Artefacts from feature 107 (1–8) and artefacts found in the vicinity of the feature (9). 1–7, 9 – pottery, 8 – stone

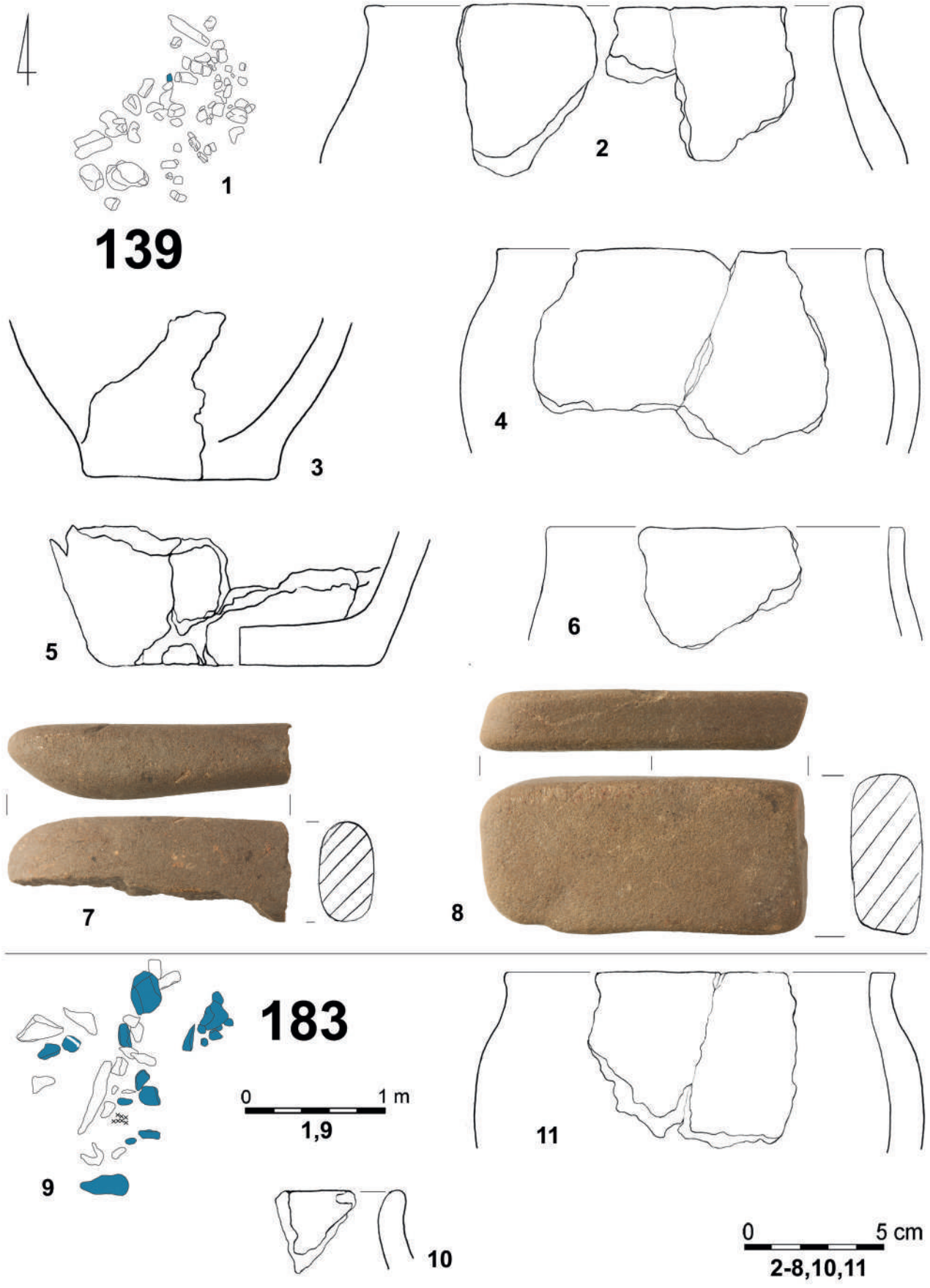


Tabl. 8.8. Jabłonica Ruska stan. 1. Rzuty poziome obiektów oraz zabytki z obiektów 139 (1–8) i 183 (9–11). 2–6, 10, 11 – ceramika, 7, 8 – kamień
Plate 8.8. Jabłonica Ruska, site 1. Plans of features and artefacts from features 139 (1–8) and 183 (9–11). 2–6, 10, 11 – pottery, 7, 8 – stone

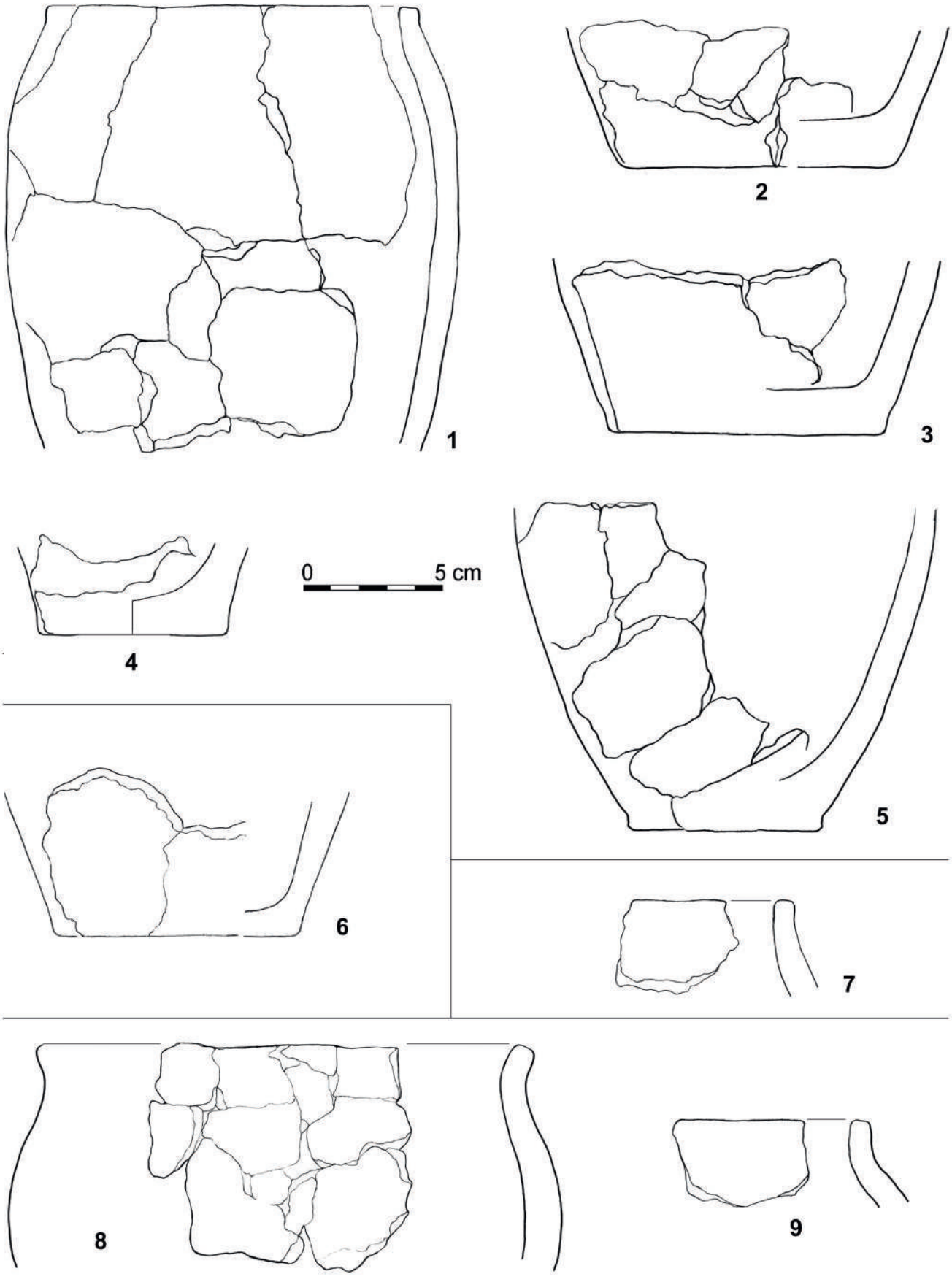


Tabl. 8.9. Jabłonica Ruska stan. 1. Ceramika z obiektu 183 (1–5) oraz znaleziona poza obiektami (6 – ar V 29, 7 – ar L 27, 8, 9 – ar V 31)
Plate 8.9. Jabłonica Ruska, site. 1. Pottery from feature 183 (1–5) and artefacts found outside features (6 – are V 29, 7 – are L 27, 8, 9 – are V 31)

NINA GLIŃSKA

# 9.
# Osada wczesnośredniowieczna (X–XIII w.) na stanowisku Jabłonica Ruska 1
# Settlement from the Early Middle Ages (10th – 13th centuries) at the archaeological site no. 1 in Jabłonica Ruska

## 9.1. Analiza materiału ceramicznego

Podstawą do przeprowadzenia analizy stał się wczesnośredniowieczny materiał ceramiczny wydobyty w trakcie badań wykopaliskowych w Jabłonicy Ruskiej na stanowisku 1, zarówno z obiektów, jak i z innych nawarstwień. Łącznie analizie poddano 574 ułamki naczyń: 37 fragmentów z obiektu 140, 115 z obiektu 141, 4 z obiektu 158, 118 z obiektu 181, 117 z obiektu 182, 9 z obiektu 200, 4 z obiektu 208, 10 z obiektu 210 oraz 160 z powierzchni arów (tabl. 9.12: 2–10; 9.13) lub zebranych z hałdy.

Materiał pozyskany w trakcie badań jest w różnym stopniu zachowania, duża część jest bardzo rozdrobniona. Dominują fragmenty drobne, które stanowią 88% całego zbioru, ułamki średnie (powyżej 25 cm$^2$) stanowią 10%, elementów dużych (powyżej 100 cm$^2$) jest 2% (ryc. 9.1.). W omawianym zbiorze większość stanowią również fragmenty jednoelementowe, np. górna część brzuśca, szyjka, brzeg, które stanowią 81% zbioru, 12% stanowią fragmenty dwuelementowe np. szyjka + brzeg, dno + dolna część brzuśca, natomiast 7% stanowią fragmenty wieloelementowe, np. górna część brzuśca + szyjka + brzeg (ryc. 9.2.).

Na całościową liczbę omawianej ceramiki składa się: 5 naczyń (84 fragmenty) zrekonstruowanych co najmniej do linii największej wydętości brzuśca (1% całego zbioru), 50 (10%) fragmentów brzegów, 398 (81%) fragmentów części środkowych naczyń oraz 39 (8%) fragmentów den i partii przydennych (ryc. 9.3.).

Wśród omawianej ceramiki 41% jest ornamentowana.

## 9.1. Analysis of pottery

The analysis was based on the pottery from the Early Middle Ages found during excavations in Jabłonica Ruska at site 1, both in features and in other layers. In total, 574 fragments of vessels were analysed: 37 fragments from feature 140, 115 from feature 141, 4 from feature 158, 118 from feature 181, 117 from feature 182, 9 from feature 200, 4 from feature 208, 10 from feature 210 and 160 from the surface of ares (Plates 9.12: 2–10; 9.13) or collected from the heap.

The state of preservation of the material obtained during the research varies, large part of it is highly fragmented. Small fragments, which are 88% of the entire collection, dominate, medium-sized fragments (over 25 cm$^2$) are 10% of the collection and large fragments (over 100 cm$^2$) are 2% (Fig. 9.1.) of the collection. In the discussed material, the majority are also single-element fragments, e.g. fragments of the upper part of the body, neck or rim, which constitute 81% of the collection, 12% are two-element fragments, e.g. neck + rim, base + lower part of the body, while 7% are multi-element fragments, e.g. upper part of the body + neck + rim (Fig. 9.2.).

The total number of the discussed pottery consists of: 5 vessels (84 fragments) reconstructed up to, at least, the maximum body diameter line (1% of the entire collection), 50 (10%) fragments of rims, 398 (81%) fragments of the middle parts of the vessels and 39 (8 %) fragments of lower parts of the vessels and vessel bases (Fig. 9.3.).

41% of the pottery is decorated.

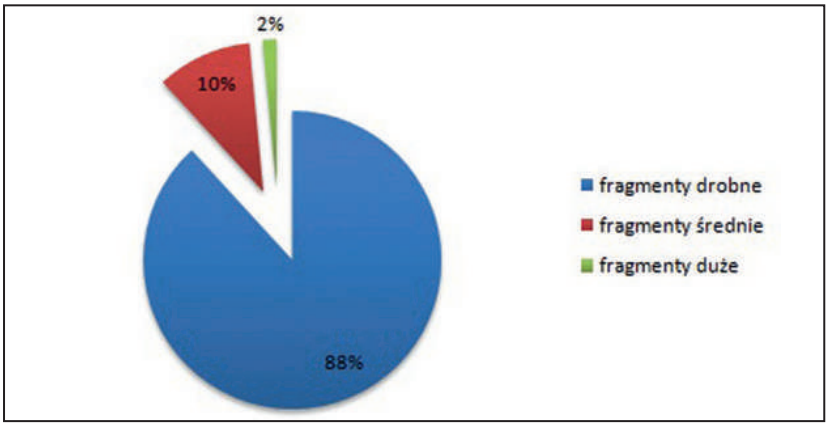


Ryc. 9.1. Jabłonica Ruska, stan. 1. Udział procentowy różnych kategorii wielkościowych w omawianym zbiorze ceramiki wczesnośredniowiecznej
Fig. 9.1. Jabłonica Ruska, site 1. Percentage of given size categories in the collection of pottery from the Early Middle Ages

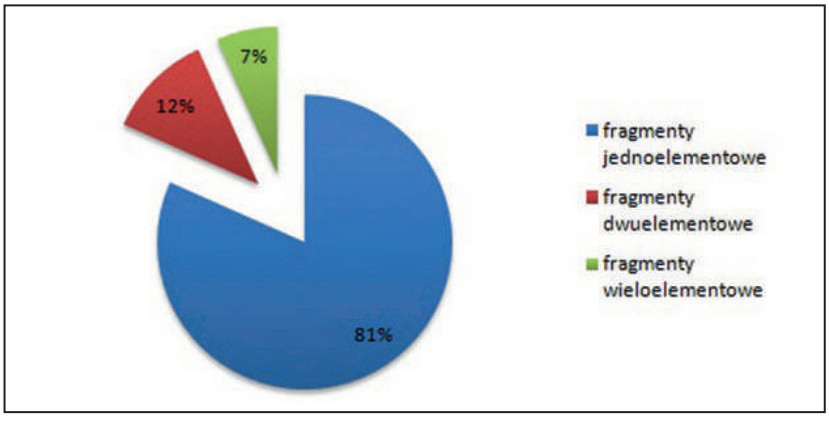


Ryc. 9.2. Jabłonica Ruska, stan. 1. Udział procentowy różnych fragmentów naczyń w omawianym zbiorze ceramiki wczesnośredniowiecznej
Fig. 9.2. Jabłonica Ruska, site 1. Percentage of given vessel fragments in the collection of pottery from the Early Middle Ages

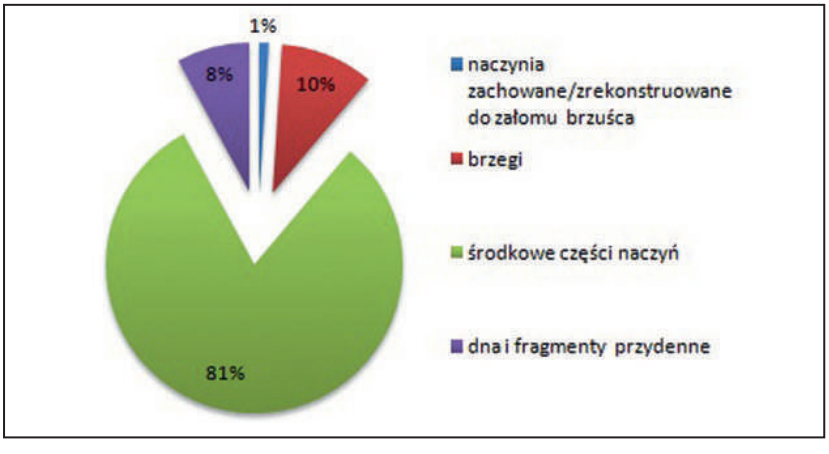


Ryc. 9.3. Jabłonica Ruska, stan. 1. Udział procentowy różnych rodzajów fragmentów naczyń w omawianym zbiorze ceramiki wczesnośredniowiecznej
Fig. 9.3. Jabłonica Ruska, site 1. Percentage of given types of vessel fragments in the collection of pottery from the Early Middle Ages

### 9.1.1. Podstawy analizy opisowej

Ze względu na postulowaną w literaturze przedmiotu potrzebę formalizacji zapisu cech materiału ceramicznego oraz rezygnację z nieprecyzyjnych oraz często niepełnych opisów słownych (Parczewski 1977; Buko 1979; 1980; 1981, s. 30–59; 1988; 1990, s. 222–244, s. 253–257), a także ze względu na charakter opracowywanego zespołu ceramicznego: duże rozdrobnienie fragmentów oraz małą liczbę całych lub zrekonstruowanych w całości naczyń, opis materiału sporządzono na podstawie przygotowanego wcześniej tabelarycznego kwestionariusza cech. Na dobór cech uwzględnionych w kwestionariuszu oraz jego formę wpłynęły dotychczasowe prace poświęcone problematyce analizy opisowej oraz opracowane już projekty sformalizowanego zapisu cech (Hilczerówna 1960; Dymaczewska 1969; Parczewski 1977; 1982; Buko 1981, aneks I; Maj 1990; Okoński 1995; Rzeźnik 1995). Jako opisywaną jednostkę przyjęto pojedynczy fragment ceramiki.

Niektóre pozycje zawarte w kwestionariuszu cech wymagają dokładniejszego omówienia. Rodzaj fragmentu określano na podstawie wzoru zaprezentowanego na rycinie 9.4. Punktem wyjścia do podziału na typy fragmentów jest tu forma esowatego garnka, który zawiera w sobie poniekąd wszystkie pozostałe formy naczyń (Rzeźnik 1995, s. 21–22). W wypadku fragmentów dwu- lub wieloelementowych (np. brzeg + szyjka, brzeg + szyjka + górna część brzuśca) zapis w rubryce składał się z kilku liter np. ab, abc.

W kolejnych rubrykach zapisywano cechy metryczne. Opisywane fragmenty zostały podzielone na trzy kategorie wielkościowe. Do I kategorii zaliczano te, których powierzchnia wynosiła powyżej 100 $cm^2$ (10 × 10 cm), do II kategorii ułamki pomiędzy 25 a 100 $cm^2$, a do III do 25 $cm^2$. Jak łatwo można zauważyć, podział wynikał jedynie z rozmiaru zachowanego fragmentu, a nie jak miało to miejsce w wypadku propozycji zawartych w pracach A. Buko (1979, s. 192–193; 1981, s. 56–58; 1990, s. 236–244) lub U. Maj (1990, s. 14, ryc. 8), z rodzaju fragmentu (jedno- lub wieloelementowe) i jego rozmiaru. Zdecydowano się na takie rozwiązanie

### 9.1.1. Basics of descriptive analysis

Due to the need to formalise the way in which the characteristics of pottery are recorded, postulated in the literature on the subject, and the resignation from inaccurate and often incomplete verbal descriptions (Parczewski 1977; Buko 1979; 1980; 1981, pp. 30–59; 1988; 1990, pp. 222–244, pp. 253–257), and also due to the nature of the discussed collection of pottery – high fragmentation and a small number of whole or fully reconstructed vessels, the description of the material was carried out with a tabular questionnaire on characteristics. The selection of the characteristics included in the questionnaire and its form was influenced by the publications devoted to the problem of descriptive analysis and the previously designed projects of formalised recording of characteristics (Hilczerówna 1960; Dymaczewska 1969; Parczewski 1977; 1982; Buko 1981, Annex I; Maj 1990; Okoński 1995; Rzeźnik 1995). The analysed units are single fragments of pottery.

Some items included in the questionnaire on characteristics require more detailed discussion. The types of fragments were determined according to the formula presented in Figure 9.4. The starting point for the division into types of fragments is the S-shaped pot form, which, in a way, contains all the other forms of vessels (Rzeźnik 1995, pp. 21–22). When it comes to two- or multi-element fragments (e.g. rim + neck, rim + neck + the upper part of the body), the entry in the column consists of several letters, e.g. ab, abc.

Dimensions of fragments were also put in columns. The fragments were divided into three size categories. Category I included fragments with an area of more than 100 $cm^2$ (10 × 10 cm), category II included fragments between 25 and 100 $cm^2$, and category III included fragments up to 25 $cm^2$. What is easy to notice, the division is based only on the size of preserved fragments, and not, as was proposed by A. Buko (1979, pp. 192–193; 1981, pp. 56–58; 1990, pp. 236–244) or by U. Maj (1990, p. 14, Fig. 8), on the type of fragments (single- or multi-element) and their size. Such a solution was chosen, mainly due to the fragments that consist

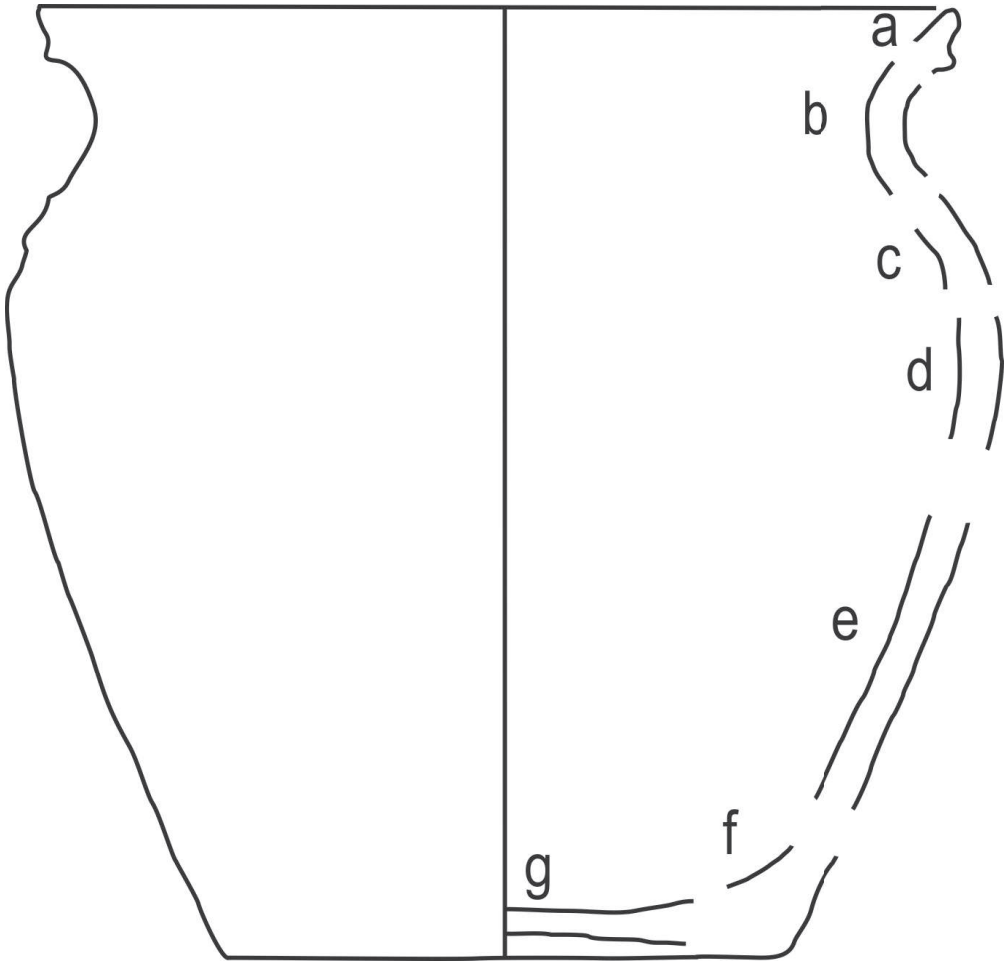


Ryc. 9.4. Jabłonica Ruska, stan. 1. Wzór podziału fragmentów naczyń ze względu na odcinek naczynia, z którego pochodzą. a – brzeg, b – szyjka, c – górna część brzuśca, d – załom brzuśca, e – dolna część brzuśca, f – krawędź dna i dolnej części brzuśca, g – środkowa część dna (wg. P. Rzeźnik 1995, ryc. 3, zmodyfikowane)
Fig. 9.4. Jabłonica Ruska, site 1. The division of vessel fragments according to the vessel part from which they come. a – rim, b – neck, c – upper part of the body, d – shoulder, e – lower part of the body, f- edge of the base and lower part of the body, g- middle part of the base (according to P. Rzeźnik 1995, Fig. 3, modified)

głównie ze względu na fragmenty przybrzeżne składające się z brzegu, szyjki oraz górnej części brzuśca. W klasyfikacji A. Buko należą one do I kategorii wielkościowej. Wydaje się jednak, że ich wartość dla dalszej analizy zależy od stopnia zachowania, a przede wszystkim od możliwości rekonstrukcji na ich podstawie średnicy wylewu, co najczęściej wiąże się z rozmiarem zachowanego fragmentu. Z tego względu zdecydowano się rozbić informacje zawarte w pojęciu „kategoria wielkościowa" prezentowanym w pracach A. Buko na dwie rubryki (rodzaj fragmentu i kategoria wielkościowa).

Ze względu na dużą liczbę drobnych fragmentów i brak możliwości dokonywania pomiaru w stałych punktach (Buko 1981, s. 243, 246), a także różne

of the rim, neck and upper part of the body. In A. Buko's classification, they belong to the size category I. It seems, however, that their importance for further analysis depends on their state of preservation, and above all on the possibility of using them to reconstruct the diameter of the spout, which is most often connected with the size of a preserved fragment. For this reason, it was decided to divide the information included in „size category" presented in the works of A. Buko into two columns (type of a fragment and size category).

Due to the large number of small fragments and the fact that it was impossible to measure them at fixed points (Buko 1981, pp. 243, 246), and due to

rozwiązania, stosowane przez badaczy w tym zakresie (Parczewski 1982, s. 44; Maj 1990, s. 14; Rzeźnik 1995, s. 25), grubość ścianek oraz dna zdecydowano się podawać, określając jej minimalną oraz maksymalną wartość (jako przedział np. 4–8 mm). W wypadku fragmentów naczyń pozwalających na rekonstrukcję tych elementów mierzono także średnicę wylewu (w1), szyjki (w miejscu jej największego przewężenia – w2), maksymalnej wydętości brzuśca (w3) oraz dna (w4).

W opisie ceramiki uwzględniono również niektóre cechy stylistyczne. Obserwowano kształt szyjki (esowata lub cylindryczna) oraz rodzaj łączenia szyjki i górnej części brzuśca (krzywą ciągłą – łagodne lub z uskokiem – kątowe).

W kwestionariuszu umieszczono jedynie informację o grupie surowcowej, do której został przydzielony dany fragment. Charakterystyka grup została omówiona niżej. Przy rozróżnianiu faktury powierzchni fragmentów (gładka, szorstka, chropowata) kierowano się zasadami stworzonymi przez M. Parczewskiego (1977, s. 227; 1982, s. 35, 44). Pomimo wielu kontrowersji, jakie wzbudza określanie barwy ceramiki (Szymański 1967, s. 14; Buko 1979, s. 199; 1981, s. 105; Parczewski 1982, s. 44), zdecydowano się na jej opisanie na powierzchni zewnętrznej, wewnętrznej oraz na przełomie, w tym wypadku rejestrując, czy jest on jednobarwny czy też dwu- lub trójbarwny. Barwa przełomu może bowiem świadczyć o precyzji wypału. Naczynia o przełomie jednobarwnym były na ogół wypalane w wyższej temperaturze. Przełom wielobarwny jest najczęściej wynikiem niedopalenia, związanym z niższą temperaturą wypału lub z niestarannym wypałem wynikającym z braku umiejętności, bądź ze zbyt wczesnym wyciąganiem naczyń z pieca, co mogło się wiązać z chęcią skrócenia czasu produkcji (Wałowy 1979, s. 63–64).

W kolejnych rubrykach opisano cechy związane z techniką wykonania naczyń (formowania ścianek, wykańczania powierzchni naczyń oraz śladów produkcyjnych czytelnych na dnie).

Typologię form naczyń (ich górnych partii) i brzegów, a także klasyfikację wątków zdobniczych przedstawiono niżej. W kwestionariuszu podawano jedynie wyróżnione typy. Przy opisie

various solutions used by researchers in this field (Parczewski 1982, p. 44; May 1990, p. 14; Rzeźnik 1995, p. 25), it was decided that the thickness of the walls and the base would be assessed based on its minimum and maximum value (e.g. as a range 4 – 8 mm). When it comes to the vessel fragments that can be reconstructed, the spout diameter (w1), the neck (at the narrowest point – w2), the maximum body diameter (w3) and the base (w4) were also measured.

Some stylistic features are also included in the description of the pottery. The type of the neck (S-shaped or cylindrical) and the type of connection between the neck and the upper part of the body (gently curved, or with a fault) were recorded.

The questionnaire contains information only about the raw material group to which a given fragment was assigned. The characteristics of the groups are discussed below. When describing the surface texture of the fragments (smooth, rough), the principles developed by M. Parczewski (1977, p. 227; 1982, pp. 35, 44) were used. Despite many controversies concerning determining the colour of pottery (Szymański 1967, p. 14; Buko 1979, p. 199; 1981, p. 105; Parczewski 1982, p. 44), it was decided to describe the outer and inner surfaces and at the cross-section which may be one-, two- or three-colour. The colour of the cross-section may indicate the precision of firing. Vessels with one-colour cross-section were usually fired at a higher temperature. A multi-colour cross-section is most often the result of underfiring, connected with a lower firing temperature or careless firing resulting from lack of skills, or from removing vessels from the kiln too early, which may have happened in an attempt to shorten the production time (Wałowy 1979, pp. 63–64).

The following columns describe features related to the technique of making vessels (forming walls, finishing the surface of the vessels and production traces visible on the base).

The typology of vessel forms (their upper parts) and rims, as well as the classification of ornaments are presented below. Only the distinguished types were included in the questionnaire. When

ornamentu prócz rodzaju ornamentu zdecydowano się uwzględniać również jego głębokość. Uznano bowiem, iż jest to także ważna cecha różnicująca poszczególne typy. Nie podawano jednak dokładnego pomiaru głębokości zdobienia, gdyż z obserwacji opracowywanego zbioru wynika, iż można w nim wydzielić trzy dosyć wyraźne grupy: ornament bardzo płytki, ledwo czytelny; ornament o głębokości ok. 0,5 mm (średni); oraz powyżej 0,5 mm, nawet do powyżej 1 mm (głęboki). W kwestionariuszu notowano też obecność i rodzaj znaku garncarskiego. W wypadku fragmentów dna, na których nie można było stwierdzić, czy znak występował, zapisywano: „?".

describing an ornament, apart from the type of it, it was also decided to take into account its depth as it is also an important feature differentiating individual types. However, the exact measurement of the depth of the decoration was not given, because the analysis of the collection shows that three quite distinct groups can be distinguished in it: very shallow, barely visible ornaments; ornaments about 0.5 mm deep (medium); and ornaments above 0.5 mm, even up to more than 1 mm (deep). The presence and type of potter's marks were also included in the questionnaire. If there were fragments of the base, on which it was not possible to determine whether the mark was present, „?" was used.

### 9.1.2. Grupy surowcowe

Pod pojęciem surowiec kryje się rodzaj gliny użytej do przygotowania masy garncarskiej oraz rodzaj, ilość i wielkość, a także rozmieszczenie domieszki schudzającej (Hołubowicz 1950, s. 33–36; 1965, s. 7–13). Na podstawie obserwacji, poczynionych podczas oglądu makroskopowego, dokonano podziału omawianego zbioru na V grup surowcowych. Jako kryteria podziału posłużyły przede wszystkim rodzaj oraz wielkość domieszki schudzającej oraz w mniejszym stopniu jej ilość i rozmieszczenie. Przy określaniu domieszki brano pod uwagę ziarna, które dominowały w masie garncarskiej (niekoniecznie największe). Obserwowano również wszystkie odbiegające od nich elementy, traktując je jako domieszkę towarzyszącą (Rzeźnik 1995, s. 12). Ze względu na trudności, jakie stwarza przy oglądzie makroskopowym określenie jasnych kryteriów wyznaczających granice pomiędzy dużą, średnią i małą ilością oraz równomiernym bądź nierównomiernym rozmieszczeniem domieszki schudzającej (Parczewski 1982, s. 38), traktowano te obserwacje jako pomocnicze.

I grupa

Charakteryzuje się gliną z małą lub średnią ilością domieszki schudzającej w postaci gruboziarnistego tłucznia kamiennego o wielkości mieszczącej się najczęściej w przedziale 1–3 mm, a także

### 9.1.2. Raw material groups

The term raw material refers to the type of clay used to prepare ceramic fabric, as well as to the type, amount, size and distribution of tempering admixture (Hołubowicz 1950, pp. 33–36; 1965, pp. 7–13). Based on the observations made during the macroscopic inspection, the collection was divided into 5 raw material groups. The classification criteria were, primarily, the type and size of the tempering admixture and, to a lesser extent, its quantity and distribution. When identifying the admixture, grains that dominated the ceramic fabric (not necessarily the largest) were taken into account. All the other elements were also observed and treated as an accompanying admixture (Rzeźnik 1995, p. 12). Due to the difficulties during the macroscopic examination with creating clear criteria of distinguishing between large, medium and small amount of admixture, as well as between even and uneven distribution of the tempering admixture (Parczewski 1982, p. 38), the results of such examination were treated as auxiliary observations.

Group I

It is characterised by clay with a small or medium amount of tempering admixture in the form of coarse-grained crushed stone, usually, 1–3 mm in size, as well as with larger grains – even up

ziarnami większymi: nawet do 7–8 mm. Wyroby z tego surowca mają na ogół żółtą, szaro-żółtą lub szaro-ceglastą barwę i szorstką powierzchnię, ale zdarzają się też wyroby o barwie szarej lub ciemnoszarej (ryc. 9.5.). Ceramika wykonana z tego surowca wykazuje najbardziej archaiczne cechy pod względem techniki wykonania. Naczynia były

to 7–8 mm. Products made of this raw material are usually yellow, grey-yellow or grey-brick red in colour and they have rough surfaces but there are also products which are grey or dark grey (Fig. 9.5.). Pottery made of this raw material has the most archaic features in terms of the technique of production. The vessels were handmade

Ryc. 9.5. Jabłonica Ruska, stan. 1. Fragmenty charakterystyczne dla I i II grupy surowcowej
Fig. 9.5. Jabłonica Ruska, site 1. Fragments characteristic for raw material groups I and II

ręcznie lepione techniką ugniatania. Jeśli obserwuje się ślady wykończenia powierzchni zewnętrznej, to jest to wygładzanie. Ceramika tej grupy nie była też ornamentowana. Brzegi naczyń, które zostały zaliczone do tej grupy, należą do brzegów prostych, słabo wychylonych, o zaokrąglonej krawędzi zewnętrznej.

Jest to masa garncarska, która nie występuje już w materiałach, w których powszechnie stosowano technikę taśmowo-ślizgową. Ceramika ta nie ma odpowiedników w Krakowie (Radwański 1968; 1975), Sandomierzu (Buko 1981), Wiślicy (Glińska, Młodecka 2015), Czermnie (Auch 2017) czy Sąsiadce (Zielonka 2013). Wstępne opracowanie ceramiki przemyskiej (Szuwarowski 1993/1994; 2010) uwzględnia natomiast tylko cechy morfologiczne, a nie technologiczne.

II grupa

Charakteryzuje się gliną żelazistą z domieszką schudzającą w postaci tłucznia kamiennego o wielkości mieszczącej się najczęściej w przedziale 0,2–0,5 mm, rzadziej w przedziale 0,5–1 mm. Jako domieszka towarzysząca występują ziarna o wielkości 1–3 mm, a sporadycznie także większe (nawet do 7 mm). Wyroby z tego surowca mają na ogół ceglastą, szaro-żółtą lub szarą barwę i szorstką, czasem chropowatą powierzchnię, ale zdarzają się też wyroby o barwie jasnoszarej (ryc. 9.5.). Ceramika wykonana z tego surowca wykazuje zróżnicowane cechy pod względem techniki wykonania. Na fragmentach zaliczonych do tej grupy spotyka się ślady ugniatania, ale też techniki taśmowo-ślizgowej. Część fragmentów nosiła ślady obtaczania, a część wygładzania. Brzegi naczyń, które zostały zaliczone do tej grupy, należą do brzegów prostych lub średnio rozwiniętych (linie dwóch krawędzi załamane). Tylko 7% materiału ceramicznego była ornamentowana.

Ceramika ta odpowiada grupie IV w klasyfikacji K. Radwańskiego, występującej w Krakowie w okresie poł. IX – koniec XI w. (1968, s. 16; 1975, s. 299–300), grupie I w podziale A. Buko (1981, s. 71–72), wytwarzanej z plejstoceńskich glin zwałowych (Buko 1981, s. 78), charakterystycznej dla okresu do końca XI w. (Buko 1981, s. 186–200),

and built using the coiling technique. If there are traces of surface finishing it is smoothing. Also, the pottery of this group was not decorated. The rims of the vessels included in this group are simple, slightly everted and with round outer edges.

This raw material is the type of ceramic fabric that was no longer present in the materials to produce which the slide-band forming technique was commonly used. These pottery has no analogies in Kraków (Radwański 1968; 1975), Sandomierz (Buko 1981), Wiślica (Glińska, Młodecka 2015), Czermno (Auch 2017) or Sąsiadka (Zielonka 2013). The preliminary study of Przemyśl pottery (Szuwarowski 1993/1994; 2010) takes into account only morphological features, not technological ones.

Group II

It contains ferruginous clay with a tempering admixture in the form of crushed stone with grains, usually, between 0.2–0.5 mm in size, less often between 0.5–1 mm. There is also an admixture of grains between 1–3 mm in size and, occasionally, there are larger ones (even up to 7 mm). Products made of this material are usually brick red, grey-yellow or grey and, sometimes, they have rough surfaces, but there are also products which are light grey (Fig. 9.5.). Pottery made of this raw material show various features in terms of the production technique. The fragments included in this group show traces of coiling, but there are also traces of slide-band forming. Some of the fragments have traces of slow turning wheel technique, and some were smoothed. The rims of the vessels included in this group are simple or moderately complex (lines marking two edges are broken). Only 7% of the pottery material was decorated.

This pottery corresponds to group IV, according to the classification by K. Radwański, used in Kraków from the middle of the 9th century to the end of the 11th century (1968, p. 16; 1975, pp. 299–300), group I, according to the classification by A. Buko (1981, pp. 71–72), made of boulder clay (A. Buko 1981, p. 78), characteristic of the period until the end of the 11th century (Buko

grupie II ze Stradowa (Maj 1990, s. 15–16), grupie V z Wiślicy (Glińska, Młodecka 2015), grupie II z Sąsiadki (Zielonka 2013, s. 142), VII masie ceramicznej z Czermna (Auch 2017, s. 130) oraz II recepturze masy garncarskiej wyróżnionej we Wrocławiu (Rzeźnik 1995, s. 74).

### III grupa

Surowcem dla tej grupy była glina z domieszką bardzo dużej ilości ziaren piasku i żwiru o wielkości ok. 0,5 mm. Czasami zdarzała się też domieszka towarzysząca w postaci pojedynczych ziaren tłucznia kamiennego mieszczących się w przedziale 0,5–1 lub 1–2 mm. Wyroby mają najczęściej szarą lub szaro-żółtą barwę i szorstką powierzchnię (ryc. 9.6.). Najczęściej stosowaną techniką produkcji naczyń zaliczonych do tej grupy była technika taśmowo-ślizgowa. Obserwowano ślady obtaczania i wygładzania, przy czym to ostatnie głównie na powierzchniach wewnętrznych. Około 1/3 fragmentów naczyń zaliczonych do tej grupy była ornamentowana.

Jedynym ośrodkiem, w którym opisano zbliżoną ceramikę, jest Wrocław. Wyróżniona tam III receptura masy garncarskiej (Rzeźnik 1995, s. 74–75), cechująca się zarówno podobną domieszką, jak i charakterystyczną fakturą powierzchni: tzw. „gęsią skórką", wydaje się najlepiej odpowiadać tej grupie surowcowej. Porównując natomiast z ceramiką z innych ośrodków małopolskich, należy stwierdzić, że ceramika ta, podobnie jak grupa IV, mieści się w ramach wyznaczonej VI grupy surowcowej wg podziału materiałów krakowskich K. Radwańskiego (1968, s. 17; 1975, s. 301–302), grupy IV wydzielonej przez A. Buko w Sandomierzu (1981, s. 72–73), grupy III ze Stradowa (Maj 1990, s. 16), grupy IV z Wiślicy (Glińska, Młodecka 2015), grupy IB z Sąsiadki (Zielonka 2013, s. 142) oraz VI grupy kompozycji domieszek z Czermna (Auch 2017, s. 130).

### IV grupa

Ceramika zaliczona do tej grupy wykonana była z gliny żelazistej o drobnej domieszce, głównie piasku. Jako domieszka towarzysząca występują ziarna tłucznia kamiennego lub żwiru o wielkości

1981, pp. 186–200), group II from Stradów (May 1990, pp. 15–16), group V from Wiślica (Glińska, Młodecka 2015), group II from Sąsiadka (Zielonka 2013, p. 142), ceramic fabric VII from Czermno (Auch 2017, p. 130) and ceramic fabric type II found in Wrocław (Rzeźnik 1995, p. 74).

### Group III

The raw material for this group was clay with an admixture of a very large amount of sand and gravel, approximately 0.5 mm in size. In some cases, there was also an accompanying admixture of single crushed stone grains with a size between 0.5–1 or 1–2 mm. The products are usually grey or grey-yellow and have rough surfaces (Fig. 9.6.). The most frequently used technique for the production of vessels included in this group was slide-band forming. They had traces of slow turning wheel technique and smoothing and the latter was observed mostly on the inner surfaces. About 1/3 of the vessel fragments included in this group were decorated.

Wrocław is the only centre where similar pottery were discovered. The ceramic fabric type III found there (Rzeźnik 1995, pp. 74–75), characterised by both a similar admixture and a characteristic surface texture – the so-called „goosebumps" seems to best match this raw material group. On the other hand, when compared with pottery from other centres located in Lesser Poland, it should be concluded that this pottery, like group IV, falls into raw material group VI according to the division of Kraków materials by K. Radwański (1968, p. 17; 1975, pp. 301–302), group IV separated by A. Buko in Sandomierz (1981, pp. 72–73), group III from Stradów (May 1990, p. 16), group IV from Wiślica (Glińska, Młodecka 2015), group IB from Sąsiadka (Zielonka 2013, p. 142) and admixture composition group VI from Czermno (Auch 2017, p. 130).

### Group IV

Pottery included in this group was made of ferruginous clay with fine-grained admixture, mainly sand. As an accompanying admixture, there are grains of crushed stone or gravel with a size of

Ryc. 9.6. Jabłonica Ruska, stan. 1. Fragmenty charakterystyczne dla III i IV grupy surowcowej
Fig. 9.6. Jabłonica Ruska, site 1. Fragments characteristic for raw material groups III and IV

0,5–1 mm. Wyroby mają najczęściej szarą, szarożółtą lub jasnoszarą barwę i szorstką powierzchnię (ryc. 9.6.). Najczęściej stosowaną techniką produkcji naczyń zaliczonych do tej grupy była technika taśmowo-ślizgowa. Obserwowano ślady obtaczania i wygładzania, przy czym to ostatnie głównie na powierzchniach wewnętrznych. Około 40% fragmentów naczyń zaliczonych do tej grupy była ornamentowana, przeważał ornament w postaci żłobków poziomych.

Ceramika ta odpowiada grupie VI wyróżnionej przez K. Radwańskiego w Krakowie, pojawiającej się w X w., ale charakterystycznej dla okresu XI–XIII w. (1968, s. 17; 1975, s. 301–302), grupie IV wydzielonej w materiałach sandomierskich przez A. Buko (1981, s. 72–73), wykonywanych z holoceńskiej mady rzecznej (Buko 1981, s. 80), grupie III ze Stradowa (Maj 1990, s. 16), grupie III z Wiślicy (Glińska, Młodecka 2015), grupie IA z Sąsiadki (Zielonka 2013, s. 142), IV grupie kompozycji domieszek z Czermna (Auch 2017, s. 130) i IV recepturze masy garncarskiej z Wrocławia (Rzeźnik 1995, s. 74).

## V grupa

Ceramika zaliczona do tej grupy wykonana była z gliny żelazistej o drobnej domieszce w postaci piasku. Cechą wyróżniającą ją od grupy IV był brak domieszki towarzyszącej, mniejsza grubość naczyń oraz technika wykonania (spotykane obtaczanie silnie formujące oraz nadtaczanie). Wyroby mają najczęściej szarą, ceglastą lub jasnoszarą barwę i szorstką powierzchnię (ryc. 9.7.). Najczęściej stosowaną techniką produkcji naczyń zaliczonych do tej grupy była technika taśmowo-ślizgowa, w tym na ogół obserwuje się silne obtaczanie formujące. Obserwowano też ślady wygładzania powierzchni, przy czym przede wszystkim na powierzchniach wewnętrznych. Około 40% fragmentów naczyń zaliczonych do tej grupy była ornamentowana, a przeważał ornament w postaci żłobków poziomych.

Ceramika ta odpowiada grupie VI wyróżnionej przez K. Radwańskiego w Krakowie, pojawiającej się w X w., ale charakterystycznej dla okresu XI–XIII w. (1968, s. 17; 1975, s. 301–302), grupie IV wydzielonej w materiałach sandomierskich przez A.

0.5–1 mm. The products are usually grey, grey-yellow or light grey and they have rough surfaces (Fig. 9.6.). The most frequently used technique for the production of vessels included in this group was the slide-band forming. They had traces of slow turning wheel technique and smoothing, the latter mostly on the inner surfaces. About 40% of the fragments of vessels included in this group were decorated and the dominating ornaments were horizontal flutes.

This pottery corresponds to group VI, distinguished by K. Radwański in Kraków, which appeared in the 10th century but was characteristic of the period between 11th and 13th century (1968, p. 17; 1975, pp. 301–302), group IV separated in Sandomierz materials by A. Buko (1981, pp. 72–73), which were made of Holocene river alluvial soil (Buko 1981, p. 80), group III from Stradów (May 1990, p. 16), group III from Wiślica (Glińska, Młodecka 2015), group IA from Sąsiadka (Zielonka 2013, p. 142), admixture composition group IV from Czermno (Auch 2017, p. 130) and ceramic fabric type IV from Wrocław (Rzeźnik 1995, p. 74).

## Group V

Pottery included in this group was made of ferruginous clay with a fine-grained admixture in the form of sand. The feature that distinguished it from group IV was the lack of accompanying admixture, thinner vessels walls and the production technique (wheel-turned technique and partly wheel-thrown technique). The products are usually grey, brick red or light grey and have rough surfaces (Fig. 9.7.). The most commonly used technique for the production of vessels from this group was slide-band forming, in which, in general, wheel-turned technique is observed. Traces of surface smoothing were also present, mainly on inner surfaces. About 40% of the fragments of vessels included in this group were decorated and the dominating ornaments were horizontal flutes.

This pottery corresponds to group VI, distinguished by K. Radwański in Kraków, which appeared in the 10th century, but is characteristic of the period between the 11th and the 13th century (1968, p. 17; 1975, pp. 301–302), group IV separated in the materials from Sandomierz by A. Buko

Ryc. 9.7. Jabłonica Ruska, stan. 1. Fragmenty charakterystyczne dla V grupy surowcowej
Fig. 9.7. Jabłonica Ruska, site 1. Fragments characteristic for raw material group V

Buko (1981, s. 72–73), wykonywanych z holoceńskiej mady rzecznej (Buko 1981, s. 80), grupie III ze Stradowa (Maj 1990, s. 16), II masie ceramicznej z Czermna (Auch 2017, s. 130) i IV recepturze masy garncarskiej z Wrocławia (Rzeźnik 1995, s. 74).

W omawianym zbiorze ceramiki dominują fragmenty naczyń wykonane z surowca grupy III i IV, charakterystyczne dla młodszych faz wczesnego średniowiecza (ryc. 9.8.).

(1981, pp. 72–73), which were made of Holocene river alluvial soil (Buko 1981, p. 80), group III from Stradów (May 1990, p. 16), ceramic fabric II from Czermno (Auch 2017, p. 130) and ceramic fabric type IV from Wrocław (Rzeźnik 1995, p. 74).

The discussed pottery collection is dominated by vessel fragments made of raw material group III and IV, characteristic of the younger phases of the Early Middle Ages (Fig. 9.8.).

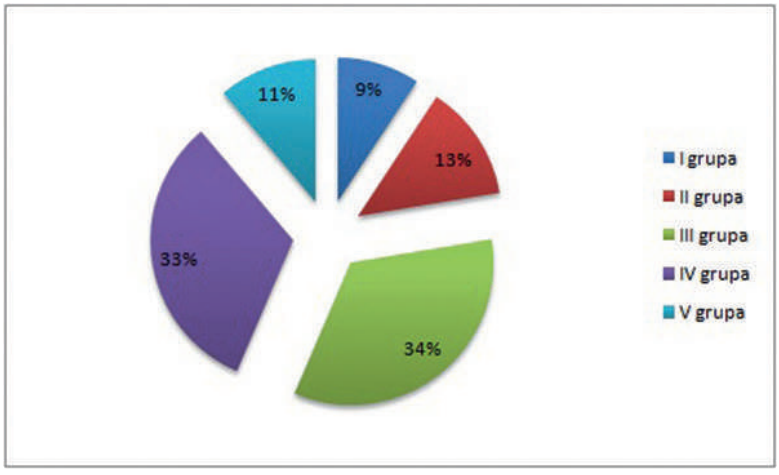


Ryc. 9.8. Jabłonica Ruska, stan. 1. Procentowy udział grup surowcowych w całym zbiorze
Fig. 9.8. Jabłonica Ruska, site 1. Percentage of raw material groups in the entire collection

### 9.1.3. Technika produkcji naczyń

Technika budowy naczyń we wczesnym średniowieczu była już tematem wielu opracowań (Hołubowicz 1950, s. 125–143; 1965, s. 14–30; Radwański 1968, s. 33–36; 1975, s. 310–315; Buko 1981, s. 87–95; 1990, s. 105–119; Parczewski 1982, s. 40–44; Rzeźnik 1995, s. 44–60). Wśród omawianego materiału zaobserwowano technikę ugniatania oraz technikę taśmowo-ślizgową. Przy określaniu technik lepienia jako wyznacznik ugniatania uznano: nierówną powierzchnię, zwłaszcza po wewnętrznej stronie fragmentów, odciski oraz ślady zlepiania, charakteryzujące się nieregularnym rysunkiem szczegółowym bruzd, mało plastyczną glinę z gruboziarnistą domieszką, różną grubość ścianek naczynia (Hołubowicz 1950, s. 160–161; 1965, s. 20–21; Buko 1981, s. 87–88; 1990, s. 106). Natomiast jako wyznacznik techniki taśmowo-ślizgowej uznano: równą powierzchnię, brak śladów ugniatania, regularne rysy w miejscu złączenia taśm, bardziej plastyczną glinę z drobnoziarnistą domieszką, równą grubość ścianek (Hołubowicz 1950, s. 161; 1965, s. 21; Buko 1990, s. 106). Należy tu również podkreślić, iż stwierdzenie na danym fragmencie śladów po którejś z wyżej wymienionych technik nie oznacza, iż całe naczynie zostało wykonane w ten sposób. Garncarz mógł bowiem łączyć obie techniki w trakcie produkcji naczynia (Rzeźnik

### 9.1.3. Vessel production techniques

The technique of vessel production in the Early Middle Ages was the subject of many studies (Hołubowicz 1950, pp. 125–143; 1965, pp. 14–30, Radwański 1968, pp. 33–36; 1975, pp. 310–315; Buko 1981, pp. 87–95; 1990, pp. 105–119; Parczewski 1982, pp. 40–44; Rzeźnik 1995, pp. 44–60). Among the discussed materials, the coiling technique and the slide-band forming technique were observed. When identifying the techniques, the following factors were considered as indicators of coiling: uneven surface, especially on the inner side of the fragments, imprints and traces of attaching, characterised by irregular grooves, less plastic clay with a coarse-grained admixture, varying thickness of the vessel wall (Hołubowicz 1950, pp. 160–161; 1965, pp. 20–21; Buko 1981, pp. 87–88; 1990, p. 106). On the other hand, the following factors were considered as the slide-band forming technique indicators: even surface, no traces of coiling, regular grooves at the point where coils were attached, more plastic clay with a fine-grained admixture, the same thickness of the vessel wall (Hołubowicz 1950, p. 161; 1965, p. 21; Buko 1990, p. 106). It should also be emphasised here that finding traces of any of the above-mentioned techniques on a given fragment does not mean that the whole vessel was made

1995, s. 15). Dużym utrudnieniem przy określaniu rodzaju techniki, jaką wykorzystywał garncarz przy budowie ścianek, było dosyć znaczne rozdrobnienie materiału. W wypadku wielu fragmentów oznaczenie to nie jest pewne, zaś w wielu przypadkach było to wręcz niemożliwe. Wydaje się jednak, iż znaczna część naczyń (ok. 70%) była wykonywana przy pomocy techniki taśmowo-ślizgowej. Na 17% fragmentów dostrzeżono ślady ugniatania. Na ok. 1% ułamków zaobserwowano ślady obu tych technik, przy czym były to przede wszystkim części przydenne naczyń. Ślady obtaczania silnie formującego lub nadtaczania zanotowano w 12% przypadków (ryc. 9.9.).

with a given technique. The potter may have combined both techniques during the production of the vessel (Rzeźnik 1995, p. 15). A serious problem during the identification of the type of technique used by the potter to create vessel walls was high fragmentation of the material. In many cases, accurate identification of fragments was difficult or even impossible. It seems, however, that a significant number of the vessels (approximately 70%) was produced using the slide-band forming technique. Traces of coiling technique were found on 17% of the fragments. Approximately 1% of the fragments had traces of both techniques and they were usually the base parts of the vessels. Traces of wheel-turned technique or partly wheel-thrown technique were found on 12% of the vessels (Fig. 9.9.).

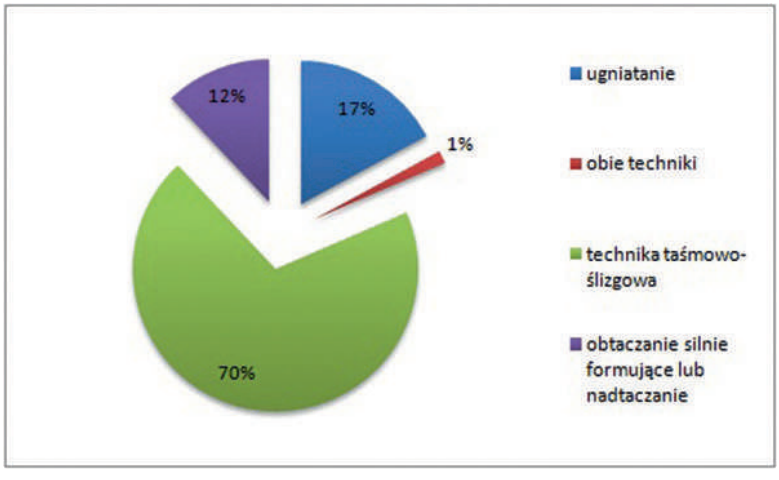


Ryc. 9.9. Jabłonica Ruska, stan. 1. Ślady po technikach formowania ścianek w całym zbiorze ceramiki
Fig. 9.9. Jabłonica Ruska, site 1. Traces of wall building techniques in the entire collection

## Ślady produkcyjne widoczne na dnie

Większość śladów, na podstawie których możemy wnioskować o technice produkcji, zachowuje się na częściach przydennych naczyń. Tylko na tych fragmentach zachowują się bowiem ślady po konstrukcji koła garncarskiego oraz czynnościach pomocniczych np. po stosowaniu podsypki czy zdejmowaniu gotowego wyrobu z koła. Te partie naczyń były także na ogół najmniej starannie wykańczane. Pozwala to na obserwacje dotyczące kształtu dna, odbicia nakładek, blaszek reparacyjnych, odcisków

## Production traces on vessel bases

Most of the traces that can be used to identify the production technique are preserved on the base parts of vessels. They are the only fragments on which the traces of the potter's wheel structure and auxiliary procedures, e.g. using the so-called filling or removing the finished product from the wheel, are preserved. As these parts of vessels are usually the least carefully finished ones they may carry information about the shape of the base, overlays imprints, repair plates, negatives of the wheel axis, the presence or

osi koła, obecności lub braku, rodzaju oraz ilości podsypki zapobiegającej przywieraniu dna do kręgu, obecności lub braku pierścieni dookolnych oraz bruzd dookolnych, które mogą nam dać pewne informacje na temat szczegółów lepienia oraz formowania naczyń. Wreszcie można zaobserwować ślady po zdejmowaniu naczynia z koła: podważaniu i podcinaniu, odcinaniu pionowym lub ukośnym, połączonym z wykańczaniem zewnętrznej powierzchni naczynia lub odcinaniu dookolnym przy pomocy nożyka.

W opracowywanym zbiorze było 31 den zachowanych w stopniu pozwalającym na ich identyfikację. 40% den było wklęsłych i wykonane były z surowca grup III–V. 60% den było płaskich, a pod względem surowca należały one do grup I–IV. 38% den posiadało pierścień dookolny, a na 14% zaobserwowano bruzdę dookolną, 29% den nosiło ślady podsypki, 10% ślady po podcinaniu, ok. 13% po odcinaniu dookolnym, zaś 16% po podważaniu. Na jednym dnie widoczny był ślad osi koła.

Szczególnie interesujące były ślady łączenia listw, widoczne na niektórych partiach przydennych. Dna z pierścieniem dookolnym wskazywały bowiem na ogół, że w ich wypadku garncarz najpierw przylepiał wałek dookoła nakładki, zapewne na jej skraju, nie pozostawiając odstępu pomiędzy krawędzią nakładki a miejscem przylepienia wałka. Na pierścień i nakładkę przylepiał krążek gliny, z którego kształtował dno. W ten sposób dno przylepione było do koła właśnie poprzez pierścień, a następnie na ogół delikatnie wyciągał krawędź dna ku górze i w tym miejscu, od wewnątrz przylepiał pierwszą taśmę, z której budował dalej ścianki naczynia (ryc. 9.10.).

Technika wykańczania powierzchni naczyń

Powierzchnie naczyń były zazwyczaj wykańczane za pomocą wygładzania lub obtaczania (ryc. 9.11.). Wygładzanie pozostawiało na powierzchni naczynia ślady w postaci regularnych, równoległych wobec siebie, różnokierunkowych, często pionowych lub ukośnych smużek. Rysunek szczegółowy tych śladów mógł być różny: mogły to być delikatne, równoległe wobec siebie smużki, łączące się w szerokie pasma; drobne, nieznacznie

absence and the type and amount of the so-called filling that prevents the base from sticking to the wheel, the presence or absence of circumferential rings and circumferential grooves, which can provide some insight into the process of vessel building and forming. Finally, one can also find there traces of removing the vessel from the wheel: levering and cutting-off, cutting vertically or diagonally combined with finishing the outer surface of the vessel or circumferential cutting with a knife.

In the studied collection there were 31 base parts of the vessels preserved well enough to be identified. 40% of the base parts were concave and were made of raw material III-V groups. 60% of the bases were flat and made of raw material groups I-IV. 38% of the bases had circumferential rings, 14% had circumferential grooves, 29% of the bases had traces of the so-called filling, about 10% had traces of cutting-off, 13% had traces of circumferential cutting, and 16% had traces of levering. There was a trace of a wheel axis on one base part.

The traces of attaching horizontal plastic fillets, visible on some base parts, were particularly interesting. The bases with circumferential rings generally indicated that the potter first attached the coil around the overlay, probably on its edge, leaving no space between the edge of the overlay and the place where the coil was attached. A clay disc, from which the base was formed, was glued to the ring and the overlay. In this way, the base was attached to the wheel through the ring, and then, usually, the potter gently pulled the edge of the base upwards, and at this point, on the inside, they attached the first tape which was used to build the walls of the vessel (Fig. 9.10.).

Vessel surface finishing techniques

Vessel surfaces were usually finished by smoothing or slow turning wheel technique (Fig. 9.11.). Smoothing left traces on the surface of the vessel in the form of regular, parallel, multi-directional, often vertical or oblique streaks. The details of the traces vary: they may have been delicate, parallel streaks, merging into wide bands; small, slightly concave grooves, separated by visibly thinner, convex, straight lines or wide bands with relatively well visible outline

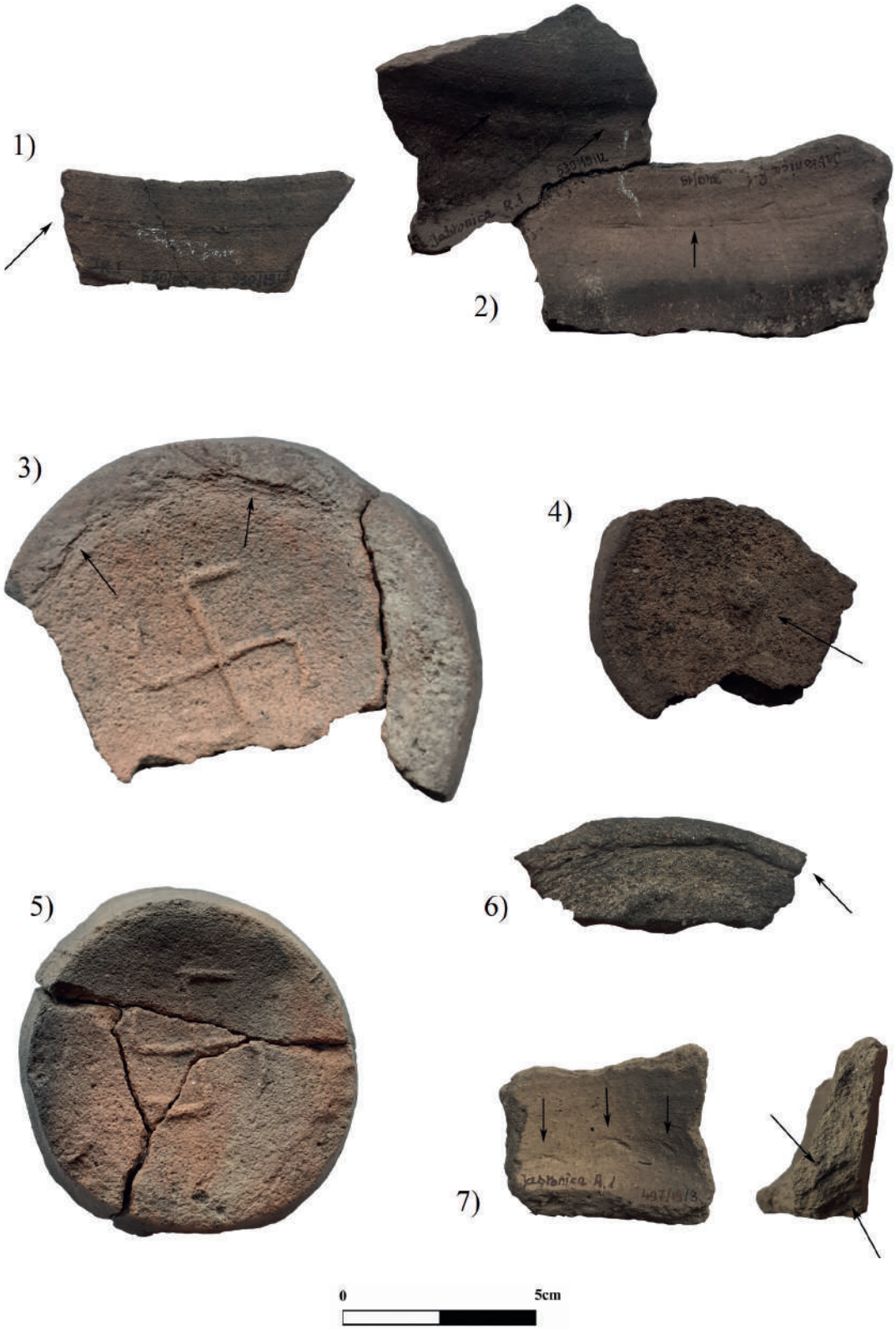


Ryc. 9.10. Jabłonica Ruska, stan. 1. Przykłady śladów produkcji zaobserwowanych na naczyniach z Jabłonicy Ruskiej: 1, 2, 7 – ślady łączenia listw; 2, 7 – odciski palców, ślady lepienia; 3, 6 – dna z pierścieniem i bruzdą dookolną; 4 – odcisk osi koła; 3,5 – dna ze znakami garncarskimi

Fig. 9.10. Jabłonica Ruska, site 1. Examples of traces of production on vessels from Jabłonica Ruska: 1, 2, 7 – traces of joining horizontal plastic fillets; 2, 7 – finger imprints, traces of handbuilding; 3, 6 – bases with rings and a circumferential grooves; 4 – negative of the wheel axis; 3.5 – bases with potter's marks

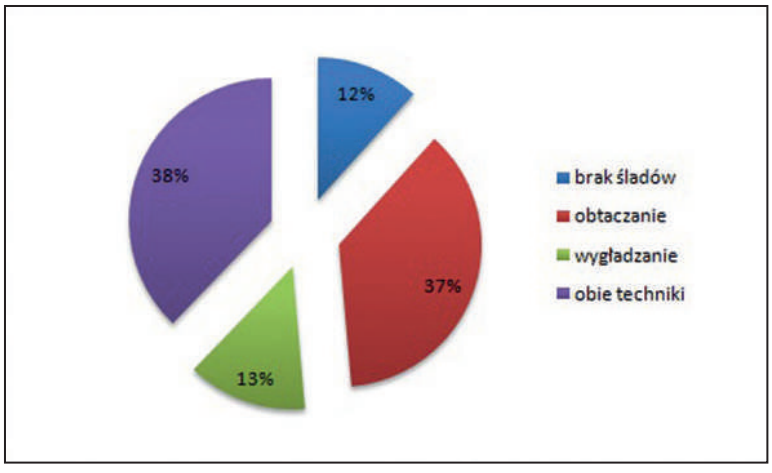


Ryc. 9.11. Jabłonica Ruska, stan. 1. Technika opracowania powierzchni naczyń w omawianym zbiorze
Fig. 9.11. Jabłonica Ruska, site 1. Technique of vessel surface processing in the collection

wklęsłe rowki, przedzielone wyraźnie cieńszymi od nich, wypukłymi, prostymi liniami lub szerokie pasma o stosunkowo dobrze widocznym zarysie bocznych krawędzi i niewidocznym rysunku szczegółowym wewnętrznej powierzchni (Rzeźnik 1995, s. 52–54). Natomiast obtaczanie widoczne jest na powierzchni fragmentów jako pasma złożone z poziomych, delikatnych, gęsto położonych, równoległych smużek (Rzeźnik 1995, s. 54). Obtaczanie dzieli się jednak na wygładzające oraz formujące (Hołubowicz 1965, s. 24–27). Przy obtaczaniu formującym ciągi garncarskie powinny występować w takim samym zasięgu, być tak samo czytelne oraz posiadać identyczny rysunek szczegółowy po obydwu stronach ścianek (Rzeźnik 1995, s. 58). W wypadku omawianego zespołu ceramicznego rozróżnienie pomiędzy obtaczaniem formującym oraz wygładzającym oraz określenie zasięgu obtaczania jest bardzo trudne ze względu na małą liczbę całych naczyń, niewielką liczbę większych fragmentów oraz przeważającą część ułamków małych, pochodzących ze środkowych partii naczyń. Na niektórych fragmentach zaobserwowano obtaczanie jedynie po jednej ze stron ścianki lub nierówny zasięg obtaczania po obu stronach ścianki. Na niektórych fragmentach widoczne były ślady zarówno po obtaczaniu, jak i po wygładzaniu. Na tej podstawie można przypuszczać, iż część naczyń była obtaczana jedynie w górnej partii oraz, że obtaczanie części wyrobów miało charakter jedynie

of the side edges and no visible details located on the inner surface (Rzeźnik 1995, pp. 52–54). On the other hand, slow turning wheel technique is visible on the surface of fragments in the form of bands composed of horizontal, delicate, densely arranged, parallel streaks (Rzeźnik 1995, p. 54). Slow turning wheel technique, however, consists of smoothing and forming (Hołubowicz 1965, pp. 24–27). After forming, traces of using the wheel-turned techniques (parallel horizontal lines) should cover the same area, be equally visible and have identical details on both sides of the walls (Rzeźnik 1995, p. 58). When it comes to the pottery collection in question, it is very difficult to distinguish between forming and smoothing and the extent of using the slow turning wheel technique, due to the small number of whole vessels and large fragments and the fact that the collection is dominated by small fragments from the middle parts of vessels. There were fragments where the slow turning wheel technique was observed only on one side of the wall or fragments with uneven extent of the slow turning wheel technique visible on both sides. Some fragments showed traces of both the slow turning wheel technique and smoothing. Therefore, it can be assumed that some of the vessels were slow turned only in the upper part and that the slow turning wheel technique was only performed to smooth the surfaces of some products. Smoothing was observed on 13% of the fragments, traces of both techniques (smoothing and the slow turning wheel

wygładzający. Wygładzanie zaobserwowano na 13% fragmentów, obie techniki (wygładzanie i obtaczanie) zanotowano w przypadku 38% ułamków, na 12% nie zaobserwowano w ogóle śladów wykańczania powierzchni, pozostałe fragmenty nosiły ślady obtaczania (37%).

Wg E. Dąbrowskiej ceramikę wyłącznie ręcznie lepioną można datować w Małopolsce od przełomu V i VI w. do początku wieku VII (Dąbrowska 1973, s. 39). Ceramika wykonana techniką taśmowo-ślizgową oraz obtaczana w górnych partiach pojawia się na przełomie VI i VII w., i występuje do schyłku VIII w., a niekiedy do początku IX w. (Dąbrowska 1963, s. 57; 1973, s. 41). Naczynia ręcznie lepione, dość silnie obtaczane w górnej i środkowej partii pojawiają się w VII w. w postaci ceramiki białej (grupa IIIA) i występują głównie w IX – pocz. X w., zaś przeżytkowo jeszcze w wieku XI (Dąbrowska 1973, s. 43–44). Natomiast ceramika obtaczana w górnych partiach, ale wykonana z glin żelazistych (grupa IIIB) występuje w IX – X w. (Dąbrowska 1963, s. 58; 1973, s. 43). Na przełomie IX i X wieku obok ceramiki grupy III pojawia się ceramika całkowicie obtaczana (Dąbrowska 1973, s. 43). Ceramika ta występuje do przełomu XII/XIII w. (Dąbrowska 1963, s. 58). A. Żaki (1974, s. 207–209) datuje pojawienie się naczyń górą obtaczanych na II fazę wczesnego średniowiecza (800–950). Wcześniej występują naczynia całkowicie ręcznie lepione. Wyjątek stanowi tu biała ceramika, która pojawia się już w VII w. (Żaki 1974, s. 198). W Krakowie naczynia całkowicie lepione pojawiają się sporadycznie. Liczniejszą grupą są tam naczynia wykonane techniką taśmowo-ślizgową i obtaczane na krawędzi, które Kazimierz Radwański datuje na VI – połowa IX w. Od połowy X w. na naczyniach białych obserwuje się obtaczanie dochodzące często do załomu brzuśca, a nawet nieznacznie go przekraczające. W XI w. pojawia się ceramika obtaczana w całości lub w znacznej części, wykonana na ogół z surowca grupy VI. W XII w. wg K. Radwańskiego w Krakowie występują naczynia nadtaczane (Radwański 1968, s. 33–36; 1975, s. 310–315).

Ważnych danych dostarczają nam też obserwacje dotyczące barwy przełomu naczyń. 70% naczyń

technique) were found on 38% of the fragments, on 12% there were no traces of surface finishing, the rest of the fragments had traces of the slow turning wheel technique (37%).

According to E. Dąbrowska, only handmade pottery can be dated, in Lesser Poland, to the period between the 5th/6th century and the beginning of the 7th century (Dąbrowska 1973, p. 39). Pottery made with the slide-band forming technique and with slow turned upper parts appeared at the turn of the 7th century, and was used until the end of the 8th century, and sometimes until the beginning of the 9th century (Dąbrowska 1963, p. 57; 1973, p. 41). Handmade vessels with quite heavily slow turned upper and middle parts, appeared in the 7th century in the form of whiteware (group IIIA) and were used, mainly, between the 9th and the early 10th century, and sometimes even in the 11th century (Dąbrowska 1973, pp. 43–44). On the other hand, pottery with slow turned upper parts but made of ferruginous clays (group IIIB), appeared between the 9th and the 10th centuries (Dąbrowska 1963, p. 58, 1973, p. 43). At the turn of the 10th century, next to group III pottery, pottery made completely with the slow turning wheel technique appeared (Dąbrowska 1973, p. 43). It was used until the turn of the 13th century (Dąbrowska 1963, p. 58). A. Żaki (1974, pp. 207–209) dates the appearance of vessels with slow turned upper-parts to the second phase of the Early Middle Ages (800–950). Earlier, only completely handmade vessels were used. The exception is whiteware, which appeared as early as in the 7th century (Żaki 1974, p. 198). In Kraków, completely handmade vessels appeared sporadically. The more numerous group there are vessels made with the slide-band forming technique and with slow turned rims, which Kazimierz Radwański dates to the period between the 6th and the middle of the 9th century. From the middle of the 10th century, the slow turning wheel technique is observed on whiteware, often reaching the shoulder or even slightly exceeding it. In the 11th century, completely or almost completely slow turned pottery, usually made of group VI raw material, appeared. In the 12th century, according to K. Radwański, vessels made with partly wheel-thrown technique appeared in Kraków (Radwański 1968, pp. 33–36; 1975, pp. 310–315).

miało przełom jednobarwny, 14% dwubarwny (z jednej strony, najczęściej wewnętrznej – szary, a po zewnętrznej zbliżony do barwy na powierzchni), a 15% trójbarwny (w środku szare, a przy krawędziach o barwie zbliżonej do barwy powierzchni). Świadczy to o wysokich umiejętnościach garncarzy i starannym wypale naczyń.

Important data is also obtained through observation of the colour of the vessel cross-sections. 70% of the vessels had one-colour cross-sections, 14% had two-colour cross-sections (on one side, most often the inner edge – grey and on the outer edge, similar to the colour of the surface), and 15% had three-colour cross-sections (grey in the middle, and at the edges similar to the colour of the surface). It proves the proficiency of the potters and careful firing of the vessels.

### 9.1.4. Ukształtowanie górnych partii naczyń

Naczynia z omawianego zbioru nie wykazują zbyt dużego zróżnicowania. Dominującą formą był esowaty garnek. Inne formy występowały zdecydowanie rzadziej. Dodatkowo był to materiał w dużym stopniu rozdrobniony, w którym było tylko kilka zrekonstruowanych (częściowo) naczyń. Dlatego nie można było przeprowadzić właściwej analizy zmierzającej do stworzenia typologii form całych wyrobów. Można było jedynie wziąć pod lupę ukształtowanie górnych partii garnków, w większości wypadków górnych części brzuśca, szyjki i brzegu. Z uwagi na skumulowanie dużej ilości cech stylistycznych w górnej części naczyń (Buko 1981, s. 128–184; Poleski 2004b, s. 22) próba przeprowadzenia takiej analizy wydaje się jednak uzasadniona. W związku z tym podział na typy musiał uwzględniać drugorzędne i trzeciorzędne cechy formalne: proporcje naczyń oraz szczegóły stylistyczne w ukształtowaniu brzegu, szyjki oraz brzuśca naczynia oraz w sposobie łączenia tych elementów. Naczynie potraktowano zatem jako formę wieloelementową, która przedstawia ciąg elementów (brzeg, szyjka, górna część brzuśca, załom brzuśca, dolna część brzuśca), z których niektóre zostały wyeksponowane (poprzez uskok lub załamanie ścianki oraz wyróżniającą się na tle pozostałych elementów linię profilu), a inne zredukowane (Rzeźnik 1995, s. 75–78). Aby uniknąć subiektywnego podziału, którego podstawy często są nieczytelne dla innych badaczy, zdecydowano się opisać naczynie za pomocą kilku cech mierzalnych, dających potem podstawę do analiz statystycznych. Mierzono zatem średnicę wylewu (w1),

### 9.1.4. Shapes of the upper parts of vessels

The vessels from the collection in question are not very diverse. The dominant forms were S-shaped pots. Other forms were much less common. What is more, the material was highly fragmented with only a few (partially) reconstructed vessels. Therefore, it was not possible to conduct a proper analysis aimed at creating the typology of forms of whole products. It was only possible to examine the shape of the upper parts of the pots, in most cases the upper parts of the body, necks and rims. Due to the accumulation of a large number of stylistic features in the upper part of the vessels (Buko 1981, pp. 128–184; Poleski 2004b, p. 22), an attempt to conduct such an analysis seems justified. Therefore, the division into types had to take into account secondary and tertiary features: the proportions of the vessels and the stylistic details observed in the shapes of their rims, necks and bodies and in the way of how these elements were connected. The vessels were, therefore, treated as multi-element forms that represent sequences of elements (rim, neck, upper part of the body, shoulder, lower part of the body), some of which were exposed (due to a fault or a bend in the wall and an outstanding, compared to other elements, profile), and the other were reduced (Rzeźnik 1995, pp. 75–78). In order to avoid subjective division, the foundations of which are often unclear to other researchers, it was decided to describe the vessels with several measurable features, which then provide the basis for statistical analyses. Thus, the following elements were measured: the diameter of the spout (w1), the diameter of the

średnicę szyjki w miejscu jej największego przewężenia (w2), średnicę największej wydętości brzuśca (w3), wysokość górnej partii naczynia: mierzonej od linii wylewu do linii największej wydętości brzuśca (h1), wysokość szyjki: od dolnej linii brzegu do najwęższego miejsca szyjki (h2a) oraz (w wypadku naczyń z wyraźnie zaznaczonym punktem przejścia szyjki w brzusiec) od najwęższego miejsca szyjki do punktu łączenia pomiędzy szyjką a górną częścią brzuśca (h2b), wysokość górnej części brzuśca naczynia – mierzoną od miejsca największego przewężenia szyjki lub od miejsca kątowego załamania pomiędzy szyjką a brzuścem do linii największej wydętości brzuśca (h3), różnicę pomiędzy szerokością naczynia przy dolnej krawędzi brzegu a jego szerokością w najwęższym miejscu szyjki (p1) oraz pomiędzy miejscem największej wydętości brzuśca a punktem łączenia szyjki i brzuśca (p2). Wysokość całego naczynia oraz wysokość dolnej części naczynia nie były możliwe do wiarygodnego określenia w żadnym z opisywanych naczyń. Pomiarów dokonywano zgodnie ze schematem przedstawionym na rycinie 9.12. Mając na uwadze duże rozdrobnienie materiału, pomiary dokonywano w taki sposób, aby przynajmniej część z nich móc odczytać z profilu naczynia, wykorzystując jako wzór propozycję P. Rzeźnika (1995, ryc. 22).

Uzyskane w opisany wyżej sposób wymiary stały się podstawą do wytypowania cech, które zostały potraktowane jako zmienne w analizie statystycznej. Aby uniknąć podziału naczyń na duże i małe

neck at its narrowest point (w2), the maximum body diameter (w3), the height of the upper part of the vessel: from the spout to the maximum body diameter line (h1), the height of the neck: from the lower rim line to the narrowest point of the neck (h2a) and (in the case of the vessels with clearly visible points where the neck meets the body) from the narrowest point of the neck to the connection between the neck and the upper part of the body (h2b), the height of the upper part of the body – measured from the narrowest point of the neck or from the bend between the neck and the body to the maximum body diameter line (h3), the difference between the width of the vessel at the lower edge of the rim and its width at the narrowest point of the neck (p1) and between the maximum body diameter line and the point where the neck meets the body (p2). When it comes to the analysed pottery, neither the height of the entire vessel nor the height of the lower part of any vessel could be measured. Measurements were taken in accordance with the diagram shown in Figure 9.12. Taking into account the high fragmentation of the material, the measurements were done in such a way that at least some of them could be based on the vessel's profile, using the proposal of P. Rzeźnik (1995, Fig. 22) as a model.

The data on vessel dimensions obtained in the above-mentioned way is the basis for selecting the features that became variables in the statistical analysis. In order to avoid the division of vessels

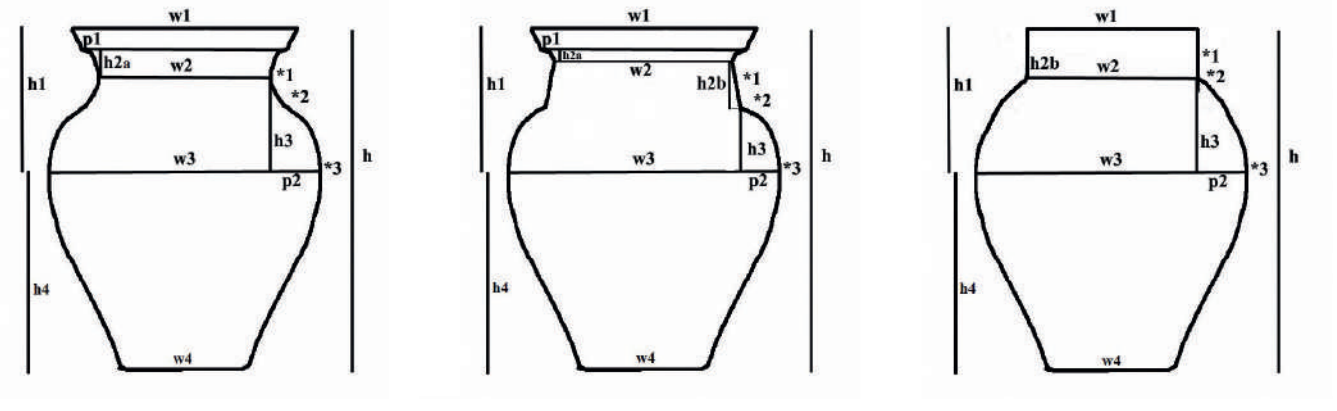


Ryc. 9.12. Jabłonica Ruska, stan. 1. Schemat rozmieszczenia cech metrycznych w zależności od rodzaju naczynia
Fig. 9.12. Jabłonica Ruska, site 1. Distribution of dimensions of fragments according to the type of vessels

(co stałoby się wynikiem analizy przy wykorzystaniu jako zmienne dokonanych pomiarów) opisano je za pomocą stosunków tych wymiarów. Uwzględniono stosunek szerokości naczynia w miejscu maksymalnej wydętości brzuśca do wysokości górnej części naczynia (w3/h1); stosunek średnicy szyjki do wysokości szyjki (w2/h2); stosunek szerokości naczynia w miejscu maksymalnej wydętości brzuśca do średnicy wylewu (w3/w1); stosunek szerokości naczynia w miejscu maksymalnej wydętości brzuśca do średnicy szyjki (w3/w2); stosunek średnicy wylewu do średnicy szyjki (w1/w2); wychylenie brzegu i wychylenie brzuśca (p1/h2 i p2/h3) oraz stosunek wysokości górnej części brzuśca do wysokości szyjki (h3/h2 lub h3/(h2a+h2b)). W analizie uwzględniono też rodzaj szyjki (esowata lub cylindryczna) oraz rodzaj łączenia szyjki z brzuścem (zaznaczone uskokiem, kątowo czy biegnące po łuku, łagodne). Dzięki temu naczynia o podobnych proporcjach, ale o zupełnie innym ukształtowaniu stylistycznym nie zostaną zakwalifikowane do jednej grupy. Pierwotnie zamierzano również obserwować ukształtowanie brzuśca, aby wydzielać naczynia ostroprofilowane, o dwustożkowatym brzuścu, ale nie stwierdzono ich występowania w tym zbiorze.

Już pierwsze obserwacje cech stylistycznych zarysowały podział na główne typy naczyń. Pod względem stylistycznym wyróżniały się trzy grupy wyrobów: o esowatym profilu (typ I), o cylindrycznej szyjce (typ II) oraz o prostej, wyeksponowanej, czasem wręcz cylindrycznej szyjce, mocno wygiętym brzegu oraz o kątowym łączeniu szyjki z brzuścem (typ III). Dalszy podział największego zbioru (naczyń esowatych) na podtypy był możliwy przy uwzględnieniu proporcji naczyń. W tym celu wykonano analizę skupień (CA), która ma na celu uzyskanie struktury obiektów uporządkowanych hierarchicznie zgodnie z malejącym podobieństwem (Tryon 1939). W tym wypadku celem analizy był podział górnych partii naczyń o profilu esowatym na typy w taki sposób, aby naczynia znajdujące się w jednej grupie były do siebie jak najbardziej podobne, a ich stopień powiązania z naczyniami z pozostałych grup był jak najmniejszy. Przed przystąpieniem do analizy dane zostały zestandaryzowane.

into large and small (which would be the result of the analysis that would treat the measurements as variables), they were described using dimension to dimension ratios. The following were taken into account: the width of the vessel at the maximum body diameter line to the height of the upper part of the vessel ratio (w3/h1); the neck diameter to the neck height ratio (w2/h2); the width of the vessel at the maximum body diameter line to the diameter of the spout ratio (w3/w1); the width of the vessel at the maximum body diameter line to the diameter of the neck ratio (w3/w2); the spout diameter to the neck diameter ratio (w1/w2); the rim evertion to the body evertion ratio (p1/h2 and p2/h3) and the height of the upper part of the body to the height of the neck ratio (h3/h2 or h3/(h2a + h2b)). The analysis also took into account the type of the neck (S-shaped or cylindrical) and the type of connection between the neck and the body (with a fault, at an angle or arched, smooth). As a result, vessels with similar proportions, but with completely different shapes, are not classified into one group. Originally, it was also intended to analyse the shapes of the bodies in order to distinguish vessels with sharp profiles and biconical bodies but they were not found in the collection.

The first observations of stylistic features resulted in the division into the main types of vessels. In terms of style, three groups of products stood out: vessels with S-shaped profiles (type I), vessels with cylindrical necks (type II) and vessels with straight, clearly visible, sometimes even cylindrical necks, strongly bent rims and the neck and the body connected at an angle (type III). A further division of the largest collection (S-like vessels) into subtypes was possible when the proportions of vessels were taken into account. For this purpose, a cluster analysis (CA) was performed, which aims to obtain the structure of objects hierarchically ordered according to decreasing similarity (Tryon 1939). In this case, the aim of the analysis was to divide the upper parts of the S-shaped vessels into types in such a way that the vessels in one group were as similar to each other as possible, and their degree of similarity with the vessels from the other groups was as low as

Analizę przeprowadzono, wykorzystując metodę Ward`a (1963), w której do oszacowania odległości między skupieniami wykorzystuje się podejście analizy wariancji. Analizę przeprowadzono w oparciu o program statystyczny StatSoft STATISTICA 13.1. Wyniki grupowania przedstawiono w postaci dendrogramu.

Na podstawie przeprowadzonego badania opisywane naczynia podzielono finalnie na 3 typy (I–III), a w obrębie typu I (naczynia o esowatym profilu) dokonano dalszego podziału na dwa podtypy (Ia i Ib), w tym w pierwszym wydzielając jeszcze dwa warianty (Ia1 i Ia2), zgodnie z przedstawionym dendrogramem (ryc. 9.13.).

possible. Before starting the analysis, the data was standardised. The analysis was performed using the method of Ward (1963), in which the analysis of variance approach is used to estimate the distance between clusters. The analysis was based on the program StatSoft STATISTICA 13.1. The results of grouping were presented in the form of a dendrogram.

Based on the study, the vessels were finally divided into 3 types (I-III), and within type I (vessels with S-shaped profiles), a further division into two subtypes (Ia and Ib) was done, with the first one divided into two more variants (Ia1 and Ia2), as presented in the dendrogram (Fig. 9.13.).

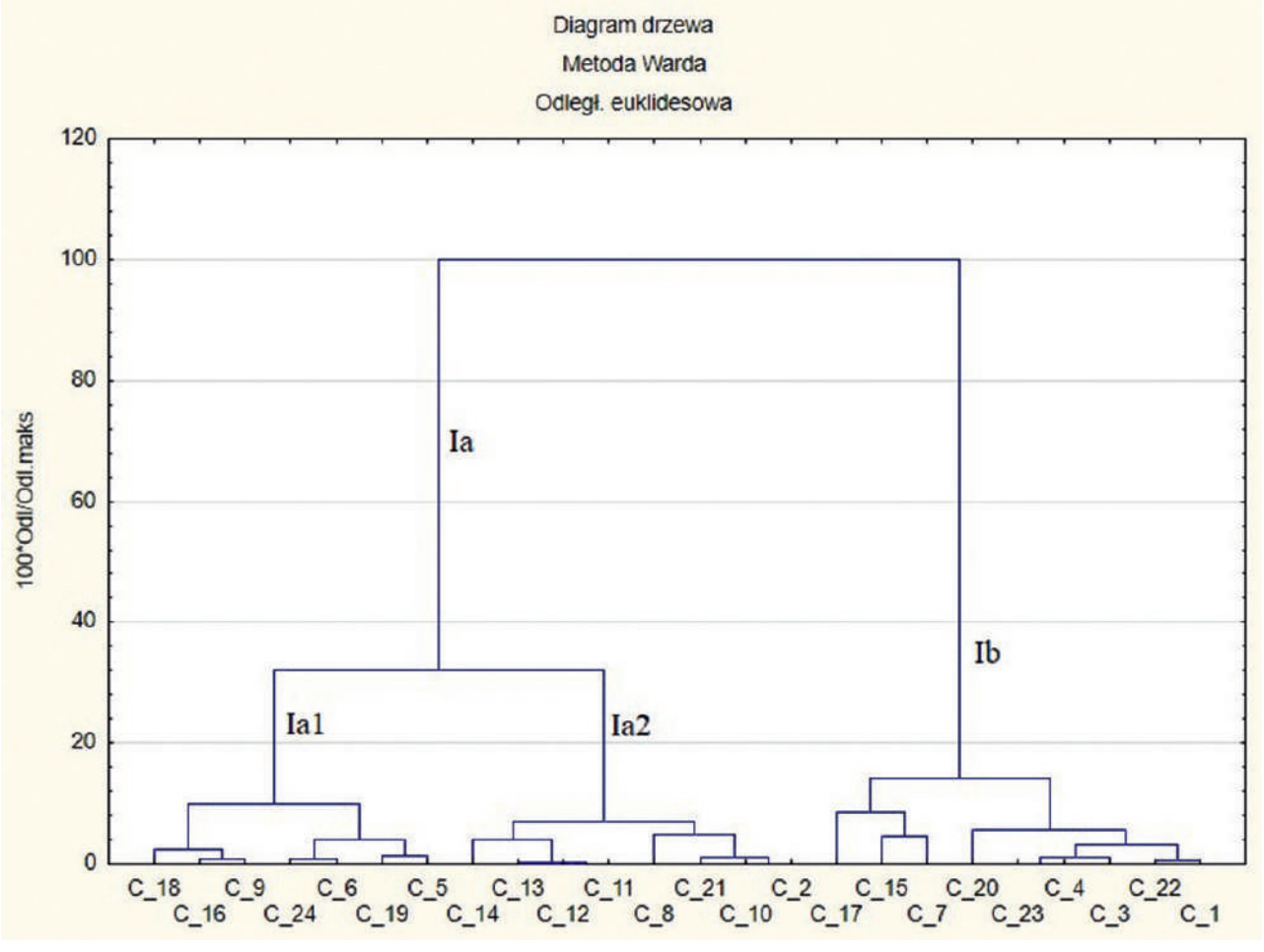


Ryc. 9.13. Jabłonica Ruska, stan. 1. Dendrogram grupowania metodą hierarchiczną form górnych partii naczyń przy zastosowaniu metody Ward`a
Fig. 9.13. Jabłonica Ruska, site 1. Dendrogram presenting the hierarchical method grouping of the upper vessel part forms with the use the Ward's method

Typ I

Do typu I zakwalifikowano naczynia o profilu esowatym i łagodnym przejściu pomiędzy elementami naczynia, bez uskoków lub załamania linii profilu naczynia. Grupa ta została następnie podzielona na mniejsze zbiory. Cechą, którą determinował ten podział, był przede wszystkim stosunek pomiędzy wychyleniem brzegu a wysokością szyjki naczynia. Podtyp Ia grupował naczynia o stosunkowo dużym wychyleniu brzegu (tabl. 9.4: 8; 9.5: 7; 9.6: 2, 9.7: 3, 4). W obrębie tej grupy dokonano dalszego podziału na: naczynia, w których wychylenie brzegu było większe niż wysokość szyjki do jej największego przewężenia, a stosunek tych wartości mieścił się w przedziale ok. 1,2–1,8 (Ia1- tabl. 9.4: 8; 9.7: 3, 4), oraz na te, których wychylenie brzegu (p1) i wysokość szyjki (h2) osiągały podobne wartości, a ich stosunek osiągał na ogół wartość ok. 1 (Ia2 – tabl. 9.5: 7; 9.6: 2). Podtyp Ib charakteryzował się najbardziej esowatym profilem, na ogół dość wysoką szyjką (nisko umieszczonym miejscem jej największego przewężenia) oraz stosunkowo małym wychyleniem brzegu (tabl. 9.3: 2, 3, 7; 9.7: 2). Przejście pomiędzy brzuścem, szyjką i wylewem było płynne, łagodnie zaakcentowane. Wysokość szyjki osiągała większe wartości niż wychylenie brzegu, a stosunek tych wartości wynosił 0,3–0,7 (tabela 9.1).

Występowanie naczyń o esowatym profilu w Małopolsce pokazuje, że naczynia o takich formach występują powszechnie i można je szeroko datować na okres X–XIII w.

Fragmenty przypisane do typu Ia1 nawiązują do typu IV w klasyfikacji A. Żakiego, występującego w Małopolsce od poł. X do poł. XIII w. (Żaki 1974, s. 184). W typologii K. Radwańskiego jest to zapewne typ II odmiana D i E (poł. X – poł. XI w.), czyli „niewielkie naczynia workowate, beczułkowate, beczułkowato-baniaste i wazowato-baniaste" (Radwański 1968, s. 46–47; 1975, s. 330–332). Typ ten mieści się w ramach II Rodziny Form (dalej: RF) wyróżnionej przez A. Buko w materiałach sandomierskich, która pojawia się tam w XI w., a jej produkcja wiąże się z glinami żelazistymi (Buko 1981, s. 147–149). W Wiślicy najbardziej podobne są naczynia zaliczone do grupy II (Glińska 2017a).

Type I

Type I includes vessels with S-like profiles and a smooth transition between the vessel parts, without any faults or bends in the profile. The vessels were then divided into smaller groups. The key feature on which this division was based was the evertion of the rim to the height of the neck ratio. The Ia subtype included vessels with a relatively large rim evertion (Plates 9.4: 8; 9.5: 7; 9.6: 2, 9.7: 3, 4). Within this group, there was a further division into: vessels with the rim evertion larger than the height of the neck up to its narrowest point, and the rim-neck ratio in the range of approximately 1.2–1.8 (Ia1 – Plates 9.4: 8; 9.7: 3, 4) and into vessel with similar evertion of the rim (p1) and the height of the neck (h2), and their rim-neck ratio being usually about 1 (Ia2 – Plates 9.5: 7; 9.6: 2). The Ib subtype was characterized by the most S-like profiles, usually fairly high necks (the narrowest point located low) and relatively small rim evertion (Plates 9.3: 2, 3, 7; 9.7: 2). The transition from the body to the neck and to the spout was smooth and gentle. The height of the neck was larger than the rim evertion, and the neck-rim ratio was 0.3–0.7 (Table 9.1).

The presence of vessels with S-shaped profiles in Lesser Poland shows that such forms are common and can be widely dated to the period between the 10th and the 13th century.

The fragments assigned to type Ia1 are similar to type IV in A. Żaki's classification and were used in Lesser Poland from the middle of the 10th to the middle of the 13th century (Żaki 1974, p. 184). In K. Radwański's typology, it is probably type II, variants D and E (the middle of the 10th to the middle of the 11th century), i.e. „small, bag-shaped, barrel-shaped, barrel-shaped-spherical and vase-like-spherical vessels" (Radwański 1968, pp. 46–47; 1975, pp. 330–332). This type is part of the Form Family II (hereinafter: FF) distinguished by A. Buko in Sandomierz materials, which appeared there in the 11th century, and its production is connected with ferruginous clays (Buko 1981, pp. 147–149). In Wiślica, the most similar are the vessels from group II (Glińska 2017a).

The vessels included in group Ia2 correspond most closely to the forms classified by A. Żaki as

Tabela. 9.1. Jabłonica Ruska, stan. 1. Tabela ukazująca dane wykorzystane do analizy ukształtowania stylistycznego górnych partii naczyń

Table 9.1. Jabłonica Ruska, site 1. Table showing the data used to analyse the forms of the upper parts of the vessels

| Obiekt/ar | Numer inwentarzowy | Tablica | Cechy metryczne | | | | | | | | | Proporcje | | | | | | | | Cechy stylistyczne | | Typ naczynia |
|---|---|---|---|---|---|---|---|---|---|---|---|---|---|---|---|---|---|---|---|---|---|---|
| | | | Średnica wylewu (w1) | Średnica szyjki (w2) | Średnica maks. wydętości brzuśca (w3) | Wychylenie brzegu (p1) | Wychylenie brzuśca (p2) | Wysokość górnej części naczynia (h1) | Wysokość szyjki od wylewu do przewężenia (h2a) | Wysokość szyjki od przewężenia do przejścia w brzusiec (h2b) | Wysokość górnej części brzuśca (h3) | w3/h1 | w2/h2a | w3/w1 | w3/w2 | w1/w2 | p1/h2a | p2/h3 | h3/(h2a+h2b) | Rodzaj szyjki | Przejście szyjka-brzusiec | |
| 140 | 468/19/1 | 9.1:2 | | | | | 3 | | | 1,5 | 4 | | | | | | | 0,75 | 2,666667 | cylindryczna | kątowe | III |
| | 477/19 | 9.2 | 24 | 22 | 29 | 0,9 | 2,3 | 6 | 0,7 | 1,3 | 3,4 | 4,83 | 31,43 | 1,208333 | 1,31818 | 1,09091 | 1,28571 | 0,67647 | 1,7 | cylindryczna | kątowe | III |
| 141 | 340/19/5 | 9.3:2 | | | | 0,4 | | | 1 | | | | | | | | 0,4 | | | esowata | | Ib |
| | 340/19/14 | | ? | ? | | 1,5 | | | 1,2 | | | | | | | | 1,25 | | | esowata | łagodne | Ia2 |
| | 340/19/36 | | ? | | | 1 | | | 1,8 | | | | | | | | 0,55556 | | | esowata | | Ib |
| | 340/19/37 | | ? | | | | | | | 1 | 3,4 | | | | | | | | 3,4 | cylindryczna | łagodne | III |
| | 479/19/2 | 9.3:3 | ? | ? | | 0,4 | | | 0,8 | | | | | | | | 0,5 | | | esowata | łagodne | Ib |
| | 479/19/12 | 9.4:6 | ? | | | 1,2 | | | 0,7 | | | | | | | | 1,71429 | | | esowata | łagodne | Ia1 |
| | 497/19/24 | 9.4:8 | ? | | | 1,3 | | | 0,8 | | | | | | | | 1,625 | | | esowata | | Ia1 |
| | 497/19/25 | 9.3:7 | 20 | 19 | 21,5 | 0,7 | 1,5 | 7 | 2 | | 5 | 3,07 | 9,25 | 1,075 | 1,16216 | 1,08108 | 0,35 | 0,3 | 2,5 | esowata | łagodne | Ib |
| | 497/19/26 | | ? | | | 0,7 | 1,7 | 6 | 0,5 | | 4,5 | | | | | | 1,4 | 0,37778 | 9 | esowata | łagodne | Ia2 |
| | 530/19/1 | 9.4:5 | ? | ? | | 0 | | | 0 | | | | | | | | | | | cylindryczna | | II |
| | 530/19/10 | 9.4:7 | ? | | | 0,9 | 0,4 | | 0,2 | 1,3 | | | | | | | 4,5 | | | cylindryczna | kątowe | III |
| | 530/19/12 | 9.4:2 | | | | | 1,2 | | | | 4 | | | | | | | 0,3 | | cylindryczna | kątowe | III |
| | 436/19/3 | 9.5:6 | 14 | 12 | | 0,7 | | | 0,3 | 1,2 | | | 40,67 | | | 1,14754 | 2,33333 | | | cylindryczna | kątowe | III |
| | 445/19/1 | 9.6:3 | | | | | 1,4 | | | | 2,5 | | | | | | | 0,56 | | esowata | łagodne | Ia1 |
| | 445/19/4 | | ? | | | 1 | | | 0,8 | | | | | | | | 1,25 | | | esowata | | Ia2 |
| | 445/19/13 | 9.6:1 | ? | | | 1,3 | | | 1,2 | | | | | | | | 1,08333 | | | esowata | | Ia2 |
| | 467/19/1 | 9.6:10 | 16 | 14 | 24 | 0,8 | 4,8 | 7,8 | 0,1 | 1,3 | 5,5 | 3,08 | 142,00 | 1,5 | 1,69014 | 1,12676 | 8 | 0,87273 | 3,928571 | cylindryczna | kątowe | III |
| | 467/19/2 | 9.6:1 | ? | | | 1,3 | | | 1,2 | | | | | | | | 1,08333 | | | esowata | łagodne | Ia2 |
| | 467/19/26 | 9.5:7 | ? | ? | | 1,1 | | | 1 | | | | | | | | 1,1 | | | esowata | | Ia2 |
| | 467/19/37 | 9.6:2 | 14 | 12 | | 1,2 | | | 1,2 | | | | 9,67 | | | 1,2069 | 1 | | | esowata | łagodne | Ia2 |

| Obiekt/ar | Numer inwentarzowy | Tablica | Cechy metryczne | | | | | | | | | Proporcje | | | | | | | | Cechy stylistyczne | | Typ naczynia |
|---|---|---|---|---|---|---|---|---|---|---|---|---|---|---|---|---|---|---|---|---|---|---|
| | | | Średnica wylewu (w1) | Średnica szyjki (w2) | Średnica maks. wydętości brzuśca (w3) | Wychylenie brzegu (p1) | Wychylenie brzuśca (p2) | Wysokość górnej części naczynia (h1) | Wysokość szyjki od wylewu do przewężenia (h2a) | Wysokość szyjki od przewężenia do przejścia w brzusiec (h2b) | Wysokość górnej części brzuśca (h3) | w3/h1 | w2/h2a | w3/w1 | w3/w2 | w1/w2 | p1/h2a | p2/h3 | h3/(h2a+h2b) | Rodzaj szyjki | Przejście szyjka-brzusiec | |
| 182 | 437/19/1 | 9.7:2 | ? | | | 0,9 | | | 1,3 | | | | | | | | 0,69231 | | | esowata | łagodne | Ib |
| | 437/19/2 | 9.7:3 | ? | | | 0,7 | | | 0,5 | | | | | | | | 1,4 | | | esowata | | Ia1 |
| | 444/19 | | 19 | 17 | 24 | 1,4 | 3,5 | 8,5 | 2 | | 6,5 | 2,82 | 8,50 | 1,263158 | 1,41176 | 1,11765 | 0,7 | 0,53846 | 3,25 | esowata | łagodne | Ib |
| | 444/19/1 | 9.7:4 | 13 | 11 | | 0,9 | | | 0,7 | | | | 15,71 | | | 1,18182 | 1,28571 | | | esowata | łagodne | Ia1 |
| | 444/19/2 | 9.7:8 | 21 | 19 | | 0,9 | | | 0,5 | 1,5 | | | 37,00 | | | 1,13514 | 1,8 | | | cylindryczna | kątowe | III |
| | 444/19/3 | 9.7:6 | ? | | | 0,9 | | | 0,5 | | | | | | | | 1,8 | | | esowata | łagodne | Ia1 |
| | 471/19/1 | | | | | 0,4 | | | 1,7 | | | | | | | | 0,23529 | | | esowata | | Ib |
| ar O28 | 284/19/1 | 9.13:7 | | | | 1,2 | | | 1 | | | | | | | | 1,2 | | | esowata | | Ia2 |
| ar R26 | 402/19/1 | 9.13:12 | ? | | | 0,3 | | | 0,7 | | | | | | | | 0,42857 | | | esowata | łagodne | Ib |
| ar U28 | 510/19 | | ? | | | 0,5 | | | 1 | | | | | | | | 0,5 | | | esowata | | Ib |
| hałda | 336/19/1 | | ? | | | 1,1 | | | 0,7 | | | | | | | | 1,57143 | | | esowata | | Ia1 |

Formy zaliczone do grupy Ia2 odpowiadają najbardziej formom zaliczonym przez A. Żakiego do typów IVa2,3,4, datowanych na poł. X – poł. XIII w. (Żaki 1974, s. 184) oraz przez K. Radwańskiego do typu V, datowanego na koniec IX – XI w., charakteryzującego się „na ogół dużymi rozmiarami, ostro przewężoną, krótką szyjką i wydłużonym, dość lekko wygiętym na zewnątrz, czasem prawie stojącym, w formie kołnierza, brzegiem" (Radwański 1968, s. 46–47, 51–53; 1975, s. 330–332, s. 337–342). W podziale A. Buko mieszczą się w ramach I RF z Sandomierza, datowanej od XI w. (Buko 1981, s. 145–147). W materiałach wiślickich najbardziej zbliżone formy zostały zaliczone do typu III (Glińska 2017a). W materiałach wrocławskich podobne naczynia (wąskootworowe, o esowatym profilu i średnio lub mocno wydętym brzuścu) zaliczone zostały do typu A2:3 (Rzeźnik 1995, s. 80, ryc. 23).

Naczynia zaliczone do typu Ib przypominają typ VIc naczyń małopolskich, do którego A. Żaki zaliczył misy i wazy, charakteryzujące się większą szerokością niż wysokością naczynia oraz dużą średnicą wylewu (Żaki 1974, s. 185). Naczynia te występują zapewne we wszystkich fazach wczesnego średniowiecza, ale charakterystyczne są dla jego młodszych faz (głównie poł. X – poł. XIII w.). Typ ten jest też najbardziej zbliżony do IV typu (odmiana A: poł. IX – poł. X w.; odmiana B: poł. lub 2. poł. X – XI w.) naczyń krakowskich, które reprezentują „szerokootworowe garnki o wyraźnie esowatym profilu" (Radwański 1968, s. 49–50; 1975, s. 335–337). Podobne formy w klasyfikacji naczyń sandomierskich zostały zaliczone do I i V RF, datowanych na XI–XIII w. (Buko 1981, s. 145–147, 153–155). Wśród naczyń z Wiślicy najbardziej odpowiada im grupa IV form naczyń (Glińska 2017a). P. Rzeźnik umieścił natomiast podobne szerokootworowe formy w typie A2:2 (Rzeźnik 1995, s. 79–80, ryc. 23).

## Typ II

W typie II znalazły się naczynia z cylindryczną szyjką, bez wyodrębnionego brzegu (tabl. 9.4: 5; 9.10: 3; 9.12: 3–5). W klasyfikacji A. Żakiego jest to typ VIII, który występuje głównie od poł. X do poł. XIII w. (Żaki 1974, s. 186–187). W Krakowie

types IVa2,3,4, dated to the period between the middle of the 10th century and the middle of the 13th century (Żaki 1974, p. 184) and to the forms classified by K. Radwański as type V, dated to the end of the period from the end of the 9th to the 11th century, characterised by „generally large sizes, visibly narrowed, short necks and elongated, slightly flared, sometimes almost straight, collar-like rim" (Radwański 1968, pp. 46–47, 51–53; 1975, pp. 330–332, pp. 337–342). According to A. Buko's classification they fall into FF I from Sandomierz, dated to the 11th century and later (Buko 1981, pp. 145–147). In the Wiślica materials, the most similar forms were classified as type III (Glińska 2017a). In Wrocław materials, similar vessels (narrow-hole vessels, with S-like profiles and medium or large body diameter) were classified as type A2: 3 (Rzeźnik 1995, p. 80, Fig. 23).

Vessels classified as type Ib are similar to Lesser Poland vessels type VIc, in which A. Żaki included bowls and vases that were wider than higher and had large spout diameters (Żaki 1974, p. 185). These vessels were, probably, used during all the phases of the Early Middle Ages, but they are characteristic of the younger phases (mainly from the middle of the 10th to the middle of the 13th century). This type is also the closest to type IV (variant A: mid-9th to mid-10th century; variant B: the middle or the 2nd half of the 10th to the 11th century) of Kraków vessels, which are represented by „wide-hole pots with clearly S-shaped shape profiles" (Radwański 1968, pp. 49–50, 1975, pp. 335–337). Similar forms, in the classification of Sandomierz vessels, were included in FF I and FF V, dated to the period from the 11th to the 13th century (Buko 1981, pp. 145–147, 153–155). Among the vessels from Wiślica, most similar is the vessel form group IV (Glińska 2017a). P. Rzeźnik, on the other hand, included similar wide-hole vessels in type A2: 2 (Rzeźnik 1995, pp. 79–80, Fig. 23).

## Type II

Type II includes vessels with cylindrical necks and without separated rims (Plates 9.4: 5; 9.10: 3; 9.12: 3–5). In A. Żaki's classification it is type VIII, which was used from the middle of the 10th to the middle of the 13th century (Żaki 1974, pp.

to typ X, występujący od 2. poł. XI do poł. lub 2. poł. XIII w. (Radwański 1968, s. 59–61; 1975, s. 353–356). Na grodzisku w Naszacowicach naczynia z cylindryczną szyjką pojawiają się dopiero po II fazie, datowanej na X wiek (Poleski 2004a, s. 194; 2004b, s. 22–23). W Sandomierzu zaliczone zostały do II, III i V RF. Ich występowanie należy zatem szeroko datować na XI–XIII w. (Buko 1981, s. 147–151, 153–155). W Wiślicy formy takie włączono do typu V naczyń (Glińska 2017a). We Wrocławiu naczynia z cylindryczną szyjką i łagodnie profilowanym brzuścu zostały zaliczone do typu B1:2, datowanego głównie na XI i XII w. (Rzeźnik 1995, s. 82, ryc. 25).

Typ III

Typ III to naczynia o długiej, prostej szyjce, często oddzielonej od brzuśca uskokiem z mocno wychylonym brzegiem (tabl. 9.4: 7; 9.5: 6; 9.6: 10; 9.7: 5). W klasyfikacji A. Żakiego najbardziej zbliżone do nich są formy zaliczone do typu VIIIc, który datowany jest na poł. X – poł. XIII w. (Żaki 1974, s. 186–187), w podziale K. Radwańskiego naczynia typu VIII, odmiany A (XI w., Radwański 1968, s. 55–57; 1975, s. 347–350). Na grodzisku w Naszacowicach naczynia takie pojawiają się dopiero po II fazie, datowanej na X wiek (Poleski 2004a, s. 194; 2004b, s. 22–23). W Wiślicy są to naczynia typu VI (Glińska 2017a). W Sandomierzu występują od XI w. Zaliczone one zostały do II i III RF (Buko 1981, s. 147–151). Typ VI odpowiada naczyniom typu A3:21–23, charakteryzującym się mocno wyeksponowaną, prostą szyjką, które we Wrocławiu występowały od X/XI w., ale dominowały w XI i XII w. (Rzeźnik 1995, s. 81, ryc. 24).

186–187). In Kraków, it is type X, used from the 2nd half of the 11th to the middle or the 2nd half of the 13th century (Radwański 1968, pp. 59–61; 1975, pp. 353–356). In the stronghold in Naszacowice, vessels with cylindrical necks were used after the second phase, dated to the 10th century (Poleski 2004a, p. 194; 2004b, pp. 22–23). In Sandomierz, they were included in FF II, III and V. Their presence should, therefore, be dated to the long period between the 11th and the 13th century (Buko 1981, pp. 147–151, pp. 153–155). In Wiślica, such forms were included in vessel type V (Glińska 2017a). In Wrocław, vessels with cylindrical necks and gentle body profiles were classified as type B1: 2, dated usually to the 11th and 12th centuries (Rzeźnik 1995, p. 82, Fig. 25).

Type III

Type III are vessels with long, straight necks, often separated from the body by a fault, with a strongly everted rim (Plates 9.4: 7; 9.5: 6; 9.6: 10; 9.7: 5). In A. Żaki's classification, the forms classified as type VIIIc, dated to the period from the middle of the 10th the middle of the 13th century, are the most similar to them (Żaki 1974, pp. 186–187), while in the classification by K. Radwański, the most similar are type VIII vessels, variant A (11th century, Radwański 1968, pp. 55–57; 1975, pp. 347–350). In the stronghold in Naszacowice, such vessels were used after the second phase, dated to the 10th century (Poleski 2004a, p. 194; 2004b, pp. 22–23). In Wiślica, they are type VI vessels (Glińska 2017a). They were present in Sandomierz from the 11th century. They were included in FF II and III (Buko 1981, pp. 147–151). Type VI corresponds to type A3: 21–23 vessels, characterised by clearly visible, straight necks, which were present in Wrocław from the period between the 10th and the 11th century, but they dominated in the 11th and the 12th century (Rzeźnik 1995, p. 81, Fig. 24).

### 9.1.5. Typologia brzegów

Zróżnicowanie formalne brzegów naczyń wczesnośredniowiecznych jest bardzo duże, zwłaszcza w porównaniu do zróżnicowania morfologicznego samych form tych naczyń. Jest to również jeden z nielicznych elementów w materiale ceramicznym, który jest czuły chronologicznie i może być pomocny w datowaniu ceramiki. Z tego powodu dla wielu stanowisk oraz regionów powstały typologie brzegów (Radwański 1968, s. 61–64, ryc. 38, 39; 1975, s. 356–360, ryc. 128; Parczewski 1982, s. 46, ryc. 7–10; Maj 1990, s. 16, ryc. 6; Poleski 2004b, s. 23, ryc. 50), mające służyć nie tylko w badaniach nad zróżnicowaniem formalnym naczyń, ale również nad ich chronologią.

Jako podstawę do wyróżnienia poszczególnych typów brzegów w omawianym materiale przyjęto wzór opracowany dla materiałów wiślickich (Glińska 2017b). Podstawą dalszej analizy jest tam kąt wychylenia brzegu oraz kształt i stopień rozwinięcia trzech stron krawędzi naczynia, które określono za M. Parczewskim (1977, ryc. 5) jako stronę wewnętrzną, zewnętrzną oraz dolną. Uznając kąt wychylenia brzegu oraz kształt i stopień rozwinięcia trzech stron krawędzi za cechy tak samo istotne, typologię brzegów stworzono w postaci swoistego układu współrzędnych, gdzie literami alfabetu oznaczono stopień rozwinięcia, natomiast cyframi kąt wychylenia oraz kształt brzegu. W ten sposób dany typ brzegu jest definiowany automatycznie przez obydwie cechy. Granice wychylenia kątowego, definiujące brzegi słabo, średnio oraz mocno wychylone, przyjęto za M. Parczewskim (1977, ryc. 4). Brzegi proste mieszczą się w przedziale -10°–10°, brzegi słabo wychylone w przedziale 10°–30°, brzegi średnio wychylone 30°–60°, natomiast mocno wychylone > 60°.

Grupa A w tym systemie to brzegi proste, czyli takie, w których każda z krawędzi jest wycinkiem prostej lub krzywej ciągłej. Grupy B–D obejmują brzegi słabo rozwinięte, tzn. takie, w których przynajmniej jedna linia wyznaczająca krawędź brzegu została jednokrotnie załamana. W wypadku grupy B jest to krawędź wewnętrzna, w wypadku grupy C krawędź zewnętrzna, natomiast w wypadku grupy D

### 9.1.5. Typology of rims

Formal diversity of vessel rims from the Early Middle Ages is enormous, especially when compared to the morphological diversity of the forms of these vessels themselves. It is also one of the few characteristics of ceramic material that can help to date pottery. That is why typologies of rims were created for many archaeological sites and regions (Radwański 1968, pp. 61–64, Figs. 38, 39; 1975, pp. 356–360, Fig. 128; Parczewski 1982, p. 46, Figs. 7- 10; Maj 1990, p. 16, Fig. 6; Poleski 2004b, p. 23, Fig. 50). Their role is to help not only in doing research on the formal diversity of vessels, but also on their chronology.

In order to distinguish given types of rims in the discussed material, the formula developed for Wiślica materials (Glińska 2017b) was used. The basis for further analysis there is the rim evertion angle as well as the shape and degree of complexity of the three sides of the rim edge, which were defined after M. Parczewski (1977, Fig. 5) as the inner, outer and lower side. Considering the rim evertion angle and the shape and degree of complexity of the three sides of the edge as equally important features, the typology of the rims was created in the form of a specific coordinate system, where the letters of the alphabet denote the degree of complexity, while the numbers indicate the evertion angle and the shape of the rim. In this way, a given rim type is automatically defined by both of the features. The ranges of rim evertion, according to which the rim may be slightly, moderately or strongly everted, were created by M. Parczewski (1977, Fig. 4) and adopted here. Straight rims are within the range of -10° – 10°, slightly everted rims are in the range of 10° – 30°, moderately everted rims are in the range of 30° – 60°, and strongly everted rims are in the range of > 60°.

Group A in this system includes simple rims, i.e. those in which each edge is a segment of a straight line or a curve. Groups B-D include fairly complex edges, i.e. those in which at least one line marking the edge of the rim is broken once. For group B it is the inner edge, for group C it is the outer edge, for group D it is the lower edge. Groups E-G

krawędź dolna. Grupy E–G zawierają brzegi, których krawędź zewnętrzna została dwukrotnie załamana, natomiast dwie pozostałe są proste. W wypadku grupy E jest to krawędź wewnętrzna, grupy F krawędź zewnętrzna, natomiast grupy G krawędź dolna. Grupy H–J to brzegi średnio rozwinięte, w których linie, wyznaczające dwie spośród trzech krawędzi zostały jednokrotnie załamane. W grupie H są to krawędzie wewnętrzna oraz zewnętrzna. W grupie I zewnętrzna oraz dolna. Natomiast w grupie J krawędź wewnętrzna i dolna. Grupa K obejmuje brzegi rozwinięte, w których wszystkie linie, wyznaczające krawędzie brzegu zostały jednokrotnie załamane. Grupy L–N obejmują brzegi mocno rozwinięte, w których jedna z linii, wyznaczających krawędzie została przynajmniej dwukrotnie załamana (w wypadku grupy L jest to krawędź wewnętrzna, grupy M krawędź zewnętrzna, natomiast grupy N krawędź dolna), a pozostałe przynajmniej jednokrotnie. Grupa O to brzegi, których wszystkie krawędzie zostały co najmniej dwukrotnie załamane. Grupa P – brzegi, które nie mieszczą się w opisanej wyżej klasyfikacji.

Cyfra 1 oznacza brzeg o zaokrąglonej krawędzi zewnętrznej, słabo wychylony. Grupa 2 brzeg o zaokrąglonej krawędzi zewnętrznej, średnio wychylony. Grupa 3 brzeg o zaokrąglonej krawędzi zewnętrznej, mocno wychylony. Brzegi oznaczone cyfrą 4–6 to brzegi o prostej krawędzi zewnętrznej, ściętej prostopadle do linii wylewu. Grupa 4 obejmuje brzegi słabo wychylone, 5 średnio wychylone, natomiast 6 to brzegi mocno wychylone. Do grupy 7–9 zaliczono brzegi o prostej krawędzi zewnętrznej, ściętej na zewnątrz. Grupa 7 to brzegi słabo wychylone, grupa 8 średnio wychylone, a 9 mocno wychylone. Grupy 10–12 obejmowały brzegi o prostej krawędzi zewnętrznej, ściętej do wewnątrz. Grupa 10 to brzegi słabo wychylone, grupa 11 średnio wychylone, a 12 mocno wychylone. Grupa 13 to brzegi, które nie pasują do pozostałych typów, ale stylistycznie nawiązują do grupy brzegów oznaczonej dużą literą alfabetu (ryc. 9.14.).

Dodatkowo brzegi, które wystąpiły w omawianym zbiorze, porównywano z klasyfikacją brzegów wczesnośredniowiecznych, stworzoną dla

include rims with the outer edge broken twice, while the other two are straight. When it comes to group E it is the inner edge, as for group F it is the outer edge, and as for group G it is the lower edge. Groups H-J include moderately complex edges, in which the lines marking two out of three edges are broken once. In group H, they are the inner and outer edges, in group I, the outer and lower ones, in group J, they are the inner and lower edges. Group K includes complex rims, with all the lines marking the edges of the rim broken once. Groups L-N include highly complex rims, with one line marking the edges broken at least twice (in group L it is the inner edge, in group M it is the outer edge, and in group N it is the lower edge), and the rest of lines broken at least once. Group O includes rims with all the edges broken at least twice. Group P includes rims that do not fall into the above-described classification.

Number 1 means a rim with a rounded outer edge, slightly everted. Group 2 includes rims with rounded outer edges, moderately everted. Group 3 includes rims with rounded outer edges, strongly everted. The rims marked as 4–6 are rims with straight outer edges, cut perpendicularly to the spout line. Group 4 includes slightly everted rims, group 5 includes moderately everted rims, while in group 6 there are strongly everted rims. Groups 7–9 include rims with straight outer edges, cut outward. In group 7 there are slightly everted rims, in group 8 – moderately everted, and in group 9 – strongly everted. Groups 10–12 include rims with straight outer edges, cut inward. Group 10 includes slightly everted rims, group 11 – moderately everted rims, and group 12 – strongly everted ones. In group 13 there are rims that do not fall into other groups but stylistically refer to the group of rims marked with a capital letter (Fig. 9.14.).

In addition, the rims from the discussed collection were compared with the classification of the Early Middle Ages rims, created for Przemyśl by K. Szuwarowski (2010), and with the best chronologically documented Kraków pottery classified by K. Radwański (1968; 1975) and A. Kukliński (2017). The numbers of rim types from those classifications

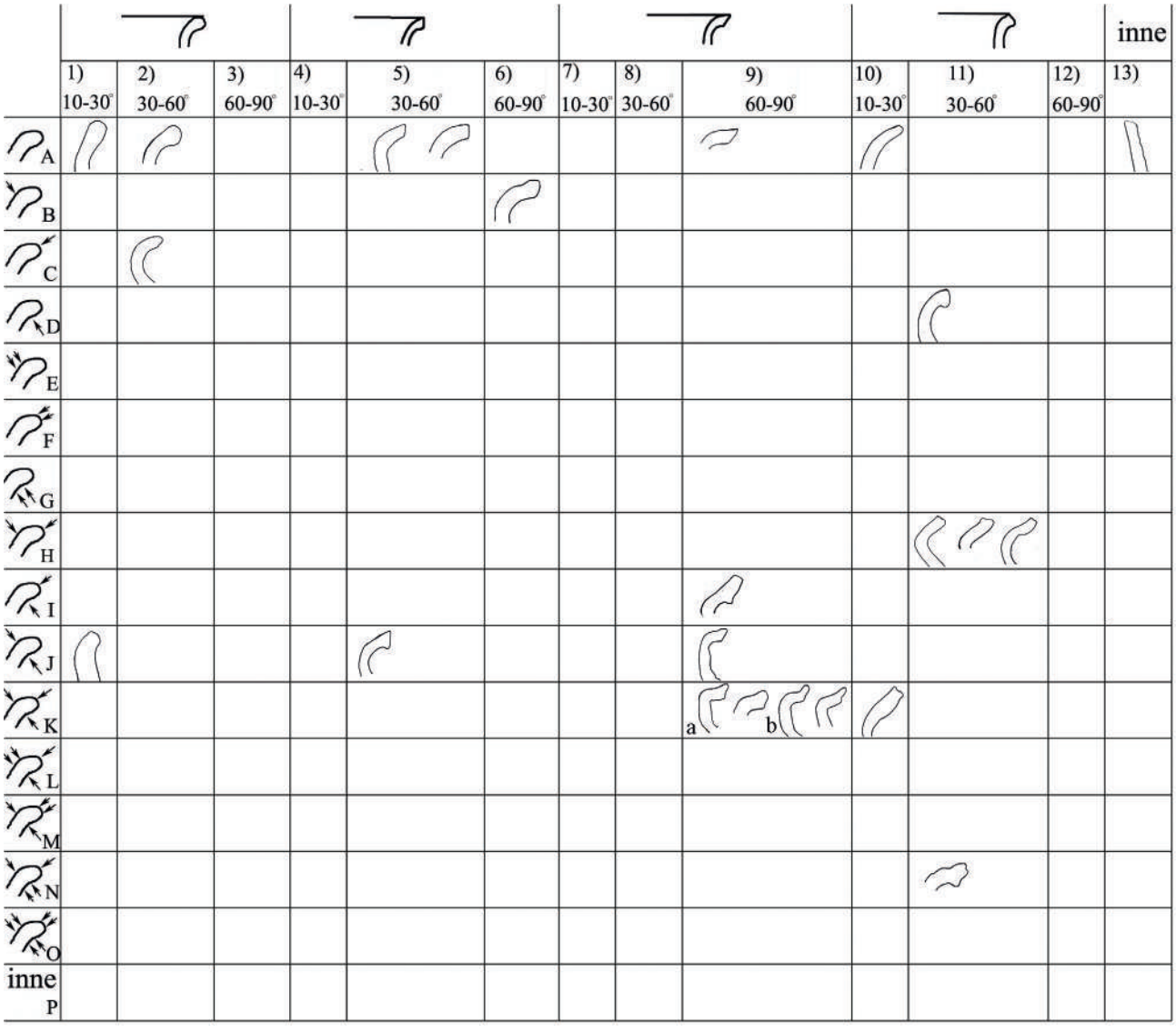


Ryc. 9.14. Jabłonica Ruska, stan. 1. Typologia brzegów
Fig. 9.14. Jabłonica Ruska, site 1. Typology of rims

Przemyśla przez K. Szuwarowskiego (2010), a także z najbardziej jak dotąd udokumentowaną chronologicznie klasyfikacją ceramiki krakowskiej opracowaną przez K. Radwańskiego (1968; 1975) oraz A. Kuklińskiego (2017). Numery typów brzegów z tamtych klasyfikacji zapisywano w nawiasie, w kolejności: typ brzegu wg K. Szuwarowskiego, wg K. Radwańskiego, wg A. Kuklińskiego.

W materiale z Jabłonicy Ruskiej zarejestrowano osiem brzegów prostych o krawędzi zaokrąglonej (A1), nawiązujących do typu 1 w klasyfikacji K. Radwańskiego oraz typów I/2a lub I8 wg A. Kuklińskiego, datowanych na IX – pocz. XI w. W materiałach z Przemyśla tego typu brzegi nie zostały

were put in brackets, in the following order: rim type according to K. Szuwarowski, according to K. Radwański, according to A. Kukliński.

In the materials from Jabłonica Ruska, there were eight simple rims with rounded edges (A1), referring to type 1 in the classification of K. Radwański and types I/2a or I8 according to A. Kukliński, dated to the period between the 9th and the early 11th century. As for the materials from Przemyśl, such rims were not found. When it comes to the vessels from Jabłonica Ruska, their production technology should also be taken into account. They are made of raw material group I or II, handmade, without traces of slow turning wheel technique. This suggests an

zarejestrowane. W wypadku naczyń z Jabłonicy Ruskiej należy wziąć też pod uwagę technologię tych wyrobów. Są to naczynia wykonane z surowca grupy I lub II, ręcznie lepione, bez śladów obtaczania. Wskazuje to na jeszcze wcześniejszą chronologię: nawet VIII–IX w.

Brzeg A2 to brzeg o zaokrąglonej krawędzi, średnio wychylony. W klasyfikacji K. Radwańskiego odpowiada typowi 7, a wg A. Kuklińskiego jest to typ I60. Jego datowanie należy zamknąć w przedziale: IX – poł. XI w., choć sporadycznie mogą pojawiać się też później. W materiałach z Przemyśla nawiązuje do typu II odmiana A, datowanych na XII–XIII w. Typ II odmiana A wydzielona w Przemyślu różni się datowaniem od brzegów morfologicznie do niej zbliżonych występujących w Krakowie i we Wrocławiu. W Przemyślu natomiast, podobnie jak w Lublinie tego typu brzegi występowały w naczyniach młodszych chronologicznie (Szuwarowski 2010, s. 259; Hunicz 1973, s. 453, tabl. II–11).

Cztery brzegi zakwalifikowano do typu A5. Są to brzegi o prostej krawędzi zewnętrznej, ściętej prostopadle do linii wylewu, średnio wychylone. Odpowiadają one brzegom nr 18 z Krakowa oraz I17 lub I55 z Wawelu, datowanym głównie na IX – poł. XI w. W Przemyślu podobne formy zaliczono do typu I, odmiany A. Są tam datowane na X i XI w.

Typ A9, czyli brzeg o prostej krawędzi zewnętrznej, ściętej na zewnątrz, mocno wychylony, wystąpił w jednym egzemplarzu. Podobny jest on do typu 19 wydzielonego przez K. Radwańskiego i I30 przez A. Kuklińskiego. W Krakowie są one datowane na 2. poł. X – poł. XII w., choć mogą się też pojawiać sporadycznie do XIII w. W typologii K. Szuwarowskiego jest to brzeg IC, datowany na X i XI w.

Kolejny brzeg A10 to brzeg o prostej krawędzi zewnętrznej, ściętej do wewnątrz, słabo wychylony. Najbardziej odpowiadają mu brzegi typu 3 wg K. Radwańskiego i I20 wg A. Kuklińskiego, a także IIA wg K. Szuwarowskiego. Ich datowanie to głównie IX–X w. w Krakowie i XII–XIII w. w Przemyślu (patrz uwagi wyżej).

even earlier chronology: as early as the period from the 8th to the 9th century.

Rim A2 has a rounded edge and is moderately everted. In the classification of K. Radwański it corresponds to type 7, and according to A. Kukliński it is type I60. It should be dated to the period from the 9th to the mid-11th century, although occasionally such rims may have also appeared later. In the materials from Przemyśl, it refers to type II, variant A, dated to the period from the 12th to the 13th century. Type II, variant A, distinguished in Przemyśl has different dating from the morphologically similar rims found in Kraków and Wrocław. In Przemyśl, however, similarly to Lublin, this type of rims appeared on chronologically younger vessels (Szuwarowski 2010, p. 259; Hunicz 1973, p. 453, Plates II–11).

Four rims were classified as type A5. They have straight outer edges, they are cut perpendicularly to the spout line and moderately everted. They correspond to rims no. 18 from Kraków and I17 or I55 from Wawel, which are dated, usually, to the period from the 9th to the middle of the 11th century. In Przemyśl, similar forms were classified as type I, variant A and they were dated to the 10th and 11th centuries.

There was only one example of type A9, i.e. a rim with a straight outer edge, cut outward and strongly everted. It is similar to type 19 distinguished by K. Radwański and I30 by A. Kukliński. In Kraków, they are dated to the period from the second half of the 10th to the mid-12th century, although they may have also appeared until the 13th century. In K. Szuwarowski's typology they are rims IC, dated to the 10th and to the 11th century.

The next rim A10 has a straight outer edge, it is cut inward and slightly everted. Type 3 rims according to K. Radwański and I20 according to A. Kukliński, as well as IIA according to K. Szuwarowski correspond best to it. They are dated, usually, to the period from the 9th to 10th century in Kraków and to the 12th and 13th century in Przemyśl (see the notes above).

Rims B6 are strongly everted and they have straight outer edges, cut perpendicularly to the

Brzeg typu B6 to mocno wychylony brzeg o prostej krawędzi zewnętrznej, ściętej prostopadle do linii wylewu i krawędzi wewnętrznej jednokrotnie załamanej. Odpowiada on brzegom nr 51 z Krakowa oraz II123 z Wawelu, datowanym na XII–XIII w. W Przemyślu podobne formy zaliczono do typu IX, odmiany A. Są tam datowane na XI i XII w.

Brzeg C2 to brzeg o zaokrąglonej krawędzi, średnio wychylony, w którym krawędź zewnętrzna została jednokrotnie załamana. W klasyfikacji K. Radwańskiego odpowiada typowi 20, a wg A. Kuklińskiego jest to typ III2. Jego datowanie należy zamknąć w przedziale: 2. poł. X – poł. XIII w. W materiałach z Przemyśla nawiązuje do typu I odmiana C, datowanych na IX–X w.

Kolejny brzeg D11 to brzeg o prostej krawędzi zewnętrznej, ściętej do wewnątrz, średnio wychylony, w którym krawędź dolna została jednokrotnie załamana. Najbardziej odpowiadają mu brzegi typu 7 wg K. Radwańskiego i II69 wg A. Kuklińskiego, a także ID wg K. Szuwarowskiego. Ich datowanie to koniec IX–XII w. w Krakowie i IX–X w. w Przemyślu.

Brzegi zakwalifikowane do typu H11 to brzegi średnio rozwinięte, w których linie wyznaczające dwie (wewnętrzna oraz zewnętrzna) spośród trzech krawędzi zostały jednokrotnie załamane, średnio wychylone. Odpowiadają one brzegom nr 10 lub 19 z Krakowa oraz III29, III169 lub II/18c z Wawelu, datowanym na IX–XI (10) i poł. X – poł. XII w. (19). W Przemyślu najbardziej zbliżone, choć nie identyczne formy zaliczono do typu IX odmiany A. Są tam datowane na XI–XII w.

Brzeg I9 – o prostej krawędzi ściętej na zewnątrz i dwóch krawędziach (zewnętrznej oraz dolnej) profilowanych, mocno wychylony, nawiązuje do typu 32 wg K. Radwańskiego i III42 wg A. Kuklińskiego, a także VIIA wg K. Szuwarowskiego. W Krakowie ich datowanie zamyka się w XI–XIII w., w Przemyślu w X–XII w.

J1 to brzeg słabo wychylony, o krawędzi zaokrąglonej, w którym linie wyznaczające krawędź wewnętrzną i dolną zostały jednokrotnie załamane. Nawiązuje on do typu 1 w klasyfikacji K. Radwańskiego oraz typów II12a wg A. Kuklińskiego,

spout line. Their inner edges lines are broken once. They correspond to rims no. 51 from Kraków and II123 from Wawel, which are dated to the period from the 12th to the 13th century. In Przemyśl, similar forms were classified as type IX, variant A and they were dated to the 11th and 12th century.

Rims C2 have rounded edges, they are moderately everted, and their outer edges lines are broken once. In the classification of K. Radwański they correspond to type 20, and according to A. Kukliński they are type III2. They should be dated to the period from the 2nd half of the 10th century to the mid-13th century. In the materials from Przemyśl, they correspond to type I variant C, dated to the period from the 9th to the 10th century.

Rims D11 have straight outer edges, cut inward, they are moderately everted and their lower edge line is broken once. Type 7 rims, according to K. Radwański and rims II69 according to A. Kukliński, as well as rims ID according to K. Szuwarowski correspond best to it. They are dated to the period from the end of the 9th to the 12th century in Kraków and to the period from the 9th to the 10th century in Przemyśl.

Type H11 are moderately complex rims, they have two (inner and outer) out of three edge lines which are broken once and they are moderately everted. They correspond to rims nos. 10 or 19 from Kraków and rims III29, III169 or II/18c from Wawel, dated to the period from the 9th to the 11th century (10) and from the mid-10th to mid-12th century (19). In Przemyśl, the most similar, though not identical forms were classified as type IX, variant A and they were dated to the period from the 11th to the 12th century.

Rims I9 have one straight edge cut outward and two edges (outer and lower) profiled and strongly everted. They correspond to type 32 according to K. Radwański and III42 according to A. Kukliński, as well as to VIIA according to K. Szuwarowski. In Kraków, they are dated to the period from the 11th to the 13th century, and in Przemyśl to the period from the 10th to the 12th century.

J1 are slightly everted rims with rounded edges and their inner and lower edge lines are broken

datowanych na IX – pocz. XI w. W materiałach z Przemyśla tego typu brzegi nie zostały zarejestrowane. W tym wypadku należy wziąć też pod uwagę technologię: było to naczynia wykonane z surowca grupy II, ręcznie lepione, bez śladów obtaczania. Wskazuje to na jego wcześniejszą chronologię: nawet VIII–IX w.

J5 to brzeg o prostej krawędzi zewnętrznej, ściętej prostopadle do linii wylewu, średnio wychylony, w którym linie wyznaczające krawędź wewnętrzną i dolną zostały jednokrotnie załamane. Nawiązuje on do typu 11 w klasyfikacji K. Radwańskiego oraz typów III16 wg A. Kuklińskiego, datowanych na IX–XI w. W materiałach z Przemyśla tego typu brzegi zaliczone zostały do typu ID, datowanych na IX–X w.

Typ J9, czyli brzeg o prostej krawędzi zewnętrznej, ściętej prostopadle do linii wylewu, mocno wychylony, w którym linie wyznaczające krawędź wewnętrzną i dolną zostały jednokrotnie załamane. Podobny jest on do typu 32 wydzielonego przez K. Radwańskiego i II126 przez A. Kuklińskiego. W Krakowie są one datowane na XI–XIII w. W typologii K. Szuwarowskiego jest to brzeg IC, datowany na X i XI w.

Brzeg K9 – o prostej krawędzi ściętej na zewnątrz i trzech krawędziach profilowanych, mocno wychylony, nawiązuje do typu 25 wg K. Radwańskiego i III135, 137 (K9a) lub IV21 i 23 (K9b) wg A. Kuklińskiego, a także III (K9a) lub V (K9b) wg K. Szuwarowskiego. W Krakowie ich datowanie zamyka się w IX/X – poł. XIII w., w Przemyślu typ III datowany jest na X–XI w., a typ V na XIII w.

Kolejny brzeg K10 to brzeg o prostej krawędzi zewnętrznej, ściętej do wewnątrz, słabo wychylony, o trzech krawędziach profilowanych. Najbardziej odpowiadają mu brzegi typu 41 wg K. Radwańskiego i III88 wg A. Kuklińskiego, a także VIIB wg K. Szuwarowskiego. Ich datowanie to głównie X/XI – poł. XI w. w Krakowie i X–XII w. w Przemyślu.

Brzegi zakwalifikowane do typu N11 to brzegi o prostej krawędzi zewnętrznej, ściętej do wewnątrz, mocno rozwinięte, w których jedna z linii wyznaczających krawędzie została przynajmniej

once. They correspond to type 1 in the classification of K. Radwański and type II12a according to A. Kukliński, dated to the period from the 9th to the early 11th century. As for the materials from Przemyśl, such rims were not found. In this case, the technology should also be taken into account: they were made of group II raw material, handmade, with no traces of slow turning wheel technique. It suggests their earlier chronology: even the period from the 8th to the 9th century.

J5 is a rim with a straight outer edge, cut perpendicularly to the line of the spout, moderately everted, with the lines marking the inner and the lower edge broken once. It is similar to type 11 in the classification of K. Radwański and type III16 according to A. Kukliński, dated to the period from the 9th to the 11th century. In the materials from Przemyśl, this type of rims was classified as type ID, dated to the period from the 9th to the 10th century.

Type J9 are rims with straight outer edges, cut perpendicularly to the spout line. They are strongly everted and their inner and lower edge lines are broken once. The type is similar to type 32 distinguished by K. Radwański and to II126 by A. Kukliński. In Kraków, they are dated to the period from the 11th to the 13th century. In K. Szuwarowski's typology they are rims IC, dated to the 10th and 11th century.

Rims K9 have one straight edge cut outwards and three profiled edges. They are strongly everted and correspond to type 25 according to K. Radwański and to types III135, 137 (K9a) or IV21 and 23 (K9b) according to A. Kukliński, as well as to III (K9a) or V (K9b) according to K. Szuwarowski. In Kraków, they are dated to the period from the 9th/10th century to the mid-13th century. In Przemyśl, type III is dated to the period from the 10th to the 11th century, and type 5 to the 13th century.

Rims K10 have one straight outer edge, cut inwards, they are slightly everted and have three profiled edges. Type 41 rims according to K. Radwański, rims III88 according to A. Kukliński, and rims VIIB according to K. Szuwarowski are the most similar ones. The are usually dated to the period from the 10th/11th to mid-11thcentury

dwukrotnie załamana (w wypadku grupy N krawędź dolna), średnio wychylone. Odpowiadają one brzegom nr 35 z Krakowa oraz V57 z Wawelu, datowanym na XII – poł. XIII w. W Przemyślu najbardziej zbliżone, choć nie identyczne formy zaliczono do typu IV odmiany B. Są tam datowane na XI–XII w.

in Kraków and to the period from the 10th to the 12th century in Przemyśl.

Rims classified as type N11 have one straight outer edge, cut inwards. They are highly complex rims with one of the edge lines broken at least twice (as for group N, it is the lower edge line) and they are moderately everted. They correspond to rims no. 35 from Kraków and V57 from Wawel, dated to the period from the 12th to the mid-13th century. In Przemyśl, the most similar, though not identical, forms were classified as type IV, variant B and they were dated to the period from the 11th to the 12th century.

### 9.1.6. Klasyfikacja ornamentu

Klasyfikację ornamentu (ryc. 9.15.) przeprowadzono na podstawie takich cech, jak: rodzaj zdobnictwa (czy był to ornament wklęsły: ryty lub odciskany, czy ornament wypukły – plastyczny), rodzaje i układ motywów zdobniczych oraz ich głębokość, a także narzędzie użyte do ich wykonania (rylec, pozostawiający na powierzchni naczynia pojedynczy ślad; grzebień o kilku zębach; stempelek; nożyk). Ponadto obserwowano strefy zdobienia (rozmieszczenie na naczyniu). Brano także pod uwagę, czy wątki zdobnicze występują pojedynczo, czy są jedno- czy wielowątkowe, oraz czy są wobec siebie równorzędne, czy też wzajemnie podporządkowane (Buko 1981, s. 109–112).

Do grupy I (tabl. 9.1: 2; 9.2: 1; 9.3: 6, 7, 10; 9.6: 10) zaliczono ornament składający się wyłącznie z rytych żłobków poziomych, wyróżniając dwa typy: 1, który obejmował żłobki rozłożone w równych odstępach na powierzchni naczynia, w ten sposób, iż szerokość żłobka była podobna do szerokości powierzchni pomiędzy żłobkami, oraz typ 2 zawierający żłobki rozłożone w nierównych odstępach. W obrębie każdego typu wydzielono jeszcze podtypy, ze względu na głębokość ornamentu: podgrupę a – ornament głęboki (powyżej 0,5 mm), podgrupę b – ornament płytki (ok. 0,5 mm), oraz podgrupę c – ornament bardzo płytki (ledwo widoczny i ledwie wyczuwalny).

### 9.1.6. Classification of ornaments

The classification of ornaments (Fig. 9.15.) was based on the following features: the type of ornament (whether it was concave: incised or imprinted, or convex-plastic), types and arrangement of ornamental motifs and their depth, as well as the tools used (stylus, leaving a single line on the surface, comb with several teeth, stamp, small knife). In addition, decoration zones (distribution on the vessel surfaces) were analysed. It was also taken into account whether there is one type of decoration or whether it has one or more motifs and whether they are equal or subordinate to one another (Buko 1981, pp. 109–112).

Group I (Plates 9.1: 2; 9.2: 1; 9.3: 6, 7, 10; 9.6: 10) included an ornament consisting solely of incised horizontal grooves, divided into two types: type 1 has grooves with the same distance between them and the width of the groove is similar to the width of the space between the grooves, and type 2 that includes grooves with different distance between them. Within each type, sub-types were distinguished according to the depth of the ornament: subgroup a – deep ornament (over 0.5 mm), subgroup b – shallow ornament (approx. 0.5 mm), and subgroup c – very shallow ornament (barely visible and barely palpable).

Group II includes an incised ornament in the form of a wavy line or a combination of horizontal

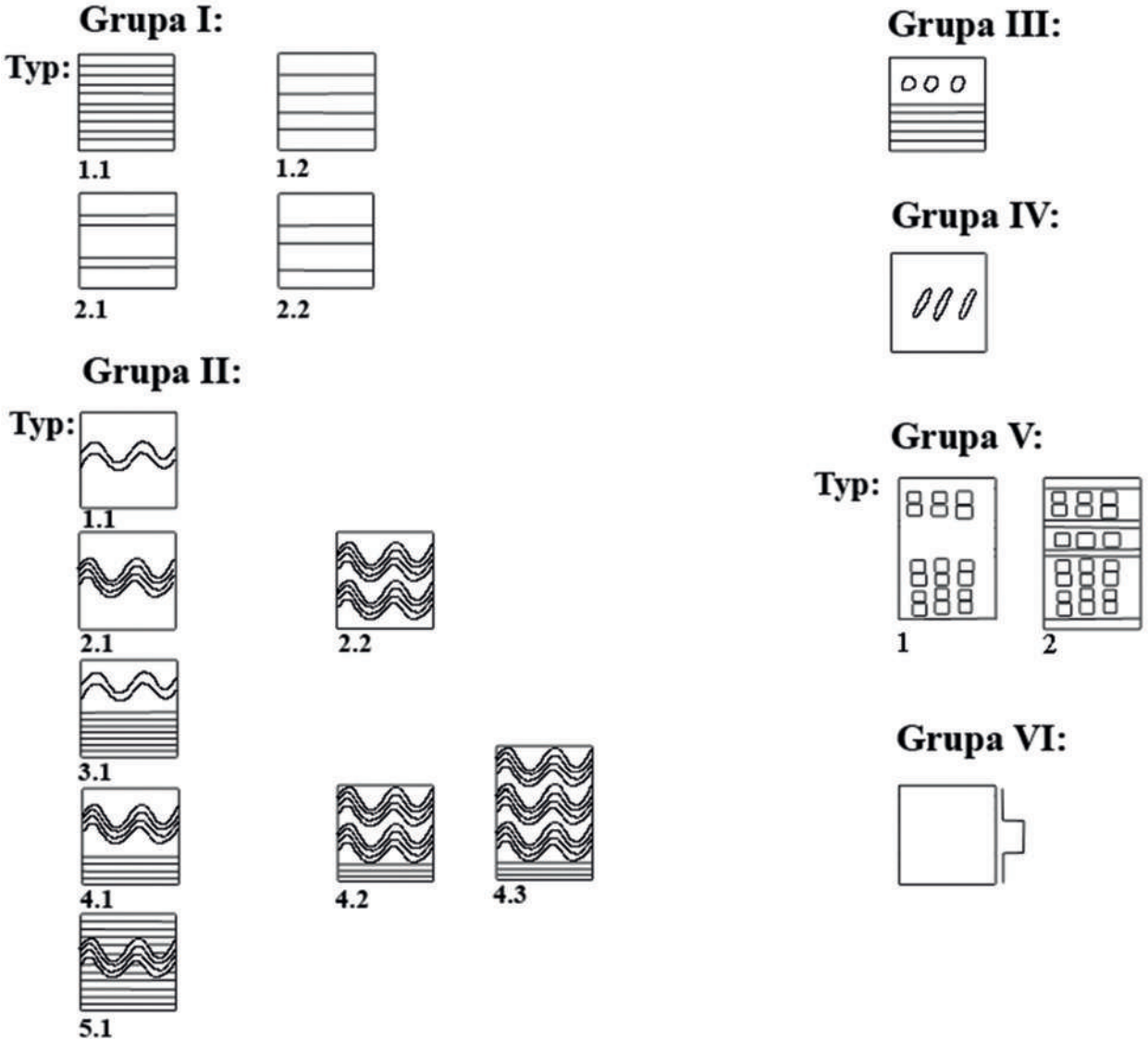


Ryc. 9.15. Jabłonica Ruska, stan. 1. Typologia ornamentu
Fig. 9.15. Jabłonica Ruska, site 1. Typology of ornaments

Do grupy II zaliczono ornament ryty, w postaci linii falistej bądź kombinacji żłobków poziomych i linii falistej (tabl. 9.3: 5; 9.6: 3, 4, 9; 9.7: 4, 9). Typ 1 tej grupy obejmował pojedynczą linię falistą wykonaną rylcem. Typ 2 obejmował pojedyncze (podtyp 2.1) lub podwójne (podtyp 2.2) pasmo linii falistej wykonane grzebieniem. Do typu 3 zaliczono ornament w postaci kombinacji, w których linia falista (lub linie faliste) wykonana rylcem znajdowała się ponad żłobkami poziomymi (lub ewentualnie pod nimi, co nie zawsze było możliwe do rozróżnienia ze względu na rozmiar zachowanych fragmentów ceramiki). W typie 4 były to linie faliste wykonane grooves and a wavy line (Plates 9.3: 5; 9.6: 3, 4, 9; 9.7: 4, 9). Type 1 of this group consisted of a single wavy line made with a stylus. Type 2 consisted of a single (subtype 2.1) or a double (subtype 2.2) streak of wavy lines made with a comb. Type 3 includes a combined ornament, in which the wavy line (or wavy lines) made with a stylus was above the horizontal grooves (or possibly below them, which was not always distinguishable due to the size of the preserved fragments). Type 4 includes wavy lines made with a comb. Type 5 is a motif in which a streak of wavy lines appeared on horizontal grooves.

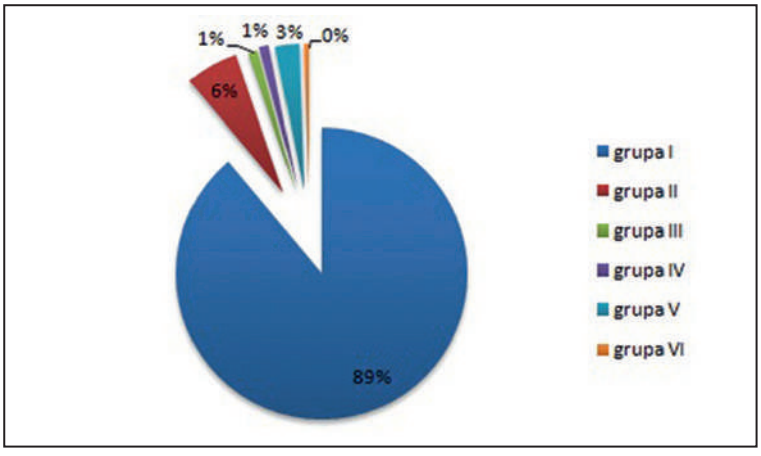


Ryc. 9.16. Jabłonica Ruska, stan. Procentowy udział różnych grup ornamentu w materiale ceramicznym
Fig. 9.16. Jabłonica Ruska, site 1 Percentage of given types of ornament in the ceramic material

grzebieniem. Do typu 5 przyporządkowano wątek, w którym pasmo linii falistej występowało na żłobkach poziomych.

Grupa III obejmuje ornament w postaci dołków paznokciowych umieszczonych ponad powyżej żłobków poziomych (tabl. 9.6: 6, 8).

Grupa IV zawierała ornament w postaci podłużnych nacięć wykonanych nożykiem (lub dołków wykonanych rylcem).

Grupa V obejmowała pasma odciśnięte za pomocą grzebienia (tabl. 9.7: 8). Typ 1 obejmował odciski wykonane grzebieniem. Typ 2 obejmował kombinację odcisków grzebienia z poziomymi żłobkami wykonanymi rylcem.

Do grupy VI zaliczono ornament w postaci listwy plastycznej (ryc. 9.16.).

Ogólnie w omawianym zbiorze ceramiki 41% fragmentów była zdobiona. Najczęściej spotykanym sposobem ornamentacji (ryc. 9.17.) były poziome żłobki (I grupa ornamentu), które wystąpiły na 89% zdobionych ułamków ceramiki, 6% stanowiły różne kombinacje linii falistych (II grupa), a 5% pozostałe ryte wątki zdobnicze (grupa III–VI).

Według E. Dąbrowskiej, w Małopolsce od przełomu VI/VII do końca VIII lub początku IX wieku przeważają naczynia zdobione jedynie w górnej partii niezbyt bogatym ornamentem (Dąbrowska 1963, s. 57; 1973, s. 39). Ceramika biała (grupa IIIA), datowana przez nią na schyłek VII–X w., charakteryzuje się ornamentem w postaci linii falistych

Group III includes an ornament in the form of nail imprints located above the horizontal grooves (Plate 9.6: 6, 8).

Group IV includes an ornament in the form of incisions made with a small knife (or imprints made with a stylus).

Group V included streaks imprinted with a comb (Plate 9.7: 8). Type 1 is comb imprints. Type 2 is a combination of comb imprints and horizontal grooves made with a stylus.

Group VI includes an ornament in the form of a plastic band (Fig. 9.16.).

Overall, 41% of the fragments in the pottery collection in question were decorated. The most common type of ornaments (Fig. 9.17.) were horizontal grooves (ornament group I), which appeared on 89% of decorated pottery fragments, 6% were various combinations of wavy lines (group II), and 5% were other incised ornamental motifs (groups III-VI).

According to E. Dąbrowska, in Lesser Poland, from the turn of the 7th to the end of the 8th century or to the beginning of the 9th century, vessels decorated only in the upper part with not very rich ornaments predominate (Dąbrowska 1963, p. 57; 1973, p. 39). Whiteware (group IIIA), dated by her to the period between the end of the 7th and the 10th century, is characterised by an ornament in the form of wavy or horizontal lines, often covering almost the entire surface of the vessel. Pottery

Ryc. 9.17. Jabłonica Ruska, stan. 1. Wybór różnych wątków ornamentacyjnych
Fig. 9.17. Jabłonica Ruska, site 1. Selection of various ornamental motifs

lub poziomych, pokrywających często prawie całą powierzchnię naczynia. Ceramika wykonana z glin żelazistych do początku XI wieku charakteryzuje się natomiast ornamentem z krzyżujących się pasm linii prostych, występujących w górnej części naczynia (Dąbrowska 1963, s. 58). Ceramika grupy IV, datowana przez E. Dąbrowską (1963, s. 58) na X–XII w., posiada na ogół zdobienie w postaci poziomych żłobków, pokrywających całą powierzchnię naczynia, nad którymi występuje czasem linia falista lub pasmo ukośnych nacięć.

Studia nad zróżnicowaniem ceramiki w Małopolsce podjął również A. Żaki, wg którego w I fazie wczesnego średniowiecza (500–800) na naczyniach występują rozmaite wątki zdobnicze, nieprzekraczające na ogół maksymalnej wydętości brzuśca. Są to przede wszystkim pojedyncze lub wielokrotne linie poziome lub faliste, wykonane rylcem lub grzebieniem. Występują także ukośne nacięcia wykonane grzebieniem oraz listwy plastyczne. Rzadkością są krzyżyki i rozetki wykonane stempelkiem (Żaki 1974, s. 211–212). Wg A. Żakiego największy rozwój ornamentyki przypada na II okres wczesnego średniowiecza (800–950). Od III fazy wczesnego średniowiecza (950–1100) zaznacza się zasadniczy przełom w ornamentyce, wątki zdobnicze ograniczają się często do poziomych żłobków, pokrywających znaczną część naczynia. Sporadycznie spotyka się również malowanie oraz polewanie ceramiki (Żaki 1974, s. 213–220).

Należy tu jeszcze nadmienić, iż ornament strefowy dominował na naczyniach słowiańskich w VII–IX w. (Parczewski 1982, s. 57). Wątki zdobnicze wykonane za pomocą grzebienia są natomiast na ogół uważane za starsze w stosunku do tych wykonanych za pomocą jednozębnego rylca (Parczewski 1982, s. 57) i są one typowe dla okresu przed X w. (Hołubowicz 1965, s. 126). Dla tego okresu charakterystyczne są ponadto wątki oparte na liniach o ostrych załomach oraz liniach pionowych (Hołubowicz 1965, s. 126; Radwański 1968, s. 66; Parczewski 1982, s. 57). W XI–XII w. dominuje ornament w postaci żłobków poziomych, pokrywających prawie całe naczynie.

Ceramika z Krakowa pozwoliła na wydzielenie trzech faz rozwoju ornamentyki naczyń

made of ferruginous clays before the beginning of the 11th century is characterised by an ornament of crossing streaks of straight lines located in the upper part of the vessel (Dąbrowska 1963, p. 58). Group IV pottery, dated by E. Dąbrowska (1963, p. 58) to the period from the 10th to the 12th century, usually has an ornament in the form of horizontal grooves covering the entire surface of the vessel, over which there is sometimes a wavy line or a streak of oblique incisions.

Also A. Żaki undertook studies on the diversification of pottery in Lesser Poland. According to him, in the first phase of the Early Middle Ages (500–800), there were various ornamental motifs on the vessels, which usually do not go beyond the maximum body diameter. They are, first of all, single or multiple, horizontal or wavy lines, made with a stylus or a comb. There are also oblique incisions made with a comb and plastic bands. Crosses and rosettes made with a stamp are rather rare (Żaki 1974, pp. 211–212). According to A. Żaki, the greatest development of ornaments took place in the second period of the Early Middle Ages (800–950). Starting from the third phase of the Early Middle Ages (950–1100), a fundamental breakthrough in vessel decoration is visible, ornamental motifs are often limited to horizontal grooves, covering large part of the vessel. There are also some examples of painted and glazed pottery (Żaki 1974, pp. 213–220).

It should also be mentioned here that the zone ornament dominated on Slavic vessels in the 7th – 9th centuries (Parczewski 1982, p. 57). Ornamental motifs made with a comb are generally considered older than those made with a single-tooth stylus (Parczewski 1982, p. 57) and they are typical for the period before the 10th century (Hołubowicz 1965, p. 126). The motifs based on lines with sharp bends and vertical lines are also characteristic of this period (Hołubowicz 1965, p. 126; Radwański 1968, p. 66; Parczewski 1982, p. 57). In the period from the 11th the 12th century, the dominant ornaments are horizontal grooves that cover almost the entire vessel.

Among the pottery from Kraków, it was possible to distinguish three phases of the development

(Radwański 1968, s. 64–67; 1975, s. 360–364). Naczynia archaiczne, z I połowy IX w., były zdobione pojedynczą lub wielokrotną linią poziomą bądź falistą albo kombinacją tych dwóch motywów zdobniczych. Drugi etap rozwoju ornamentyki obejmuje naczynia zdobione do załomu brzuśca lub lekko przekraczające maksymalną wydętość brzuśca. W fazie tej występuje ornament w postaci pojedynczej lub wielokrotnej linii poziomej, prostej lub falistej, odcisków grzebienia, dołków, kresek, wykonanych patykiem lub nożykiem garncarskim lub w postaci listwy plastycznej oraz kombinacje tych wątków. Wśród ceramiki należącej do II etapu rozwoju ornamentyki natrafiono także na ceramikę zdobioną motywem linii falistej o splocie warkoczowym. Faza ta jest datowana na 2. poł. IX – przełomu X/XI w. Od 2. połowy X w. następuje standaryzacja ornamentu. Wątki zdobnicze ograniczają się do poziomych żłobków biegnących spiralnie na całym naczyniu. Czasem ponad żłobkami występują inne motywy zdobnicze, jak pojedyncza linia falista czy odciski stempelka.

of vessel ornaments (Radwański 1968, pp. 64–67; 1975, pp. 360–364). Archaic vessels from the first half of the 9th century were decorated with single or multiple horizontal or wavy lines, or a combination of these two ornamental motifs. The second stage of the development of ornaments includes vessels decorated to the shoulder or slightly beyond the maximum body diameter. In this phase, there are ornaments in the form of single or multiple horizontal lines, straight or wavy, imprints of a comb, imprints, lines made with a stick or potter's knife or in the form of a plastic band and combinations of these motifs. Among the pottery from the second stage of the development, there were also vessels decorated with the motif of a wavy line with a braid weave. This phase dates back to the period between the 2nd half of the 9th and the turn of the 11th century. In the 2nd half of the 10th century, the ornament was standardised. Ornamental motifs were limited to horizontal grooves running in a spiral across the entire vessel. Sometimes other ornamental motifs, such as single wavy lines or stamp imprints, appeared above the grooves.

### 9.1.7. Znaki garncarskie

Wśród fragmentów wczesnośredniowiecznych naczyń zachowały się trzy dna ze znakiem garncarskim. Na jednym z nich nie można było określić rysunku znaku, na dwóch pozostałych była to swastyka (tabl. 9.2: 2; 9.4: 10). Wszystkie znaki były wypukłe.

Znaki garncarskie na ziemiach polskich powszechnie występują na naczyniach z 2. poł. X – poł. XIII w. (Buko 2005, s. 335). Pojedyncze przykłady wskazują jednak, że znaki pojawiły się już wcześniej. Spotyka się je sporadycznie na naczyniach datowanych na IX i IX/X w. (Kołos-Szafrańska 1953, s. 182). W Małopolsce znaki garncarskie wg E. Dąbrowskiej występowały na dnach naczyń grupy IV, datowanej przez nią na okres X–XII/XIII w. Wg A. Żakiego znaki pojawiają się sporadycznie w fazie Ib wczesnego średniowiecza (600–800), bardzo licznie występują w fazie II (800–950) oraz III (950–1100), natomiast zanikają w fazie IV (1100–1250).

### 9.1.7. Potter's marks

Among the fragments of the Early Middle Ages vessels, there are three bases with potter's marks. It was impossible to identify the shape of one of the marks, but the other two were swastikas (Plates 9.2: 2; 9.4: 10). All the marks were convex.

Potter's marks in Poland are commonly found on vessels from the period between the second half of the 10th and the mid-13th century (Buko 2005, p. 335). Single examples, however, show that the marks appeared earlier. They are found sporadically on vessels dated to the 9th and to the 9th/10th centuries (Kołos-Szafrańska 1953, p. 182). In Lesser Poland, according to E. Dąbrowska, potter's marks appeared on the bases of vessels of group IV, dated by her to the period between the 10th and 12th/13th centuries. According to A. Żaki, the marks appeared sporadically in phase Ib of the Early Middle Ages (600–800), there were plenty of them in phases II (800–950) and

Na temat funkcji znaków garncarskich nie ma jak dotąd zgodności wśród badaczy zajmujących się tym zagadnieniem. Za ich użytkową funkcją wypowiadali się J. Kostrzewski (1925), L. Gabałówna (1955); Z. Kołos-Szafrańska (1949/1950; 1953; 1961; 1962) i K. Ćernohorsky (1953). Przy czym różnili się w interpretacji: J. Kostrzewski, L. Gabałówna i Z. Kołos-Szafrańska widzieli w nich znaki rzemieślnicze, wykonywane w celu odróżnienia wyrobów wykonywanych przez poszczególnych garncarzy. Zdaniem J. Kostrzewskiego robiono to, by odróżnić wyroby garncarzy pracujących w jednej pracowni, wg L. Gabałówny dla odróżnienia naczyń różnych wytwórców wypalanych w jednym piecu. W opinii Z. Kołos-Szafrańskiej znakowana była jedynie niewielka liczba wyrobów, które garncarze wykonywali jako daninę i na tych wyrobach wprowadzali swój znak. K. Ćernohorsky interpretował je natomiast jako znaki własnościowe nabywców, a nie wytwórców. Za funkcją użytkową znaków i ich interpretacją jako znaków rzemieślniczych przemawia też występowanie ciągów rozwojowych pewnych znaków, wskazujących na modyfikację pierwotnego znaku wraz z dziedziczeniem warsztatu przez kolejnych garncarzy (B. Lepówna 1968; Gardawski 1950, s. 172; Hensel 1950).

Za magiczną rolą znaków garncarskich przemawia przede wszystkim niewielki odsetek naczyń znakowanych, którą ciężko wyjaśnić, przyjmując ich utylitarną funkcję. Za powstawaniem znaków w wyniku wierzeń wypowiedział się W. Szymański (1968, s. 219–223), który zakładał związek znaków z kultem solarnym i kultem ognia, a zatem interpretował przynajmniej pierwsze znaki garncarskie jako znaki ognia, a znakowane naczynia traktował jako swoistą symboliczną daninę składaną w trakcie wypału na rzecz bóstwa. Nie wykluczał on, że z czasem funkcja i znaczenie odcisków mogła ulegać zmianie. Za magiczną symboliką znaków opowiadał się również A. Buko (1982, s. 79–109), przy czym badacz ten zakładał, że znakowane było koło garncarskie, a nie naczynia. Znak na kole mógł być wklęsły, wypukły, jak i malowany, co wyjaśnia brak znaków garncarskich na większości naczyń. Znak na naczyniu był wg tego badacza tylko III (950–1100), and they seemed to disappear in phase IV (1100–1250).

There is no consensus among researchers about the function of potter's marks. J. Kostrzewski (1925), L. Gabałówna (1955), Z. Kołos-Szafrańska (1949/1950; 1953; 1961; 1962) and K. Ćernohorsky (1953) believed it was utilitarian. Their interpretations, however, differed: J. Kostrzewski, L. Gabałówna and Z. Kołos-Szafrańska thought that they were trademarks used to distinguish the products made by individual potters. According to J. Kostrzewski, marks were used to distinguish the products of potters working in one workshop, according to L. Gabałówna they were used to distinguish the vessels of different potters fired in one kiln. In the opinion of Z. Kołos-Szafrańska, only a small number of products, those which potters had to give as a tribute, were marked. K. Ćernohorsky interpreted potter's marks as property marks of buyers, not producers. The utilitarian function of potter's marks and their interpretation as trademarks is also supported by the series of changes done to certain potter's marks, showing the modification of the original mark by the new potters who inherited the workshop (B. Lepówna 1968; Gardawski 1950, p. 172; Hensel 1950).

The magical function of potter's marks is supported primarily by a small percentage of marked vessels, which is difficult to explain, assuming their utilitarian function. W. Szymański (1968, pp. 219–223), who argued for the creation of marks as a result of beliefs, assumed that there was a connection between potter's marks and the solar cult and the fire cult, and thus he interpreted them, at least the first potter's marks, as symbols of fire, and he believed that marked vessels were a kind of symbolic tribute paid, during the firing process, to the deity. He did not rule out, however, the possibility that the function and meaning of the marks may have changed over time. A. Buko (1982, pp. 79–109) also supported the belief that potter's marks were magical symbols, but he assumed that the potter's wheel was marked, not the vessels. The marks on the wheel might have been concave, convex, and painted, which explains the lack of potter's marks on most of the vessels. According to this researcher, marks on vessels were only

efektem ubocznym znakowania koła. Nie zawsze też pozostawiał ślad na dnie, co było spowodowane albo silnym starciem znaku wyrytego na kole albo dużą ilością lub gruboziarnistością sypanej na koło podsypki. Zanik znaków garncarskich na dnach naczyń w końcu XIII i na pocz. XIV w. może wyjaśniać coraz bardziej powszechne stosowanie znaków dwuwymiarowych na kołach.

Pośrednie stanowisko zajmowali W. Hołubowicz (1962, s. 287 n.) oraz W. Hensel (1971, s. 138), którzy uważali, że znaki mogły pełnić obie role równocześnie – być znakiem rzemieślnika lub być wykonywane na życzenie odbiorcy, a także stanowić ochronę naczynia przed złymi siłami. Niektóre symbole (krzyż, koło, swastyka) można wiązać z kultem solarnym. W wypadku naczyń z Jabłonicy Ruskiej jedynym stwierdzonym znakiem garncarskim był znak w formie swastyki. Ma on konotacje ze sferą wierzeń, nie można więc w tym wypadku odrzucić *a priori* tezy o magicznych funkcjach znaków, ale należy dopuszczać możliwość, że w tym wypadku obie funkcje: użytkowa i magiczna mogły ze sobą współistnieć.

### 9.1.8. Chronologia

Wczesnośredniowieczna ceramika z Jabłonicy Ruskiej wykazuje niewiele cech pozwalających na uściślenie jej datowania. Najstarszym elementem tego zbioru są naczynia wykonane z surowca I grupy (masa garncarska, która nie występuje już w materiałach, w których powszechnie stosowano technikę taśmowo-ślizgową). Są to naczynia ręcznie lepione, bez śladów obtaczania lub ewentualnie obtaczane przy krawędzi. Charakterystyczne dla nich są też proste brzegi o krawędzi zaokrąglonej (A1), nawiązujących do typu 1 w klasyfikacji K. Radwańskiego. Wskazuje to na ich wczesną chronologię: nawet VII–VIII w.

Pozostałe naczynia są do siebie zbliżone. Dominacja wśród nich esowatych garnków, wykonanych z gliny żelazistej z domieszką piasku, wykonanych techniką taśmowo-ślizgową, występowanie naczyń ze znakami garncarskimi oraz przewaga zdobień

a side effect of marking the potter's wheel. They did not always leave mark on the vessel base, which was caused either by strong wear of the mark carved on the wheel or by a large amount or coarse-grain filling put on the wheel. The disappearance of potter's marks on the bases of pots at the end of the 13th and the beginning of the 14th century may be the result of the more and more common use of two-dimensional marks on potter's wheels.

W. Hołubowicz (1962, p. 287 f.) and W. Hensel (1971, p. 138) were somewhere in between the two hypotheses and believed that potter's marks may have played both roles at the same time – they could be trademarks of a given potter, they might have been made at the client's request, as well as protect the vessel from evil forces. Some symbols (cross, circle, swastika) can be associated with the solar cult. When it comes to the pottery from Jabłonica Ruska, the only potter's mark found was a mark in the form of a swastika. It is connected with beliefs, so in this case the hypothesis about the magical functions of potter's marks cannot be rejected a priori, but one should consider the possibility that, in this case, both functional and magical functions could coexist.

### 9.1.8. Chronology

The Early Middle Ages pottery from Jabłonica Ruska shows few features that can help in its precise dating. The oldest elements of the collection are vessels made of group I raw material (ceramic fabric which is no longer present in materials where the slide-band forming technique was commonly used). They are handmade vessels, without traces of slow turning wheel technique, or possibly with slow turned rims. They are also characterised by simple rims with rounded edges (A1), similar to type 1 in the K. Radwański classification. This suggests their early chronology: even 7th-8th centuries.

The other vessels are similar to each other. Most of them are S-shaped pots made of ferruginous clay with an admixture of sand with the slide-band forming technique. There are potter's marks on them and the most common ornaments are horizontal grooves located in a wide zone that

w postaci poziomych żłobków sytuowanych w szerokiej strefie, która kończy się poniżej największej wydętości brzuśca to cechy, które wskazują, iż zbiór ten należy datować w większości na X–XIII w.

Pewne zróżnicowanie zaznacza się podczas obserwacji zasięgu obtaczania. Część zbioru jest obtaczana tylko do załomu brzuśca, co jest charakterystyczne głównie dla wyrobów do XI w., część jest całkowicie obtaczana, co jest charakterystyczne dla materiałów od XI do XIII w., a część wykazuje ślady najbardziej zaawansowanego technicznie silnie formującego obtaczania lub nawet nadtaczania, co wskazuje na ich najmłodszą metrykę (XII lub nawet bardziej XIII w.). Pod względem surowca wykorzystywanego w opisywanym zbiorze ceramiki można zauważyć, że grupa II, sądząc po analogiach, występowała głównie w okresie poł. IX – koniec XI w., a grupy III–V charakterystyczne są dla okresu XI–XIII w.

Występowanie zbliżonych form esowatych garnków pokazuje, że w Małopolsce naczynia o esowatym profilu występują powszechnie i można je szeroko datować na okres X–XIII w. Naczynia z cylindryczną szyjką (typ II) oraz formy z prostą szyjką i wygiętym mocno na zewnątrz brzegiem (typ III) są na innych stanowiskach datowane najczęściej od 2. połowy X w. lub od XI w., a ich udział wzrasta w XI i XII w.

Najbardziej czułe chronologicznie są brzegi naczyń i to one przy rozpatrywaniu zbiorów ceramiki z poszczególnych obiektów wraz z zestawieniem cech ceramiki występującej w każdym z nich pozwalają na dalszy podział chronologiczny (patrz niżej).

ends below the maximum body diameter. The features indicate that most of the collection should be dated to the period between the 10th and the 13th century.

Some diversity is visible when observing the extent to which the slow turning technique was used. Part of the collection is slow turned only to the shoulder, which is typical mainly for products made before the 11th century, some fragments are completely slow turned, which is typical for materials from the period between the 11th and the 13th century, and some show traces of the most technically advanced wheel-turned technique or even partly wheel-thrown technique, which indicates that they are the youngest (dated to the 12th or even the 13th century). In terms of the raw materials used in the collection of pottery, it can be noticed that, judging by analogies, group II was used mainly in the period between the mid-9th and the end of the 11th century and groups III-V are characteristic of the period between the 11th and the 13th century.

The occurrence of similar S-shaped pots shows that, in Lesser Poland, vessels with S-shaped profiles were common and may be dated to the wide period between the 10th and 13th century. Vessels with cylindrical necks (type II) and vessels with straight necks and strongly everted rims (type III) are in other places dated most often to the period starting from the second half of the 10th century or from the 11th century, and their number increases in the 11th and 12th century.

As vessel rims provide the highest amount of chronological data, during the analyses of assemblages of pottery from individual features and their characteristics, it is possible to create further chronological division (see below).

### 9.2. Pozostałe zabytki

Nóż żelazny z ob. 140 (tabl. 9.1: 5) o zachowanej długości: 9,9 cm, głowni – 7,5 cm, trzpienia – 2,4 cm posiada trójkątny przekrój ostrza, a szerokość głowni wynosi 4 mm. Trzpień jest ukształtowany jednostronnie – od dołu, a jego przekrój jest trójkątny.

### 9.2. Other artefacts

The iron knife from feature 140 (Plate 9.1: 5), with the preserved dimensions: the blade – 9.9 cm long, – 7.5 cm, the tang – 2.4 cm long, has a triangular cross-section of the blade and the thickness of the blade is 4 mm. The tang is shaped on one

Nóż ma łukowate ostrze, trudno powiedzieć coś o kształcie tylca, bo jest on w tym miejscu ułamany. Noże żelazne były narzędziami wielofunkcjonalnymi, wykorzystywanymi zarówno w gospodarstwie domowym, jak i podczas prac rzemieślniczych czy rolnych. Ich forma była determinowana przez funkcję, nie są więc dobrymi wyznacznikami chronologii. O datowaniu mogłaby świadczyć technika wykonania: noże zgrzewane z dwóch lub więcej prętów metalu są bowiem charakterystyczne dla młodszych faz wczesnego średniowiecza. W XI–XII w. wzrasta liczba noży zgrzewanych z żelazno-stalowych prętów, a w XIII–XIV w. formy zgrzewane stanowią znaczący odsetek tego typu zabytków (Gan 2013, s. 34–36). Bez badań metaloznawczych nie da się jednak określić technologii wykonania omawianego zabytku.

Dwa nieokreślone przedmioty żelazne wydobyto z ob. 140 (tabl. 9.1: 4) i z ob. 181 (tabl. 9.6: 7). W tym pierwszym wypadku fragmentarycznie zachowany przedmiot miał ok. 4,5 cm długości i prostokątny przekrój. Przedmiot był zagięty. Na jednym końcu był zaostrzony, na drugim się zwężał. Mógł to być fragment gwoździa. Zabytek z ob. 181 to podłużny fragment metalu, zwężający się z jednej strony, ze zgrubieniem na drugim końcu. Jego zachowana długość wynosiła 4,2 cm. Przekrój ma kształt prostokątny. Mógł to być fragment okucia lub ewentualnie klucza żelaznego.

W ob. 140 znaleziono gliniany przęślik o przekroju dwustożkowatym, o średnicy 3,3 cm, otworze o średnicy 1 cm i wysokości 1,8 cm.

Najliczniejszą kategorią zabytków poza ceramiką są osełki kamienne. Znaleziono ich cztery: osełka piaskowcowa z ob. 141, osełka kamienna z ob. 141 i dwie osełki kamienne z ob. 182. Osełka z ob. 141 miała 7,4 cm długości, 3,5 cm szerokości i 1,7 cm wysokości. W przekroju miała kształt trapezu o zaokrąglonych narożach. Na powierzchni widoczne były ślady ostrzenia (tabl. 9.5: 2). Druga osełka, lub gładzik kamienny, zachowany był fragmentarycznie. Zachowana długość i szerokość wynosiła 7 cm, wysokość: 1,2 cm. Przekrój jest prostokątny. Zabytek posiada płaską powierzchnię (tabl. 9.5: 1). W obiekcie 182 osełki miały następujące wymiary: 32 × 6,8 × 2,5 cm (tabl. 9.10: 1) oraz

side – at the bottom, and its cross-section is triangular. The knife has an arched blade, it is difficult to say anything about the shape of the back of the knife, because it broke off. Iron knives were multifunctional tools, they were used in households, workshops and in farming. Their form was determined by the function, so they are not good indicators of chronology. Dating could be based on the manufacturing technique: knives welded from two or more metal rods are characteristic of the younger phases of the Early Middle Ages. In the 11th-12th centuries, the number of knives welded from iron-steel rods increases, and in the 13th-14th centuries, welded forms become a significant percentage of this type of artefacts (Gan 2013, pp. 34–36). However, without metallurgical research, it is impossible to determine the technology of making the artefact in question.

Two unidentified iron objects were found in feature 140 (Plate 9.1: 4) and in feature 181 (Plate 9.6: 7). The first, partially preserved object was approx. 4.5 cm long and had a rectangular cross-section. It was bent. One of its ends is sharpened and the other end narrows. It could be a fragment of a nail. The artefact from feature 181 is an oblong piece of metal that narrows on one end and has a thicker part on the other end. Its preserved length is 4.2 cm and it has is a rectangular cross-section. It could be a fragment of a fitting or, perhaps, a fragment of an iron key.

In feature 140, a clay spindle whorl with a biconical cross-section was found. Its diameter was 3.3 cm, it was 1.8 cm high and it had a hole with a diameter of 1 cm.

The most numerous category of artefacts, apart from pottery, are whetstones. Four of them were found: a sandstone one in feature 141, a stone one in feature 141 and two stone ones in feature 182. The whetstone from feature 141 was 7.4 cm long, 3.5 cm wide and 1.7 cm high. It had a trapezoidal cross-section with rounded corners. Traces of sharpening were visible on the surface (Plate 9.5: 2). The second whetstone, or polishing stone, was partially preserved. The preserved length and width were both 7 cm and the height was 1.2 cm. Its cross-section was rectangular. The artefact has a flat

16 × 3,5 × 2 cm (tabl. 9.7: 10) i zaokrąglone powierzchnie. Osełki o dużych rozmiarach, jak ta z ob. 182, mogły służyć do ostrzenia narzędzi rolniczych lub do wstępnej obróbki przedmiotów metalowych. Te mniejsze zapewne służyły do ostrzenia przedmiotów codziennego użytku, np. noży. Osełki nie są grupą zabytków datujących.

W obiekcie 198 i 182 znaleziono kamienie żarnowe (tabl. 9.8, 9.9, 9.11: 2). W obiekcie 182 znaleziono kamień żarnowy o średnicy ok. 45 cm oraz o średnicy ok. 52 cm. W obiekcie 198 znaleziono fragment żarna.

surface (Plate 9.5: 1). In feature 182, the whetstones had the following dimensions: 32 × 6.8 × 2.5 cm (Plate 9.10: 1) and 16 × 3.5 × 2 cm (Plate 9.7: 10) and they had rounded surfaces. Large size whetstones, like the one from feature 182 may have been used for sharpening agricultural tools or for the initial processing of metal objects. The smaller ones were probably used to sharpen everyday objects, such as knives. Whetstones are not the artefacts which are used for dating.

Quern stones were found in features 198 and 182 (Plates 9.8, 9.9, 9.11: 2). In feature 182, 2 quern stones with diameters of approx. 45 cm and 52 cm were found. A fragment of a quern stone was found in feature 198.

## 9.3. Obiekty

W trakcie badań na stanowisku 1 w Jabłonicy Ruskiej odsłonięto 9 obiektów powstałych w okresie wczesnego średniowiecza. Zlokalizowane one były w północno-wschodniej części przebadanego obszaru. Tworzyły jedno duże skupisko, w którym najdalej położone od siebie obiekty dzieliło ok. 30 m. Wśród nich wyraźne zgrupowanie tworzyły obiekty 158 (tabl. 9.5: 3), 181 (tabl. 9.5: 4), 182 (tabl. 9.7: 1), 198 (tabl. 9.11: 1) i 200 (tabl. 9.10: 2) ułożone w okrąg z pozostawieniem pustej przestrzeni pomiędzy nimi. Na południe od nich, w odległości ok. 12 m, lokalizowane były dwa obiekty: 140 (tabl. 9.1: 1) i 141 (tabl. 9.3: 1); na wschód w podobnej odległości obiekty 208 (tabl. 9.10: 4) i 210 (tabl. 9.12: 1).

W największym skupisku obiektów wczesnośredniowiecznych przebadano pięć struktur. Największą z nich był obiekt oznaczony numerem 181. Uchwycono go w postaci skupiska kamieni, które miało kształt zbliżony do prostokąta o zaokrąglonych narożach o wymiarach 296 × 182 cm i głębokości 30 cm, ułożonego dłuższym okiem wzdłuż osi W-E (tabl. 9.5: 4, ryc. 9.18.). Wypełnisko obiektu stanowiła niejednolita, szaro-ciemnoszaro-żółta twarda glina. Na poziomie odsłonięcia i w profilu obiektu widać, że po stronie wschodniej jego wypełnisko ma najciemniejszą (ciemnoszarą) barwę. Może to ewentualnie wskazywać, że w tym miejscu

## 9.3. Features

During the research at site 1 in Jabłonica Ruska, 9 features from the Early Middle Ages were discovered. They were located in the north-eastern part of the studied area. They formed one large cluster, in which the features farthest from each other were separated by a distance of approx. 30 m. In the cluster there was a clearly separated group that consisted of features 158 (Plate 9.5: 3), 181 (Plate 9.5: 4), 182 (Plate 9.7: 1), 198 (Plate 9.11: 1) and 200 (Plate 9.10: 2) arranged in a circle, with empty space between them. To the south of them, approx. 12 m away, two features were located: 140 (Plate 9.1: 1) and 141 (Plate 9.3: 1); to the east, at a similar distance, there were features 208 (Plate 9.10: 4) and 210 (Plate 9.12: 1).

Five structures were investigated in the largest cluster of features from The Early Middle Ages. The largest of them was the feature marked with number 181. It was a cluster of stones, which had a rectangle-like shape and rounded corners, its size was 296 × 182 cm, it was 30 cm deep and W-E axis-oriented (Plate 9.5: 4, Fig. 9.18.). The feature was filled with non-uniform, grey, dark grey and yellow hard clay. At the discovery level in the profile of the feature, it can be seen that, in the eastern part, the fill is the darkest (dark grey). This may possibly indicate that a hearth

znajdowało się palenisko, które następnie zostało rozwleczone w stronę zachodnią. W obiekcie znaleziono 118 fragmentów ceramiki (tabl. 9.5: 6, 7; 9.6: 1–6, 8–10) i nieokreślony przedmiot żelazny (tabl. 9.6: 7). Materiał ceramiczny wydobyty z obiektu w dużej mierze składał się z fragmentów mocno rozdrobnionych, fragmentów zaliczonych do II kategorii wielkościowej było 25, jedno naczynie zachowało się w dużym stopniu. Większość ułamków naczyń została zaliczona do IV lub V grupy surowcowej, czyli masy ceramicznej z wyłączną lub główną domieszką piasku. Jeśli chodzi o technikę wykonania, to większość naczyń została wykonana techniką taśmowo-ślizgową. Górne partie naczyń wykazują ślady obustronnego obtaczania, natomiast dolne na ogół tylko na zewnętrznej powierzchni. Znaleziono tu fragmenty garnków esowatych (formy Ia1 i Ia2) oraz naczynia z prostą szyjką i mocno wygiętym na zewnątrz brzegiem. Brzegi naczyń zaliczono do typów: A5 (X–XI), H11 (występujące w Krakowie w IX–XI w. W Przemyślu najbardziej zbliżone, choć nie identyczne formy znane są z nawarstwień z XI–XII w.), J9 (datowanych w Krakowie na X–XI w., a w Przemyślu na XI–XIII w.), K9a (X–XI w.), K9b (XII–XIII w.). Występowanie naczyń z domieszką piasku, obtaczanych całkowicie przynajmniej na zewnętrznej powierzchni wskazuje na pochodzenie tego materiału z młodszych faz wczesnego średniowiecza, najpewniej z XI–XIII w. Porównanie ukształtowania brzegów do ceramiki znanej z Przemyśla wskazuje natomiast, że chronologię tego obiektu można zapewne zawęzić do XII–XIII w.

W pobliżu tego obiektu odsłonięto relikty najprawdopodobniej prostokątnego w planie pieca kamiennego (ob. 200) (ryc. 9.18.), o wymiarach 134 × 110 i zachowanej wysokości 30 cm (od strony N). Relikty usytuowane były narożnikami zgodnie z kierunkami stron świata. Wypełnisko stanowiła niejednolita, ciemnoszaro-żółta twarda glina przemieszana z kamieniami. Na spągu zachowała się cienka warstwa spalenizny (tabl. 9.10: 2). Z obiektu wydobyto 9 fragmentów ceramiki (tabl. 9.10: 3) zaliczonych przede wszystkim do I grupy surowcowej, charakteryzującej się gruboziarnistą domieszką, ręcznie lepionych. Na spągu obiektu natrafiono na 1 kość i 20 fragmentów zębów bydła.

was located there, which was then destroyed and spread westwards. 118 fragments of pottery (Plates 9.5: 6, 7; 9.6: 1–6, 8–10) and an unidentified iron object (Plate 9.6: 7) were found in the feature. Large part of the ceramic material from the feature was highly fragmented – there were 25 fragments included in the size category I, one vessel was quite well preserved. Most of the pottery fragments were classified as raw material groups IV or V, i.e. the ceramic fabric where sand was the main or the only admixture. In terms of the production technique, most of the vessels were made with the slide-band forming technique. The upper parts of the vessels show traces of wheel-turned technique, while the lower parts, generally, have traces of slow turning only on the outer surface. Fragments of S-shaped pots (forms Ia1 and Ia2) and fragments of a vessels with a straight neck and a strongly everted rim were found here. The rims of the vessels were classified as the following types: A5 (the 10th-11th centuries), H11 (used in Kraków in the 9th-11th centuries, in Przemyśl, the most similar, though not identical forms were found in layers from the 11th-12th centuries), J9 (dated in Kraków to the 10th-11th centuries, and in Przemyśl to the 11th-13th centuries), K9a (the 9th-11th centuries), K9b (the 12th-13th centuries). The presence of vessels with an admixture of sand, completely slow turned, at least on the outer surface, indicates that the material comes from the younger phases of the Early Middle Ages, most likely from the period between the 11th and the 13th century. Comparing the shapes of the rims with the pottery from Przemyśl indicates that the chronology of this feature can probably be narrowed down to the period between the 12th and the 13th century.

In the vicinity of this feature the remains of a stone oven (feature 200) (Fig. 9.18.) were discovered. It, most probably, had a rectangular plan, its size was 134 × 110 cm and its preserved height was 30 cm (from the N side). The corners of the oven were arranged according to the cardinal directions. The fill was non-uniform, dark grey and yellow hard clay mixed with stones. There was a thin layer of burnt material in the base

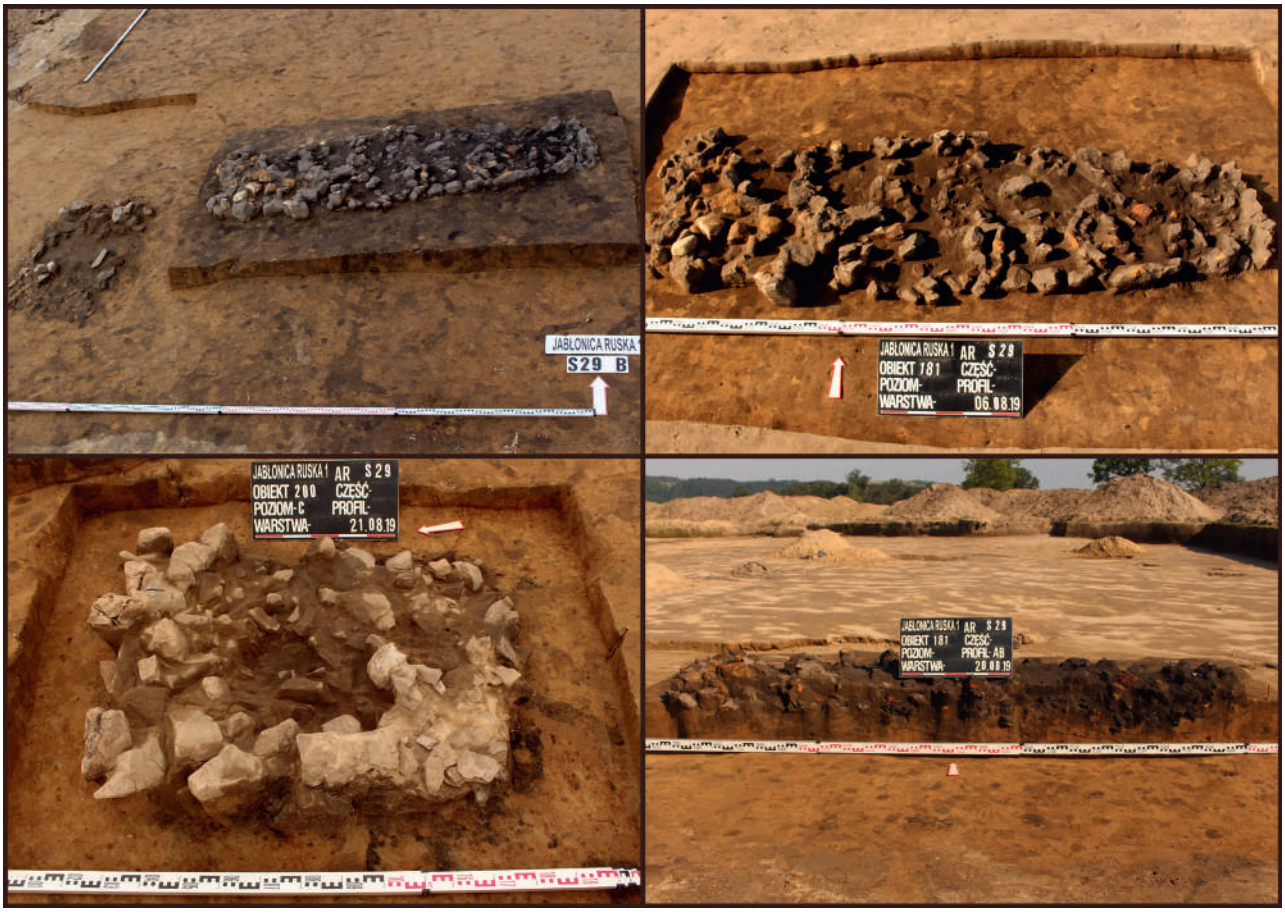


Ryc. 9.18. Jabłonica Ruska, stan. 1. Obiekty 181 i 200 w trakcie eksploracji
Fig. 9.18. Jabłonica Ruska, site 1. Features 181 and 200 during exploration

Na północny zachód od obiektu 200 przebadano skupisko kamieni oznaczone numerem 158. Było ono w planie podłużne, usytuowane dłuższą osią na linii N-S, o długości wynoszącej 110 cm i szerokości 60 cm (tabl. 9.5: 3). Profilu nie zadokumentowano z uwagi na to, że zachował się jedynie spąg obiektu. Znaleziono tu 4 fragmenty ceramiki (tabl. 9.5: 5), które można najpewniej datować na XI–XIII w.

Drugim pod względem wielkości obiektem w tej grupie było skupisko kamieni oznaczone numerem 182 (tabl. 9.7: 1, ryc. 9.19.). Kamienie zarejestrowano w układzie półokręgu o wymiarach 205 × 160 cm. Profilu nie zadokumentowano z uwagi na to, że zachował się jedynie spąg obiektu. W obiekcie zarejestrowano dużych rozmiarów dwa koła żarnowe (tabl. 9.8, 9.9), dwie osełki kamienne (tabl. 9.7: 10; 9.10: 1) oraz 117 fragmentów ceramiki (tabl. 9.7: 2–9, 11). Materiał ceramiczny był zróżnicowany, wykonano go z masy garncarskiej zaliczonej do

(Plate 9.10: 2). Nine fragments of pottery were found in the feature (Plate 9.10: 3), most of them were classified as raw material group I, characterised by a coarse-grained admixture. They were handmade. On the base of the feature, 1 bone and 20 fragments of cattle teeth were found.

To the north-west of feature 200, a cluster of stones marked with number 158 was investigated. It had an oblong a plan, it was N-S-oriented, 110 cm long and 60 cm wide (Plate 9.5: 3). The profile was not documented due to the fact that only the base of the feature was preserved. Four fragments of pottery were found there (Plate 9.5: 5), which may, most probably, be dated to the period between the 11th and the 13th century.

The second largest feature in the cluster was a group of stones marked with number 182 (Plate 9.7: 1, Fig. 9.19.). The stones were arranged in a semicircle with dimensions of 205 × 160 cm. The profile was not documented due to the fact

grup surowcowych I–IV, z przewagą materiałów z domieszką piasku. Zarejestrowano tu formy Ia1, Ib i III. Najwięcej cech dystynktywnych zawierają w sobie brzegi naczyń. Wystąpiły tu typy: A1 (nawiązujące do typu 1 wyróżnionego przez K. Radwańskiego), C2 (występujących w Krakowie w długim okresie chronologicznym: 2. poł. X – poł. XIII w., a w materiałach z Przemyśla w krótszym przedziale: IX–X w.), H11 (występujące w Krakowie w IX–XI, w Przemyślu najbardziej zbliżone, choć nie identyczne formy znane są z nawarstwień z XI–XII w.), K9a (X–XI w.) i K9b (XII–XIII w.). Na podstawie analogicznych form, zwłaszcza z Przemyśla, chronologię tego obiektu można zamknąć w przedziale XII–XIII w.

W pobliżu zarejestrowano obiekt 198. Była to jama owalna w planie o wymiarach 78 × 64 cm, w przekroju nieckowata o gł. 15 cm, usytuowana wzdłuż osi NW-SE. Wypełnisko obiektu stanowiła niejednolita, szaro-beżowa twarda glina, nasycona kamieniami (tabl. 9.11: 1). W obiekcie znajdował się kamień żarnowy (tabl. 9.11: 2).

that only the base of the feature was preserved. Two large quern stones (Plates 9.8, 9.9), two whetstones (Plates 9.7: 10; 9.10: 1) and 117 fragments of pottery (Plate 9.7: 2–9, 11) were found in the feature. The ceramic material varied. It was made of ceramic fabric classified as raw material groups I-IV, with a predominance of fragments with an admixture of sand. Forms Ia1, Ib and III were found there. The rims of the vessels show the highest number of distinctive features. The following types appeared: A1 (similar to type 1 distinguished by K. Radwański), C2 (used in Kraków during a long chronological period: the 2nd half of the 10th – the mid-13th century, and present in the materials from Przemyśl from a shorter period: the 9th-10th centuries), H11 (used in Kraków in the 9th-11th centuries, in Przemyśl the most similar, though not identical forms were discovered in layers from the 11th-12th centuries), K9a (the 10th-11th centuries) and K9b (the 12th-13th centuries). Based on similar forms, especially the ones from Przemyśl, the feature may be dated

Ryc. 9.19. Jabłonica Ruska, stan. 1. Skupisko kamieni 182 po odczyszczeniu
Fig. 9.19. Jabłonica Ruska, site 1. Stone cluster 182 after cleaning

Na południe od tego skupiska zarejestrowano dwa obiekty. Obiekt 140 była to jama w rzucie poziomym owalna, usytuowana na osi W-E, o wymiarach 144 × 136 cm, w przekroju trapezowata, o głębokości 36 cm. Jej wypełnisko stanowiła jednolita, ciemnoszaro-szaro-beżowa twarda glina (tabl. 9.1: 1, ryc. 9.20.). Na poziomie odsłonięcia zarejestrowano drobne kamienie ułożone w okrąg, niżej cała niecka wyłożona była kamieniami. Przy dnie obiektu kamienie układają się na kształt czworoboku, od strony północnej nie łączą się ze sobą, tworząc lukę, po stronie południowej zarejestrowano niewielki ustęp. Poniżej kamieni odsłonięto zagłębienie (jama 140A, ryc. 9.20.) w rzucie czworoboczne o wymiarach 54 × 46 cm, w profilu U-kształtne, o głębokości 30 cm. Znaleziono w nim dość dobrze zachowane fragmenty jednego naczynia (tabl. 9.2: 1, 2). Wypełnisko stanowiła niejednolita, szaro-beżowo -jasnoszara glina, nasycona węglami drzewnymi. Z wypełniska obiektu wydobyto nóż żelazny (tabl.

to the period between the 12th and the 13th century.

Feature 198 was discovered nearby. It was an oval pit, 78 × 64 cm in size with a trough-like cross-section, approx. 15 cm deep, oriented along the NW-SE axis. The fill of the feature was non-uniform, grey and beige hard clay, mixed with stones (Plate 9.11: 1). A quern stone was found in the feature (Plate 9.11: 2).

Two features were located south of this cluster. Feature 140 was a W-E-oriented, oval pit, 144 × 136 in size with trapezoidal cross-section and a depth of 36 cm. Its fill was uniform, dark grey and beige hard clay (Plate 9.1: 1, Fig. 9.20.). At the discovery level, there were small stones arranged in a circle and below them, the entire through was paved with stones. At the base of the feature, the stones were arranged in a quadrilateral shape, on the north side there was a gap in the shape, on the south side there was a small

Ryc. 9.20. Jabłonica Ruska, stan. 1. Obiekty 140 i 140A w trakcie eksploracji
Fig. 9.20. Jabłonica Ruska, site 1. Features 140 and 140A during exploration

9.1: 5), nieokreślony przedmiot żelazny (tabl. 9.1: 4), przęślik gliniany oraz 37 fragmentów ceramiki (tabl. 9.1: 2, 3; 9.2: 1, 2). Był to materiał przemieszany, wykonany z grup surowcowych I i IV, naczynia były zarówno lepione techniką taśmowo-ślizgową, obtaczane w całości; obtaczane częściowo, a częściowo wygładzane, jak i ręcznie lepione. Zarejestrowano tu garnki zaliczone do III typu. Jedyny brzeg (J9) nawiązuje do form, które w Przemyślu datowane są na XI–XIII w. Zachowane najlepiej naczynie (nr inw. 477/19) z uwagi na formę, technologię wykonania, obecność ornamentu w postaci żłobków poziomych dochodzących do dolnej części brzuśca oraz obecność znaku garncarskiego można również datować na XI–XIII w.

Drugi z obiektów (nr 141) to skupisko kamieni o rzucie w kształcie nieregularnym o wymiarach 286 × 134 cm, usytuowane na linii W-E (tabl. 9.3: 1). Profilu nie zadokumentowano z uwagi na to, że zachował się jedynie spąg obiektu. W obiekcie znaleziono 115 fragmentów ceramiki (tabl. 9.3: 2–10; 9.4), 66 fragmentów kości zwierzęcych i dwie osełki (tabl. 9.5: 1, 2). Kości należały do bydła. W materiale ceramicznym dominują fragmenty wykonane z III i IV grupy surowcowej, obtaczanie i wygładzanie; zarejestrowano tu wszystkie wyróżnione formy garnków, brzegi należały do typu A1, A13, D11, H11, I9, J5, K9a i K10. Na podstawie tych danych jego funkcjonowanie należy umieszczać w XI–XII w., ze wskazaniem na wiek XI.

Najbardziej na wschód zlokalizowane były dwa obiekty: 208 i 210. Obiekt 208 to skupisko kamieni, owalne w rzucie poziomym o wymiarach 55 × 45, o głębokości 21 cm, w profilu czworoboczne, zlokalizowane wzdłuż osi NE-SW. Wypełnisko stanowiła niejednolita, szaro-beżowa twarda glina (tabl. 9.10: 4). W skupisko znaleziono cztery fragmenty ceramiki, którą najpewniej można datować na okres do XI w.

Obiekt 210 to również skupisko kamieni, nieregularne, o wymiarach 130 × 115 × 26 cm, na osi NE-SW. Wypełnisko stanowiła niejednolita, szaro-żółta (k. 6/13) twarda glina (tabl. 9.12: 1, ryc. 9.21.). W wypełnisku znaleziono 10 fragmentów ceramiki, którą można datować zapewne podobnie jak ob. 208.

fault. Below the stones, a depression (pit 140A, Fig. 9.20.) was discovered. It had a quadrilateral plan, 54 × 46 cm in size, and a U-shaped profile, 30 cm deep. Quite well-preserved fragments of one vessel were found there (Plate 9.2: 1, 2). The fill was non-uniform, light grey and beige clay, mixed with pieces of charcoal. An iron knife (Plate 9.1: 5), an unidentified iron object (Plate 9.1: 4), a clay spindle whorl and 37 fragments of pottery (Plates 9.1: 2, 3; 9.2: 1, 2) were found in the fill. The finds were of various types – they were made of raw material groups I and IV, the vessels were both made with the slide-band forming technique and completely slow turned; partially slow turned and partially smoothed as well as handmade. Type III pots were also discovered here. The only rim (J9) is similar to forms that, in Przemyśl, date back to the 11th-13th centuries. The best-preserved vessel (inv. no. 477/19), due to its shape, production technology, the presence of an ornament in the form of horizontal grooves reaching the lower part of the body and the presence of a potter's mark may also be dated to the period between the 11th and the 13th century.

The second feature (no. 141) is a cluster of stones with an irregular plan, 286 × 134 cm in size, and oriented along the W-E axis (Plate 9.3: 1). Its profile was not documented due to the fact that only the base of the feature was preserved. 115 fragments of pottery (Plates 9.3: 2–10; 9.4), 66 fragments of cattle bones and two whetstones (Plates 95: 1, 2) were found in the feature. The ceramic material is dominated by fragments made of raw materials group III and IV which are slow turned and smoothed; All the distinguished forms of pots were discovered here, the rims were types A1, A13, D11, H11, I9, J5, K9a and K10. Based on this data, the feature should be dated to the 11th-12th centuries, especially to the 11th century.

Two features: 208 and 210, were located farthest to the east. Feature 208 was a cluster of stones with an oval plan, 55 × 45 in size. It had a quadrilateral profile, it was 21 cm deep and the NE-SW axis-oriented. The fill was non-uniform, grey and beige hard clay (Plate 9.10: 4). Four fragments of pottery were found in the cluster. They, most likely, should be dated to the period up to the 11th century.

Wydaje się zatem, że najstarsze są obiekty 208 i 210, pochodzące najpóźniej z XI w., obiekty 140 i 141 pochodzą najpewniej z XI–XII w., natomiast najmłodsze są obiekty ze skupiska wokół obiektów 181 i 182, które prawdopodobnie funkcjonowały w XII–XIII w. Do datowania tego należy podchodzić z pewną dozą ostrożności, zwłaszcza w wypadku obiektów w których duży udział ma ceramika I grupy surowcowej. Mogła ona bowiem w tych strukturach znajdować się na wtórnym złożu. Nie można też wykluczyć, że w obiektach o charakterze gospodarczym obok form typowych dla danego okresu występowały naczynia o charakterze ceramiki kuchennej o cechach archaicznych.

Wszystkie omawiane obiekty zostały uchwycone w swojej spągowej części. Bardzo intensywna orka doprowadziła do zniszczenia ich górnych partii. Z tego względu trudno jest cokolwiek powiedzieć na temat ich pierwotnej głębokości, planu na poziomie stropu czy też kształtu konstrukcji

Feature 210 was also a cluster of stones with an irregular shape and dimensions of 130 × 115 × 26 cm. It was NE-SW axis-oriented. The fill was non-uniform, grey and yellow (colour 6/13) hard clay (Plate 9.12: 1, Fig. 9.21.). 10 pottery fragments, which can probably be dated similarly to the fragments from feature 208, were found in the fill.

It seems, therefore, that the oldest features 208 and 210 are from the 11th century at the latest, features 140 and 141 probably come from the 11th-12th centuries, while the youngest are the features from the cluster located around features 181 and 182, which probably functioned in the period between the 12th and the 13th century. The chronology should be approached with some caution, especially when it comes to the features with a high percentage of raw material group I pottery, which may have been located in a secondary deposit. It cannot be ruled out that in utility features, apart from vessels typical of a given period, there was kitchen ware with archaic features.

Ryc. 9.21. Jabłonica Ruska, stan. 1 Obiekt 210 na poziomie C
Fig. 9.21. Jabłonica Ruska, site 1 Feature 210 at level C

kamiennych. Zarejestrowane w większości z nich różnego typu skupiska kamieni, mniej lub bardziej zwarte, wydają się być reliktami intencjonalnie założonych struktur, zapewne palenisk lub pieców. O ich funkcji możemy jednak wnioskować tylko na podstawie zachowanych spągowych części. Nie wiemy, czy konstrukcje kamienne ciągnęły się również w wyższych, niezachowanych partiach obiektów. Nie można też stwierdzić, czy zachowany układ kamieni był w każdym wypadku układem pierwotnym czy też wynikiem intensywnej orki, która mogła doprowadzić do zniszczenia konstrukcji i rozwleczenia kamieni na większej przestrzeni. Nie zmienia to jednak faktu, że wszystkie przebadane obiekty miały charakter gospodarczy, nie znaleziono żadnego obiektu mieszkalnego. Wskazuje to, że przebadano fragment produkcyjnej części osady lub co bardziej prawdopodobne jej część kuchenną, składającą się głównie z różnego rodzaju palenisk i pieców, oddaloną od strefy mieszkalnej, gdzie zlokalizowane były zabudowania mieszkalne i gospodarskie.

Omawiane obiekty były najprawdopodobniej związane z kuchenną strefą osady, której część mieszkalna zapewne mieściła się w niedalekiej odległości. Większość z nich należy interpretować jako relikty pieców (ob. 200) lub palenisk otwartych, umieszczonych na wolnym powietrzu na skraju osady. Charakterystyczna forma zbliżona do bruków kamiennych mogła być wynikiem rozwleczenia pierwotnego skupiska kamieni przez intensywnie w tym miejscu prowadzoną orkę. O takiej możliwości świadczy różny kształt i stopień zachowania urządzeń grzewczych odkrywanych w obiektach półziemiankowych z tego okresu (Donat 1980; Cygan 2006). Układ kamieni przypominający bruk kamienny został zarejestrowany np. w obiekcie 60 ze stanowiska 6 w Daniłowie Małym, gm. Łapy (Olczak, et al. 2018, s. 208, ryc. 17), zinterpretowanym jako palenisko. Odrębnym pytaniem jest jednak funkcja tych urządzeń. Poza gotowaniem obiekty te mogły być wykorzystywane np. do prażenia ziarna (zwłaszcza obiekt 182). Najstarszą metodą przetwórczą zboża było jego prażenie. Pierwotnie proces ten odbywał się na płaskich kamieniach, w prażnicach lub poprzez przetaczanie po

Only the base parts of the discussed features were documented. Very intensive ploughing resulted in the destruction of their upper parts. For this reason, it is difficult to say anything about their original depth, plans at the ceiling level or the shape of the stone structures. The various types of more or less compact stone clusters discovered in most of the features, seem to be the remains of intentionally built structures, probably hearths or ovens. However, the preserved base parts are the only evidence we can use to speculate on their function. We do not know whether the stone structures continued in the higher parts of the features. It is also impossible to say whether the preserved arrangement of stones was the original one or whether it was the result of intensive ploughing, which may have led to the destruction of the structure and spreading the stones over a larger area. However, this does not change the fact that all the discovered features were utility features – no dwelling structures were found. It indicates that a fragment of the production part of the settlement or, more likely, its kitchen part, consisting mainly of various types of hearths and ovens, separated from the dwelling area, where the dwelling and farm structures were located, was investigated.

The features in question were most likely linked to the kitchen part of the settlement, the dwelling part of which was probably not far away. Most of them should be interpreted as remains of ovens (feature 200) or open hearths located in the open air at the edge of the settlement. The characteristic structure, similar to stone pavements may have resulted from intensive ploughing, during which the original group of stones were spread around the area. It is evidenced by the different shape and degree of preservation of heating equipment discovered in shallow pithouses from that period (Donat 1980; Cygan 2006). A cluster of stones resembling a stone pavement was found, for example, in feature 60 from the archaeological site 6 in Daniłów Mały, Łapy commune (Olczak, et al. 2018, p. 208, Fig. 17), which was interpreted as a hearth. A separate question, however, is the function of these structures. Apart from cooking, the features may have been used e.g. for roasting grain (especially feature 182). The oldest method

ziarnie rozgrzanych kamieni. Świeżo wyprażone ziarna były często spożywane bezpośrednio lub wykorzystywane do dalszego mielenia (ob. 182 i 198).

Innym zastosowaniem, które należy brać pod uwagę, jest warzenie soli. Na Podkarpaciu Wschodnim w rejonie Przemyśla i Sanoka eksploatację soli rozpoczęto w X–XIII w. Dokumenty pisane z XII–XIII w. każą liczyć się z eksploatacją solanek m.in. w rejonie Przemyśla i Sanoka, gdzie stanowiłyby zapewne fragment żup ruskich. Materiały archeologiczne przybliżające nam warzelnictwo znane są np. z Wieliczki w postaci dwóch zespołów urządzeń solankowych, odkrytych na stan. IV i XI, datowanych na X–XII w. i XII– poł. XIII w. Zespół urządzeń solankowych obok szybu Daniłowicza (stan. IV) składał się z 14 palenisk zbudowanych z kamieni piaskowcowych otoczonych przepaloną gliną, prostokątnego zbiornika oraz 4 rowków biegnących równolegle do siebie, zgodnie z opadem zbocza od południa ku północy. Rowki te stanowiły najprawdopodobniej resztki po rynnach lub korytach doprowadzających solankę ze źródeł do zbiornika, spełniającego funkcję tzw. odstojnika, w którym solanka pozbywała się zanieczyszczeń mechanicznych. Następnie solanka nabierana była do naczyń i wywarzana na paleniskach. Sól warzono w zwykłych garnkach. Drugi zespół odkryty w Wieliczce był już bardziej zaawansowany technicznie. Proces warzenia soli w tym okresie można jednak sprowadzić do czerpania solanki ze źródeł słonych, przy czym ze źródeł powierzchniowych solankę czerpano najprawdopodobniej ręcznie. Materiały z Wieliczki (stan. IV) wskazują, że w X–XII w. solankę wywarzano w zwykłych naczyniach glinianych, ustawianych na paleniskach, w pomieszczeniu nakrytym dachem, podpartym słupami. Suszenie soli mogło się odbywać w różnego rodzaju formach wykonanych z surowców organicznych (Jodłowski 1969, s. 155–162; 1977, s. 86–92).

Innego typu obiektem była struktura oznaczona nr 140. Mamy tu do czynienia z jamą (140A) znajdującą się pod skupiskiem kamieni. Mógł to być piec postawiony w miejscu starszej od niego, nieużytkowanej jamy, ale bardziej prawdopodobne wydaje się, że jest to pozostałość po jednoczasowym obiekcie.

of grain processing was roasting. Originally, this process took place on flat stones, in roasting chambers or by rolling hot stones over the grain. Freshly roasted grain was consumed or ground for further use (features 182 and 198).

Another use of the features to consider is salt making. In Eastern Subcarpathia, in the region of Przemyśl and Sanok, salt making began in the 10th-13th centuries. Written documents from the 12th-13th centuries suggest exploitation of brine, among other places, in the vicinity of Przemyśl and Sanok, where it probably was a part of the Ruthenian salt mines. Archaeological materials that provided data on salt making were found, for example, in Wieliczka. They were two sets of brine processing equipment, discovered at the sites IV and XI and dated to the 10th-12th centuries and to the period between the 12th and the mid-13th century. The set of brine processing equipment located next to the Daniłowicz shaft (site IV) consisted of 14 hearths built of pieces of sandstone surrounded by burnt clay, a rectangular reservoir and 4 parallel grooves running in line with the slope from south to north. The grooves were most likely the remains of gutters or troughs supplying brine from the springs to the reservoir, which served as a desilter in which mechanical impurities were removed from the water. Then, brine was poured into vessels and salt was made on the hearths. Salt was made in ordinary pots. The second set of equipment discovered in Wieliczka was technically more advanced. The process of making salt in this period, however, can be reduced to drawing brine from saline springs, while brine from surface sources was probably drawn manually. The materials from Wieliczka (site IV) indicate that in the 10th-12th centuries brine was produced in ordinary clay vessels placed on hearts, in a building covered with a roof and supported by pillars. Salt drying could take place in various buildings made of organic materials (Jodłowski 1969, pp. 155–162; 1977, pp. 86–92).

Another type of feature was the structure marked as no. 140. It is a pit (140A) located under a cluster of stones. It may have been an oven placed where an older, unused pit had been, but

Sądząc po nasyceniu węglami wypełniska, mógł to być obiekt służący do wędzenia, ale przykrycie (szczelne) od góry jamy może też wskazywać na inne wykorzystanie, oraz zachowane w spągowej części naczynie sugeruje, że celowo zostało ono umieszczone poniżej konstrukcji kamiennej. Dane etnograficzne wskazują, że przykrycie kamieniami od góry mogło mieć na celu zakwaszenie produktów żywnościowych przechowywanych w jamie. Jamy służące do kiszenia żywności występowały np. na grodzisku w Sąsiadce (Kalaga 2013, s. 27).

Rozplanowanie i funkcja obiektów wczesnośredniowiecznych odkrytych na stanowisku w Jabłonicy Ruskiej jest na obecnym etapie badań trudna do określenia. Zbadanie większej liczby obiektów z tego okresu, które najpewniej zlokalizowane zostały w pobliżu obszaru objętego badaniami, pozwoliłoby na uzyskanie większej ilości danych i stworzyło możliwości do przeprowadzenia głębszej analizy. Odkrycie i przebadanie pozostałej części osady wczesnośredniowiecznej należy zatem traktować jako postulat badawczy, ale także konserwatorski.

it seems more likely to be the remains of features that functioned at the same time. Judging by the carbon saturation of the fill, it may have been a feature used for smoking, but the (tight) cover on the upper part of the pit may also indicate a different use. Moreover, the vessel preserved in the base part suggests that it was intentionally placed below the stone structure. Ethnographic data indicates that the top cover made from stones could be used to pickle the food products stored in the pit. Pits used for pickling food were found, for example, in the stronghold in Sąsiadka (Kalaga 2013, p. 27).

The layout and function of the Early Middle Ages features discovered at the archaeological site no. 1 in Jabłonica Ruska are difficult to identify at the present stage of research. Investigating the greater number of features from this period, which are most likely located near the studied area, would result in obtaining more data and carrying out a deeper analysis. The discovery and examination of the rest of the settlement from the Early Middle Ages should, therefore, be treated as necessary not only by archaeologists but also by monuments conservators.

## LITERATURA


Auch M.

2017 *Wczesnośredniowieczny zespół osadniczy w Czermnie w świetle wyników badań dawnych (do 2010). Ceramika naczyniowa*, Kraków–Leipzig–Rzeszów–Warszawa.

Buko A.

1979 *Problemy analizy opisowej wyrobów garncarskich zachowanych fragmentarycznie*, „Kwartalnik Historii Kultury Materialnej" 27/2, 187–207.

1980 (rec.) M. Parczewski, *Projekt kwestionariusza cech naczyń ceramicznych z okresu wczesnego średniowiecza*, „Sprawozdania Archeologiczne" 32, 328–335.

1981 *Wczesnośredniowieczna ceramika sandomierska*, Wrocław.

1982 *Czytelność znaków garncarskich a zagadnienie ich funkcji*, „Archeologia Polski" 27, 79–109.

1988 *O niektórych aspektach opisu wyrobów garncarskich*, „Archeologia Polski" 29, 210–219.

1990 *Ceramika wczesnopolska. Wprowadzenie do badań*, Wrocław.

2005 *Archeologia Polski wczesnośredniowiecznej*, Warszawa.

Cygan S.
2006 *Wczesnosłowiańskie półziemianki kwadratowe na terenie Polski, Czech, Słowacji, wschodnich Niemiec i dolnej Austrii*, Rzeszów.

Ćernohorsky K.
1953 *Keramika a feudalismus*, cz. II. „*Ćesky Lid*" 1, 21–31.

Donat P.
1980 *Haus, Hof und Dorf in Mitteleuropa vom 7. – 12. Jahrhundert*, Berlin.

Dymaczewska U.
1969 *Ceramika wczesnośredniowieczna z Santoka, pow. Gorzów Wlkp.*, „Slavia Antiqua" 16, 145–241.

Dąbrowska E.
1963 *Uwagi o chronologii najstarszej wczesnośredniowiecznej ceramiki w Małopolsce*. „Sprawozdania z posiedzeń komisji PAN, styczeń – czerwiec", 55–63.

1973 *Wielkie grody dorzecza górnej Wisły*, Wrocław.

Gabałówna L.
1955 *Ceramika z XII i XIII wieku z grodziska łęczyckiego*, „Studia Wczesnośredniowieczne" 3, 319–332.

Gan P.
2013 *Badania metalograficzne dwunastu noży żelaznych*, [w:] Kalaga J. (red.), *Sutiejsk. Gród pogranicza polsko-ruskiego w X–XIII wieku. Studium interdyscyplinarne*, Warszawa–Pękowice, 29–40.

Gardawski A.
1950 *Wczesnohistoryczna osada z okresu piastowskiego we Wrocieryżu, pow. Jędrzejów*, „Sprawozdania P.M.A." 3, 163–174.

Glińska N.
2017a *Wielowymiarowe analizy statystyczne jako narzędzie do podziału typologicznego form naczyń na przykładzie wczesnośredniowiecznej ceramiki z Wiślicy*, „Materiały i Sprawozdania Rzeszowskiego Ośrodka Archeologicznego" 38, 197–216.

2017b *Wystrój zewnętrzny i formy wczesnośredniowiecznych naczyń z Wiślicy*, [w:] Rosiński P., Suchojad H. (red.), *Sztuka w Świętokrzyskiem. Średniowiecze i czasy nowożytne*, Kielce, 73–88.

Glińska N., Młodecka H.
2015 *Zróżnicowanie surowcowe wczesnośredniowiecznej ceramiki z Wiślicy w świetle wyników badań chemicznych*, „Materiały i Sprawozdania Rzeszowskiego Ośrodka Archeologicznego" 36, 199–215.

Hensel W.
1950 *Metoda datowania ceramiki wczesnohistorycznej na podstawie znaków garncarskich na dnach naczyń*, „Sprawozdania z czynności i posiedzeń PAU" 51/2, 71–74.

1971 *Początki państwa polskiego i jego kultury*, Wrocław–Warszawa–Kraków–Gdańsk.

Hilczerówna Z.
1960 *Wczesnośredniowieczne grodzisko w Daleszynie, stan. 2, w pow. gostyńskim*, Poznań.

Hołubowicz W.
1950 *Garncarstwo wiejskie zachodnich terenów Białorusi*, Toruń.

1962 Badania wykopaliskowe w Opolu w 1958 r, „Sprawozdania Archeologiczne" 14, 270–294.

1965 *Garncarstwo wczesnośredniowieczne Słowian*, (=*Studia Archeologiczne* 1), Wrocław.

Hunicz A.

1973 *Wyniki badań na Wzgórzu Zamkowym w Lublinie w 1971 r.*, „Wiadomości Archeologiczne" 38/3–4, 443–460.

Jodłowski A.

1969 *Problem eksploatacji soli w okolicach Krakowa w starożytności i we wczesnym średniowieczu*, „Archeologia Polski" 14/1, 137–165.

1977 *Archeologia o początkach solnictwa na ziemiach polskich*, „Ziemia", 81–92.

Kalaga J.

2013 *Zabudowa podgrodzia*, [w:] Kalaga J. (red.), *Sutiejsk. Gród pogranicza polsko-ruskiego w X–XIII wieku. Studium interdyscyplinarne*, Warszawa–Pękowice, 24–28.

Kołos-Szafrańska Z.

1949/50 *Z badań nad znakami garncarskimi okresu wczesnodziejowego*, „Slavia Antiqua" 2, 438–451.

1953 *Z badań nad znakami garncarskimi z terenu ziem polskich*, „Wiadomości Archeologiczne" 19/2–4, 180–197.

1961 *Z badań nad garncarstwem wczesnośredniowiecznym. Analiza ceramiki z Biskupina, pow. Żnin, stan. 6.*, „Polskie Badania Archeologiczne" 6, 145–229.

1962 *Nowa próba interpretacji znaków na dnach wczesnośredniowiecznych naczyń słowiańskich*, „Światowit" 24, 443–458.

Kostrzewski J.

1925 *Znaki na dnach naczyń wczesnohistorycznych z Wielkopolski*, „Niderluv Sbornik" 4, 117–130.

Kukliński A.

2017 *Wczesnośredniowieczna stratygrafia kulturowa w południowo-zachodniej części Wzgórza Wawelskiego*, (=Acta Archaeologica Waweliana 5), Kraków.

Lepówna B.

1968 *Garncarstwo gdańskie w X–XIII wieku*, (=Gdańsk wczesnośredniowieczny 7), Gdańsk.

Maj U.

1990 *Stradów, stanowisko 1.* Część 1: *Ceramika wczesnośredniowieczna*, Kraków.

Okoński J.

1995 *Keramik aus der Burg von Zawada, Gem. Tarnów – Ein Verfahren zur Registrierung von Merkmalen und die Analysenmöglichkeiten*, [w:] Poláček L. (red.), *Slawische Keramik in Mitteleuropa vom 8. bis zum 11. Jahrhundert. Terminologie und Beschreibung*, Brno, 51–63.

Olczak H., Krasnodębski D., Jaremek A.

2018 *Osada wczesnośredniowieczna i pozostałości osadnictwa z innych okresów na stanowisku 6 w Daniłowie Małym, gm. Łapy*, [w:] Buko A., Krasnodębski D., Szymański W. (red.), *Dawne osadnictwo Podlasia w świetle badań ratowniczych prowadzonych w latach 1996–2000 na trasie gazociągu jamalskiego*, Warszawa, 191–262.

Parczewski M.
1977 *Projekt kwestionariusza cech naczyń ceramicznych z okresu wczesnego średniowiecza*, „Sprawozdania Archeologiczne" 29, 221–247.

1982 *Płaskowyż Głubczycki we wczesnym średniowieczu*, Kraków.

Poleski J.
2004a *Naszacowice. Ein frühmittelalterlicher Burgwall am Dunajec*. I. *Stratigraphie, Chronologie, Architektur*, Kraków.

2004b *Wczesnośredniowieczne grody w dorzeczu Dunajca*, Kraków.

Radwański K.
1968 *Wczesnośredniowieczna ceramika krakowska i zagadnienie jej chronologii*, „Materiały Archeologiczne" 9, 5–89.

1975 *Kraków przedlokacyjny. Rozwój przestrzenny*, Kraków.

Rzeźnik P.
1995 *Ceramika naczyniowa z Ostrowa Tumskiego we Wrocławiu w X–XI wieku*, Poznań.

Szuwarowski K.
1993/1994 *Klasyfikacja brzegów ceramiki wczesnośredniowiecznej z badań archeologicznych na zamku w Przemyślu w latach 1974–1978*, „Rocznik Przemyski" 29–30/1, 31–44.

2010 *Stratygrafia archeologiczna okresu wczesnego średniowiecza w północno-wschodniej części Wzgórza Zamkowego na zamku w Przemyślu*, [w:] Sosnowska E. (red.), *Przemyśl wczesnośredniowieczny*, Warszawa, 243–268.

Szymański W.
1967 *Szeligi pod Płockiem na początku wczesnego średniowiecza*, Wrocław.

1968 *Przyczynek do dyskusji nad zagadnieniem znaków garncarskich na wczesnośredniowiecznej ceramice słowiańskiej*, „Archeologia Polski" 13/1–2, 219–223.

Tryon R. C.
1939 *Cluster Analysis*, Ann Arbor.

Wałowy A.
1979 *Późnośredniowieczne garncarstwo krakowskie w świetle źródeł archeologicznych*, „Materiały Archeologiczne" 19, Kraków.

Ward J. H.
1963 *Hierarchical grouping to optimize an objective function*, „Journal of the American Statistical Association" 58, 236–244.

Zielonka M.
2013 *Ceramika*, [w:] Kalaga J. (red.), *Sutiejsk. Gród pogranicza polsko-ruskiego w X–XIII wieku. Studium interdyscyplinarne*, Warszawa–Pękowice, 138–149.

Żaki A.
1974 *Archeologia Małopolski wczesnośredniowiecznej*, Wrocław–Warszawa–Kraków.

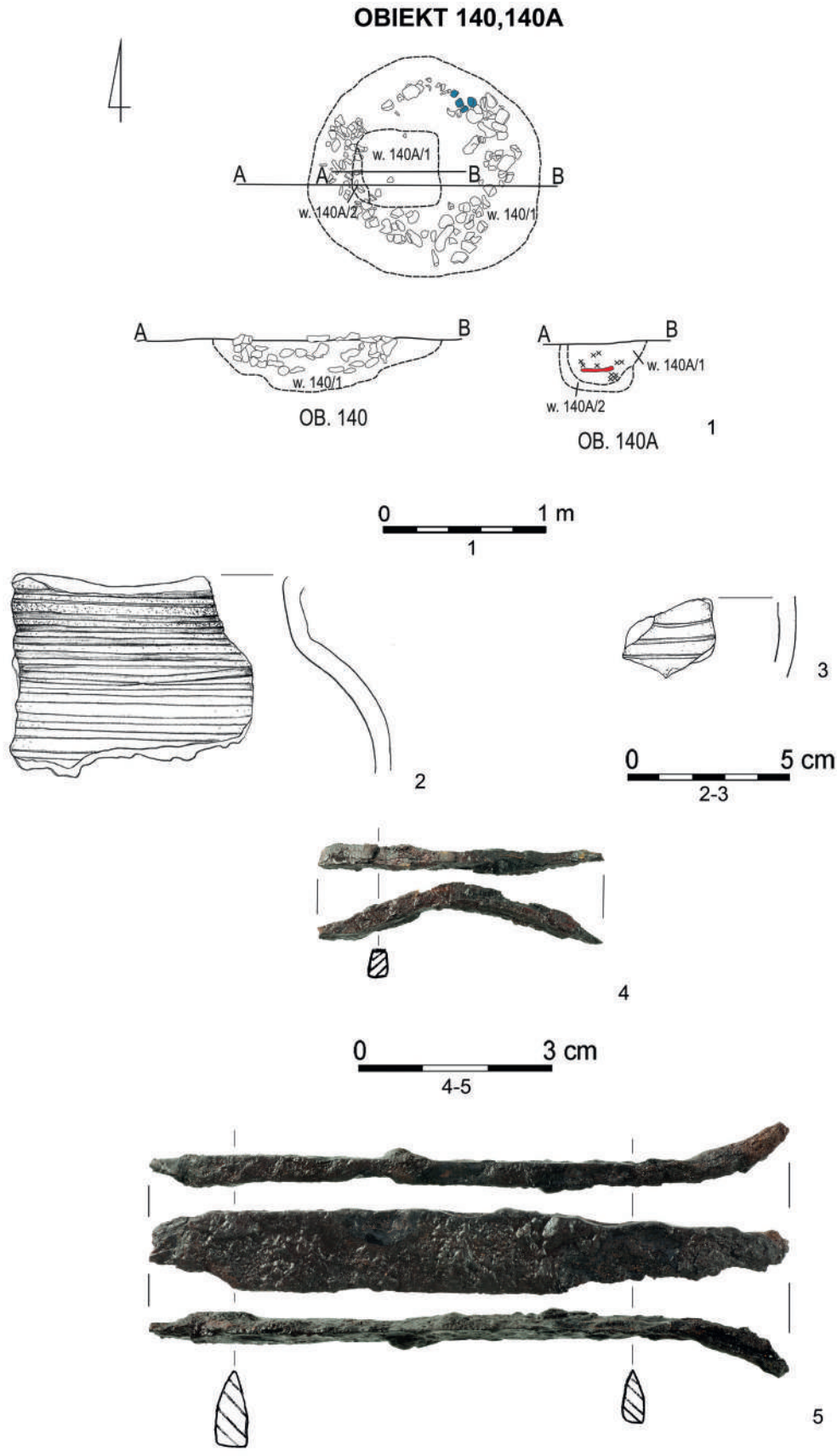


Tabl. 9.1. Jabłonica Ruska, stan. 1. Rzuty poziome i profile obiektów nr: 140 (1), 140A (1) oraz (2, 3, 4, 5)
Plate 9.1. Jabłonica Ruska, site 1. Plans and profiles of features 140 (1), 140A (1) and (2, 3, 4, 5)

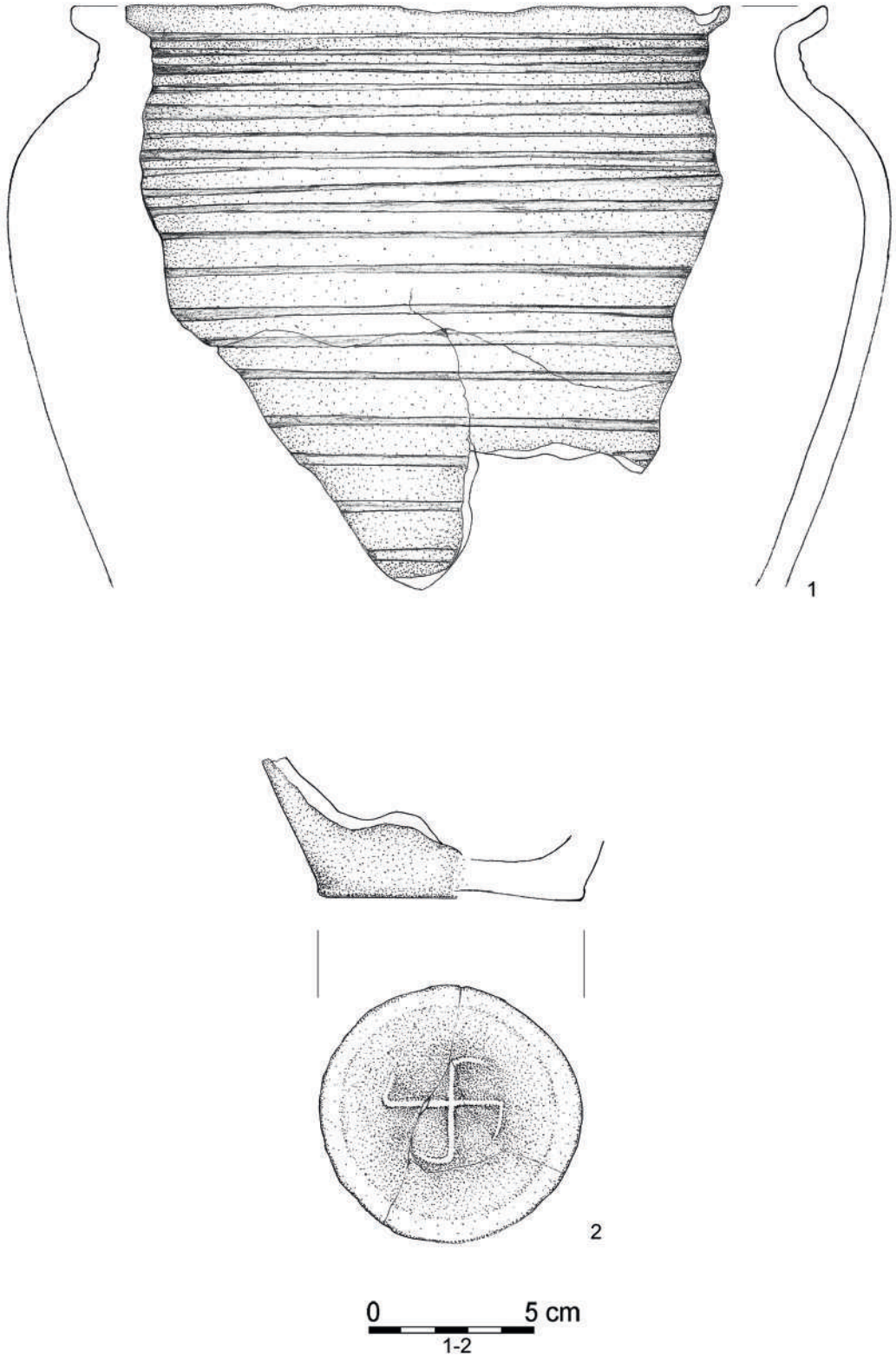


Tabl. 9.2. Jabłonica Ruska, stan. 1. Zabytki ceramiczne z obiektu nr 140A (1, 2)
Plate 9.2. Jabłonica Ruska, site 1. Pottery from feature 140A (1, 2)

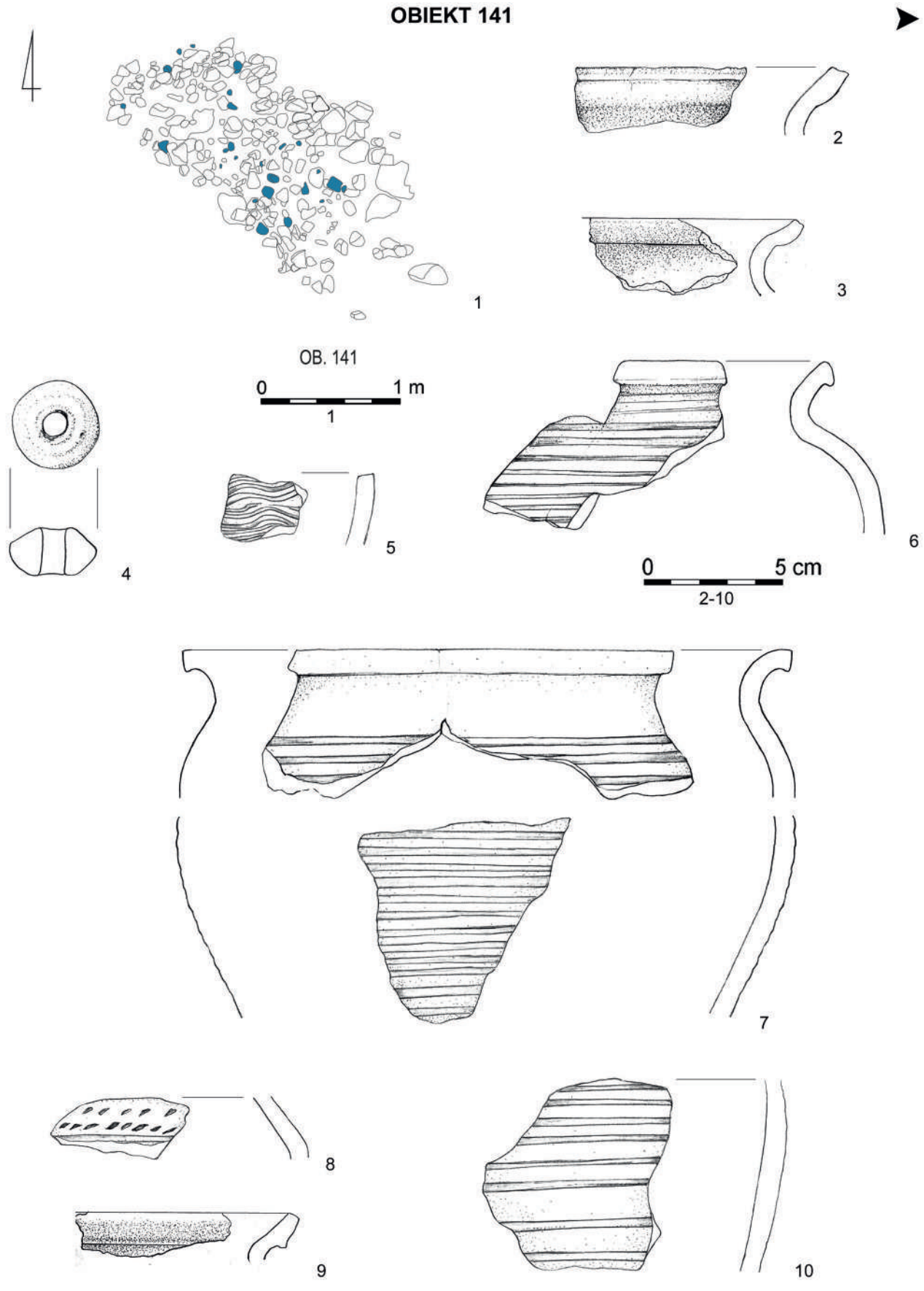


Tabl. 9.3. Jabłonica Ruska, stan. 1. Rzut poziomy oraz materiał zabytkowy z obiektu nr 141 (1, 2, 3, 4, 5, 6, 7, 8, 9, 10)
Plate 9.3. Jabłonica Ruska, site 1. Plan of feature 141 and artefacts found in feature 141 (1, 2, 3, 4, 5, 6, 7, 8, 9, 10)

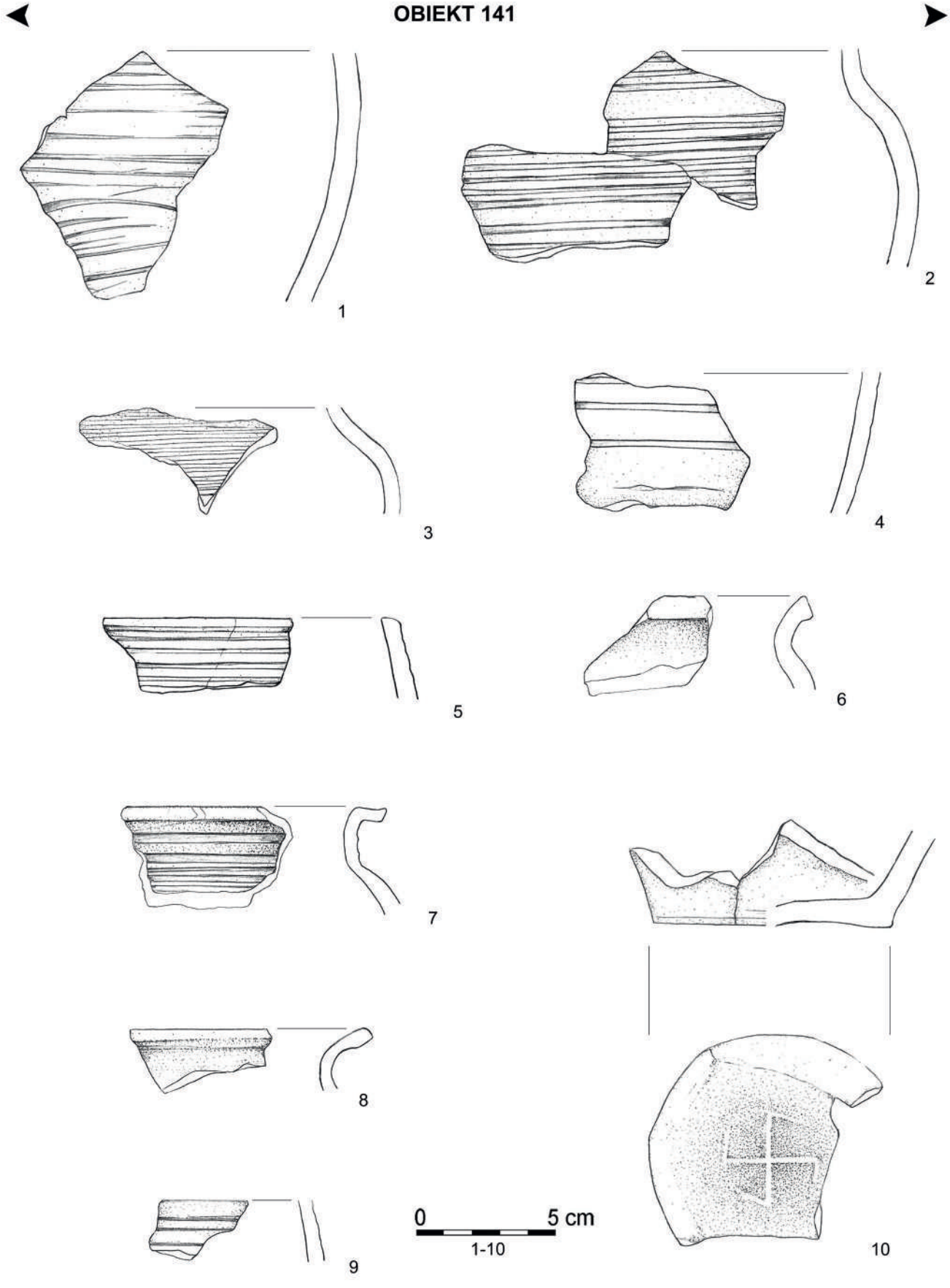


Tabl. 9.4. Jabłonica Ruska, stan. 1. Materiał zabytkowy z obiektu nr 141 (1, 2, 3, 4, 5, 6, 7, 8, 9, 10)
Plate 9.4. Jabłonica Ruska, site 1. Artefacts from feature 141 (1, 2, 3, 4, 5, 6, 7, 8, 9, 10)

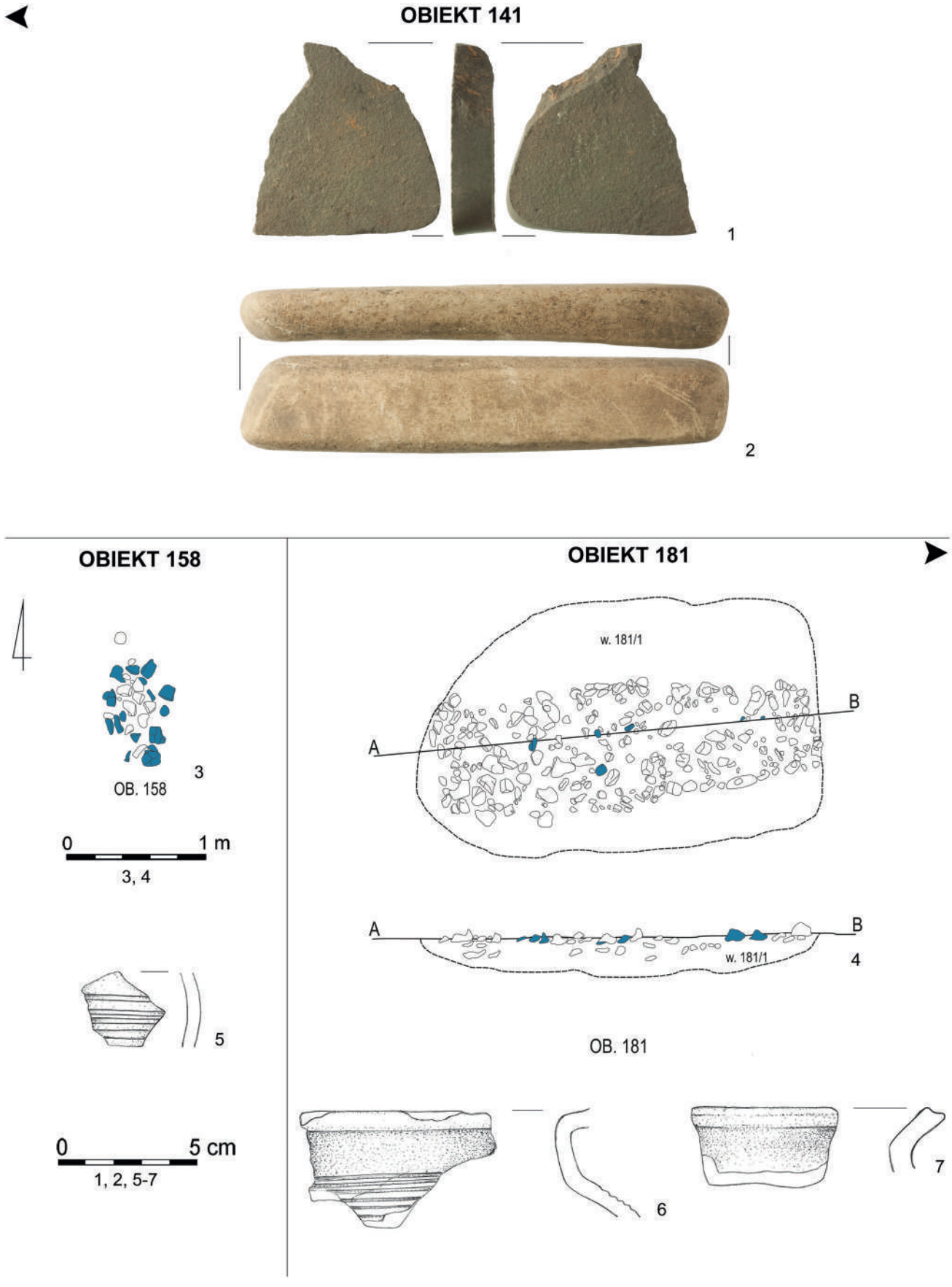


Tabl. 9.5. Jabłonica Ruska, stan. 1. Rzuty poziome i profil obiektów nr: 158 (3), 181 (4) oraz materiał zabytkowy z obiektu 141 (2, 3), 158 (5) oraz 181 (6, 7)
Plate 9.5. Jabłonica Ruska, site 1. Plans and profiles of features 158 (3) and 181 (4) and artefacts from features 141 (2, 3), 158 (5) and 181 (6, 7)

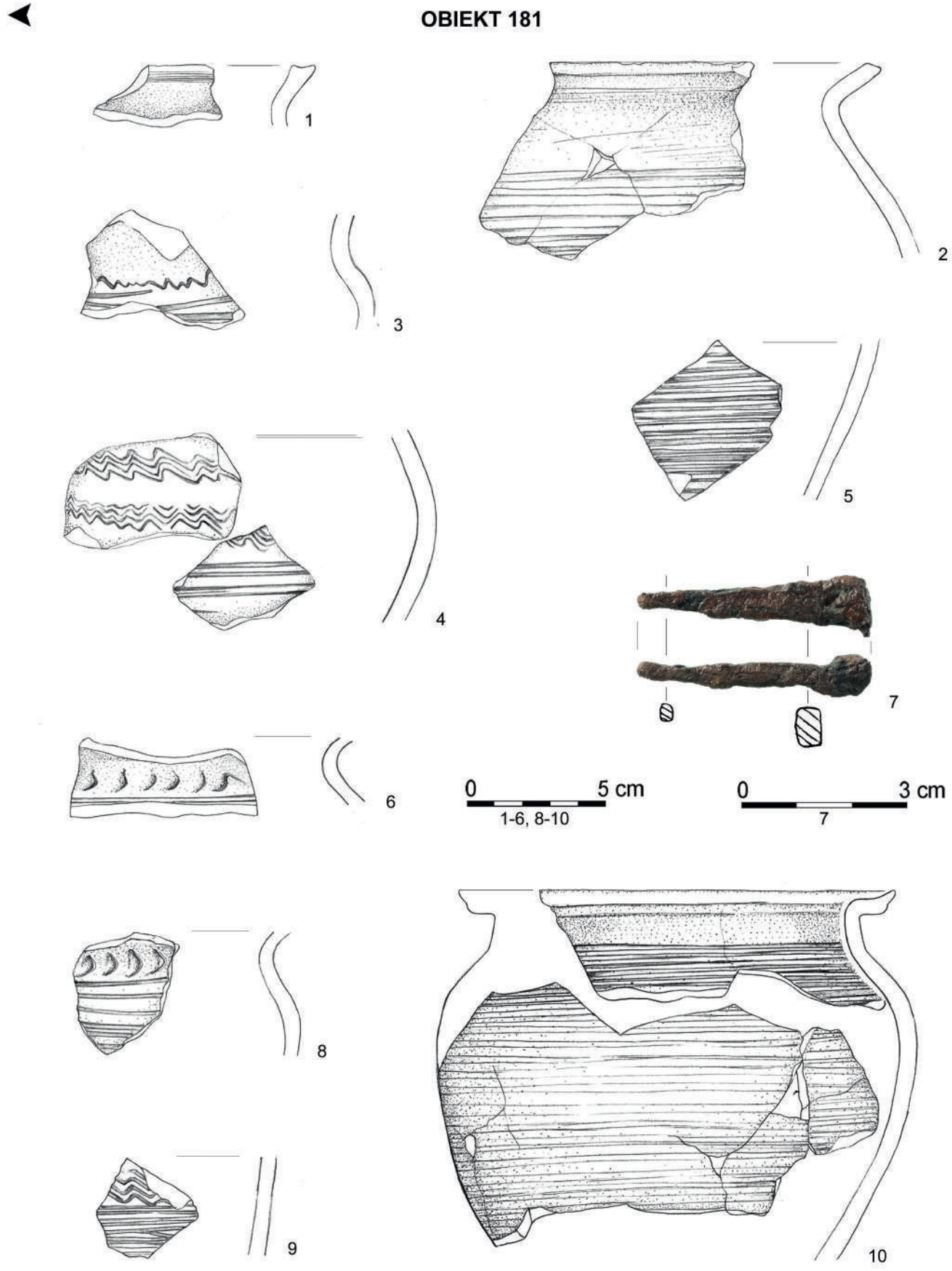


Tabl. 9.6. Jabłonica Ruska, stan. 1. Materiał zabytkowy z obiektu nr 181 (1, 2, 3, 4, 5, 6, 7, 8, 9, 10)
Plate 9.6. Jabłonica Ruska, site 1. Artefacts from feature 181 (1, 2, 3, 4, 5, 6, 7, 8, 9, 10)

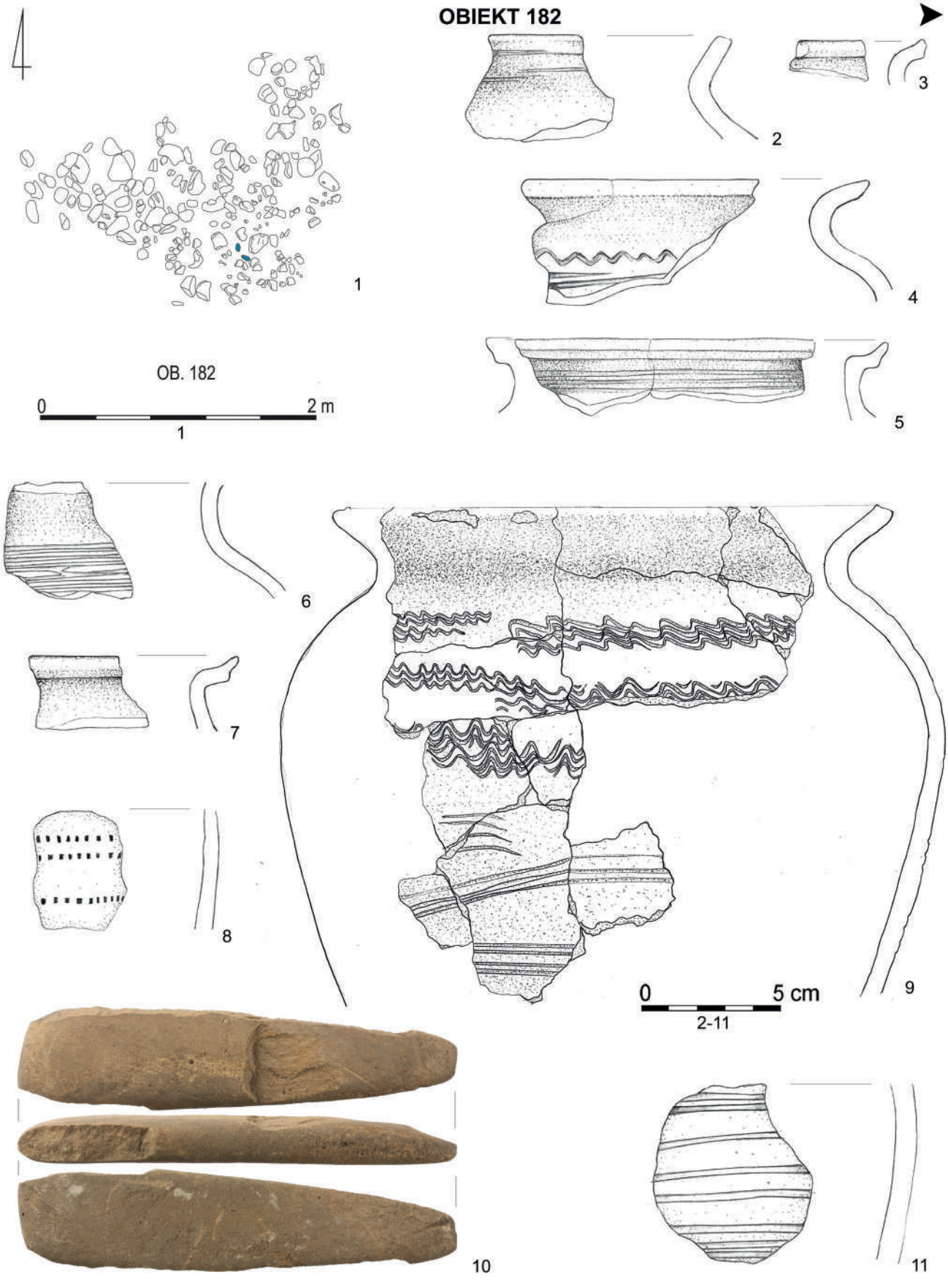


Tabl. 9.7. Jabłonica Ruska, stan. 1. Rzut poziomy oraz materiał zabytkowy z obiektu nr 182 (1, 2, 3, 4, 5, 6, 7, 8, 9, 10, 11)
Plate 9.7. Jabłonica Ruska, site 1. Plan of feature 182 and artefacts from feature 182 (1, 2, 3, 4, 5, 6, 7, 8, 9, 10, 11)

Tabl. 9.8. Jabłonica Ruska, stan. 1. Żarno z obiektu nr 181 (1)
Plate 9.8. Jabłonica Ruska, site 1. Quern stone from feature 181 (1)

Tabl. 9.9. Jabłonica Ruska, stan. 1. Żarno z obiektu nr 181 (1)
Plate 9.9. Jabłonica Ruska, site 1. Quern stone from feature 181 (1)

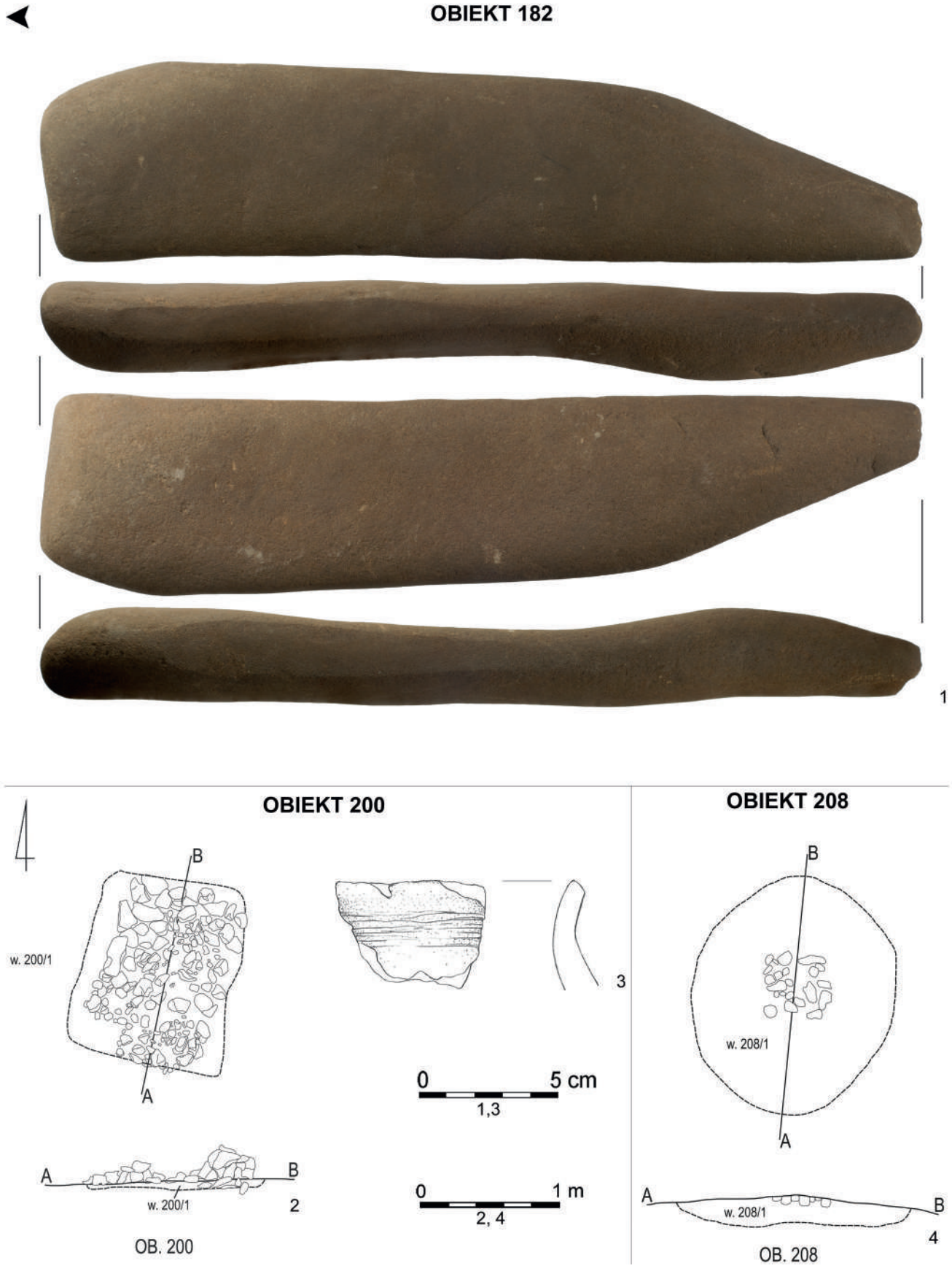


Tabl. 9.10. Jabłonica Ruska, stan. 1. Rzuty poziome i profile obiektów nr: 200 (2), 208 (4) oraz materiał zabytkowy z obiektu 182 (2) oraz 200 (3)
Plate 9.10. Jabłonica Ruska, site 1. Plans and profiles of features 200 (2), 208 (4) and artefacts from features 182 (2) and 200 (3)

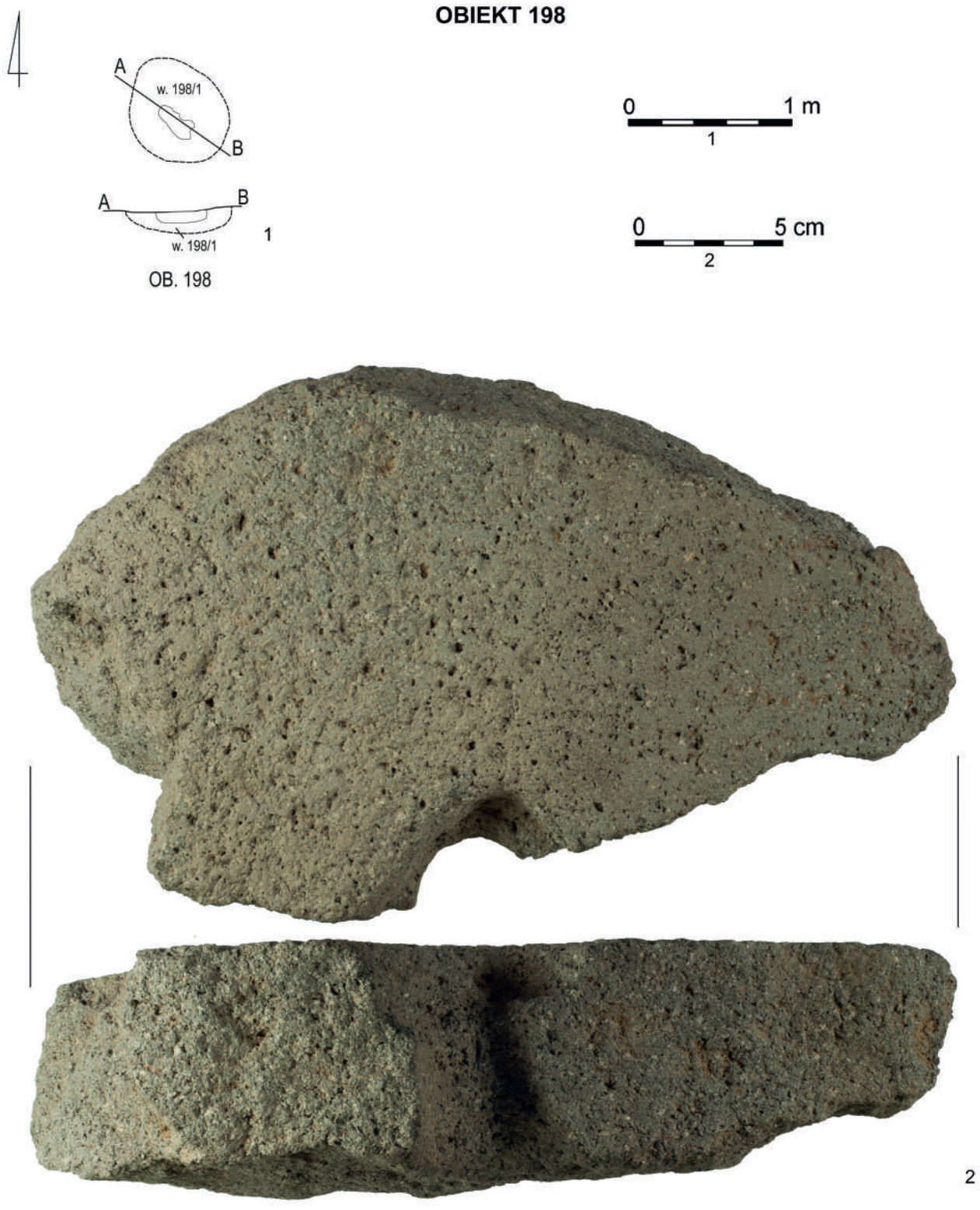


Tabl. 9.11. Jabłonica Ruska, stan. 1. Rzut poziomy oraz materiał zabytkowy z obiektu nr 198 (1, 2)
Plate 9.11. Jabłonica Ruska, site 1. Plan of feature 198 and artefacts from feature 198 (1, 2)

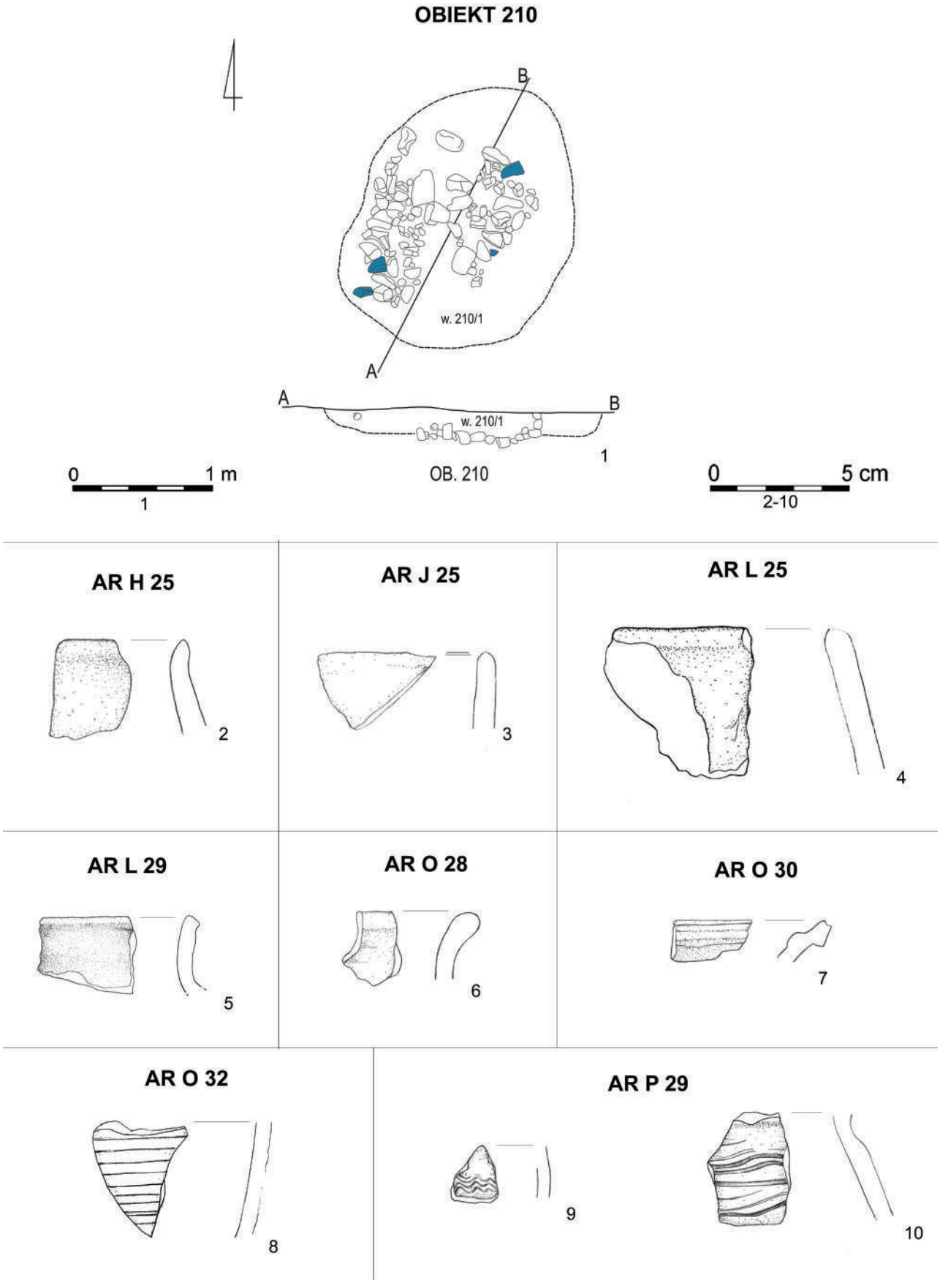


Tabl. 9.12. Jabłonica Ruska, stan. 1. Rzut poziomy obiektu nr 210 (1) oraz materiał zabytkowy z arów: H25 (2), J25 (3), L25 (4), L29 (5), O28 (6), O30 (7), O32 (8), P29 (9, 10)
Plate 9.12. Jabłonica Ruska, site 1. Plan of feature 210 (1) and artefacts found in ares: H25 (2), J25 (3), L25 (4), L29 (5), O28 (6), O30 (7), O32 (8), P29 (9, 10)

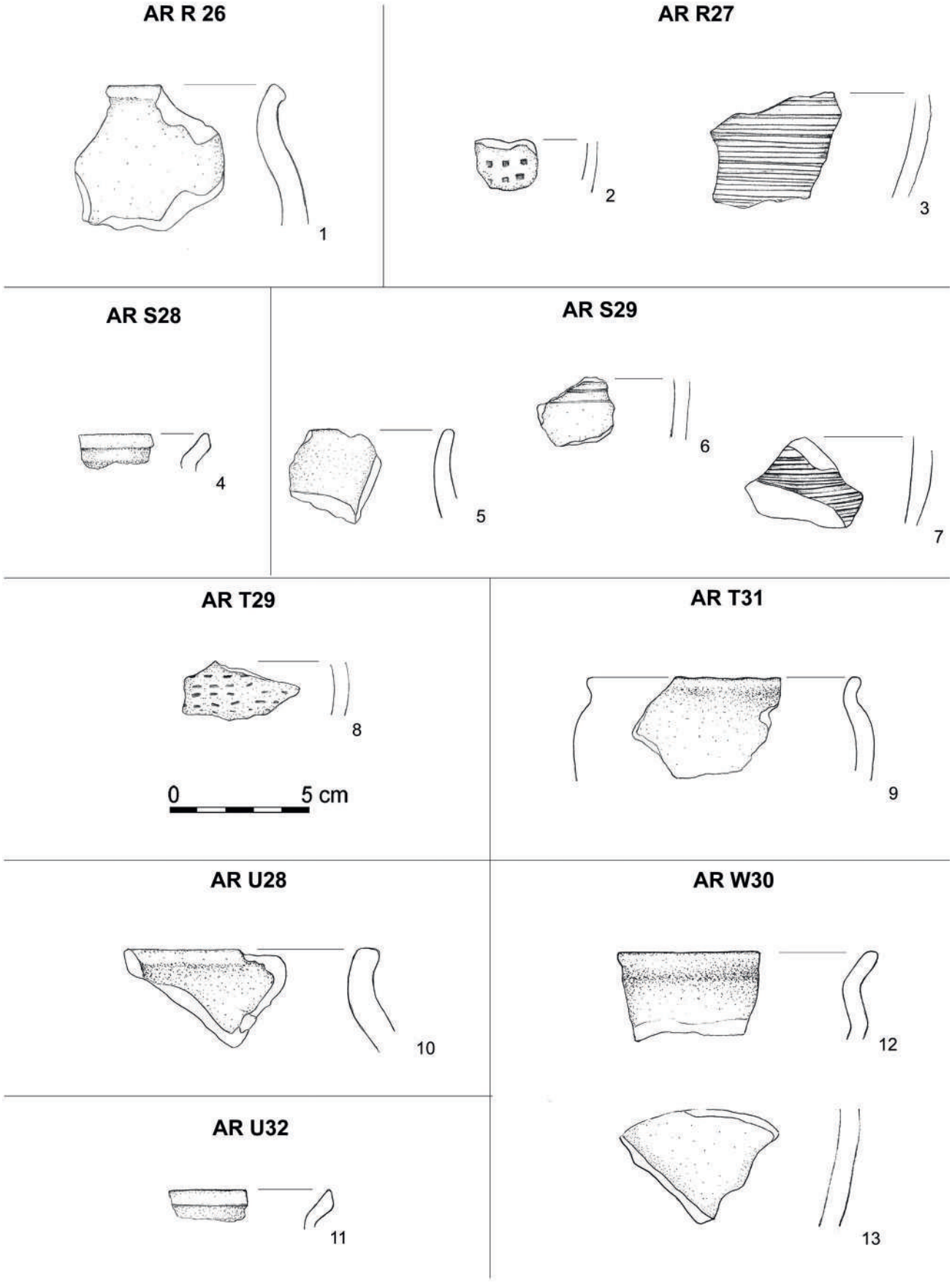


Tabl. 9.13. Jabłonica Ruska, stan. 1. Materiał zabytkowy z arów: R26 (1), R27 (2, 3), S28 (4), S29 (5, 6, 7), T29 (8), T31 (9), U28 (10), U32 (11), W30 (12, 13)
Plate 9.13. Jabłonica Ruska, site 1. Artefacts found in ares: R26 (1), R27 (2, 3), S28 (4), S29 (5, 6, 7), T29 (8), T31 (9), U28 (10), U32 (11), W30 (12, 13)

DANUTA MAKOWICZ-POLISZOT

# 10.
# Szczątki kostne zarejestrowane w trakcie badań na stanowisku Jabłonica Ruska 1
# Bones found during the exploration of the archaeological site no. 1 in Jabłonica Ruska

Analizie zoologicznej poddano 200 fragmentów kostnych (n), które pochodzą od 23 elementów szkieletu zwierząt (NISP). Wykonano oznaczenia gatunkowe i anatomiczne kości oraz określenia wieku i płci zwierząt. Wiek ustalono, biorąc pod uwagę stan uzębienia oraz stopień skostnienia szkieletu, natomiast płeć określono na podstawie poroża (tabela 1; Uerpmann 1972; Makowicz-Poliszot 1983, s. 269).

Zidentyfikowano pozostałości bydła *Bos taurus* L., kozy lub owcy *Capra hircus* L./*Ovis aries* L. oraz jelenia *Cervus elaphus* L. Do bydła należy większość szczątków: zęby, kości żuchwowe, kręg, żebro, łopatka, kości ramienna i promieniowa, śródręcze, kość miedniczna, śródstopie oraz człon palcowy I. Pochodzą one w 5 przypadkach od zwierząt prawie dorosłych, a w jednym – od osobnika dorosłego. Do kozy lub owcy należy ząb trzonowy zwierzęcia prawie dorosłego, a do jelenia – część poroża osobnika dorosłego płci męskiej. Siedem szczątków kostnych nie nadawało się do identyfikacji gatunkowej i anatomicznej. W badanym materiale wystąpiły 4 kości przepalone. Na porożu jelenia zauważono ślady ścinania i poprzecznych nacięć (ryc. 10.1., Tabela 10.1.).

10. 200 fragments of bones (n), which come from 23 elements of the animal skeleton (NISP), were subjected to zoological analysis. It resulted in the identification of the types of bones and the animals they come from as well as their age and sex. The age identification was based on the condition of the teeth and the degree of ossification of the skeleton, while the sex was determined according to the antlers (Plate 1; Uerpmann 1972; Makowicz-Poliszot 1983, p. 269).

Most of the remains come from cattle: teeth, mandible bones, vertebra, rib, scapula, humerus and radius bones, metacarpals, pelvic bone, metatarsus and phalanx I. They come, in 5 cases, from almost adult animals, and in one case - from an adult animal. The molar of an almost adult animal belonged to a goat or a sheep, while part of the antlers of an adult male to a deer. Seven fragments of bones could not be identified. There were 4 burnt bones in the material. There were traces of cutting and diagonal incisions on the deer antlers (Fig. 10.1., Table 10.1.).

Ryc. 10.1. Jabłonica Ruska, stan. 1. Ślady nacięć na porożu jelenia z obiektu nr 215
Fig. 10.1. Jabłonica Ruska, site 1. Traces of incisions on deer antlers from feature 215

Tabela 10.1. Jabłonica Ruska, stan. 1. Analiza gatunkowa i anatomiczna kości zwierząt

Table 10.1. Jabłonica Ruska, site 1. Types of bones and the animals they come from

| Nr inw. | Lokal. | Obiekt | Głębokość | Warstwa | Gatunek | Element szkieletu | n | NISP | Wielkość kości | Wiek osobnika | Strona ciała | Płeć osobnika | Uwagi |
|---|---|---|---|---|---|---|---|---|---|---|---|---|---|
| 126/P | M27 | 84/D | D-Spąg | 84 | *Bos taurus* L. | *Phalanx* I *prox.* | 1 | 1 | 0,3 | – | – | – | przepalony |
| 126/P | M27 | 84/D | D-Spąg | 84 | nieokreślony | nieokreślony | 3 | 3 | 0,3 | – | – | – | przepalony |
| 151/P | T30 | 188 | B-Spąg | 188/1 | *Bos taurus* L. | *Mandibula diaph.* | 4 | 1 | 0,3 | – | – | – | 4 fr. kości |
| 157/B | S32 | 147/A | C-Spąg | 147/1 | *Capra hircus* L. *Ovis aries* L. | *M* górny | 10 | 1 | 0,5 | *sub.* | – | – | 10 fr. zęba |
| 164/B | S29 | 200/B | Spąg | 200/1 | *Bos taurus* L. | *P* lub *M* | 20 | 1 | 0,5 | *sub.* | – | – | 20 fr. zęba |
| 164/B | S29 | 200/B | Spąg | 200/1 | *Bos taurus* L. | *M3* dolny | 1 | 1 | 0,5 | *sub.* | *dext.* | – | – |
| 165/P | R31 | 141 | B-C | 141/1 | *Bos taurus* L. | *Mandibula* + *P3,P4 rosnące* | 15 | 1 | 0,3 | *sub.* | *dext.* | – | 15 fr. kości |
| 165/P | R31 | 141 | B-C | 141/1 | *Bos taurus* L. | *Vertebra* | 1 | 1 | 0,3 | – | – | – | – |
| 165/P | R31 | 141 | B-C | 141/1 | *Bos taurus* L. | *Costa* | 1 | 1 | 0,3 | – | - | - | - |
| 165/P | R31 | 141 | B-C | 141/1 | *Bos taurus* L. | *Scapula acetab.* | 10 | 1 | 0,3 | *sub.* | *dext.* | – | 10 fr. kości |
| 165/P | R31 | 141 | B-C | 141/1 | *Bos taurus* L. | *Pelvis acetab.* | 10 | 1 | 0,3 | *ad.* | – | – | 10 fr. kości |
| 165/P | R31 | 141 | B-C | 141/1 | *Bos taurus* L. | *Metatarsus prox.* | 23 | 1 | 0,5 | – | *sin.* | – | 23 fr. kości |
| 165/P | R31 | 141 | B-C | 141/1 | nieokreślony | nieokreślony | 3 | 3 | 0,3 | – | – | – | – |
| 184/P | R31 | 141 | B-Spąg | 141 | *Bos taurus* L. | *Humerus diaph.* | 23 | 1 | 0,3 | – | *sin.* | – | 23 fr. kości |
| 184/P | R31 | 141 | B-Spąg | 141 | *Bos taurus* L. | *Radius prox.* | 4 | 1 | 0,3 | – | *dext.* | – | 4 fr. kości |
| 202/P | W30 | 222 | B-Spąg | 222/1 | *Bos taurus* L. | *M* dolny | 10 | 1 | 0,5 | *sub.* | – | – | 10 fr. zęba |
| 202/P | W30 | 222 | B-Spąg | 222/1 | nieokreślony | nieokreślony | 1 | 1 | 0,3 | – | – | – | – |
| 203/P | V30 | 215 | B-Spąg | 215/1 | *Cervus elaphus* L. | *Os cornu* | 50 | 1 | 0,3 | *ad.* | – | męska | 50 fr.poroża, ślady ścinania i nacięć |
| 204/P | R31 | 141 | B-Spąg | 141/1 | *Bos taurus* L. | *Metacarpus prox.* | 10 | 1 | 0,3 | – | *sin.* | – | 10 fr. kości |
| | Razem | 200 | 23 | | | | | | | | | | |

Skróty w tabeli: *prox.* (*proximalis*) – koniec bliższy, *diaph.* (*diaphysis*) – trzon, *acetab.* (*acetabulum*) – panewka, *sub.* (*subadultus*) – prawie dorosły, *ad.* (*adultus*) – dorosły, *dext.* (*dextra*) – prawa, *sin.* (*sinistra*) – lewa

LITERATURA

Makowicz-Poliszot D.
1983 *Hodowla zwierząt u społeczności ludzkich dorzecza górnej Wisły w eneolicie i we wczesnej epoce brązu. (Uwagi o programie badań)*, „Sprawozdania Archeologiczne" 35, 263–274.

Uerpmann H.P.
1972 *Tierknochenfunde und Wirtschaftsarchäologie. Eine kritische Studie der Methoden der Osteo-Archäologie*, „Abhandlungen und Berichte. Archäologische Informationen" 1, 9–27.

ZOFIA TOMCZYŃSKA

# 11.
# Wyniki analizy szczątków makroskopowych roślin ze stanowiska Jabłonica Ruska 1
# Results of the analysis of macroscopic remains of plants from the archaeological site no. 1 in Jabłonica Ruska

Zbadano 21 prób z pięciu okresów wytypowanych na tym stanowisku. Początkowa objętość prób wziętych do szlamowania wynosiła 30–750 cm$^3$. Segregację przeszlamowanego materiału i jego oznaczenie przeprowadzono przy użyciu lupy binokularnej oraz mikroskopu metalurgicznego. Wybrany materiał roślinny składał się z małych fragmentów węgli drzewnych, których objętość wynosiła od 0,3 do 10 cm$^3$ a wielkość 0,2–2,0 cm. W większości przypadków węgle zachowały się w postaci spieku lub rozpadających się fragmentów. W kilku próbach wystąpiła duża ilość miału węglowego. Oprócz fragmentów węgli w kilku próbach oznaczono pojedyncze ziarna zbóż oraz nasiona roślin zielnych. Otrzymane próby pochodziły z różnych okresów – pięć prób z epoki brązu, jedna z okresu wczesnego żelaza, dziewięć prób z okresu wpływów rzymskich, dwie próby z okresu wczesnosłowiańskiego i dwie próby z wczesnego średniowiecza.

W próbach z epoki brązu oznaczono fragmenty węgli buka (*Fagus sylvatica*), wiązu (*Ulmus* sp.), brzozy (*Betula* sp.), klonu (*Acer* sp.), wierzby (*Salix* sp.), porzeczki (*Ribes* sp.) oraz jabłkowych (Pomoideae). W próbach z tego okresu oznaczono niewielkie ilości zbóż w postaci jęczmienia zwyczajnego (*Hordeum vulgare*), prosa zwyczajnego (*Panicum miliaceum*) i 1 fragment ziarna zbóż. Oznaczono również 1 fragment rdestówki powojowej (*Fallopia convolvulus*) oraz 1 fragment komosy (*Chenopodium* sp.).

W próbie z wczesnego okresu żelaza oznaczono dwa gatunki drzew – grab pospolity (*Carpinus betulus*) oraz dąb (*Quercus* sp.).

21 samples from five time periods were examined. The initial volume of the samples selected for flotation was 30–750 cm3. The segregation of the flotated material and its marking was carried out using a binocular magnifier and a metallurgical microscope. The selected plant material consisted of small pieces of charcoal, the volume of which was 0.3–10 cm$^3$ and the size was 0.2–2.0 cm. In most cases, the charcoal was preserved in the form of lumps or brittle pieces. A large amount of coal dust was found in several samples. Apart from charcoal fragments, in several samples, there were single cereal grains and seeds of herbs. The obtained samples came from different periods – there were five samples from the Bronze Age, one sample from the early Iron Age, nine samples from the Roman period, two samples from the early Slavic period and two samples from the Early Middle Ages.

In the samples from the Bronze Age, fragments of charcoal from beech (Fagus sylvatica), elm (Ulmus sp.), birch (Betula sp.), maple (Acer sp.), willow (Salix sp.), currant (Ribes sp.) and apple trees (Pomoideae) were identified. In the samples from this period, there were small amounts of cereals in the form of barley (Hordeum vulgare), millet (Panicum miliaceum) and 1 piece of cereal grain as well as 1 fragment of wild buckwheat (Fallopia convolvulus) and 1 fragment of goosefoot (Chenopodium sp.)

In the sample from the early Iron Age, two tree species were identified – hornbeam (Carpinus betulus) and oak (Quercus sp.).

W dziewięciu próbach z okresu wpływów rzymskich oznaczono następujące fragmenty węgli drzew i krzewów: buka zwyczajnego w sześciu próbach, grab pospolity w trzech próbach oraz pojedynczo wiąz (*Ulmus* sp.), olcha (*Alnus* sp.), dąb, bez czarny (*Sambucus nigra*), jesion wyniosły (*Fraxinus excelsior*), kruszyna pospolita (*Frangula alnus*), bluszcz pospolity (*Hedera helix*) oraz jabłkowe, a z roślin zielnych przytulia leśna (*Galium sylvaticum*). W próbach było bardzo dużo miału węglowego oraz fragmenty pokruszonych kamieni.

Okres wczesnosłowiański to dwie próby, w których oznaczono najwięcej fragmentów wierzby (*Salix* sp.) i buka zwyczajnego oraz olchy, leszczyny pospolitej i jabłkowych. Z roślin zielnych oznaczono komosę wielonasienną (*Chenopodium polyspermum*) i jasnotę (*Chenopodium* sp.). W jednej z prób było dużo miału węglowego.

W czterech próbach z okresu wczesnego średniowiecza przeważają fragmenty dębu oraz w niewielkiej ilości jodły pospolitej (*Abies alba*), buka zwyczajnego, jesionu wyniosłego i jabłkowych. Oznaczono również trzy ziarna pszenicy (*Triticum* sp.) i jedno ziarno prosa zwyczajnego. W próbach były też małe fragmenty kości i zębów małych zwierząt oraz duża ilość miału węglowego.

We wszystkich okresach przeważa buk zwyczajny oraz grab pospolity, oprócz wczesnego średniowiecza, w którym dominuje dąb. Wyniki przedstawiono w tabeli 11.1.

In the nine samples from the Roman period, the following fragments of tree and shrub charcoal were found: beech in 6 samples, hornbeam in 3 samples and, in one sample, elm (Ulmus sp.), alder (Alnus sp.), oak, elderberry (Sambucus nigra), ash (Fraxinus excelsior), alder buckthorn (Frangula alnus), ivy (Hedera helix) and apple trees as well as wood bedstraw (Galium sylvaticum). There was a lot of coal dust and fragments of crushed stone in the samples.

The early Slavic period was represented by two samples in which the most numerous were fragments of willow (Salix sp.) and beech, as well as alder, hazel and apple trees. As for herbs, manyseed goosefoot (Chenopodium polyspermum) and jasmine (Chenopodium sp.) were also there. In one of the samples, there was a lot of coal dust.

In four samples from the Early Middle Ages, there were mainly fragments of oak and, in a small amount, silver fir (Abies alba), beech, ash and apple trees. Three wheat grains (Triticum sp.) and one millet grain were also identified. The samples also included small fragments of bones and teeth of small animals and a large amount of coal dust.

When it comes to all the periods, beech and hornbeam predominate, except for the Early Middle Ages samples, which are dominated by oak. The results are shown in the attached Table 11.1.

Tabela 11.1. Zestawienie wyników badań paleobotanicznych

Table 11.1. Results of palaeobotanical analysis

| Lp. | obiekt | objętośĆ próby ($cm^3$) | wielkość fragmentów (cm) | objętość węgli ($cm^3$) | nieoznaczone ($cm^3$) | *Abies alba* | *Acer* sp. | *Betula* sp. | *Salix* sp. | *Ulmus* sp. | *Alnus* sp. | *Fagus sylvatica* | *Carpinus betulus* | *Quercus sp.* | *Corylus avellana* | *Sambucus nigra* | *Fraxinus excelsior* | *Frangula alnus* | *Hedera helix* | Pomoideae | Ribes sp. | *Hordeum vulgare* | Cerealia | *Triticum* sp. | *Panicum miliaceum* | *Fallopia convolvulus* | *Chenopodium polyspermum* | *Chenopodium* sp. | *Galium sylvaticum* | *Lamium* sp. |
|---|---|---|---|---|---|---|---|---|---|---|---|---|---|---|---|---|---|---|---|---|---|---|---|---|---|---|---|---|---|---|
| **EPOKA BRĄZU** | | | | | | | | | | | | | | | | | | | | | | | | | | | | | | |
| 1 | **2/B** | 200 | 0,1-0,5 | 0,8 | 0,3 | | | | | | | 4 | | | | | | | | 5 | 3 | | | | | | | | | |
| 2 | **10/B** | 400 | 0,2-0,7 | 1 | 0,3 | | | | | 7 | | | | | | | | | | | | | | | | | | | | |
| 3 | **15/B** | 450 | 0,3-0,7 | 10 | 2 | | 10 | 7 | | | | 10 | | | | | | | | 17 | | 3 i 1/2 | | | | | | | | |
| 4 | **191/B** | 400 | 0,2-2,0 | 4 | 1 | | 39 | | | | | 5 | | | | | | | | | | 1/2 | 1 fr. | | 3 | 1 fr. | | 1 fr. | | |
| 5 | **225/B** | 300 | 1,5 3 fr. | 0,5 | – | | | | 3 | | | | | | | | | | | | | | | | | | | | | |
| **WCZESNA EPOKA ŻELAZA** | | | | | | | | | | | | | | | | | | | | | | | | | | | | | | |
| 1 | **130/A** | 400 | 0,2-0,8 | 1,8 | 0,2 | | | | | | | | 20 | 3 | | | | | | | | | | | | | | | | |
| **OKRES RZYMSKI** | | | | | | | | | | | | | | | | | | | | | | | | | | | | | | |
| 1 | **84/A** | 350 | 0,2-0,5 | 0,5 | 0,1 | | | | | | | 7 | | | | | | | | | | | | | | | | | | |
| 2 | **94/B** | 350 | 0,3-1,5 | 6 | 2 | | | | | | | | 80 | | | | | | | | | | | | | | | | | |
| 3 | **100/B** | 40 | 0,1-0,5 | 0,3 | 0,1 | | | | | | | 2 | | | | | | | | 1 | | | | | | | | | | |
| 4 | **132/A** | 450 | 0,2-1 | 2 | 0,2 | | | | | | | 15 | | | | 8 | | | 4 | | | | | | | | | | | |
| 5 | **147/A** | 200 | 0,2-0,7 | 1,5 | 0,3 | | | | | | | 5 | 13 | | | | | | | | | | | | | | | | 1 | |
| 6 | **133/A** | 400 | 0,2-0,5 | 1 | 0,2 | | | | | | | 5 | | | | | | 2 | | | | | | | | | | | | |
| 7 | **157/C** | 380 | 0,2-0,5 | 2 | 0,5 | | | | | | | 4 | 8 | 5 | | 1 | | | | | | | | | | | | | | |
| 8 | **189** | 400 | 0,2-0,4 | 0,7 | 0,2 | | | | | | 6 | | | | | | | 2 | | | | | | | | | | | | |

| Lp. | obiekt | objętośĆ próby ($cm^3$) | wielkość fragmentów (cm) | objętość węgli ($cm^3$) | nieoznaczone ($cm^3$) | *Abies alba* | *Acer* sp. | *Betula* sp. | *Salix* sp. | *Ulmus* sp. | *Alnus* sp. | *Fagus sylvatica* | *Carpinus betulus* | *Quercus sp.* | *Corylus avellana* | *Sambucus nigra* | *Fraxinus excelsior* | *Frangula alnus* | *Hedera helix* | Pomoideae | Ribes sp. | *Hordeum vulgare* | Cerealia | *Triticum* sp. | *Panicum miliaceum* | *Fallopia convolvulus* | *Chenopodium polyspermum* | *Chenopodium* sp. | *Galium sylvaticum* | *Lamium* sp. |
|---|---|---|---|---|---|---|---|---|---|---|---|---|---|---|---|---|---|---|---|---|---|---|---|---|---|---|---|---|---|---|
| 9 | **214/B** | 750 | 0,2-1,3 | 4,5 | 0,7 | | | | | 2 | 4 | | | | | | 10 | | | | | | | | | | | | | |
| **OKRES WCZESNOSŁOWIAŃSKI** | | | | | | | | | | | | | | | | | | | | | | | | | | | | | | |
| 1 | **31/B** | 500 | 0,2-0,7 | 2 | 0,5 | | | | | | | 23 | 6 | | | | | | | | | | | | | | | | | |
| 2 | **107** | 400 | 0,3-1,0 | 2,5 | 0,3 | | | | 30 | | 2 | | | | 3 | | | | | 1 | | | | | | | 2 | | | 1 |
| **WCZESNE ŚREDNIOWIECZE** | | | | | | | | | | | | | | | | | | | | | | | | | | | | | | |
| 1 | **140/A/B** | 300 | 0,2-1,0 | 5 | 3 | | | | | | | | | 27 | | | | | | | | | | 3 | 1 | | | | | |
| 2 | **140/B** | 30 | 0,3-1,5 | 3 | 0,8 | | | | | | | | | 54 | | | | | | | | | | | | | | | | |
| 3 | **181** | 250 | 0,1-0,5 | 1 | 0,2 | 5 | | | | | | | | 13 | | | | | | 9 | | | | | | | | | | |
| 4 | **220/A** | 350 | 0,2-0,6 | 1 | 0,2 | | | | | | | 9 | | | | | 4 | | | | | | | | | | | | | |

MIROSŁAW MAZUREK, ANNA OKONIEWSKA

# 12.
# Podsumowanie
# Summary

Podczas badań wykopaliskowych przeprowadzonych na stanowisku Jabłonica Ruska 1 przebadano 140,78 ara. W ich trakcie rozpoznano 225 obiektów oraz warstwy (nasycone zabytkami) powstałe w wyniku procesów stokowych, które wypełniły obniżenie ukształtowane prawdopodobnie wskutek gwałtownych powodzi.

Wśród jam wyróżniono 102 związane z epoką brązu i wczesną epoką żelaza, 64 obiekty z okresu wpływów rzymskich. Ponadto przebadano 19 jam z okresu wczesnosłowiańskiego, 10 obiektów wczesnośredniowiecznych oraz 30 o nieokreślonej chronologii. W warstwach akumulacyjnych zarejestrowano natomiast ceramikę kultury pucharów lejkowatych, kultury trzcinieckiej, łużyckiej, z okresu wpływów rzymskich oraz pojedyncze zabytki krzemienne i kamienne.

Najstarszą fazę chronologiczną na stanowisku w Jabłonicy Ruskiej można łączyć z młodszą epoką kamienia. Reprezentują ją zarejestrowane w warstwie oraz na złożu wtórnym zabytki krzemienne oraz ceramiczne. Pojedyncze znaleziska wykonane z krzemienia czekoladowego, takie jak wiórowiec oraz drapacz, potwierdzają neolityczny ślad osadnictwa na tych terenach. Odkryte fragmenty ceramiki wskazują natomiast, że przynajmniej częściowo możemy je łączyć z aktywnością ludności kultury pucharów lejkowatych.

O epizodycznym charakterze osadnictwa możemy również mówić w przypadku pozostałości związanych z ludnością kultury trzcinieckiej. Na stanowisku nie odnotowano bowiem żadnych obiektów związanych z wyróżnionym horyzontem osadniczym, natomiast odkryto niewielki,

During the excavations carried out at the archaeological site no. 1 in Jabłonica Ruska, 140.78 ares were investigated. 225 features and layers (saturated with artefacts), created as a result of floods and slope washing processes which filled the depression, were identified.

Among the pits, 102 are linked to the Bronze Age and the early Iron Age and 64 features are from the Roman period. In addition, 19 pits from the early Slavic period, 10 features from the Early Middle Ages and 30 features with unidentified chronology were found. In the accumulation layers, there was the pottery of the Funnel Beaker culture, the Trzciniec culture, the Lusatian culture, as well as the pottery from the Roman period and single flint and stone artefacts.

The oldest chronological phase at the site in Jabłonica Ruska can be associated with the younger Stone Age. It is represented by flint and ceramic artefacts discovered in the layer and in the secondary deposit. Single finds made of chocolate flint, such as a retouched blade and an endscraper, confirm the Neolithic settlement in the area. The discovered fragments of pottery indicate, however, that we can connect, at least some of them, with the population of the Funnel Beaker culture.

The episodic nature of the settlement is also confirmed when it comes to the remains linked to the Trzciniec culture. At the site, no features related to this settlement horizon were discovered, but there was a small but characteristic assemblage of pottery of that culture at the site.

ale charakterystyczny zbiór ceramiki omawianej kultury.

W trakcie prac badawczych zadokumentowano również dużą osadę z epoki brązu/ wczesnej epoki żelaza. Odnotowano 102 obiekty związane z ludnością kultury łużyckiej, której rozpiętość chronologiczna sięga od młodszego okresu epoki brązu po początki okresu lateńskiego. Poświadczają to liczne znaleziska m.in. fragmenty waz i mis zdobione szerokimi, skośnymi kanelurami, naczynia typu Niepla oraz południowe importy w postaci toczonego na kole garncarskim kubka i zdobionego przęślika. Ponadto potwierdzają to także wyniki badań radiowęglowych. Patrząc na rozlokowanie obiektów, można stwierdzić, iż przebadana osada prawdopodobnie dzieliła się na dwie części, zachodnią i znacznie większą wschodnią.

Stanowisko w Jabłonicy Ruskiej zasiedlane było także w okresie wpływów rzymskich. Z horyzontem tym związanych było siedem obiektów wziemnych o konstrukcjach słupowych. Ponadto zarejestrowano 12 obiektów z warstwami kamieni w tym paleniska oraz 2 jamy. Na uwagę zasługuje tu znalezisko fibuli, która na terenie objętym osadnictwem barbarzyńskim pojawia się niezwykle rzadko. Analiza tego okresu pozwoliła stwierdzić, iż osada funkcjonowała od fazy B2 wczesnego okresu wpływów rzymskich, po fazę B2b (B2/C1) – C1b/C2.

Znaczące jest odnotowanie aż 19 obiektów, które wydatowano na początek wczesnego średniowiecza – okres wczesnosłowiański (V/VI – VII w.). Należy zaznaczyć, że dotychczas nie natrafiono na równie rozległą osadę z tej epoki w Karpatach. Dziewięć spośród zarejestrowanych jam to prawdopodobnie półziemianki. Znaczna ich część zachowała się w formie szczątkowej lub jako destrukt kamiennego paleniska, który w nich funkcjonował. Podczas prac badawczych zadokumentowano sporą liczbę zabytków ceramiki naczyniowej, kamiennych narzędzi oraz jeden fragment metalu.

W trakcie badań wydzielono także 10 obiektów datowanych na X–XIII w., które odnotowano głównie we wschodniej części przebadanego obszaru. Materiał wczesnośredniowieczny zarejestrowano także na powierzchni arów podczas ich doczyszczania. Odkryte obiekty były najprawdopodobniej

A large Bronze Age/early Iron Age settlement was also discovered. There are 102 features connected with the Lusatian culture, the chronological span of which goes from the early Bronze Age to the beginning of the La Tène period. It is evidenced by numerous finds, including fragments of vases and bowls decorated with wide, oblique flutes, Niepla type vessels and southern imports in the form of a wheel-thrown mug and a decorated spindle whorl. In addition, it is also confirmed by the results of radiocarbon tests. Looking at the location of the features, it can be concluded that the examined settlement was probably divided into two parts, the western part and the much larger eastern part.

The site in Jabłonica Ruska was also inhabited during the Roman period. This period was linked to seven semi-sunken post-frame structures. In addition, 12 features with layers of stones were found, including hearths and 2 pits. The discovered fibula, the kind of artefact which appears extremely rarely in the barbarian settlement area, is also quite interesting. The analysis of this period resulted in the conclusion that the settlement functioned from phase B2 of the early Roman period to phase B2b (B2 / C1) – C1b/C2.

It is quite unusual to discover as many as 19 features dated to the beginning of the Early Middle Ages – the early Slavic period (5th/6th – 7th century). It should be noted that so far no such a large settlement from this period has been found in the Carpathians. Nine of the found pits are probably shallow pit-houses. Most of them are very poorly preserved or preserved only in the form of a destroyed stone hearth that functioned in them. During the research, a large number of pottery, stone tools and one metal object were found.

10 features dated to the period from the 10th to the 13th century were also identified. They were located mainly in the eastern part of the investigated area. The materials from the Early Middle Ages were also discovered on the surface of the ares. The features were most likely connected with the utility zone of the settlement, the residential part of which was probably not far away. This

związane z gospodarczą strefą osady, której część mieszkalna zapewne mieściła się w niedalekiej odległości. Wskazywałyby na to zachowane kamienne bruki, które prawdopodobnie stanowiły pozostałości po paleniskach i piecach.

Jabłonica Ruska 1 stanowi niemal wzorcowy przykład osady wielokulturowej, co potwierdziły prowadzone badania. Silnie wyodrębniony cypel prawobrzeżnej terasy Sanu stanowił dogodne miejsce do zakładania osad w pradziejach, ale także we wczesnym średniowieczu.

is evidenced by the preserved stone pavements, which were probably the remains of hearths and ovens.

Jabłonica Ruska 1 is almost a model example of a multicultural settlement, which was confirmed by the conducted research. The separated promontory of the right bank San river terrace was a convenient place to start settlements not only in prehistory but also in the Early Middle Ages.

# 13.

# Katalog obiektów
# Catalogue

Tabela 13. 1. Jabłonica Ruska stan. 1. Katalog obiektów z charakterystyką form, rozmiarów, funkcji oraz określeniem kolejnych faz zasiedlenia obiektów nieruchomych
Table 13.1. Jabłonica Ruska, site 1. Catalogue of features showing their forms, sizes, functions and settlement phases

| Nr obiektu | Ar | Chronologia | Funkcja obiektu | Kształt | | Wymiary | | | Nr warstwy | Opis | Tablica |
|---|---|---|---|---|---|---|---|---|---|---|---|
| | | | | w rzucie poziomym | w profilu | Długość | Szerokość | Głębokość | | | |
| 1 | G29 | epoka brązu/ wczesna epoka żelaza | jama | owalny | zbliżony do czworobocznego | 132 | 126 | 24 | 1/1<br>1/2 | Jednolita, jasnoszara (k. 5) glina z niewielkimi żółtymi soczewkami. Treść wypełniska nasycona niewielkimi pojedynczymi węglami drzewnymi oraz fragmentami polepy. W-wa wykształciła się na krawędzi wkopu. To jednolita, beżowa (k. 12) glina. | 6.1: 1 |
| 2 | G29 | epoka brązu/ wczesna epoka żelaza | jama | owalny | nieregularny | 144 | 126 | 28 | 2/1<br>2/2 | Jednolita, jasnoszara (k. 5) glina. Treść wypełniska nasycona węglami drzewnymi, kamieniami oraz licznym materiałem ceramicznym. Niejednolita, jasnobrązowo-popielata (k. 8/4) glina. | 6.1: 4 |
| 3 | F29, G29 | epoka brązu/ wczesna epoka żelaza | jama | kolisty | czworoboczny | 140 | 135 | 26 | 3/1<br>3/2<br>3/3<br>3/4 | Niejednolita, jasnobrązowo-jasnoszara (k. 8/5) glina. Niejednolita, jasnoszaro-brązowa (k. 5/9) glina. Treść wypełniska nasycona węglami drzewnymi oraz ceramiką. Niejednolita, jasnobrązowo-popielata (k. 8/4) glina. Jednolita, jasnoszara (k. 5) glina. Treść wypełniska silnie nasycona węglami drzewnymi. | 6.2: 5 |
| 4 | G28, G29 | epoka brązu/ wczesna epoka żelaza | jama | owalny | zbliżony do nieckowatego | 136 | 104 | 28 | 4/1 | jednolita, szara (k. 6), twarda glina z niewielkimi żółtymi soczewkami. | 6.2: 6 |
| 5 | G28 | epoka brązu/ wczesna epoka żelaza | jama | owalny | zbliżony do nieckowatego | 166 | 150 | 30 | 5/1 | niejednolita, beżowo-szara (k. 12/6), twarda glina. Treść wypełniska nasycona węglami drzewnymi. | 6.3: 1 |

| Nr obiektu | Ar | Chronologia | Funkcja obiektu | Kształt | | Wymiary | | | Nr warstwy | Opis | Tablica |
|---|---|---|---|---|---|---|---|---|---|---|---|
| | | | | w rzucie poziomym | w profilu | Długość | Szerokość | Głębokość | | | |
| 6 | G27 | nieokreślona | naturalne obniżenie terenu | owalny | nieregularny | 202 | 158 | 14 | 6/1 | jednolita, jasnoszara (k. 5) glina. | 9.1: 1 |
| 7 | | ANULOWANY | | | | | | | | | |
| 8 | H29 | epoka brązu/ wczesna epoka żelaza | jama | kolisty | odwrotnie trapezowaty | 118 | 117 | 30 | 8/1 | jednolita, szara (k. 6) glina. W części stropowej zarejestrowano kilka soczewek żółtej gliny. Treść wypełniska nasycona węglami drzewnymi i pojedynczymi kamieniami. | |
| 9 | H29 | nieokreślona | jama posłupowa | owalny | nieregularny | 44 | 40 | 11 | 9/1 | niejednolita, szaro-żółta (k. 6/13), twarda glina. | |
| 10 | H29/I29 | epoka brązu/ wczesna epoka żelaza | Jama | owalny | zbliżony do czworobocznego | 168 | 130 | 73 | 10/1<br>10/2<br>10/3 | niejednolita, brązowo-jasnoszara (k. 9/5) glina. Treść wypełniska nasycona pojedynczymi kamieniami.<br>niejednolita, żółto-rdzawa (k. 13/15) glina.<br>jednolita, jasnoszara (k. 5) glina. Treść wypełniska nasycona węglami drzewnymi i pojedynczymi kamieniami. | 6.3: 8 |
| 11 | I29 | epoka brązu/ wczesna epoka żelaza | Jama | owalny | zbliżony do czworobocznego | 100 | 95 | 16 | 11/1 | jednolita, brązowa (k. 9) glina. | 6.4: 1 |
| 12 | I29 | epoka brązu/ wczesna epoka żelaza | Jama | owalny | czworoboczny | 160 | 144 | 48 | 12/1<br>12/2<br>12/3 | niejednolita, szaro-brązowa (k. 6/9) glina.<br>niejednolita, żółto-rdzawa (k. 13/15) glina.<br>jednolita, szara (k. 6) glina. Treść wypełniska nasycona węglami drzewnymi. | 6.4: 2 |
| 13 | J29 | epoka brązu/ wczesna epoka żelaza | Jama | owalny | zbliżony do czworobocznego | 110 | 109 | 18 | 13/1 | jednolita, szara (k. 6), twarda glina. | 6.4: 3 |

| Nr obiektu | Ar | Chronologia | Funkcja obiektu | Kształt | | Wymiary | | | Nr warstwy | Opis | Tablica |
|---|---|---|---|---|---|---|---|---|---|---|---|
| | | | | w rzucie poziomym | w profilu | Długość | Szerokość | Głębokość | | | |
| 14 | I28 | epoka brązu/ wczesna epoka żelaza | Jama | owalny | nieckowaty | 114 | 93 | 18 | 14/1 | jednolita, jasnoszara (k. 5), twarda glina. | 6.4: 4 |
| 15 | J28 | epoka brązu/ wczesna epoka żelaza | Jama | owalny | czworoboczny | 120 | 115 | 58 | 15/1<br>15/2<br>15/3<br>15/4<br>15/5 | niejednolita, szaro-brązowa (k. 6/9) glina.<br>niejednolita, ciemnoszaro-jasnoszaro (7/5), glina, treść wypełniska nasycona węglami drzewnymi oraz polepą<br>niejednolita, jasnoszaro-żółta (k. 5/13) glina. Treść wypełniska nasycona węglami drzewnymi i polepą.<br>niejednolita, żółto-pomarańczowa (k. 13/14) glina. Treść wypełniska nasycona pojedynczymi węglami drzewnymi<br>jednolita, jasnoszara (k. 5) glina. Treść wypełniska nasycona węglami drzewnymi. | 6.4: 5 |
| 16 | H27 | epoka brązu/ wczesna epoka żelaza | Jama | owalny | nieregularny | 152 | 136 | 28 | 16/1 | jednolita, ciemnobrązowa (k. 10) glina. | 6.7: 1 |
| 17 | H27 | epoka brązu/ wczesna epoka żelaza | Jama | owalny | nieckowaty | 134 | 128 | 40 | 17/1 | jednolita, brązowo-szara (k. 9/6) glina. | 6.7: 2 |
| 18 | I27/I28 | epoka brązu/ wczesna epoka żelaza | jama | owalny | nieregularny | 142 | 132 | 44 | 18/1 | jednolita, brązowo-szara (k. 9/6) glina<br>niejednolita, żółto-pomarańczowa (k. 13/14) glina. | 6.7: 4 |
| 19 | J30 | wczesny okres wpływów rzymskich | jama posłupowa | owalny | nieckowaty | 67 | 38 | 12 | | Jamę posłupową nr 19 konstrukcyjnie możemy łączyć z obiektem nr 27. Wspólnie ze słupami 20, 25 i 29 tworzyła zachodnią ścianę półziemianki | 7.1: 1, 7.2: 1 |

| Nr obiektu | Ar | Chronologia | Funkcja obiektu | Kształt | | Wymiary | | | Nr warstwy | Opis | Tablica |
|---|---|---|---|---|---|---|---|---|---|---|---|
| | | | | w rzucie poziomym | w profilu | Długość | Szerokość | Głębokość | | | |
| | | | | | | | | | 19/1 | jednolita, ciemnoszara (k. 7) glina będąca prawdopodobnie pozostałością po słupie lub negatywem po jego wyciągnięciu; | |
| | | | | | | | | | 19/2 | niejednolita, popielato-szara (k. 4/6) glina, będąca pozostałością po wkopie wykonanym w celu umieszczenia tam słupa. | |
| 20 | K30 | wczesny okres wpływów rzymskich | jama posłupowa | zbliżony do owalnego | nieregularny | 58 | 40 | 20 | 20/1<br>20/2 | Jamę posłupową nr 20 konstrukcyjnie możemy łączyć z półziemianką nr 27. Wspólnie ze słupami nr 19, 25 i 29 tworzyła zachodnią ścianę półziemianki<br>jednolita, szara (k. 6) glina będąca prawdopodobnie pozostałością po słupie.<br>niejednolita, popielato-jasnoszara (k. 4/6) glina będąca pozostałością po wkopie wykonanym w celu umieszczenia tam słupa. | 7.1: 1, 7.2: 1 |
| 21 | J30 | nieokreślona | jama posłupowa | kolisty | nieregularny | 33 | 33 | 14 | 21/1<br>21/2 | jednolita, ciemnoszara (k. 7) glina będąca prawdopodobnie pozostałością po słupie.<br>jednolita, popielato (k. 4) glina będąca pozostałością po wkopie wykonanym w celu umieszczenia tam słupa. | 9.1: 2 |
| 22 | J31 | nieokreślona | jama | owalny | zbliżony do czworobocznego | 86 | 70 | 10 | 22/1 | niejednolita, popielato-żółta (k. 4/13), twarda glina | 9.1: 3 |
| 23 | J31 | epoka brązu/ wczesna epoka żelaza | jama posłupowa | owalny | nieckowaty | 46 | 35 | 14 | 23/1 | niejednolita, jasnoszaro-żółta (k. 5/13), twarda glina | 6.7: 6 |
| 24 | J31 | epoka brązu/ wczesna epoka żelaza | jama posłupowa | owalny | zbliżony do czworobocznego | 36 | 27 | 24 | 24/1<br>24/2 | niejednolita, szaro-żółta (k. 6/13), twarda glina<br>niejednolita, żółto-szara (k. 13/6), twarda glina | 6.7: 6 |

| Nr obiektu | Ar | Chronologia | Funkcja obiektu | Kształt | | Wymiary | | | Nr warstwy | Opis | Tablica |
|---|---|---|---|---|---|---|---|---|---|---|---|
| | | | | w rzucie poziomym | w profilu | Długość | Szerokość | Głębokość | | | |
| 25 | J30/K30 | wczesny okres wpływów rzymskich | jama posłupowa | kolisty | zbliżony do czworobocznego | 38 | 37 | 22 | 25/1 | Jamę posłupową nr 25 konstrukcyjnie możemy łączyć z obiektem nr 27. Wspólnie ze słupami 19, 20, i 29 tworzyła zachodnią ścianę półziemianki niejednolita, szaro-żółta (k. 6/13), twarda glina | 7.1: 1, 7.2: 1 |
| 26 | K30 | epoka brązu/ wczesna epoka żelaza | jama | kolisty | nieckowaty | 122 | 118 | 16 | 26/1 | niejednolita, jasnoszaro-beżowa (k. 5/12), twarda glina | |
| 27 | K30/K31 | wczesny okres wpływów rzymskich | budynek wziemny | nieregularny | nieckowaty | 690 | 385 | 16 | 27/1<br>27/2 | Spągowa część zniszczonej półziemianki? Wydaje się, że w-wa 27/2 powstała wskutek rozwleczenia w trakcie orki właściwego obiektu, którego część wschodnia zachowała się w postaci płytkiej warstwy 27/1. Pierwotnie wkop musiał sięgać aż do słupów nr 19, 20, 25, 29 będacych konstrukcją ściany zachodniej. Ponadto spod obiektu wyodrębniają się jamy posłupowe nr: 34, 35, 36, 37, 38, 39, 40, 41, 42.<br>jednolita, szaro-brązowa (k. 6/9) glina<br>niejednolita, beżowo-szara (k. 12/6) glina | 7.1: 1 |
| 28 | | ANULOWANY | | | | | | | | | |
| 29 | J31/K31 | wczesny okres wpływów rzymskich | jama posłupowa | owalny | nieckowaty | 44 | 38 | 20 | 29/1 | Jamę posłupową nr 29 konstrukcyjnie możemy łączyć z obiektem nr 27. Wspólnie ze słupami 19, 20, i 25 tworzyła zachodnią ścianę półziemianki jednolita, jasnoszara (k. 5), twarda glina | 7.1: 1, 7.2: 1 |
| 30 | K26 | nieokreślona | jama | owalny | zbliżony do czworobocznego | 130 | 118 | 42 | 30/1 | jednolita, brązowo-beżowa (k. 9/12), twarda glina | 9.1: 4 |

| Nr obiektu | Ar | Chronologia | Funkcja obiektu | Kształt | | Wymiary | | | Nr warstwy | Opis | Tablica |
|---|---|---|---|---|---|---|---|---|---|---|---|
| | | | | w rzucie poziomym | w profilu | Długość | Szerokość | Głębokość | | | |
| 31 | K32 | okres wczesno-słowiański | jama | nieregularny | nieckowaty | 354 | 220 | 28 | 31/1<br>31/2 | jednolita, brunatna (k. 11) glina, treść wypełniska nasycona przepalonymi kamieniami<br>niejednolita, beżowo-jasnoszara (k. 12/5) glina | 8.1: 1 |
| 32 | J25 | epoka brązu/ wczesna epoka żelaza | jama | zbliżony do czworobocznego | trapezowaty | 62 | 58 | 20 | 32/1 | niejednolita, żółto-brązowa (k. 13/9), twarda glina | |
| 33 | | ANULOWANY | | | | | | | | | |
| 34 | K31 | wczesny okres wpływów rzymskich | jama posłupowa | owalny | czworoboczny | 36 | 27 | 16 | 34/1<br>34/2 | Jamę posłupową nr 34 konstrukcyjnie możemy łączyć z obiektem nr 27.<br>jednolita, brązowo-szara (k. 9/6) glina<br>niejednolita, beżowo-jasnoszara (k. 12/5) glina | 7.1: 1, 7.2: 1 |
| 35 | K31 | wczesny okres wpływów rzymskich | jama posłupowa | owalny | trapezowaty | 42 | 26 | 30 | 35/1 | Jamę posłupową nr 20 konstrukcyjnie możemy łączyć z obiektem nr 27.<br>niejednolita, beżowo-jasnoszara (k. 12/5) glina | 7.1: 1, 7.2: 1 |
| 36 | K31 | wczesny okres wpływów rzymskich | jama posłupowa | kolisty | u-kształtny | 26 | 26 | 32 | 36/1<br>36/2 | Jamę posłupową nr 20 konstrukcyjnie możemy łączyć z obiektem nr 27.<br>jednolita, szaro-brązowa (k. 6/9) glina<br>niejednolita, żółto-szara (k. 13/6) glina | 7.1: 1, 7.2: 1 |
| 37 | | ANULOWANY | | | | | | | | | |
| 38 | | ANULOWANY | | | | | | | | | |
| 39 | K31 | wczesny okres wpływów rzymskich | jama posłupowa | owalny | nieregularny | 54 | 45 | 46 | 39/1 | Jamę posłupową nr 20 konstrukcyjnie możemy łączyć z obiektem nr 27.<br>niejednolita, szaro-brązowo-żółta (k. 6/9/13) glina | 7.1: 1, 7.2: 1 |
| 40 | K30 | wczesny okres wpływów rzymskich | jama posłupowa | owalny | czworoboczny | 49 | 44 | 30 | 40/1 | Jamę posłupową nr 20 konstrukcyjnie możemy łączyć z obiektem nr 27.<br>niejednolita, szaro-brązowo-żółta (k. 6/9/13) glina. Treść wypełniska nasycona węglami drzewnymi. | 7.1: 1, 7.2: 1 |

| Nr obiektu | Ar | Chronologia | Funkcja obiektu | Kształt | | Wymiary | | | Nr warstwy | Opis | Tablica |
|---|---|---|---|---|---|---|---|---|---|---|---|
| | | | | w rzucie poziomym | w profilu | Długość | Szerokość | Głębokość | | | |
| 41 | | ANULOWANY | | | | | | | | | |
| 42 | K30 | wczesny okres wpływów rzymskich | jama posłupowa | czworoboczny | nieregularny | 66 | 44 | 42 | 42/1<br>42/2<br>42/3 | Jamę posłupową nr 20 konstrukcyjnie możemy łączyć z obiektem nr 27.<br>niejednolita, beżowo-jasnoszara (k. 12/5) glina<br>jednolita, szaro-beżowa (k. 6/12) glina. Treść wypełniska nasycona węglami drzewnymi<br>jednolita, popielata (k. 4) glina | 7.1: 1, 7.2: 1 |
| 43 | | epoka brązu/ wczesna epoka żelaza | jama | owalny | czworoboczny | 100 | 92 | 7 | 43/1 | niejednolita, jasnoszaro-żółta (k. 5/13) glina | 6.7: 7 |
| 44 | I25 | wczesny okres wpływów rzymskich | obiekty z warstwami kamieni | nieregularny | nieregularny | 112 | 100 | 16 | 44/1 | niejednolita, żółto-brązowo-pomarańczowa (k. 13/9/14) glina | 7.6: 1 |
| 45 | I25/J25 | epoka brązu/ wczesna epoka żelaza | jama | nieregularny | nieregularny | 288 | 184 | 15 | 45/1<br>45/2 | niejednolita, pomarańczowo-szara (k. 14/6) glina<br>jednolita, szara (k. 6) glina. Treść wypełniska nasycona węglami drzewnymi | 6.7: 8 |
| 46 | I25 | nieokreślona | jama posłupowa | owalny | nieregularny | 38 | 35 | 16 | 46/1 | jednolita, szara (k. 6) glina | |
| 47 | J25 | wczesny okres wpływów rzymskich | obiekty z warstwami kamieni | nieregularny | | 65 | 50 | | 47/1 | Profilu nie zadokumentowano z uwagi na to, że zachował się jedynie spąg obiektu. | 7.6: 3 |
| 48 | J25 | epoka brązu/ wczesna epoka żelaza | jama posłupowa | owalny | nieregularny | 46 | 38 | 10 | 48/1 | jednolita, szara (k. 6) glina. Treść wypełniska nasycona węglami drzewnymi | 6.7: 8 |
| 49 | I25 | nieokreślona | jama | nieregularny | czworoboczny | 84 | 63 | 10 | 49/1 | jednolita, szaro-jasnoszara (k. 6/5) glina. Treść wypełniska nasycona węglami drzewnymi | 9.1: 5 |
| 50 | I25 | nieokreślona | jama posłupowa | kolisty | czworoboczny | 18 | 18 | 8 | 50/1 | jednolita, ciemnoszara (k. 7) glina. Treść wypełniska nasycona węglami drzewnymi | |

| Nr obiektu | Ar | Chronologia | Funkcja obiektu | Kształt | | Wymiary | | | Nr warstwy | Opis | Tablica |
|---|---|---|---|---|---|---|---|---|---|---|---|
| | | | | w rzucie poziomym | w profilu | Długość | Szerokość | Głębokość | | | |
| 51 | J25 | epoka brązu/ wczesna epoka żelaza | jama posłupowa | kolisty | czworoboczny | 20 | 18 | 12 | 51/1 | jednolita, brunatna (k. 11) glina | 6.8: 1 |
| 52 | L32/M32 | okres wczesno--słowiański | półziemianka | nieregularny | nieregularny | 286 | 246 | 18 | 52/1 | jednolita, jasnoszaro-beżowa (k. 5/12) twarda glina. Treść wypełniska nasycona pojedynczymi kamieniami | 8.1: 4 |
| 53 | | ANULOWANY | | | | | | | | | |
| 54 | L32 | epoka brązu/ wczesna epoka żelaza | jama | kolisty | czworoboczny | 90 | 86 | 38 | 54/1 | jednolita, brązowa (k. 9) twarda glina. Treść wypełniska nasycona pojedynczymi węglami drzewnymi | 6.8: 2 |
| 55 | | ANULOWANY | | | | | | | | | |
| 56 | | ANULOWANY | | | | | | | | | |
| 57 | | ANULOWANY | | | | | | | | | |
| 58 | | ANULOWANY | | | | | | | | | |
| 59 | L31/M31 | epoka brązu/ wczesna epoka żelaza | jama | owalny | czworoboczny | 186 | 157 | 56 | 59/1<br>59/2<br><br>59/3<br>59/4 | niejednolita, brązowo-popielata (k. 9/4) twarda glina<br>niejednolita, żółto-beżowa (k. 13/12) twarda glina. Treść wypełniska nasycona niewielką ilością węgli<br>jednolita, brązowo-beżowa (k. 9/12)<br>jednolita, beżowa (k. 12) twarda glina. Treść wypełniskla nasycona węglami drzewnymi | 6.8: 3 |
| 60 | | ANULOWANY | | | | | | | | | |
| 61 | | ANULOWANY | | | | | | | | | |
| 62 | L32 | okres wczesnosłowiański | jama posłupowa | owalny | trapezowaty | 23 | 20 | 16 | 62/1 | niejednolita, szaro-żółta (k. 6/13) twarda glina | 8.1: 4 |
| 63 | L25/M25 | okres wczesno-słowiański | destrukt pieca z półziemianki | niergularny | | 315 | 105 | | 63/1 | Profilu nie zadokumentowano z uwagi na to, że zachował się jedynie spąg obiektu. | 8.2: 4 |

| Nr obiektu | Ar | Chronologia | Funkcja obiektu | Kształt | | Wymiary | | | Nr warstwy | Opis | Tablica |
|---|---|---|---|---|---|---|---|---|---|---|---|
| | | | | w rzucie poziomym | w profilu | Długość | Szerokość | Głębokość | | | |
| 64 | L25 | okres wczesnosłowiański | destrukt pieca z półziemianki | nieregularny | | 70 | 50 | | 64/1 | Profilu nie zadokumentowano z uwagi na to, że zachował się jedynie spąg obiektu. | 8.2: 4 |
| 65 | L33 | okres wczesnosłowiański | jama | | nieregularny | 196 | 44 | 23 | 65/1 | niejednolita, brązowo-szara (k. 9/6), twarda glina. Treść wypełniska nasycona przepalonymi kamieniami. | 8.4: 1 |
| 66 | M32/M33 | epoka brązu/ wczesna epoka żelaza | jama | owalny | trapezowaty | 113 | 88 | 16 | 66/1 | niejednolita, szaro-żółta (k. 6/13) glina | 6.8: 5 |
| 67 | M32 | epoka brązu/ wczesna epoka żelaza | jama | nieregularny | czworoboczny | 260 | 194 | 38 | 67/1<br>67/2<br>67/3 | jednolita, szara (k. 6) twarda glina<br>jednolita, jasnoszara (k. 5), twarda glina<br>niejednolita, brunatno-jasnoszara (k. 11/5) twarda glina | 6.8: 6 |
| 68 | M32 | epoka brązu/ wczesna epoka żelaza | jama | kolisty | trapezowaty | 124 | 122 | 18 | 68/1 | niejednolita, szaro-żółta (k. 6/13) twarda glina. Treść wypełniska nasycona węglami drzewnymi | 6.9: 1 |
| 69 | M31 | epoka brązu/ wczesna epoka żelaza | jama | owalny | nieregularny | 193 | 88 | 16 | 69/1 | jednolia, brązowa (k. 9) twarda glina | 6.9: 5 |
| 70 | | ANULOWANY | | | | | | | | | |
| 71 | | ANULOWANY | | | | | | | | | |
| 72 | | ANULOWANY | | | | | | | | | |
| 73 | M32/N32 | nieokreślona | jama naturalna | owalny | nieregularny | 132 | 68 | 27 | 73/1 | jednolita, beżowa-szaro-jasnoszara (k. 12/6/5) twarda glina | 9.1: 6 |
| 74 | O33 | epoka brązu/ wczesna epoka żelaza | jama | owalny | czworoboczny | 132 | 112 | 26 | 74/1 | niejednolita, szaro-żółta-jasnoszara (k. 6/13/5) glina | 6.9: 6 |
| 75 | O32 | nieokreślona | jama | owalny | nieregularny | 112 | 90 | 20 | 75/1 | niejednolita, szaro-beżowa-jasnoszara (k. 6/12/5) twarda glina | 9.1: 7 |

| Nr obiektu | Ar | Chronologia | Funkcja obiektu | Kształt | | Wymiary | | | Nr warstwy | Opis | Tablica |
|---|---|---|---|---|---|---|---|---|---|---|---|
| | | | | w rzucie poziomym | w profilu | Długość | Szerokość | Głębokość | | | |
| 76 | O32 | epoka brązu/ wczesna epoka żelaza | jama | nieregularny | trapezowaty | 130 | 117 | 58 | 76/1<br>76/2<br>76/3 | niejednolita, szaro-żółta (k. 6/13) glina. Treść wypełniska nasycona węglami drzewnymi<br>niejednolita, jasnoszaro-beżowo-żółta (k. 5/12/13) glina<br>niejednolita, szaro-popielato-beżowa (k. 6/4/12) glina. Treść wypełniska nasycona pojedynczymi węglami drzewnymi | 6.9: 7 |
| 77 | O32 | epoka brązu/ wczesna epoka żelaza | jama | owalny | nieregularny | 136 | 94 | 45 | 77/1 | niejednolita, szaro-żółto-popielata (k. 6/13/4) glina. Treść wypełniska nasycona węglami drzewnymi | 6.9: 8 |
| 78 | N32 | epoka brązu/ wczesna epoka żelaza | jama | owalny | czworoboczny | 138 | 126 | 42 | 78/1<br>78/2<br>78/3 | niejednolita, szaro-żółta (k. 6/13) glina. Treść wypełniska nasycona węglami drzewnymi<br>niejednolita, żółto-jasnoszara (k. 13/5) glina<br>niejednolita, ciemnoszaro-żółta (k. 7/13) glina | 6.10: 1 |
| 79 | N32 | epoka brązu/ wczesna epoka żelaza | jama | czworoboczny | trapezowaty | 144 | 132 | 40 | 79/1<br>79/2<br>79/3 | niejednolita, szaro-żółta (k. 6/13) glina. Treść wypełniska nasycona węglami drzewnymi<br>niejednolita, żółto-jasnoszara (k. 13/5) glina<br>niejednolita, szaro-brunatna (k. 6/11) glina | 6.10: 5 |
| 80 | N32 | epoka brązu/ wczesna epoka żelaza | jama | owalny | trapezowaty | 116 | 105 | 49 | 80/1<br>80/2<br>80/3 | niejednolita, szaro-żółto-ciemnoszara (k. 6/13/7) glina. Treść wypełniska nasycona węglami drzewnymi<br>niejednolita, żółto-jasnoszara (k. 13/5) glina<br>niejednolita, popielato-zółta (k. 4/13) glina | 6.10: 7 |

| Nr obiektu | Ar | Chronologia | Funkcja obiektu | Kształt | | Wymiary | | | Nr warstwy | Opis | Tablica |
|---|---|---|---|---|---|---|---|---|---|---|---|
| | | | | w rzucie poziomym | w profilu | Długość | Szerokość | Głębokość | | | |
| 81 | N32/O32 | epoka brązu/ wczesna epoka żelaza | jama | owalny | czworoboczny | 82 | 50 | 22 | 81/1 | niejednolita, jasnoszaro-beżowo-szara (k. 5/12/6) glina | 6.12: 1 |
| 82 | N32 | epoka brązu/ wczesna epoka żelaza | jama | owalny | czworoboczny | 110 | 102 | 26 | 82/1<br>82/2<br>82/3 | niejednolita, beżowo-jasnoszara (k. 12/5) glina<br>niejednolita, żółto-jasnoszara (k. 13/5) glina<br>niejednolita, ciemnoszaro-żółta (k/ 7/13) glina | 6.12: 4 |
| 83 | N32 | epoka brązu/ wczesna epoka żelaza | jama | kolisty | czworoboczny | 110 | 105 | 25 | 83/1<br>83/2 | niejednolita, szaro-jasnoszaro-popielata (k. 6/5/4) glina<br>niejednolita, jasnoszaro-popielato-beżowa (k. 5/4/12) glina | 6.12: 5 |
| 84 | M27/N27 | wczesny okres wpływów rzymskich | budynek wziemny | nieregularny | nieckowaty | 460 | 322 | 40 | 84/1<br>84/2<br>84/3 | jednolita, brązowo-szara (k. 9/6) twarda glina<br>niejednolita, żółto-jasnoszara (k. 13/6) twarda glina z dużą ilością kamieni oraz polepy<br>niejednolita, szaro-żółta (k. 6/13), twarda glina. Treść wypełniska nasycona węglami drzewnymi | 7.6: 4 |
| 85 | M25/M26 | wczesny okres wpływów rzymskich | obiekty z warstwami kamieni | nieregularny | | 144 | 129 | | 85/1 | Profilu nie zadokumentowano z uwagi na to, że zachował się jedynie spąg obiektu. | 7.10: 1 |
| 86 | M25 | wczesny okres wpływów rzymskich | palenisko | nieregularny | nieckowaty | 206 | 160 | 28 | 86/1 | niejednolita, szaro-ciemnoszaro-żółta (k. 6/7/13) twarda glina. Treść wypełniska nasycona dużą ilością kamieni oraz węglami drzewnymi | 7.10: 3 |
| 87 | M25 | wczesny okres wpływów rzymskich | palenisko | owalny | nieckowaty | 218 | 140 | 40 | 87/1<br>87/2 | jednolita, ciemnobrązowo-ciemnoszara (k. 10/7) twarda glina. Treść wypełniska nasycona węglami drzewnymi oraz kamieniami<br>niejednolita, szaro-żółta (k. 6/13) twarda glina. Treść wypełniska nasycona węgkami drzewnymi oraz polepą | 7.10: 4 |

| Nr obiektu | Ar | Chronologia | Funkcja obiektu | Kształt | | Wymiary | | | Nr warstwy | Opis | Tablica |
|---|---|---|---|---|---|---|---|---|---|---|---|
| | | | | w rzucie poziomym | w profilu | Długość | Szerokość | Głębokość | | | |
| 88 | K33/L33 | nieokreślona | jama | owalny | czworoboczny | 140 | 110 | 28 | 88/1<br>88/2 | niejednolita, jasnoszaro-beżowo-szara (k. 5/12/6) glina<br>niejednolita, jasnoszaro-beżowa (k. 5/12) twarda glina | 9.1: 8 |
| 89 | | ANULOWANY | | | | | | | | | |
| 90 | L33 | epoka brązu/ wczesna epoka żelaza | jama | owalny | nieregularny | 197 | 176 | 42 | 90/1<br>90/2 | niejednolita, szaro-żółta (k. 6/13) twarda glina<br>niejednolita, szaro-zółto-jasno-szara (k. 6/13/5) twarda glina. Treść wypełniska nasycona węglami drzewnymi | 6.12: 6 |
| 91 | L33 | epoka brązu/ wczesna epoka żelaza | jama | owalny | nieckowaty | 132 | 100 | 20 | 91/1 | niejednolita, szaro-ciemnoszaro-żółta (k. 6/7/13) twarda glina. Treść wypełniska nasycona węglami drzewnymi | 6.13: 1 |
| 92 | O33/P33 | nieokreślona | jama posłupowa | owalny | czworoboczny | 36 | 30 | 4 | 92/1 | jednolita, szaro-jasnoszara (k. 6/5) glina | |
| 93 | | ANULOWANY | | | | | | | | | |
| 94 | M26/N26 | okres wpływów rzymskich | palenisko | nieregularny | nieregularny | 140 | 106 | 24 | 94/1 | niejednolita, ciemnoszaro-żółta (k, 7/13) twarda glina. Treść wypełniska nasycona węglami drzewnymi oraz kamieniami | 7.10: 5 |
| 95 | M28 | epoka brązu/ wczesna epoka żelaza | jama | owalny | czworoboczny | 128 | 110 | 38 | 95/1<br>95/2<br>95/3 | niejednolita, jasnoszaro-żółta (k. 5/13) twarda glina<br>niejednolita, żółto-jasnoszara (k. 13/5) tawrda glina<br>niejednolita, szaro-żółta (k. 6/13) twarda glina. Treść wypełniska nasycona węglami drzewnymi | 6.13: 6 |
| 96 | M29 | epoka brązu/ wczesna epoka żelaza | jama | owalny | trapezowaty | 193 | 88 | 35 | 96/1 | niejednolita, szaro-beżowa (k. 6/12) twarda glina | 6.13: 5 |
| 97 | N25/N26 | nieokreślona | skupisko kamieni | czworoboczny | | 40 | 38 | | 97/1 | Profilu nie zadokumentowano z uwagi na to, że zachował się jedynie spąg obiektu. | 9.1: 9 |

| Nr obiektu | Ar | Chronologia | Funkcja obiektu | Kształt | | Wymiary | | | Nr warstwy | Opis | Tablica |
|---|---|---|---|---|---|---|---|---|---|---|---|
| | | | | w rzucie poziomym | w profilu | Długość | Szerokość | Głębokość | | | |
| 98 | N26 | późny okres wpływów rzymskich | obiekty z warstwami kamieni | czworoboczny | | 225 | 118 | | 98/1 | Profilu nie zadokumentowano z uwagi na to, że zachował się jedynie spąg obiektu. | 7.10: 8 |
| 99 | N26/N27/O26 | okres wczesnosłowiański | palenisko | czworoboczny | nieckowaty | 450 | 370 | 16 | 99/1 | niejednolita, ciemnoszaro-żółta (k, 7/13) twarda glina. Treść wypełniska nasycona kamieniami, przepalonymi kamieniami oraz węglami drzewnymi | 8.4: 6 |
| 100 | N28 | wczesny okres wpływów rzymskich | półziemianka | czworoboczny | nieckowaty | 420 | 295 | 26 | 100/1<br>100/2 | niejednolita, szaro-beżowo-żółta (k. 6/12/13) glina. Treść wypełniska nasycona węglami drzewnymi oraz kamieniami<br>niejednolita, szaro-ciemnoszaro-beżowa (k. 6/7/12) glina | 7.11: 1 |
| 101 | N28 | wczesny okres wpływów rzymskich | jama posłupowa | owalny | u-kształtny | 38 | 28 | 36 | 101/1 | Jamę posłupową nr 101 konstrukcyjnie możemy łączyć z półziemianką nr 100.<br>niejednolita, szaro-żółta (k. 6/13) glina | 7.11: 1 |
| 102 | N28 | wczesny okres wpływów rzymskich | jama posłupowa | czworoboczny | czworoboczny | 30 | 22 | 46 | 102/1 | Jamę posłupową nr 102 konstrukcyjnie możemy łączyć z półziemianką nr 100.<br>niejednolita, szaro-bezowa (k. 6/12) glina | 7.11: 1 |
| 103 | N28 | wczesny okres wpływów rzymskich | jama posłupowa | kolisty | czworoboczny | 33 | 30 | 46 | 103/1 | Jamę posłupową nr 103 konstrukcyjnie możemy łączyć z półziemianką nr 100.<br>niejednolita, brązowo-szaro-żółta (k. 9/6/13) glina | 7.11: 1 |
| 104 | | ANULOWANY | | | | | | | | | |
| 105 | N28 | wczesny okres wpływów rzymskich | jama posłupowa | czworoboczny | nieckowaty | 80 | 58 | 16 | 105/1 | Jamę posłupową nr 105 konstrukcyjnie możemy łączyć z półziemianką nr 100.<br>niejednolita, szaro-żółta (k. 6/13) glina. Treść wypełniska nasycona węglami drzewnymi | 7.11: 1 |

| Nr obiektu | Ar | Chronologia | Funkcja obiektu | Kształt | | Wymiary | | | Nr warstwy | Opis | Tablica |
|---|---|---|---|---|---|---|---|---|---|---|---|
| | | | | w rzucie poziomym | w profilu | Długość | Szerokość | Głębokość | | | |
| 106 | N31 | epoka brązu/ wczesna epoka żelaza | jama | owalny | nieckowaty | 136 | 126 | 40 | 106/1<br>106/2 | niejednolita, szaro-beżowa (k. 6/12) twarda glina. Treść wypełniska nasycona niewielką ilością węgli drzewnych<br>niejednolita, beżowo-jasnoszaro-szara (k. 12/5/6) twarda glina | 6.13: 7 |
| 107 | N31 | okres wczesno-słowiański | półziemianka | czworoboczny | nieckowaty | 385 | 360 | 26 | 107/1<br>107/2 | niejednolita, szaro-ciemnoszaro-żółta (k. 6/7/13) glina. Treść wypełniska nasycona pojedynczymi węglami drzewnymi oraz kamieniami<br>niejednolita, zółto-jasnpszara (k. 13/5) glina | 8.6: 1 |
| 108 | N30 | epoka brązu/ wczesna epoka żelaza | jama | owalny | trapezowaty | 128 | 116 | 46 | 108/1<br>108/2<br>108/3 | jednolita, jasnoszara (k. 5) glina<br>niejednolita, jasnobrązowo-żółta (k. 8/13) twarda glina<br>niejednolita, jasnoszaro-jasnobrązowa (k. 5/8) glina | 6.13: 8 |
| 109 | N29 | epoka brązu/ wczesna epoka żelaza | jama | owalny | nieregularny | 83 | 66 | 12 | 109/1 | niejednolita, szaro-żółta (k. 6/13) glina | 6.13: 9 |
| 110 | N29 | epoka brązu/ wczesna epoka żelaza | jama | owalny | nieckowaty | 120 | 104 | 19 | 110/1 | niejednolita, szaro-żółto-popielata (k. 6/13/4) twarda glina. Treść wypełniska nasycona pojedynczymi kamieniami | 6.14: 1 |
| 111 | N29 | epoka brązu/ wczesna epoka żelaza | jama | nieregularny | nieregularny | 216 | 144 | 25 | 111/1<br>111/2 | niejednolita, żółto-jasnoszara (k. 13/5) glina<br>niejednolita, szaro-żółta (k. 6/13) twarda glina | 6.14: 2 |
| 112 | N30/30 | epoka brązu/ wczesna epoka żelaza | jama | nieregularny | nieregularny | 228 | 190 | 58 | 112/1<br>112/2<br>112/3 | jednolita, jasnoszara (k. 5) glina<br>niejednolita, beżowo-jasnobrązowa (k. 12/8) twarda glina<br>niejednolita, brązowo-szaro-żółta (k. 9/6/13) glina | 6.14: 4 |
| 113 | N29/N30 | epoka brązu/ wczesna epoka żelaza | jama | owalny | nieregularny | 157 | 142 | 43 | 113/1 | jednolita, jasnoszara (k. 5) glina | 6.14: 4 |

| Nr obiektu | Ar | Chronologia | Funkcja obiektu | Kształt | | Wymiary | | | Nr warstwy | Opis | Tablica |
|---|---|---|---|---|---|---|---|---|---|---|---|
| | | | | w rzucie poziomym | w profilu | Długość | Szerokość | Głębokość | | | |
| 114 | N31 | okres wczesnosłowiański | jama posłupowa | kolisty | czworoboczny | 33 | 30 | 34 | 114/1<br>114/2 | Jamę posłupową nr 114 konstrukcyjnie możemy łączyć z półziemianką nr 107.<br>jednolita, szaro-ciemnoszara (k. 6/7) glina<br>niejednolita, żółto-jasnoszaro-szara (k. 13/5/6) glina | 8.6: 1 |
| 115 | O29 | epoka brązu/ wczesna epoka żelaza | jama | nieregularny | trapezowaty | 184 | 155 | 70 | 115/1<br>115/2<br>115/3 | niejednolita, szaro-żółta (k. 6/13) glina. Treśc wypełniska nascyona niewielką ilością węgli oraz kamieniami<br>jednolita, żółto-beżowa (k. 13/12) glina<br>niejednolita, szaro-żółto-jasnoszara (k. 6/13/5) glina | 6.14: 5 |
| 116 | O29/P29 | epoka brązu/ wczesna epoka żelaza | jama | owalny | nieregularny | 137 | 114 | 38 | 116/1<br>116/2 | niejednolita, szaro-beżowa (k. 6/12) twarda glina<br>niejednolita, jasznoszaro-beżowa (k. 5/12) twarda glina | 6.15: 1 |
| 117 | N31 | okres wczesnosłowiański | jama posłupowa | czworoboczny | czworoboczny | 52 | 46 | 24 | 117/1<br>117/2 | Jamę posłupową nr 114 konstrukcyjnie możemy łączyć z półziemianką nr 107.<br>jednolita, szara (k. 6) glina<br>niejednolita, żółto-jasnoszara (k. 13/5) glina | 8.6: 1 |
| 118 | | ANULOWANY | | | | | | | | | |
| 119 | O28 | epoka brązu/ wczesna epoka żelaza | jama | owalny | nieregularny | 223 | 196 | 60 | 119/1<br>119/2 | jednolita, szaro-ciemnoszara (k. 6/7) glina. Treść wypełniska nasycona niewielką ilością węgli<br>jednolita, jasnoszaro-żółta (k. 5/13) glina | 6.15: 2 |
| 120 | N26 | okres wczesnosłowiański | jama posłupowa | owalny | nieregularny | 44 | 24 | 18 | 120/1<br>120/2 | Jamę posłupową nr 120 konstrukcyjnie możemy łączyć z obiektem nr 99.<br>niejednolita, brązowo-szaro-żółta (k. 9/6/13) glina. Treść wypełniska nasycona węglami drzewnymi<br>jednolita, żółta (k. 13) glina | 8.4: 6 |

| Nr obiektu | Ar | Chronologia | Funkcja obiektu | Kształt | | Wymiary | | | Nr warstwy | Opis | Tablica |
|---|---|---|---|---|---|---|---|---|---|---|---|
| | | | | w rzucie poziomym | w profilu | Długość | Szerokość | Głębokość | | | |
| 121 | O27 | nieokreślona | jama | owalny | nieregularny | 48 | 44 | 10 | 121/1 | niejednolita, szaro-beżowa (k. 6/12) twarda glina | 9.2: 1 |
| 122 | O30 | epoka brązu/ wczesna epoka żelaza | jama | owalny | nieregularny | 127 | 112 | 10 | 122/1 | niejednolita, szaro-żółta (k. 6/12) twarda glina | 6.15: 5 |
| 123 | O30 | epoka brązu/ wczesna epoka żelaza | jama | owalny | nieregularny | 140 | 116 | 23 | 123/1<br>123/2 | niejednolita, jasnoszaro-żółta (k. 5/13) glina<br>niejednolita, szaro-żółta (k. 6/13) glina. Treść wypełniska nasycona niewielką ilością węgli drzewnych | 6.15: 7 |
| 123A | N31 | okres wczesno-słowiański | jama po-słupowa | owalny | czworoboczny | 46 | 40 | 40 | 123A/1<br>123A/2 | Jamę posłupową nr 114 konstrukcyj-nie możemy łączyć z półziemianką nr 107.<br>niejednolita, szaro-ciemnoszaro-żółta (k. 6/7/13) glina<br>niejednolita, żółto-jasnoszara (k. 13/5) glina | 8.6: 1 |
| 124 | O30 | epoka brązu/ wczesna epoka żelaza | jama | czworo-boczny | nieckowaty | 114 | 94 | 9 | 124/1 | niejednolita, szaro-beżowo-jasnoszara (k. 6/12/5) twarda glina | 6.16: 1 |
| 124A | P31 | epoka brązu/ wczesna epoka żelaza | jama | owalny | trapezowaty | 130 | 105 | 15 | 124A/1 | niejednolita, szaro-beżowa (k. 6/12) twarda glina | 6.16: 2 |
| 125 | P31 | nieokreślona | jama | owalny | nieregularny | 134 | 109 | 19 | 125/1 | niejednolita, szaro-jasnoszaro-beżowa (k. 6/5/12) twarda glina | 9.2: 2 |
| 126 | P30/P31 | epoka brązu/ wczesna epoka żelaza | jama | nieregu-larny | trapezowaty | 160 | 152 | 16 | 126/1<br>126/2 | niejednolita, szaro-beżowa (k. 6/12) twarda glina<br>niejednolita, beżowo-jasnoszaro-szara (k. 12/5/6) glina | 6.16: 3 |
| 127 | P31 | epoka brązu/ wczesna epoka żelaza | jama | owalny | trapezowaty | 180 | 175 | 34 | 127/1 | niejednolita, beżowo-jasnoszara (k. 12/5) twarda glina. Treść wypełni-ska nasycona niewielką ilością węgli | 6.16: 4 |
| 128 | N31 | okres wczesno-słowiański | jama po-słupowa | owalny | czworoboczny | 48 | 44 | 31 | 128/1<br>128/2 | Jamę posłupową nr 114 konstrukcyjnie możemy łączyć z półziemianką nr 107.<br>jednolita, szara (k. 6) glina<br>jednolita, żółta (k. 13) glina | 8.6: 1 |

| Nr obiektu | Ar | Chronologia | Funkcja obiektu | Kształt | | Wymiary | | | Nr warstwy | Opis | Tablica |
|---|---|---|---|---|---|---|---|---|---|---|---|
| | | | | w rzucie poziomym | w profilu | Długość | Szerokość | Głębokość | | | |
| 129 | N31 | okres wczesnosłowiański | jama posłupowa | kolisty | czworoboczny | 30 | 28 | 15 | 129/1<br>129/2 | Jamę posłupową nr 114 konstrukcyjnie możemy łączyć z półziemianką nr 107.<br>jednolita, ciemnoszara (k. 7) glina<br>jednolita, beżowa (k. 12) glina | 8.6: 1 |
| 130 | O26 | epoka brązu/ wczesna epoka żelaza | jama | nieregularny | nieregularny | 587 | 525 | 20 | 130/1<br>130/2 | jednolita, jasnobrązowo-szara (k. 8/6) glina<br>niejednolita, beżowo-jasnoszara (k. 12/5) glina | 6.17: 1 |
| 131 | O26/P26 | epoka brązu/ wczesna epoka żelaza | jama | owalny | nieregularny | 390 | 200 | 18 | 131/1 | niejednolita, szaro-zółto-beżowa (k. 6/13/12) twarda glina | 6.20: 3 |
| 132 | P30 | późny okres wpływów rzymskich | palenisko | owalny | trapezowaty | 240 | 147 | 30 | 132/1<br>132/2 | jednolita, brunatna (k. 11) glina. Treść wypełniska nasycona węglami drzewnymi<br>niejednolita, ciemnoszaro-jasnoszaro -beżowa (k. 7/5/12) glina | 7.14: 3 |
| 133 | P30/R30 | wczesny okres wpływów rzymskich | budynek wziemny | czworoboczny | nieregularny | 624 | 323 | 28 | 133/1 | jednolita, ciemnobrązowo-beżowa (k. 10/12) glina. Treść wypełniska nasycona węglami drzewnymi, kamieniami | 7.15: 1 |
| 134 | P30 | epoka brązu/ wczesna epoka żelaza | jama | owalny | nieregularny | 236 | 168 | 52 | 134/1<br>134/2 | niejednolita, szaro-brązowo-żółta (k. 6/9/13) glina. Treść wypełniska nasycona węglami drzewnymi<br>niejednolita, beżowo-jasnoszara (k. 12/5) glina | 6.20: 6 |
| 135 | P29 | epoka brązu/ wczesna epoka żelaza | jama | owalny | | 160 | 140 | | 135/1 | Profilu nie udało się zadokumentować. Na poziomie F wyodrębniono obiekt 135A i tu wyznaczono nowe cięcie. | |

| Nr obiektu | Ar | Chronologia | Funkcja obiektu | Kształt | | Wymiary | | | Nr warstwy | Opis | Tablica |
|---|---|---|---|---|---|---|---|---|---|---|---|
| | | | | w rzucie poziomym | w profilu | Długość | Szerokość | Głębokość | | | |
| 135A | P29 | epoka brązu/ wczesna epoka żelaza | jama | nieregularny | nieregularny | 92 | 82 | 11 | 135A/1<br>135A/2 | niejednolira, jasnoszaro-beżowa (k. 5/12) glina. Treść wypełniska nasycona niewielką ilością węgli drzewnych<br>niejednolita, beżowo-żółto-jasnoszara (k. 12/13/5) glina. Treść wypełniska nasycona niewielką ilością węgli drzewnych | 6.21.: 1 |
| 136 | P28/P29 | epoka brązu/ wczesna epoka żelaza | jama | czworoboczny | trapezowaty | 185 | 135 | 30 | 136/1 | niejednolita, brązowo-szaro-beżowa (k. 9/6/12) glina. Treść wypełniska nasycona pojedynczymi, przepalonymi kamieniami | 6.21: 6 |
| 137 | | ANULOWANY | | | | | | | 137/1 | | |
| 138 | P28 | epoka brązu/ wczesna epoka żelaza | jama | nieregularny | trapezowaty | 122 | 108 | 14 | 138/1 | niejednolita, szaro-beżowa (k. 6/12) glina. Treść wypełniska nasycona pojedynczymi, przepalonymi kamieniami | 6.21: 6 |
| 139 | R30/S30 | okres wczesnosłowiański | destrukt pieca z półziemianki | nieregularny | | 182 | 97 | | 139/1 | Profilu nie zadokumentowano z uwagi na to, że zachował się jedynie spąg obiektu. | 8.8: 1 |
| 140 | R31/S31 | wczesne średniowiecze | jama produkcyjna | owalny | trapezowaty | 144 | 136 | 34 | 140/1 | jednolita, ciemnoszaro-szaro-beżowa (k. 7/6/12) twarda glina | 9.1: 1 |
| 140A | R31 | wczesne średniowiecze | jama produkcyjna | czworoboczny | u-kształtny | 54 | 46 | 30 | 140A/1<br>140A/2 | niejednolita, szaro-beżowo-jasnoszara (k. 6/12/5) glina. Treść wypełniska nasycona węglami drzewnymi<br>niejednolita, beżowo-jasnoszara (k. 12/5) glina | 9.1: 1 |
| 141 | R31 | wczesne średniowiecze | skupisko kamieni | nieregularny | | 286 | 134 | | 141/1 | Profilu nie zadokumentowano z uwagi na to, że zachował się jedynie spąg obiektu. | 9.3: 1 |

| Nr obiektu | Ar | Chronologia | Funkcja obiektu | Kształt | | Wymiary | | | Nr warstwy | Opis | Tablica |
|---|---|---|---|---|---|---|---|---|---|---|---|
| | | | | w rzucie poziomym | w profilu | Długość | Szerokość | Głębokość | | | |
| 142 | R32 | epoka brązu/ wczesna epoka żelaza | jama | owalny | trapezowaty | 142 | 131 | 30 | 142/1 | niejednolita, szaro-beżowa (k. 6/12) glina | 6.21: 7 |
| 143 | P30 | wczesny okres wpływów rzymskich | jama | nieregularny | trapezowaty | 82 | 50 | 14 | 143/1 | jednolita, ciemnobrązowo-szara (k. 10/6) glina. Treść wypełniska nasycona węglami drzewnymi | 7.15: 1 |
| 144 | P30 | wczesny okres wpływów rzymskich | jama posłupowa | czworoboczny | czworoboczny | 48 | 40 | 48 | 144/1<br>144/2 | Jamę posłupową nr 144 konstrukcyjnie możemy łączyć z półziemianką nr 133.<br>jednolita, szaro-ciemnoszara (k. 6/7) glina. Treść wypełniska nasycona węglami drzewnymi<br>niejednolita, jasnoszaro-beżowa (k. 5/12) glina | 7.15: 1 |
| 145 | R30 | wczesny okres wpływów rzymskich | jama posłupowa | czworoboczny | trapezowaty | 42 | 36 | 40 | 145/1<br>145/2 | Jamę posłupową nr 145 konstrukcyjnie możemy łączyć z półziemianką nr 133.<br>niejednolita, szaro-beżowa (k. 6/12) glina<br>niejednolita, jasnoszaro-beżowa (k. 5/12) glina | 7.15: 1 |
| 146 | R30 | wczesny okres wpływów rzymskich | jama posłupowa | owalny | u-kształtny | 50 | 40 | 53 | 146/1<br>146/2 | Jamę posłupową nr 146 konstrukcyjnie możemy łączyć z półziemianką nr 133.<br>niejednolita, brązowo-żółta (k. 9/13) glina<br>niejednolita, żółto-popielata (k. 13/4) glina | 7.15: 1 |
| 147 | S32 | późny okres wpływów rzymskich | budynek wziemny | nieregularny | nieregularny | 430 | 300 | 20 | 147/1 | niejednolita, brązowo-żółto-jasnoszara (k. 9/13/5) glina. Treść wypełniska nasycona węglami drzewnymi i przepalonymi kamieniami | 7.17: 5 |

| Nr obiektu | Ar | Chronologia | Funkcja obiektu | Kształt | | Wymiary | | | Nr warstwy | Opis | Tablica |
|---|---|---|---|---|---|---|---|---|---|---|---|
| | | | | w rzucie poziomym | w profilu | Długość | Szerokość | Głębokość | | | |
| 148 | P27 | nieokreślona | jama | owalny | nieregularny | 162 | 131 | 17 | 148/1 | niejednolita, popielato-żółto-jasno-brązowa (k. 4/13/8) glina | 9.2: 3 |
| 149 | P27 | epoka brązu/ wczesna epoka żelaza | skupisko kamieni | nieregularny | | 133 | 90 | | 149/1 | Profilu nie zadokumentowano z uwagi na to, że zachował się jedynie spąg obiektu. | 6.21: 9 |
| 150 | P26 | epoka brązu/ wczesna epoka żelaza | jama | nieregularny | nieregularny | 356 | 270 | 15 | 150/1<br>150/2<br>150/3 | niejednolita, szaro-brązowo-żółta (k. 6/9/13) glina. Treść wypełniska nasycona pojedycznymi węglami drzewnymi i polepą<br>niejednolita, żółto-jasnoszara (k. 13/5) glina<br>jednolita, beżowo-popielata (k. 12/4) glina | 6.22: 1 |
| 151 | P26/P27 | epoka brązu/ wczesna epoka żelaza | jama | nieregularny | trapezowaty | 142 | 110 | 11 | 151/1 | niejednolita, szaro-żółto-brunatna (k. 6/13/11) glina. Treść wypełniska nasycona pojedynczymi kamieniami | 6.23: 1 |
| 152 | P26 | epoka brązu/ wczesna epoka żelaza | jama | kolisty | nieregularny | 117 | 110 | 12 | 152/1 | niejednolita, jasnobrązowo-szara (k. 8/6) twarda glina. Treść wypełniska nasycona pojedynczymi węglami drzewnymi oraz kamieniami | 6.23: 2 |
| 153 | P26 | epoka brązu/ wczesna epoka żelaza | jama | owalny | nieckowaty | 162 | 119 | 25 | 153/1 | niejednolita, szaro-żółta (k. 6/13) twarda glina. Treść wypełniska nasycona pojedynczymi węglami drzewnymi oraz kamieniami | 6.23: 3 |
| 154 | P26 | epoka brązu/ wczesna epoka żelaza | jama | owalny | trapezowaty | 135 | 112 | 28 | 154/1 | niejednolita, szaro-popielato-żółta (k. 6/4/13) twarda glina. Treść wypełniska nasycona pojedynczymi węglami drzewnymi | 6.23: 4 |
| 155 | P27 | nieokreślona | jama | owalny | nieregularny | 151 | 116 | 14 | 155/1 | niejednolita, szaro-beżowa (k. 6/12) glina. Treść wypełniska nasycona węglami drzewnymi | |

| Nr obiektu | Ar | Chronologia | Funkcja obiektu | Kształt | | Wymiary | | | Nr warstwy | Opis | Tablica |
|---|---|---|---|---|---|---|---|---|---|---|---|
| | | | | w rzucie poziomym | w profilu | Długość | Szerokość | Głębokość | | | |
| 156 | P30 | wczesny okres wpływów rzymskich | jama posłupowa | czworo-boczny | czworoboczny | 63 | 51 | 46 | 156/1<br>156/2<br>156/3 | Jamę posłupową nr 156 konstrukcyjnie możemy łączyć z półziemianką nr 133.<br>niejednolita, beżowo-szaro-jasnoszara (k. 12/6/5) glina<br>niejednolita, szaro-beżowa (k. 6/12) glina<br>jednolita, beżowo-żółta (k. 12/13) glina | 7.15: 1 |
| 157 | R29 | wczesny okres wpływów rzymskich | budynek wziemny | czworo-boczny | nieckowaty | 420 | 282 | 32 | 157/1<br>157/2 | jednolita, brązowa (k. 9) glina. Treść wypełniska nasycona węglami drzewnymi i pojedynczymi kamieniami<br>jednolita, szara (k. 6) glina. Treść wypełniska nasycona węglami drzewnymi i pojedynczymi kamieniami | 7.20: 1 |
| 158 | R29 | wczesne średniowiecze | skupisko kamieni | podłużny | | 110 | 60 | | 158/1 | Profilu nie zadokumentowano z uwagi na to, że zachował się jedynie spąg obiektu. | 9.5: 3 |
| 159 | P30/R30 | wczesny okres wpływów rzymskich | jama posłupowa | owalny | u-kształtny | 41 | 34 | 48 | 159/1<br>159/2 | niejednolita, szaro-żółta (k. 6/13) twarda glina. Treść wypełniska nasycona węglami drzewnymi<br>niejednolita, jasnoszaro-żółto-beżowa (k. 5/13/12) glina | 7.15: 1 |
| 160 | P30 | wczesny okres wpływów rzymskich | jama posłupowa | owalny | u-kształtny | 45 | 30 | 30 | 160/1<br>160/2 | Jamę posłupową nr 160 konstrukcyjnie możemy łączyć z półziemianką nr 133.<br>niejednolita, szaro-popielato-beżowa (k. 6/4/12) glina. Treść wypełniska nasycona węglami drzewnymi<br>niejednolita, beżowo-jasnoszara (k. 12/5) glina | 7.15: 1 |
| 161 | M27 | wczesny okres wpływów rzymskich | jama posłupowa | owalny | nieregularny | 52 | 26 | 26 | 161/1<br>161/2 | jednolita, jasnobrązowo-jasnoszara (k. 8/5) twarda glina<br>jednolita, beżowa (k. 12) twarda glina | |

| Nr obiektu | Ar | Chronologia | Funkcja obiektu | Kształt | | Wymiary | | | Nr warstwy | Opis | Tablica |
|---|---|---|---|---|---|---|---|---|---|---|---|
| | | | | w rzucie poziomym | w profilu | Długość | Szerokość | Głębokość | | | |
| 162 | | ANULOWANY | | | | | | | 162/1 | | |
| 163 | R27 | nieokreślona | jama | owalny | nieckowaty | 100 | 93 | 12 | 163/1 | niejednolita, szaro-popielato-jasno-brązowa (k. 6/4/8) twarda glina | |
| 164 | R27 | nieokreślona | jama | owalny | trapezowaty | 130 | 102 | 18 | 164/1 | niejednolita, jasnoszaro-szaro-beżowa (k. 5/6/12) twarda glina | 9.2: 4 |
| 165 | R29 | wczesny okres wpływów rzymskich | jama po-słupowa | owalny | nieckowaty | 36 | 25 | 10 | 165/1 | Jamę posłupową nr 165 konstrukcyjnie możemy łączyć z półziemianką nr 157. niejednolita, szaro-żółta (k. 6/13) glina. Treść wypełniska nasycona węglami drzewnymi | 7.2: 5 |
| 166 | S31 | epoka brązu/ wczesna epoka żelaza | jama | owalny | nieregularny | 143 | 122 | 48 | 166/1<br>166/2<br>166/3 | jednolita, brązowo-szara (k. 9/6) glina. Treść wypełniska nasycona węglami drzewnymi oraz polepą niejednolita, beżowo-jasnoszara (k. 12/5) glina niejednolita, jasnobrązowo-jasnoszara (k. 8/5) glina. Treść wypełniska nasy-cona pojedynczymi kamieniami | 6.23: 5 |
| 167 | S31 | epoka brązu/ wczesna epoka żelaza | jama | czworob-oczny | nieregularny | 150 | 133 | 20 | 167/1 | niejednolita, beżowo-jasnoszara (k. 12/5) twarda glina | 6.24: 1 |
| 168 | | ANULOWANY | | | | | | | 168/1 | | |
| 169 | S31 | epoka brązu/ wczesna epoka żelaza | jama | owalny | czworoboczny | 190 | 162 | 62 | 169/1<br>169/2<br>169/3<br>169/4 | niejednolita, brązowo-popiela-to-szara (k. 9/4/6) twarda glina. Treść wypełniska nasycona niewielką ilością węgli drzewnych niejednolita, beżowo-jasnoszara (k. 125) twarda glina niejednolita, beżowo-szaro-jasno-brązowa (k. 12/6/8) twarda glina. Treść wypełniska nasycona niewielką ilością węgli drzewnych niejednolita, beżowo-szara (k. 12/6) twarda glina | 6.24: 2 |

| Nr obiektu | Ar | Chronologia | Funkcja obiektu | Kształt | | Wymiary | | | Nr warstwy | Opis | Tablica |
|---|---|---|---|---|---|---|---|---|---|---|---|
| | | | | w rzucie poziomym | w profilu | Długość | Szerokość | Głębokość | | | |
| 170 | | ANULOWANY | | | | | | | 170/1 | | |
| 171 | T32 | epoka brązu/ wczesna epoka żelaza | jama | owalny | nieregularny | 147 | 134 | 12 | 171/1 | jednolita, beżowo-popielata (k. 12/4) twarda glina | 6.24: 3 |
| 172 | S32/T32 | epoka brązu/ wczesna epoka żelaza | jama | owalny | nieregularny | 210 | 164 | 30 | 172/1<br>172/2 | niejednolita, jasnoszaro-beżowa (k. 5/12) twarda glina<br>niejednolita, beżowo-jasnoszara (k. 12/5) twarda glina | 6.24: 4 |
| 173 | S32/T32 | epoka brązu/ wczesna epoka żelaza | jama | nieregularny | nieregularny | 240 | 140 | 60 | 173/1<br>173/2<br>173/3 | niejednolita, brązowo-żółto-popielata (k. 9/13/4)<br>jednolita, żółta (k. 13) glina<br>jednolita, jasnobrązowo-żółta (k. 8/13) glina | 6.25: 1 |
| 174 | | ANULOWANY | | | | | | | 174/1 | | |
| 175 | R29 | wczesny okres wpływów rzymskich | jama posłupowa | owalny | nieckowaty | 36 | 30 | 20 | 175/1 | Jamę posłupową nr 175 konstrukcyjnie możemy łączyć z półziemianką nr 157.<br>niejednolita, szaro-beżowa (k. 6/12) glina. Treść wypełniska nasycona węglami drzewnymi | 7.20: 1 |
| 176 | N28 | wczesny okres wpływów rzymskich | jama posłupowa | owalny | nieckowaty | 24 | 19 | 8 | 176/1 | Jamę posłupową nr 176 konstrukcyjnie możemy łączyć z półziemianką nr 100.<br>jednolita, brązowa (k. 9) glina | 7.11: 1 |
| 177 | N28 | wczesny okres wpływów rzymskich | jama posłupowa | owalny | czworoboczny | 26 | 23 | 16 | 177/1 | Jamę posłupową nr 177 konstrukcyjnie możemy łączyć z półziemianką nr 100.<br>jednolita, brązowa (k. 9) glina | 7.11: 1 |
| 178 | N28 | wczesny okres wpływów rzymskich | jama posłupowa | owalny | czworoboczny | 30 | 26 | 17 | 178/1 | Jamę posłupową nr 178 konstrukcyjnie możemy łączyć z półziemianką nr 100.<br>niejednolita, brązowo-żółta (k. 9/13) glina. Treść wypełniska nasycona węglami drzewnymi | 7.11: 1 |

| Nr obiektu | Ar | Chronologia | Funkcja obiektu | Kształt | | Wymiary | | | Nr warstwy | Opis | Tablica |
|---|---|---|---|---|---|---|---|---|---|---|---|
| | | | | w rzucie poziomym | w profilu | Długość | Szerokość | Głębokość | | | |
| 179 | S32 | późny okres wpływów rzymskich | jama posłupowa | czworoboczny | trapezowaty | 28 | 26 | 12 | 179/1 | Jamę posłupową nr 179 konstrukcyjnie możemy łączyć z półziemianką nr 147.<br>jednolita, brązowo-beżowa (k. 9/12) glina. Treść wypełniska nasycona węglami drzewnymi | 7.17: 5 |
| 180 | S32 | późny okres wpływów rzymskich | jama posłupowa | owalny | czworoboczny | 38 | 32 | 40 | 180/1<br>180/2<br>180/3 | Jamę posłupową nr 179 konstrukcyjnie możemy łączyć z półziemianką nr 147.<br>jednolita, brązowa (k. 9) glina. Treść wypełniska nasycona węglami drzewnymi<br>jednolita, beżowa (k. 12) glina<br>jednolita, żółta (k. 13) glina | 7.17: 5 |
| 181 | S29 | wczesne średniowiecze | skupisko kamieni | nieregularny | nieregularny | 296 | 182 | 30 | 181/1 | niejednolita, szaro-ciemnoszaro-żółta (k. 6/7/13) twarda glina | 9.5: 4 |
| 182 | S30 | wczesne średniowiecze | skupisko kamieni | nieregularny | | 205 | 160 | | 182/1 | Profilu nie zadokumentowano z uwagi na to, że zachował się jedynie spąg obiektu. | 9.7: 1 |
| 183 | S28 | okres wczesnosłowiański | destrukt pieca z półziemianki | nieregularny | | 175 | 125 | | 183/1 | Profilu nie zadokumentowano z uwagi na to, że zachował się jedynie spąg obiektu. | 8.8: 9 |
| 184 | T31 | epoka brązu/ wczesna epoka żelaza | jama | owalny | czworoboczny | 164 | 118 | 16 | 184/1 | niejednolita, jasnoszaro-beżowo-szaroa (k. 5/12/6) twarda glina | 6.26: 1 |
| 185 | | ANULOWANY | | | | | | | 185/1 | | |
| 186 | S31/T31 | epoka brązu/ wczesna epoka żelaza | jama | nieregularny | czworoboczny | 193 | 162 | 20 | 186/1<br>186/2 | jednolita, szara (k. 6) glina. Treść wypełniska nasycona węglami drzewnymi<br>jednolita, szara (k. 6) glina. Treść wypełniska nasycona węglami drzewnymi | 6.26: 2 |

| Nr obiektu | Ar | Chronologia | Funkcja obiektu | Kształt | | Wymiary | | | Nr warstwy | Opis | Tablica |
|---|---|---|---|---|---|---|---|---|---|---|---|
| | | | | w rzucie poziomym | w profilu | Długość | Szerokość | Głębokość | | | |
| 187 | T31/T32 | epoka brązu/ wczesna epoka żelaza | jama | owalny | trapezowaty | 160 | 130 | 30 | 187/1<br>187/2 | jednolita, jasnoszaro-jasno-brązowo-beżowa (k. 5/8/12) glina niejednolita, brązowo-szara (k. 9/6) twarda glina. Treść wypełniska nasycona węglami drzewnymi | 6.26: 3 |
| 188 | | ANULOWANY | | | | | | | 188/1 | | |
| 189 | T30 | wczesny okres wpływów rzymskich | palenisko | nieregularny | czworoboczny | 192 | 120 | 32 | 189/1<br>189/2 | niejednolita, szaro-pomarańczowo-brązowa (k. 6/14/9) przepalona glina<br>jednolita, szaro-brazowa (k. 6/9) glina. Treść wypełniska zawiera dużo kamieni | 7.22: 1 |
| 190 | U31/U32 | nieokreślona | jama | owalny | nieregularny | 230 | 164 | 22 | 190/1 | jednolita, ciemnoszaro-szaro-beżowa (k. 7/6/12) twarda glina. Treść wypełniska nasycona pojedynczymi węglami drzewnymi | |
| 191 | S28 | epoka brązu/ wczesna epoka żelaza | jama | czworoboczny | trapezowaty | 158 | 140 | 29 | 191/1 | niejednolita, szaro-beżowa (k. 6/12) twarda glina | 6.26: 4 |
| 192 | S28 | epoka brązu/ wczesna epoka żelaza | jama | owalny | czworoboczny | 118 | 95 | 30 | 192/1 | niejednolita, szaro-brązowo-beżowa (k. 6/9/12) twarda glina | 6.27: 3 |
| 193 | S28 | okres wczesno-słowiański | spąg półziemianki | owalny | nieregularny | 57 | 45 | 12 | 193/1 | jednolita, szra (k. 6) twarda glina | |
| 194 | S28 | okres wczesno-słowiański | spąg półziemianki | kolisty | nieckowaty | 52 | 50 | 16 | 194/1 | niejednolita, szaro-beżowa (k. 6/12) twarda glina | |
| 195 | S28 | nieokreślona | jama posłupowa | owalny | nieckowaty | 23 | 18 | 10 | 195/1 | niejednolita, szaro-beżowa (k. 6/12) twarda glina | |
| 196 | S28 | nieokreślona | jama posłupowa | kolisty | trapezowaty | 23 | 20 | 6 | 196/1 | niejednolita, szaro-zółta (k. 6/13) twarda glina | |

| Nr obiektu | Ar | Chronologia | Funkcja obiektu | Kształt | | Wymiary | | | Nr warstwy | Opis | Tablica |
|---|---|---|---|---|---|---|---|---|---|---|---|
| | | | | w rzucie poziomym | w profilu | Długość | Szerokość | Głębokość | | | |
| 197 | S28 | epoka brązu/ wczesna epoka żelaza | jama | kolisty | trapezowaty | 48 | 48 | 8 | 197/1 | niejednolita, beżowo-szara (k. 12/6) twarda glina | 6.27: 4 |
| 198 | S29 | wczesne średnio-wiecze | jama | owalny | nieckowaty | 78 | 64 | 15 | 198/1 | niejednolita, szaro-beżowa (k. 6/12) twarda glina. Treść wypełniska nasycona kamieniami | 9.11: 1 |
| 199 | S32 | późny okres wpływów rzymskich | jama posłupowa | kolisty | nieregularny | 38 | 37 | 54 | 199/1<br>199/2 | Jamę posłupową nr 179 konstrukcyjnie możemy łączyć z półziemianką nr 147.<br>niejednolita, jasnobrązowo-beżowo-szara (k. 8/12/6) glina. Treść wypełniska nasycona węglami drzewnymi<br>niejednolita, beżowo-jasnobrązowo -jasnoszara (k. 12/8/5) glina | 7.17: 5 |
| 200 | S29 | wczesne średniowiecze | palenisko | czworo-boczny | czworoboczny | 134 | 110 | 30 | 200/1 | niejednolita, ciemnoszaro-żółta (k. 7/13) twarda glina przemiaszana z kamieniami | 9.10: 2 |
| 201 | U30 | epoka brązu/ wczesna epoka żelaza | jama | kolisty | trapezowaty | 130 | 126 | 34 | 201/2 | jednolita, szaro-brązowa (k. 6/9) glina. Treść wypełniska nasycona pojedynczymi węglami drzewnymi | 6.27: 7 |
| 202 | U30 | okres wpływów rzymskich | obiekty z warstwami kamieni | niereg-ularny | | 155 | 110 | | 202/2 | Profilu nie zadokumentowano z uwagi na to, że zachował się jedynie spąg obiektu. | 7.23: 1 |
| 203 | U30 | epoka brązu/ wczesna epoka żelaza | jama | czworo-boczny | trapezowaty | 130 | 108 | 26 | 203/1<br>203/2 | jednolita, szaro-brązowa (k. 6/9) glina<br>niejednolita, jasnoszaro-brązowa (k. 5/9) twarda glina | 6.27: 6 |
| 204 | S28 | okres wczesno-słowiański | spąg półzie-mianki | owalny | nieregularny | 63 | 52 | 15 | 204/1 | niejednolita, szaro-żółta (k. 6/13) twarda glina | |
| 205 | T28 | epoka brązu/ wczesna epoka żelaza | jama | owalny | nieregularny | 168 | 146 | 36 | 205/1 | niejednolita, szaro-jasnobrązowo-żółta (k. 6/8/13/) twarda glina. Treść wypełniska nasycona pojedynczymi węglami drzewnymi | 6.27: 8 |

| Nr obiektu | Ar | Chronologia | Funkcja obiektu | Kształt | | Wymiary | | | Nr warstwy | Opis | Tablica |
|---|---|---|---|---|---|---|---|---|---|---|---|
| | | | | w rzucie poziomym | w profilu | Długość | Szerokość | Głębokość | | | |
| 206 | L25 | nieokreślona | jama | nieregularny | nieregularny | 143 | 98 | 22 | 206/1 | jednolita, popielato-jasnobrązowa (k. 4/8) twarda glina | 9.2: 6 |
| 207 | | ANULOWANY | | | | | | | 207/2 | | |
| 208 | U29 | wczesne średniowiecze | skupisko kamieni | owalny | czworoboczny | 173 | 146 | 21 | 208/1 | niejednolita, szaro-beżowa (k. 6/12) twarda glina | 9.10: 4 |
| 209 | U29 | nieokreślona | jama | owalny | nieregularny | 188 | 133 | 30 | 209/1 | niejednolita, szaro-bezowa (k. 6/12) twarda glina. Treść wypełniska nasycona pojedynczymi kamieniami | 9.2: 7 |
| 210 | T29/T30/ U29/U30 | wczesne średniowiecze | skupisko kamieni | owalny | czworoboczny | 200 | 160 | 26 | 210/1 | niejednolita, szaro-żółta (k. 6/13) twarda glina | 9.12: 1 |
| 211 | U28 | epoka brązu/ wczesna epoka żelaza | jama | owalny | trapezowaty | 188 | 147 | 48 | 211/1<br>211/2 | jednolita, szaro-jasnoszara (k. 6/5) twarda glina<br>niejednolita, szaro-jasnoszaro-żółta (k. 6/5/13) twarda glina | 6.28: 1 |
| 212 | U28 | epoka brązu/ wczesna epoka żelaza | jama | owalny | nieckowaty | 58 | 35 | 8 | 212/1 | jednolita, szaro-jasnoszara (k. 6/5) twarda glina | 6.27: 9 |
| 213 | U28/V28 | epoka brązu/ wczesna epoka żelaza | jama | nieregularny | nieregularny | 264 | 150 | 46 | 213/1 | niejednolita, szaro-beżowa (k. 6/12) twarda glina | 6.28: 5 |
| 214 | V30/V31 | wczesny okres wpływów rzymskich | palenisko | czworoboczny | trapezowaty | 178 | 178 | 40 | 214/1<br>214/2 | niejednolita, szaro-beżowa (k. 6/12) twarda glina. Treść wypełniska silnie nasycona kamieniami<br>niejednolita, szaro-czarno-beżowa (k. 6/2/12) twarda glina. Treść wypełniska silnie nasycona kamieniami | 7.23: 3 |
| 215 | V30 | okres wpływów rzymskich | obiekty z warstwami kamieni | nieregularny | | 140 | 100 | | 215/1 | Profilu nie zadokumentowano z uwagi na to, że zachował się jedynie spąg obiektu. | |
| 216 | V29 | epoka brązu/ wczesna epoka żelaza | jama | owalny | nieregularny | 180 | 170 | 28 | 216/1 | niejednolita, szaro-beżowa (k. 6/12) twarda glina. Treść wypełniska silnie nasycona kamieniami | 6.28: 4 |

| Nr obiektu | Ar | Chronologia | Funkcja obiektu | Kształt | | Wymiary | | | Nr warstwy | Opis | Tablica |
|---|---|---|---|---|---|---|---|---|---|---|---|
| | | | | w rzucie poziomym | w profilu | Długość | Szerokość | Głębokość | | | |
| 217 | V29 | epoka brązu/ wczesna epoka żelaza | jama | owalny | nieregularny | 278 | 217 | 29 | 217/1 | niejednolita, szaro-beżowa (k. 6/12) twarda glina. Treść wypełniska silnie nasycona kamieniami | 6.31: 2 |
| 218 | V28 | epoka brązu/ wczesna epoka żelaza | jama | owalny | nieregularny | 120 | 112 | 29 | 218/1 | jednolita, jasnoszara (k. 5) twarda glina | 6.31: 3 |
| 219 | V28 | epoka brązu/ wczesna epoka żelaza | jama | kolisty | nieckowaty | 79 | 78 | 16 | 219/1 | niejednolita, szaro-beżowa (k. 6/12) twarda glina | 6.31: 4 |
| 220 | V30/V31/ W30/W31 | wczesny okres wpływów rzymskich | budynek wziemny | czworo-boczny | nieregularny | 494 | 386 | 26 | 220/1<br>220/2 | niejednolita, ciemnoszaro-beżowa (k. 7/12) twarda glina. Treść wypełniska posiada dużą ilość luźno rozlokowanych kamieni<br>niejednolita, janoszaro-beżowa (k. 5/13) twarda glina | 7.24: 1 |
| 221 | W30 | nieokreślona | skupisko kamieni | nierego-ularny | | 120 | 110 | | 221/2 | Profilu nie zadokumentowano z uwagi na to, że zachował się jedynie spąg obiektu. | 9.2: 8 |
| 222 | | ANULOWANY | | nierego-ularny | | 120 | 110 | | 222/2 | Profilu nie zadokumentowano z uwagi na to, że zachował się jedynie spąg obiektu. | |
| 223 | W29 | wczesny okres wpływów rzymskich | jama | owalny | czworoboczny | 58 | 54 | 40 | 223/1<br>223/2 | niejednolita, szaro-beżowa (k. 6/12) glina<br>niejednolita, szaro-rdzawa (k. 6/15) glina. Treść wypełniska nasycona pojedynczymi kamieniami | 7.26: 4 |
| 224 | | ANULOWANY | | | | | | | 224/2 | | |
| 225 | V28 | epoka brązu/ wczesna epoka żelaza | jama | kolisty | trapezowaty | 130 | 128 | 32 | 225/1 | niejednolita, szaro-beżowa (k. 6/12) twarda glina | 6.28: 5 |
| 226 | U28 | epoka brązu/ wczesna epoka żelaza | jama | owalny | nieregularny | 82 | 76 | 20 | 226/1 | jednolita, jasnoszaro-jasnobrązowa (k. 5/8) twarda glina | 6.31: 5 |

| Nr obiektu | Ar | Chronologia | Funkcja obiektu | Kształt | | Wymiary | | | Nr warstwy | Opis | Tablica |
|---|---|---|---|---|---|---|---|---|---|---|---|
| | | | | w rzucie poziomym | w profilu | Długość | Szerokość | Głębokość | | | |
| 227 | W29 | wczesny okres wpływów rzymskich | jama | owalny | nieregularny | 162 | 140 | 20 | 227/1<br>227/2 | niejednolita, ciemnoszaro-beżowa (k. 7/12) glina<br>niejednolita, szaro-beżowa (k. 6/12) glina | 7.27: 1 |
| 228 | X29 | epoka brązu/ wczesna epoka żelaza | jama posłupowa | owalny | nieregularny | 38 | 34 | 22 | 228/1<br>228/2 | jednolita, szra (k. 6) twarda glina<br>jednolita, brunatna (k. 11) glina | |
| 229 | X29 | epoka brązu/ wczesna epoka żelaza | jama posłupowa | kolisty | nieckowaty | 32 | 31 | 16 | 229/1<br>229/2 | jednolita, szara (k. 6) glina<br>niejednolita, jasnoszaro-rdzawa (k. 5/15) glina | |
| 230 | X29 | epoka brązu/ wczesna epoka żelaza | jama posłupowa | owalny | nieckowaty | 30 | 26 | 8 | 230/1 | niejednolita, szaro-rdzawa (k. 6/15) twarda glina | |
| 231 | X29 | epoka brązu/ wczesna epoka żelaza | jama posłupowa | kolisty | nieregularny | 36 | 36 | 11 | 231/1 | niejednolita, szaro-jasnoszaro-beżowa (k. 6/5/12) twarda glina | |
| 232 | X29 | epoka brązu/ wczesna epoka żelaza | jama posłupowa | kolisty | nieckowaty | 30 | 30 | 8 | 232/1 | niejednolita, jasnoszaro-beżowa (k. 5/12) twarda glina | |
| 233 | W30 | nieokreślona | jama | owalny | nieckowaty | 78 | 64 | 21 | 233/1 | niejednolita, szaro-beżowa (k. 6/12) twarda glina. Treść wypełniska nasycona pojedynczymi kamieniami | 9.2: 9 |
| 234 | | ANULOWANY | | | | | | | 234/2 | | |
| 235 | 220 | wczesny okres wpływów rzymskich | jama posłupowa | owalny | u-kształtny | 36 | 24 | 39 | 235/1<br>235/2 | Jamę posłupową nr 235 konstrukcyjnie możemy łączyć z półziemianką nr 220.<br>niejednolita, szaro-żółta (k. 6/13) glina<br>niejednolita, żółto-szara (k. 13/6) glina | 7.24: 1 |
| 236 | 220 | wczesny okres wpływów rzymskich | jama posłupowa | czworoboczny | czworoboczny | 32 | 29 | 40 | 236/1<br>236/2 | Jamę posłupową nr 236 konstrukcyjnie możemy łączyć z półziemianką nr 220.<br>jednolita, szara (k. 6) glina<br>jednolita, żółta (k. 13) glina | 7.24: 1 |

| Nr obiektu | Ar | Chronologia | Funkcja obiektu | Kształt | | Wymiary | | | Nr warstwy | Opis | Tablica |
|---|---|---|---|---|---|---|---|---|---|---|---|
| | | | | w rzucie poziomym | w profilu | Długość | Szerokość | Głębokość | | | |
| 237 | 220 | wczesny okres wpływów rzymskich | jama posłupowa | owalny | czworoboczny | 29 | 25 | 35 | 237/1<br>237/2 | Jamę posłupową nr 237 konstrukcyjnie możemy łączyć z półziemianką nr 220.<br>niejednolita, szaro-beżowa (k. 6/12) glina<br>niejednolita, szaro-żółta (k. 6/13) glina | 7.24: 1 |
| 238 | 220 | wczesny okres wpływów rzymskich | jama posłupowa | owalny | czworoboczny | 26 | 23 | 26 | 238/1 | Jamę posłupową nr 238 konstrukcyjnie możemy łączyć z półziemianką nr 220.<br>jednolita, szara (k. 6) twarda glina | 7.24: 1 |
| 239 | 220 | wczesny okres wpływów rzymskich | jama posłupowa | kolisty | czworoboczny | 32 | 31 | 29 | 239/1<br>239/2 | Jamę posłupową nr 238 konstrukcyjnie możemy łączyć z półziemianką nr 220.<br>jednolita, szara (k. 6) glina<br>jednolita, żółta (k. 13) glina | 7.24: 1 |
| 240 | | ANULOWANY | | | | | | | 240/2 | | |
| 241 | 220 | wczesny okres wpływów rzymskich | jama posłupowa | owalny | u-kształtny | 26 | 22 | 25 | 241/1 | Jamę posłupową nr 241 konstrukcyjnie możemy łączyć z półziemianką nr 220.<br>niejednolita, szaro-żółta (k. 6/13) twarda glina | 7.24: 1 |
| 242 | | ANULOWANY | | | | | | | 242/2 | | |
| 243 | 220 | wczesny okres wpływów rzymskich | jama posłupowa | owalny | nieregularny | 46 | 38 | 26 | 243/1 | Jamę posłupową nr 243 konstrukcyjnie możemy łączyć z półziemianką nr 220.<br>niejednolita, jasnoszaro-beżowa (k. 5/12) twarda glina | 7.24: 1 |
| 244 | 220 | wczesny okres wpływów rzymskich | jama | owalny | nieckowaty | 44 | 36 | 10 | 244/1 | Jamę nr 244 konstrukcyjnie możemy łączyć z półziemianką nr 220.<br>jednolita, jasnoszaro-szara (k. 5/6) twarda glina | 7.24: 1 |
| 245 | 220 | wczesny okres wpływów rzymskich | jama posłupowa | owalny | czworoboczny | 32 | 28 | 30 | 245/1 | Jamę posłupową nr 245 konstrukcyjnie możemy łączyć z półziemianką nr 220.<br>niejednolita, szaro-żółta (k. 6/13) twarda glina | 7.24: 1 |

| Nr obiektu | Ar | Chronologia | Funkcja obiektu | Kształt | | Wymiary | | | Nr warstwy | Opis | Tablica |
|---|---|---|---|---|---|---|---|---|---|---|---|
| | | | | w rzucie poziomym | w profilu | Długość | Szerokość | Głębokość | | | |
| 246 | 220 | wczesny okres wpływów rzymskich | jama posłupowa | czworoboczny | czworoboczny | 32 | 30 | 26 | 246/1 | Jamę posłupową nr 246 konstrukcyjnie możemy łączyć z półziemianką nr 220.<br>niejednolita, szaro-żółta (k. 6/13) twarda glina | 7.24: 1 |
| 247 | 220 | wczesny okres wpływów rzymskich | jama posłupowa | kolisty | trapezowaty | 38 | 35 | 18 | 247/1 | Jamę posłupową nr 247 konstrukcyjnie możemy łączyć z półziemianką nr 220.<br>niejednolita, szaro-żółta (k. 6/13) twarda glina | 7.24: 1 |
| 248 | 220 | wczesny okres wpływów rzymskich | jama | kolisty | czworoboczny | 32 | 30 | 11 | 248/1<br>248/2 | Jamę nr 248 konstrukcyjnie możemy łączyć z półziemianką nr 220.<br>jednolita, żółta (k. 13) glina2) glina niejednolita, szaro-żółta (k. 6/ | 7.24: 1 |
| 249 | 220 | wczesny okres wpływów rzymskich | jama posłupowa | czworoboczny | trapezowaty | 40 | 32 | 18 | 249/1<br>249/2 | Jamę posłupową nr 249 konstrukcyjnie możemy łączyć z półziemianką nr 220.<br>jednolita, szara (k. 6) glina niejednolita, szaro-żółta (k. 6/13) glina | 7.24: 1 |
| 250 | W30 | nieokreślona | jama | nieregularny | nieregularny | 80 | 36 | 10 | 250/1 | jednolita, jasnoszara (k. 5) twarda glina. Treść wypełniska nasycona pojedynczymi kamieniami | 9.3: 1 |
| 251 | W30 | nieokreślona | jama | owalny | nieregularny | 97 | 92 | 20 | 251/1 | jednolita, jasnoszara (k. 5) twarda glina. Treść wypełniska nasycona pojedynczymi kamieniami | 9.3: 2 |
| 252 | L32 | nieokreślona | jama | owalny | trapezowaty | 110 | 100 | 20 | 252/1 | jednolita, szaro-brązowa (k. 6/9) twarda glina | 9.3: 3 |
| 253 | L32 | nieokreślona | jama posłupowa | owalny | nieckowaty | 36 | 24 | 12 | 253/1 | jednolita, szaro-brązowa (k. 6/9) twarda glina | 9.3: 4 |
| 254 | R26 | epoka brązu/ wczesna epoka żelaza | jama | kolisty | czworoboczny | 24 | 22 | 26 | | całe naczynie | 6.32: 1 |

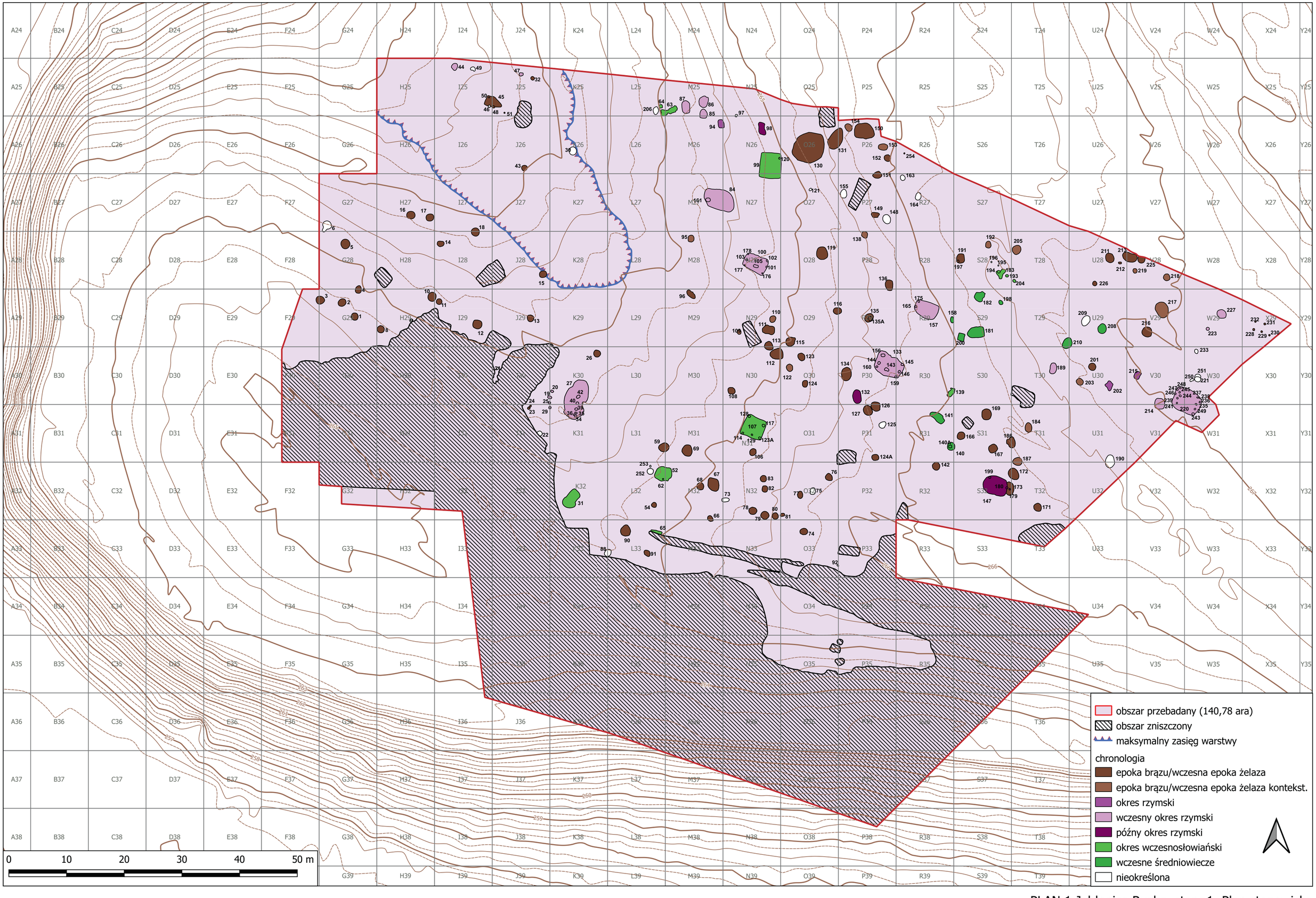


PLAN 1 Jabłonica Ruska, stan. 1. Plan stanowiska
Skala 1:400

ISBN 978-83-67325-28-8